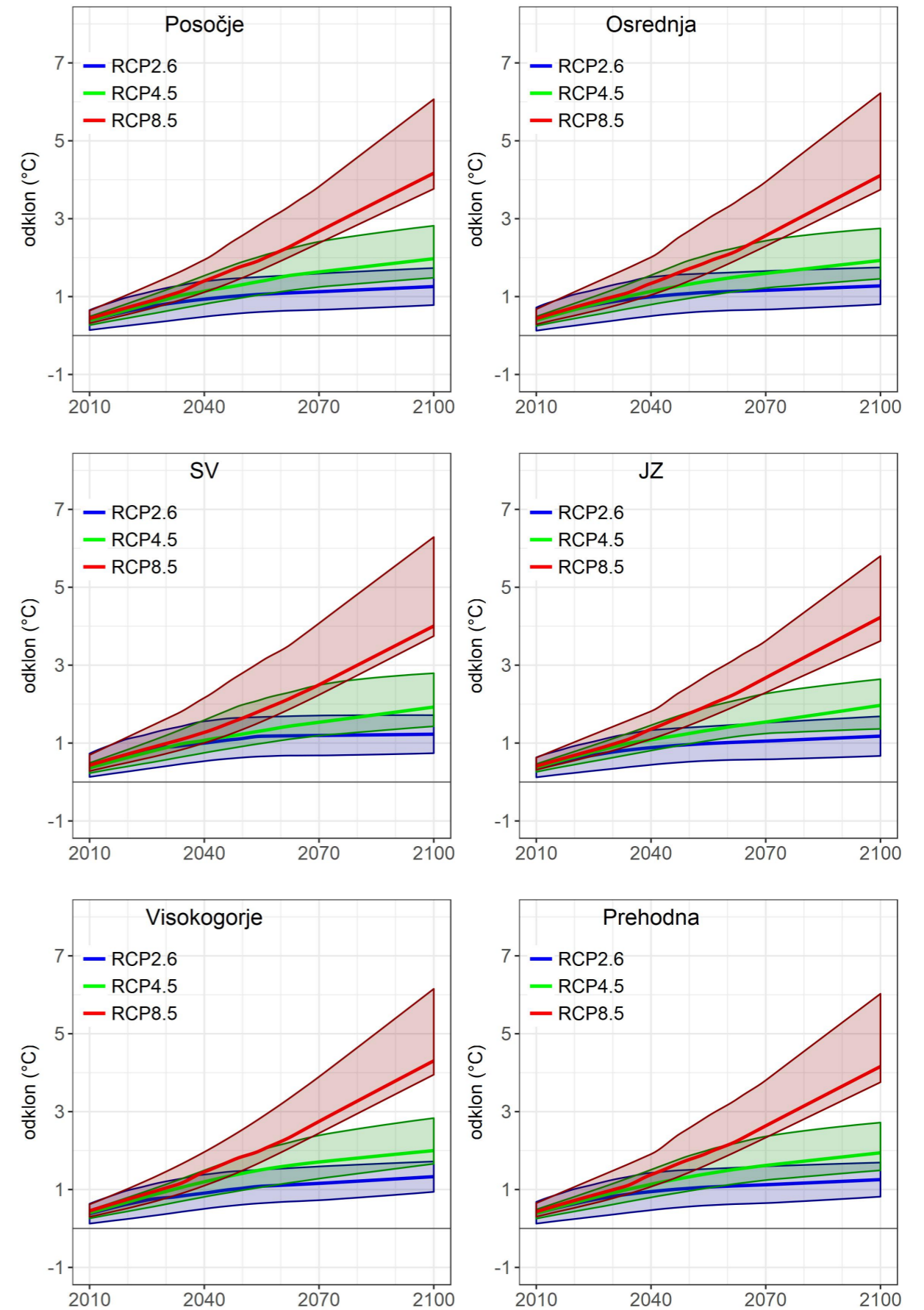


Povprečna temperatura

PRILOGA 1: SPREMEMBE TEMPERATURE

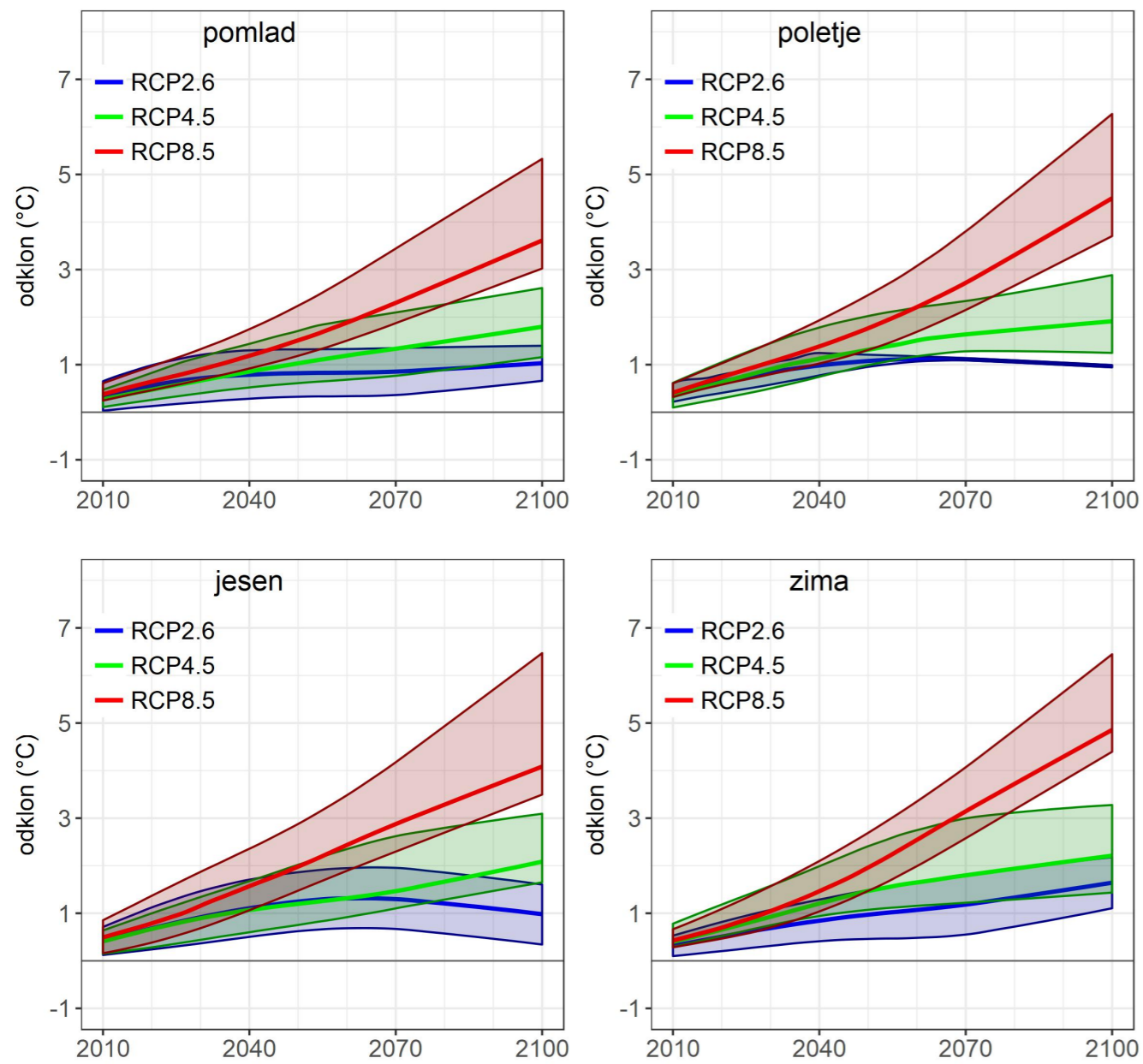
V prilogi 1 so predstavljene projekcije povprečne, dnevne najvišje in dnevne najnižje temperature, temperaturnih kazalnikov izjemne vročine in mraza ter temperaturnih razmer za rast rastlin.

ČASOVNI POTEKI	7
POVPREČNA, NAJVIŠJA IN NAJNIŽJA TEMPERATURA	7
TEMPERATURNE RAZMERE ZA RAST RASTLIN	32
SREDNJE SPREMEMBE Z ZANESLJIVOSTJO	56
POVPREČNA, NAJVIŠJA IN NAJNIŽJA TEMPERATURA	56
TEMPERATURNI KAZALNIKI	102
TEMPERATURNE RAZMERE ZA RAST RASTLIN	158
RAZPONI SPREMENB	182
POVPREČNA, NAJVIŠJA IN NAJNIŽJA TEMPERATURA	182
TEMPERATURNI KAZALNIKI	210
POVPREČNI RAZPONI SPREMENB PO REGIJAH	244
POVPREČNA, NAJVIŠJA IN NAJNIŽJA TEMPERATURA	244
RAZPONI SPREMENB PO POSTAJAH	247
TEMPERATURNE RAZMERE ZA RAST RASTLIN	247
PREGLEDNICE	258
POVPREČNA, NAJVIŠJA IN NAJNIŽJA TEMPERATURA	258
TEMPERATURNI KAZALNIKI	270



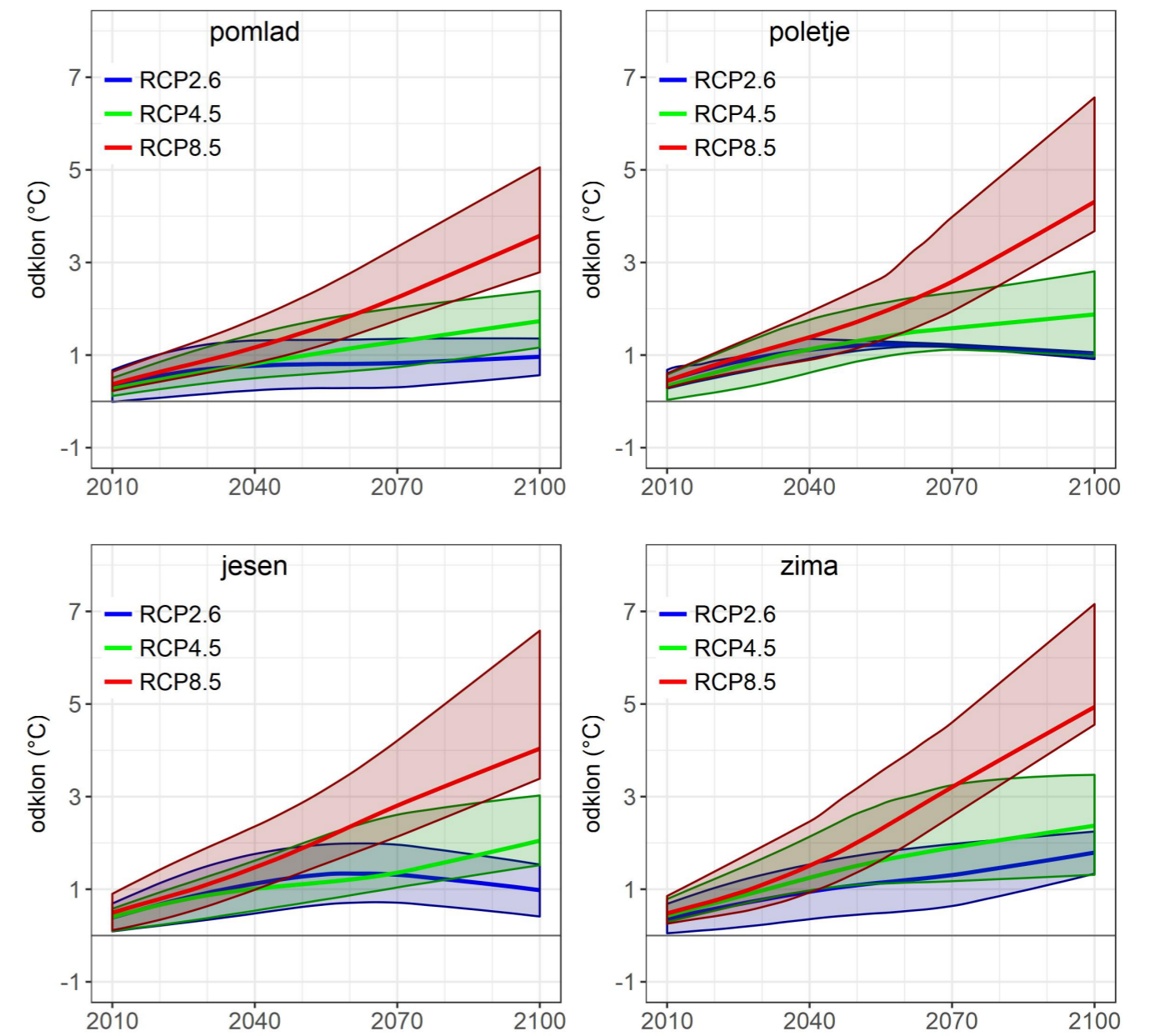
Slika 1.1 | Časovni potek spremembe letnega povprečja temperature zraka do konca 21. stoletja v regijah Slovenije za tri scenarije, vključno z razponi odstopanj. Prikazan je odklon od povprečja v obdobju 1981–2010. Črte prikazujejo glajeno mediano modelskih projekcij, zgornji in spodnji rob ovojnici največjo in najmanjšo vrednost modelskih projekcij.

Povprečna temperatura, Posočje



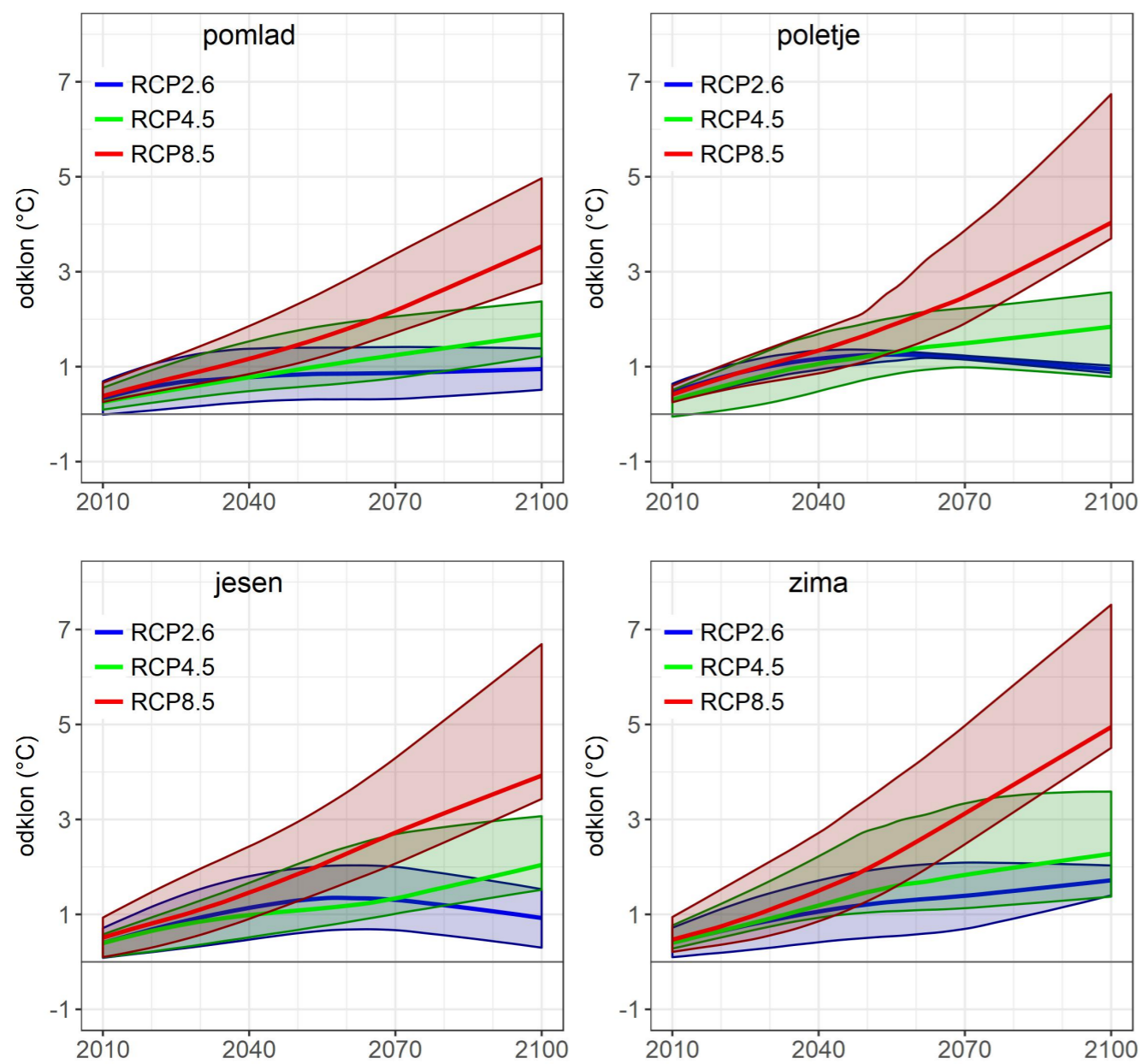
Slika 1.2 | Časovni potek spremembe povprečne temperature zraka po meteoroloških letnih časih do konca 21. stoletja v regiji Posočje za tri scenarije, vključno z razponi odstopanj. Prikazan je odklon od povprečja v obdobju 1981–2010. Črte prikazujejo glajeno mediano modelskih projekcij, zgornji in spodnji rob ovojníc največjo in najmanjšo vrednost modelskih projekcij.

Povprečna temperatura, osrednja regija



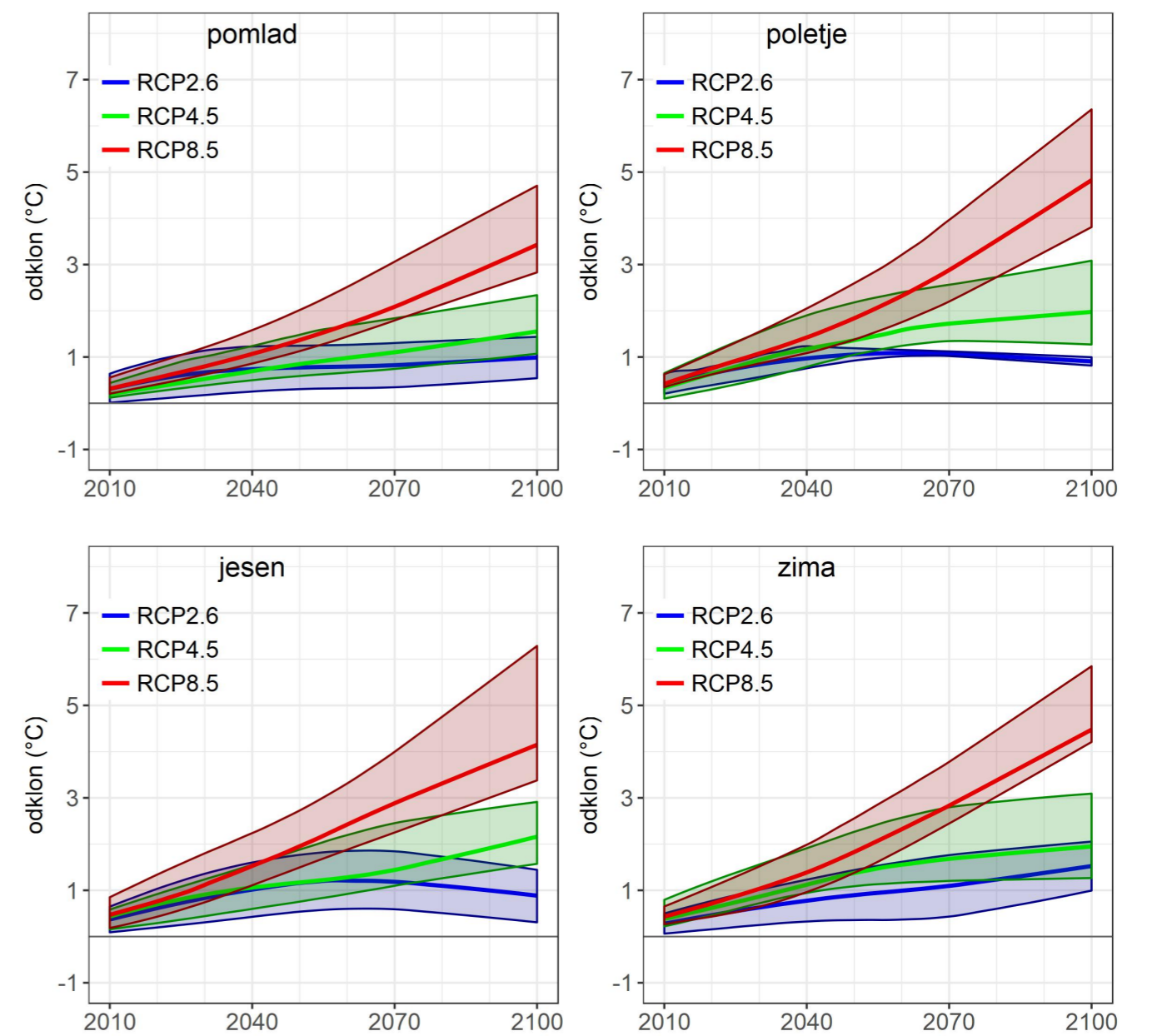
Slika 1.3 | Časovni potek spremembe povprečne temperature zraka po meteoroloških letnih časih do konca 21. stoletja v osrednji regiji za tri scenarije, vključno z razponi odstopanj. Prikazan je odklon od povprečja v obdobju 1981–2010. Črte prikazujejo glajeno mediano modelskih projekcij, zgornji in spodnji rob ovojníc največjo in najmanjšo vrednost modelskih projekcij.

Povprečna temperatura, severovzhodna regija



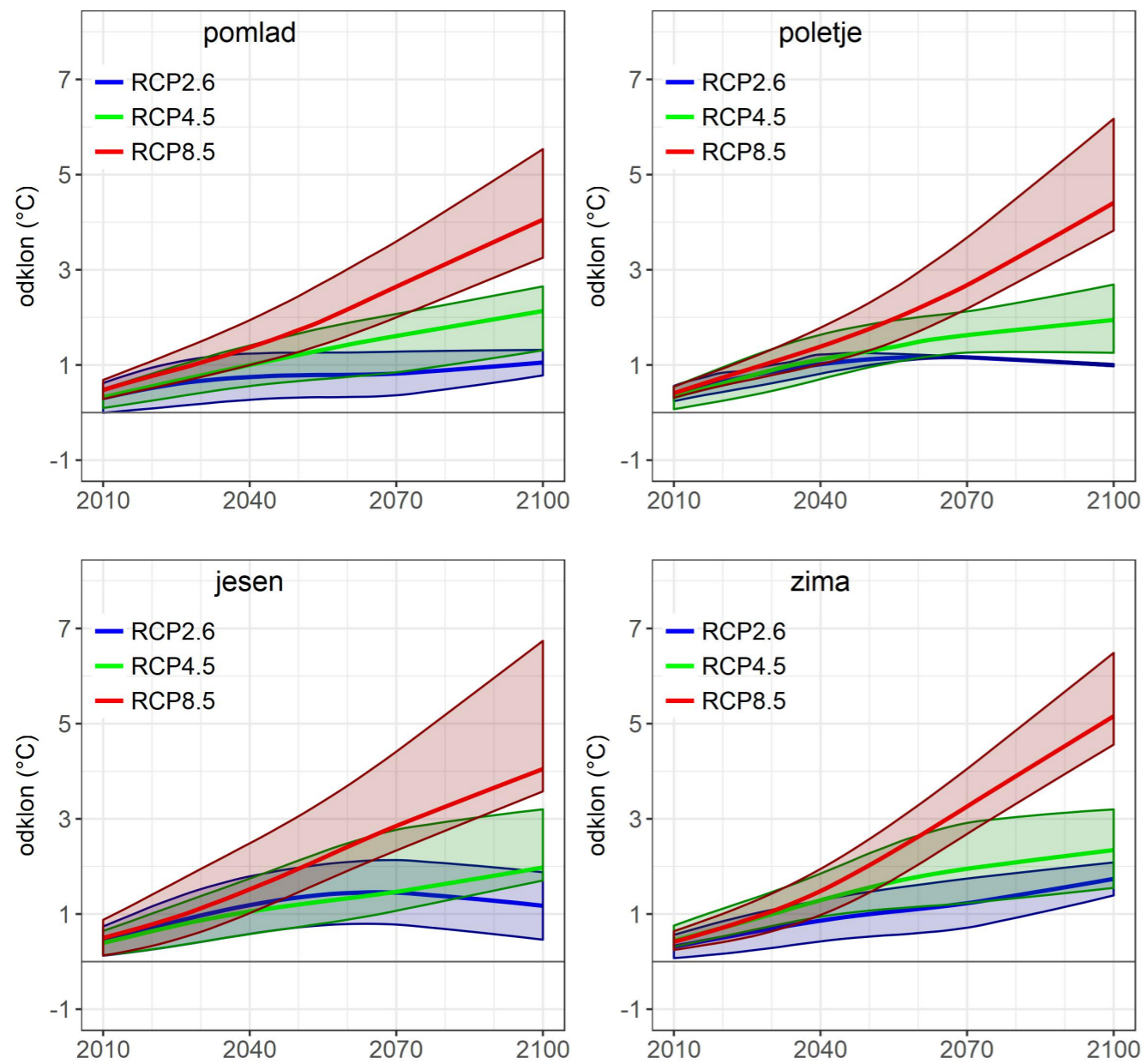
Slika 1.4 | Časovni potek spremembe povprečne temperature zraka po meteoroloških letnih časih do konca 21. stoletja v severovzhodni regiji za tri scenarije, vključno z razponi odstopanj. Prikazan je odklon od povprečja v obdobju 1981–2010. Črte prikazujejo glajeno mediano modelskih projekcij, zgornji in spodnji rob ovojníc največjo in najmanjšo vrednost modelskih projekcij.

Povprečna temperatura, jugozahodna regija



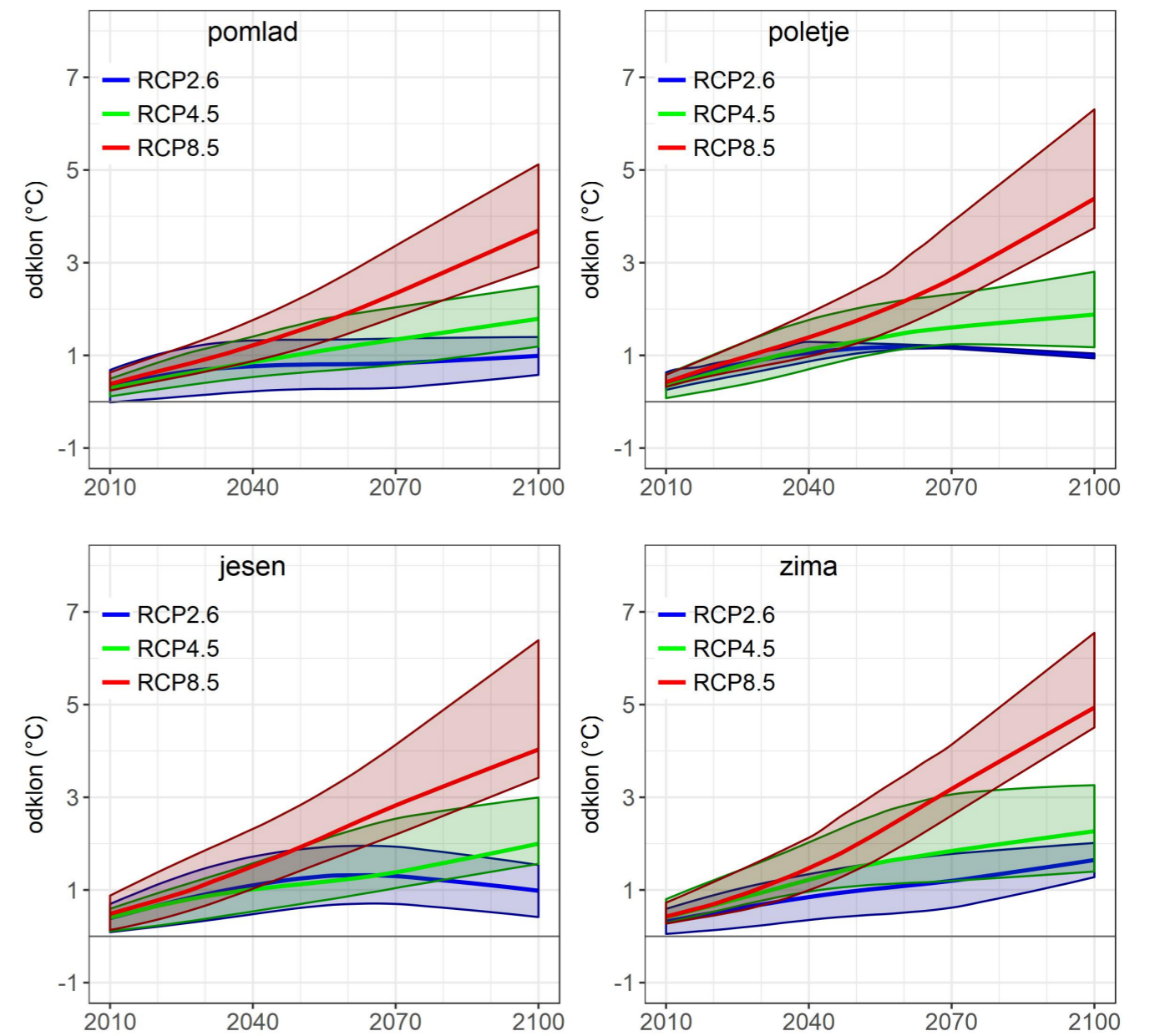
Slika 1.5 | Časovni potek spremembe povprečne temperature zraka po meteoroloških letnih časih do konca 21. stoletja v jugozahodni regiji za tri scenarije, vključno z razponi odstopanj. Prikazan je odklon od povprečja v obdobju 1981–2010. Črte prikazujejo glajeno mediano modelskih projekcij, zgornji in spodnji rob ovojníc največjo in najmanjšo vrednost modelskih projekcij.

Povprečna temperatura, visokogorje



Slika 1.6 | Časovni potek spremembe povprečne temperature zraka po meteoroloških letnih časih do konca 21. stoletja v regiji visokogorje za tri scenarije, vključno z razponi odstopanj. Prikazan je odklon od povprečja v obdobju 1981–2010. Črte prikazujejo glajeno mediano modelskih projekcij, zgornji in spodnji rob ovojníc največjo in najmanjšo vrednost modelskih projekcij.

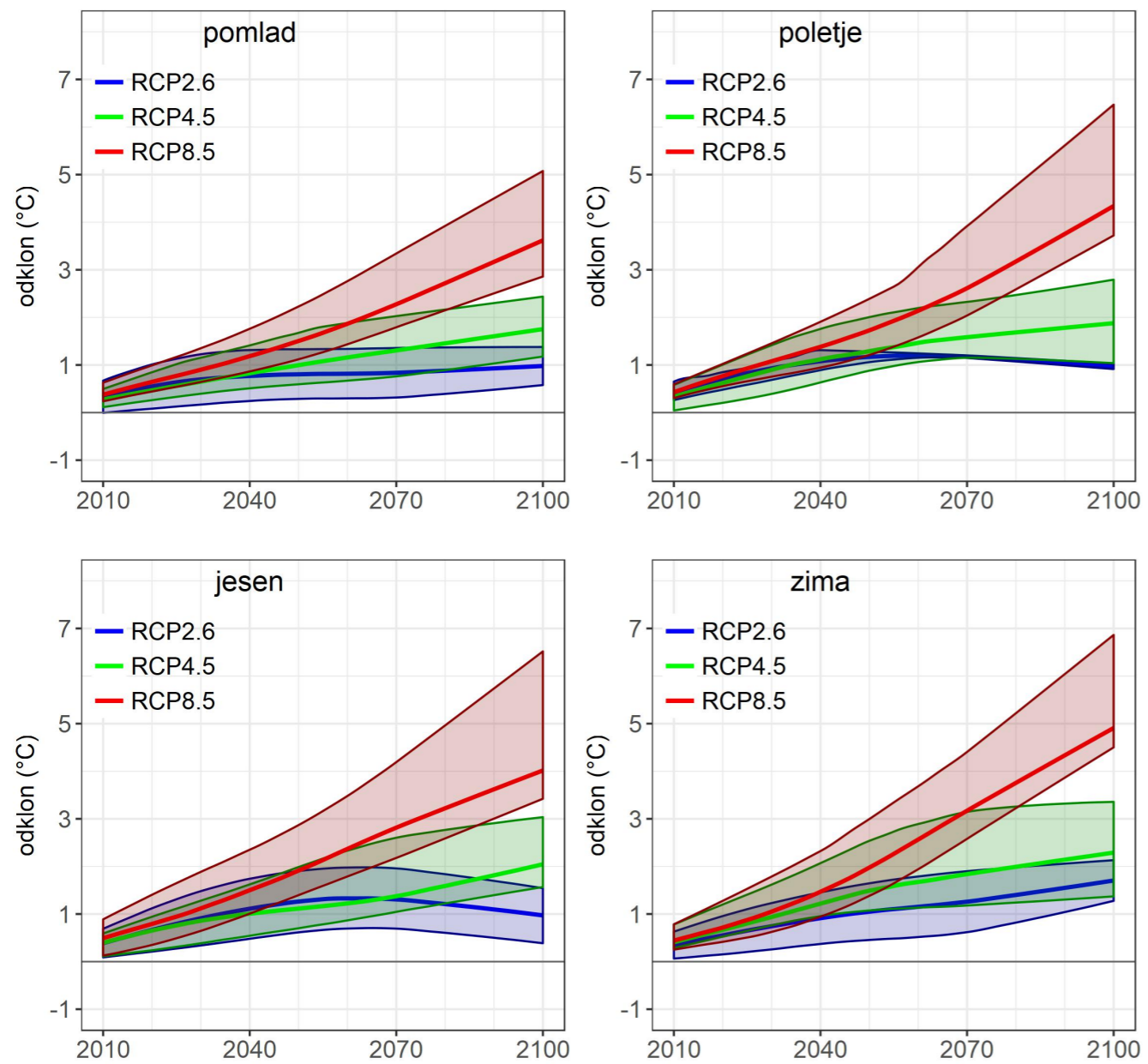
Povprečna temperatura, prehodna regija



Slika 1.7 | Časovni potek spremembe povprečne temperature zraka po meteoroloških letnih časih do konca 21. stoletja v prehodni regiji za tri scenarije, vključno z razponi odstopanj. Prikazan je odklon od povprečja v obdobju 1981–2010. Črte prikazujejo glajeno mediano modelskih projekcij, zgornji in spodnji rob ovojníc največjo in najmanjšo vrednost modelskih projekcij.

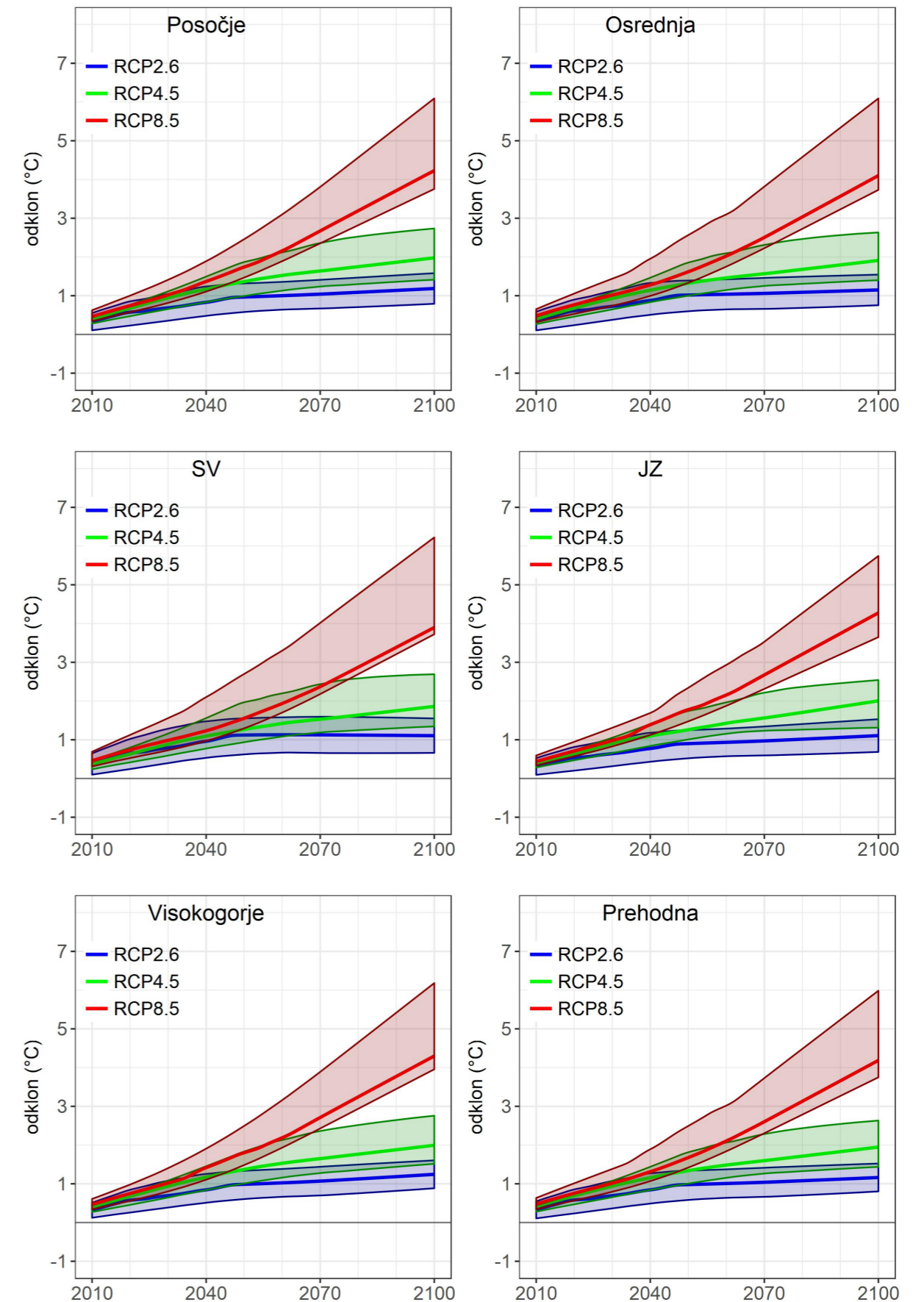
Povprečna dnevna najvišja temperatura

Povprečna temperatura, Slovenija



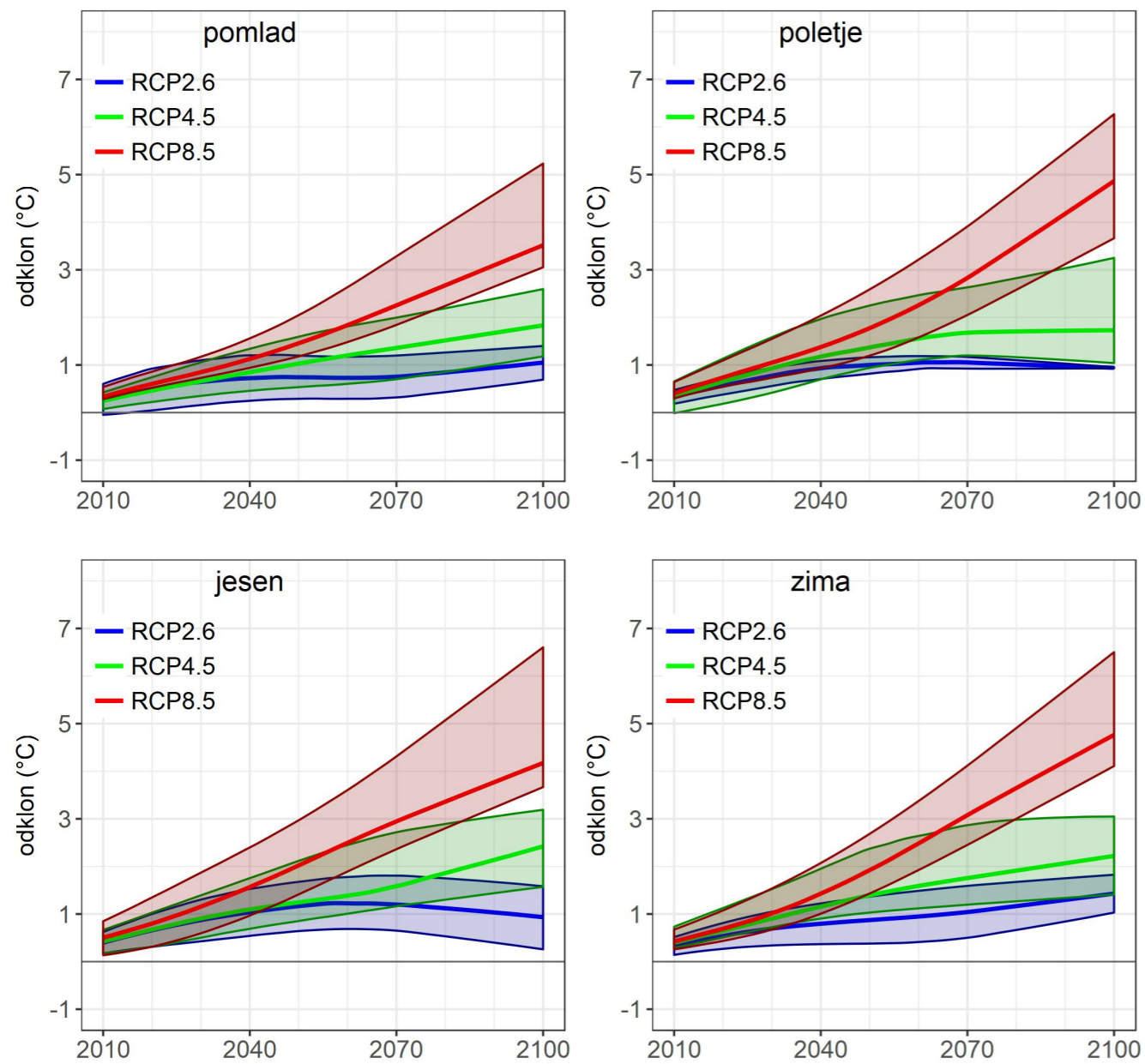
Slika 1.8 | Časovni potek spremembe povprečne temperature zraka po meteoroloških letnih časih do konca 21. stoletja v Sloveniji za tri scenarije, vključno z razponi odstopanj. Prikazan je odklon od povprečja v obdobju 1981–2010. Črte prikazujejo glajeno mediano modelskih projekcij, zgornji in spodnji rob ovojníc največjo in najmanjšo vrednost modelskih projekcij.

Povprečna dnevna najvišja temperatura



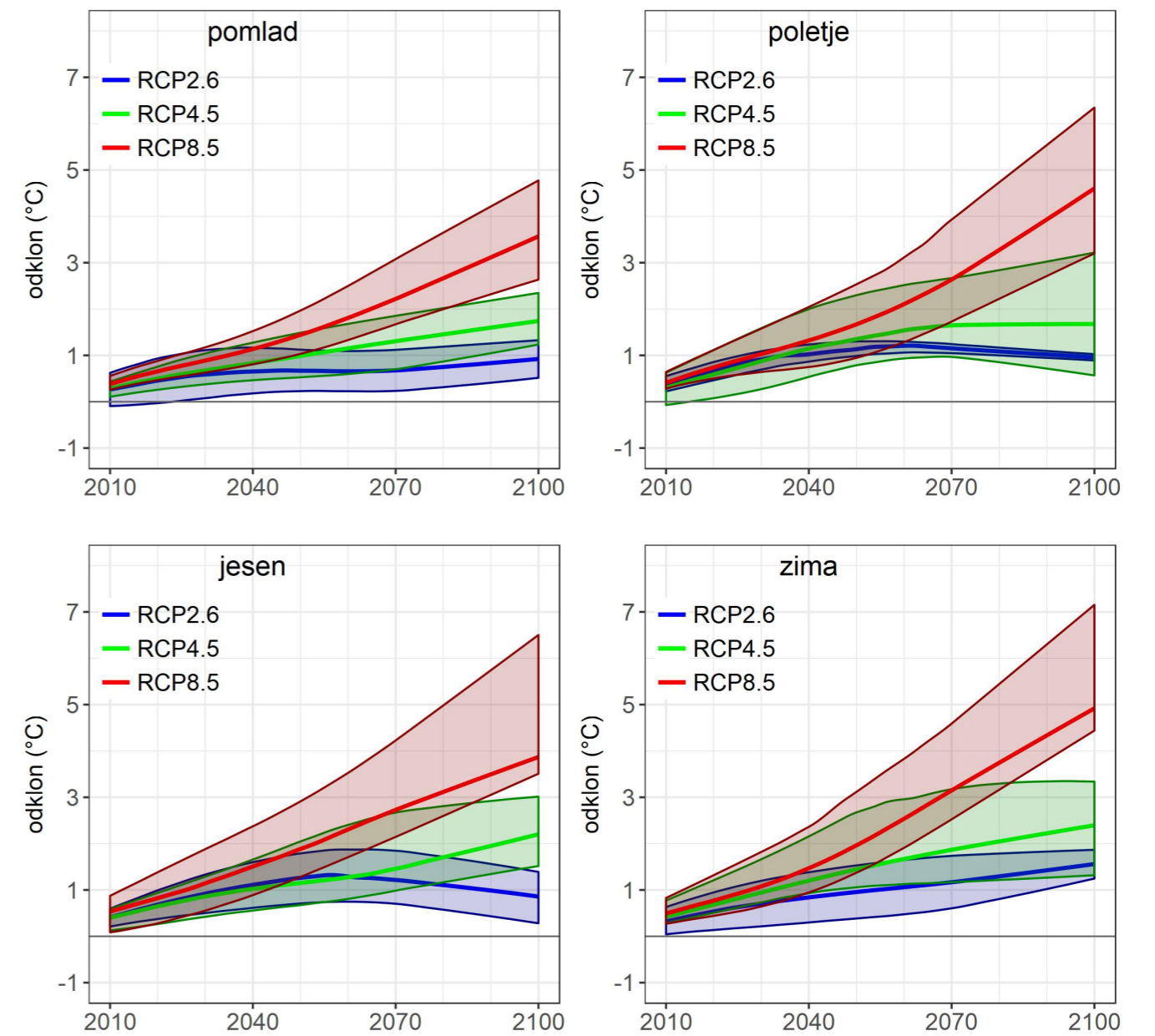
Slika 1.9 | Časovni potek spremembe letnega povprečja dnevne najvišje temperature zraka do konca 21. stoletja v regijah Slovenije za tri scenarije, vključno z razponi odstopanj. Prikazan je odklon od povprečja v obdobju 1981–2010. Črte prikazujejo glajeno mediano modelskih projekcij, zgornji in spodnji rob ovojníc največjo in najmanjšo vrednost modelskih projekcij.

Povprečna dnevna najvišja temperatura, Posočje



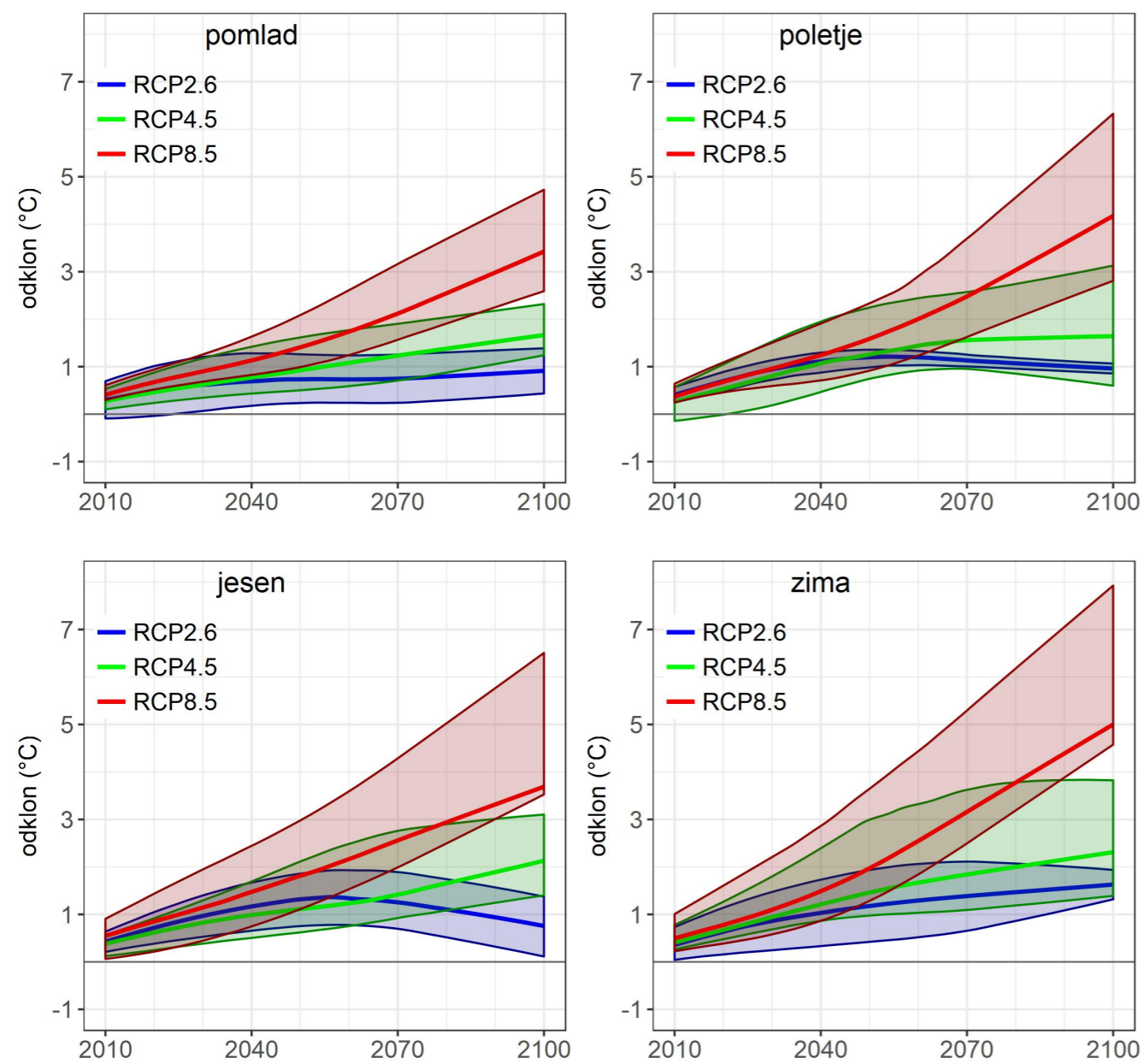
Slika 1.10 | Časovni potek spremembe povprečne dnevne najvišje temperature zraka po meteoroloških letnih časih do konca 21. stoletja v regiji Posočje za tri scenarije, vključno z razponi odstopanj. Prikazan je odklon od povprečja v obdobju 1981–2010. Črte prikazujejo glajeno mediano modelskih projekcij, zgornji in spodnji rob ovojníc največjo in najmanjšo vrednost modelskih projekcij.

Povprečna dnevna najvišja temperatura, osrednja regija



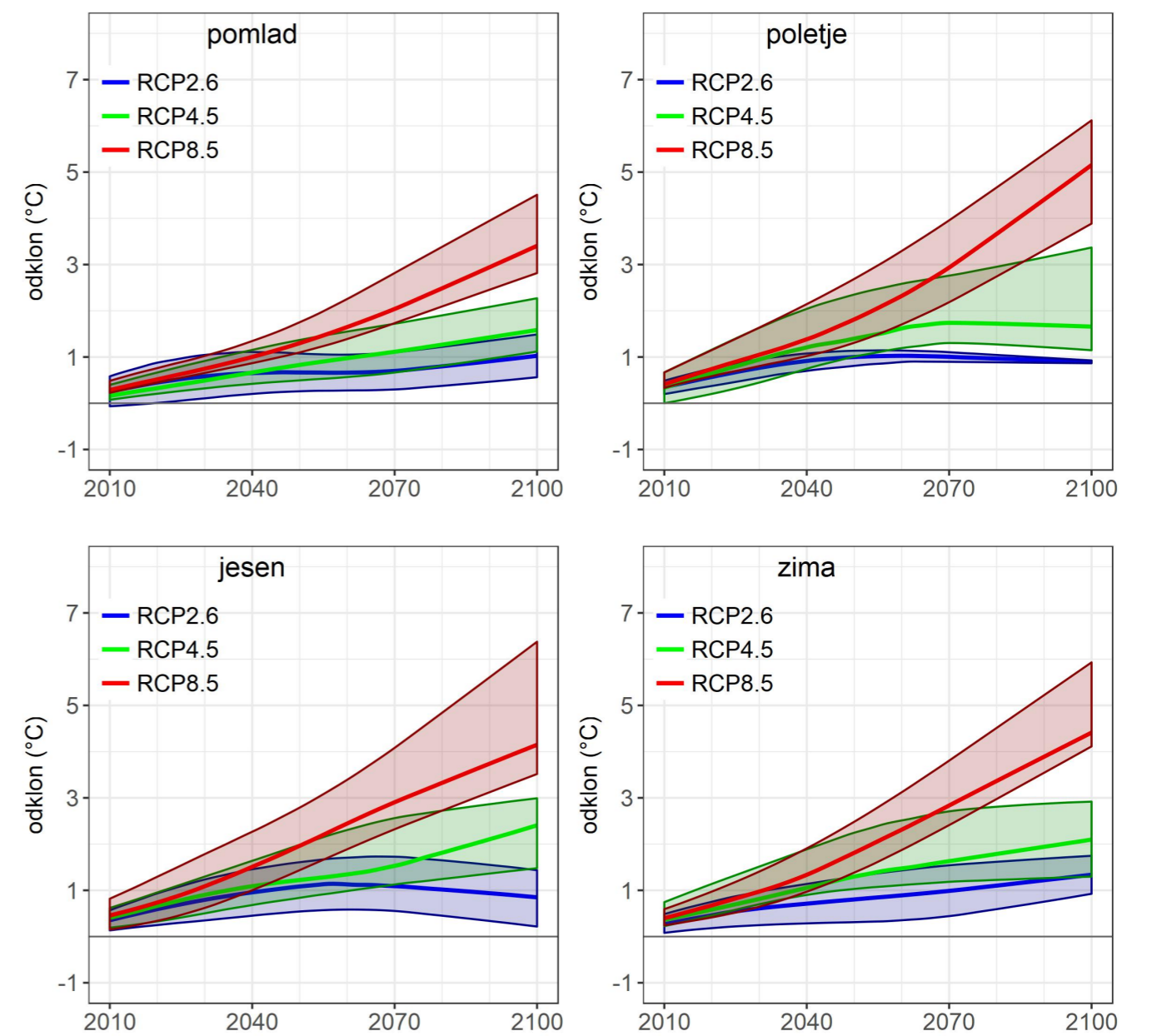
Slika 1.11 | Časovni potek spremembe povprečne dnevne najvišje temperature zraka po meteoroloških letnih časih do konca 21. stoletja v osrednji regiji za tri scenarije, vključno z razponi odstopanj. Prikazan je odklon od povprečja v obdobju 1981–2010. Črte prikazujejo glajeno mediano modelskih projekcij, zgornji in spodnji rob ovojníc največjo in najmanjšo vrednost modelskih projekcij.

Povprečna dnevna najvišja temperatura, severovzhodna regija



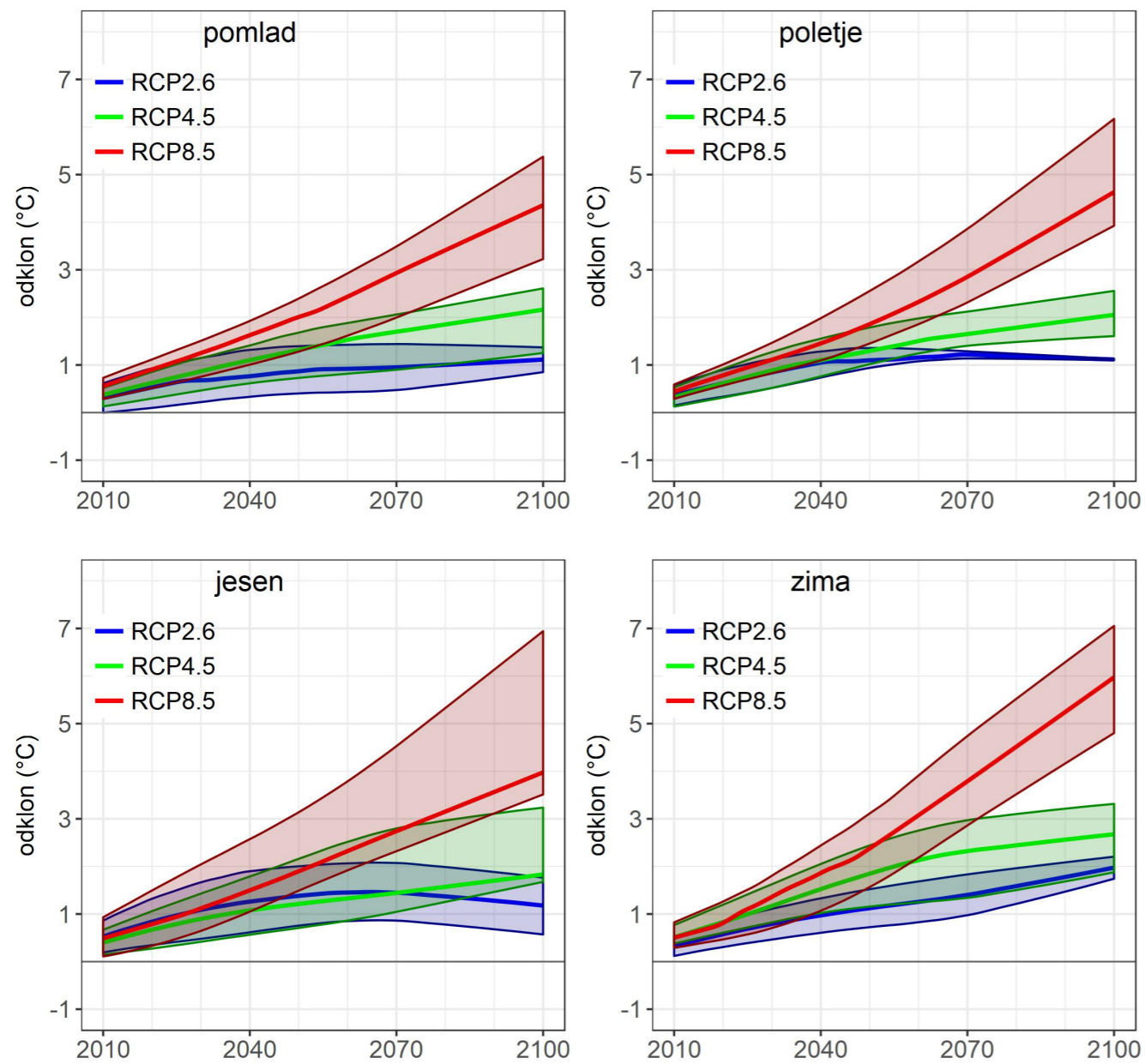
Slika 1.12 | Časovni potek spremembe povprečne dnevne najvišje temperature zraka po meteoroloških letnih časih do konca 21. stoletja v severovzhodni regiji za tri scenarije, vključno z razponi odstopanj. Prikazan je odklon od povprečja v obdobju 1981–2010. Črte prikazujejo glajeno mediano modelskih projekcij, zgornji in spodnji rob ovojníc največjo in najmanjšo vrednost modelskih projekcij.

Povprečna dnevna najvišja temperatura, jugozahodna regija



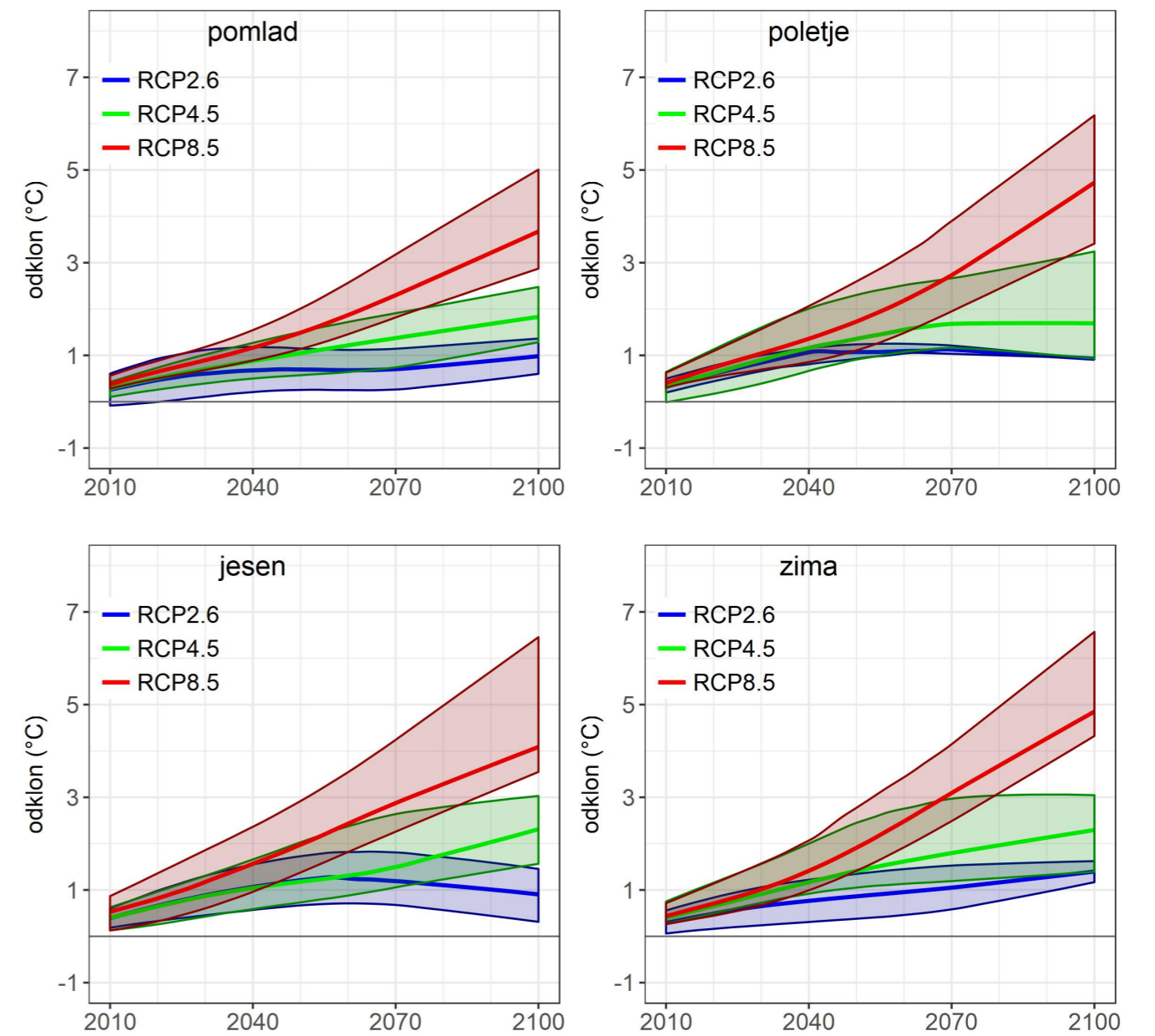
Slika 1.13 | Časovni potek spremembe povprečne dnevne najvišje temperature zraka po meteoroloških letnih časih do konca 21. stoletja v jugozahodni regiji za tri scenarije, vključno z razponi odstopanj. Prikazan je odklon od povprečja v obdobju 1981–2010. Črte prikazujejo glajeno mediano modelskih projekcij, zgornji in spodnji rob ovojníc največjo in najmanjšo vrednost modelskih projekcij.

Povprečna dnevna najvišja temperatura, visokogorje



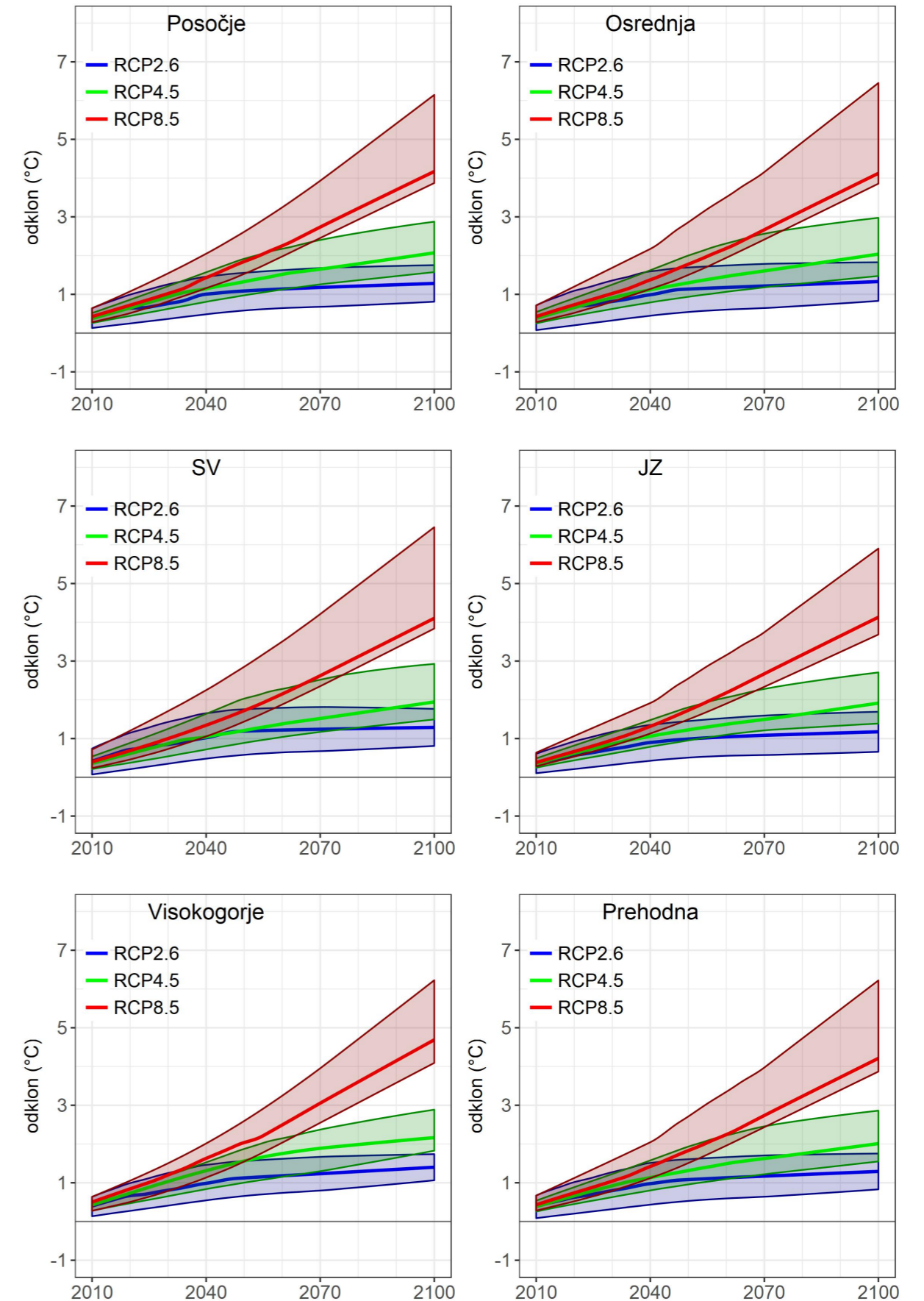
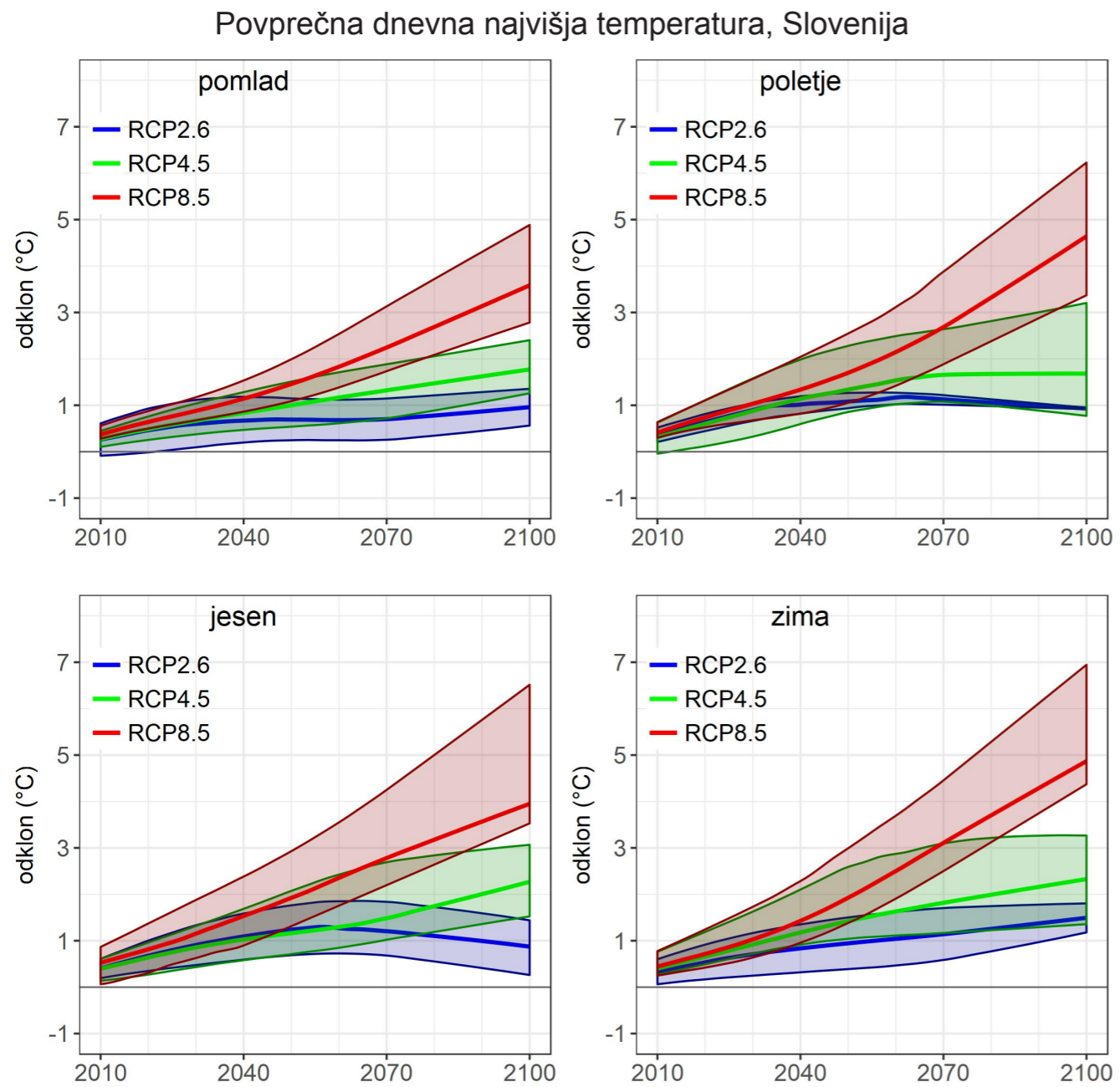
Slika 1.14 | Časovni potek spremembe povprečne dnevne najvišje temperature zraka po meteoroloških letnih časih do konca 21. stoletja v regiji visokogorje za tri scenarije, vključno z razponi odstopanj. Prikazan je odklon od povprečja v obdobju 1981–2010. Črte prikazujejo glajeno mediano modelskih projekcij, zgornji in spodnji rob ovojníc največjo in najmanjšo vrednost modelskih projekcij.

Povprečna dnevna najvišja temperatura, prehodna regija



Slika 1.15 | Časovni potek spremembe povprečne dnevne najvišje temperature zraka po meteoroloških letnih časih do konca 21. stoletja v prehodni regiji za tri scenarije, vključno z razponi odstopanj. Prikazan je odklon od povprečja v obdobju 1981–2010. Črte prikazujejo glajeno mediano modelskih projekcij, zgornji in spodnji rob ovojníc največjo in najmanjšo vrednost modelskih projekcij.

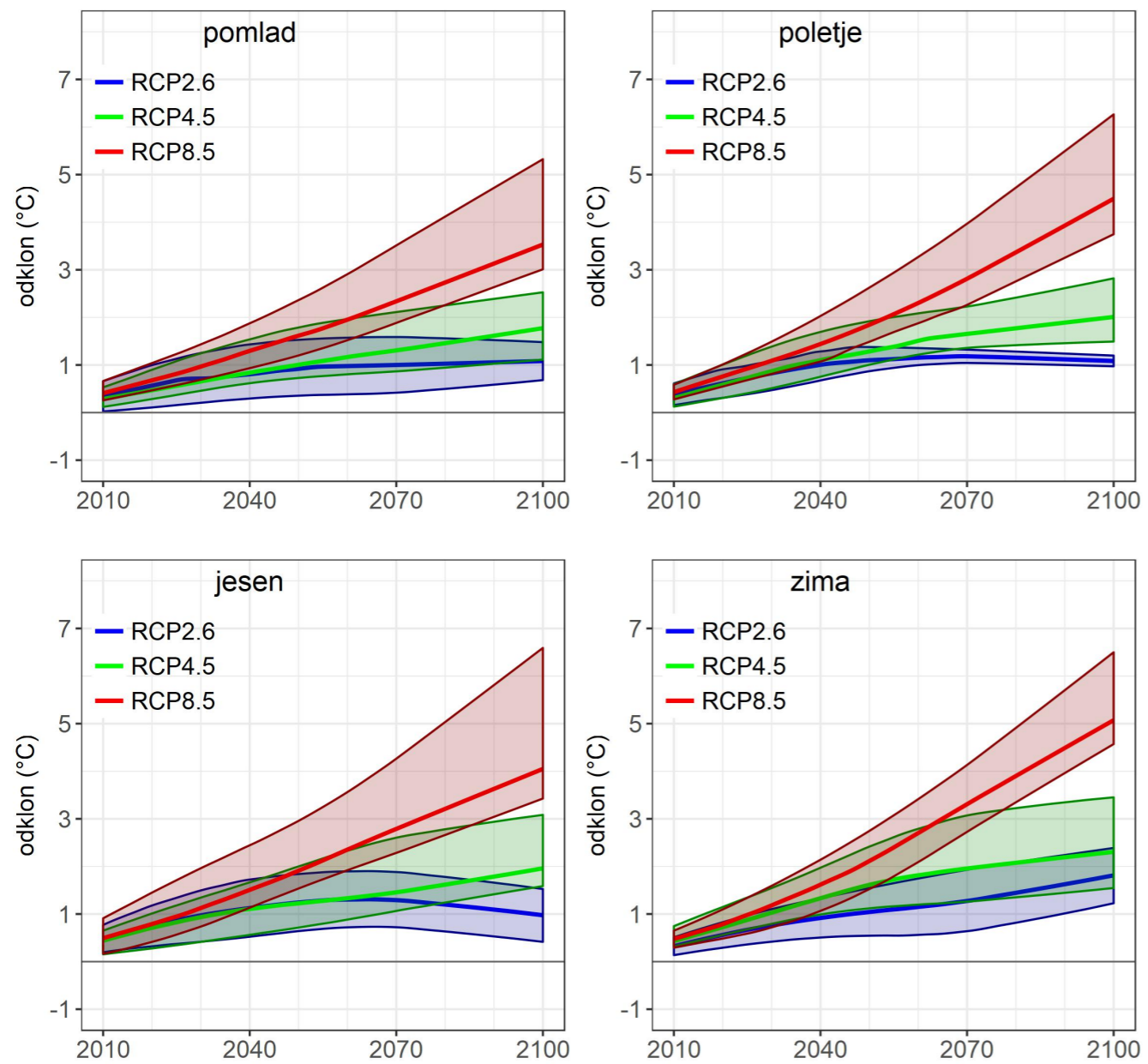
Povprečna dnevna najnižja temperatura



Slika 1.16 | Časovni potek spremembe povprečne dnevne najvišje temperature zraka po meteoroloških letnih časih do konca 21. stoletja v Sloveniji za tri scenarije, vključno z razponi odstopanj. Prikazan je odklon od povprečja v obdobju 1981–2010. Črte prikazujejo glajeno mediano modelskih projekcij, zgornji in spodnji rob ovojníc največjo in najmanjšo vrednost modelskih projekcij.

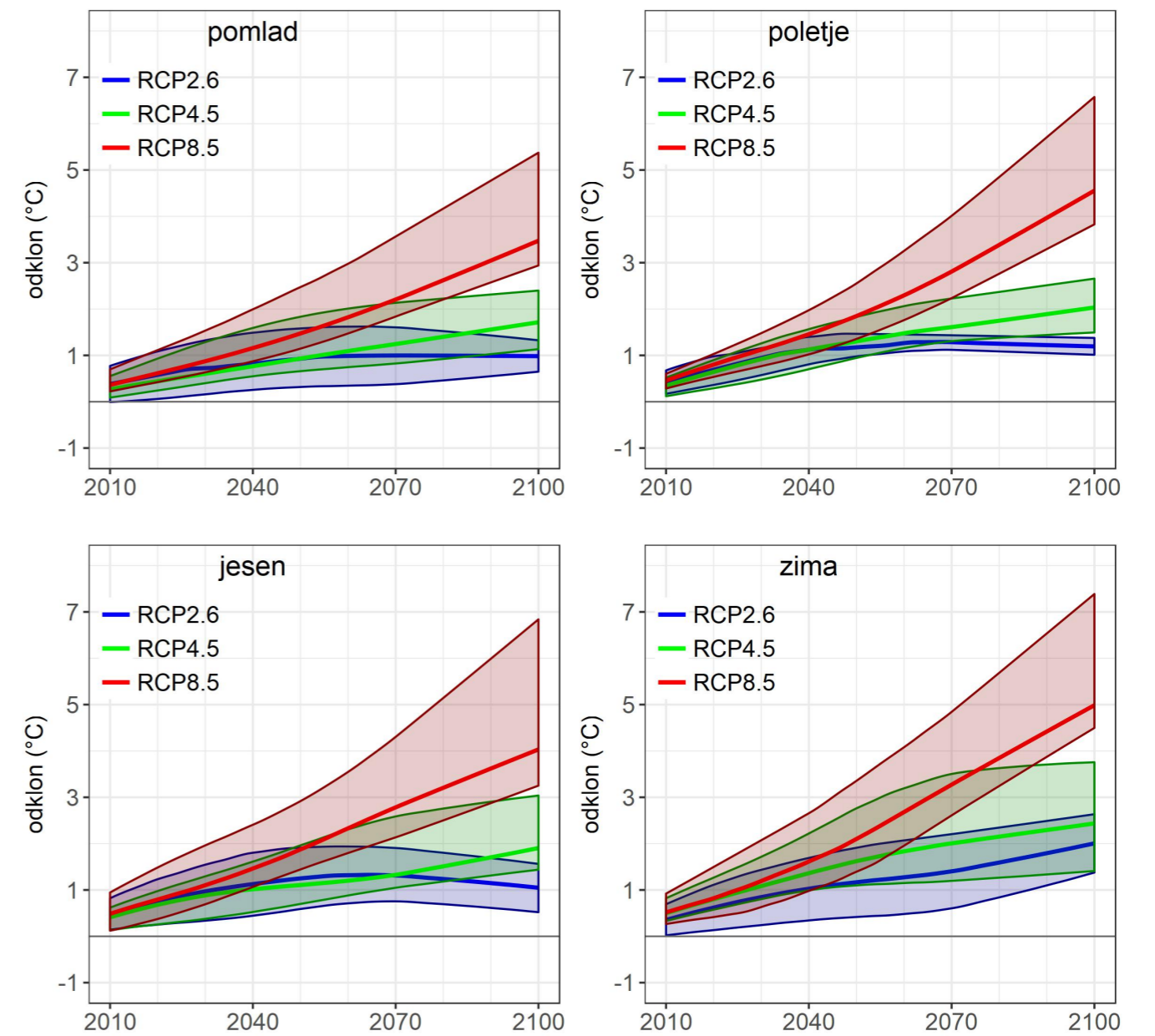
Slika 1.17 | Časovni potek spremembe letnega povprečja dnevne najnižje temperature zraka do konca 21. stoletja v regijah Slovenije za tri scenarije, vključno z razponi odstopanj. Prikazan je odklon od povprečja v obdobju 1981–2010. Črte prikazujejo glajeno mediano modelskih projekcij, zgornji in spodnji rob ovojníc največjo in najmanjšo vrednost modelskih projekcij.

Povprečna dnevna najnižja temperatura, Posočje



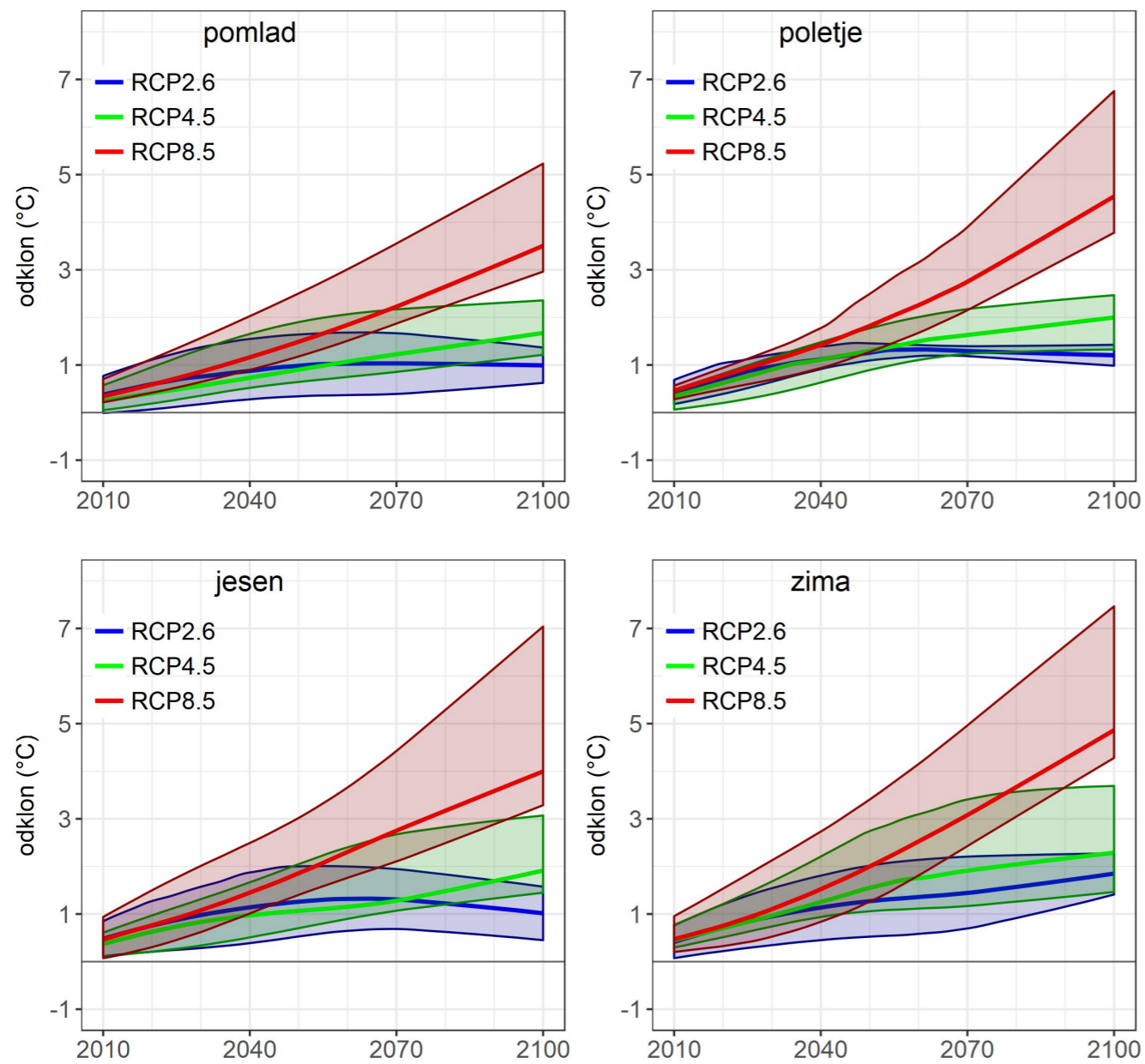
Slika 1.18 | Časovni potek spremembe povprečne dnevne najnižje temperature zraka po meteoroloških letnih časih do konca 21. stoletja v regiji Posočje za tri scenarije, vključno z razponi odstopanj. Prikazan je odklon od povprečja v obdobju 1981–2010. Črte prikazujejo glajeno mediano modelskih projekcij, zgornji in spodnji rob ovojníc največjo in najmanjšo vrednost modelskih projekcij.

Povprečna dnevna najnižja temperatura, osrednja regija



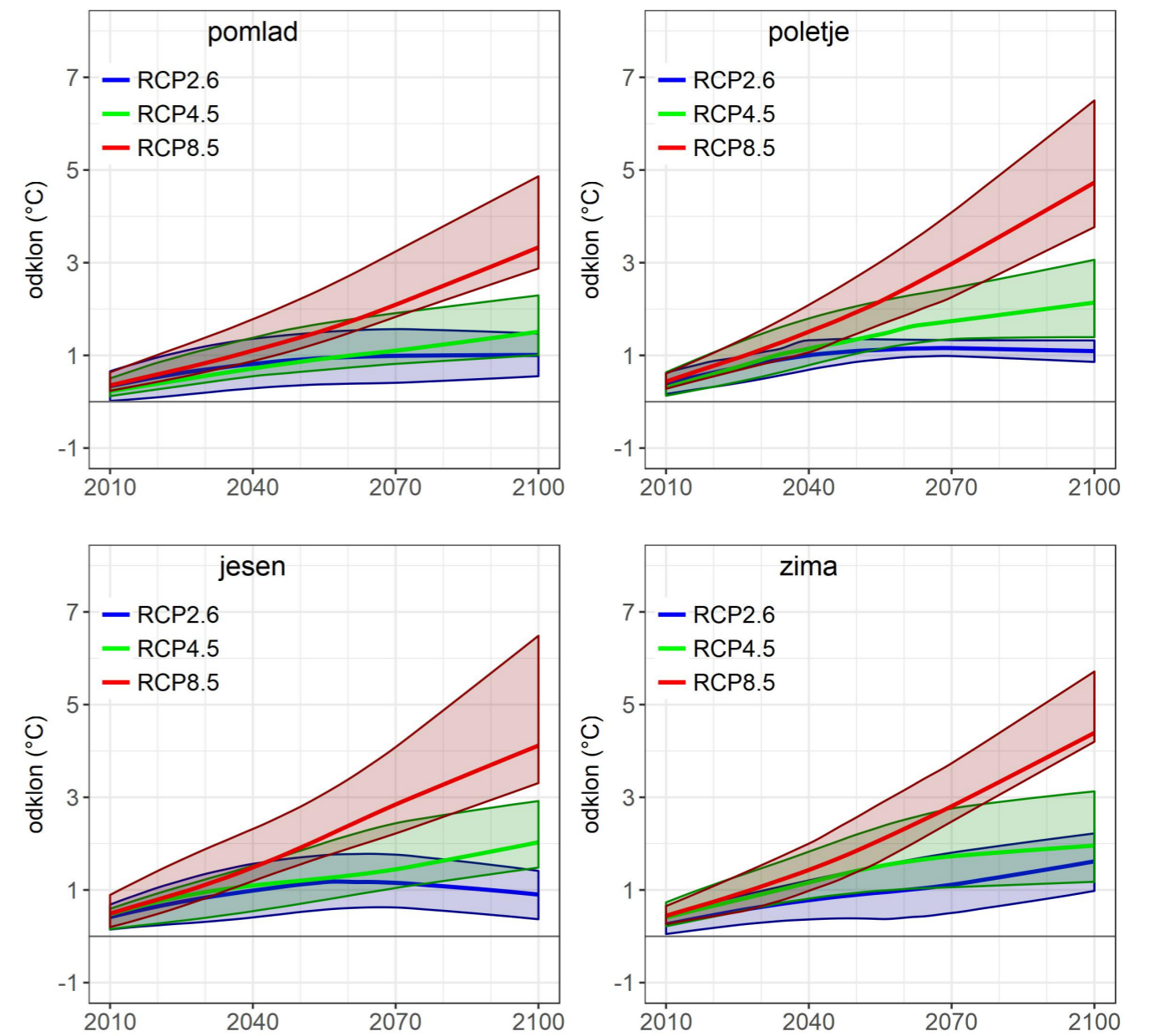
Slika 1.19 | Časovni potek spremembe povprečne dnevne najnižje temperature zraka po meteoroloških letnih časih do konca 21. stoletja v osrednji regiji za tri scenarije, vključno z razponi odstopanj. Prikazan je odklon od povprečja v obdobju 1981–2010. Črte prikazujejo glajeno mediano modelskih projekcij, zgornji in spodnji rob ovojníc največjo in najmanjšo vrednost modelskih projekcij.

Povprečna dnevna najnižja temperatura, severovzhodna regija



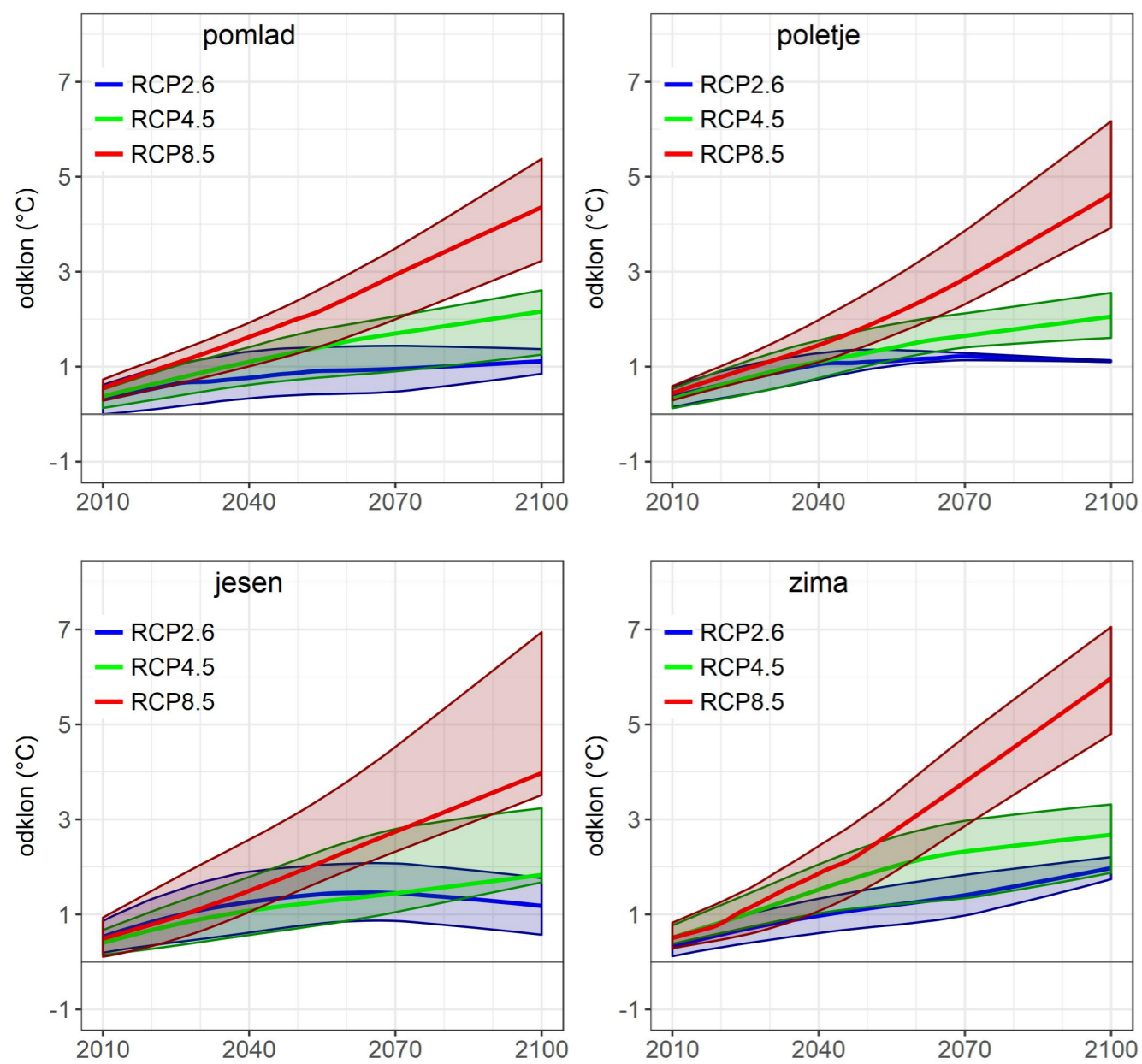
Slika 1.20 | Časovni potek spremembe povprečne dnevne najnižje temperature zraka po meteoroloških letnih časih do konca 21. stoletja v severovzhodni regiji za tri scenarije, vključno z razponi odstopanj. Prikazan je odklon od povprečja v obdobju 1981–2010. Črte prikazujejo glajeno mediano modelskih projekcij, zgornji in spodnji rob ovojnic največjo in najmanjšo vrednost modelskih projekcij.

Povprečna dnevna najnižja temperatura, jugozahodna regija



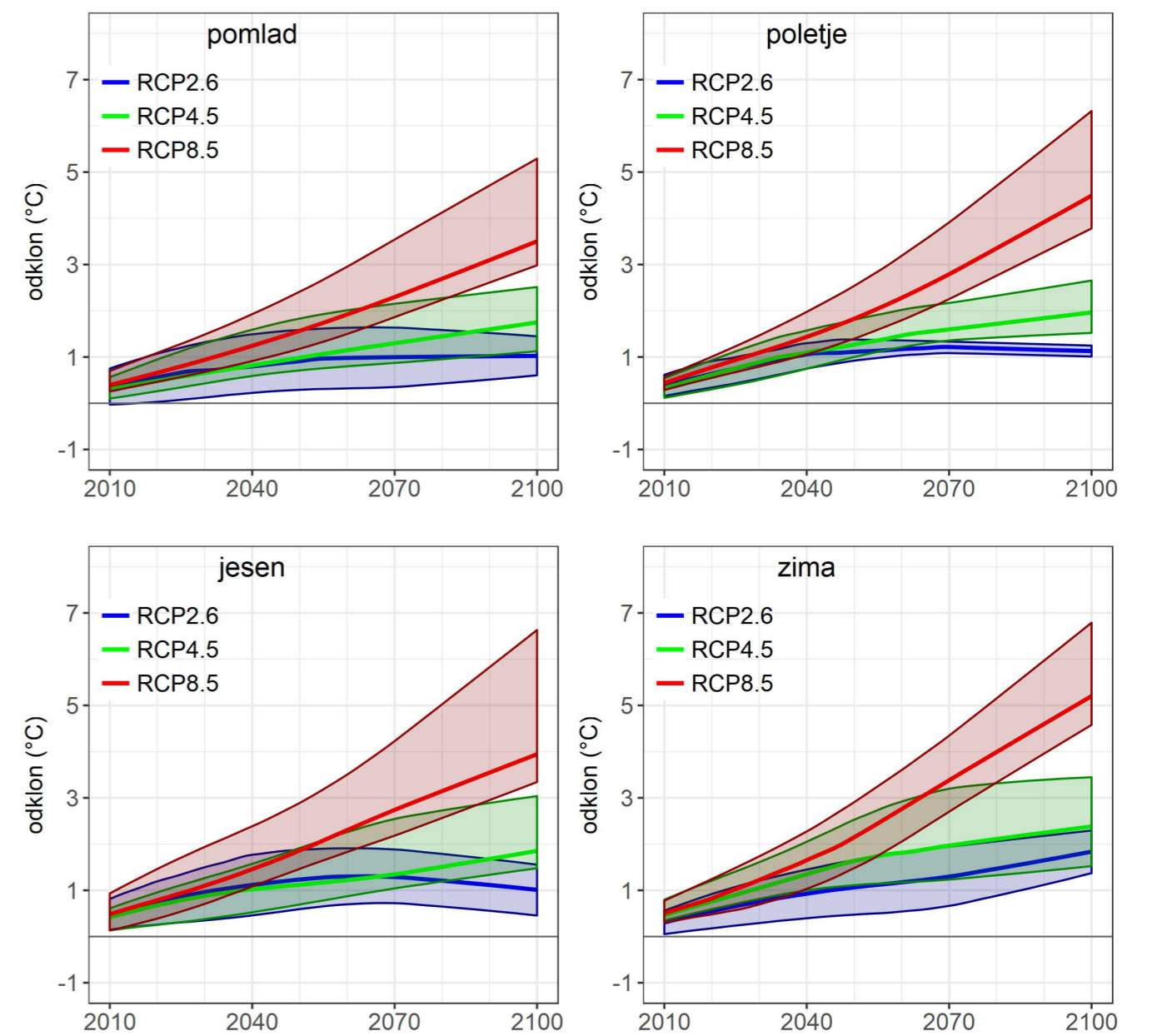
Slika 1.21 | Časovni potek spremembe povprečne dnevne najnižje temperature zraka po meteoroloških letnih časih do konca 21. stoletja v jugozahodni regiji za tri scenarije, vključno z razponi odstopanj. Prikazan je odklon od povprečja v obdobju 1981–2010. Črte prikazujejo glajeno mediano modelskih projekcij, zgornji in spodnji rob ovojnic največjo in najmanjšo vrednost modelskih projekcij.

Povprečna dnevna najnižja temperatura, visokogorje



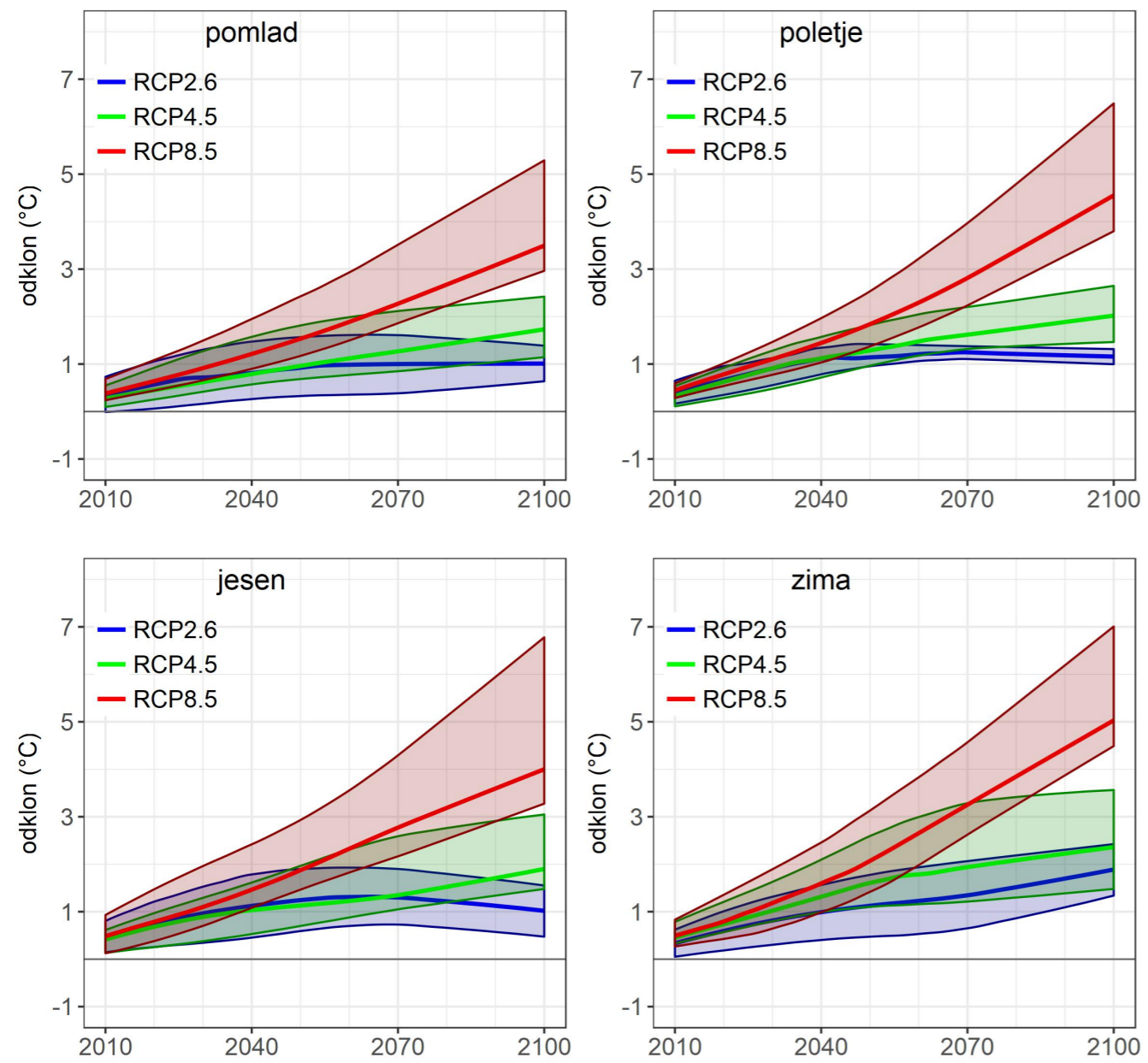
Slika 1.22 | Časovni potek spremembe povprečne dnevne najnižje temperature zraka po meteoroloških letnih časih do konca 21. stoletja v regiji visokogorje za tri scenarije, vključno z razponi odstopanj. Prikazan je odklon od povprečja v obdobju 1981–2010. Črte prikazujejo glajeno mediano modelskih projekcij, zgornji in spodnji rob ovojníc največjo in najmanjšo vrednost modelskih projekcij.

Povprečna dnevna najnižja temperatura, prehodna regija



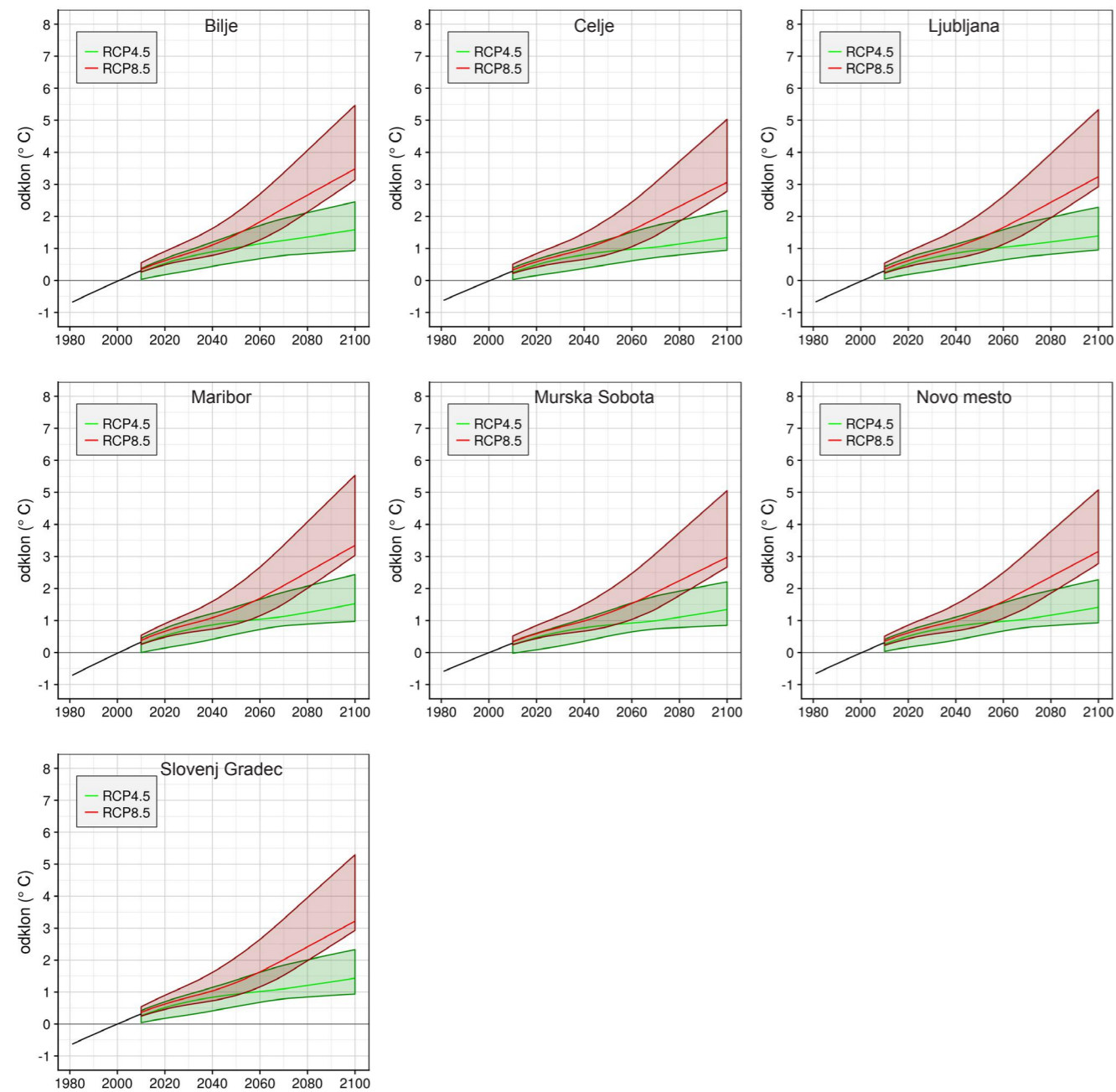
Slika 1.23 | Časovni potek spremembe povprečne dnevne najnižje temperature zraka po meteoroloških letnih časih do konca 21. stoletja v prehodni regiji za tri scenarije, vključno z razponi odstopanj. Prikazan je odklon od povprečja v obdobju 1981–2010. Črte prikazujejo glajeno mediano modelskih projekcij, zgornji in spodnji rob ovojníc največjo in najmanjšo vrednost modelskih projekcij.

Povprečna dnevna najnižja temperatura, Slovenija



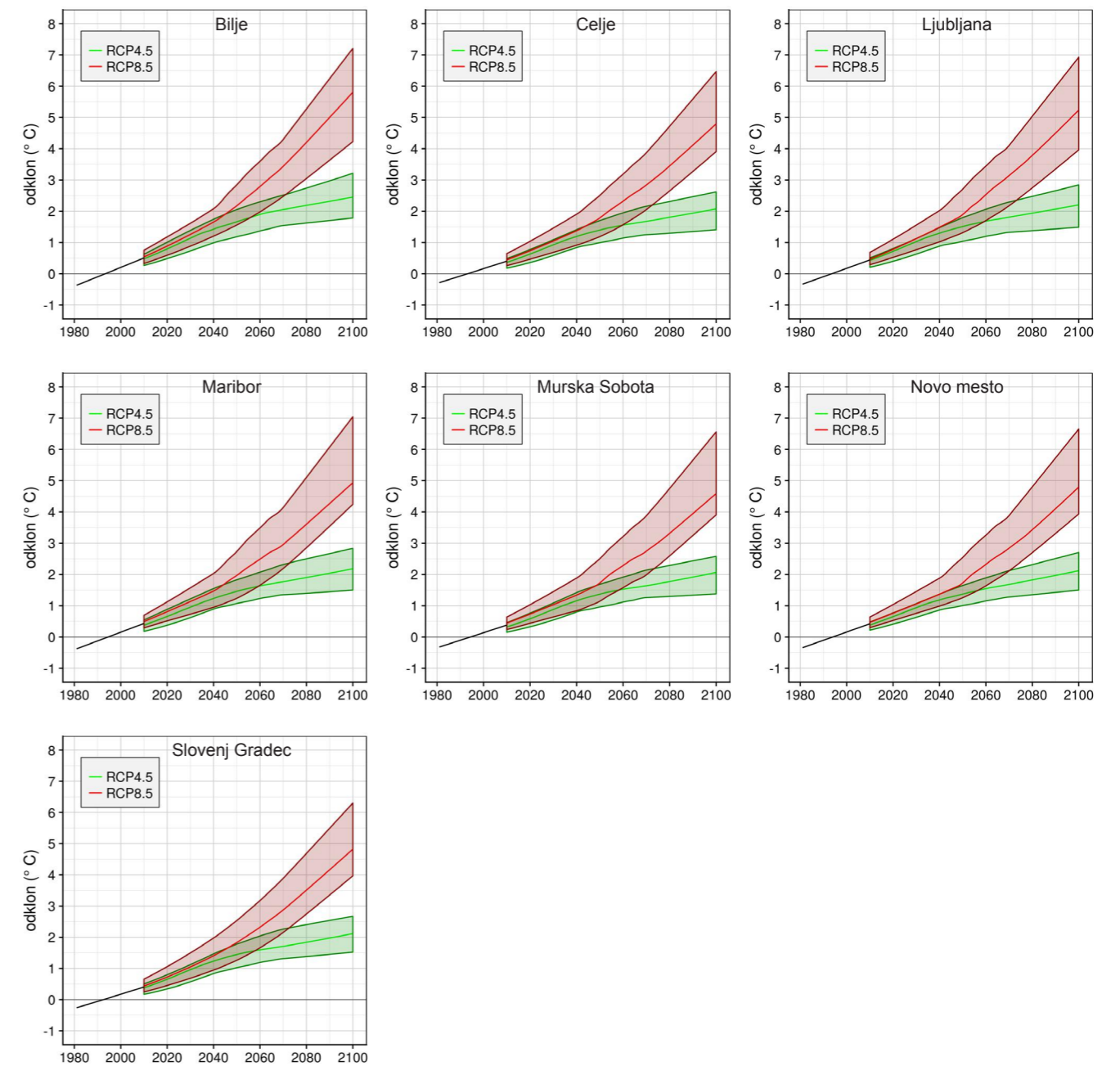
Slika 1.24 | Časovni potek spremembe povprečne dnevne najnižje temperature zraka po meteoroloških letnih časih do konca 21. stoletja v Sloveniji za tri scenarije, vključno z razponi odstopanj. Prikazan je odklon od povprečja v obdobju 1981–2010. Črte prikazujejo glajeno mediano modelskih projekcij, zgornji in spodnji rob ovojnice največjo in najmanjšo vrednost modelskih projekcij.

Povprečna temperatura tal na globini 5 cm (april–junij)



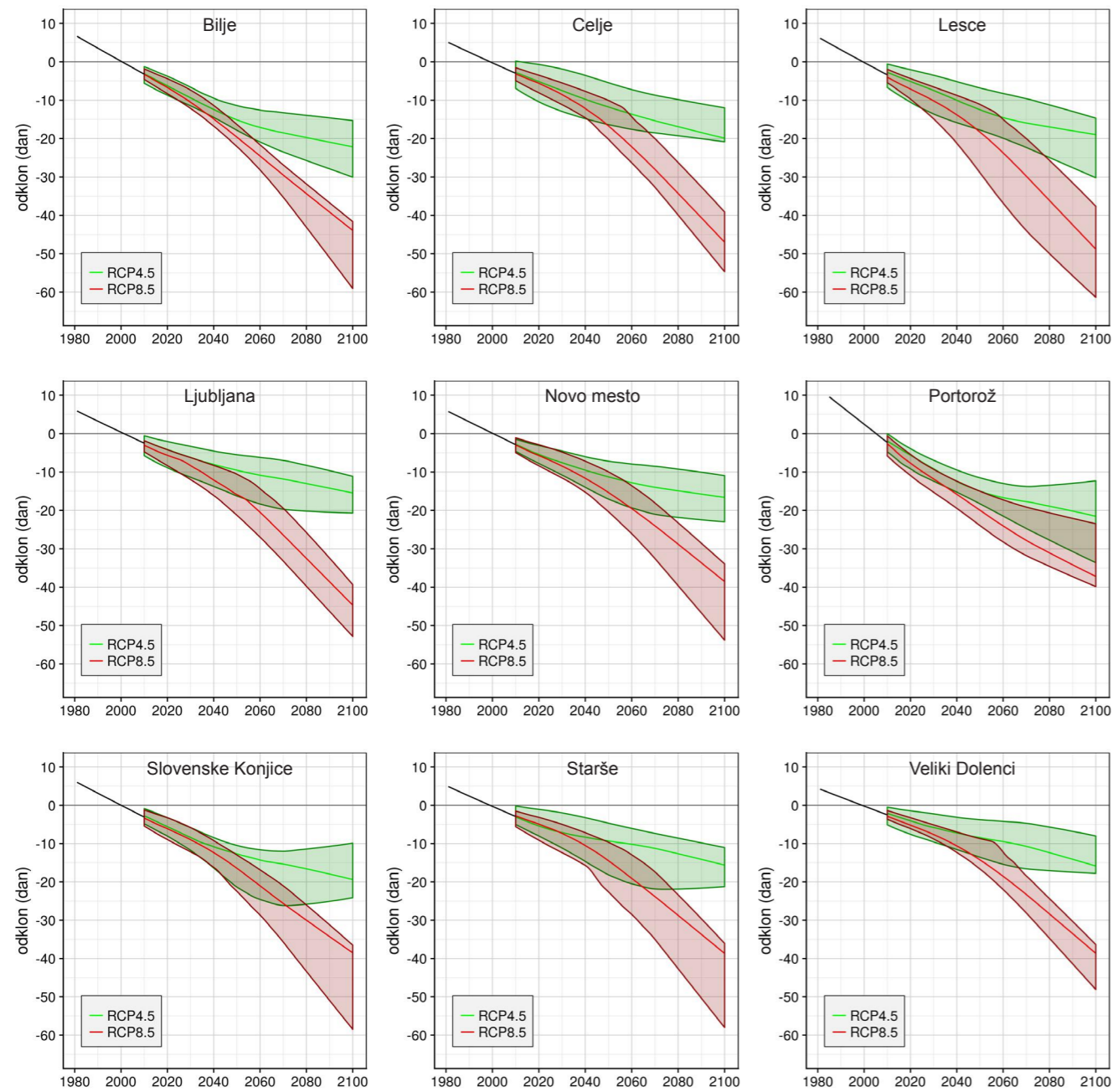
Slika 1.25 | Časovni potek spremembe povprečne temperature tal na globini 5 cm v prvem delu rastne dobe (april–junij) na sedmih postajah do konca 21. stoletja za dva scenarija, vključno z razponi odstopanj. Prikazan je odklon od povprečja v obdobju 1981–2010. Črte prikazujejo glajeno mediano modelskih projekcij, zgornji in spodnji rob ovojnici največjo in najmanjšo vrednost modelskih projekcij.

Povprečna temperatura tal na globini 5 cm (julij–september)



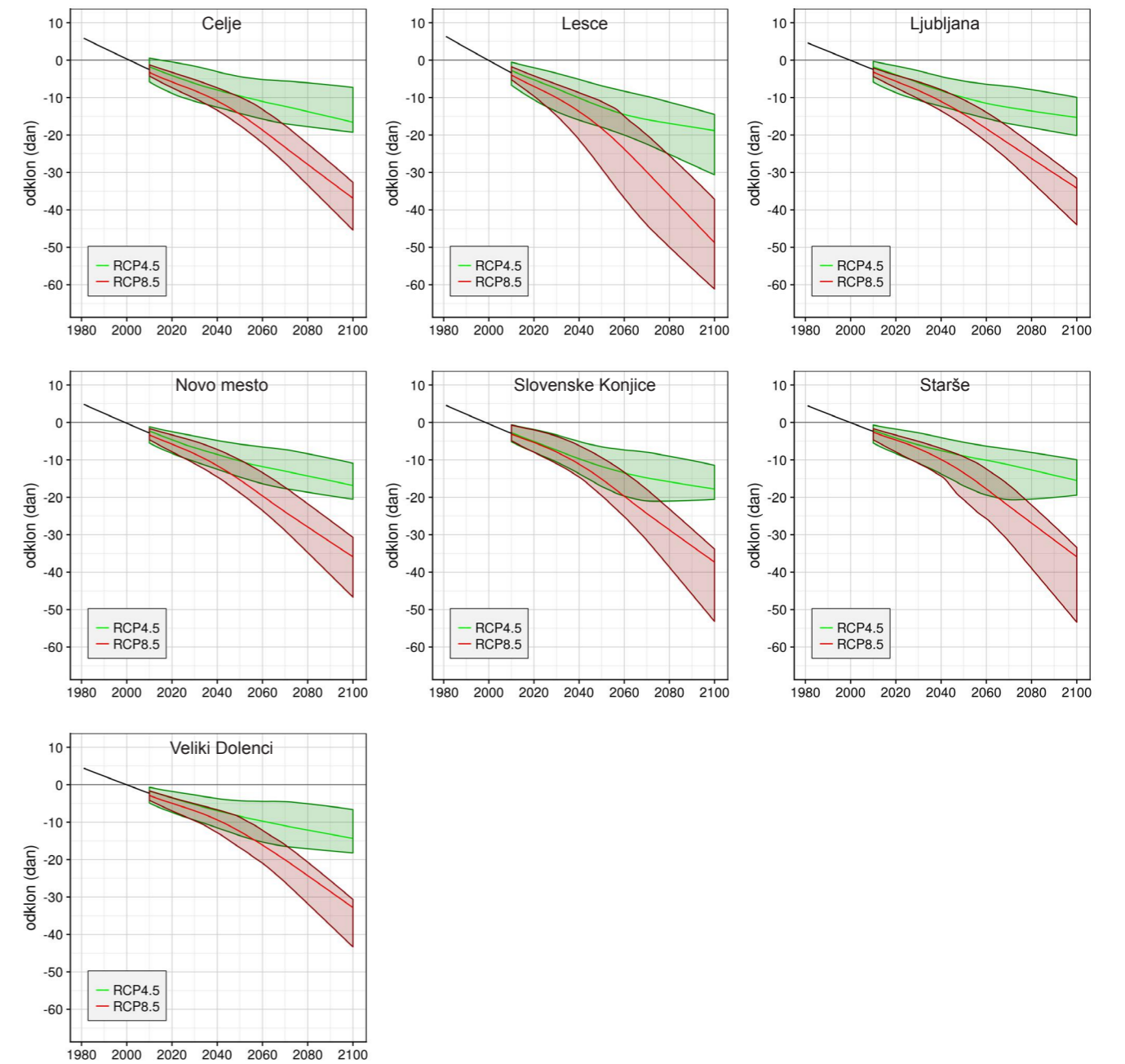
Slika 1.26 | Časovni potek spremembe povprečne temperature tal na globini 5 cm v drugem delu rastne dobe (julij–september) na sedmih postajah do konca 21. stoletja za dva scenarija, vključno z razponi odstopanj. Prikazan je odklon od povprečja v obdobju 1981–2010. Črte prikazujejo glajeno mediano modelskih projekcij, zgornji in spodnji rob ovojnici največjo in najmanjšo vrednost modelskih projekcij.

Olistanje divjega kostanja



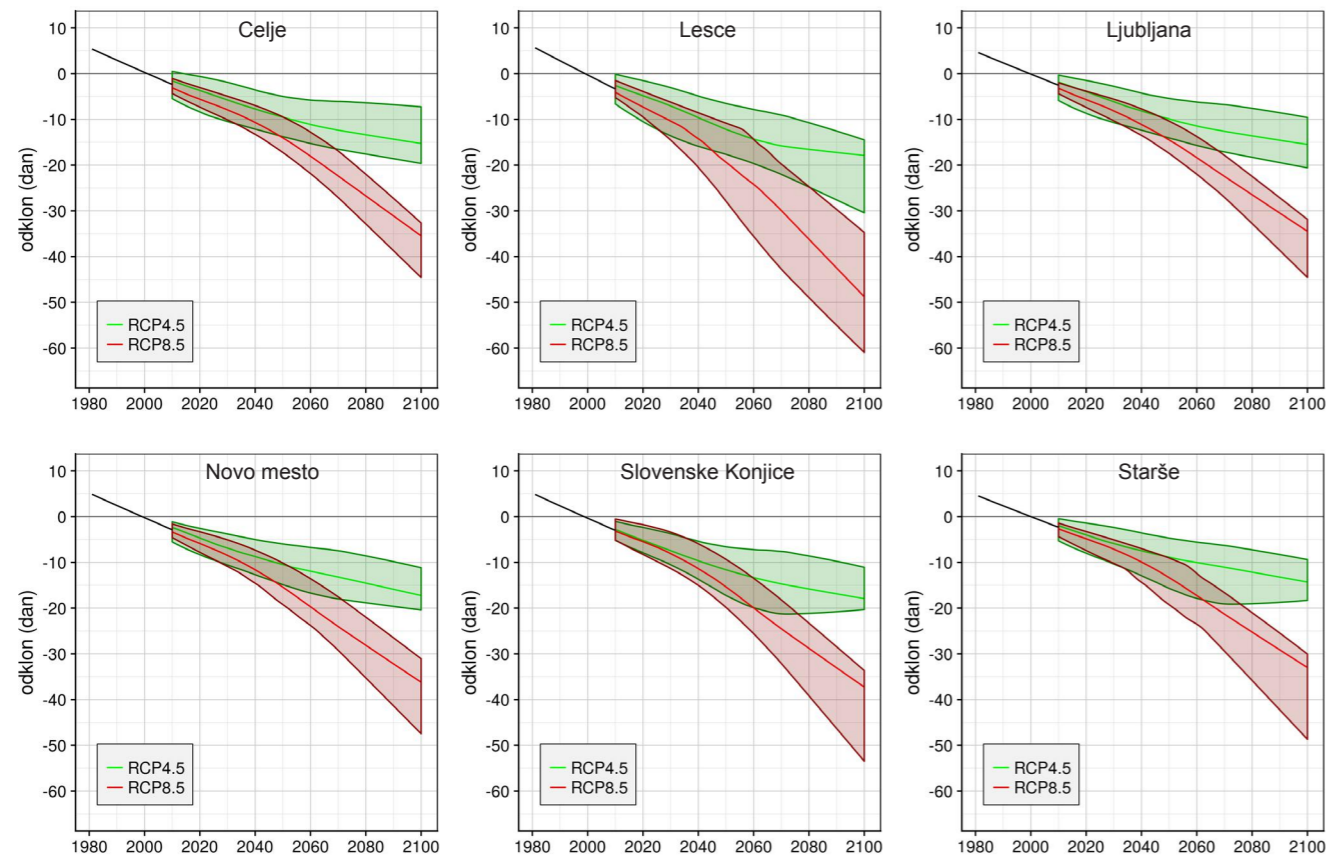
Slika 1.27 | Časovni potek spremembe dneva olistanja divjega kostanja na devetih postajah do konca 21. stoletja za dva scenarija, vključno z razponi odstopanj. Prikazan je odklon od povprečja v obdobju 1981–2010. Črte prikazujejo glajeno mediano modelskih projekcij, zgornji in spodnji rob ovojníc največjo in najmanjšo vrednost modelskih projekcij.

Olistanje bukve



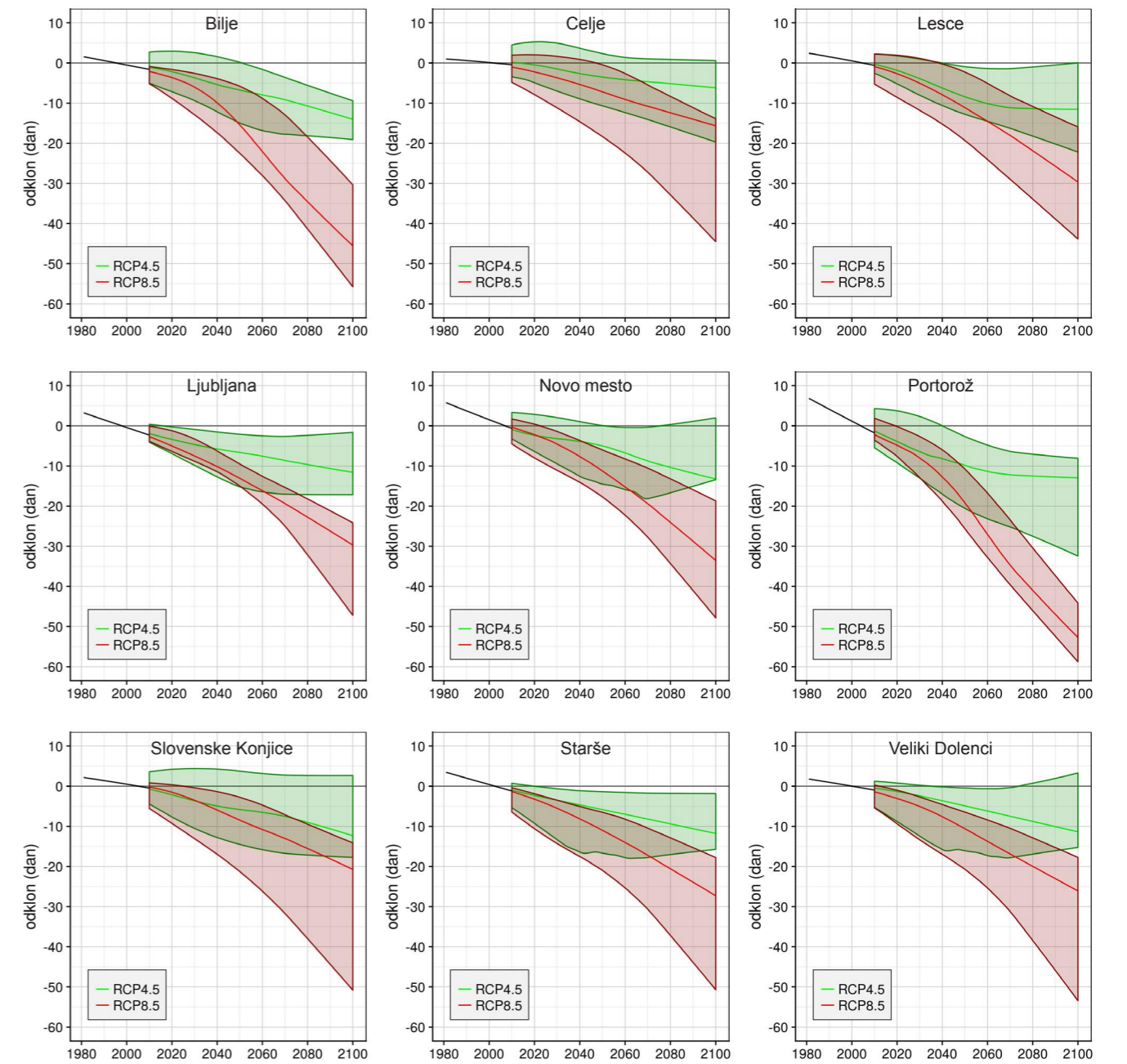
Slika 1.28 | Časovni potek spremembe dneva olistanja bukve na sedmih postajah do konca 21. stoletja za dva scenarija, vključno z razponi odstopanj. Prikazan je odklon od povprečja v obdobju 1981–2010. Črte prikazujejo glajeno mediano modelskih projekcij, zgornji in spodnji rob ovojníc največjo in najmanjšo vrednost modelskih projekcij.

Olistanje lipe



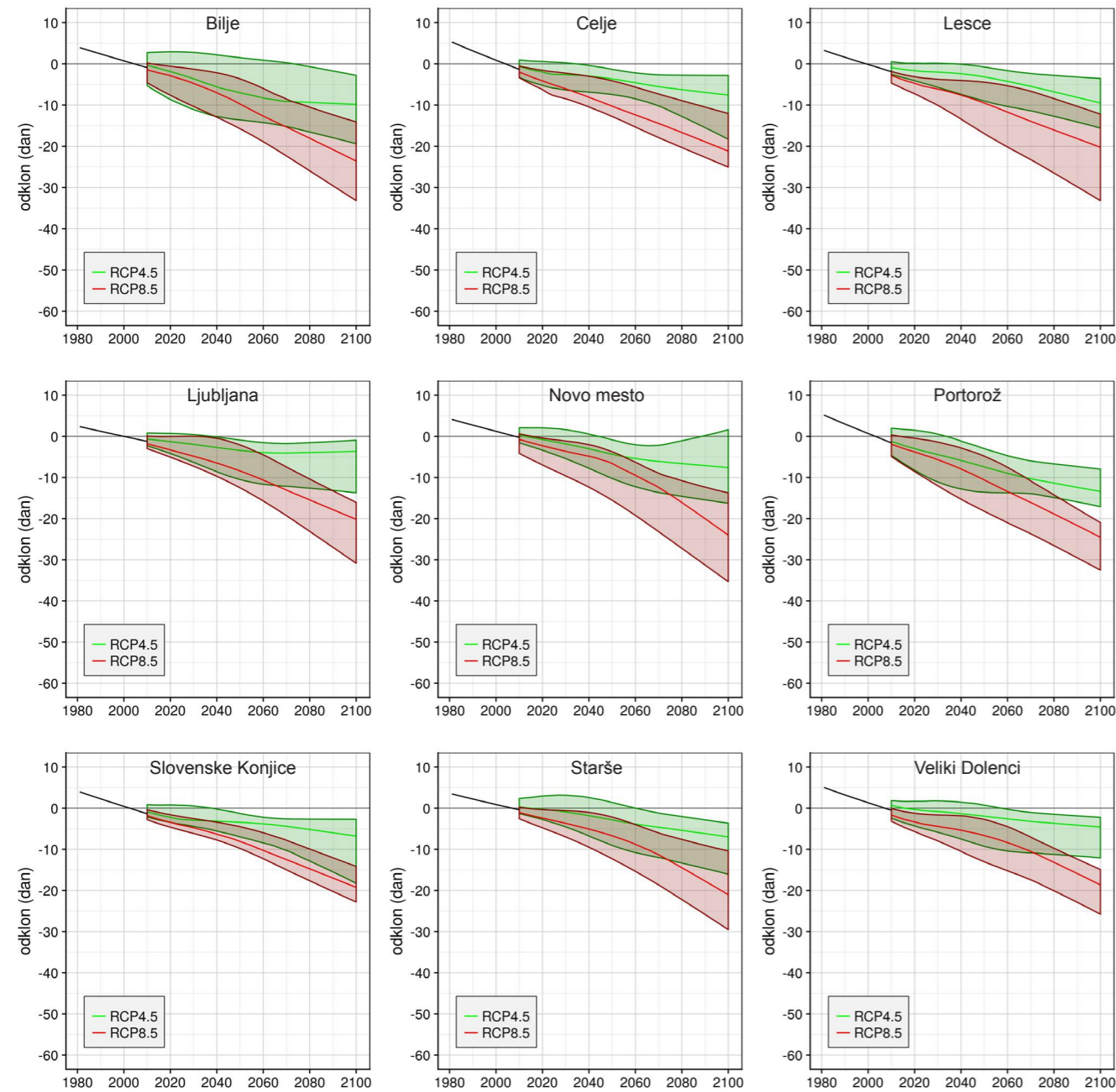
Slika 1.29 | Časovni potek spremembe dneva olistanja lipe na šestih postajah do konca 21. stoletja za dva scenarija, vključno z razponi odstopanj. Prikazan je odklon od povprečja v obdobju 1981–2010. Črte prikazujejo glajeno mediano modelskih projekcij, zgornji in spodnji rob ovojníc največjo in najmanjšo vrednost modelskih projekcij.

Začetek rastle dobe za temperaturni prag 5 °C



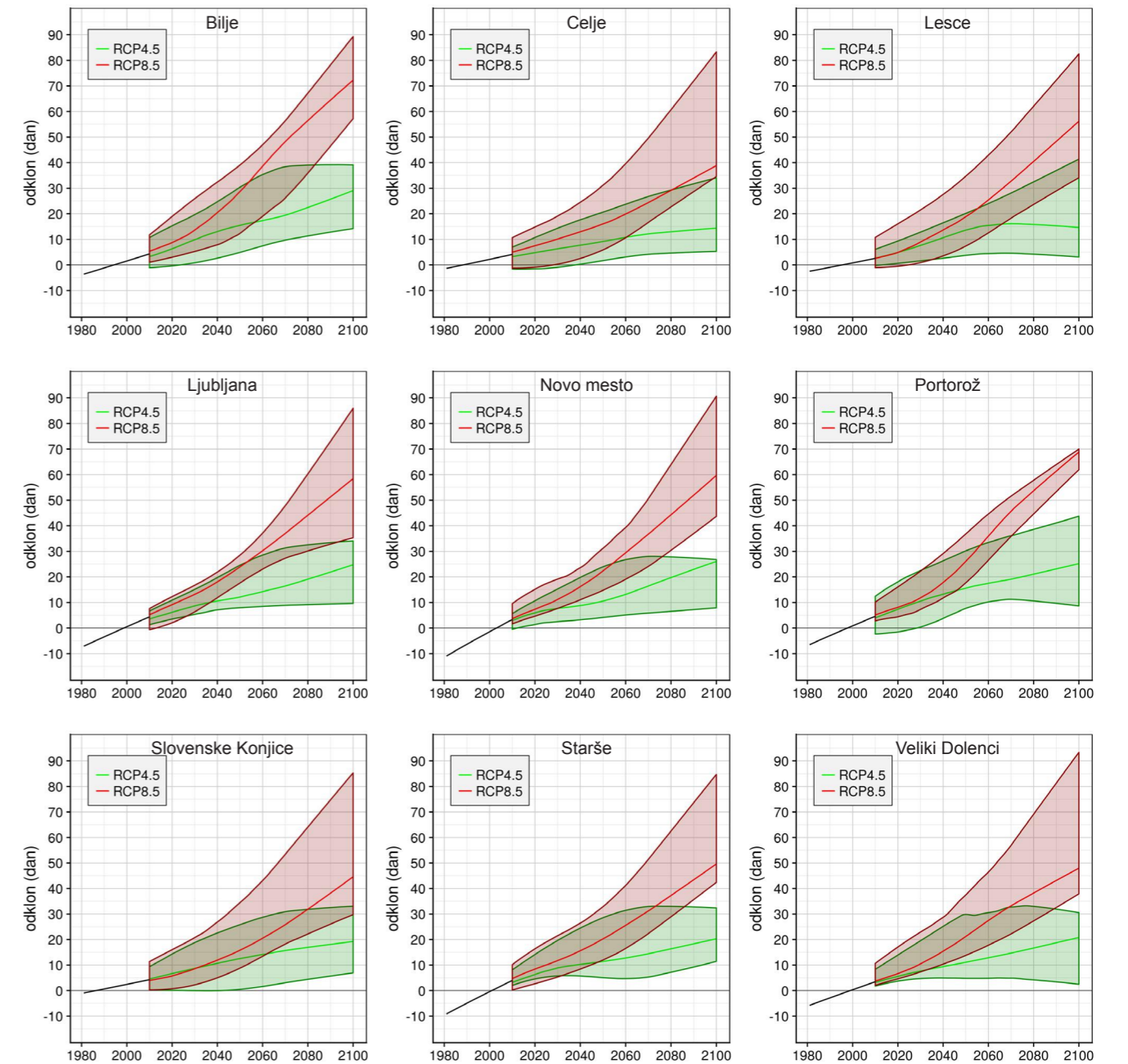
Slika 1.30 | Časovni potek spremembe dneva začetka rastle dobe za temperaturni prag 5 °C na devetih postajah do konca 21. stoletja za dva scenarija, vključno z razponi odstopanj. Prikazan je odklon od povprečja v obdobju 1981–2010. Črte prikazujejo glajeno mediano modelskih projekcij, zgornji in spodnji rob ovojníc največjo in najmanjšo vrednost modelskih projekcij.

Začetek rastne dobe za temperaturni prag 10 °C



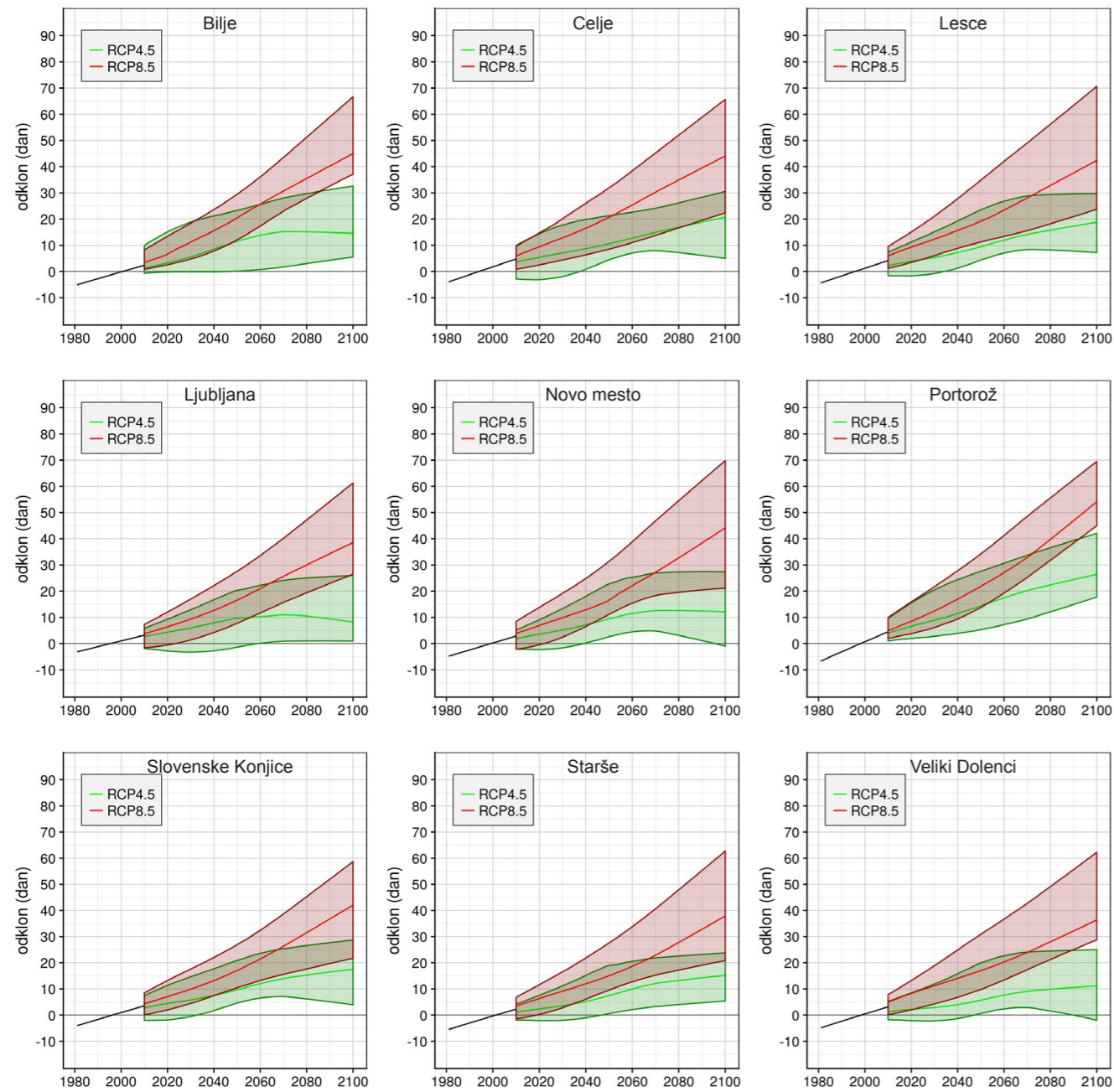
Slika 1.31 | Časovni potek spremembe dneva začetka rastne dobe za temperaturni prag 10 °C na devetih postajah do konca 21. stoletja za dva scenarija, vključno z razponi odstopanj. Prikazan je odklon od povprečja v obdobju 1981–2010. Črte prikazujejo glajeno mediano modelskih projekcij, zgornji in spodnji rob ovojníc največjo in najmanjšo vrednost modelskih projekcij.

Dolžina rastne dobe za temperaturni prag 5 °C



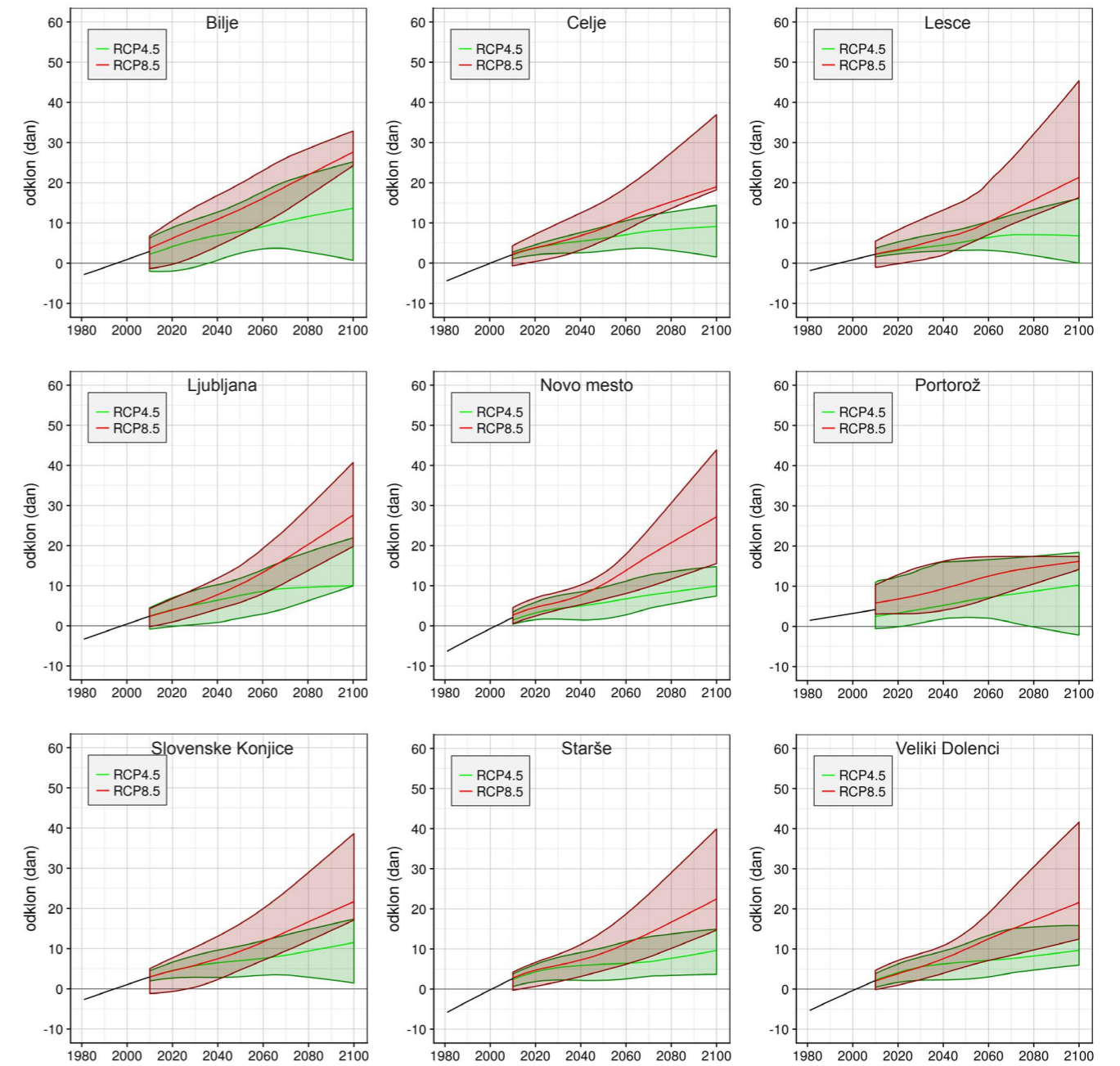
Slika 1.32 | Časovni potek spremembe dolžine rastne dobe za temperaturni prag 5 °C na devetih postajah do konca 21. stoletja za dva scenarija, vključno z razponi odstopanj. Prikazan je odklon od povprečja v obdobju 1981–2010. Črte prikazujejo glajeno mediano modelskih projekcij, zgornji in spodnji rob ovojníc največjo in najmanjšo vrednost modelskih projekcij.

Dolžina rastne dobe za temperaturni prag 10 °C



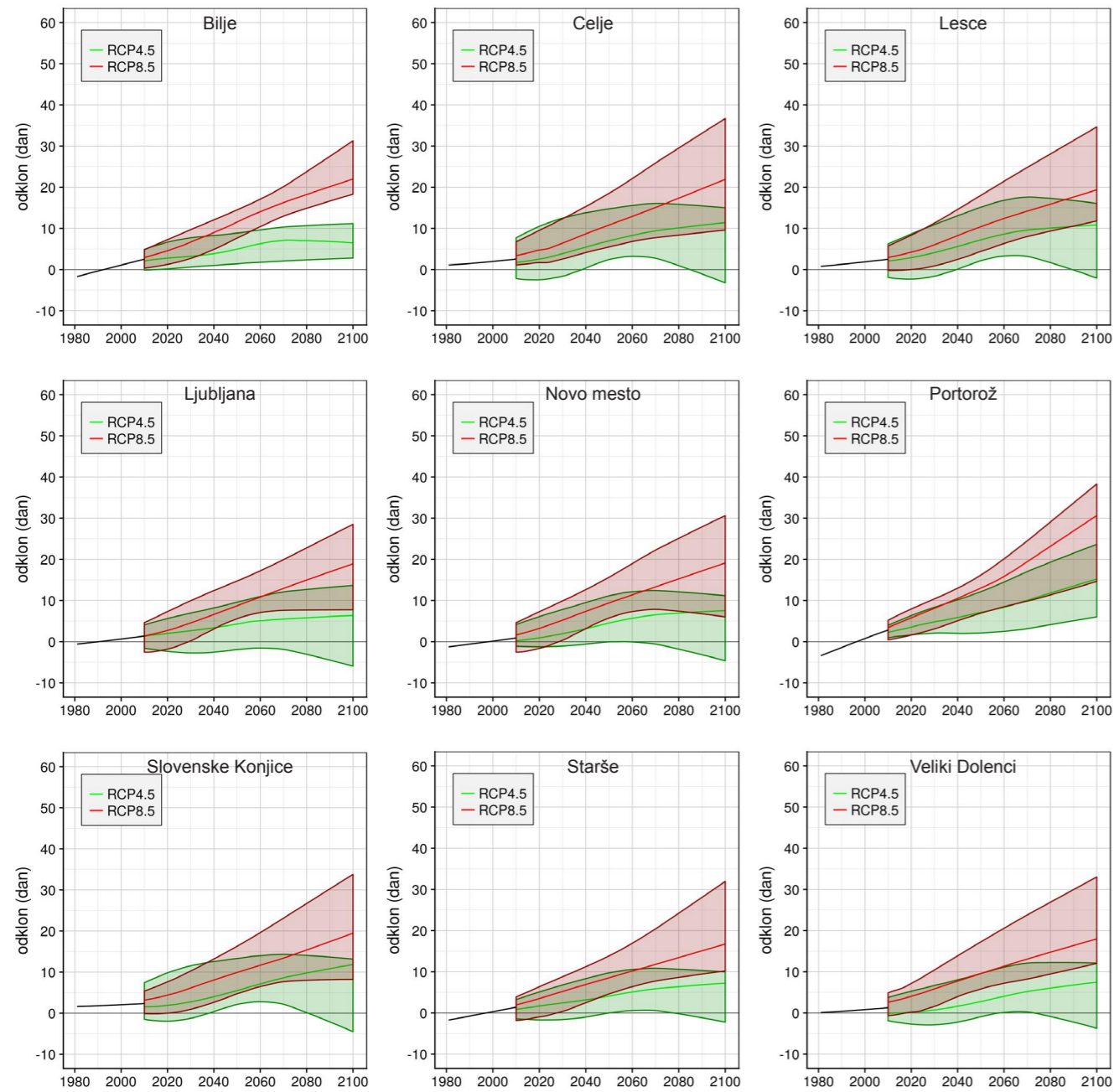
Slika 1.33 | Časovni potek spremembe dolžine rastne dobe za temperaturni prag 10 °C na devetih postajah do konca 21. stoletja za dva scenarija, vključno z razponi odstopanj. Prikazan je odklon od povprečja v obdobju 1981–2010. Črte prikazujejo glajeno mediano modelskih projekcij, zgornji in spodnji rob ovojníc največjo in najmanjšo vrednost modelskih projekcij.

Konec rastne dobe za temperaturni prag 5 °C



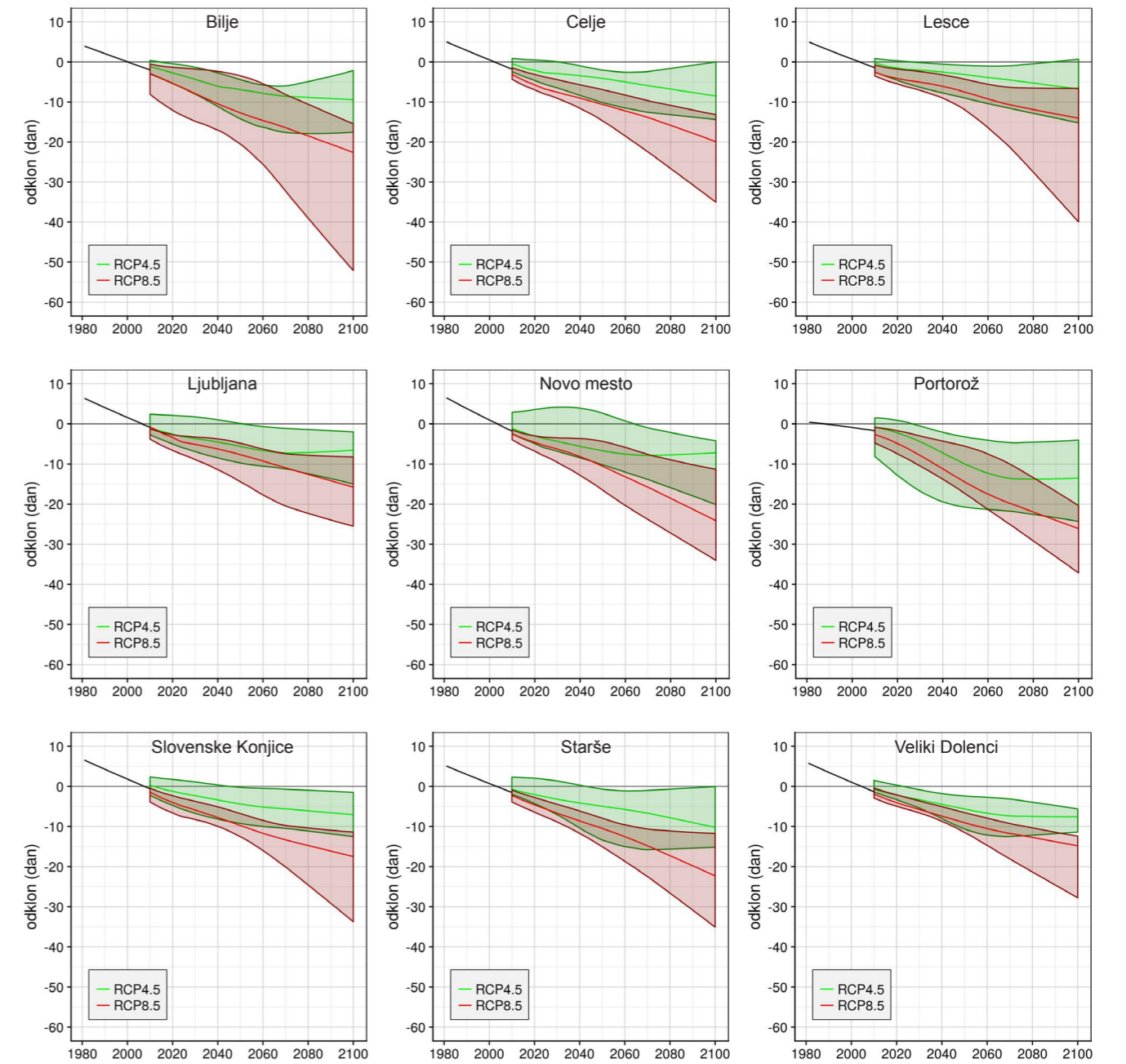
Slika 1.34 | Časovni potek spremembe dneva konca rastne dobe za temperaturni prag 5 °C na devetih postajah do konca 21. stoletja za dva scenarija, vključno z razponi odstopanj. Prikazan je odklon od povprečja v obdobju 1981–2010. Črte prikazujejo glajeno mediano modelskih projekcij, zgornji in spodnji rob ovojníc največjo in najmanjšo vrednost modelskih projekcij.

Konec rastle dobe za temperaturni prag 10 °C



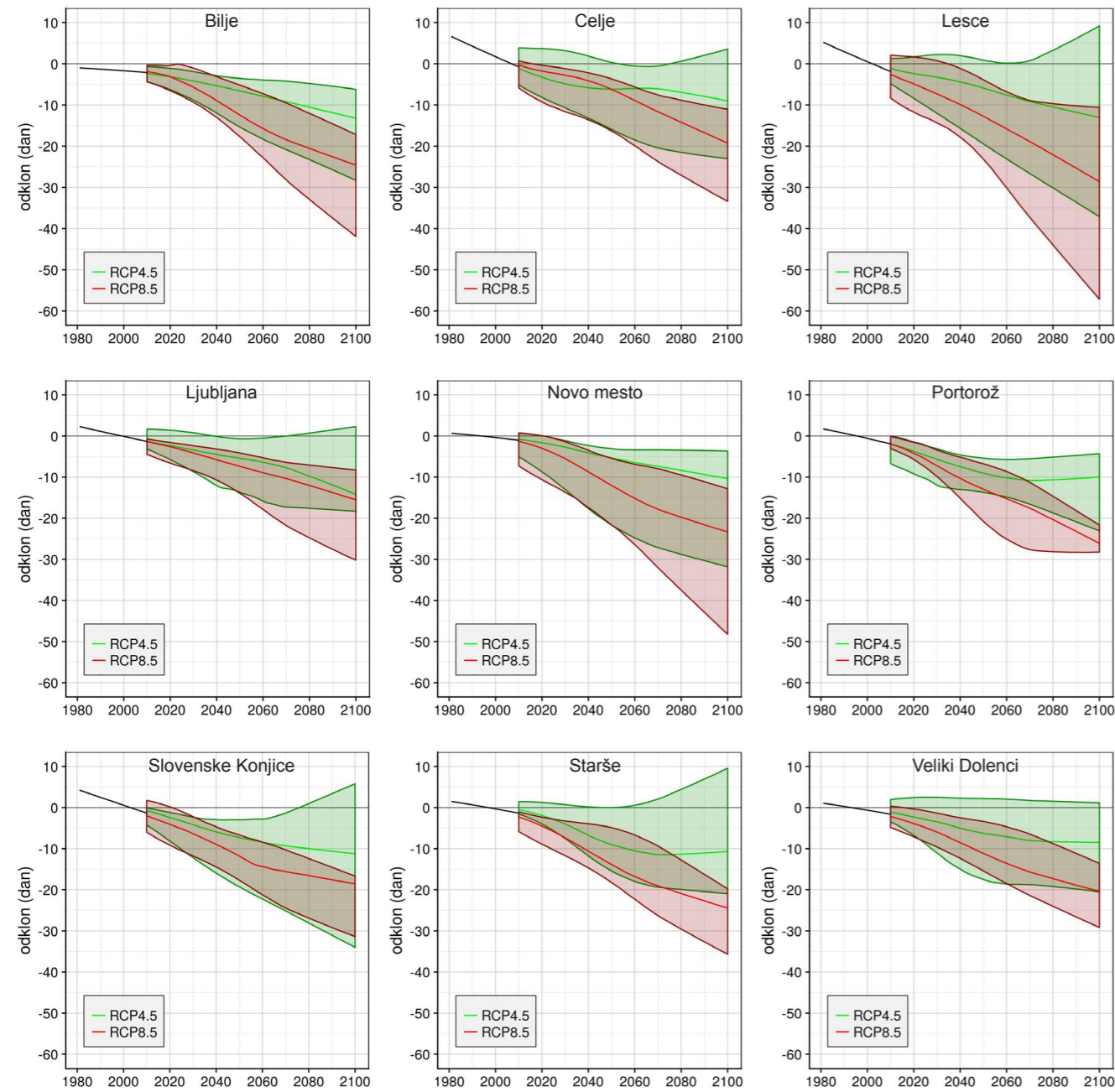
Slika 1.35 | Časovni potek spremembe dneva konca rastle dobe za temperaturni prag 10 °C na devetih postajah do konca 21. stoletja za dva scenarija, vključno z razponi odstopanj. Prikazan je odklon od povprečja v obdobju 1981–2010. Črte prikazujejo glajeno mediano modelskih projekcij, zgornji in spodnji rob ovojníc največjo in najmanjšo vrednost modelskih projekcij.

Zadnja spomladanska pozeba (0 °C)



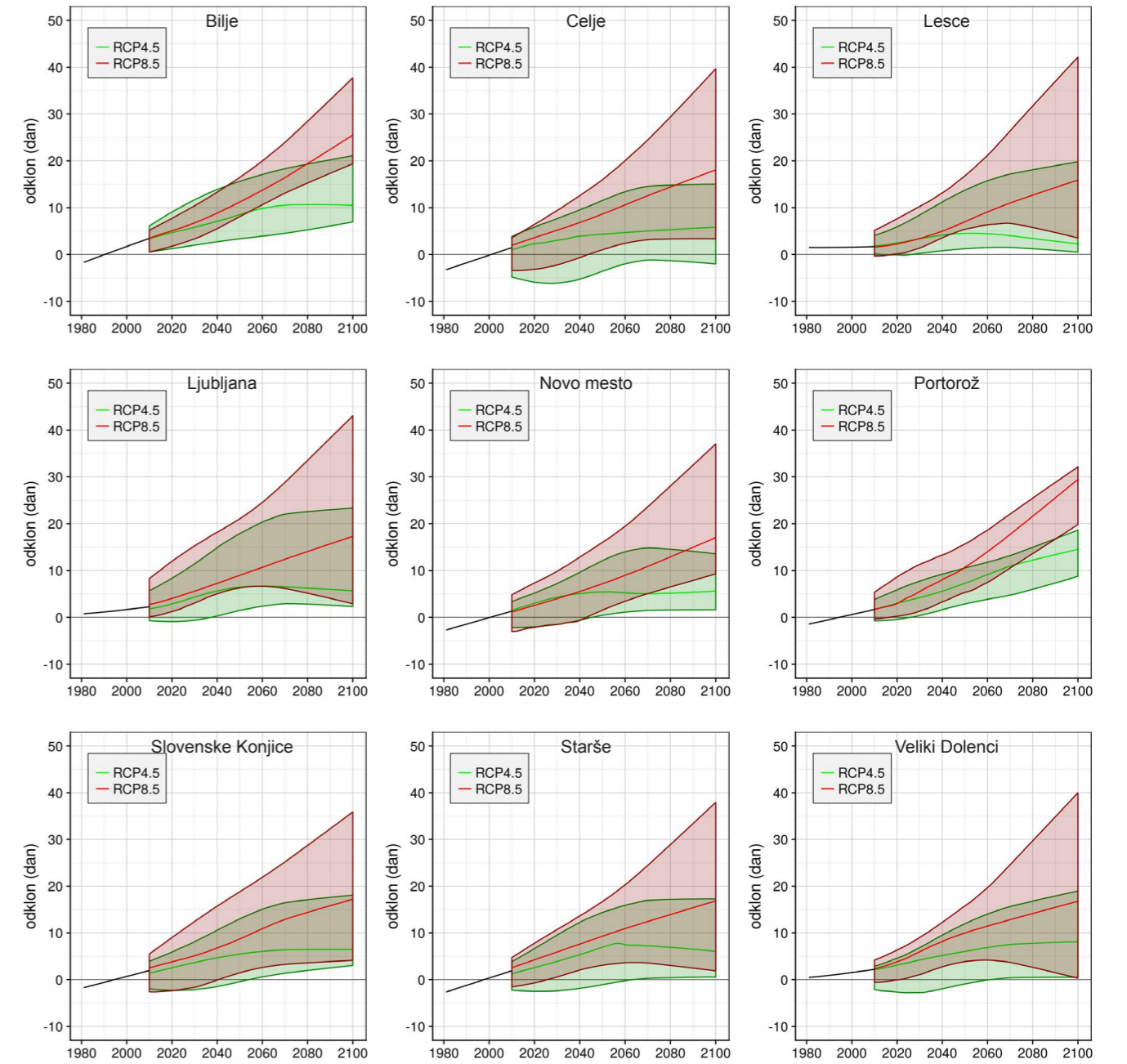
Slika 1.36 | Časovni potek spremembe dneva zadnje spomladanske pozebe pri najnižji temperaturi zraka, nižji od 0 °C, na devetih postajah do konca 21. stoletja za dva scenarija, vključno z razponi odstopanj. Prikazan je odklon od povprečja v obdobju 1981–2010. Črte prikazujejo glajeno mediano modelskih projekcij, zgornji in spodnji rob ovojníc največjo in najmanjšo vrednost modelskih projekcij.

Zadnja spomladanska pozeba (-2 °C)



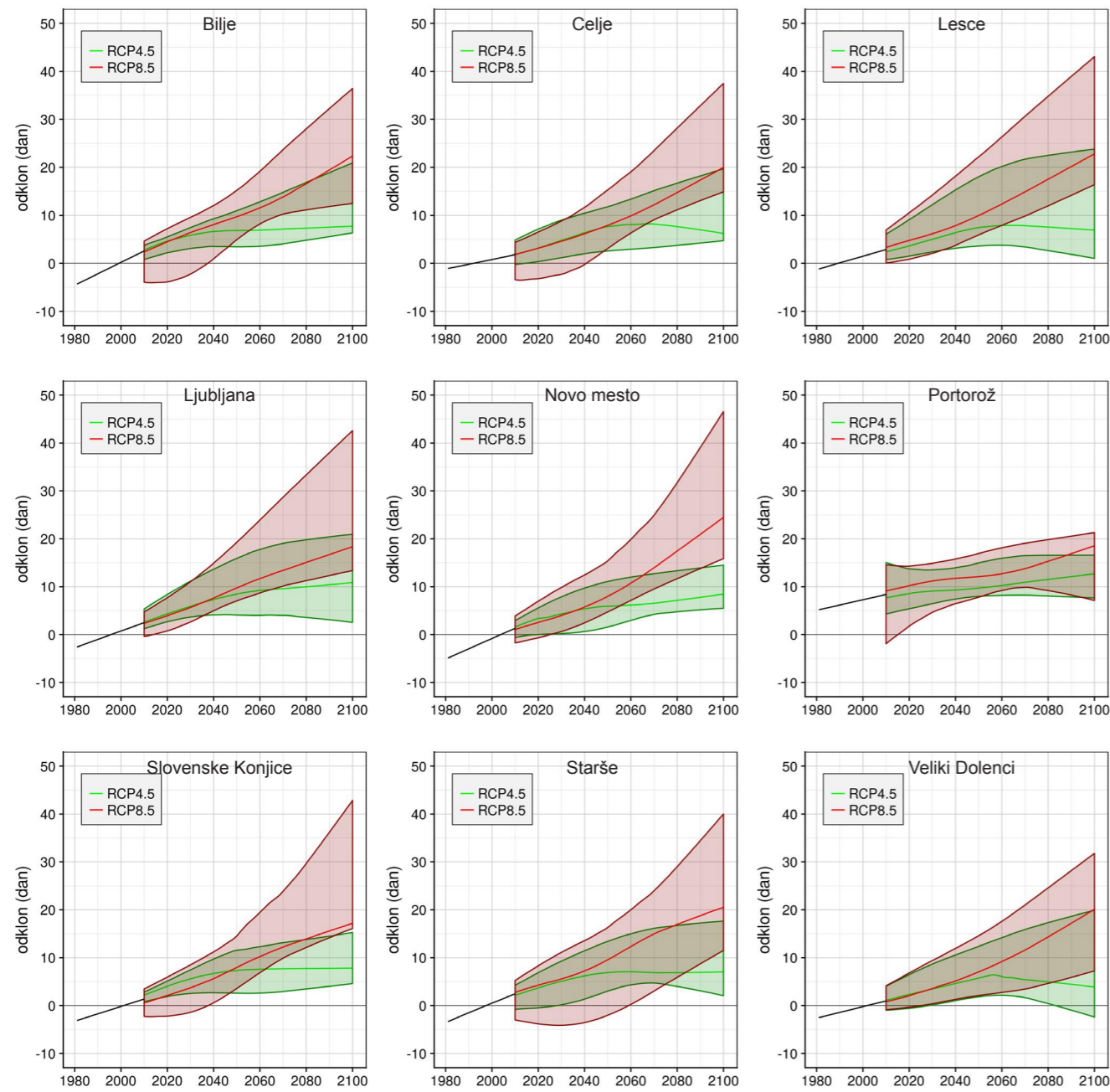
Slika 1.37 | Časovni potek spremembe dneva zadnje spomladanske pozebe pri najnižji temperaturi zraka, nižji od -2 °C, na devetih postajah do konca 21. stoletja za dva scenarija, vključno z razponi odstopanj. Prikazan je odklon od povprečja v obdobju 1981–2010. Črte prikazujejo glajeno mediano modelskih projekcij, zgornji in spodnji rob ovojnici največjo in najmanjšo vrednost modelskih projekcij.

Prva jesenska pozeba (0 °C)



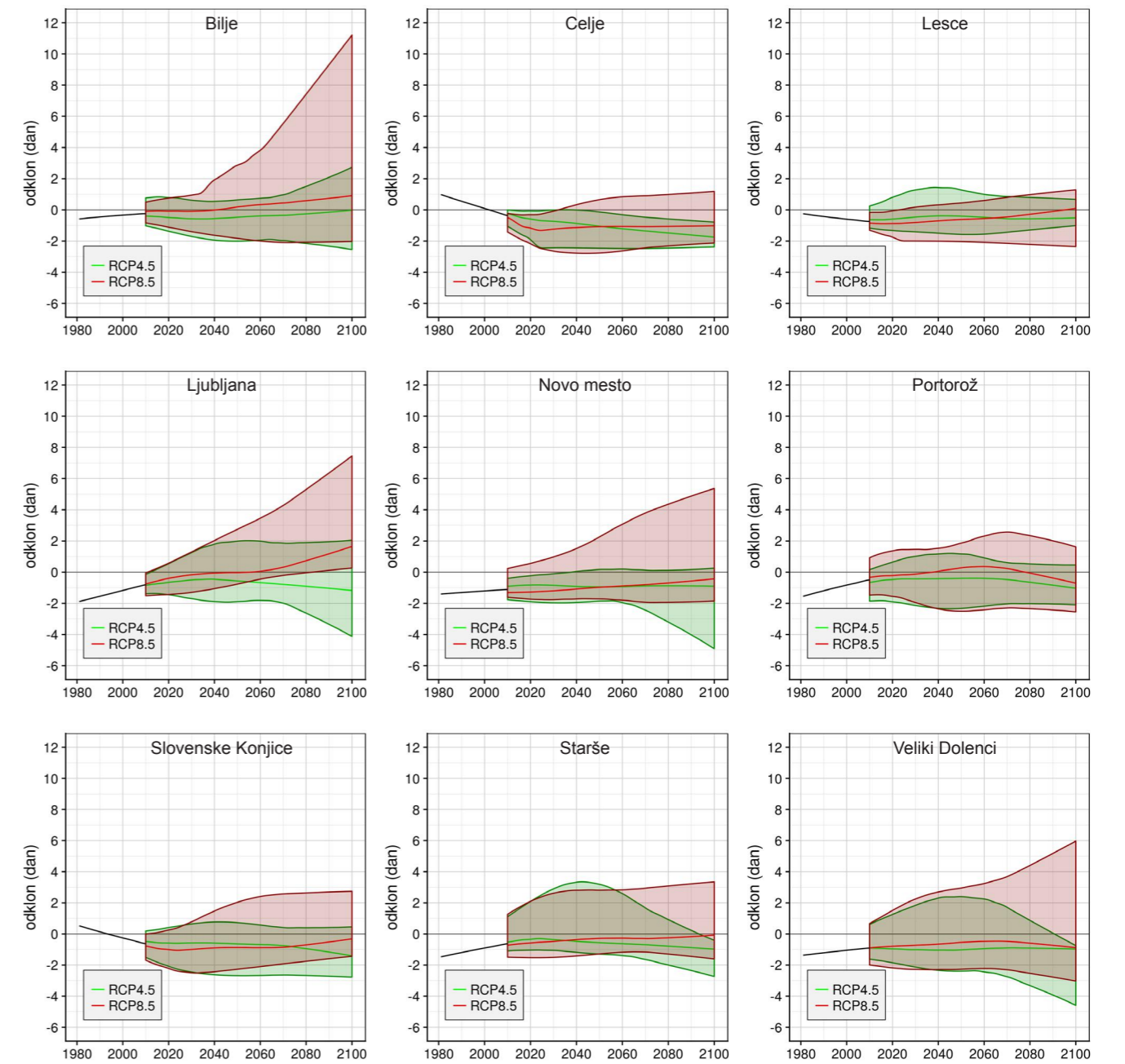
Slika 1.38 | Časovni potek spremembe dneva prve jesenske pozebe pri najnižji temperaturi zraka, nižji od 0 °C, na devetih postajah do konca 21. stoletja za dva scenarija, vključno z razponi odstopanj. Prikazan je odklon od povprečja v obdobju 1981–2010. Črte prikazujejo glajeno mediano modelskih projekcij, zgornji in spodnji rob ovojnici največjo in najmanjšo vrednost modelskih projekcij.

Prva jesenska pozeba ($-2\text{ }^{\circ}\text{C}$)



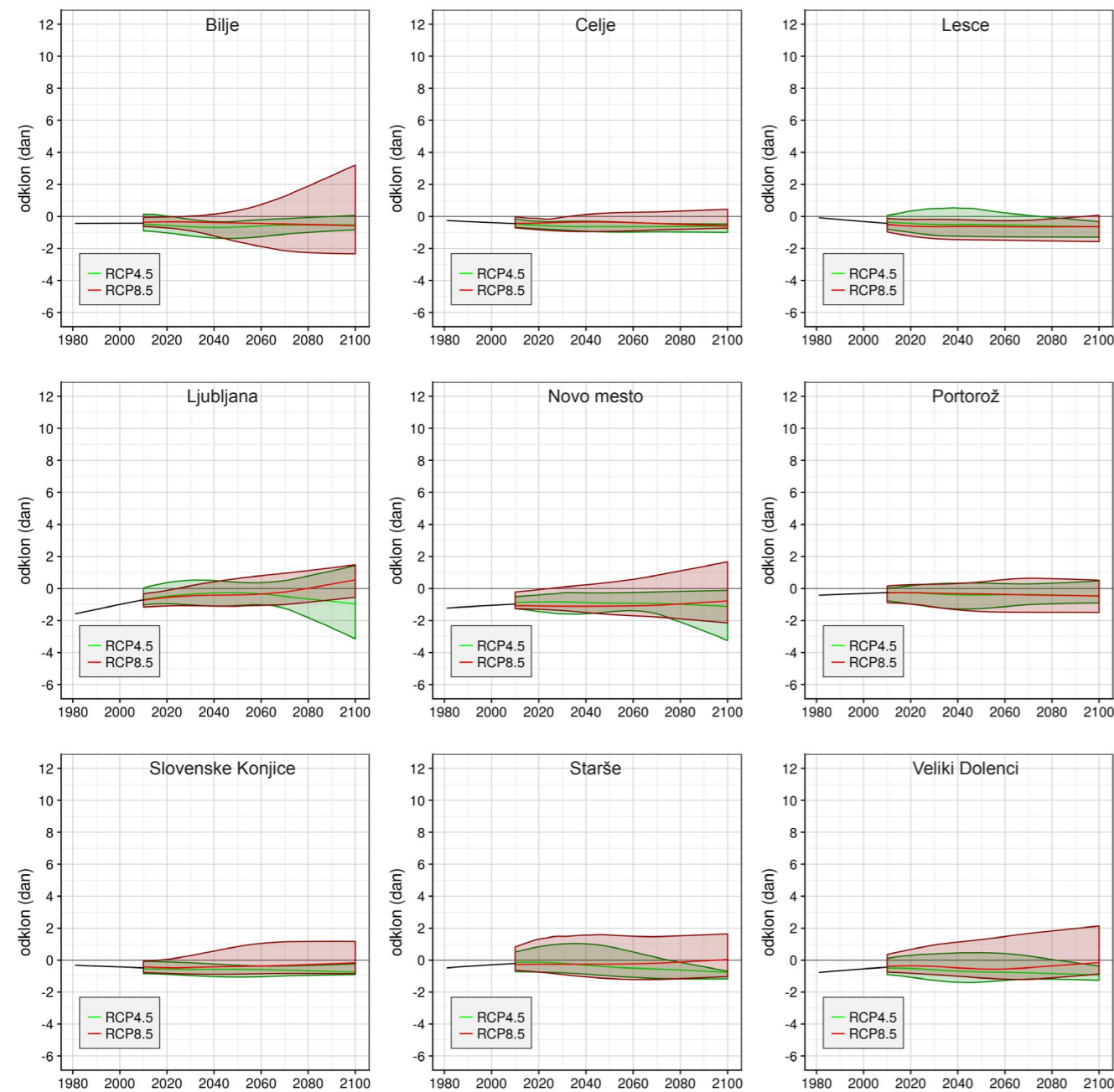
Slika 1.39 | Časovni potek spremembe dneva prve jesenske pozebe pri najnižji temperaturi zraka, nižji od $-2\text{ }^{\circ}\text{C}$, na devetih postajah do konca 21. stoletja za dva scenarija, vključno z razponi odstopanj. Prikazan je odklon od povprečja v obdobju 1981–2010. Črte prikazujejo glajeno mediano modelskih projekcij, zgornji in spodnji rob ovojnici največjo in najmanjšo vrednost modelskih projekcij.

Število dni s spomladansko pozebo ($0\text{ }^{\circ}\text{C}$)



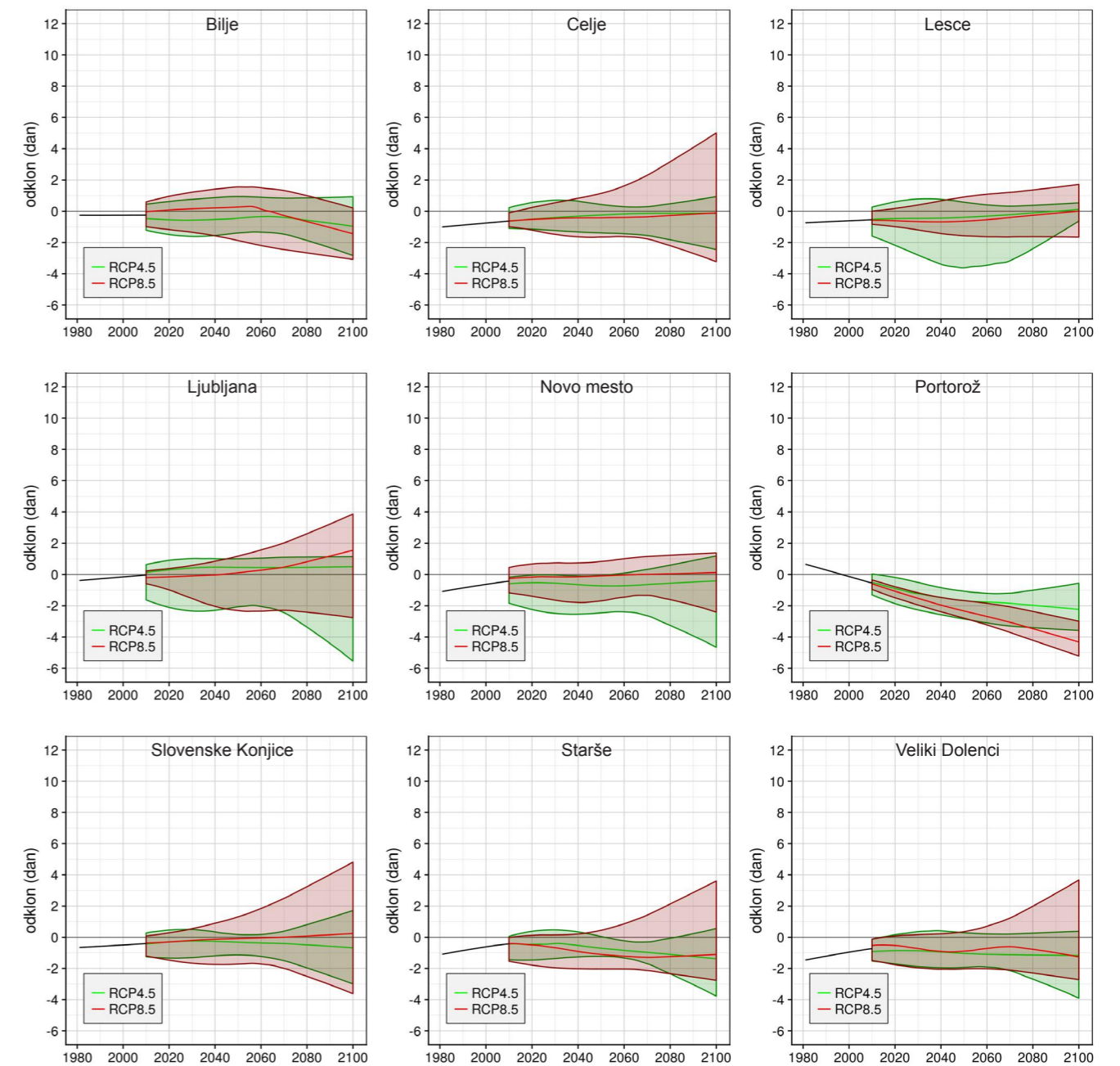
Slika 1.40 | Časovni potek spremembe števila dni s spomladansko pozebo v rastni dobi za temperaturni prag $5\text{ }^{\circ}\text{C}$ pri najnižji temperaturi zraka, nižji od $0\text{ }^{\circ}\text{C}$, na devetih postajah do konca 21. stoletja za dva scenarija, vključno z razponi odstopanj. Prikazan je odklon od povprečja v obdobju 1981–2010. Črte prikazujejo glajeno mediano modelskih projekcij, zgornji in spodnji rob ovojnici največjo in najmanjšo vrednost modelskih projekcij.

Število dni s spomladansko pozebo ($-2\text{ }^{\circ}\text{C}$)



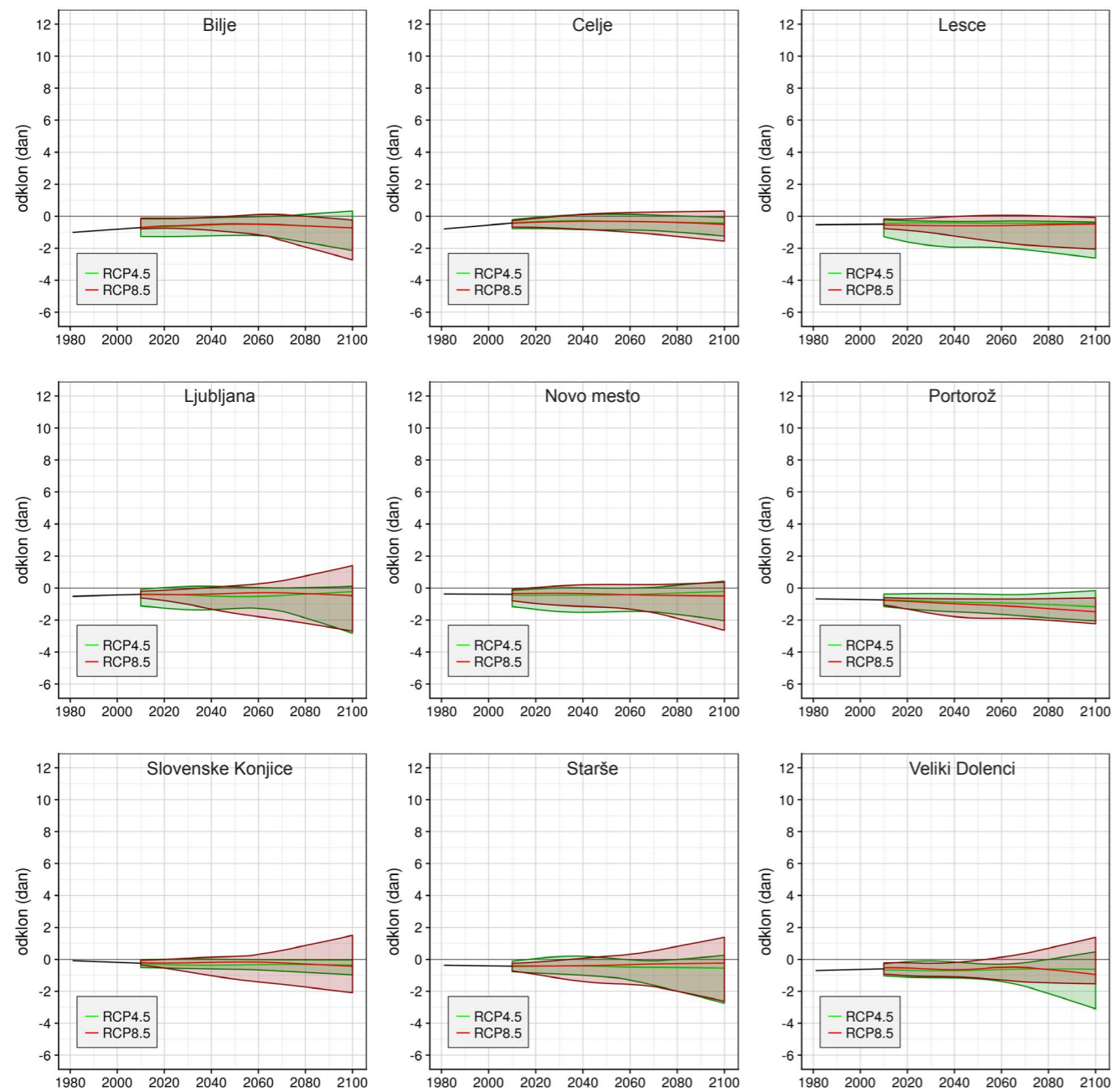
Slika 1.41 | Časovni potek spremembe števila dni s spomladansko pozebo v rastni dobi za temperaturni prag $5\text{ }^{\circ}\text{C}$ pri najnižji temperaturi zraka, nižji od $-2\text{ }^{\circ}\text{C}$, na devetih postajah do konca 21. stoletja za dva scenarija, vključno z razponi odstopanj. Prikazan je odklon od povprečja v obdobju 1981–2010. Črte prikazujejo glajeno mediano modelskih projekcij, zgornji in spodnji rob ovojníc največjo in najmanjšo vrednost modelskih projekcij.

Število dni z jesensko pozebo ($0\text{ }^{\circ}\text{C}$)



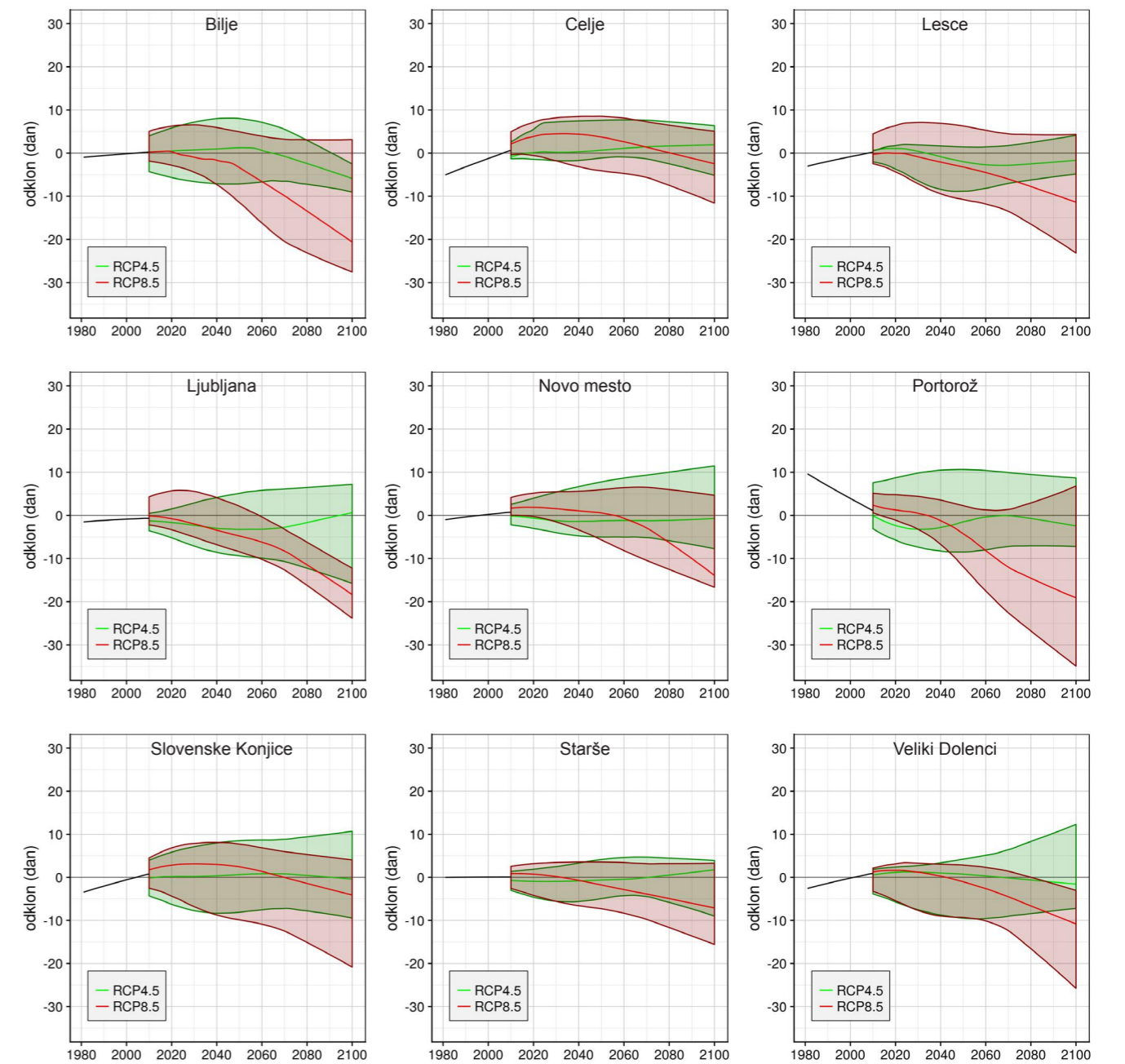
Slika 1.42 | Časovni potek spremembe števila dni z jesensko pozebo v rastni dobi za temperaturni prag $5\text{ }^{\circ}\text{C}$ pri najnižji temperaturi zraka, nižji od $0\text{ }^{\circ}\text{C}$, na devetih postajah do konca 21. stoletja za dva scenarija, vključno z razponi odstopanj. Prikazan je odklon od povprečja v obdobju 1981–2010. Črte prikazujejo glajeno mediano modelskih projekcij, zgornji in spodnji rob ovojníc največjo in najmanjšo vrednost modelskih projekcij.

Število dni z jesensko pozebo ($-2\text{ }^{\circ}\text{C}$)



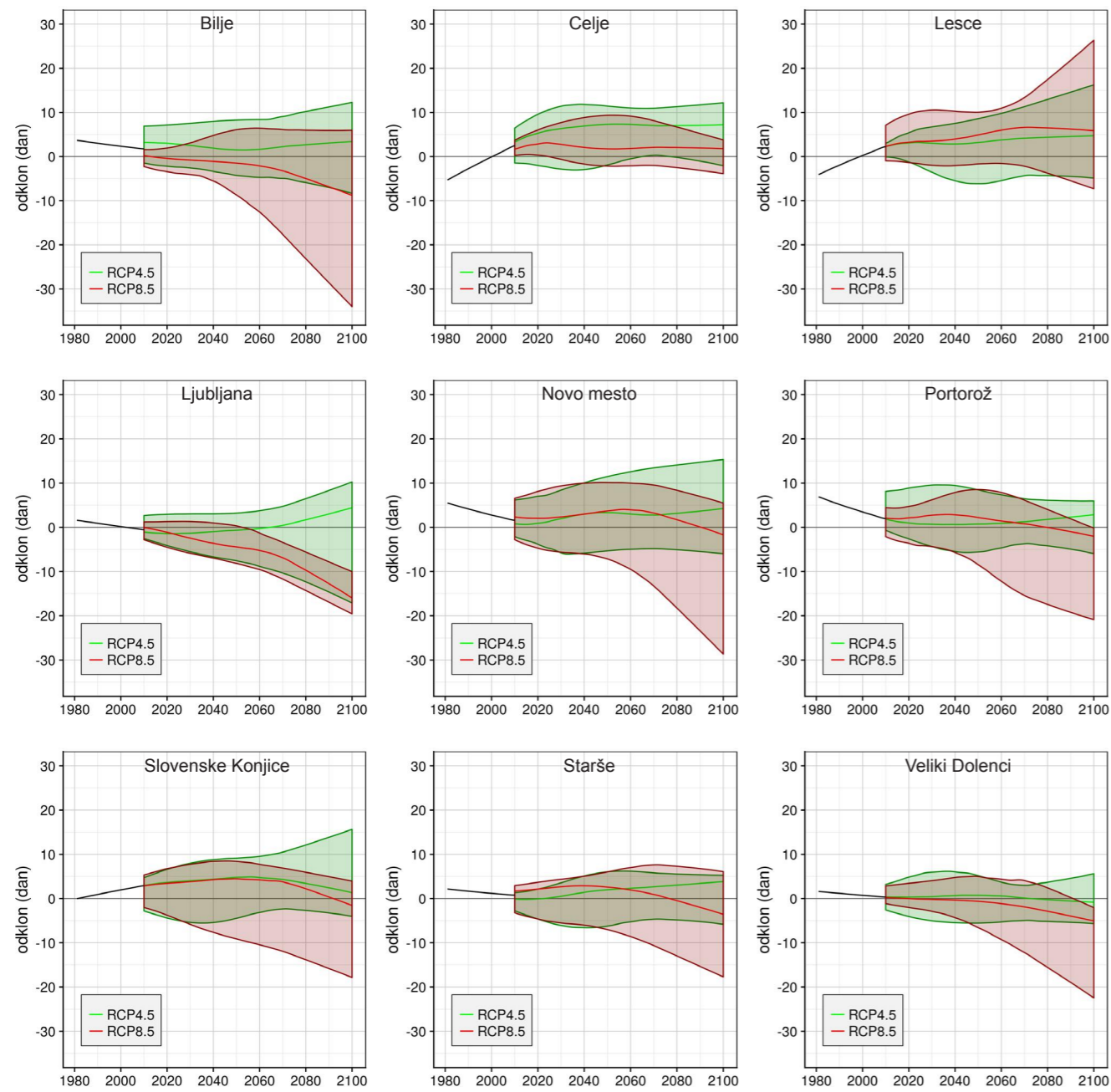
Slika 1.43 | Časovni potek spremembe števila dni z jesensko pozebo v rasti dobi za temperaturni prag $5\text{ }^{\circ}\text{C}$ pri najnižji temperaturi zraka, nižji od $-2\text{ }^{\circ}\text{C}$, na devetih postajah do konca 21. stoletja za dva scenarija, vključno z razponi odstopanj. Prikazan je odklon od povprečja v obdobju 1981–2010. Črte prikazujejo glajeno mediano modelskih projekcij, zgornji in spodnji rob ovojnici največjo in najmanjšo vrednost modelskih projekcij.

Varnostna rezerva pred spomladansko pozebo ($0\text{ }^{\circ}\text{C}$)



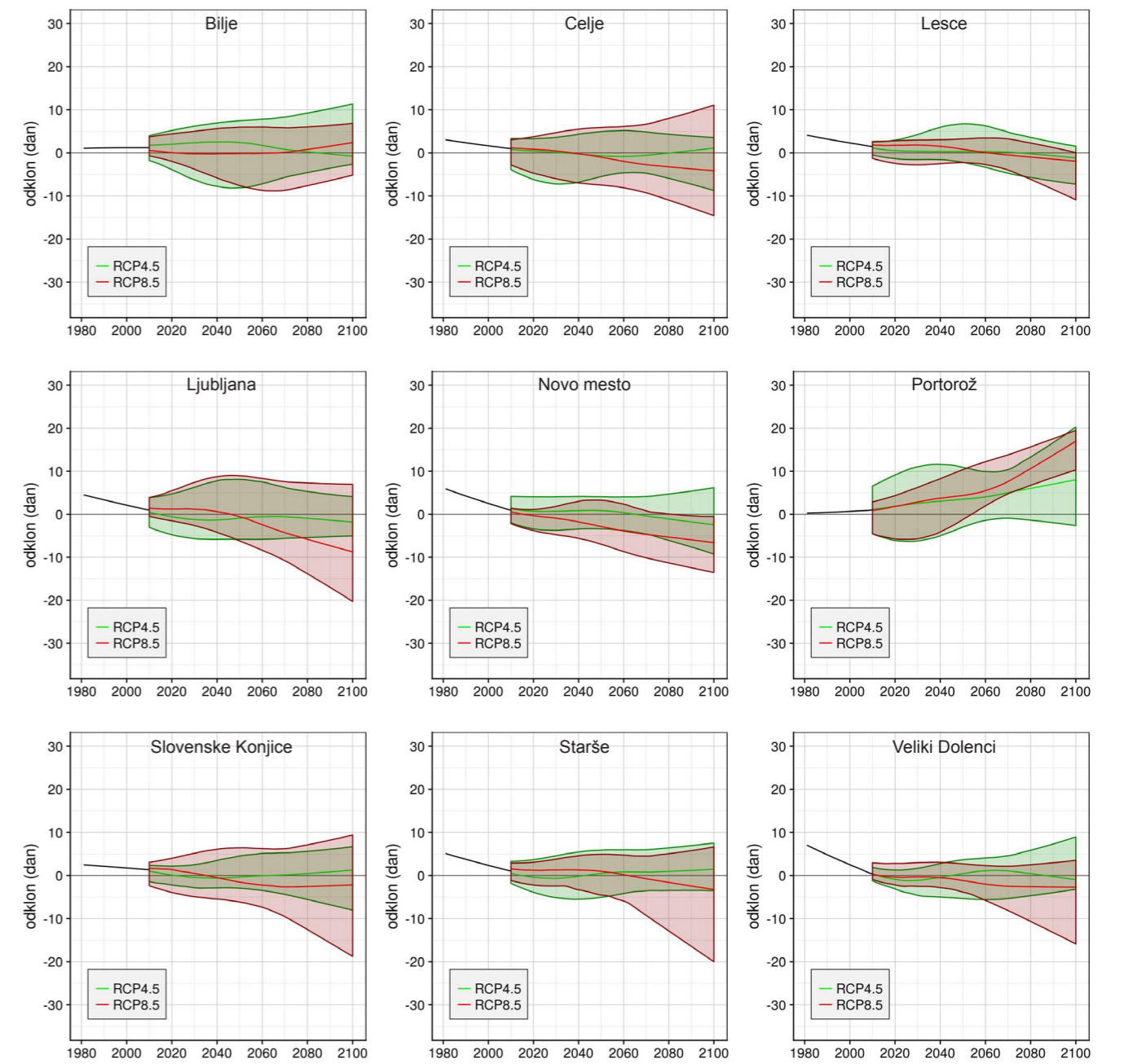
Slika 1.44 | Časovni potek spremembe varnostne rezerve pred spomladansko pozebo za temperaturni prag $5\text{ }^{\circ}\text{C}$ pri najnižji temperaturi zraka, nižji od $0\text{ }^{\circ}\text{C}$, na devetih postajah do konca 21. stoletja za dva scenarija, vključno z razponi odstopanj. Prikazan je odklon od povprečja v obdobju 1981–2010. Črte prikazujejo glajeno mediano modelskih projekcij, zgornji in spodnji rob ovojnici največjo in najmanjšo vrednost modelskih projekcij.

Varnostna rezerva pred spomladansko pozebo ($-2\text{ }^{\circ}\text{C}$)



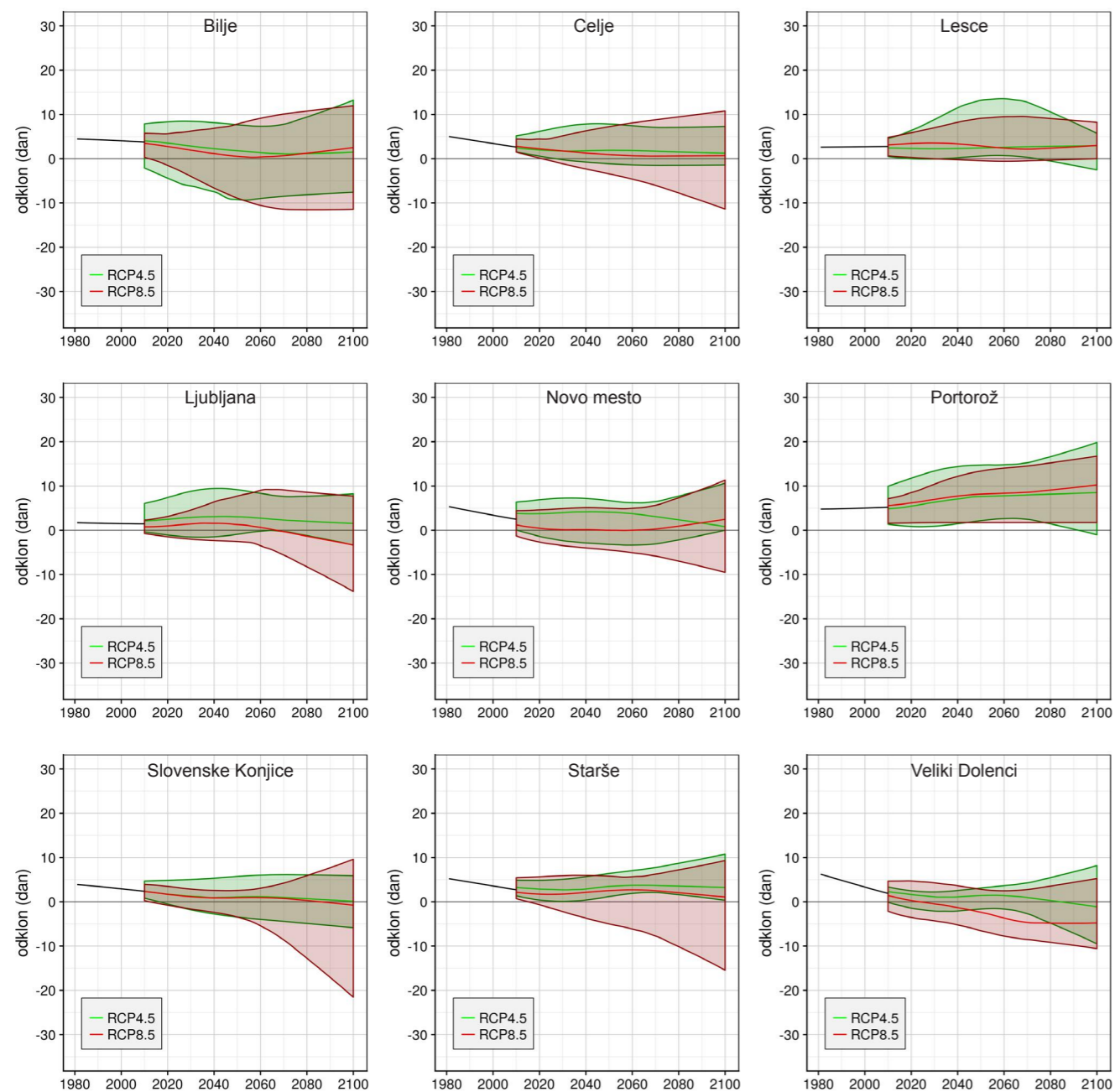
Slika 1.45 | Časovni potek spremembe varnostne rezerve pred spomladansko pozebo za temperaturni prag $5\text{ }^{\circ}\text{C}$ pri najnižji temperaturi zraka, nižji od $-2\text{ }^{\circ}\text{C}$, na devetih postajah do konca 21. stoletja za dva scenarija, vključno z razponi odstopanj. Prikazan je odklon od povprečja v obdobju 1981–2010. Črte prikazujejo glajeno mediano modelskih projekcij, zgornji in spodnji rob ovojnici največjo in najmanjšo vrednost modelskih projekcij.

Varnostna rezerva pred jesensko pozebo ($0\text{ }^{\circ}\text{C}$)



Slika 1.46 | Časovni potek spremembe varnostne rezerve pred jesensko pozebo za temperaturni prag $5\text{ }^{\circ}\text{C}$ pri najnižji temperaturi zraka, nižji od $0\text{ }^{\circ}\text{C}$, na devetih postajah do konca 21. stoletja za dva scenarija, vključno z razponi odstopanj. Prikazan je odklon od povprečja v obdobju 1981–2010. Črte prikazujejo glajeno mediano modelskih projekcij, zgornji in spodnji rob ovojnici največjo in najmanjšo vrednost modelskih projekcij.

Varnostna rezerva pred jesensko pozebo (-2 °C)



Slika 1.47 | Časovni potek spremembe varnostne rezerve pred jesensko pozebo za temperaturni prag 5 °C pri najnižji temperaturi zraka, nižji od -2 °C, na devetih postajah do konca 21. stoletja za dva scenarija, vključno z razponi odstopanj. Prikazan je odklon od povprečja v obdobju 1981–2010. Črte prikazujejo glajeno mediano modelskih projekcij, zgornji in spodnji rob ovojnic največjo in najmanjšo vrednost modelskih projekcij.

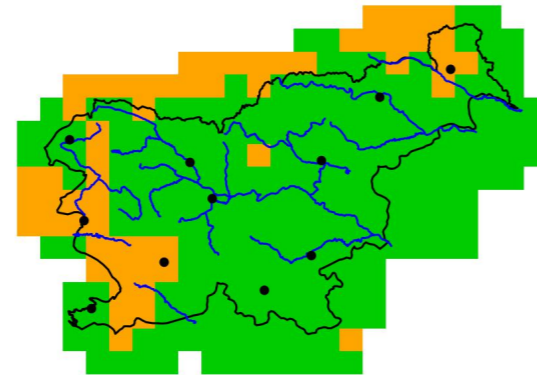
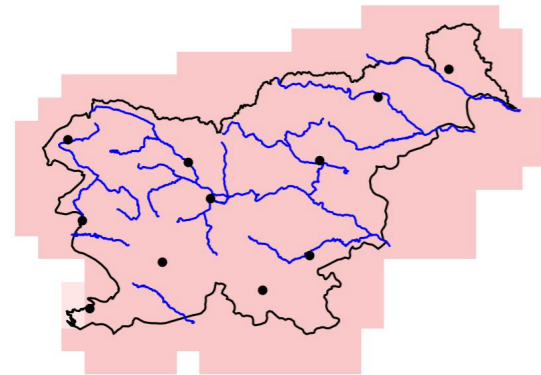
Povprečna temperatura, RCP2.6, leto

Odklon glede na obdobje 1981–2010

Zanesljivost

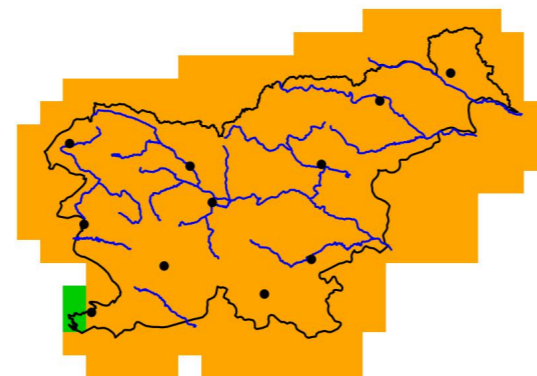
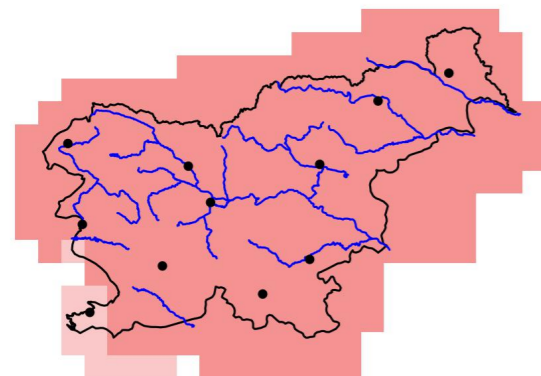
2011–2040

2011–2040



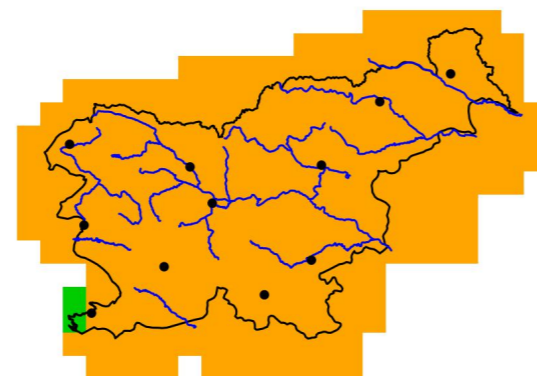
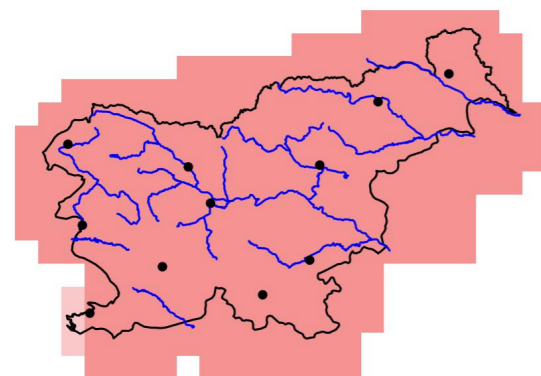
2041–2070

2041–2070

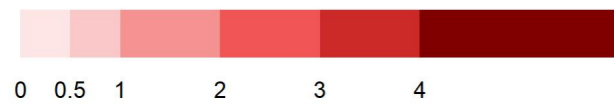


2071–2100

2071–2100



°C



Slika 1.48 | Sprememba letnega povprečja temperature zraka v treh projekcijskih obdobjih glede na obdobje 1981–2010 in pripadajoča zanesljivost spremembe za scenarij RCP2.6

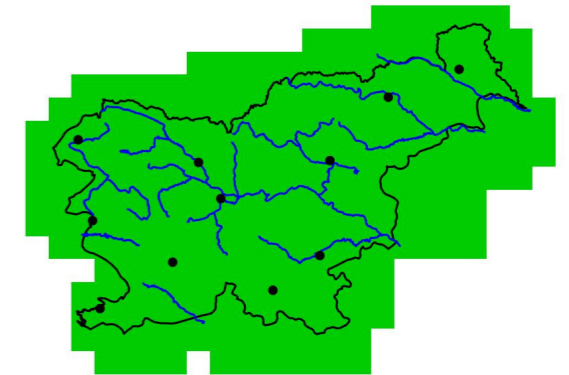
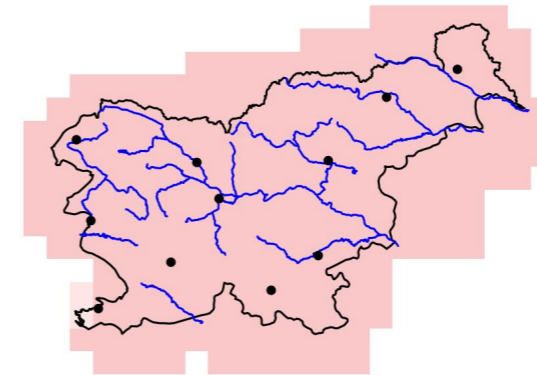
Povprečna temperatura, RCP2.6, pomlad

Odklon glede na obdobje 1981–2010

Zanesljivost

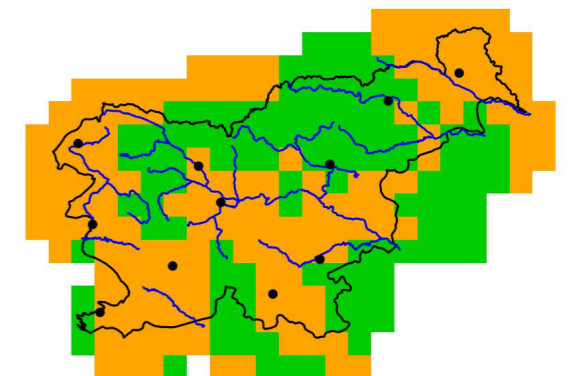
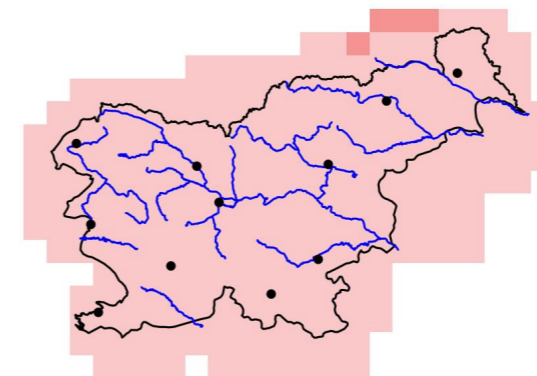
2011–2040

2011–2040



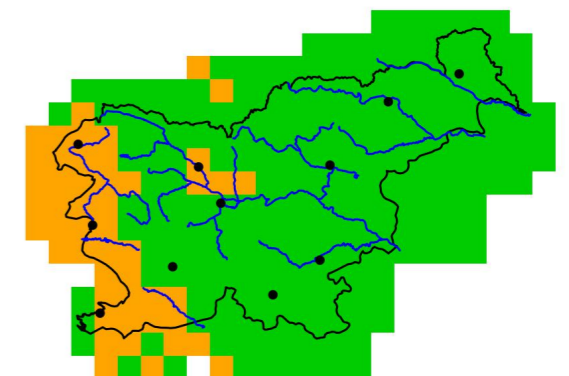
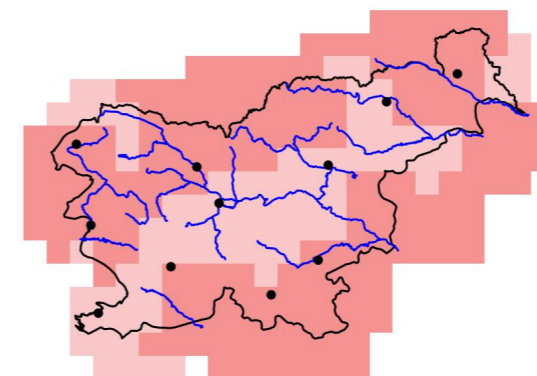
2041–2070

2041–2070

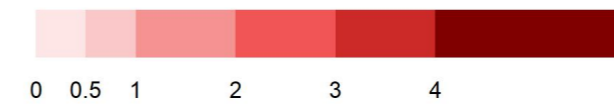


2071–2100

2071–2100



°C

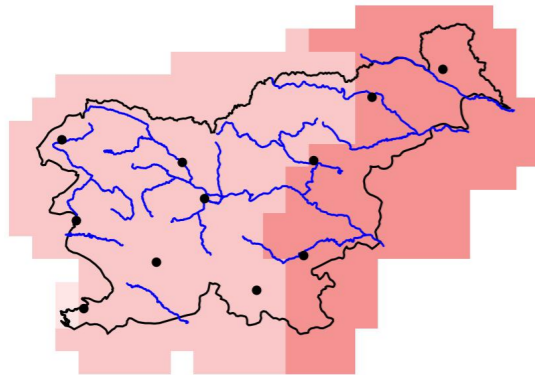


Slika 1.49 | Sprememba povprečne temperature zraka spomladi v treh projekcijskih obdobjih glede na obdobje 1981–2010 in pripadajoča zanesljivost spremembe za scenarij RCP2.6

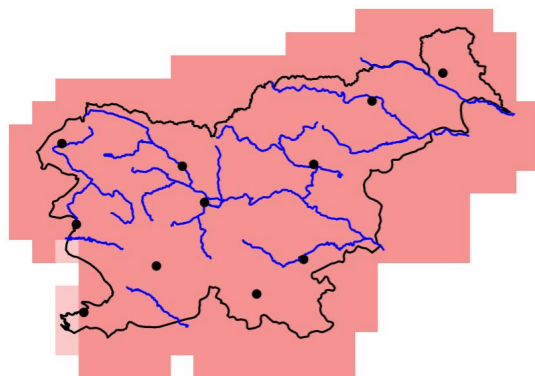
Povprečna temperatura, RCP2.6, poletje

Odklon glede na obdobje 1981–2010

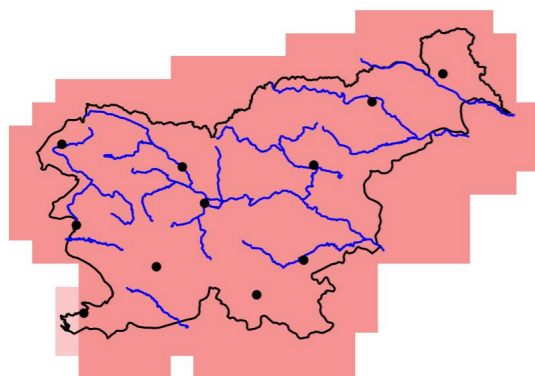
2011–2040



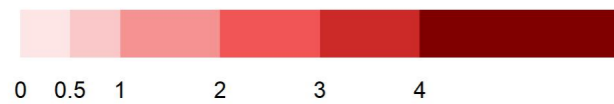
2041–2070



2071–2100

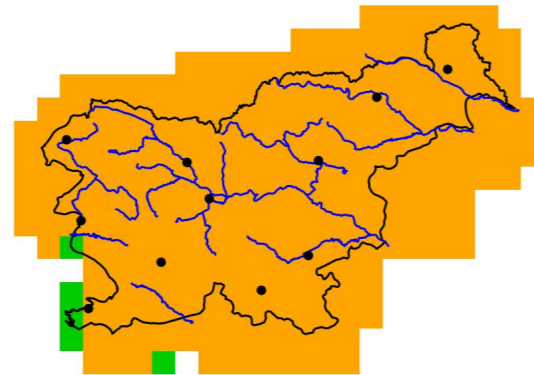


°C

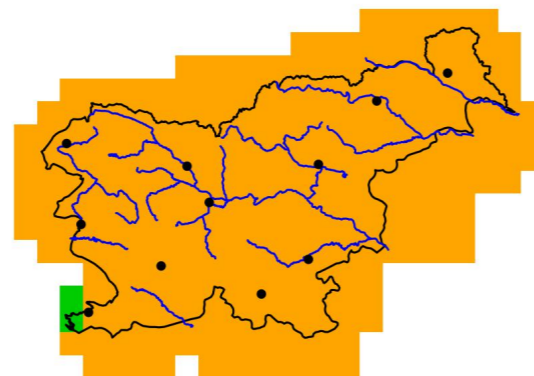


Zanesljivost

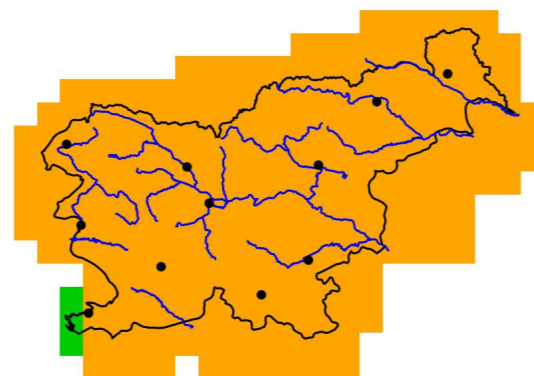
2011–2040



2041–2070



2071–2100



nizka ni spremembe visoka

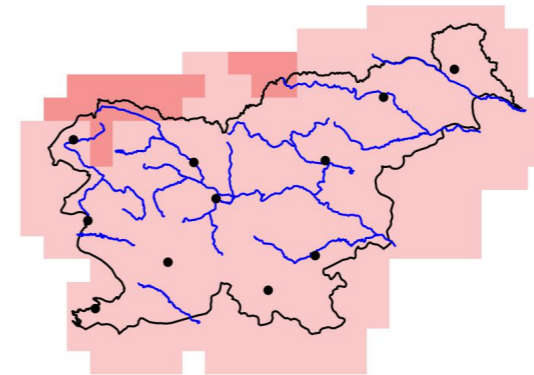


Slika 1.50 | Sprememba povprečne temperature zraka poleti v treh projekcijskih obdobjih glede na obdobje 1981–2010 in pripadajoča zanesljivost spremembe za scenarij RCP2.6

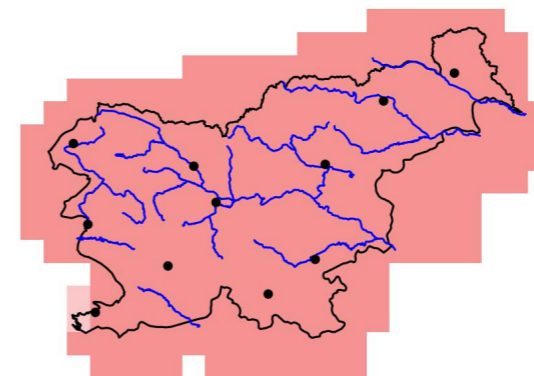
Povprečna temperatura, RCP2.6, jesen

Odklon glede na obdobje 1981–2010

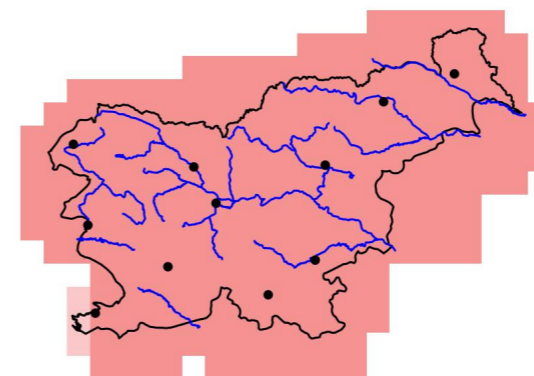
2011–2040



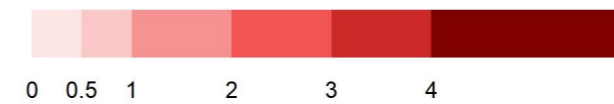
2041–2070



2071–2100

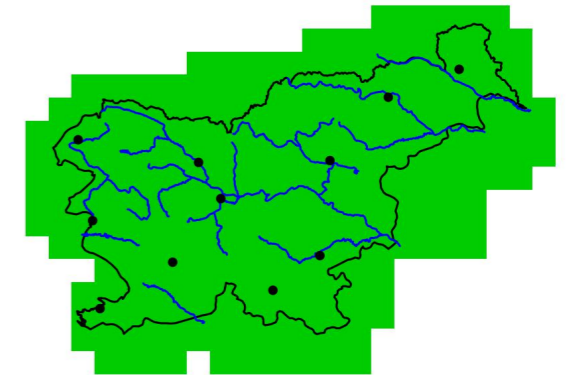


°C

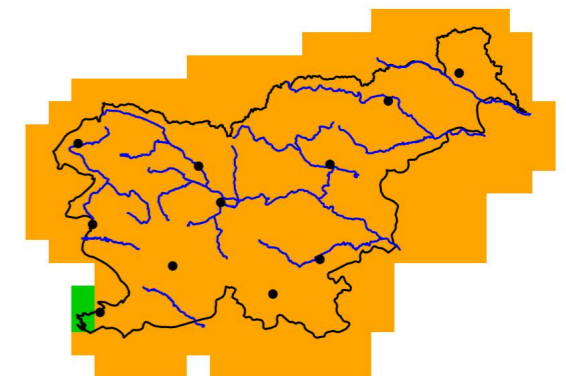


Zanesljivost

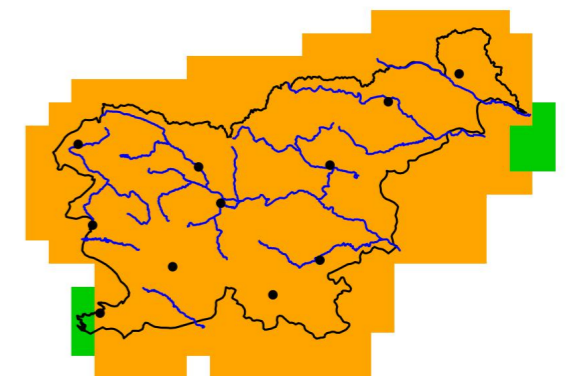
2011–2040



2041–2070



2071–2100



nizka ni spremembe visoka



Slika 1.51 | Sprememba povprečne temperature zraka jeseni v treh projekcijskih obdobjih glede na obdobje 1981–2010 in pripadajoča zanesljivost spremembe za scenarij RCP2.6

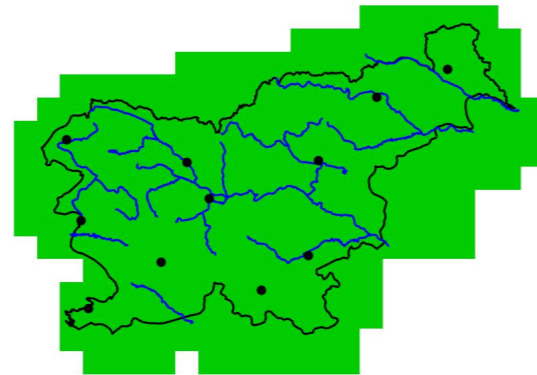
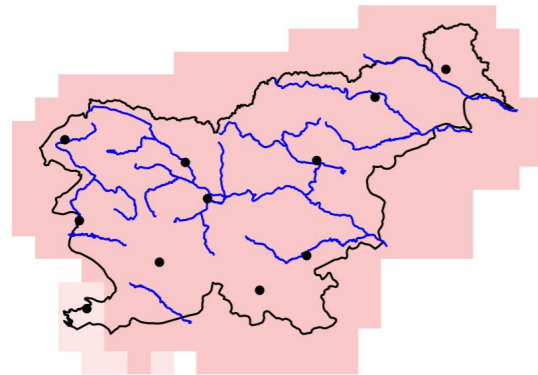
Povprečna temperatura, RCP2.6, zima

Odklon glede na obdobje 1981–2010

Zanesljivost

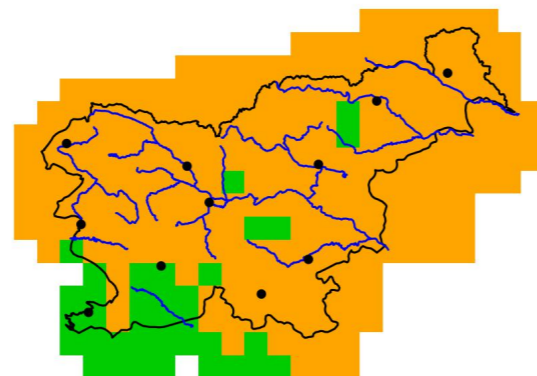
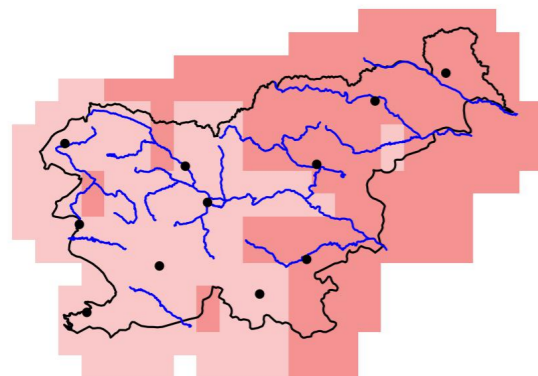
2011–2040

2011–2040



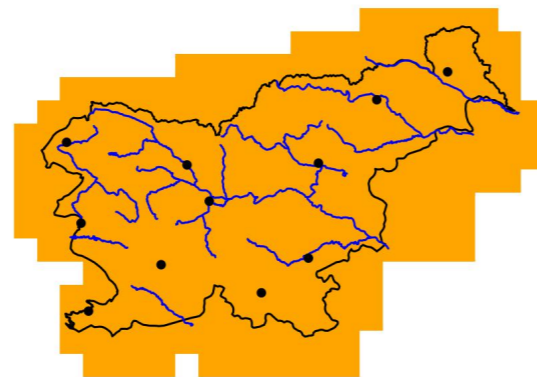
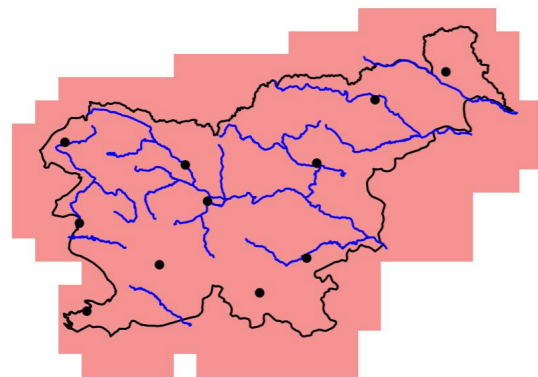
2041–2070

2041–2070

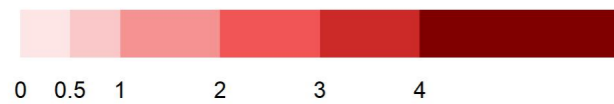


2071–2100

2071–2100



°C



Slika 1.52 | Sprememba povprečne temperature zraka pozimi v treh projekcijskih obdobjih glede na obdobje 1981–2010 in pripadajoča zanesljivost spremembe za scenarij RCP2.6

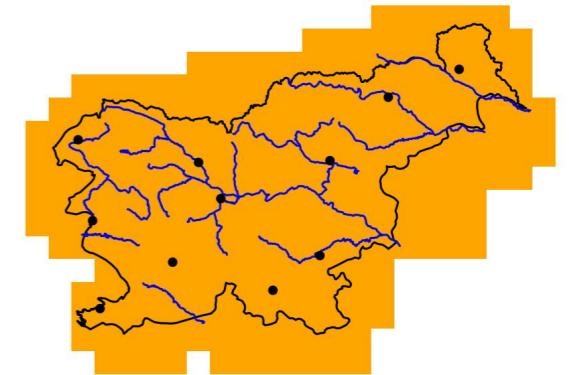
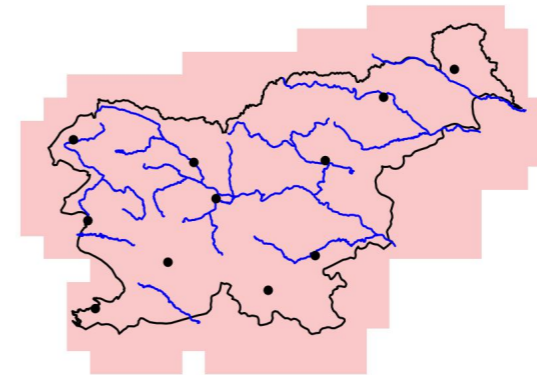
Povprečna temperatura, RCP4.5, leto

Odklon glede na obdobje 1981–2010

Zanesljivost

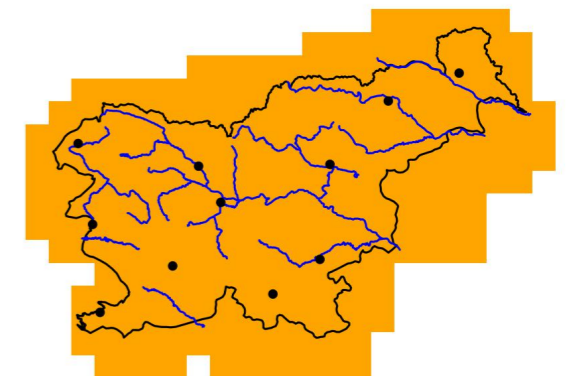
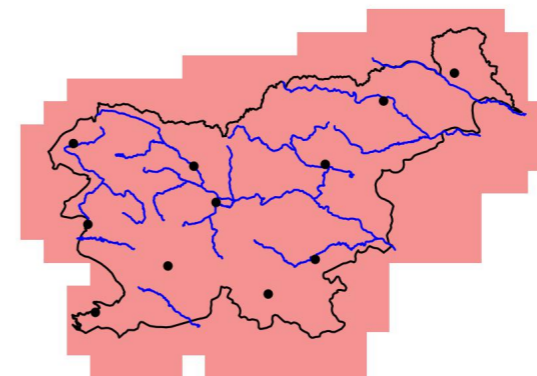
2011–2040

2011–2040



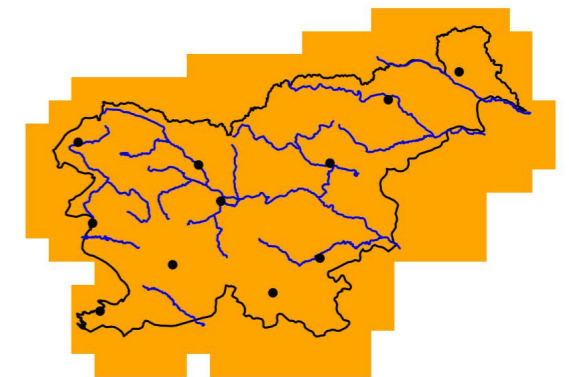
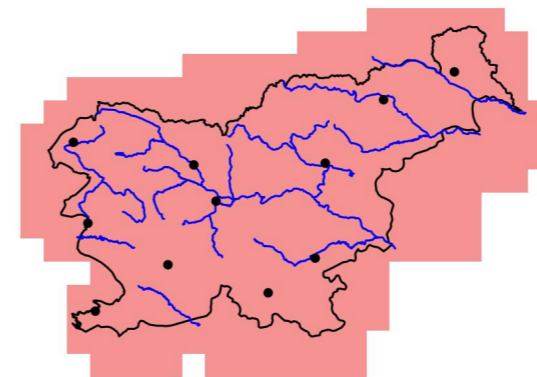
2041–2070

2041–2070

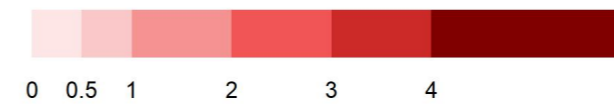


2071–2100

2071–2100



°C



Slika 1.53 | Sprememba letnega povprečja temperature zraka v treh projekcijskih obdobjih glede na obdobje 1981–2010 in pripadajoča zanesljivost spremembe za scenarij RCP4.5

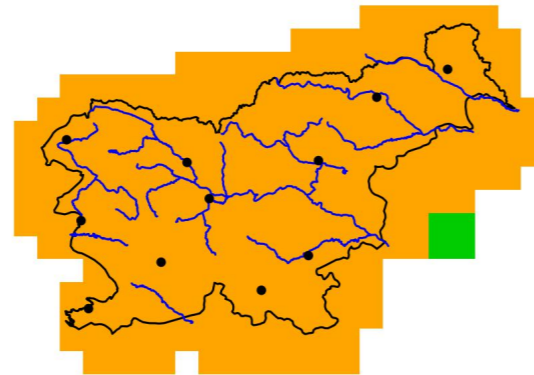
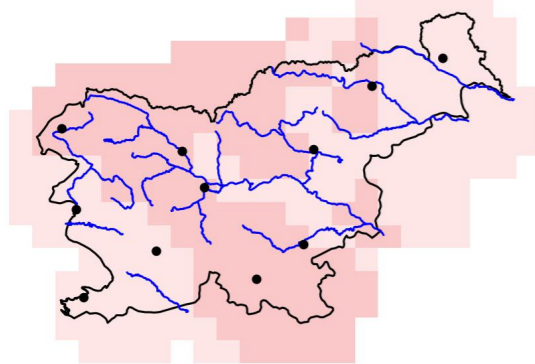
Povprečna temperatura, RCP4.5, pomlad

Odklon glede na obdobje 1981–2010

Zanesljivost

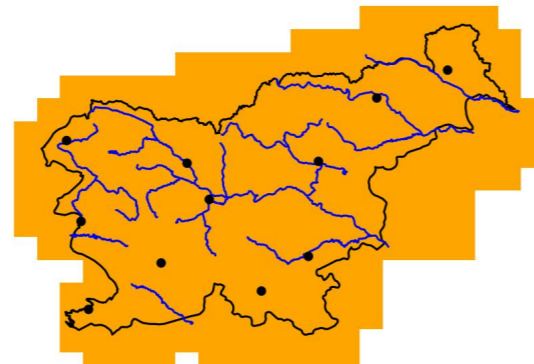
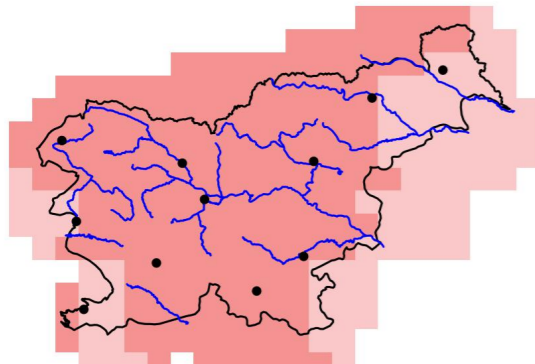
2011–2040

2011–2040



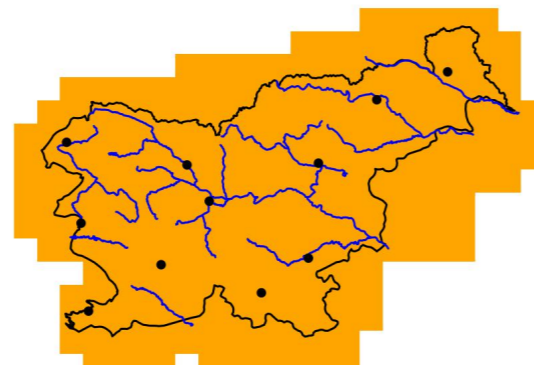
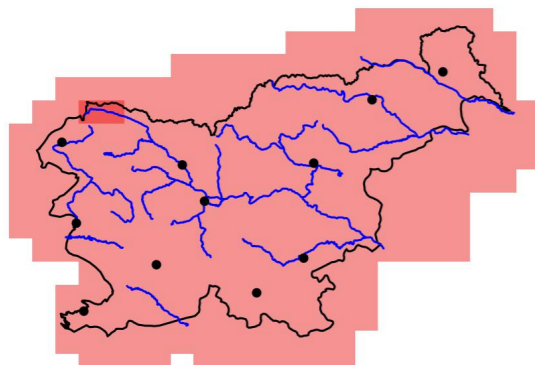
2041–2070

2041–2070

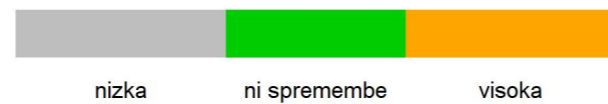
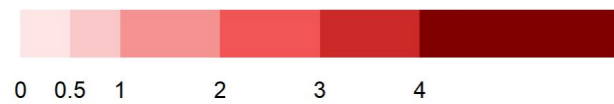


2071–2100

2071–2100



°C



Slika 1.54 | Sprememba povprečne temperature zraka spomladi v treh projekcijskih obdobjih glede na obdobje 1981–2010 in pripadajoča zanesljivost spremembe za scenarij RCP4.5

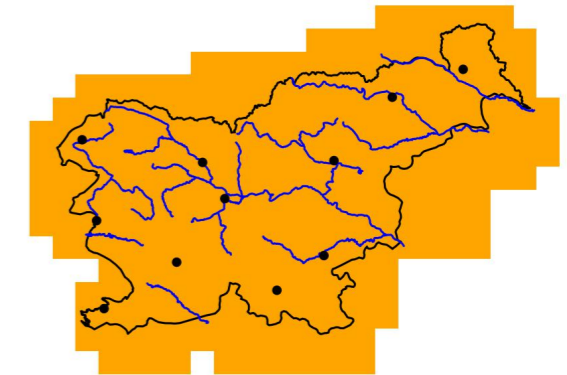
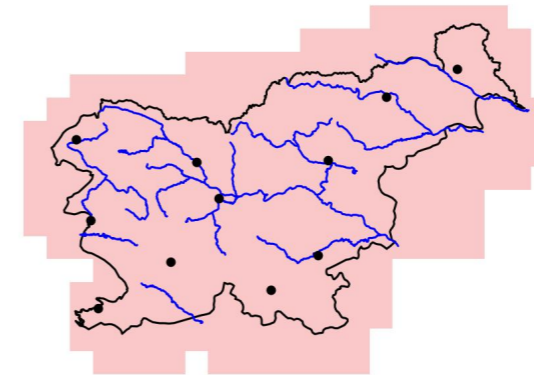
Povprečna temperatura, RCP4.5, poletje

Odklon glede na obdobje 1981–2010

Zanesljivost

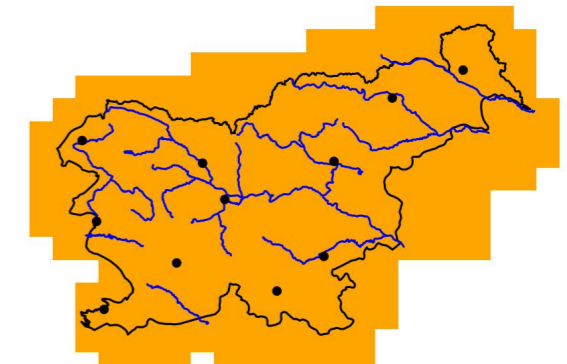
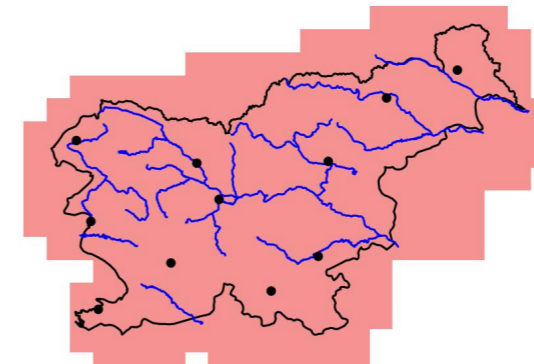
2011–2040

2011–2040



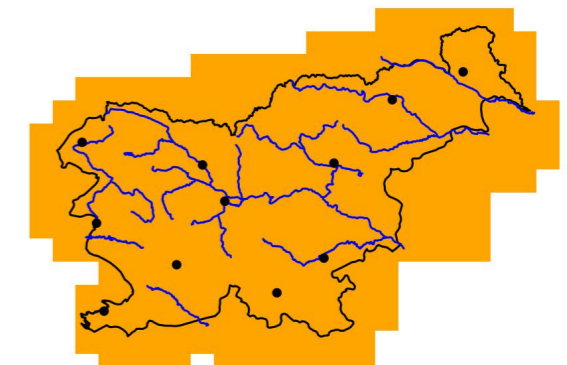
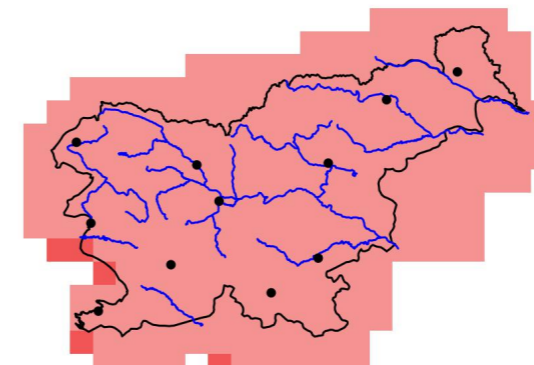
2041–2070

2041–2070

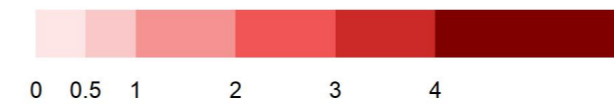


2071–2100

2071–2100



°C



Slika 1.55 | Sprememba povprečne temperature zraka poleti v treh projekcijskih obdobjih glede na obdobje 1981–2010 in pripadajoča zanesljivost spremembe za scenarij RCP4.5

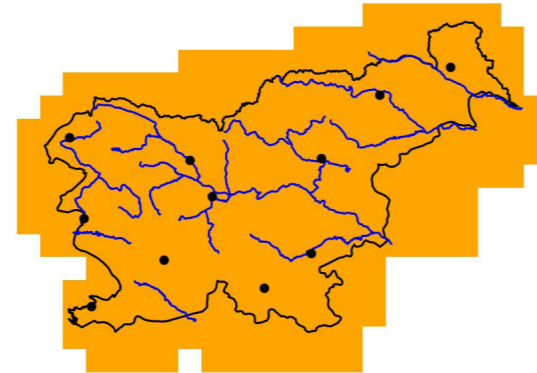
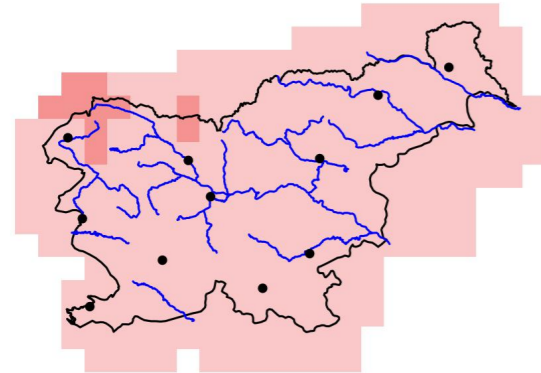
Povprečna temperatura, RCP4.5, jesen

Odklon glede na obdobje 1981–2010

Zanesljivost

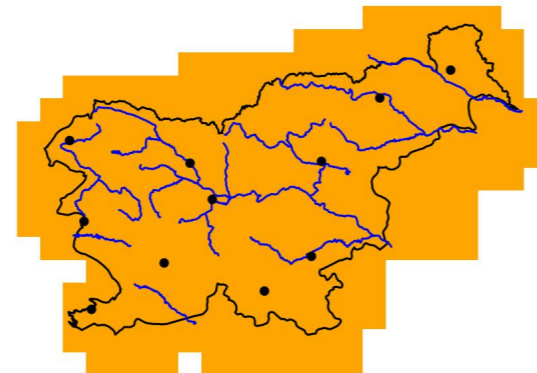
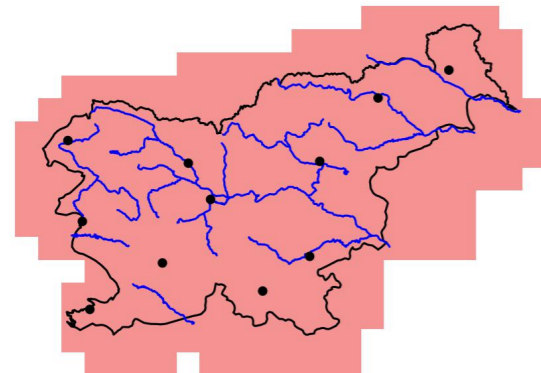
2011–2040

2011–2040



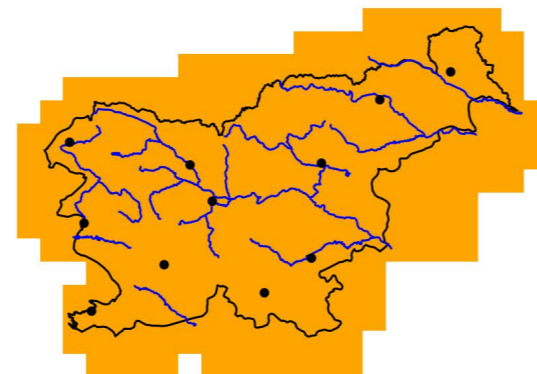
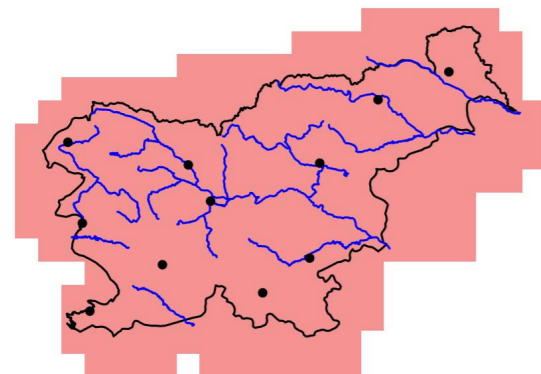
2041–2070

2041–2070

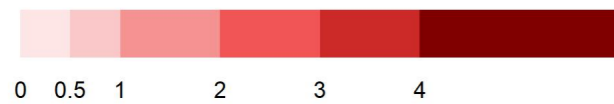


2071–2100

2071–2100



°C



Slika 1.56 | Sprememba povprečne temperature zraka jeseni v treh projekcijskih obdobjih glede na obdobje 1981–2010 in pripadajoča zanesljivost spremembe za scenarij RCP4.5

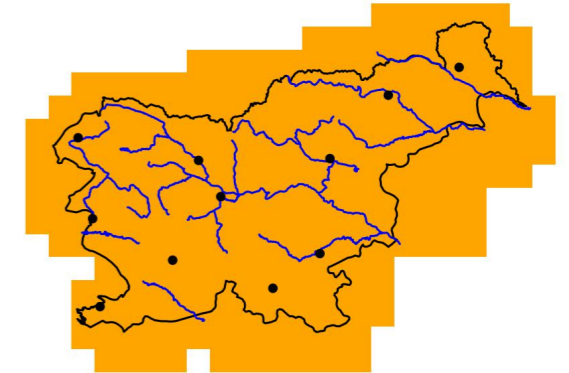
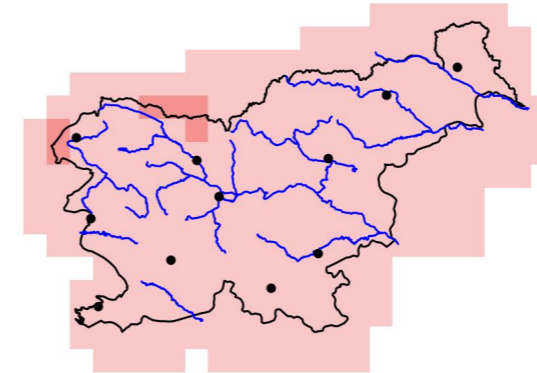
Povprečna temperatura, RCP4.5, zima

Odklon glede na obdobje 1981–2010

Zanesljivost

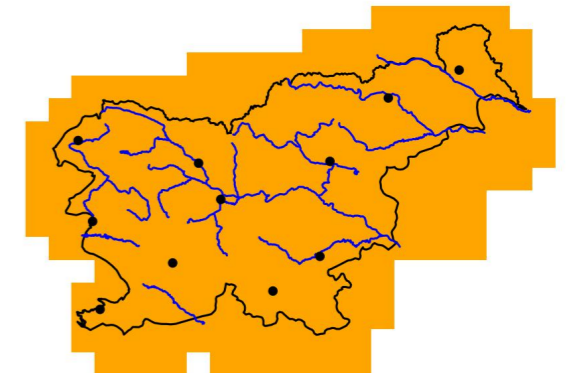
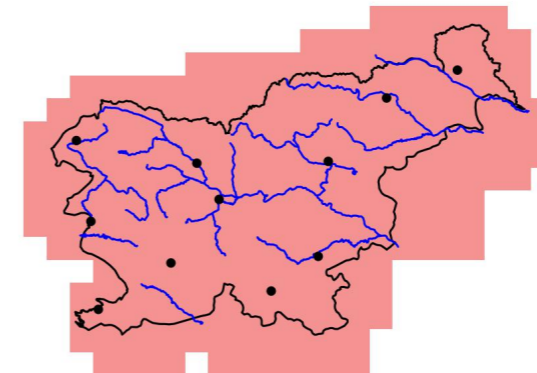
2011–2040

2011–2040



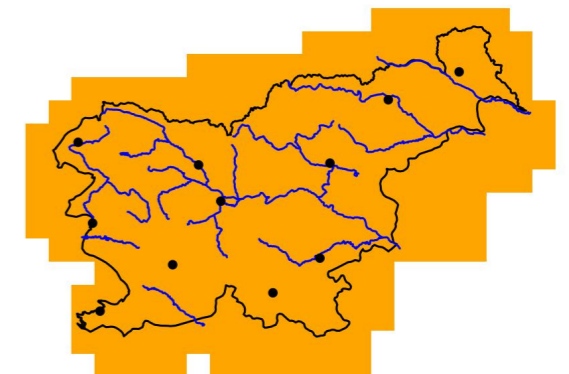
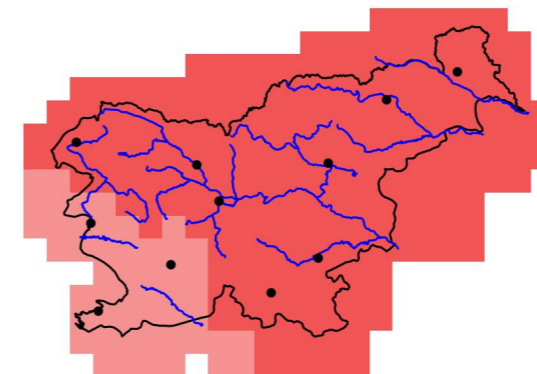
2041–2070

2041–2070

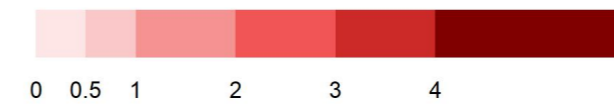


2071–2100

2071–2100



°C



Slika 1.57 | Sprememba povprečne temperature zraka pozimi v treh projekcijskih obdobjih glede na obdobje 1981–2010 in pripadajoča zanesljivost spremembe za scenarij RCP4.5

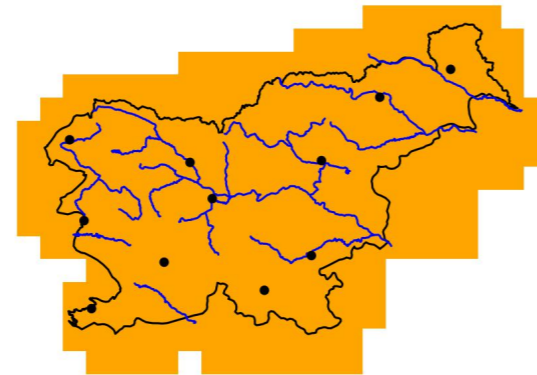
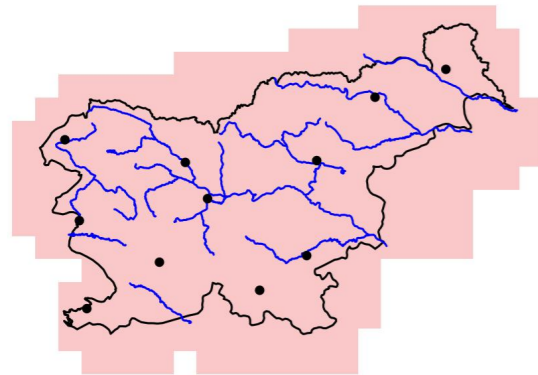
Povprečna temperatura, RCP8.5, leto

Odklon glede na obdobje 1981–2010

Zanesljivost

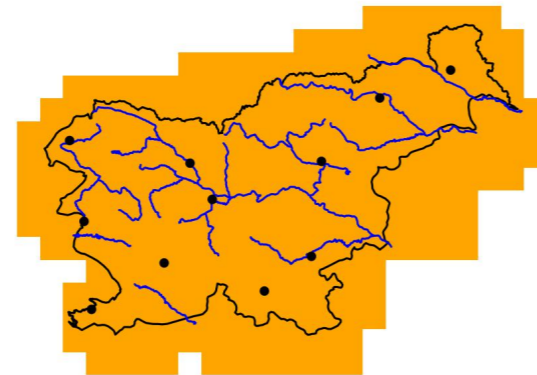
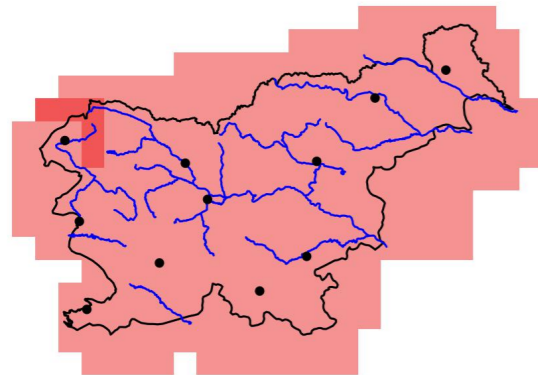
2011–2040

2011–2040



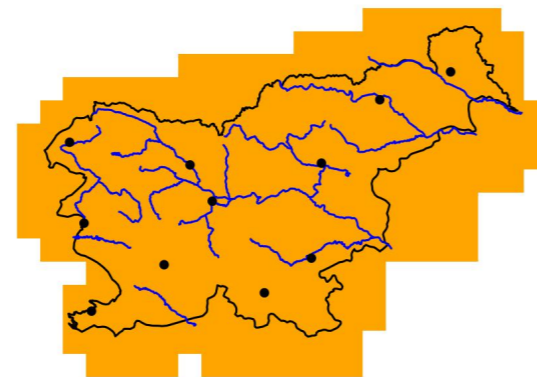
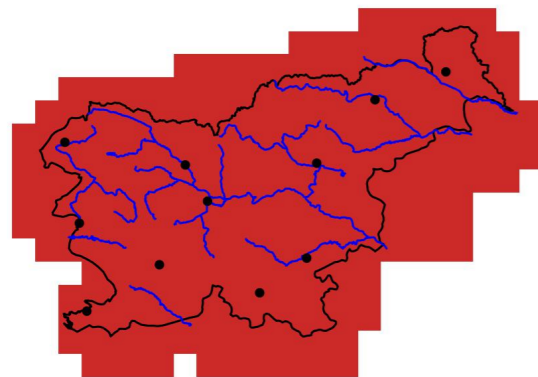
2041–2070

2041–2070



2071–2100

2071–2100



°C

0 0.5 1 2 3 4

nizka ni spremembe visoka

Slika 1.58 | Sprememba letnega povprečja temperature zraka v treh projekcijskih obdobjih glede na obdobje 1981–2010 in pripadajoča zanesljivost spremembe za scenarij RCP8.5

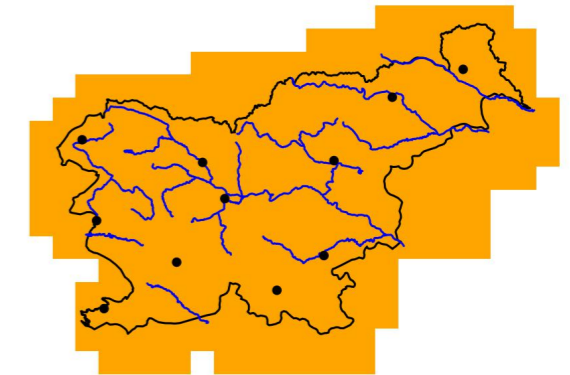
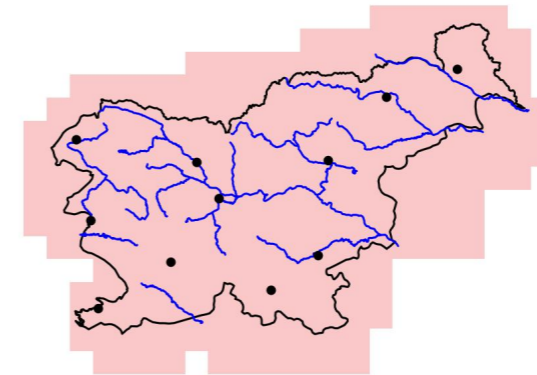
Povprečna temperatura, RCP8.5, pomlad

Odklon glede na obdobje 1981–2010

Zanesljivost

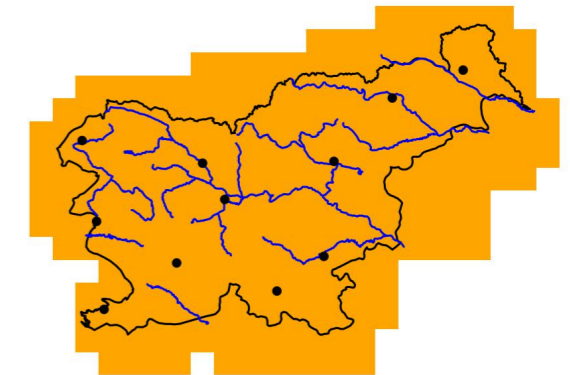
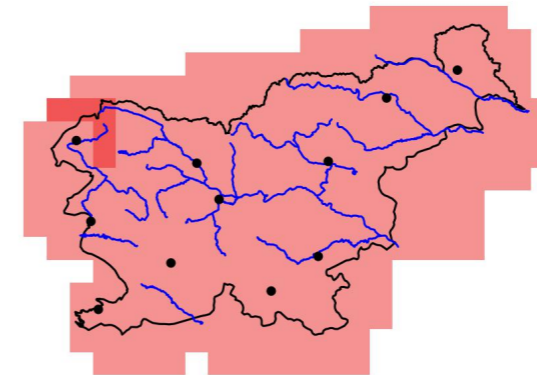
2011–2040

2011–2040



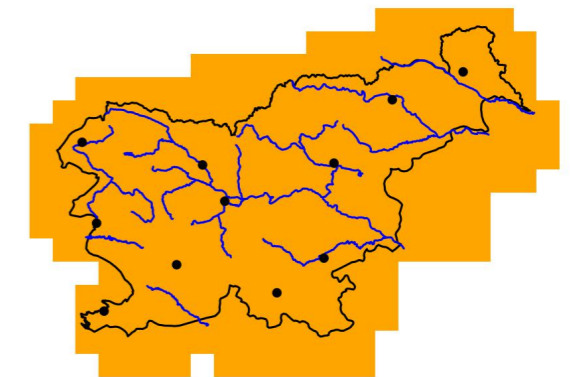
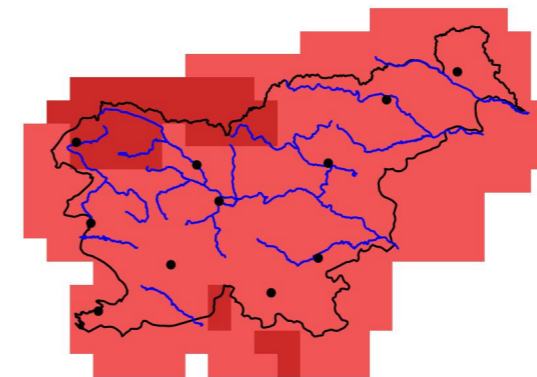
2041–2070

2041–2070



2071–2100

2071–2100



°C

0 0.5 1 2 3 4

nizka ni spremembe visoka

Slika 1.59 | Sprememba povprečne temperature zraka spomladi v treh projekcijskih obdobjih glede na obdobje 1981–2010 in pripadajoča zanesljivost spremembe za scenarij RCP8.5

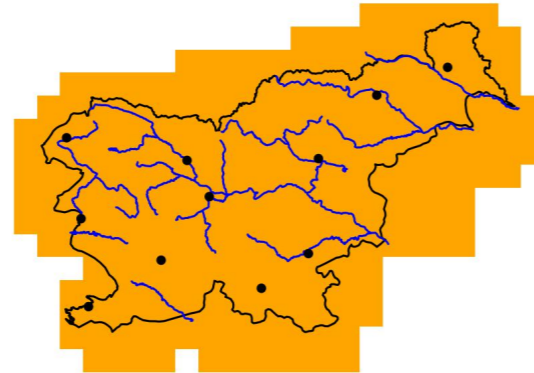
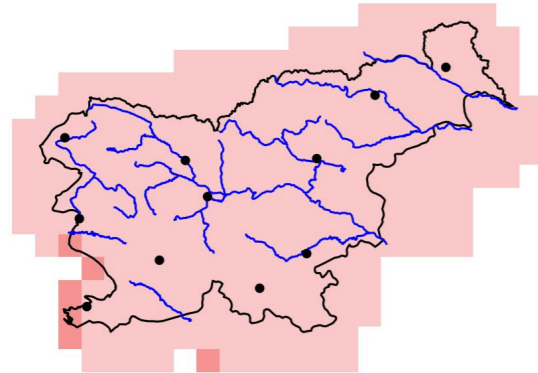
Povprečna temperatura, RCP8.5, poletje

Odklon glede na obdobje 1981–2010

Zanesljivost

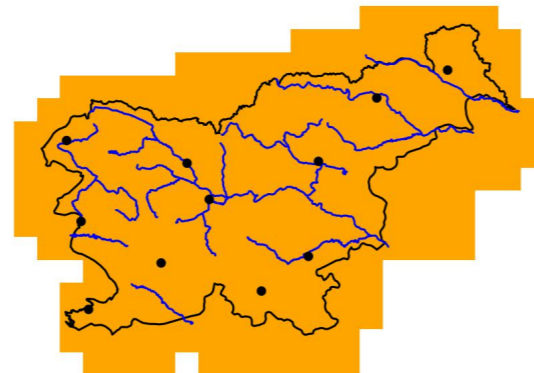
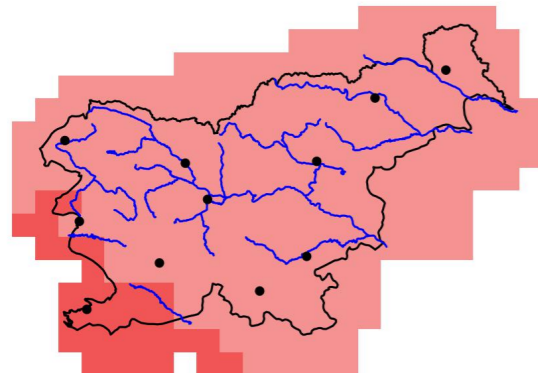
2011–2040

2011–2040



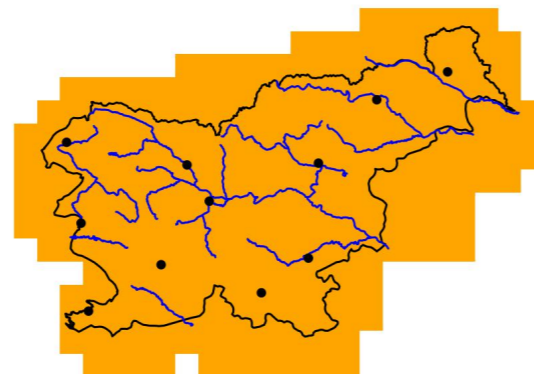
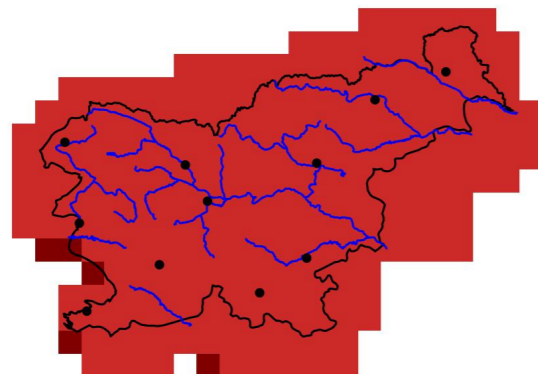
2041–2070

2041–2070

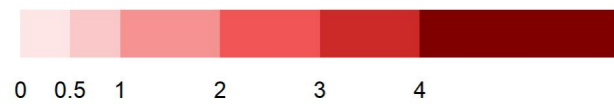


2071–2100

2071–2100



°C



Slika 1.60 | Sprememba povprečne temperature zraka poleti v treh projekcijskih obdobjih glede na obdobje 1981–2010 in pripadajoča zanesljivost spremembe za scenarij RCP8.5

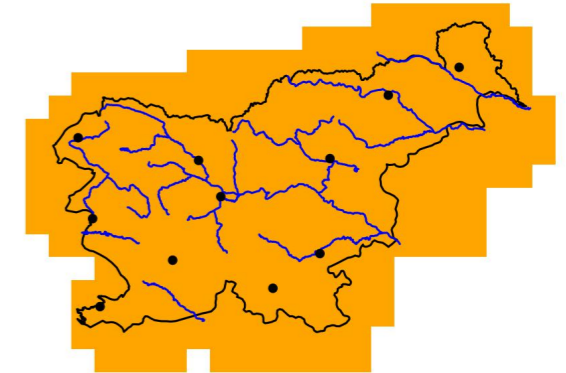
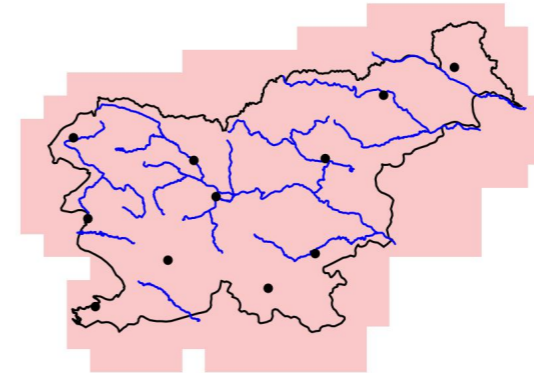
Povprečna temperatura, RCP8.5, jesen

Odklon glede na obdobje 1981–2010

Zanesljivost

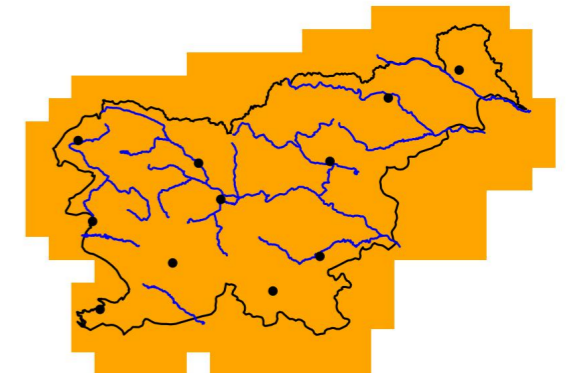
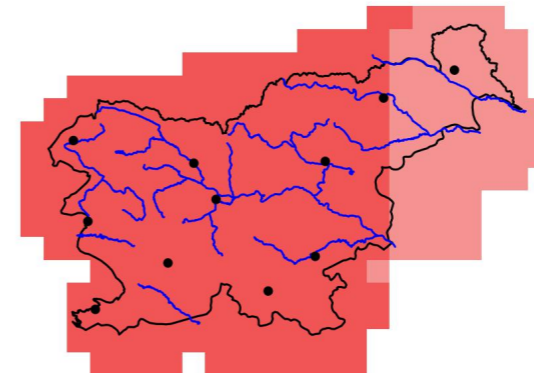
2011–2040

2011–2040



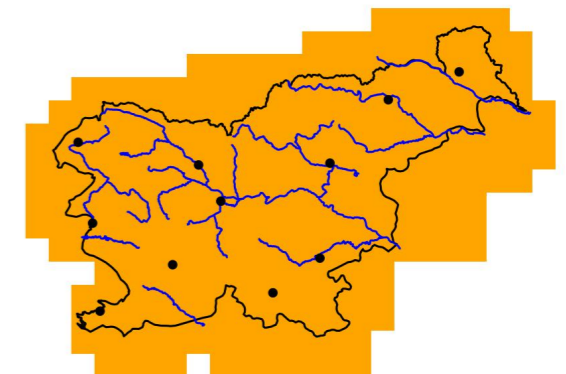
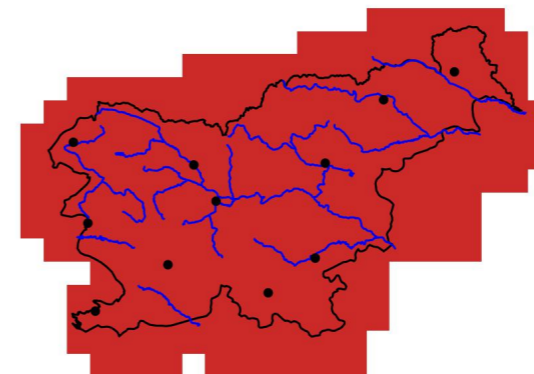
2041–2070

2041–2070

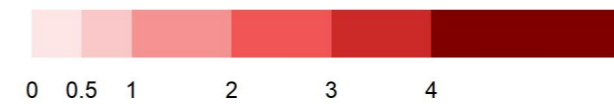


2071–2100

2071–2100



°C



Slika 1.61 | Sprememba povprečne temperature zraka jeseni v treh projekcijskih obdobjih glede na obdobje 1981–2010 in pripadajoča zanesljivost spremembe za scenarij RCP8.5

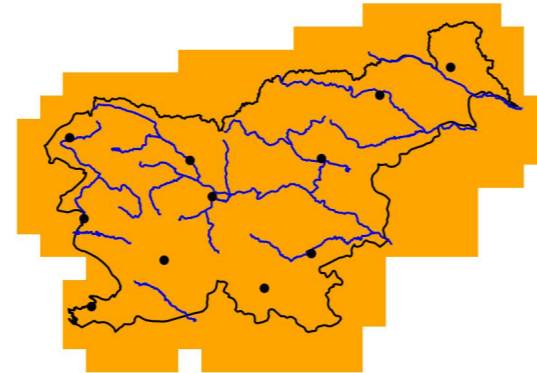
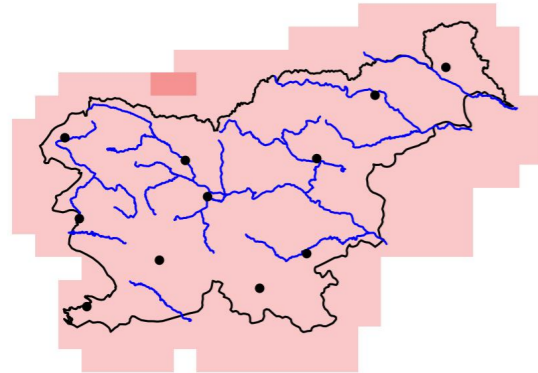
Povprečna temperatura, RCP8.5, zima

Odklon glede na obdobje 1981–2010

Zanesljivost

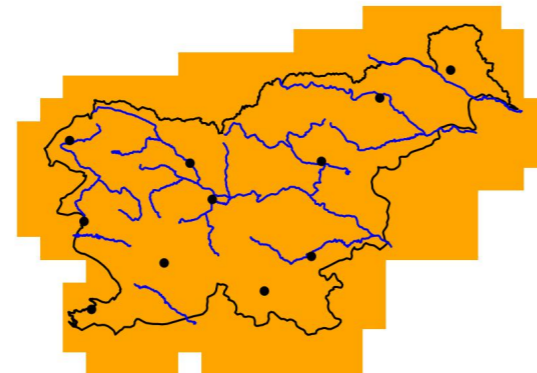
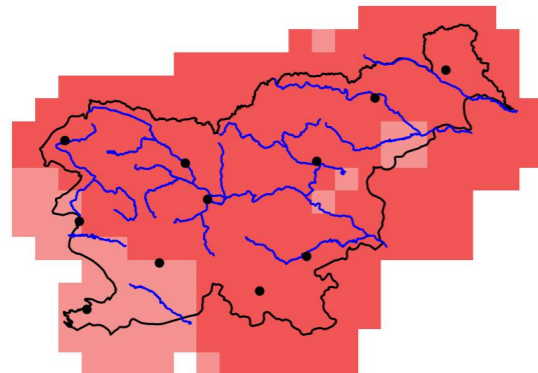
2011–2040

2011–2040



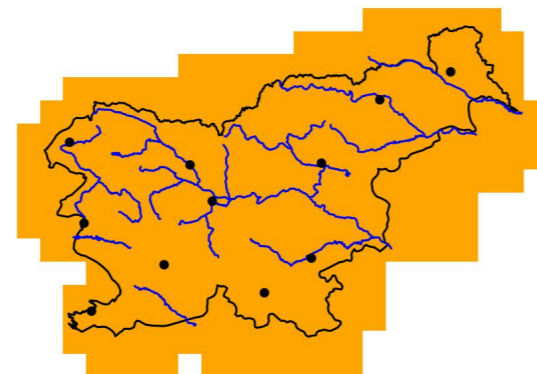
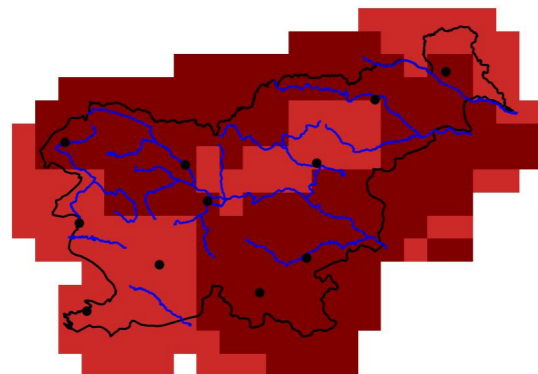
2041–2070

2041–2070

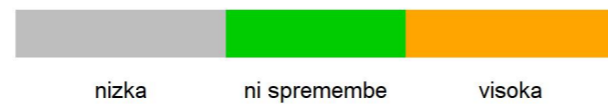
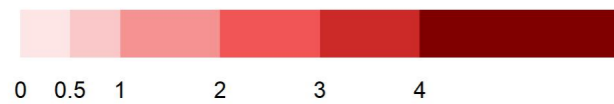


2071–2100

2071–2100



°C



Slika 1.62 | Sprememba povprečne temperature zraka pozimi v treh projekcijskih obdobjih glede na obdobje 1981–2010 in pripadajoča zanesljivost spremembe za scenarij RCP8.5

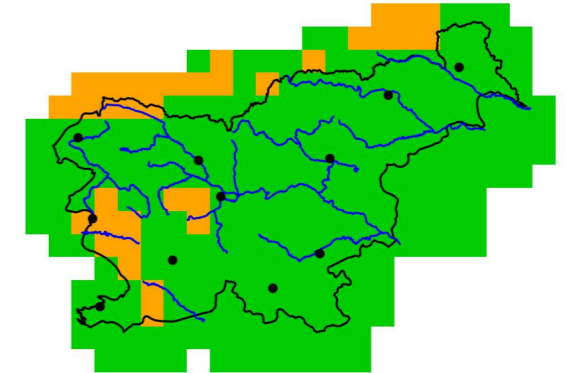
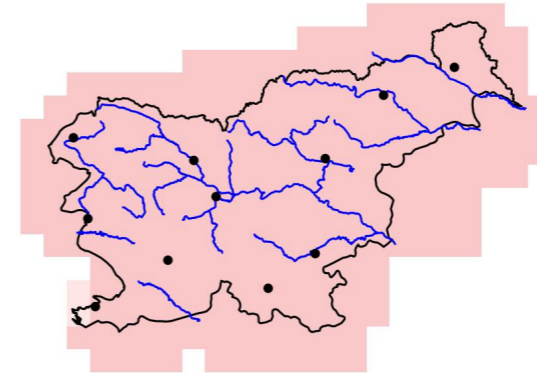
Povprečna dnevna najvišja temperatura, RCP2.6, leto

Odklon glede na obdobje 1981–2010

Zanesljivost

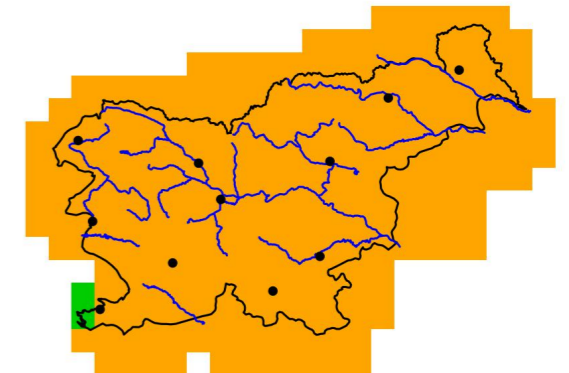
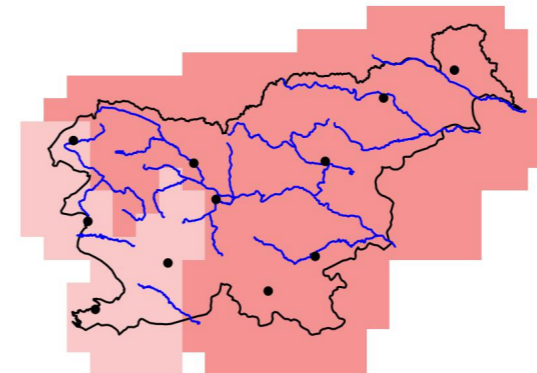
2011–2040

2011–2040



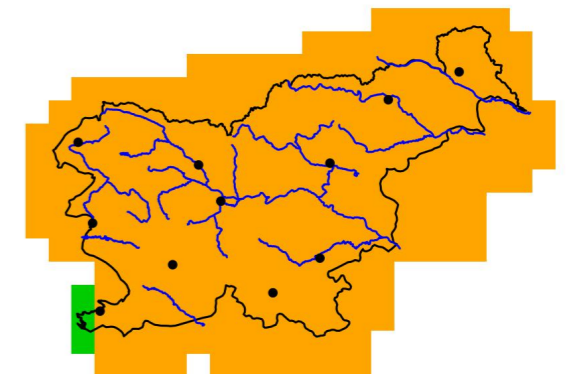
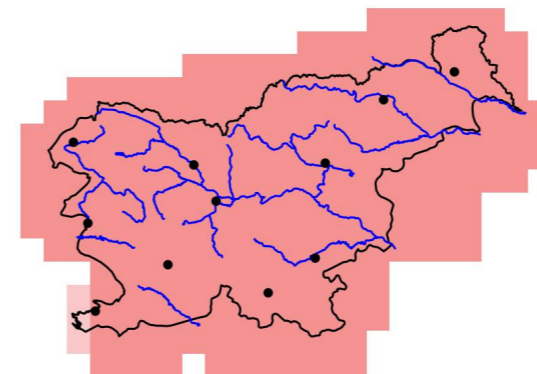
2041–2070

2041–2070

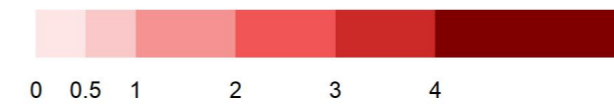


2071–2100

2071–2100



°C



Slika 1.63 | Sprememba letnega povprečja dnevne najvišje temperature zraka v treh projekcijskih obdobjih glede na obdobje 1981–2010 in pripadajoča zanesljivost spremembe za scenarij RCP2.6

Povprečna dnevna najvišja temperatura, RCP2.6, pomlad

Povprečna dnevna najvišja temperatura, RCP2.6, poletje

Odklon glede na obdobje 1981–2010

Zanesljivost

Odklon glede na obdobje 1981–2010

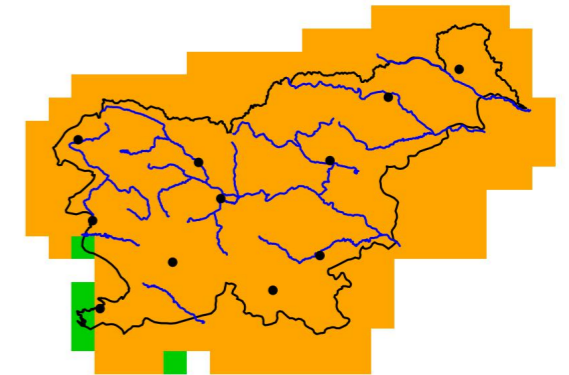
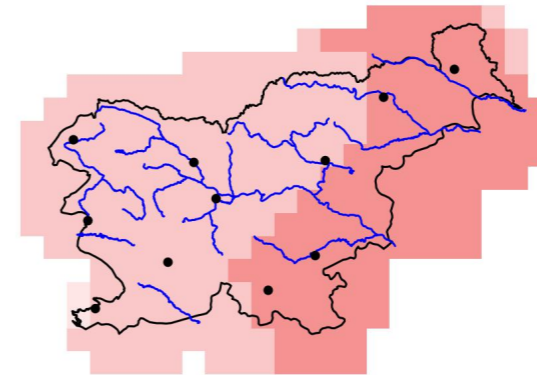
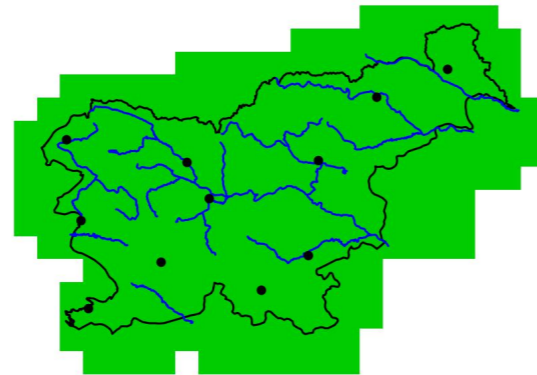
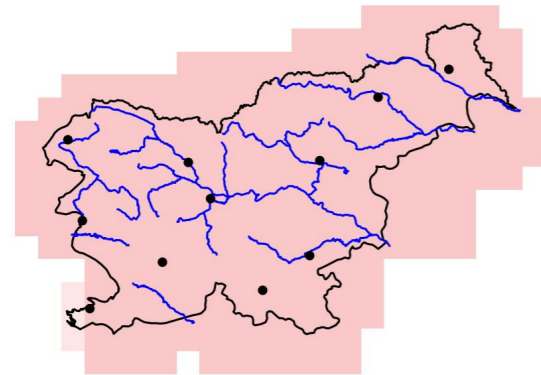
Zanesljivost

2011–2040

2011–2040

2011–2040

2011–2040

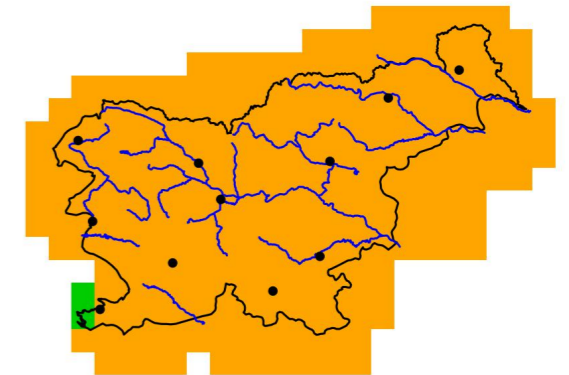
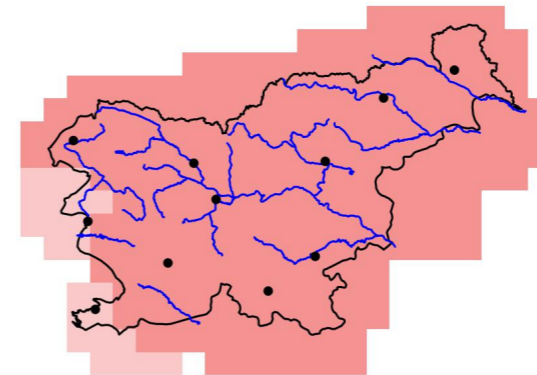
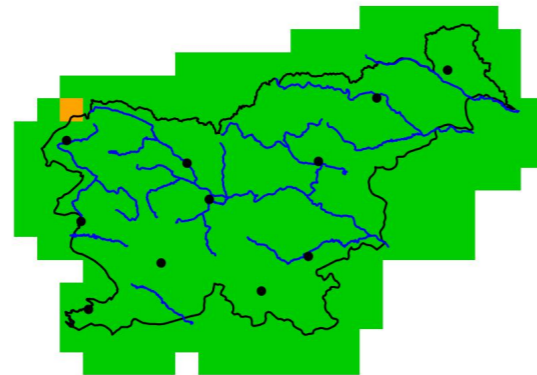
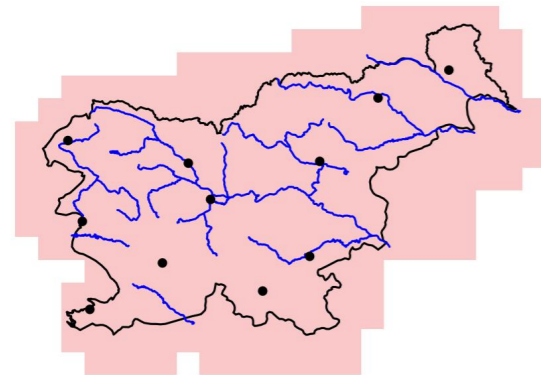


2041–2070

2041–2070

2041–2070

2041–2070

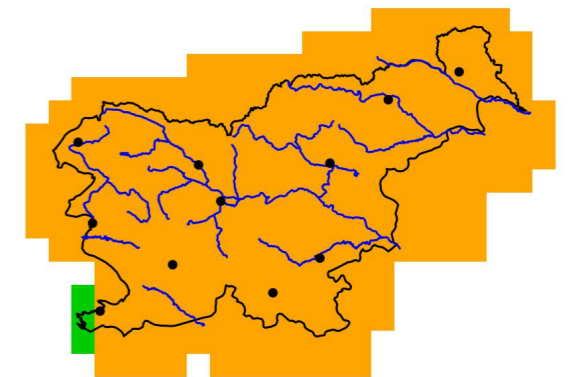
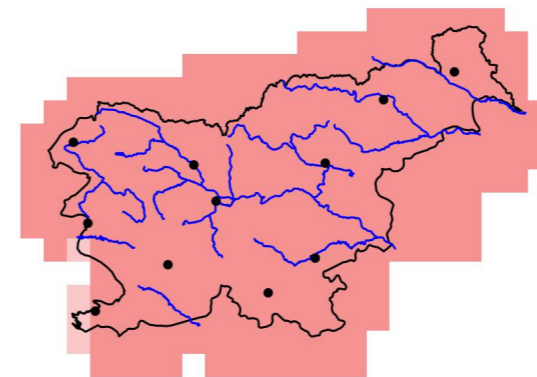
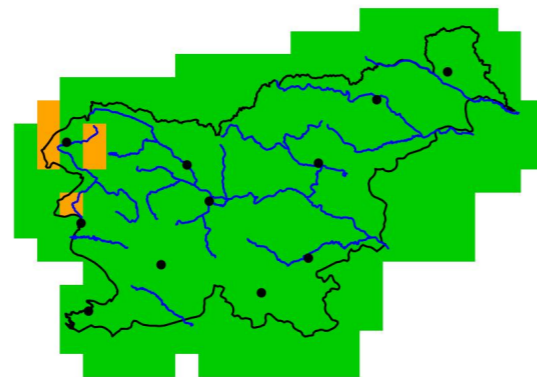
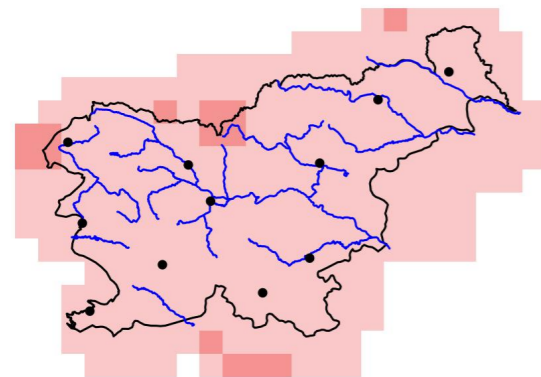


2071–2100

2071–2100

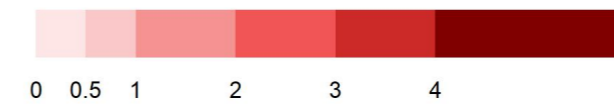
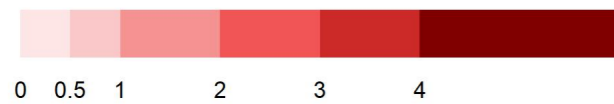
2071–2100

2071–2100



°C

°C

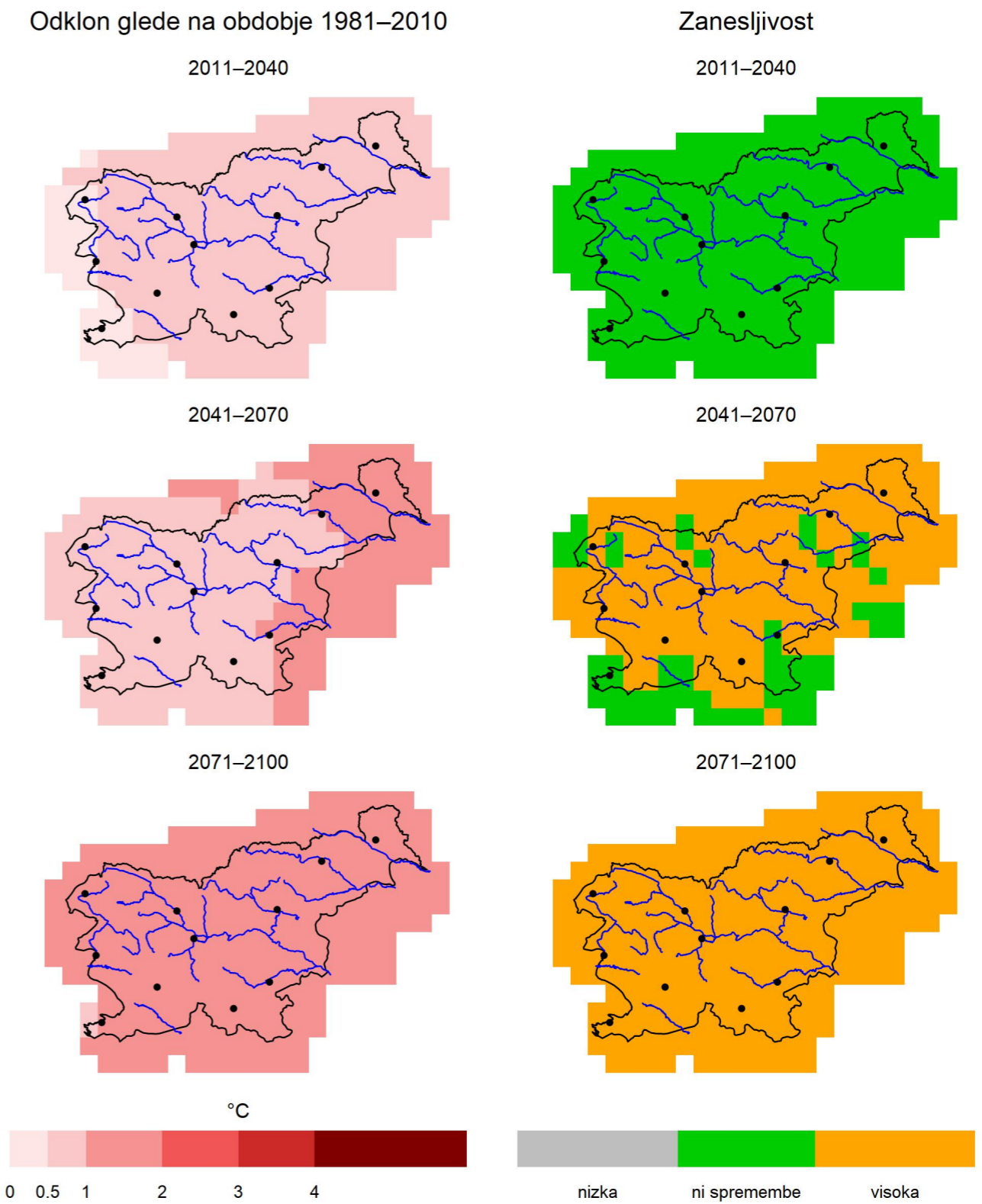
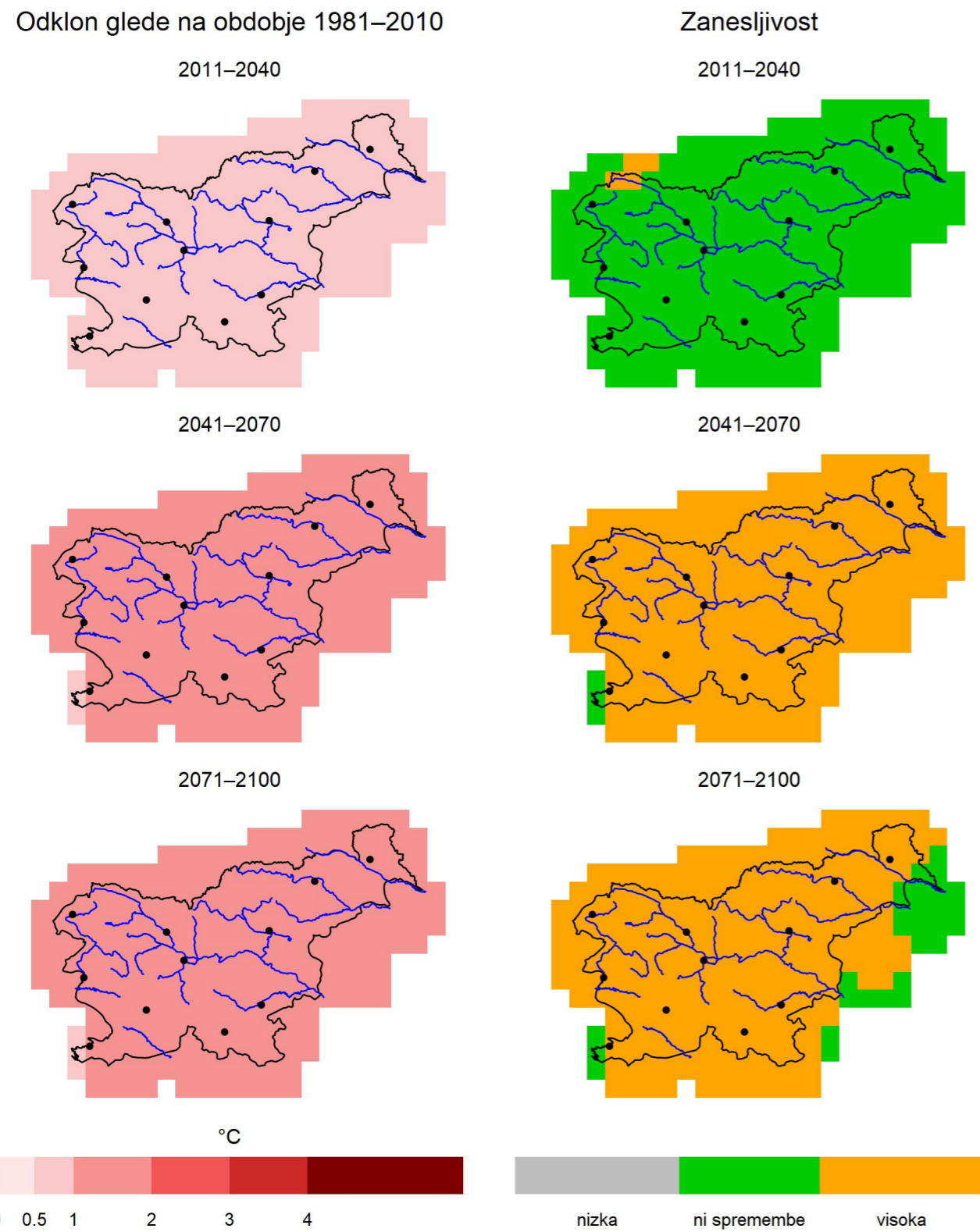


Slika 1.64 | Sprememba povprečne dnevne najvišje temperature zraka spomladi v treh projekcijskih obdobjih glede na obdobje 1981–2010 in pripadajoča zanesljivost spremembe za scenarij RCP2.6

Slika 1.65 | Sprememba povprečne dnevne najvišje temperature zraka poleti v treh projekcijskih obdobjih glede na obdobje 1981–2010 in pripadajoča zanesljivost spremembe za scenarij RCP2.6

Povprečna dnevna najvišja temperatura, RCP2.6, jesen

Povprečna dnevna najvišja temperatura, RCP2.6, zima

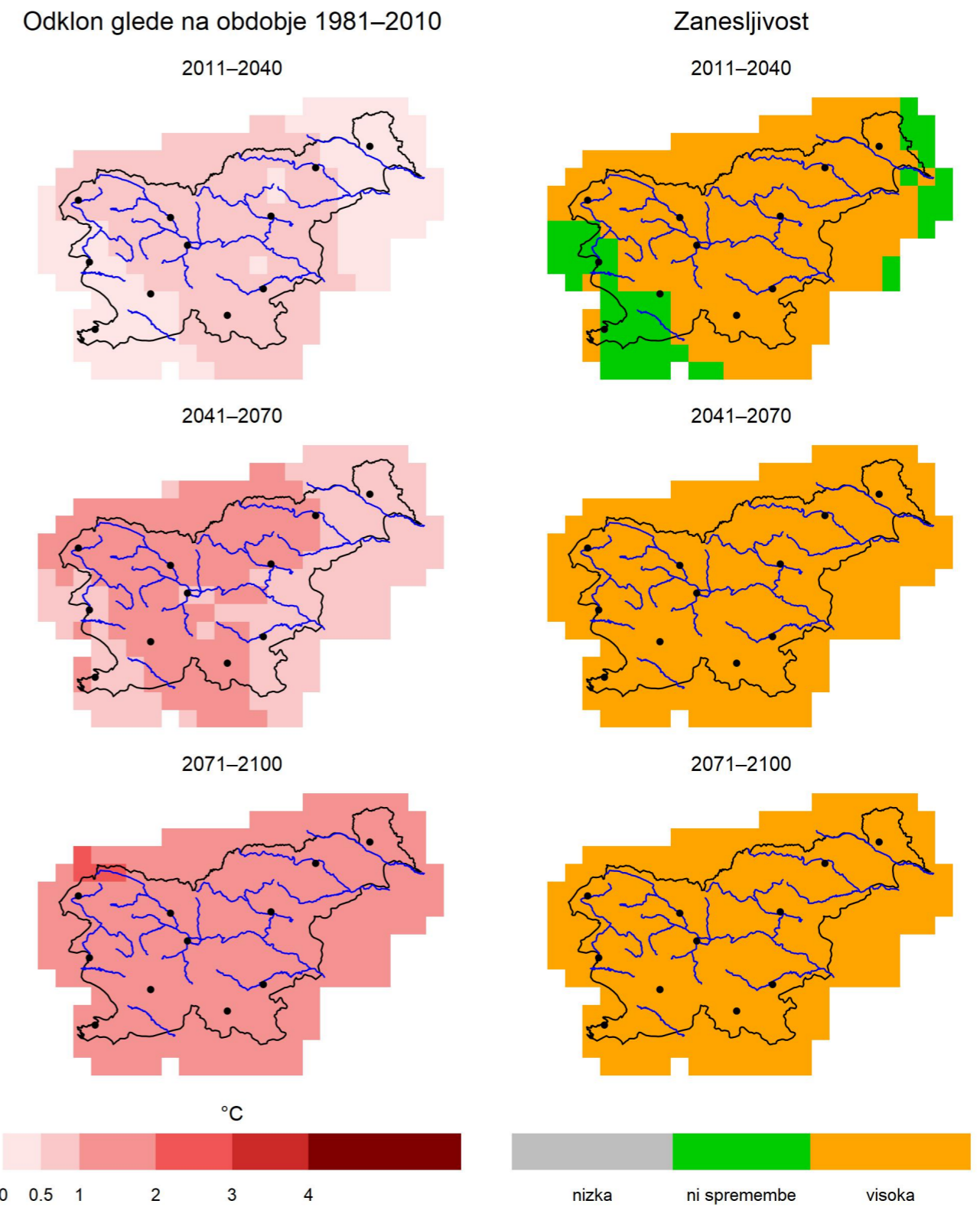
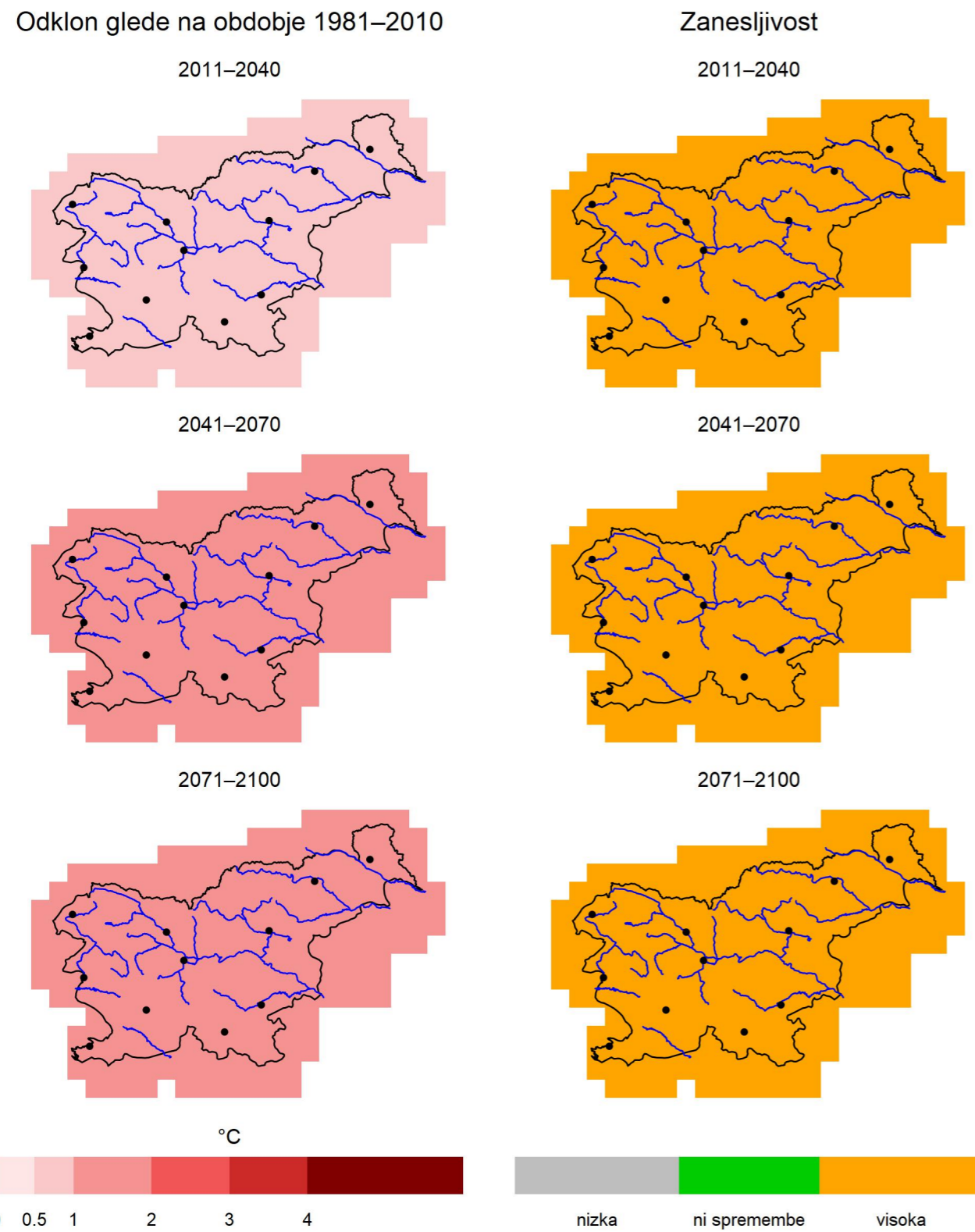


Slika 1.66 | Sprememba povprečne dnevne najvišje temperature zraka jeseni v treh projekcijskih obdobjih glede na obdobje 1981–2010 in pripadajoča zanesljivost spremembe za scenarij RCP2.6

Slika 1.67 | Sprememba povprečne dnevne najvišje temperature zraka pozimi v treh projekcijskih obdobjih glede na obdobje 1981–2010 in pripadajoča zanesljivost spremembe za scenarij RCP2.6

Povprečna dnevna najvišja temperatura, RCP4.5, leto

Povprečna dnevna najvišja temperatura, RCP4.5, pomlad



Slika 1.68 | Sprememba letnega povprečja dnevne najvišje temperature zraka v treh projekcijskih obdobjih glede na obdobje 181–2010 in pripadajoča zanesljivost spremembe za scenarij RCP4.5

Slika 1.69 | Sprememba povprečne dnevne najvišje temperature zraka spomladi v treh projekcijskih obdobjih glede na obdobje 181–2010 in pripadajoča zanesljivost spremembe za scenarij RCP4.5

Povprečna dnevna najvišja temperatura, RCP4.5, poletje

Povprečna dnevna najvišja temperatura, RCP4.5, jesen

Odklon glede na obdobje 1981–2010

Zanesljivost

Odklon glede na obdobje 1981–2010

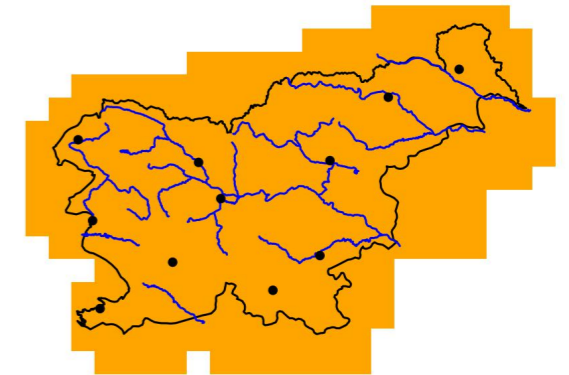
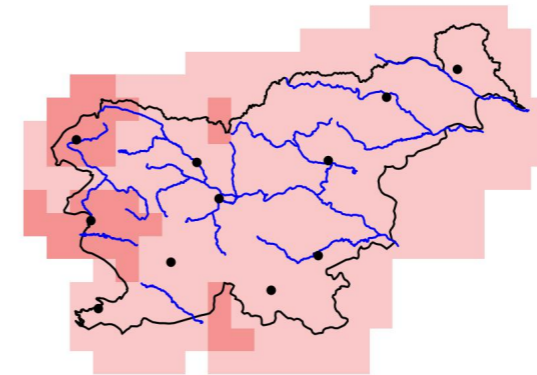
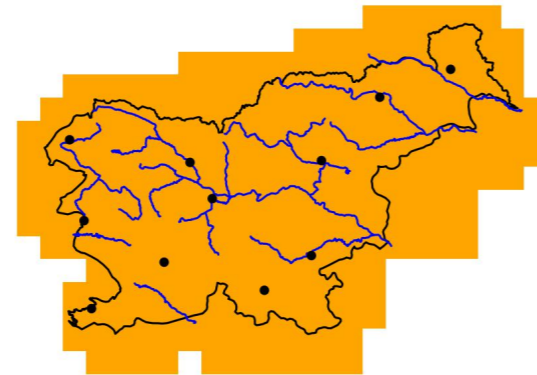
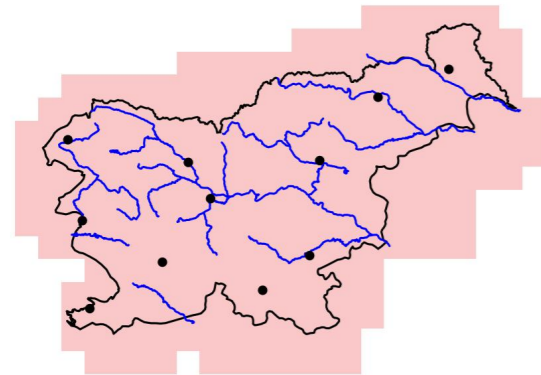
Zanesljivost

2011–2040

2011–2040

2011–2040

2011–2040

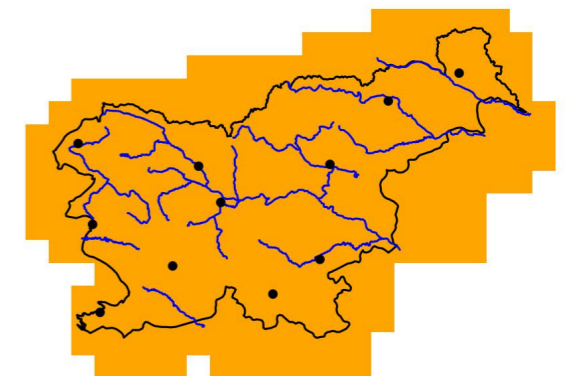
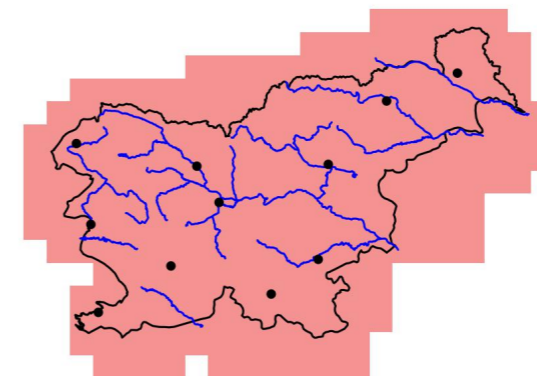
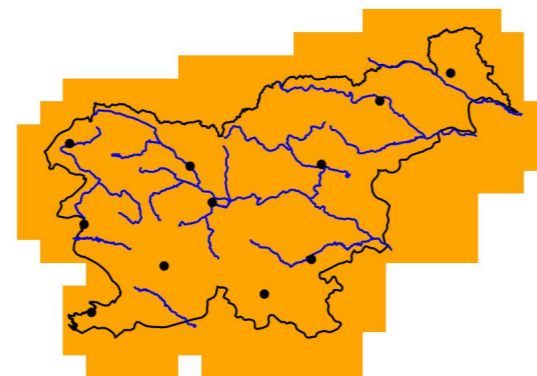
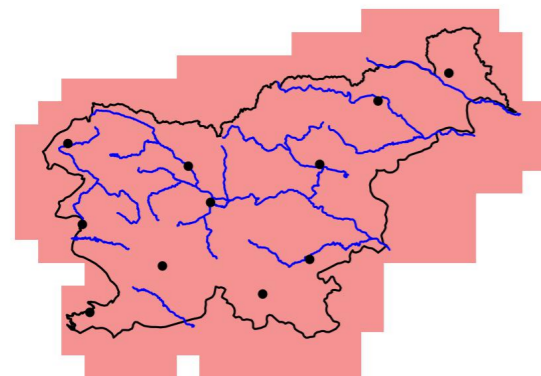


2041–2070

2041–2070

2041–2070

2041–2070

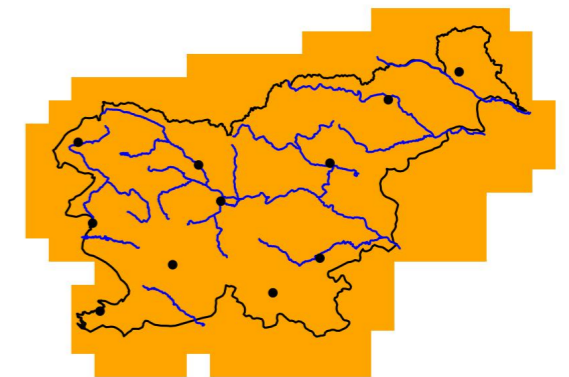
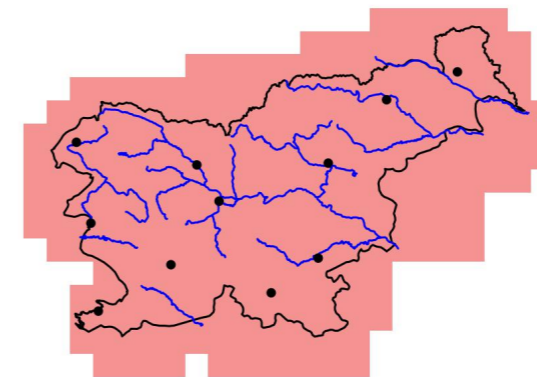
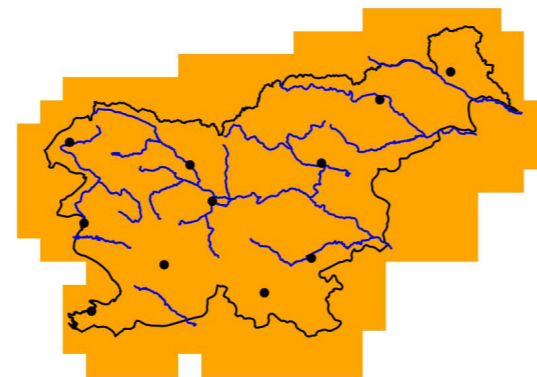
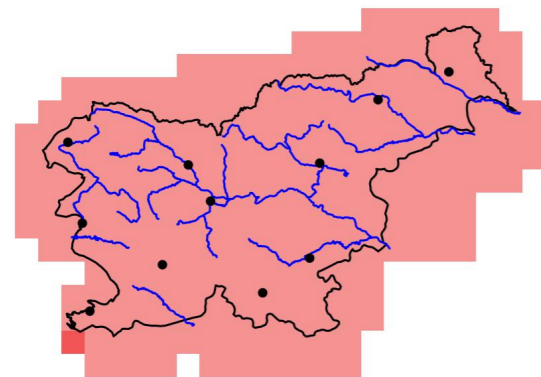


2071–2100

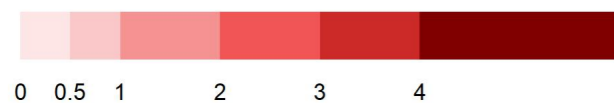
2071–2100

2071–2100

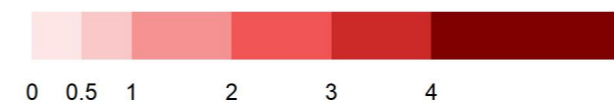
2071–2100



°C



°C

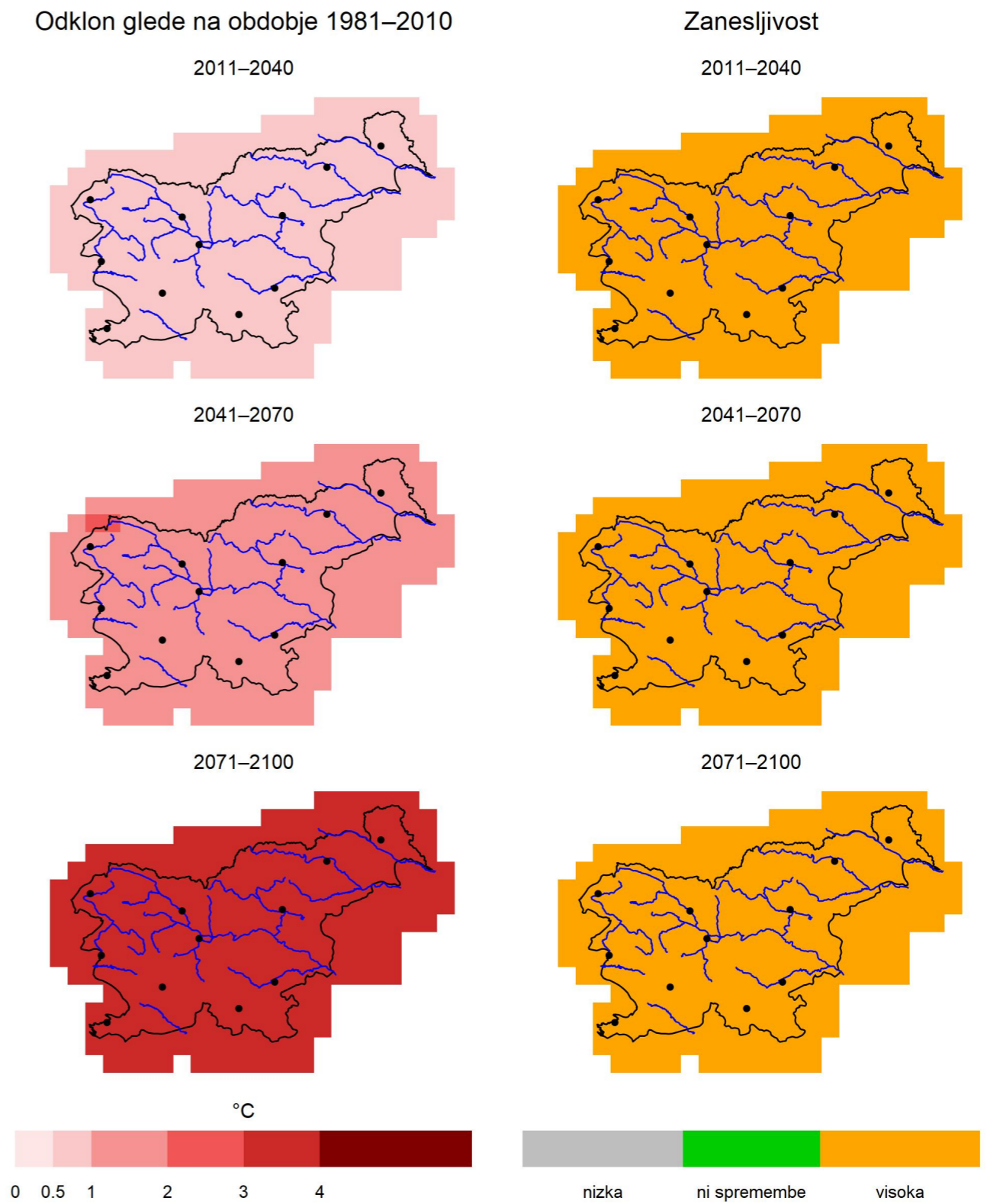
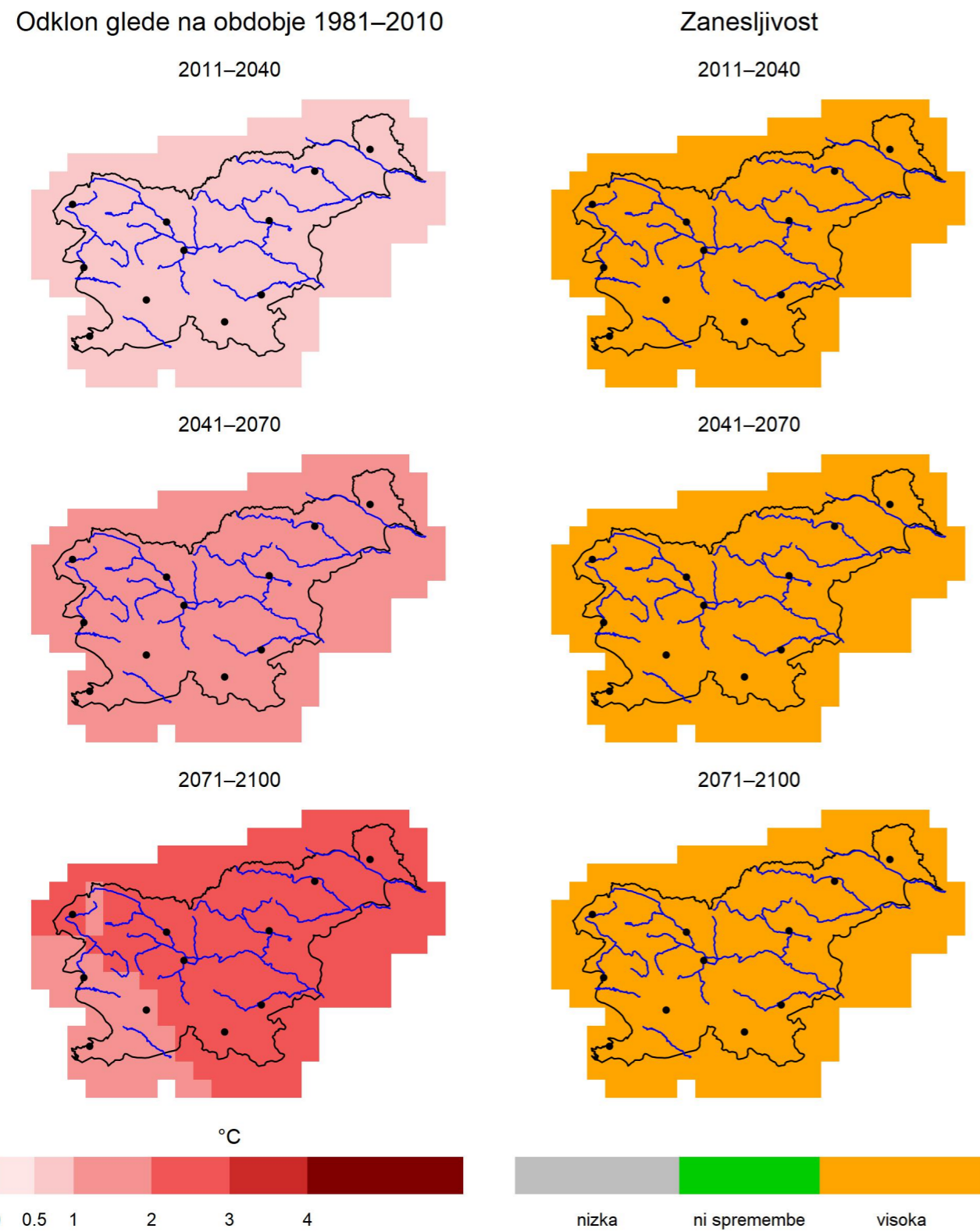


Slika 1.70 | Sprememba povprečne dnevne najvišje temperature zraka poleti v treh projekcijskih obdobjih glede na obdobje 1981–2010 in pripadajoča zanesljivost spremembe za scenarij RCP4.5

Slika 1.71 | Sprememba povprečne dnevne najvišje temperature zraka jeseni v treh projekcijskih obdobjih glede na obdobje 1981–2010 in pripadajoča zanesljivost spremembe za scenarij RCP4.5

Povprečna dnevna najvišja temperatura, RCP4.5, zima

Povprečna dnevna najvišja temperatura, RCP8.5, leto

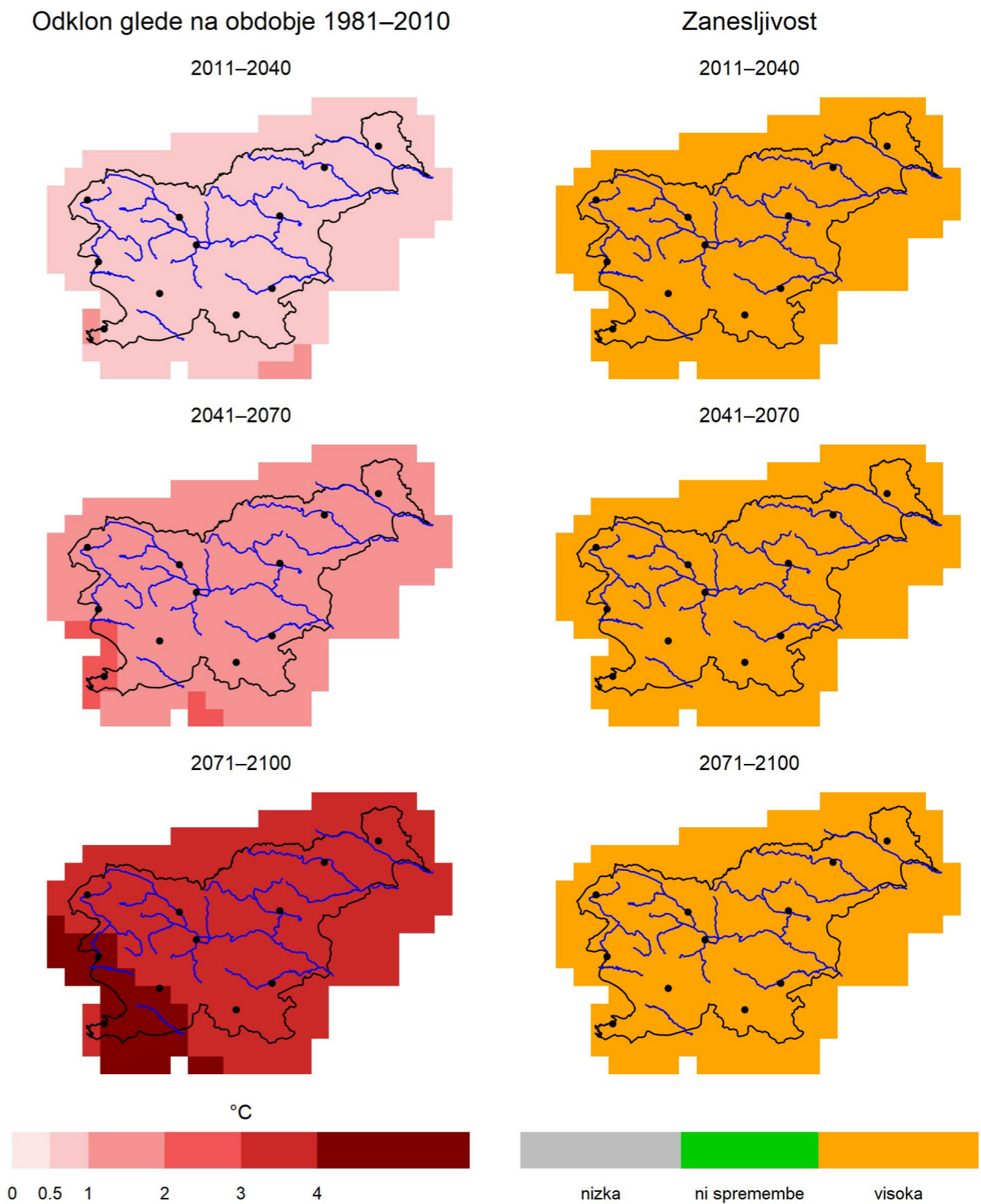
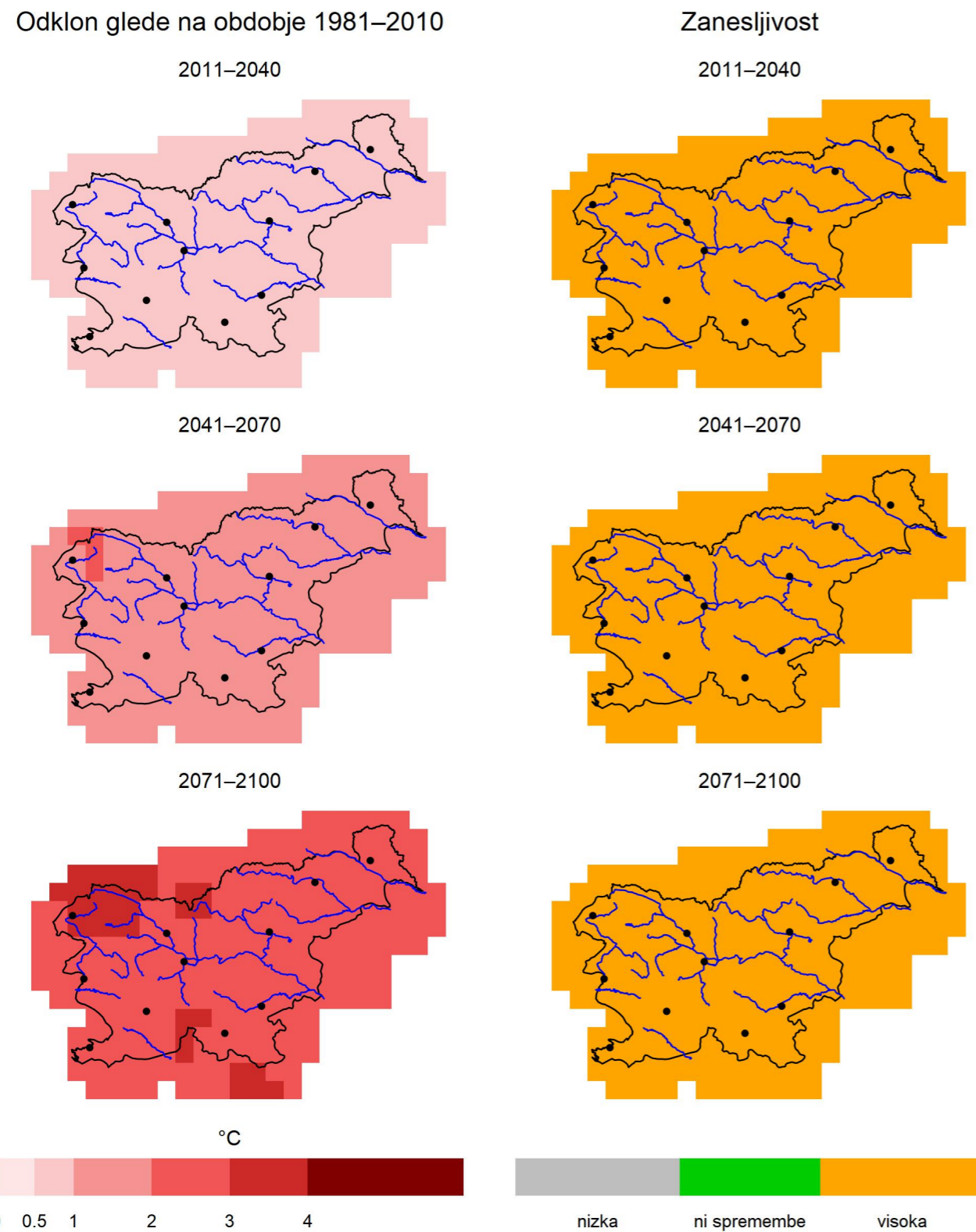


Slika 1.72 | Sprememba povprečne dnevne najvišje temperature zraka pozimi v treh projekcijskih obdobjih glede na obdobje 181–2010 in pripadajoča zanesljivost spremembe za scenarij RCP4.5

Slika 1.73 | Sprememba letnega povprečja dnevne najvišje temperature zraka v treh projekcijskih obdobjih glede na obdobje 181–2010 in pripadajoča zanesljivost spremembe za scenarij RCP8.5

Povprečna dnevna najvišja temperatura, RCP8.5, pomlad

Povprečna dnevna najvišja temperatura, RCP8.5, poletje



Slika 1.74 | Sprememba povprečne dnevne najvišje temperature zraka spomladi v treh projekcijskih obdobjih glede na obdobje 1981–2010 in pripadajoča zanesljivost spremembe za scenarij RCP8.5

Slika 1.75 | Sprememba povprečne dnevne najvišje temperature zraka poleti v treh projekcijskih obdobjih glede na obdobje 1981–2010 in pripadajoča zanesljivost spremembe za scenarij RCP8.5

Povprečna dnevna najvišja temperatura, RCP8.5, jesen

Povprečna dnevna najvišja temperatura, RCP8.5, zima

Odklon glede na obdobje 1981–2010

Zanesljivost

Odklon glede na obdobje 1981–2010

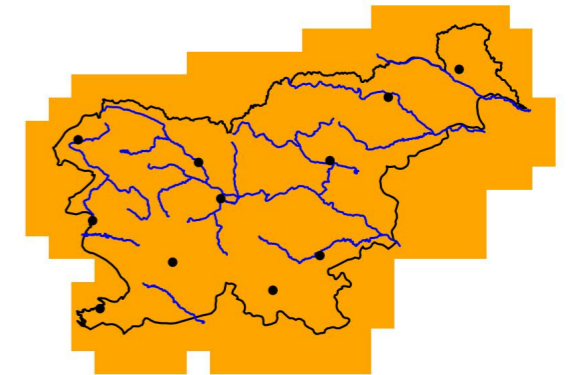
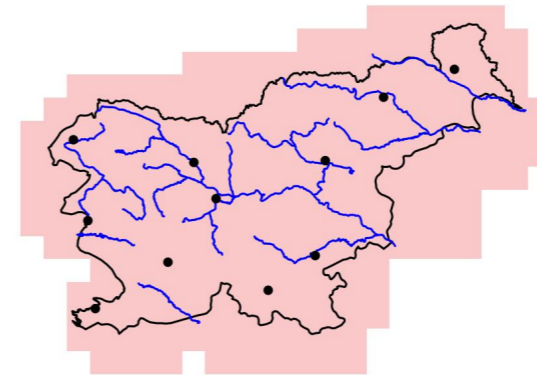
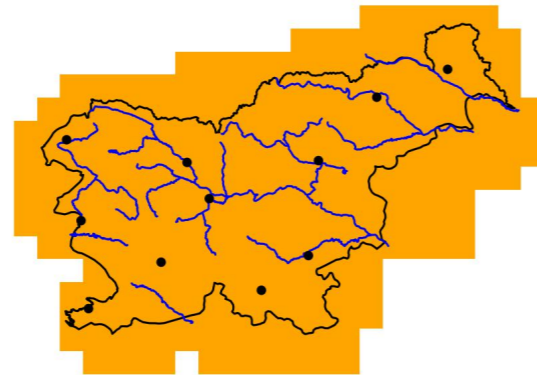
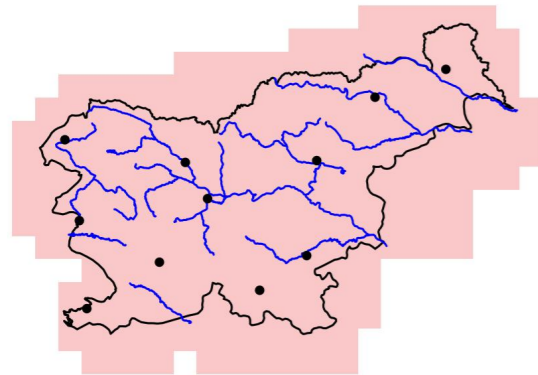
Zanesljivost

2011–2040

2011–2040

2011–2040

2011–2040

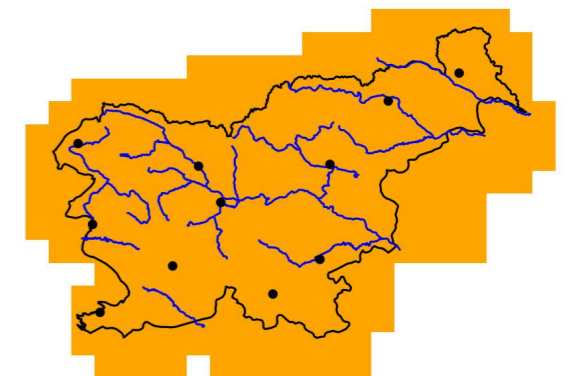
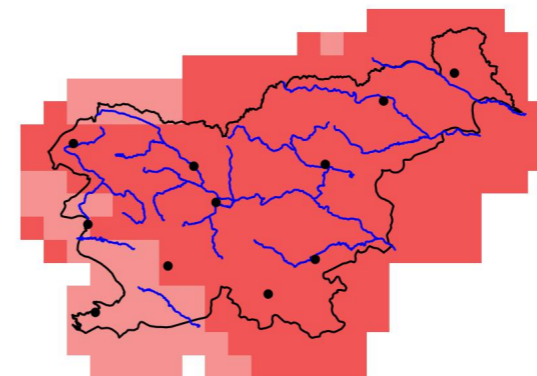
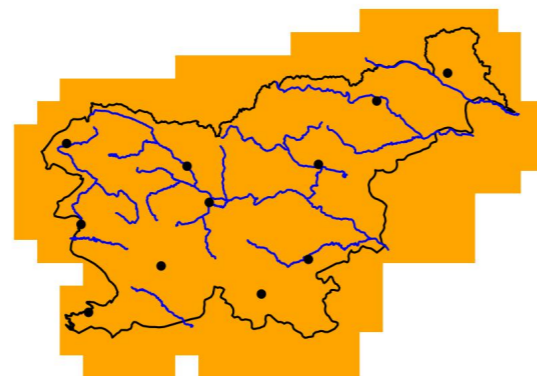
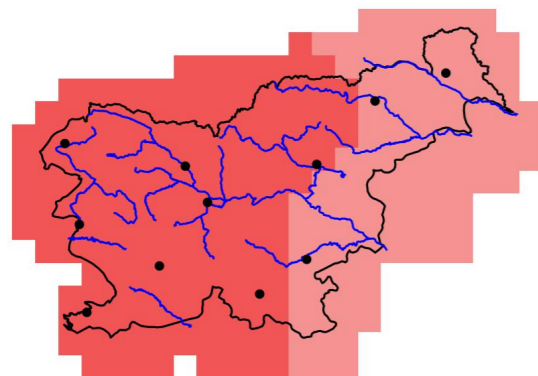


2041–2070

2041–2070

2041–2070

2041–2070

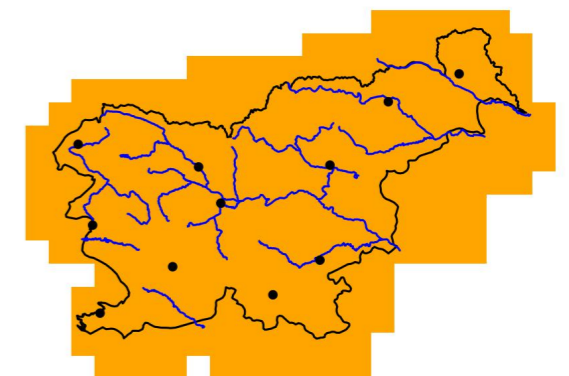
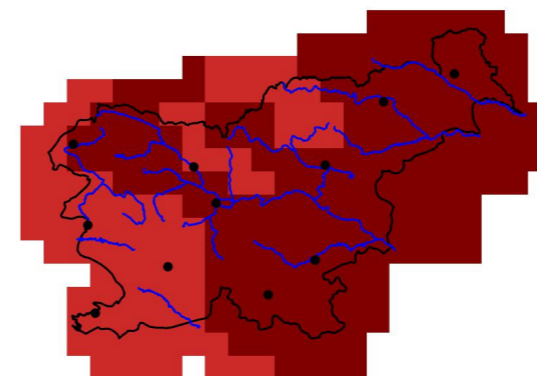
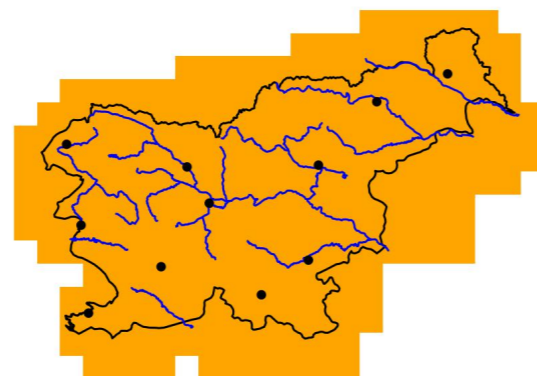
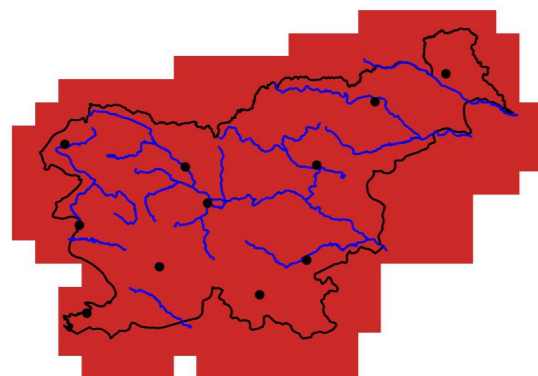


2071–2100

2071–2100

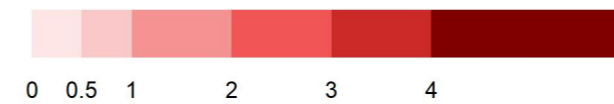
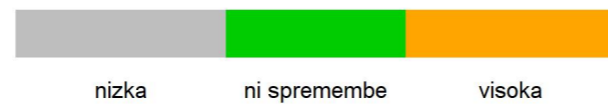
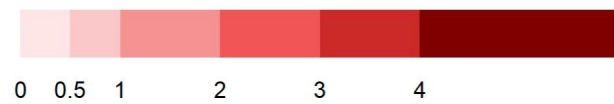
2071–2100

2071–2100



°C

°C

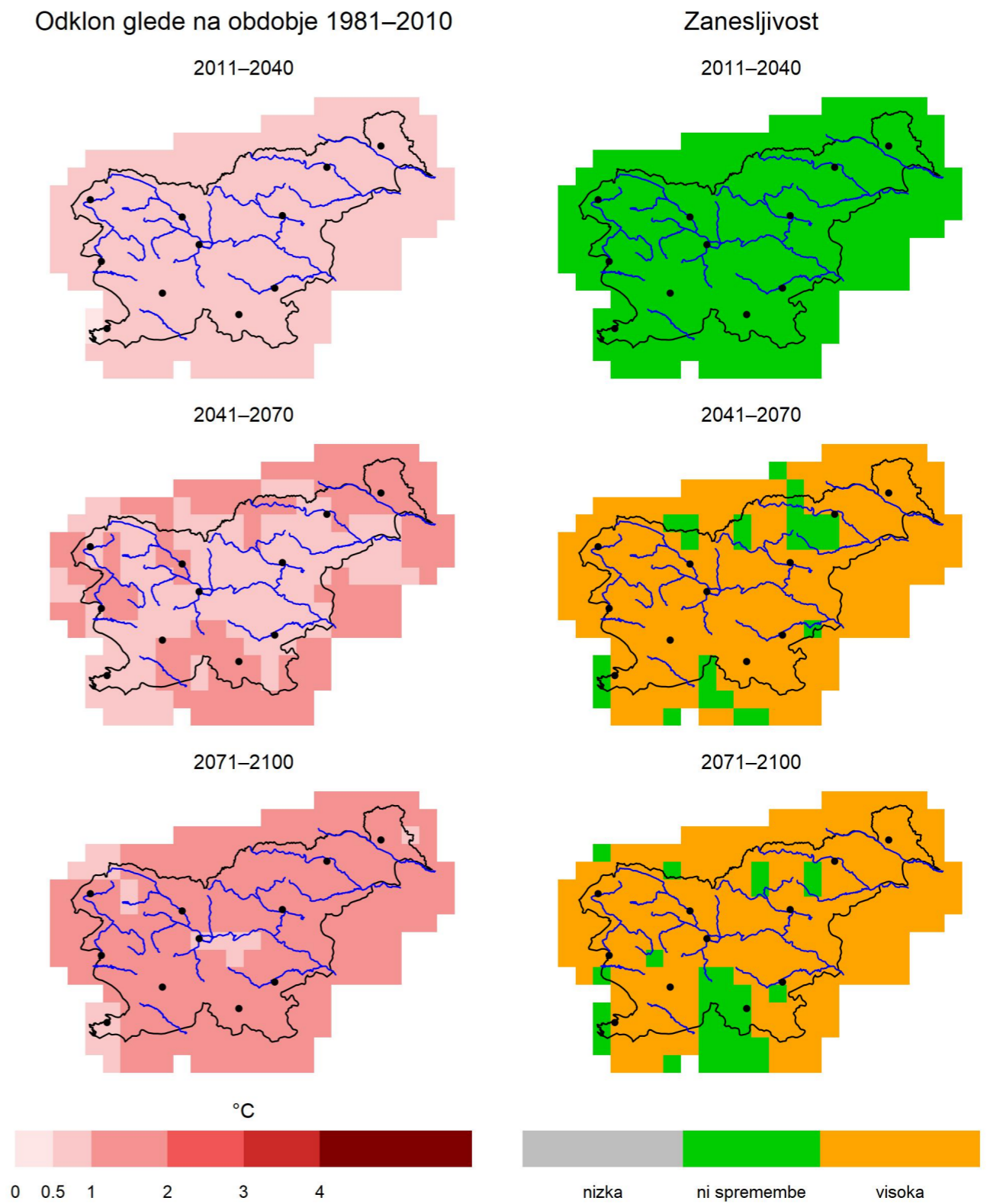
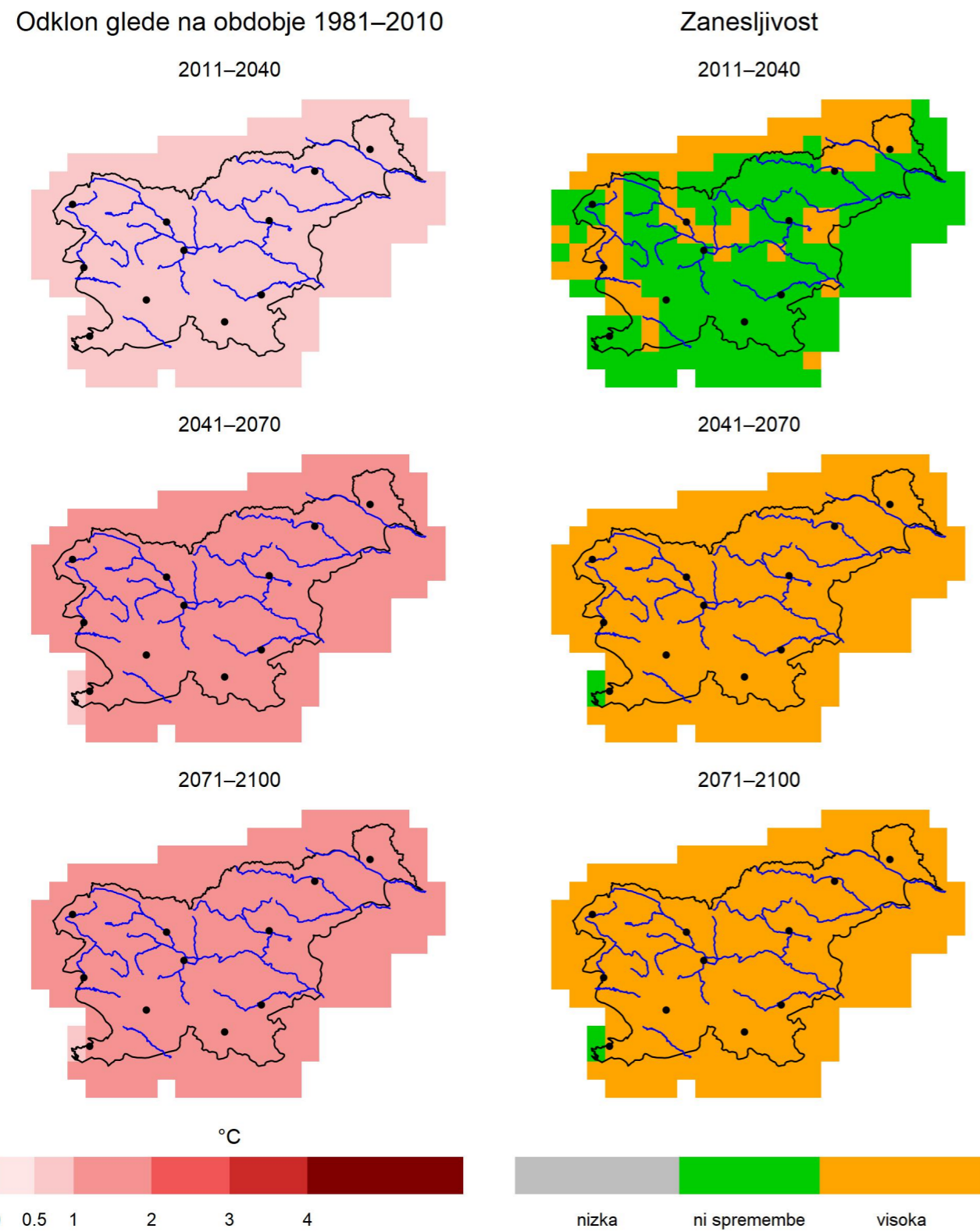


Slika 1.76 | Sprememba povprečne dnevne najvišje temperature zraka jeseni v treh projekcijskih obdobjih glede na obdobje 1981–2010 in pripadajoča zanesljivost spremembe za scenarij RCP8.5

Slika 1.77 | Sprememba povprečne dnevne najvišje temperature zraka pozimi v treh projekcijskih obdobjih glede na obdobje 1981–2010 in pripadajoča zanesljivost spremembe za scenarij RCP8.5

Povprečna dnevna najnižja temperatura, RCP2.6, leto

Povprečna dnevna najnižja temperatura, RCP2.6, pomlad

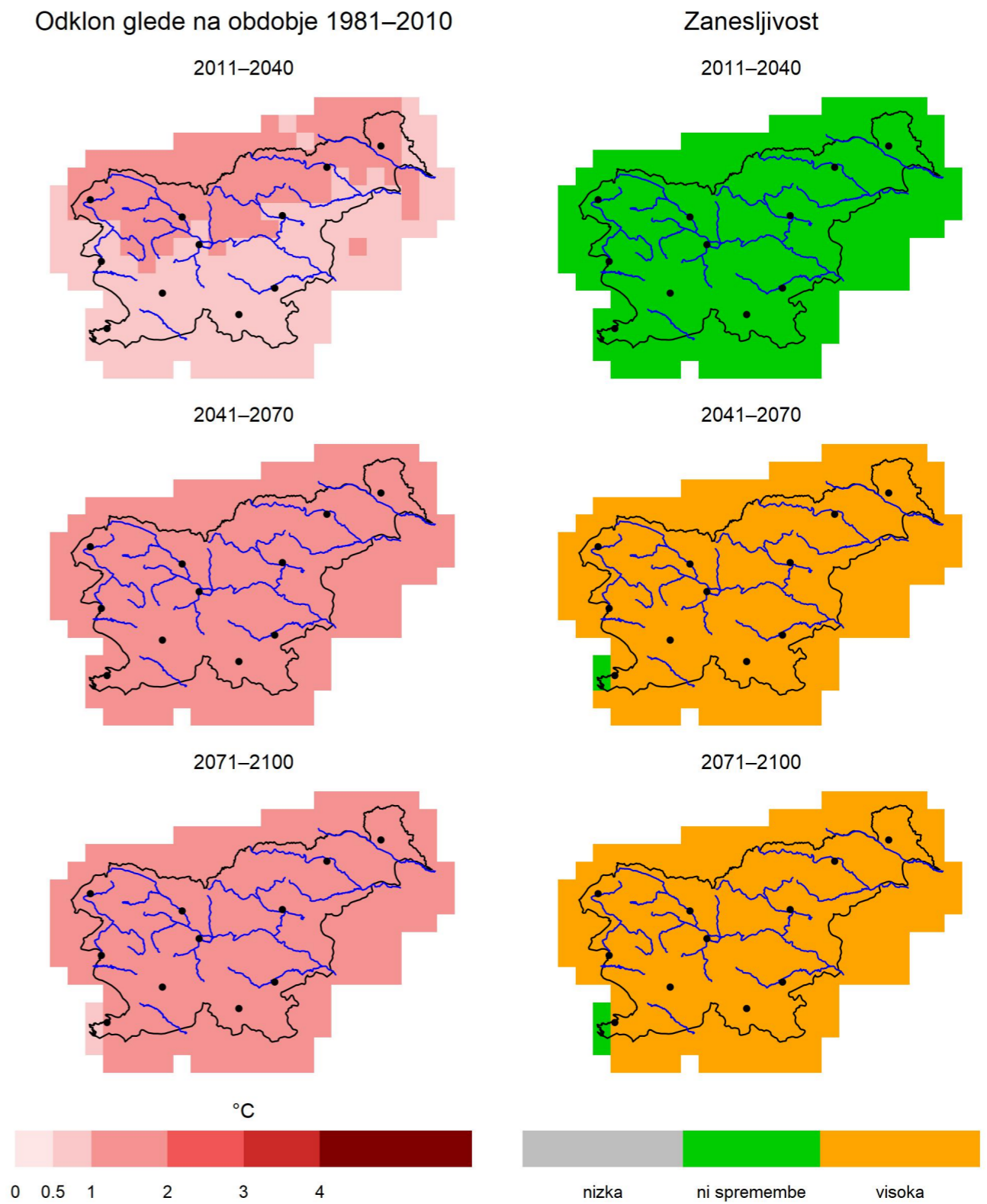
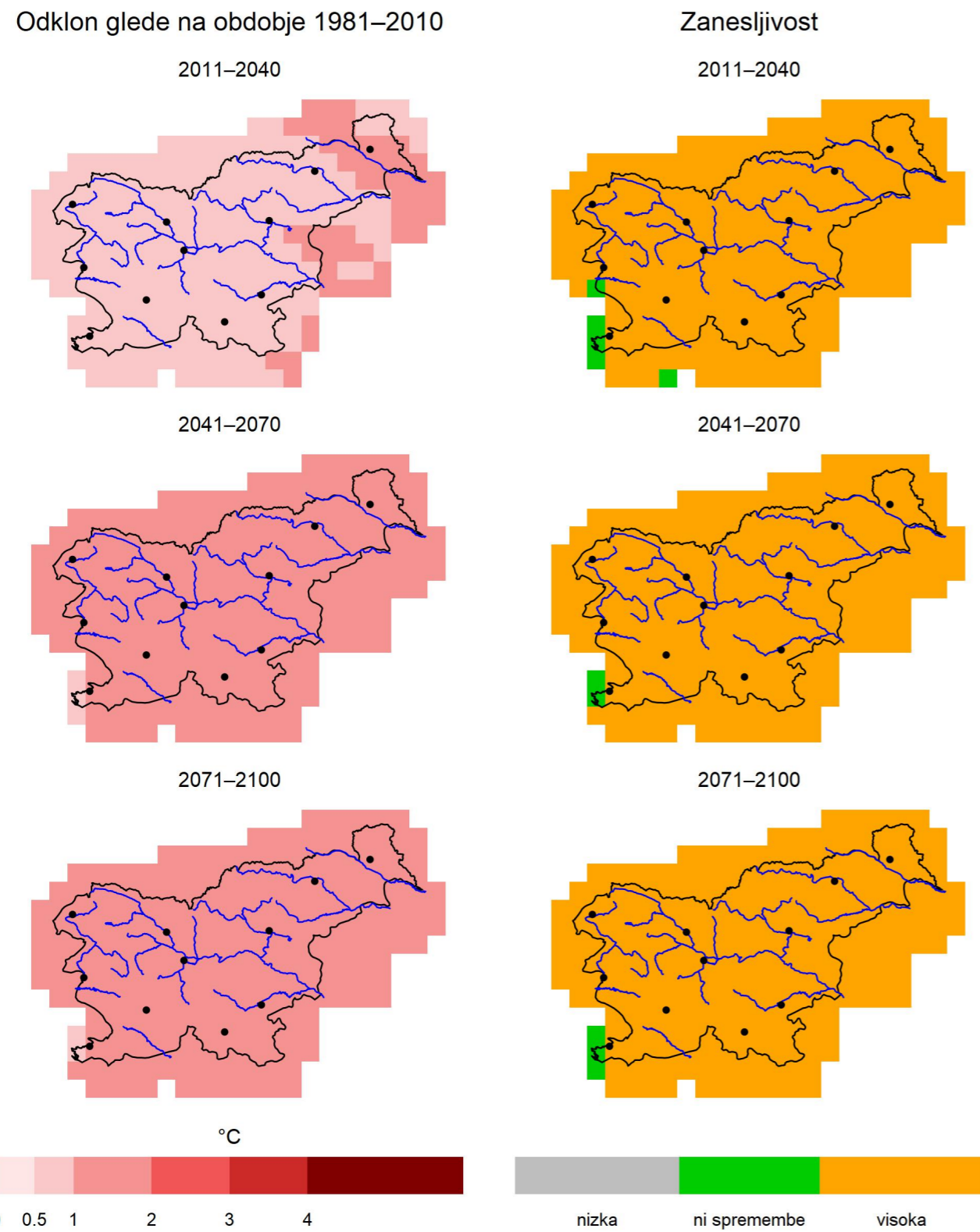


Slika 1.78 | Sprememba letnega povprečja dnevne najnižje temperature zraka v treh projekcijskih obdobjih glede na obdobje 181–2010 in pripadajoča zanesljivost spremembe za scenarij RCP2.6

Slika 1.79 | Sprememba povprečne dnevne najnižje temperature zraka spomladi v treh projekcijskih obdobjih glede na obdobje 181–2010 in pripadajoča zanesljivost spremembe za scenarij RCP2.6

Povprečna dnevna najnižja temperatura, RCP2.6, poletje

Povprečna dnevna najnižja temperatura, RCP2.6, jesen

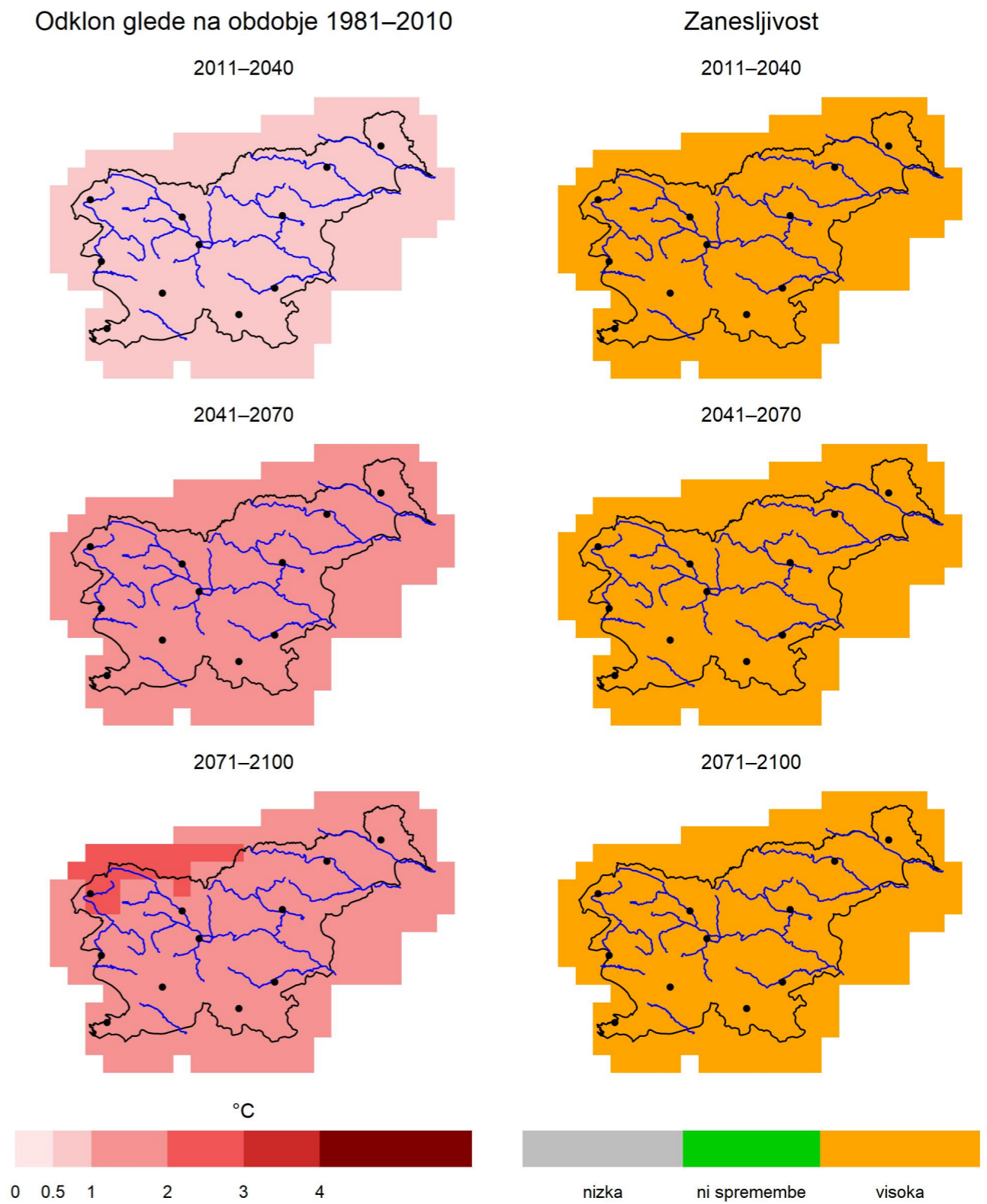
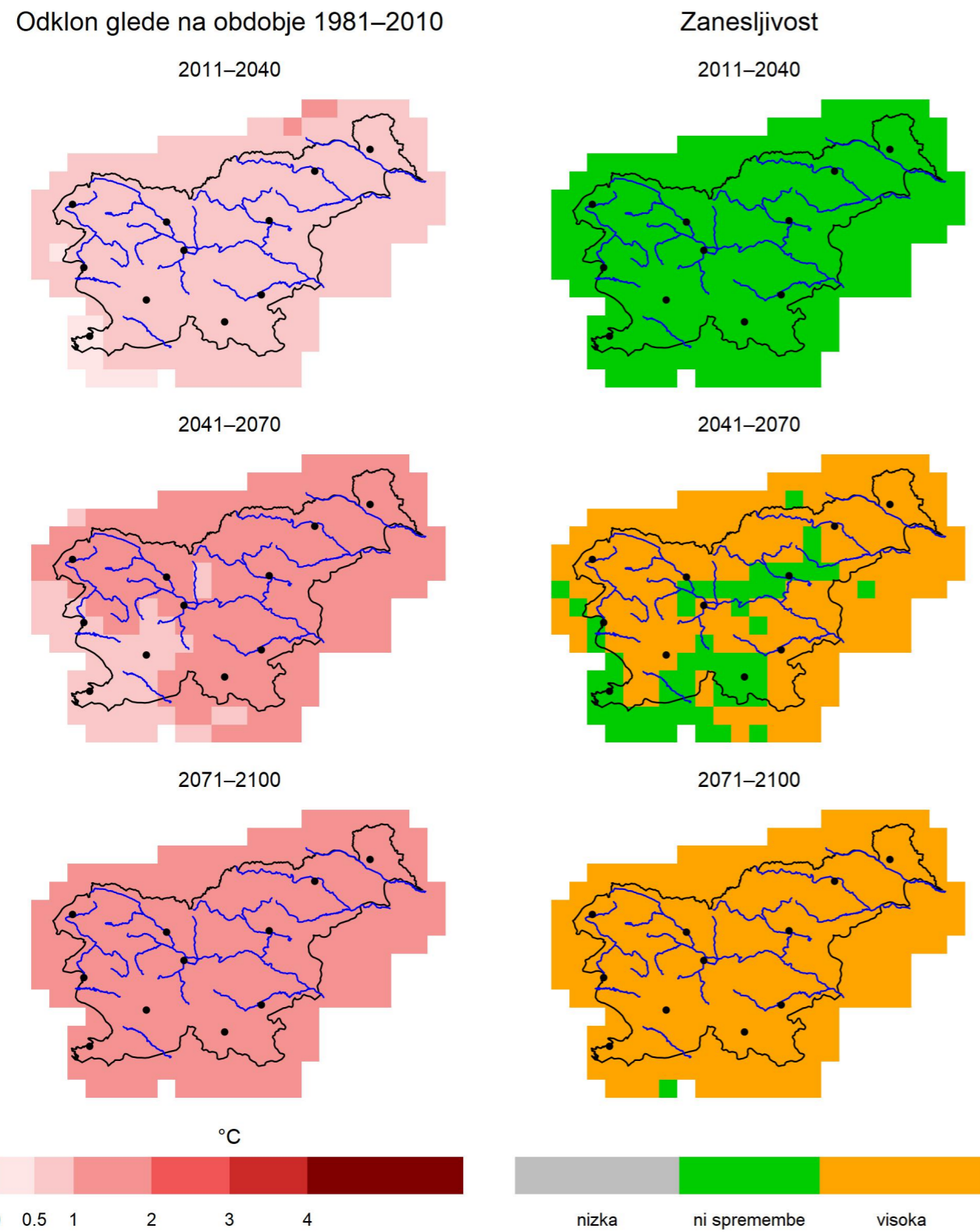


Slika 1.80 | Sprememba povprečne dnevne najnižje temperature zraka poleti v treh projekcijskih obdobjih glede na obdobje 1981–2010 in pripadajoča zanesljivost spremembe za scenarij RCP2.6

Slika 1.81 | Sprememba povprečne dnevne najnižje temperature zraka jeseni v treh projekcijskih obdobjih glede na obdobje 1981–2010 in pripadajoča zanesljivost spremembe za scenarij RCP2.6

Povprečna dnevna najnižja temperatura, RCP2.6, zima

Povprečna dnevna najnižja temperatura, RCP4.5, leto



Slika 1.82 | Sprememba povprečne dnevne najnižje temperature zraka pozimi v treh projekcijskih obdobjih glede na obdobje 1981–2010 in pripadajoča zanesljivost spremembe za scenarij RCP2.6

Slika 1.83 | Sprememba letnega povprečja dnevne najnižje temperature zraka v treh projekcijskih obdobjih glede na obdobje 1981–2010 in pripadajoča zanesljivost spremembe za scenarij RCP4.5

Povprečna dnevna najnižja temperatura, RCP4.5, pomlad

Povprečna dnevna najnižja temperatura, RCP4.5, poletje

Odklon glede na obdobje 1981–2010

Zanesljivost

Odklon glede na obdobje 1981–2010

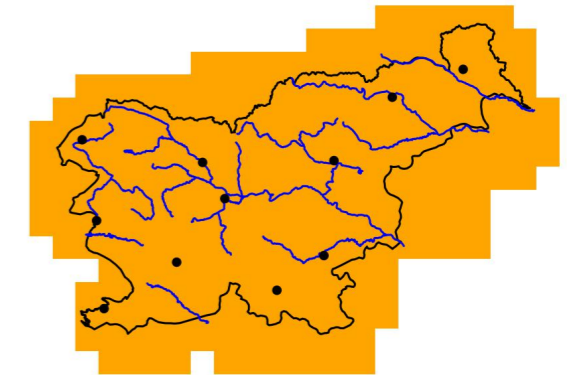
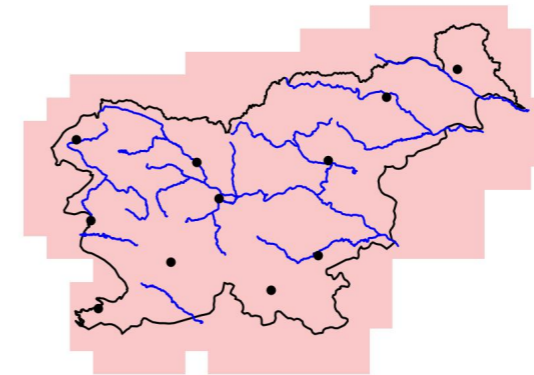
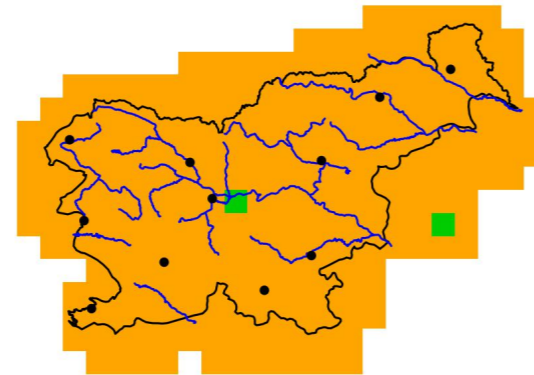
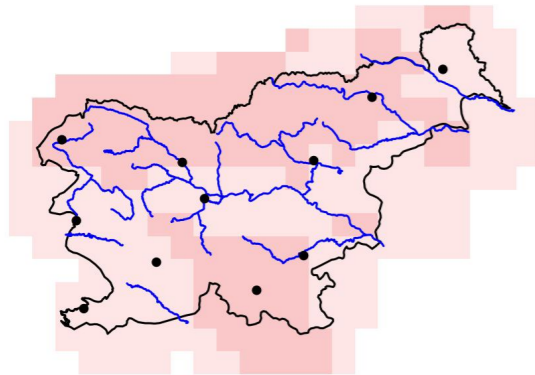
Zanesljivost

2011–2040

2011–2040

2011–2040

2011–2040

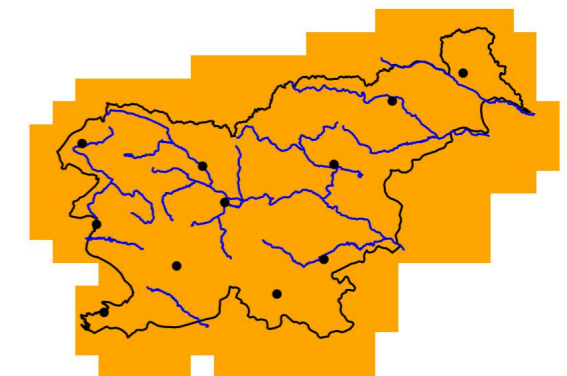
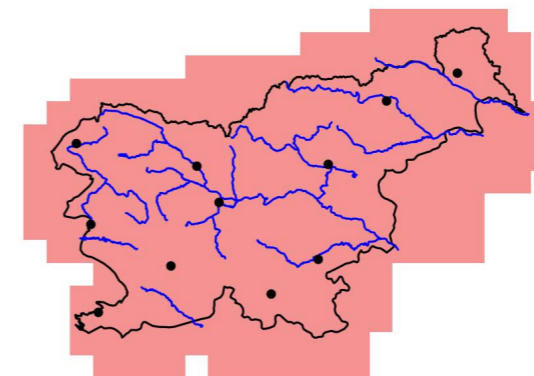
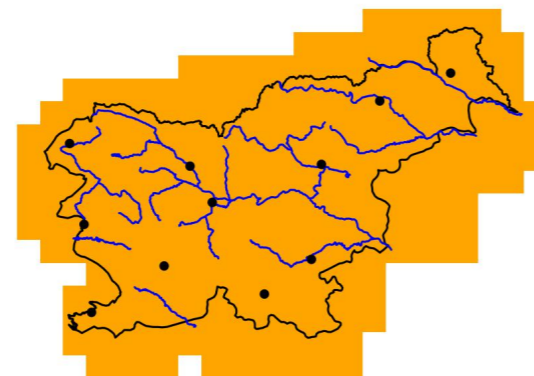
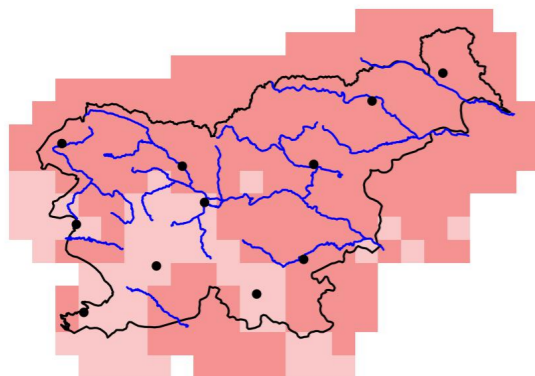


2041–2070

2041–2070

2041–2070

2041–2070

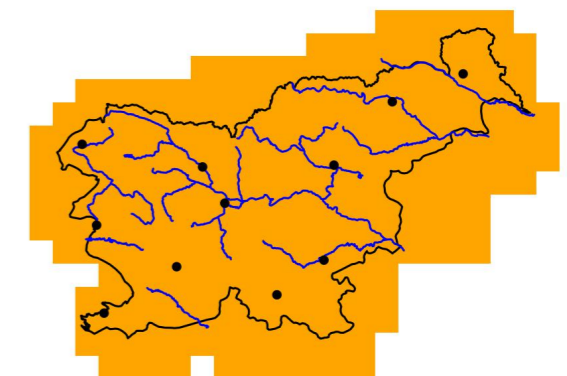
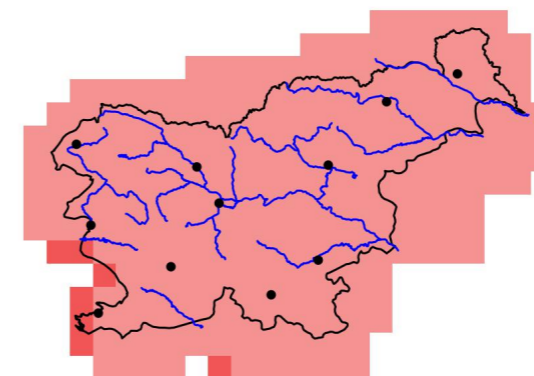
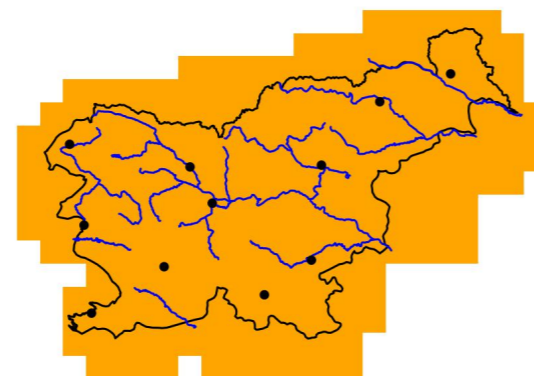
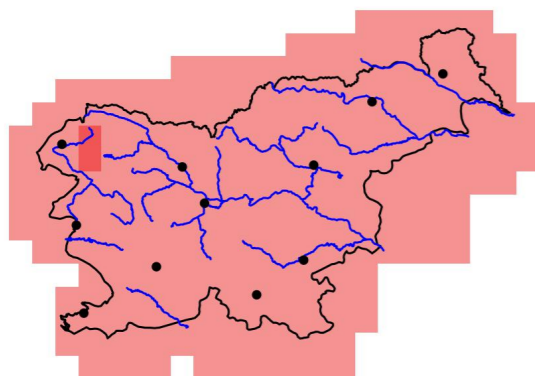


2071–2100

2071–2100

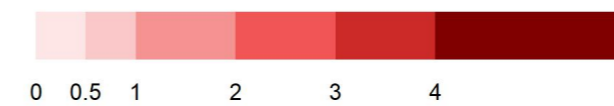
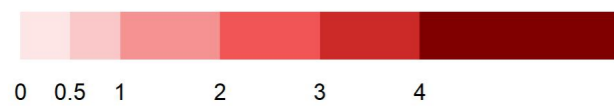
2071–2100

2071–2100



°C

°C



Slika 1.84 | Sprememba povprečne dnevne najnižje temperature zraka spomladi v treh projekcijskih obdobjih glede na obdobje 1981–2010 in pripadajoča zanesljivost spremembe za scenarij RCP4.5

Slika 1.85 | Sprememba povprečne dnevne najnižje temperature zraka poleti v treh projekcijskih obdobjih glede na obdobje 1981–2010 in pripadajoča zanesljivost spremembe za scenarij RCP4.5

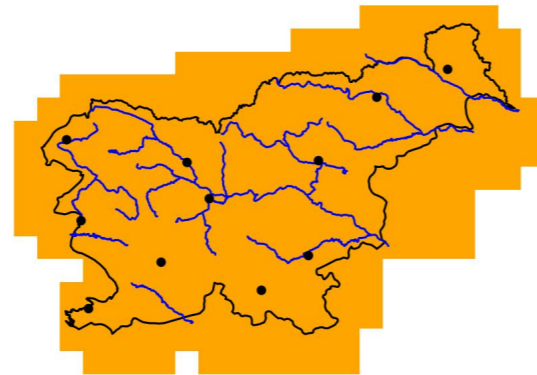
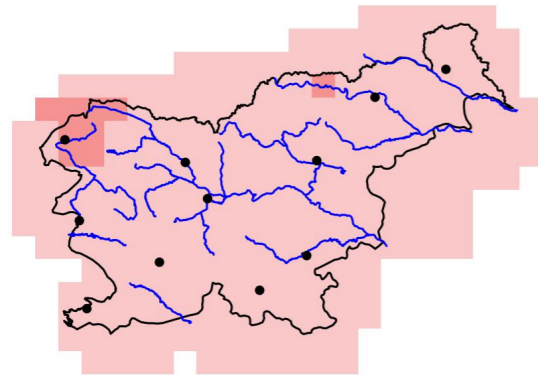
Povprečna dnevna najnižja temperatura, RCP4.5, jesen

Odklon glede na obdobje 1981–2010

Zanesljivost

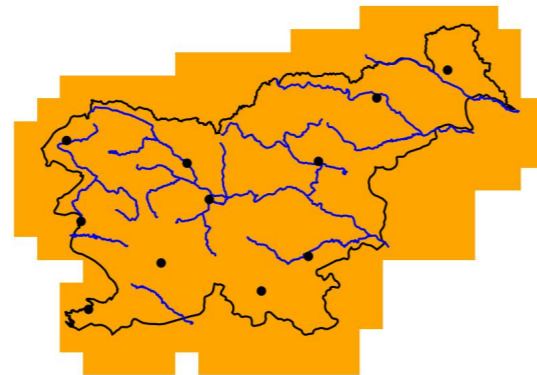
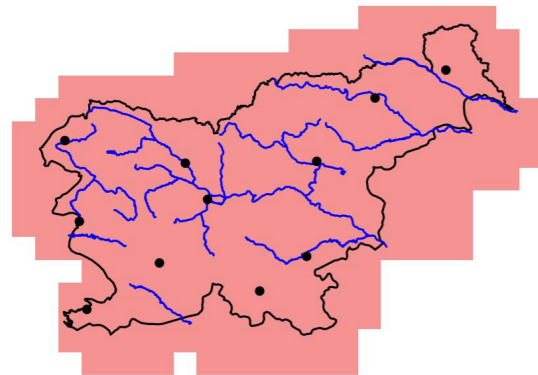
2011–2040

2011–2040



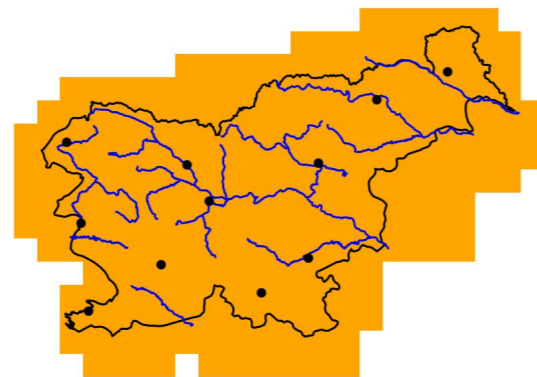
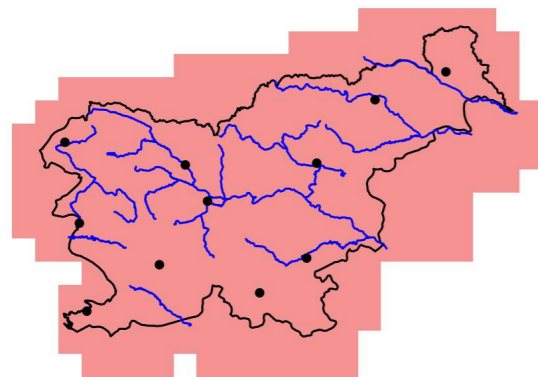
2041–2070

2041–2070

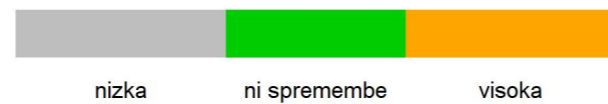
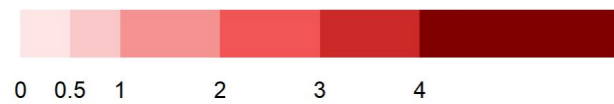


2071–2100

2071–2100



°C



Slika 1.86 | Sprememba povprečne dnevne najnižje temperature zraka jeseni v treh projekcijskih obdobjih glede na obdobje 1981–2010 in pripadajoča zanesljivost spremembe za scenarij RCP4.5

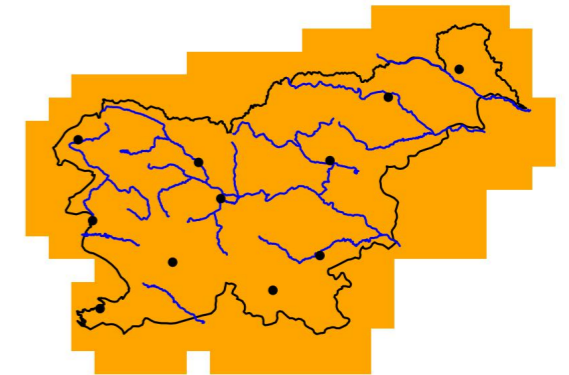
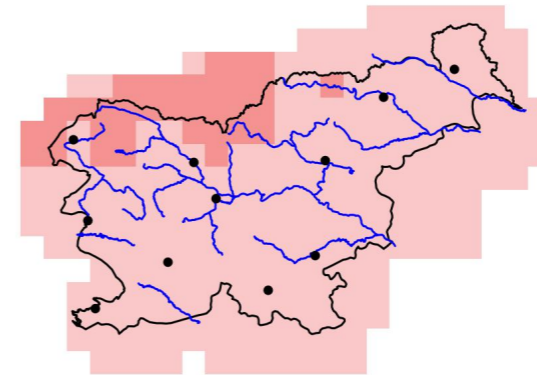
Povprečna dnevna najnižja temperatura, RCP4.5, zima

Odklon glede na obdobje 1981–2010

Zanesljivost

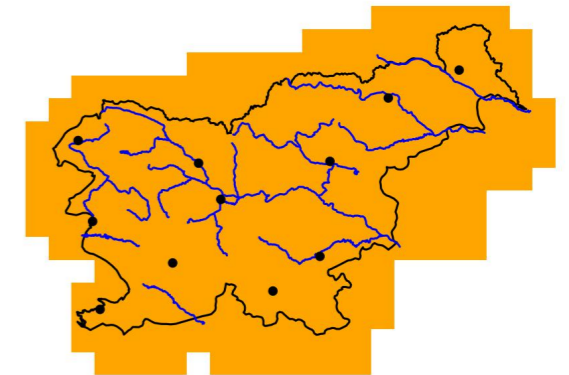
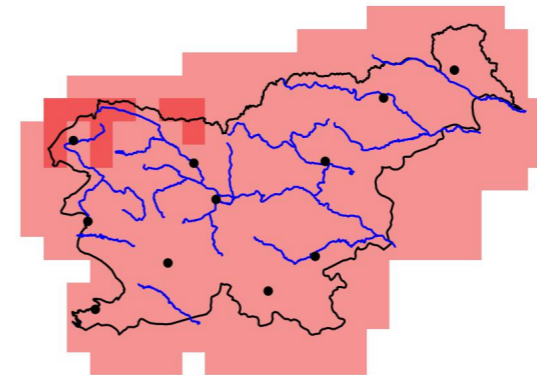
2011–2040

2011–2040



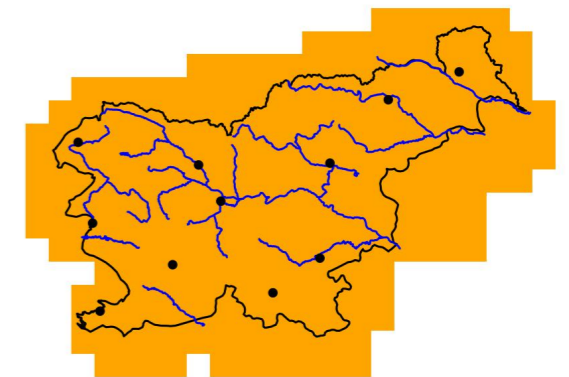
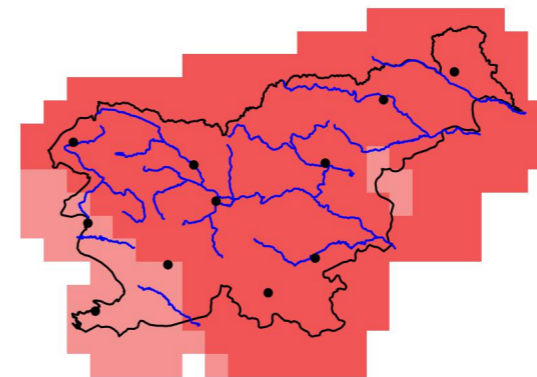
2041–2070

2041–2070

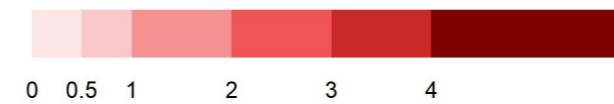


2071–2100

2071–2100



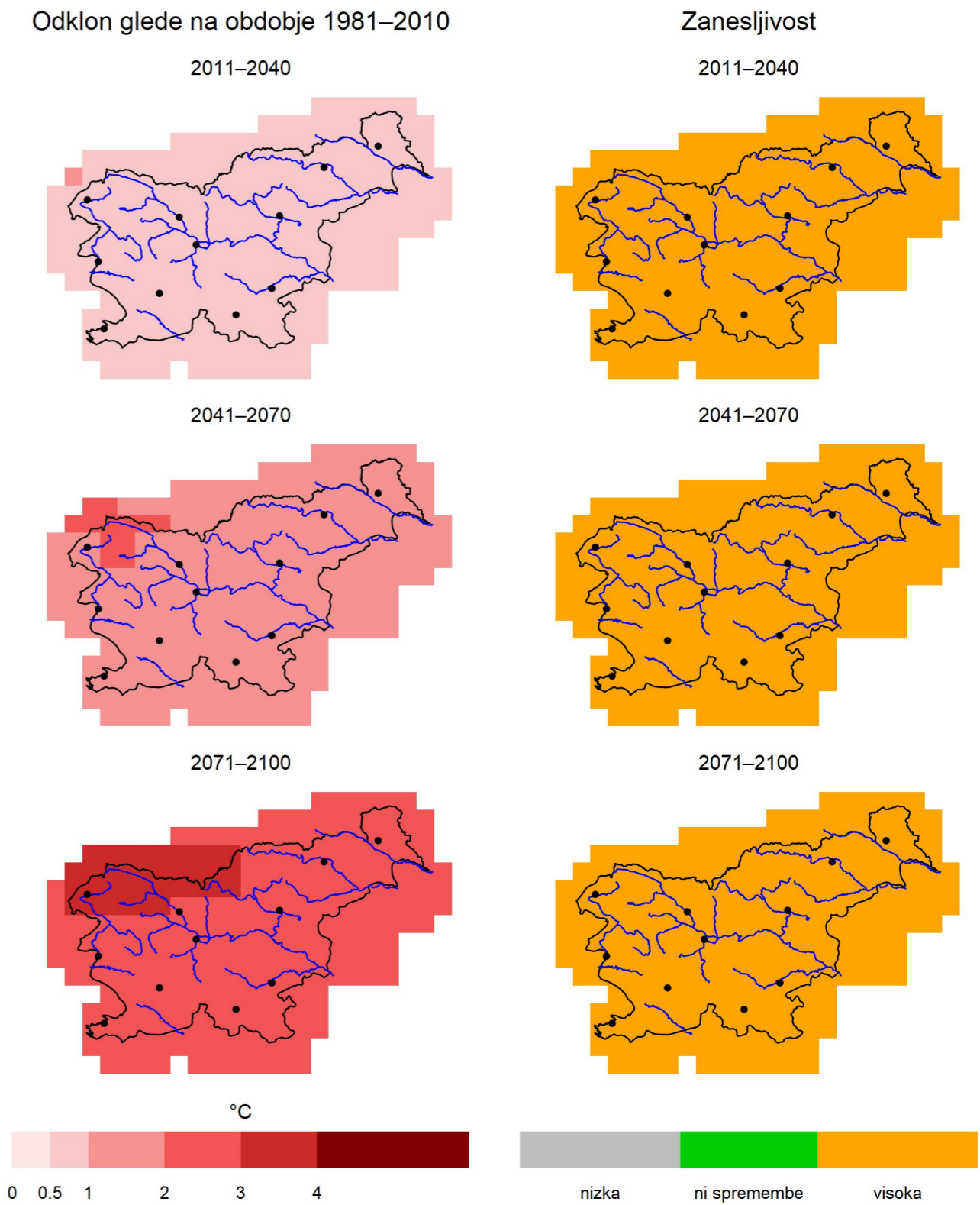
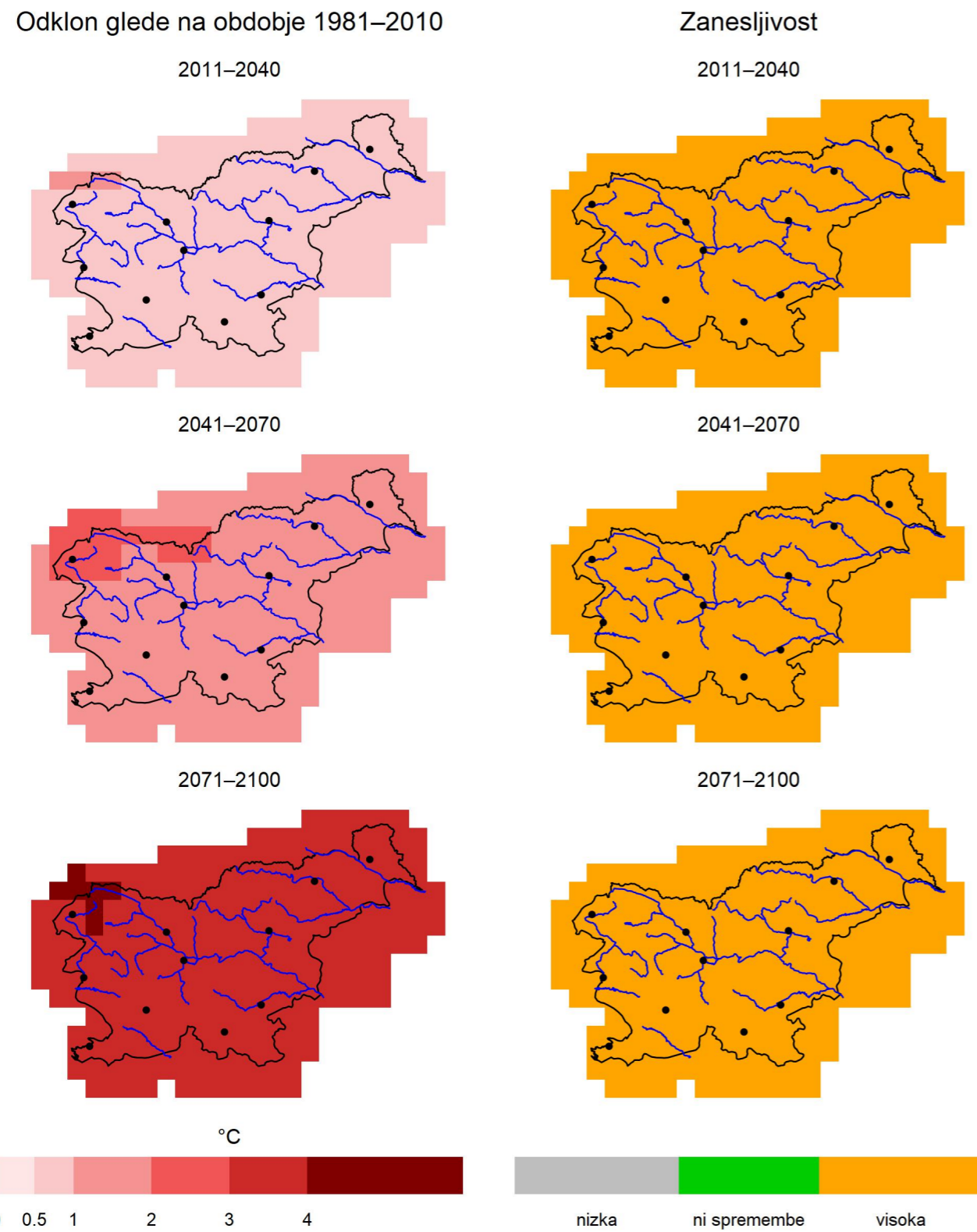
°C



Slika 1.87 | Sprememba povprečne dnevne najnižje temperature zraka pozimi v treh projekcijskih obdobjih glede na obdobje 1981–2010 in pripadajoča zanesljivost spremembe za scenarij RCP4.5

Povprečna dnevna najnižja temperatura, RCP8.5, leto

Povprečna dnevna najnižja temperatura, RCP8.5, pomlad



Slika 1.88 | Sprememba letnega povprečja dnevne najnižje temperature zraka v treh projekcijskih obdobjih glede na obdobje 1981–2010 in pripadajoča zanesljivost spremembe za scenarij RCP8.5

Slika 1.89 | Sprememba povprečne dnevne najnižje temperature zraka spomladi v treh projekcijskih obdobjih glede na obdobje 1981–2010 in pripadajoča zanesljivost spremembe za scenarij RCP8.5

Povprečna dnevna najnižja temperatura, RCP8.5, poletje

Povprečna dnevna najnižja temperatura, RCP8.5, jesen

Odklon glede na obdobje 1981–2010

Zanesljivost

Odklon glede na obdobje 1981–2010

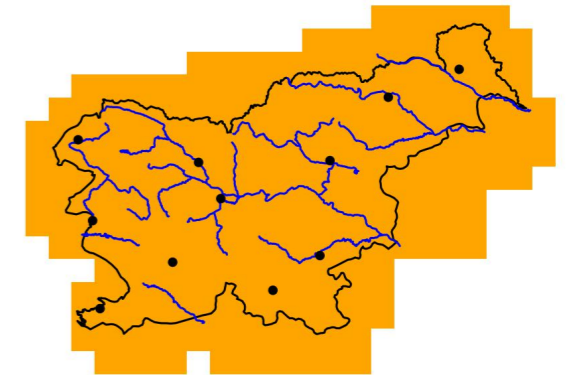
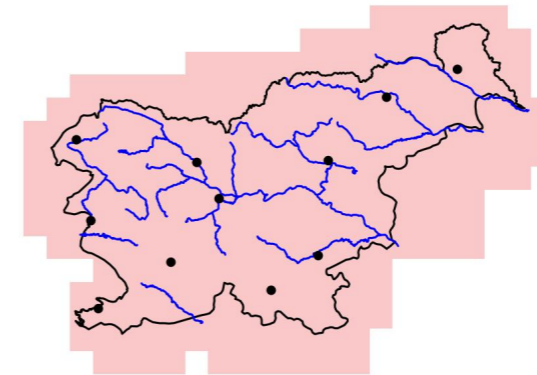
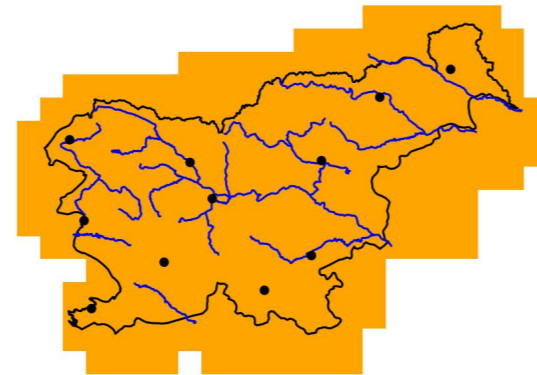
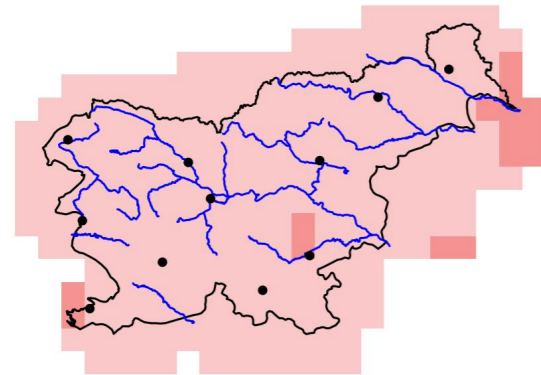
Zanesljivost

2011–2040

2011–2040

2011–2040

2011–2040

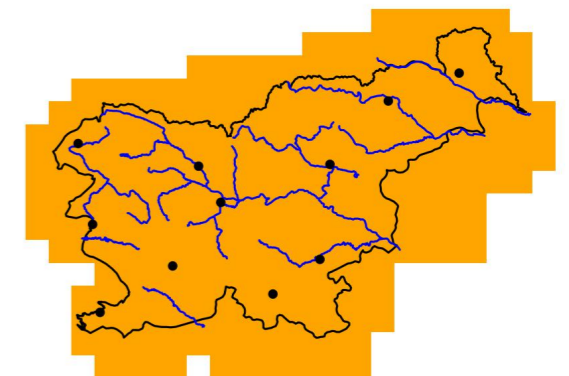
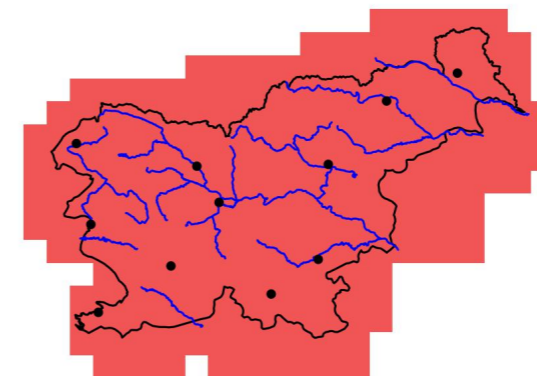
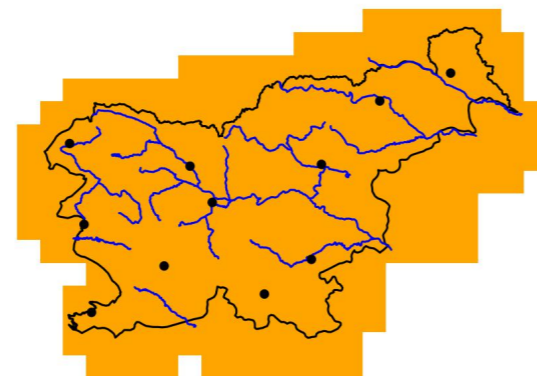
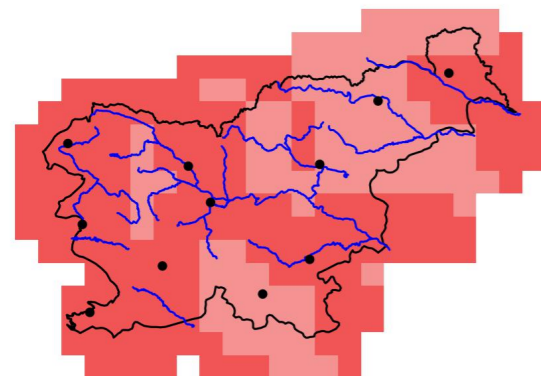


2041–2070

2041–2070

2041–2070

2041–2070

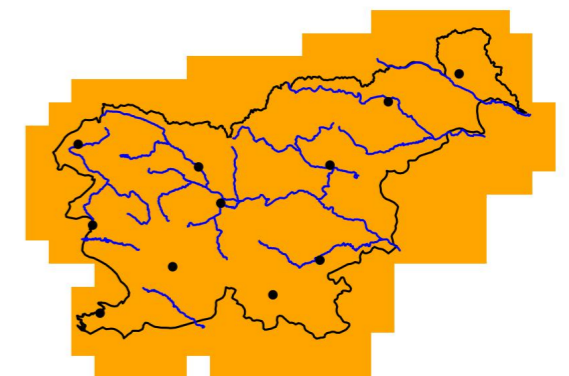
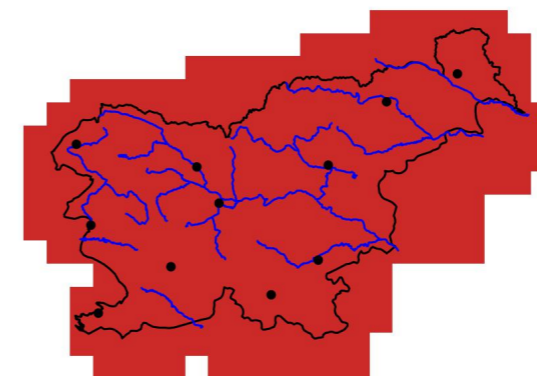
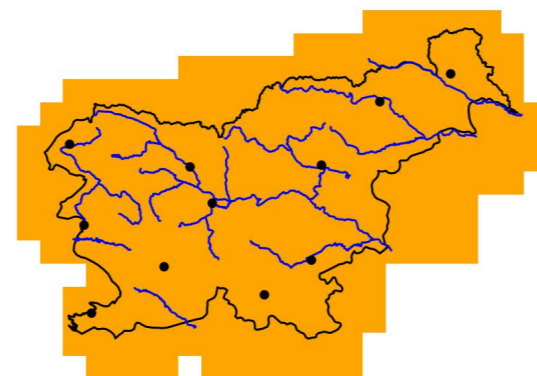
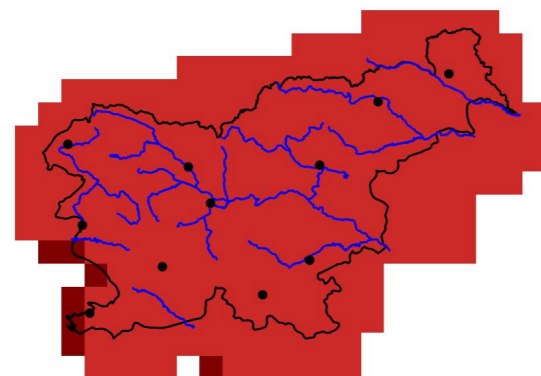


2071–2100

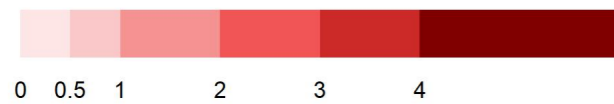
2071–2100

2071–2100

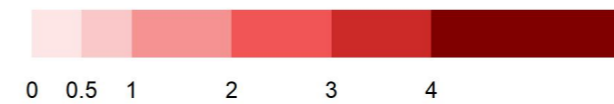
2071–2100



°C



°C



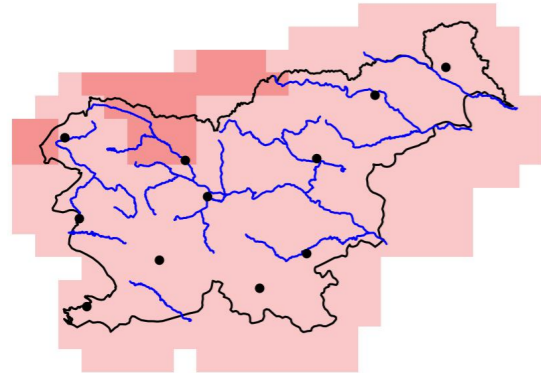
Slika 1.90 | Sprememba povprečne dnevne najnižje temperature zraka poleti v treh projekcijskih obdobjih glede na obdobje 1981–2010 in pripadajoča zanesljivost spremembe za scenarij RCP8.5

Slika 1.91 | Sprememba povprečne dnevne najnižje temperature zraka jeseni v treh projekcijskih obdobjih glede na obdobje 1981–2010 in pripadajoča zanesljivost spremembe za scenarij RCP8.5

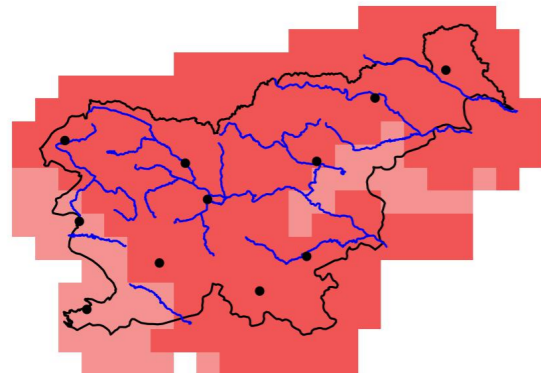
Povprečna dnevna najnižja temperatura, RCP8.5, zima

Odklon glede na obdobje 1981–2010

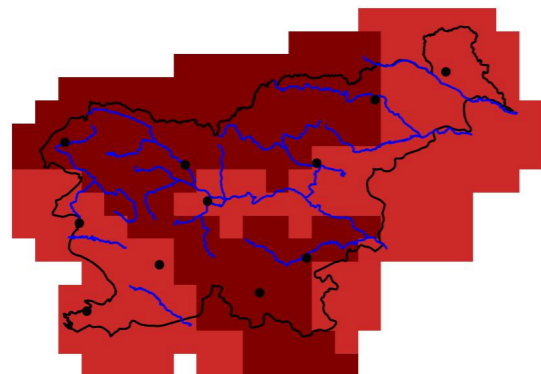
2011–2040



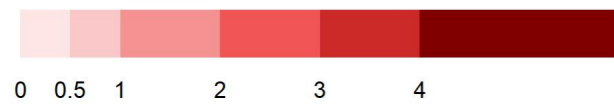
2041–2070



2071–2100

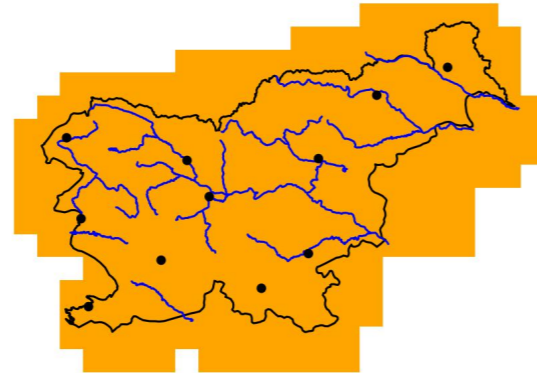


°C

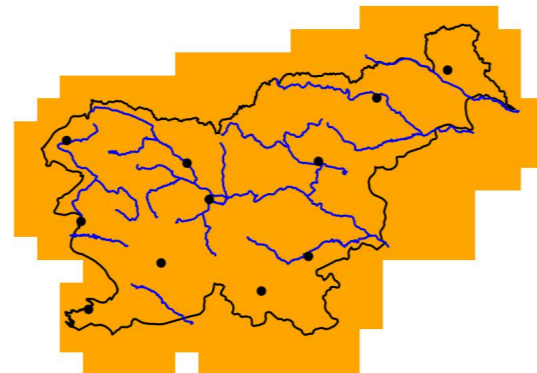


Zanesljivost

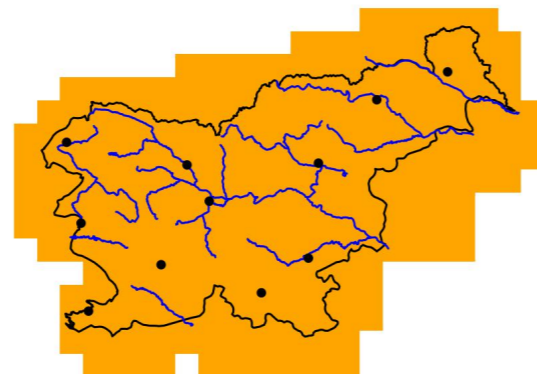
2011–2040



2041–2070



2071–2100



Slika 1.92 | Sprememba povprečne dnevne najnižje temperature zraka pozimi v treh projekcijskih obdobjih glede na obdobje 1981–2010 in pripadajoča zanesljivost spremembe za scenarij RCP8.5

Kazalnik vročine pozitiven (EHF), RCP2.6

Kazalnik vročine pozitiven (EHF), RCP4.5

Odklon glede na obdobje 1981–2010

Zanesljivost

Odklon glede na obdobje 1981–2010

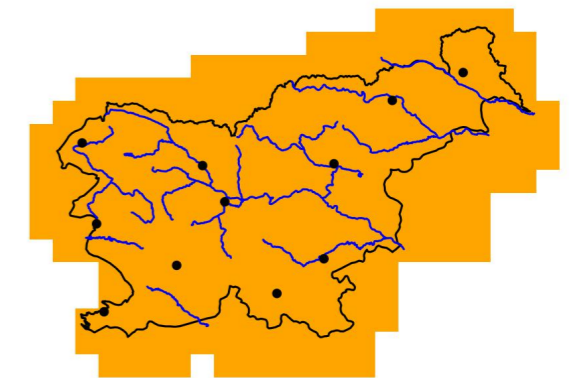
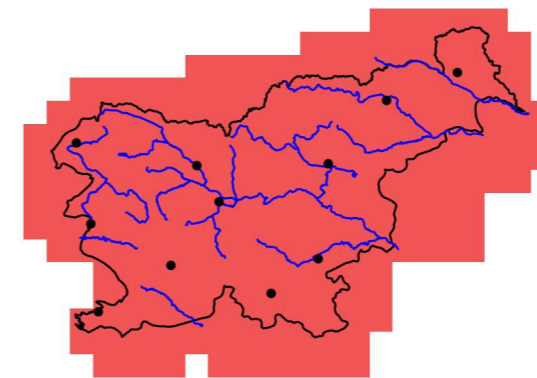
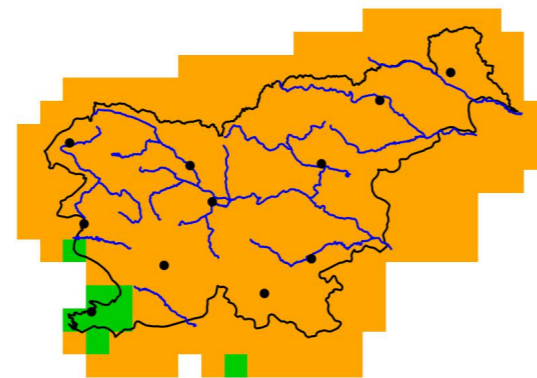
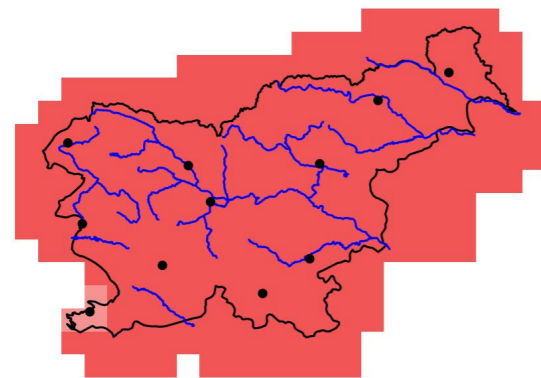
Zanesljivost

2011–2040

2011–2040

2011–2040

2011–2040

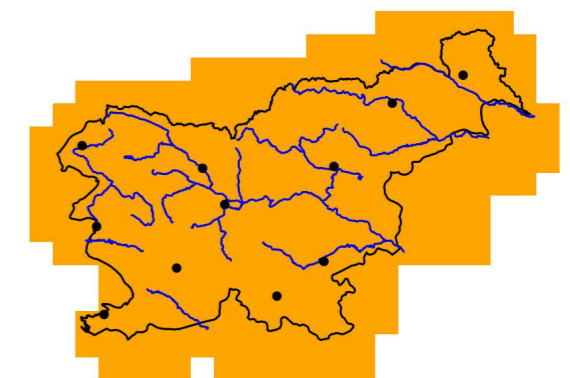
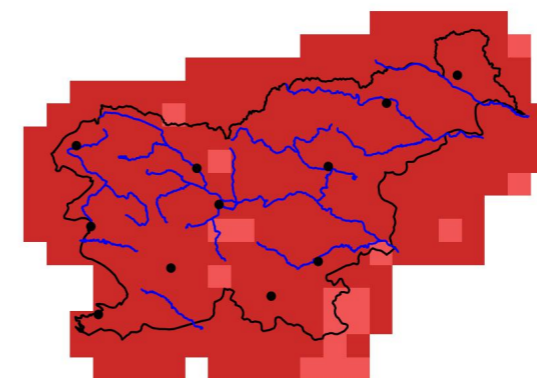
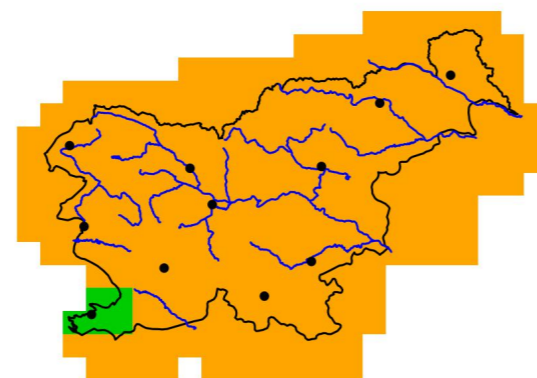
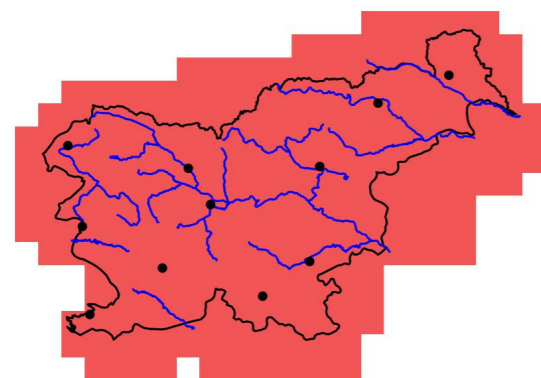


2041–2070

2041–2070

2041–2070

2041–2070

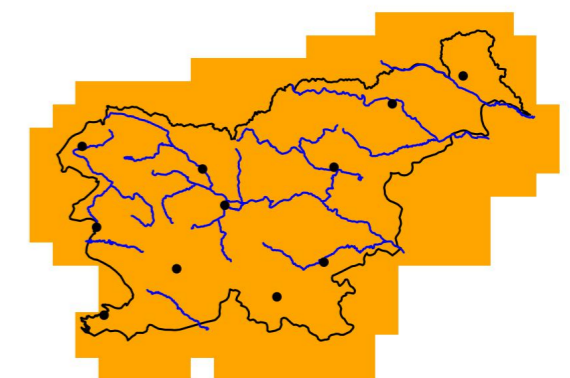
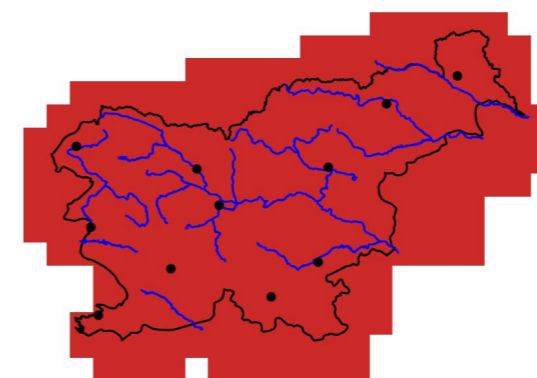
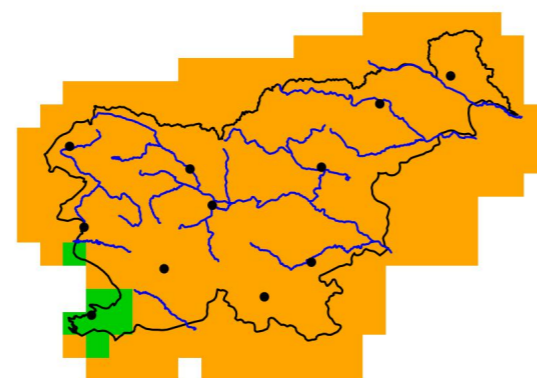
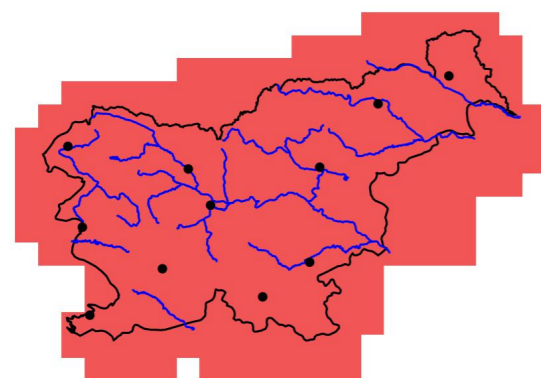


2071–2100

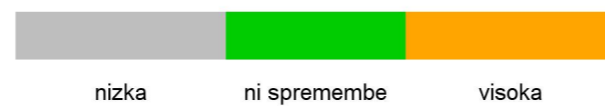
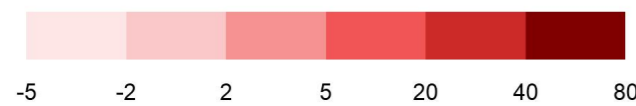
2071–2100

2071–2100

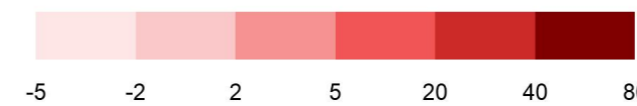
2071–2100



število dni



število dni



Slika 1.93 | Sprememba povprečnega kazalnika vročine (število dni, ko EHF > 0) v toplen obdobju leta (maj–september) v treh projekcijskih obdobjih glede na obdobje 1981–2010 in pripadajoča zanesljivost spremembe za scenarij RCP2.6

Slika 1.94 | Sprememba povprečnega kazalnika vročine (število dni, ko EHF > 0) v toplen obdobju leta (maj–september) v treh projekcijskih obdobjih glede na obdobje 1981–2010 in pripadajoča zanesljivost spremembe za scenarij RCP4.5

Kazalnik vročine pozitiven (EHF), RCP8.5

Število vročinskih valov (po def. EHF), RCP2.6, maj - sep

Odklon glede na obdobje 1981–2010

Zanesljivost

Odklon glede na obdobje 1981–2010

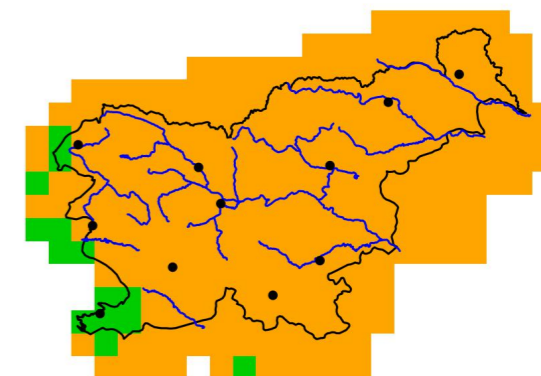
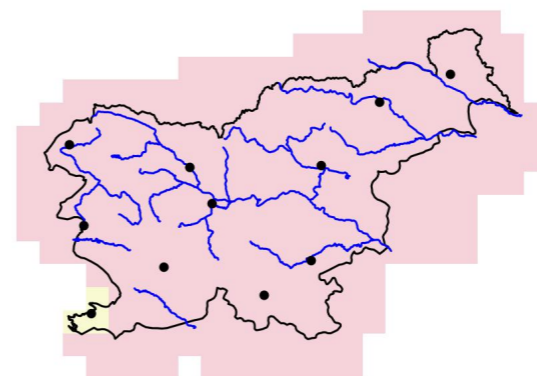
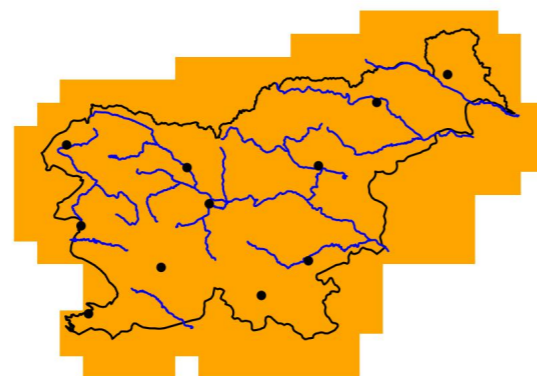
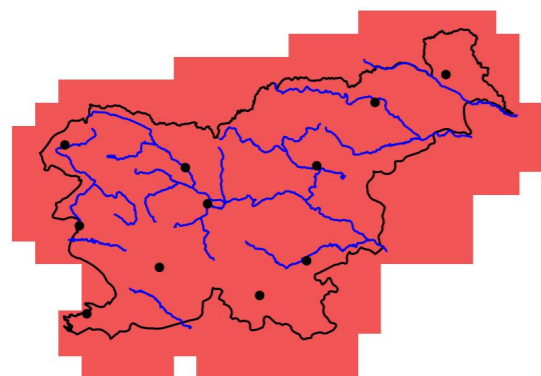
Zanesljivost

2011–2040

2011–2040

2011–2040

2011–2040

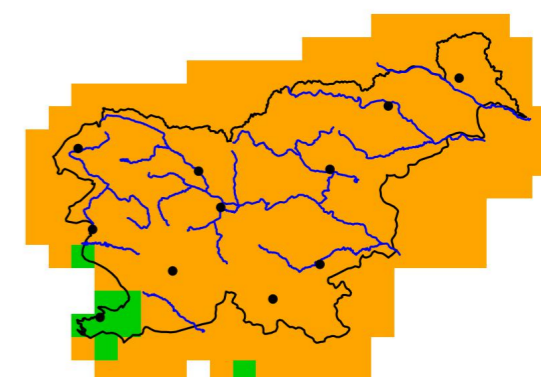
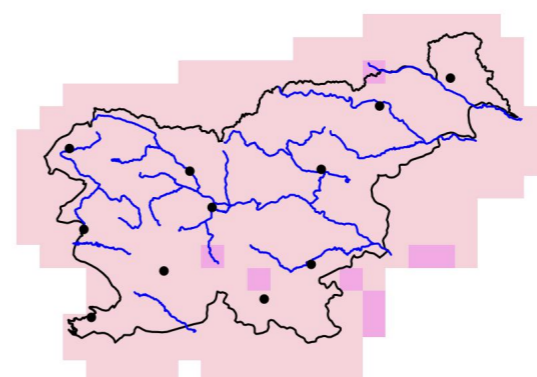
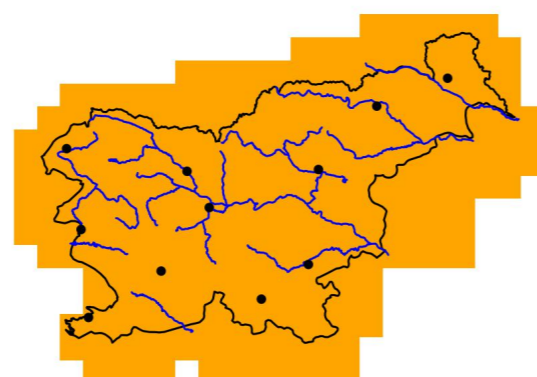
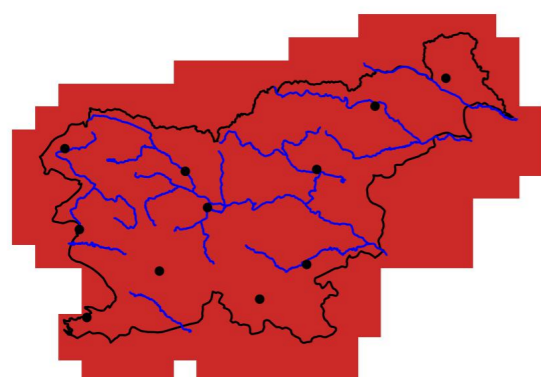


2041–2070

2041–2070

2041–2070

2041–2070

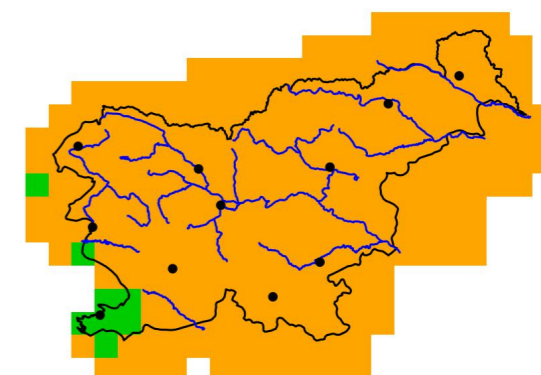
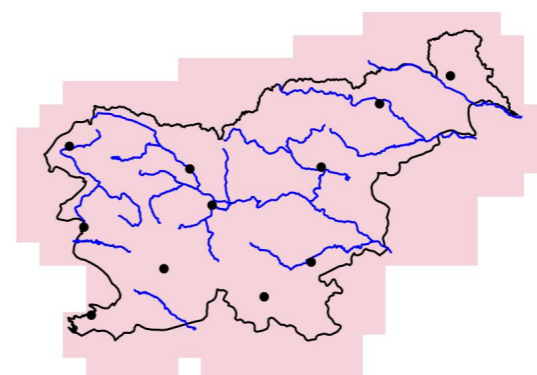
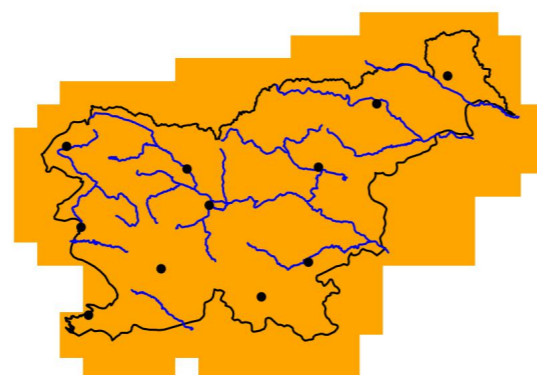
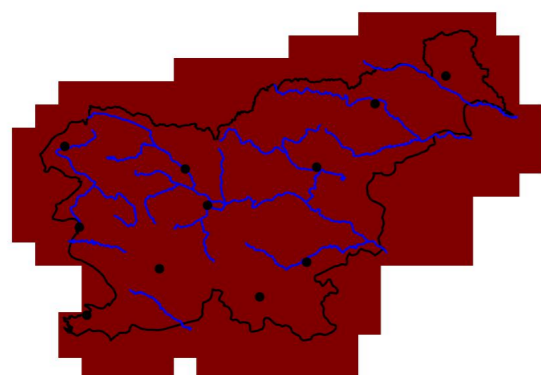


2071–2100

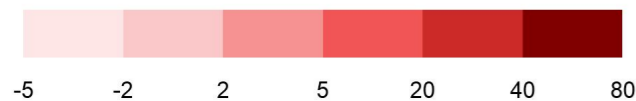
2071–2100

2071–2100

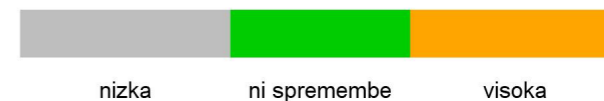
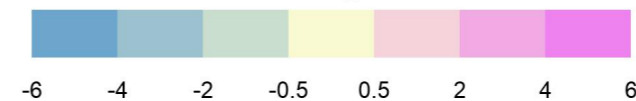
2071–2100



število dni



število dogodkov



Slika 1.95 | Sprememba povprečnega kazalnika vročine (število dni, ko EHF > 0) v toplem obdobju leta (maj–september) v treh projekcijskih obdobjih glede na obdobje 1981–2010 in pripadajoča zanesljivost spremembe za scenarij RCP8.5

Slika 1.96 | Sprememba povprečnega števila vročinskih valov (po definiciji EHF) v toplem obdobju leta (maj–september) v treh projekcijskih obdobjih glede na obdobje 1981–2010 in pripadajoča zanesljivost spremembe za scenarij RCP2.6

Število vročinskih valov (po def. EHF), RCP4.5, maj - sep

Število vročinskih valov (po def. EHF), RCP8.5, maj - sep

Odklon glede na obdobje 1981–2010

Odklon glede na obdobje 1981–2010

2011–2040

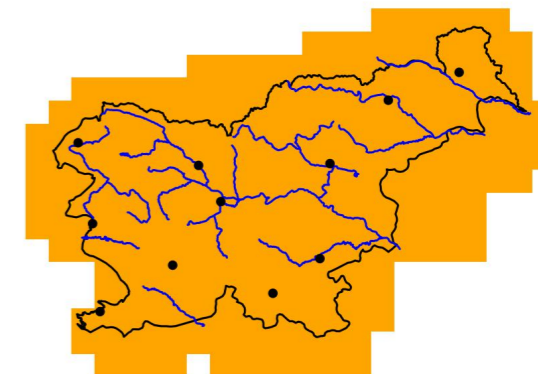
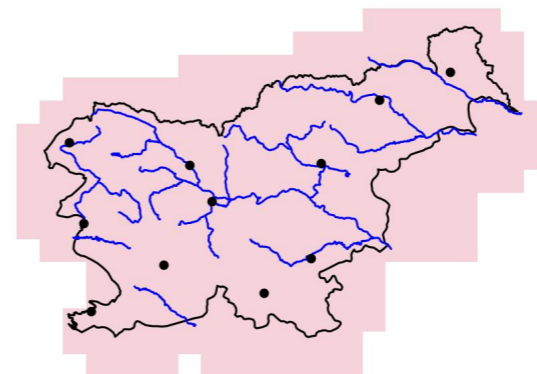
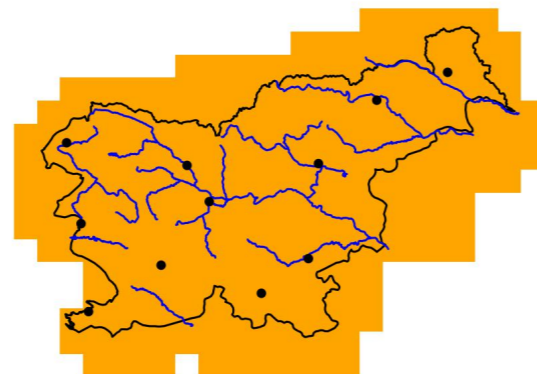
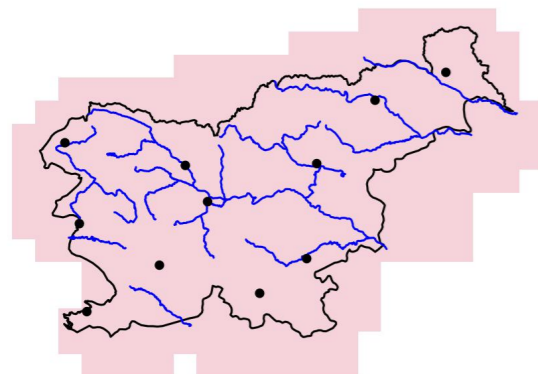
Zanesljivost

Zanesljivost

2011–2040

2011–2040

2011–2040

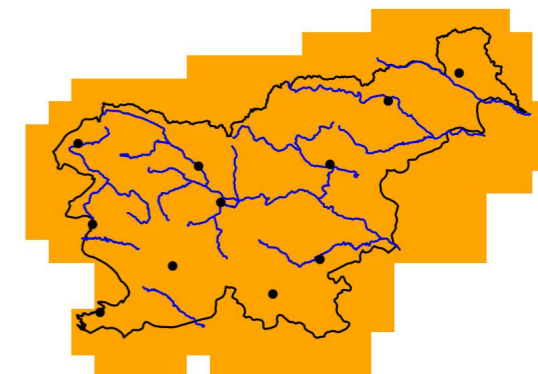
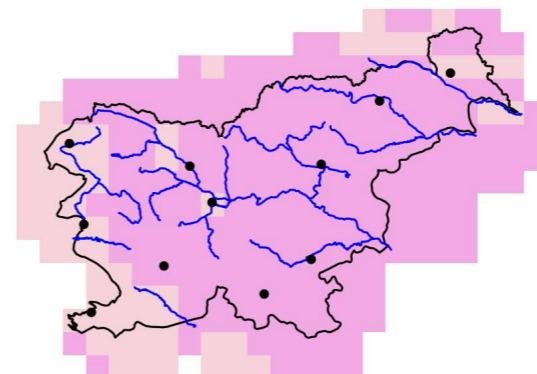
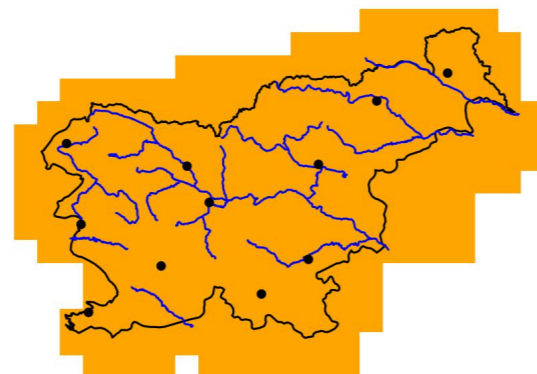
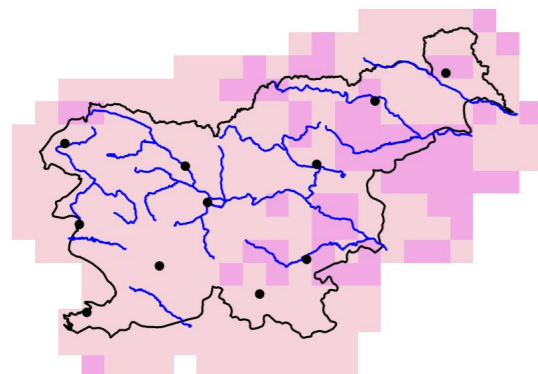


2041–2070

2041–2070

2041–2070

2041–2070

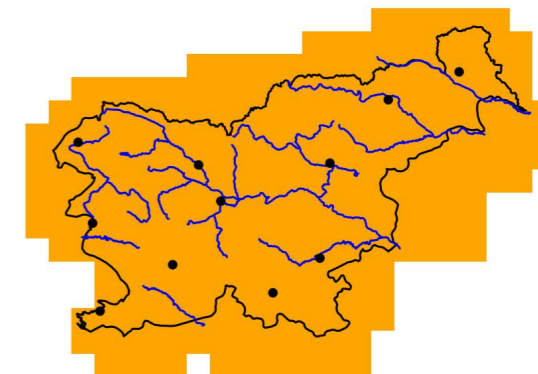
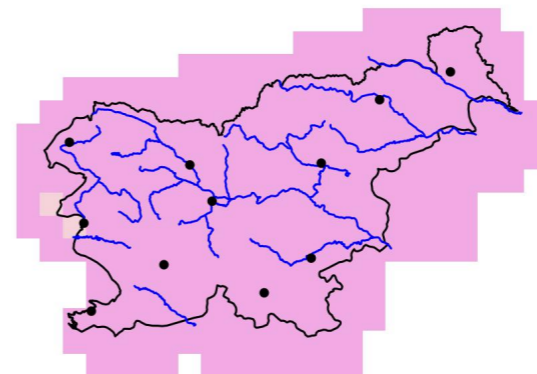
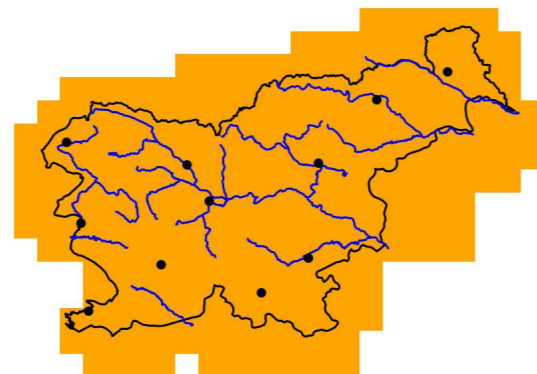
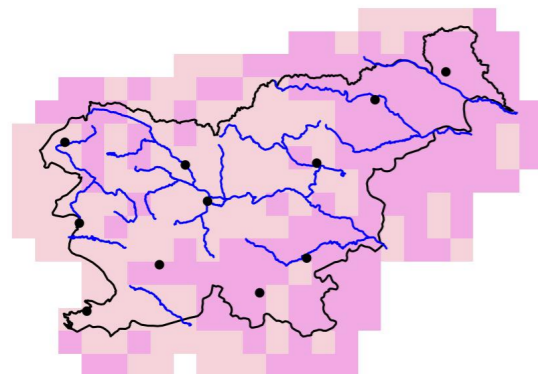


2071–2100

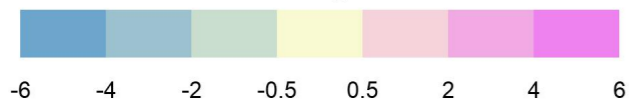
2071–2100

2071–2100

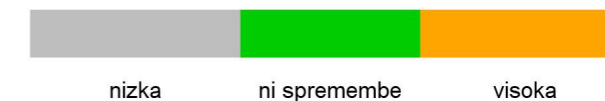
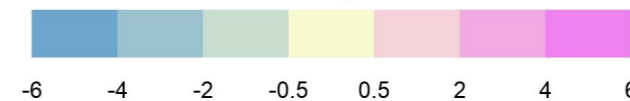
2071–2100



število dogodkov



število dogodkov



Slika 1.97 | Sprememba povprečnega števila vročinskih valov (po definiciji EHF) v toplem obdobju leta (maj–september) v treh projekcijskih obdobjih glede na obdobje 1981–2010 in pripadajoča zanesljivost spremembe za scenarij RCP4.5

Slika 1.98 | Sprememba povprečnega števila vročinskih valov (po definiciji EHF) v toplem obdobju leta (maj–september) v treh projekcijskih obdobjih glede na obdobje 1981–2010 in pripadajoča zanesljivost spremembe za scenarij RCP8.5

Dolžina vročinskega vala (po def. EHF), RCP2.6, maj - sep

Dolžina vročinskega vala (po def. EHF), RCP4.5, maj - sep

Odklon glede na obdobje 1981–2010

Odklon glede na obdobje 1981–2010

2011–2040

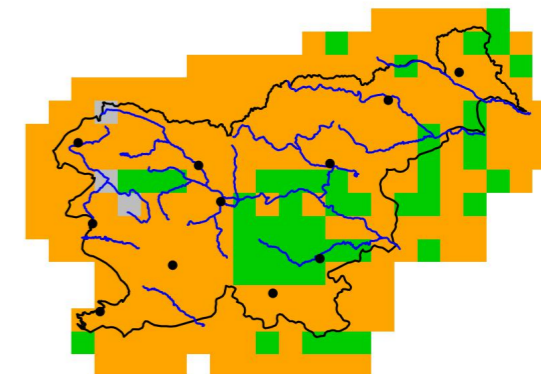
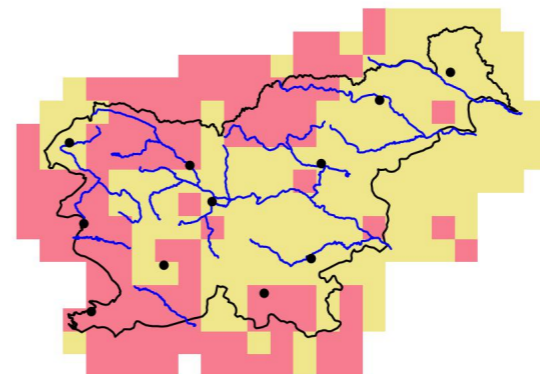
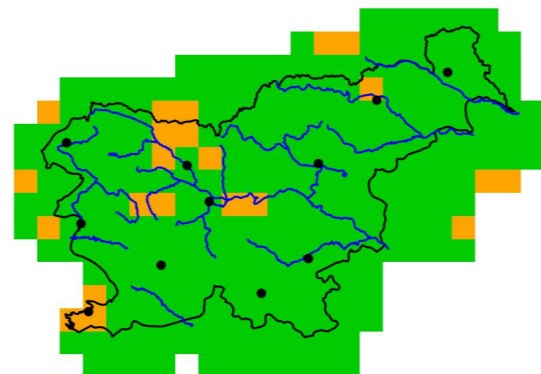
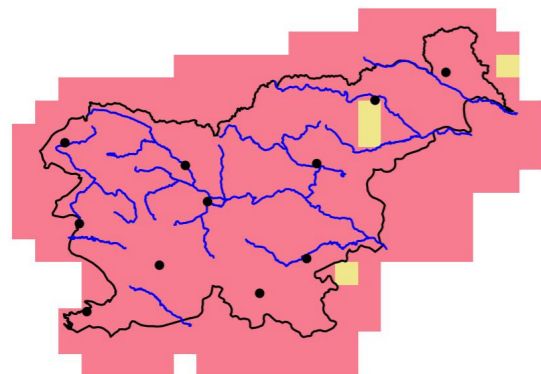
Zanesljivost

Zanesljivost

2011–2040

2011–2040

2011–2040

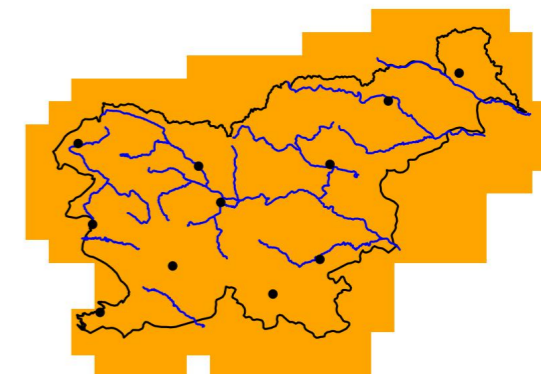
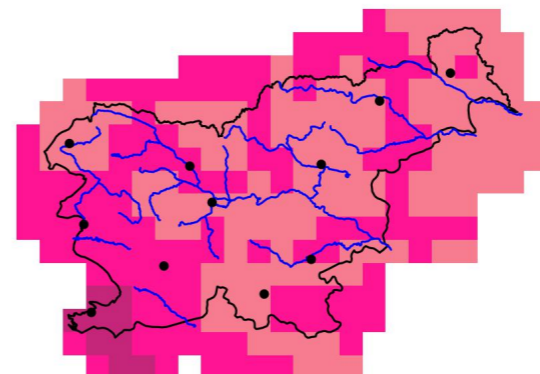
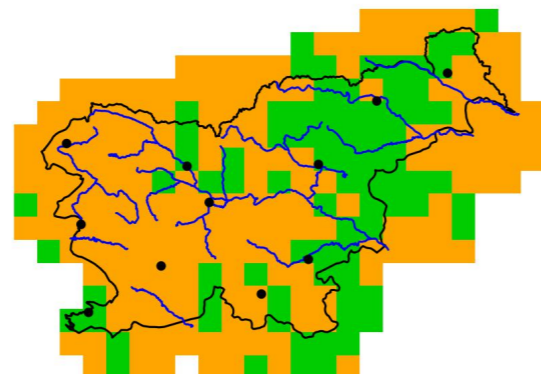
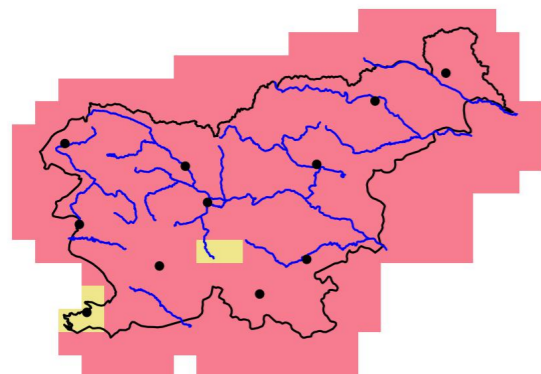


2041–2070

2041–2070

2041–2070

2041–2070

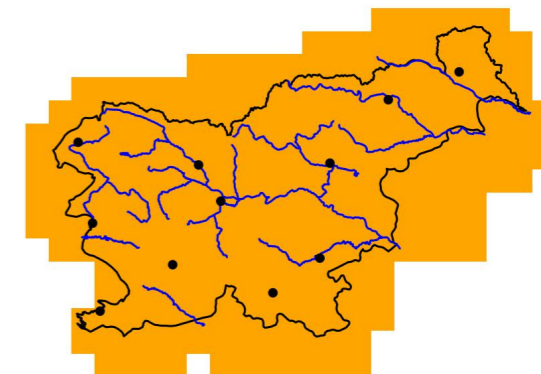
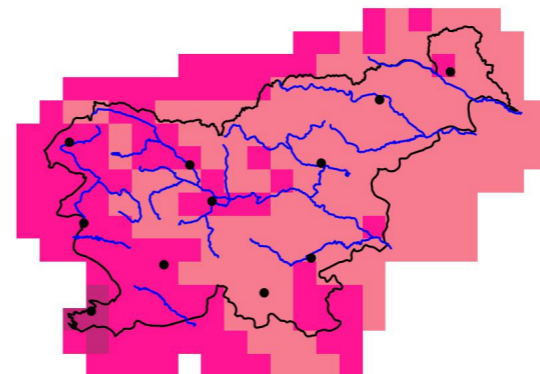
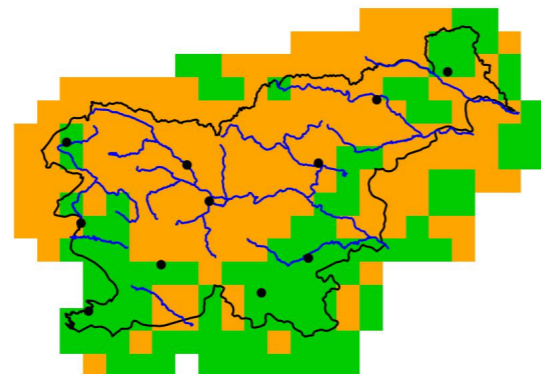
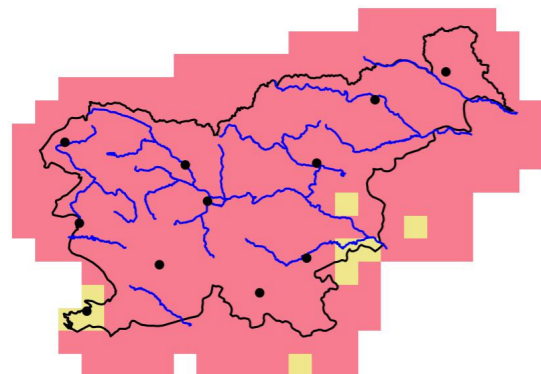


2071–2100

2071–2100

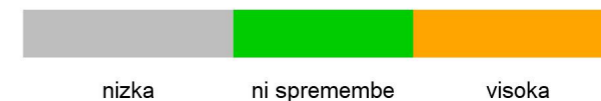
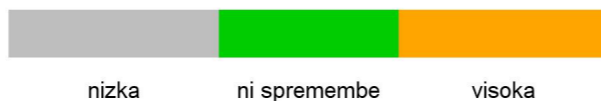
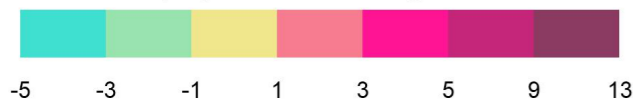
2071–2100

2071–2100



povprečna dolžina dogodka

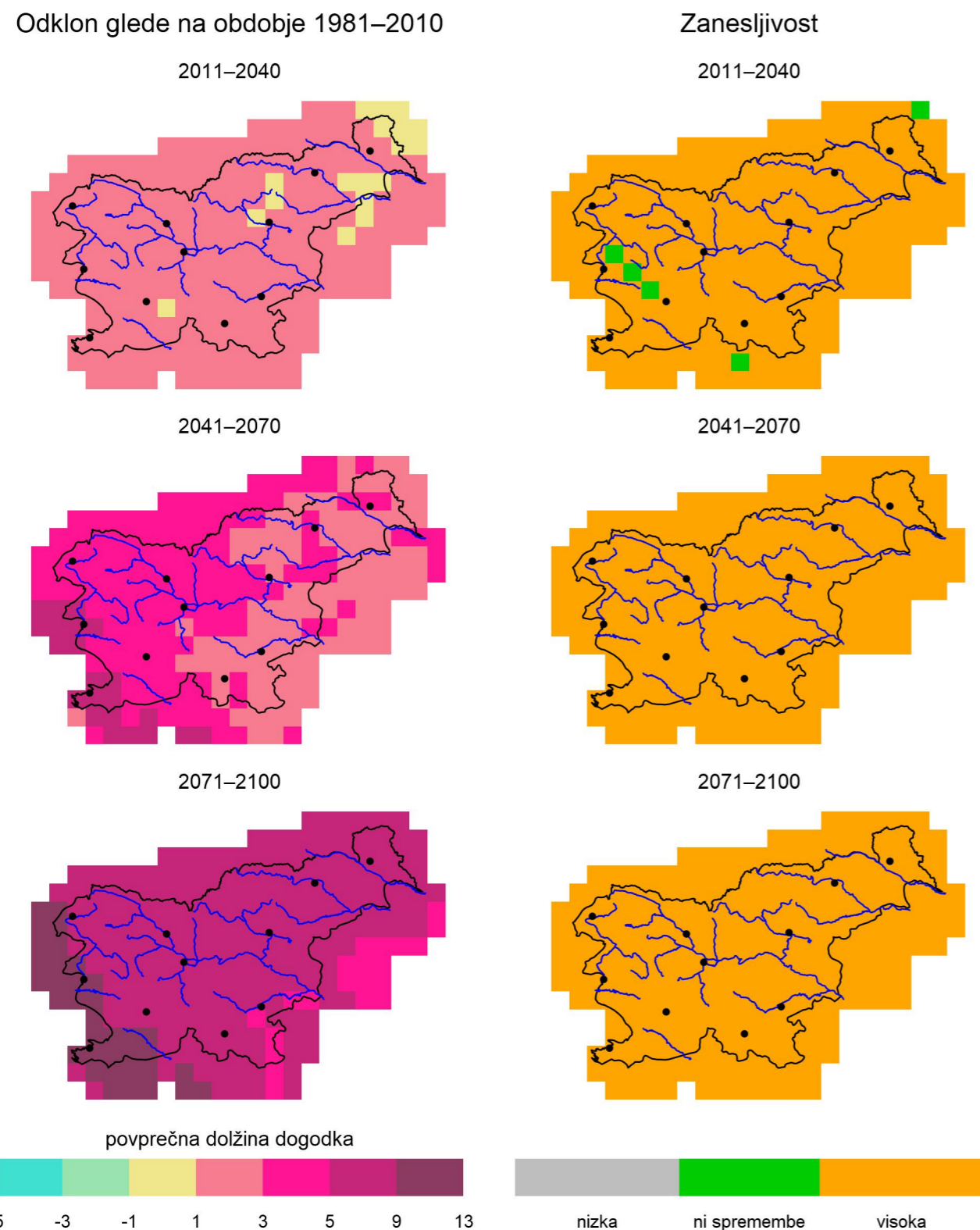
povprečna dolžina dogodka



Slika 1.99 | Sprememba povprečne dolžine vročinskih valov (po definiciji EHF) v toplem obdobju leta (maj–september) v treh projekcijskih obdobjih glede na obdobje 1981–2010 in pripadajoča zanesljivost spremembe za scenarij RCP2.6

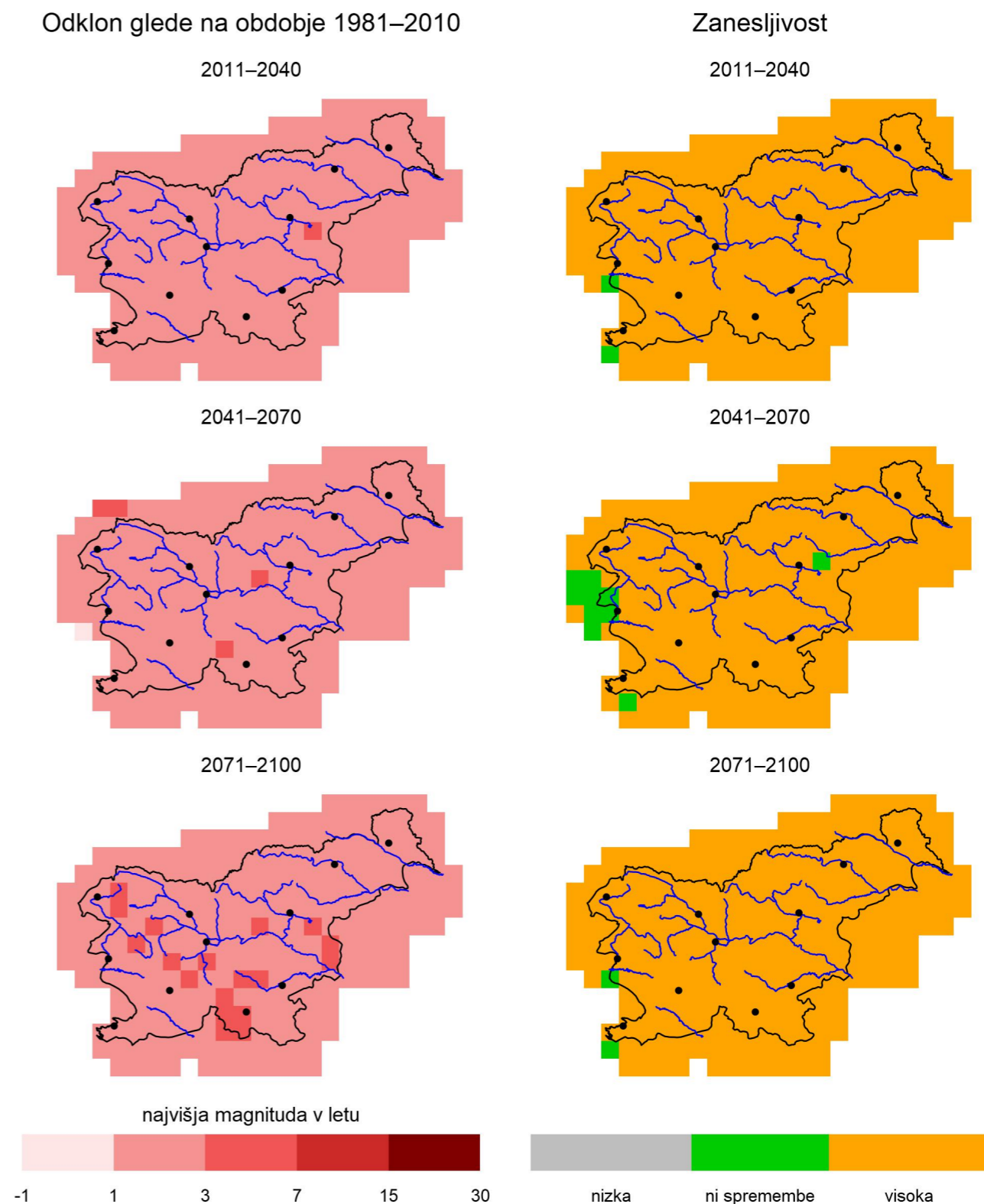
Slika 1.100 | Sprememba povprečne dolžine vročinskih valov (po definiciji EHF) v toplem obdobju leta (maj–september) v treh projekcijskih obdobjih glede na obdobje 1981–2010 in pripadajoča zanesljivost spremembe za scenarij RCP4.5

Dolžina vročinskega vala (po def. EHF), RCP8.5, maj - sep



Slika 1.101 | Sprememba povprečne dolžine vročinskih valov (po definiciji EHF) v toplem obdobju leta (maj–september) v treh projekcijskih obdobjih glede na obdobje 1981–2010 in pripadajoča zanesljivost spremembe za scenarij RCP8.5

Magnituda vročinskega vala (HWMId), RCP2.6



Slika 1.102 | Sprememba povprečne magnitude vročinskega vala (HWMId) v toplem obdobju leta (maj–september) v treh projekcijskih obdobjih glede na obdobje 1981–2010 in pripadajoča zanesljivost spremembe za scenarij RCP2.6

Magnituda vročinskega vala (HWMId), RCP4.5

Magnituda vročinskega vala (HWMId), RCP8.5

Odklon glede na obdobje 1981–2010

Zanesljivost

Odklon glede na obdobje 1981–2010

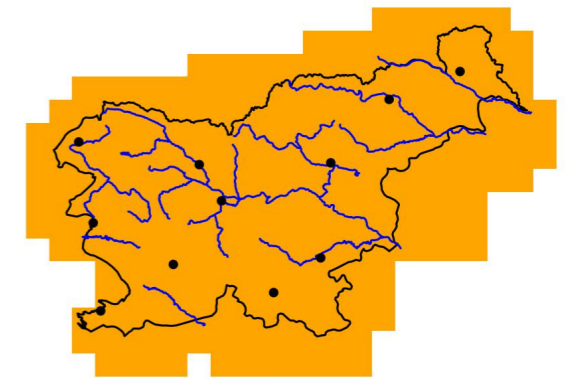
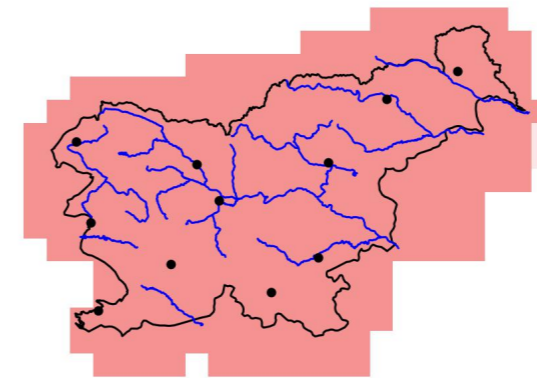
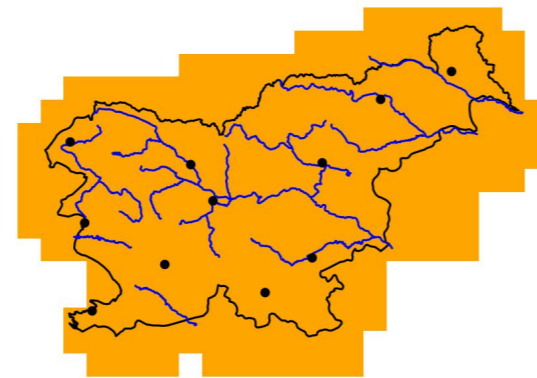
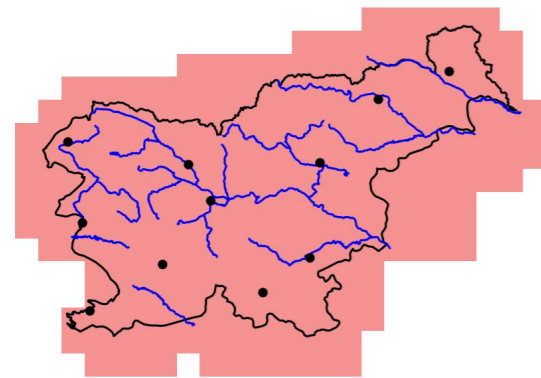
Zanesljivost

2011–2040

2011–2040

2011–2040

2011–2040

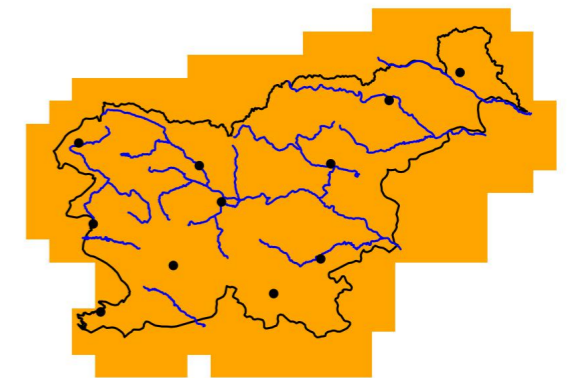
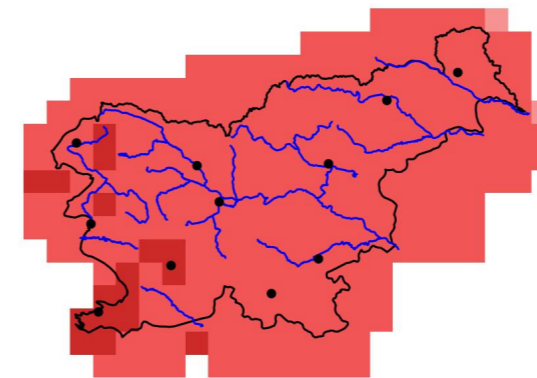
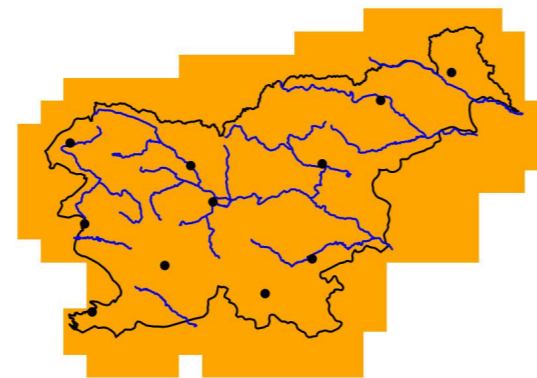
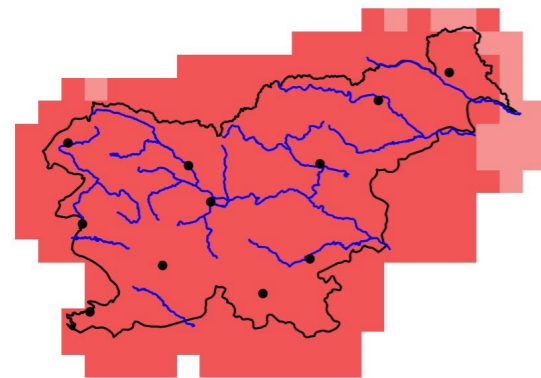


2041–2070

2041–2070

2041–2070

2041–2070

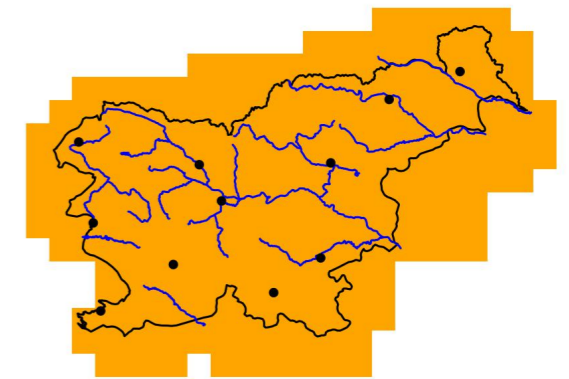
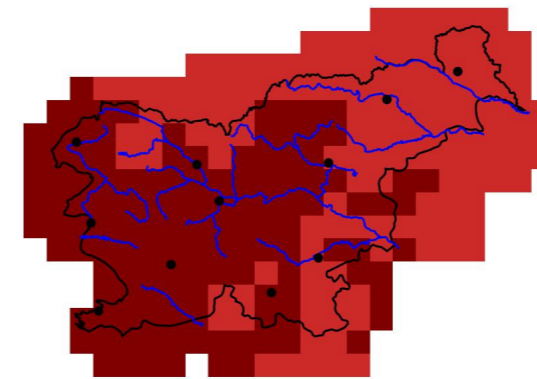
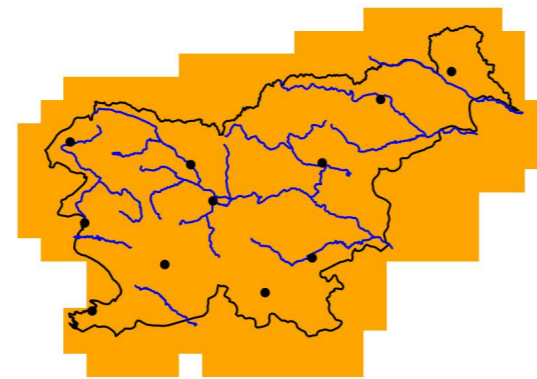
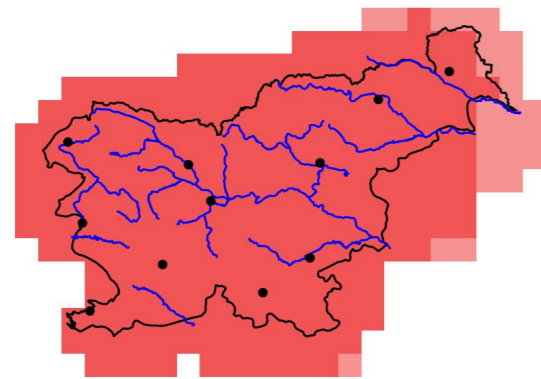


2071–2100

2071–2100

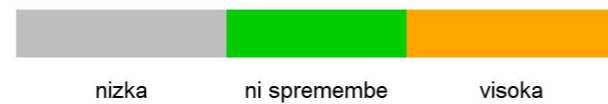
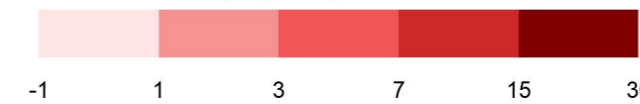
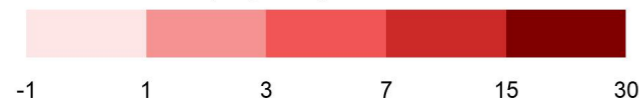
2071–2100

2071–2100



najvišja magnituda v letu

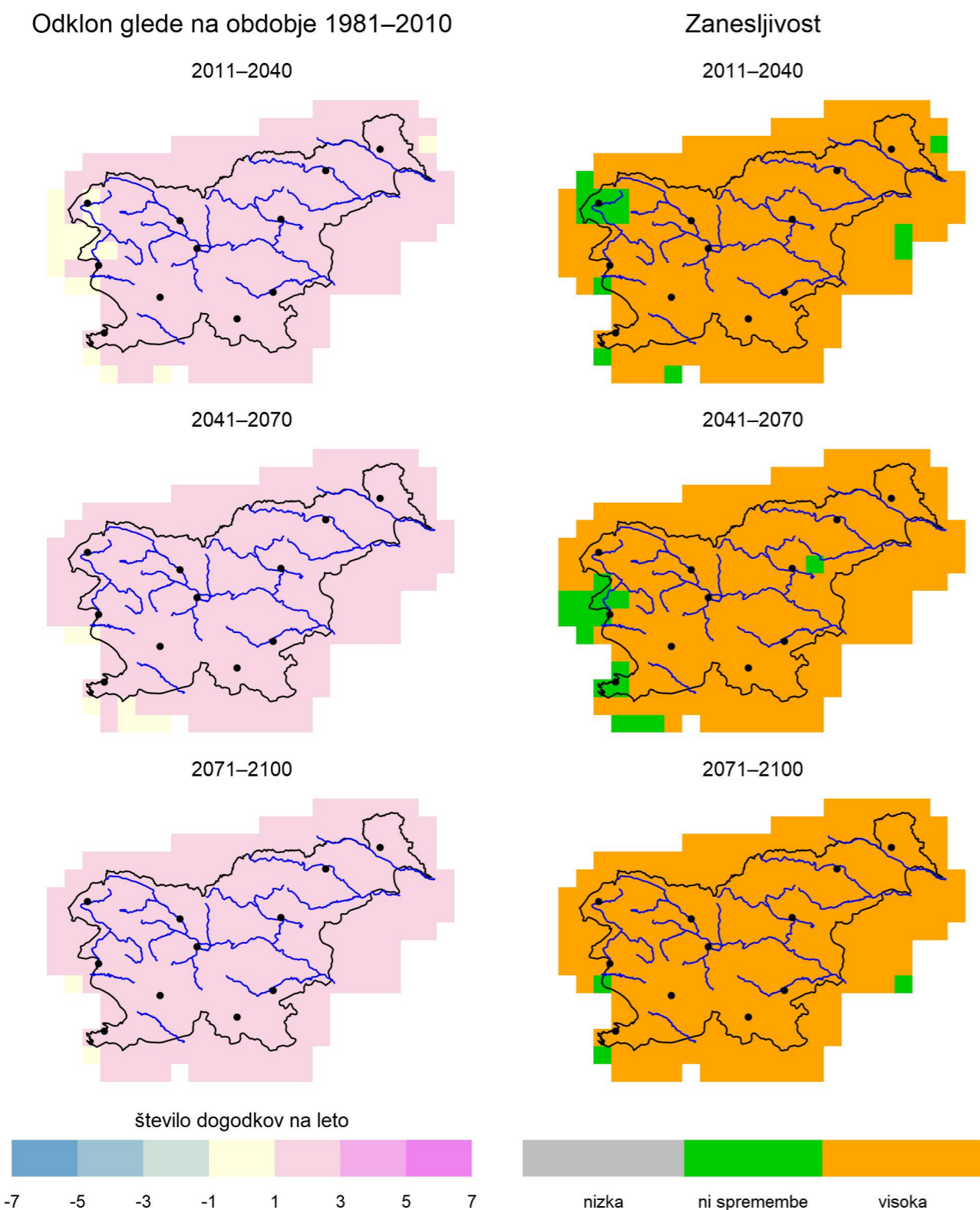
najvišja magnituda v letu



Slika 1.103 | Sprememba povprečne magnitude vročinskega vala (HWMId) v toplem obdobju leta (maj–september) v treh projekcijskih obdobjih glede na obdobje 1981–2010 in pripadajoča zanesljivost spremembe za scenarij RCP4.5

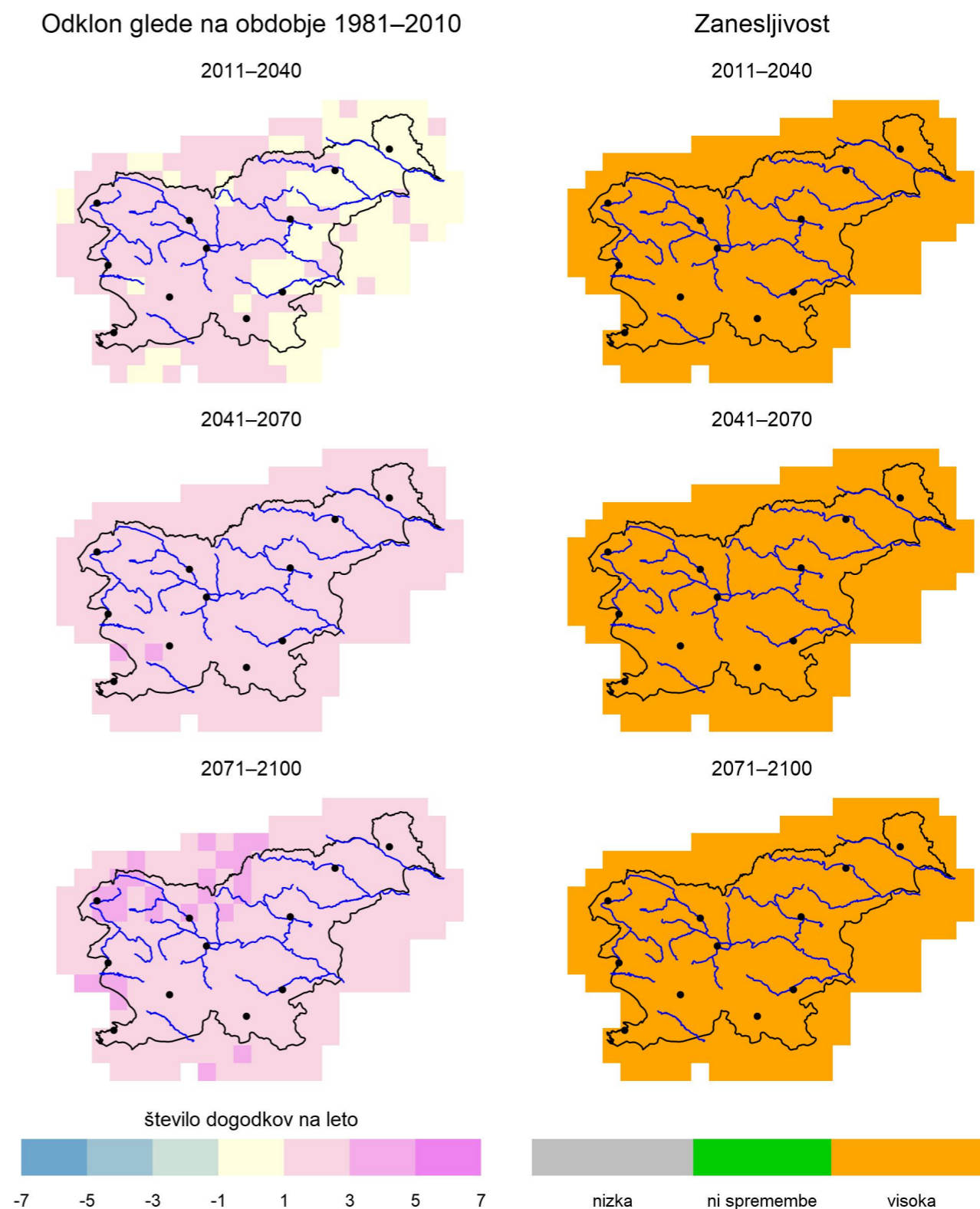
Slika 1.104 | Sprememba povprečne magnitude vročinskega vala (HWMId) v toplem obdobju leta (maj–september) v treh projekcijskih obdobjih glede na obdobje 1981–2010 in pripadajoča zanesljivost spremembe za scenarij RCP8.5

Število vročinskih valov na leto (po def. HWMI_d), RCP2.6, maj - sep



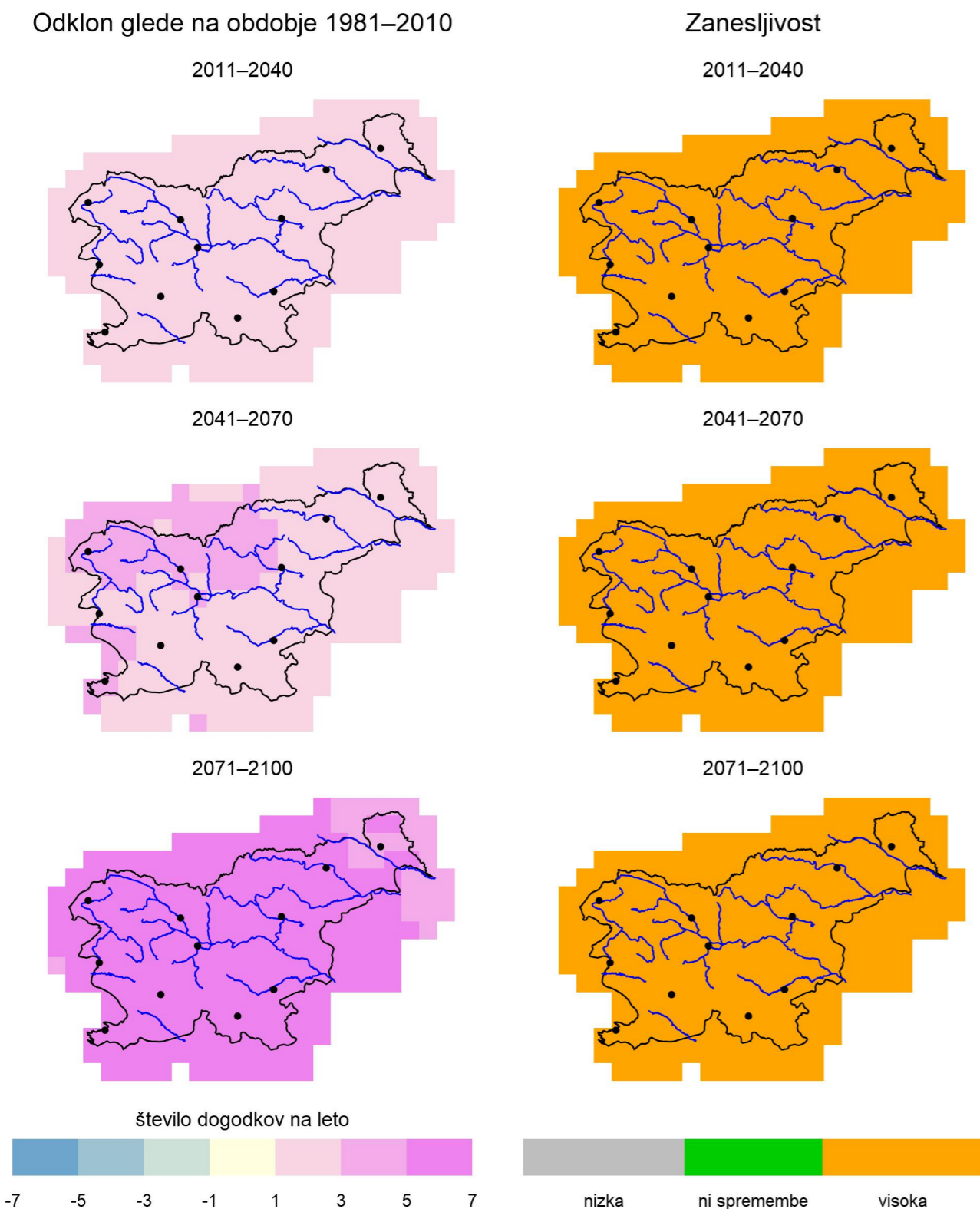
Slika 1.105 | Sprememba povprečnega števila vročinskih valov (po definiciji HWMI_d) v toplem obdobju leta (maj–september) v treh projekcijskih obdobjih glede na obdobje 1981–2010 in pripadajoča zanesljivost spremembe za scenarij RCP2.6

Število vročinskih valov na leto (po def. HWMI_d), RCP4.5, maj - sep



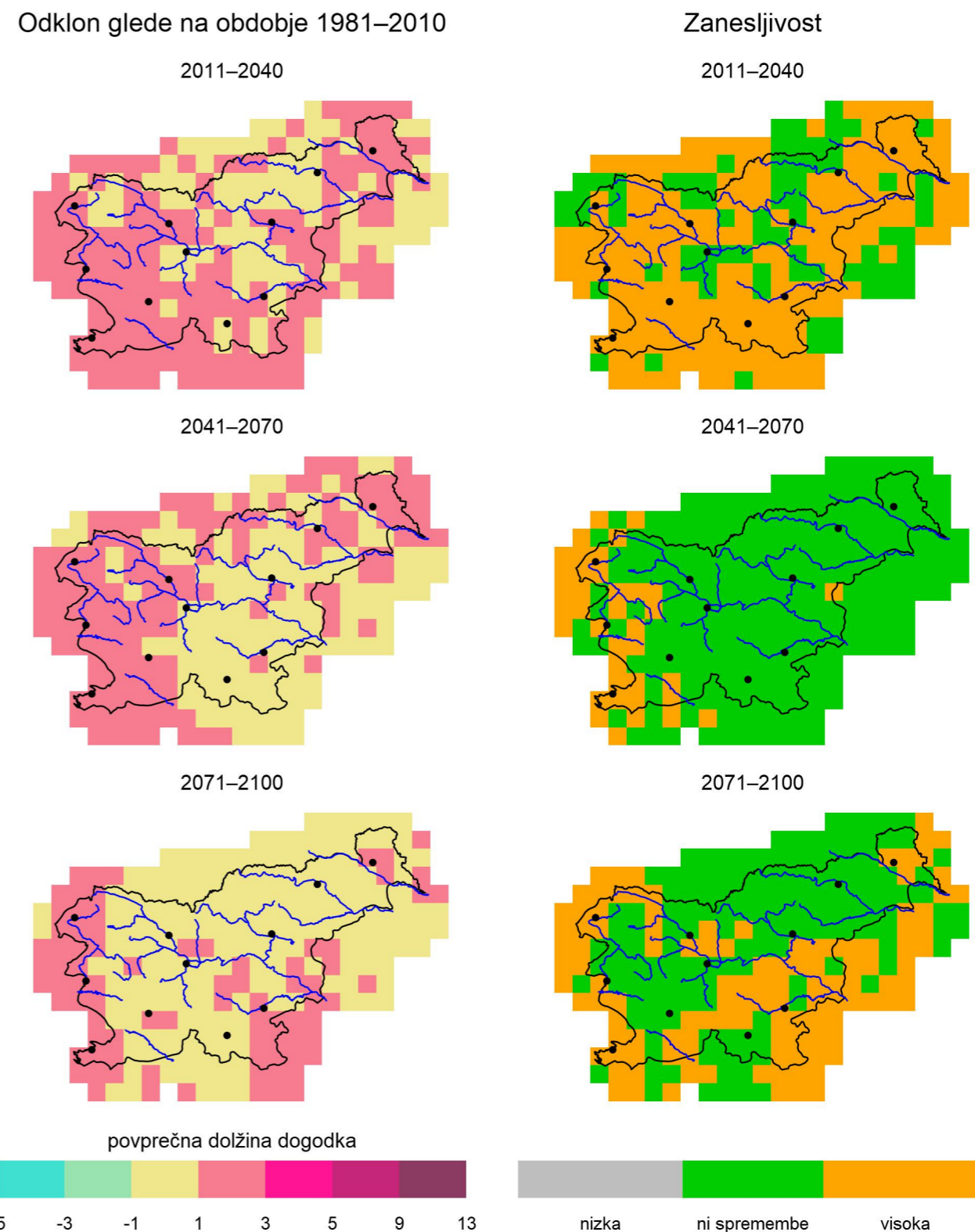
Slika 1.106 | Sprememba povprečnega števila vročinskih valov (po definiciji HWMI_d) v toplem obdobju leta (maj–september) v treh projekcijskih obdobjih glede na obdobje 1981–2010 in pripadajoča zanesljivost spremembe za scenarij RCP4.5

Število vročinskih valov na leto (po def. HWMIId), RCP8.5, maj - sep



Slika 1.107 | Sprememba povprečnega števila vročinskih valov (po definiciji HWMIId) v toplen obdobju leta (maj–september) v treh projekcijskih obdobjih glede na obdobje 1981–2010 in pripadajoča zanesljivost spremembe za scenarij RCP8.5

Dolžina vročinskega vala (po def. HWMIId), RCP2.6, maj - sep



Slika 1.108 | Sprememba povprečne dolžine vročinskih valov (po definiciji HWMIId) v toplen obdobju leta (maj–september) v treh projekcijskih obdobjih glede na obdobje 1981–2010 in pripadajoča zanesljivost spremembe za scenarij RCP2.6

Dolžina vročinskega vala (po def. HWMIId), RCP4.5, maj - sep

Dolžina vročinskega vala (po def. HWMIId), RCP8.5, maj - sep

Odklon glede na obdobje 1981–2010

Odklon glede na obdobje 1981–2010

Zanesljivost

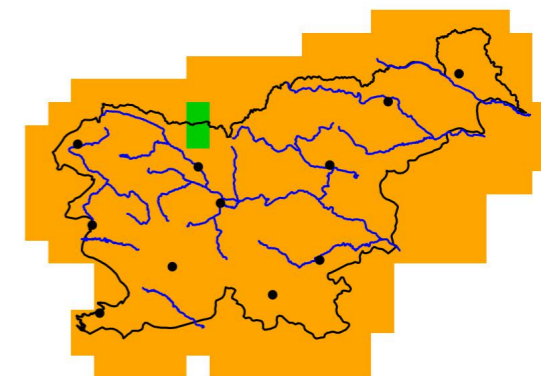
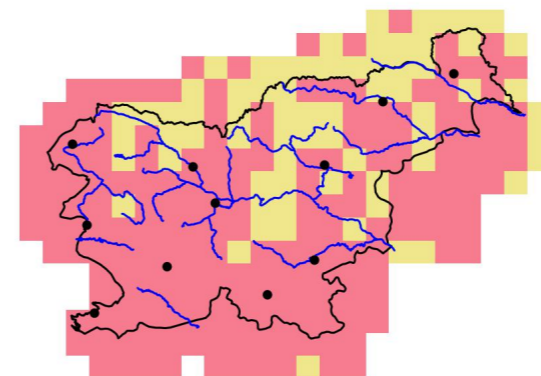
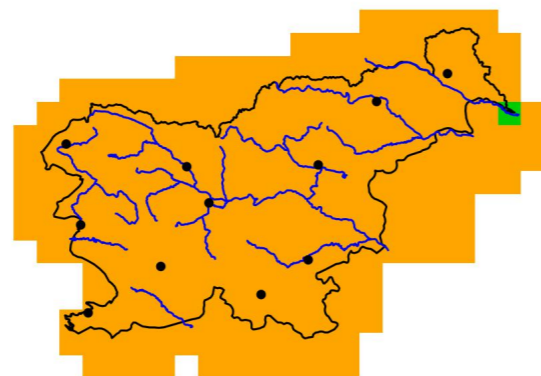
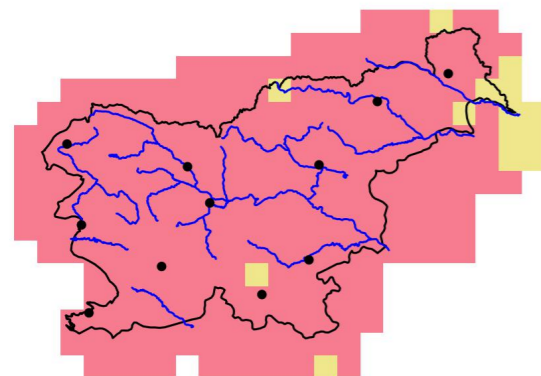
Zanesljivost

2011–2040

2011–2040

2011–2040

2011–2040

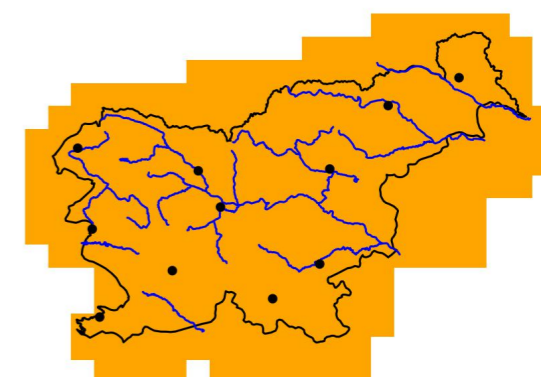
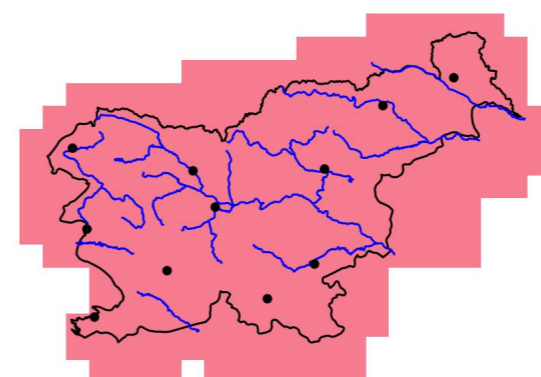
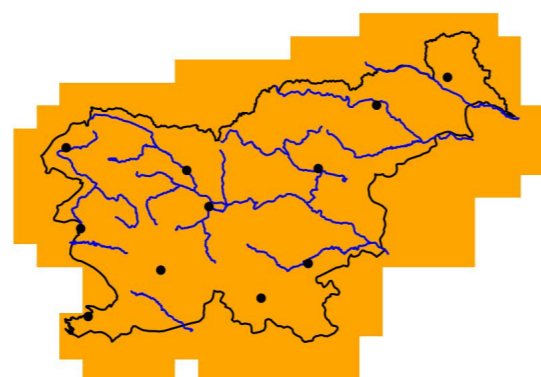
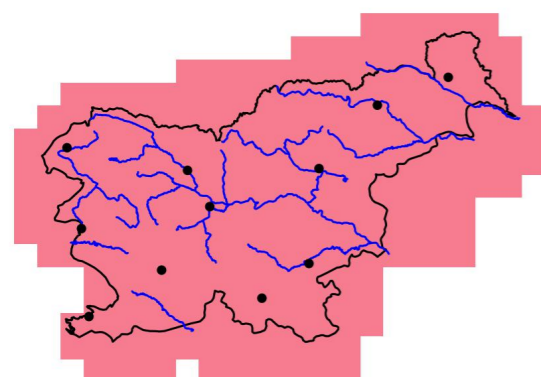


2041–2070

2041–2070

2041–2070

2041–2070

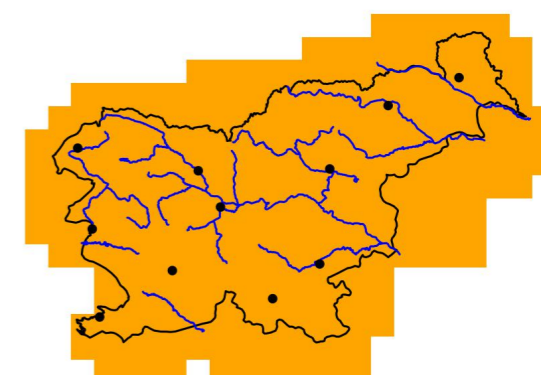
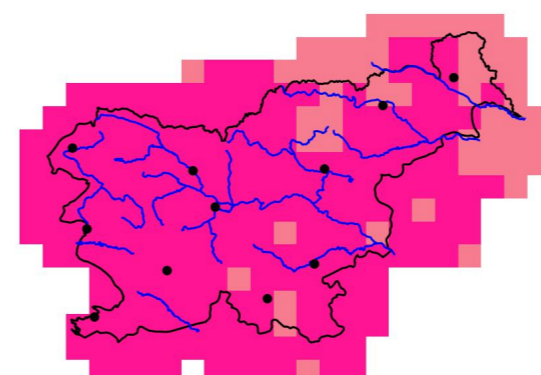
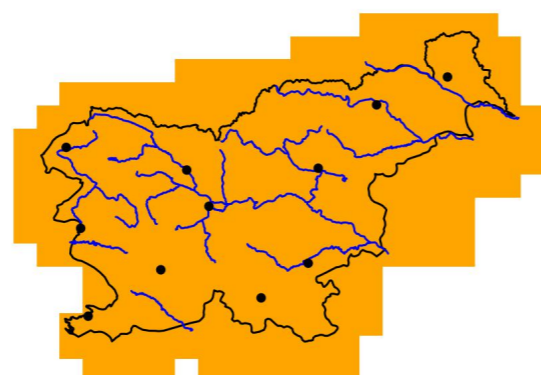
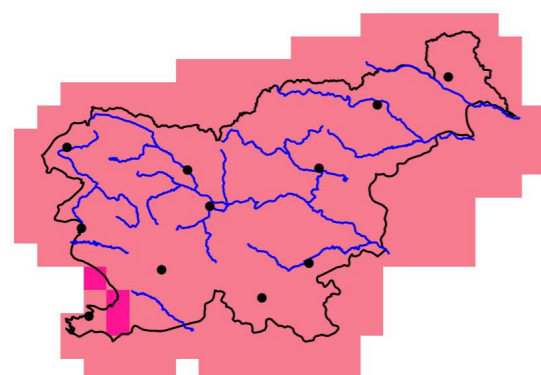


2071–2100

2071–2100

2071–2100

2071–2100



povprečna dolžina dogodka

povprečna dolžina dogodka



Slika 1.109 | Sprememba povprečne dolžine vročinskih valov (po definiciji HWMIId) v toplem obdobju leta (maj–september) v treh projekcijskih obdobjih glede na obdobje 1981–2010 in pripadajoča zanesljivost spremembe za scenarij RCP4.5

Slika 1.110 | Sprememba povprečne dolžine vročinskih valov (po definiciji HWMIId) v toplem obdobju leta (maj–september) v treh projekcijskih obdobjih glede na obdobje 1981–2010 in pripadajoča zanesljivost spremembe za scenarij RCP8.5

Skupna dolžina toplih obdobij (WSDI), RCP2.6

Skupna dolžina toplih obdobij (WSDI), RCP4.5

Odklon glede na obdobje 1981–2010

Zanesljivost

Odklon glede na obdobje 1981–2010

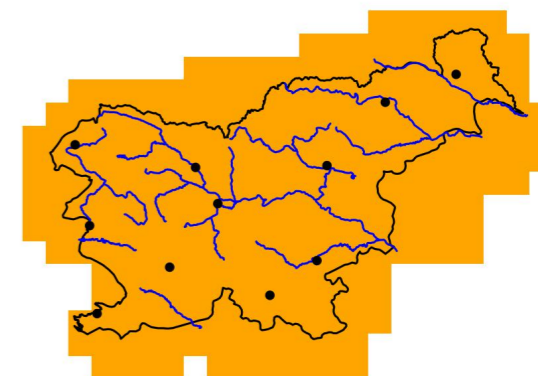
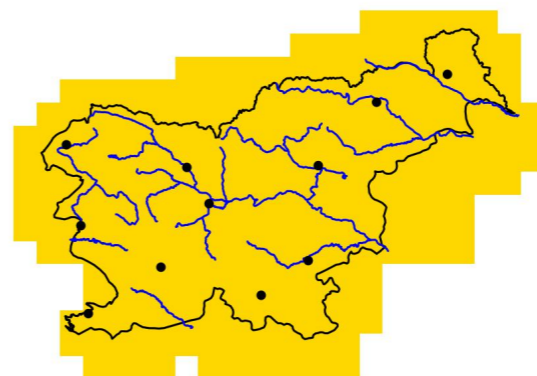
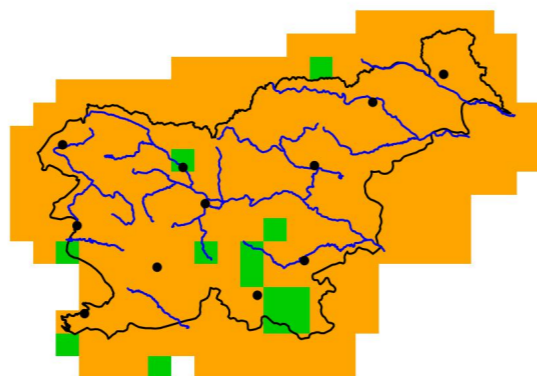
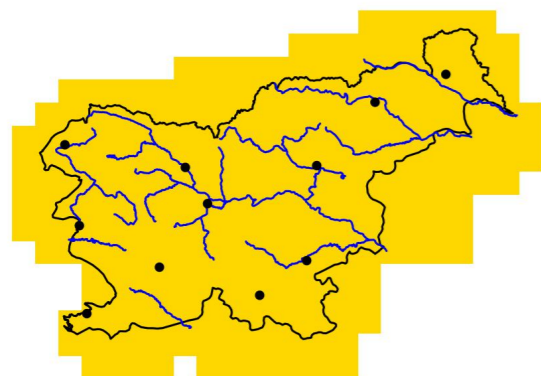
Zanesljivost

2011–2040

2011–2040

2011–2040

2011–2040

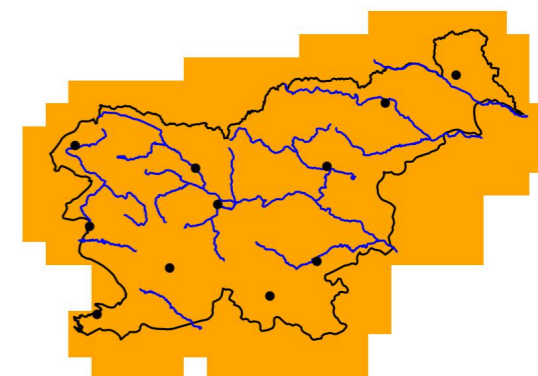
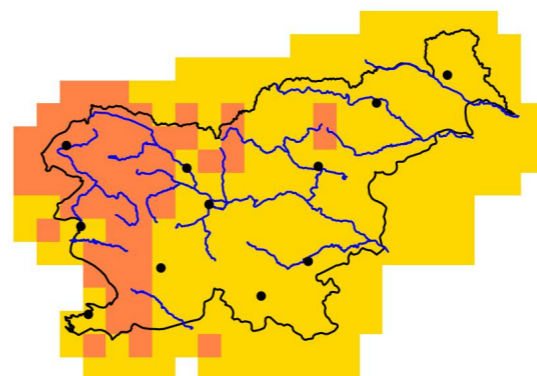
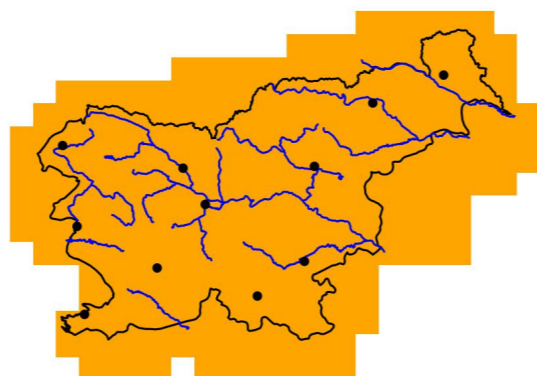
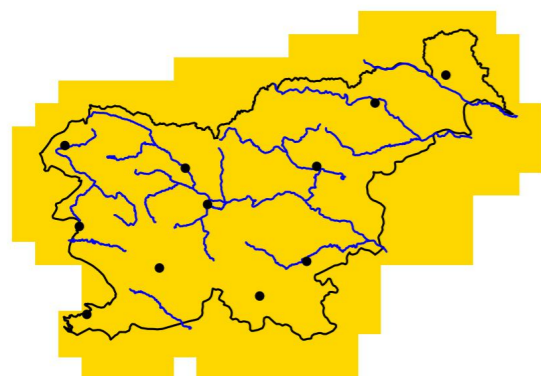


2041–2070

2041–2070

2041–2070

2041–2070

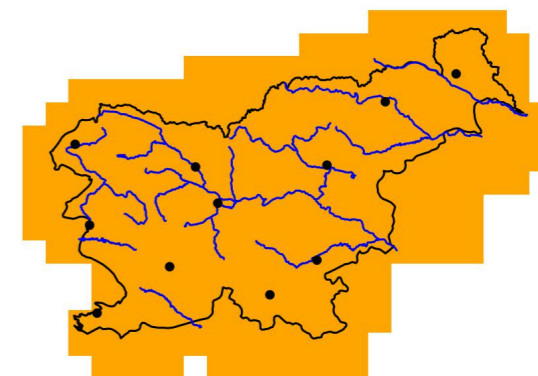
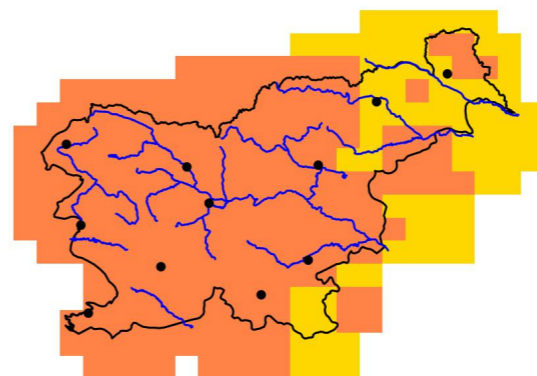
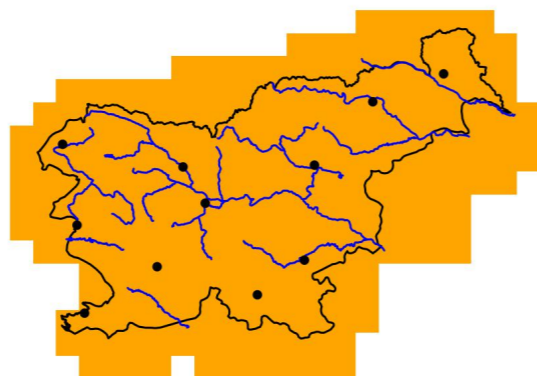
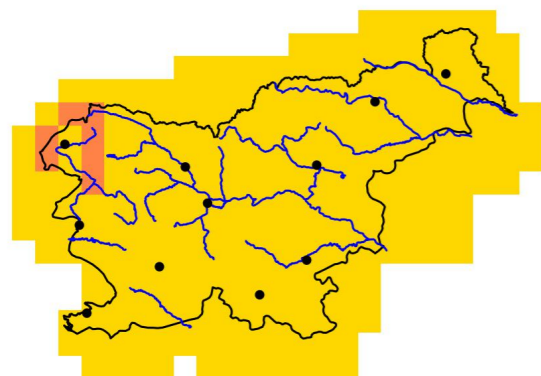


2071–2100

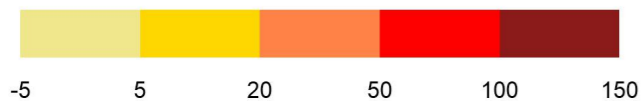
2071–2100

2071–2100

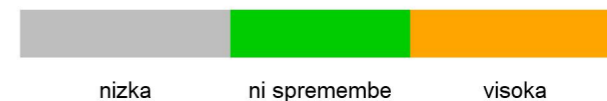
2071–2100



Število dni



Število dni



Slika 1.111 | Sprememba povprečne skupne dolžine toplih obdobij (WSDI) v letu v treh projekcijskih obdobjih glede na obdobje 1981–2010 in pripadajoča zanesljivost spremembe za scenarij RCP2.6

Slika 1.112 | Sprememba povprečne skupne dolžine toplih obdobij (WSDI) v letu v treh projekcijskih obdobjih glede na obdobje 1981–2010 in pripadajoča zanesljivost spremembe za scenarij RCP4.5

Skupna dolžina toplih obdobij (WSDI), RCP8.5

Število toplih dni (SU), RCP2.6

Odklon glede na obdobje 1981–2010

Zanesljivost

Odklon glede na obdobje 1981–2010

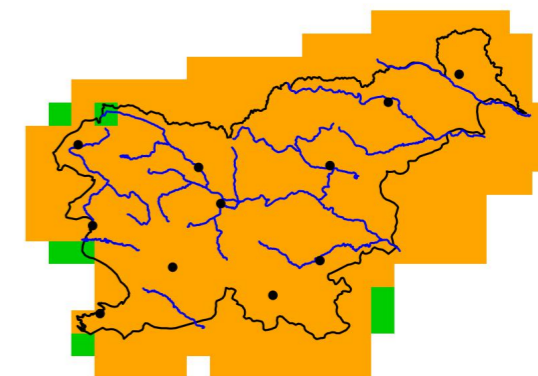
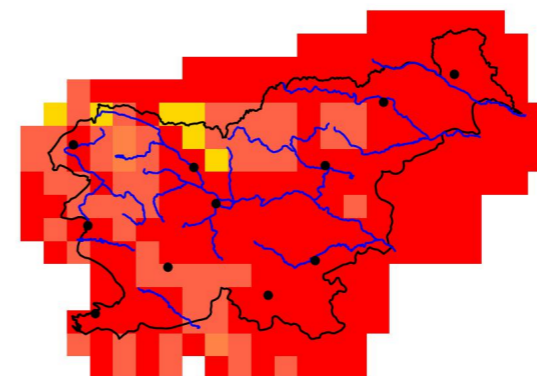
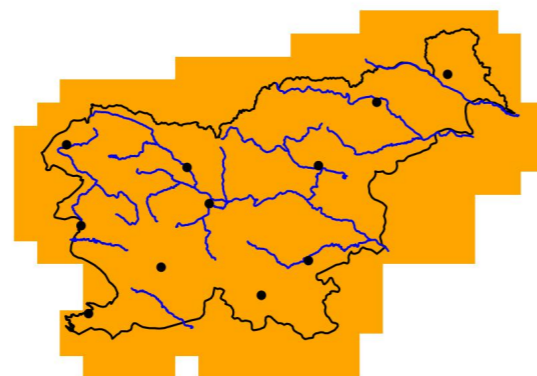
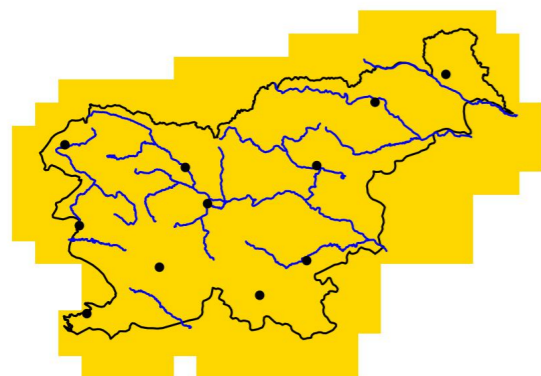
Zanesljivost

2011–2040

2011–2040

2011–2040

2011–2040

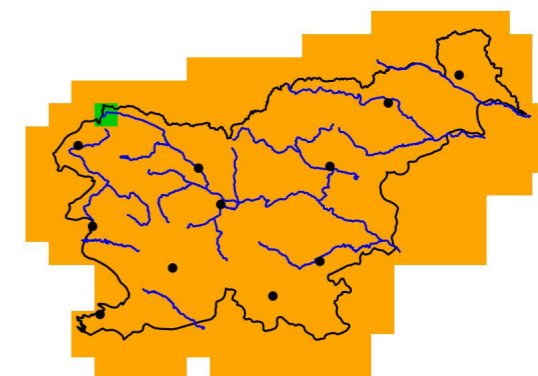
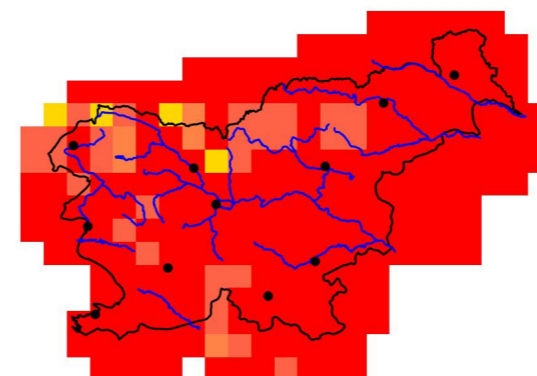
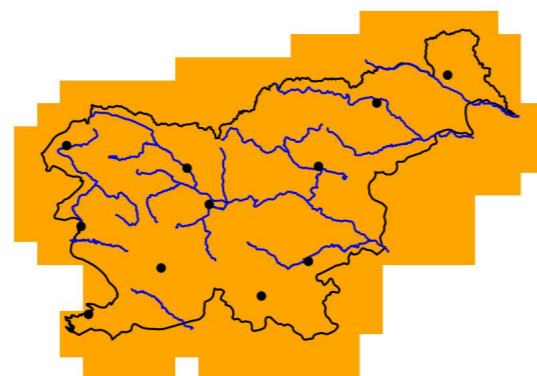
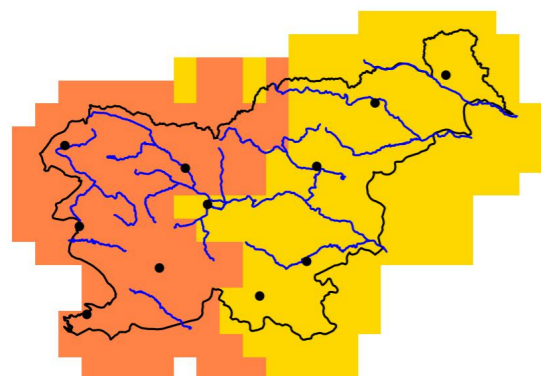


2041–2070

2041–2070

2041–2070

2041–2070

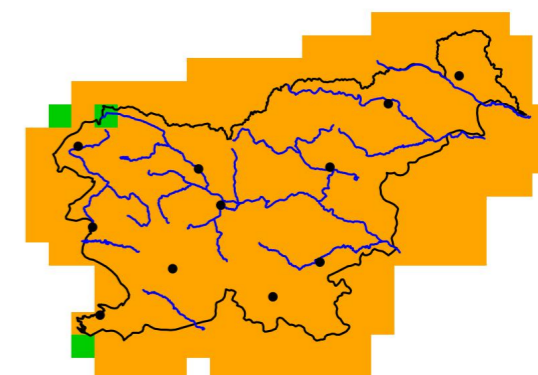
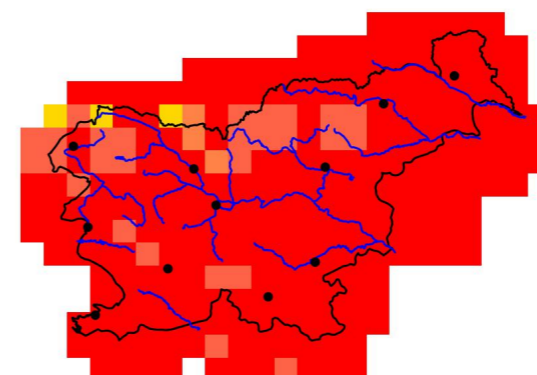
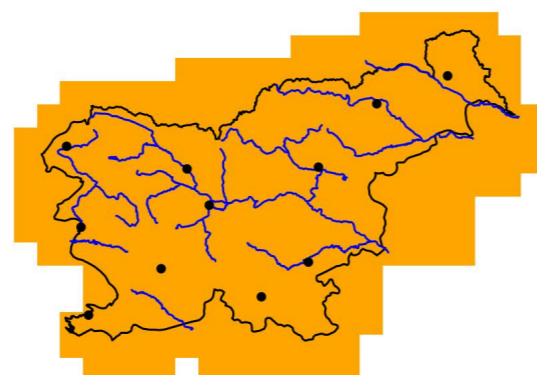
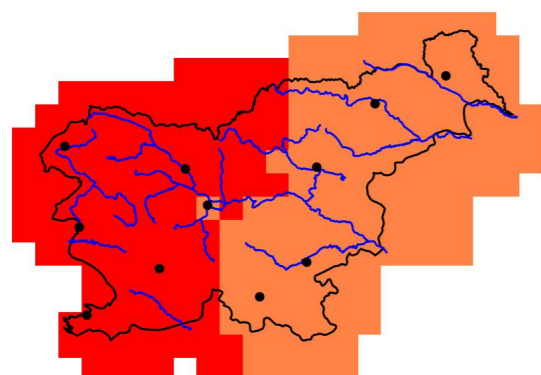


2071–2100

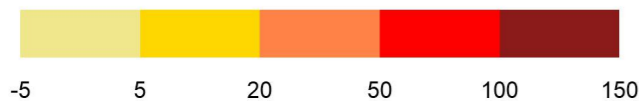
2071–2100

2071–2100

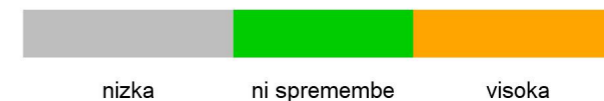
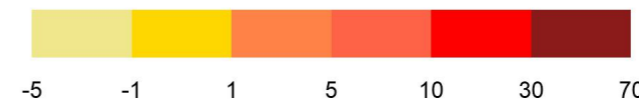
2071–2100



Število dni



Število dni



Slika 1.113 | Sprememba povprečne skupne dolžine toplih obdobij (WSDI) v letu v treh projekcijskih obdobjih glede na obdobje 1981–2010 in pripadajoča zanesljivost spremembe za scenarij RCP8.5

Slika 1.114 | Sprememba povprečnega števila toplih dni (SU) na leto v treh projekcijskih obdobjih glede na obdobje 1981–2010 in pripadajoča zanesljivost spremembe za scenarij RCP2.6

Število toplih dni (SU), RCP4.5

Število toplih dni (SU), RCP8.5

Odklon glede na obdobje 1981–2010

Zanesljivost

Odklon glede na obdobje 1981–2010

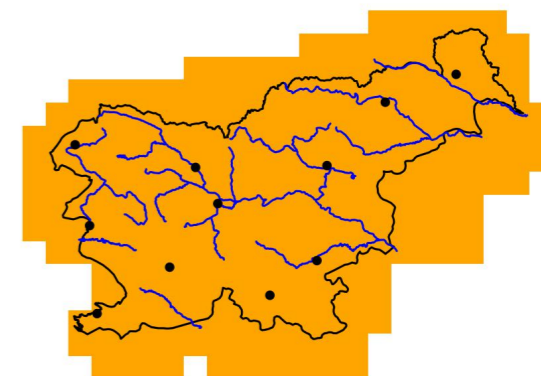
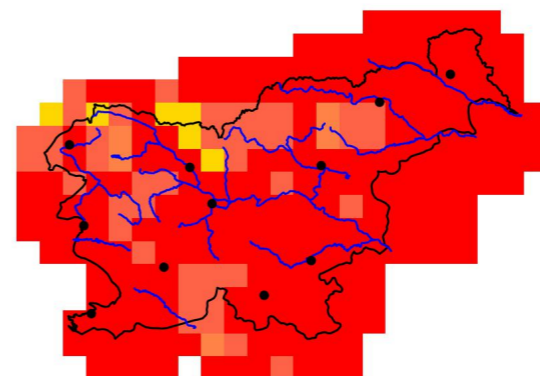
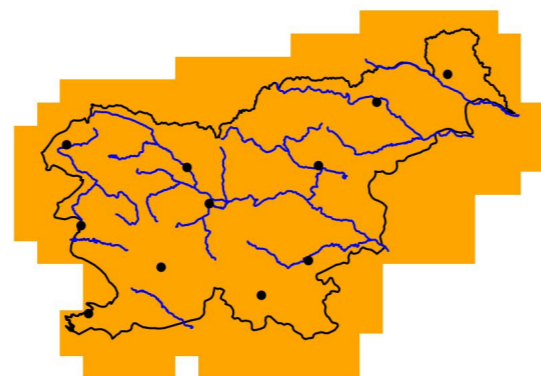
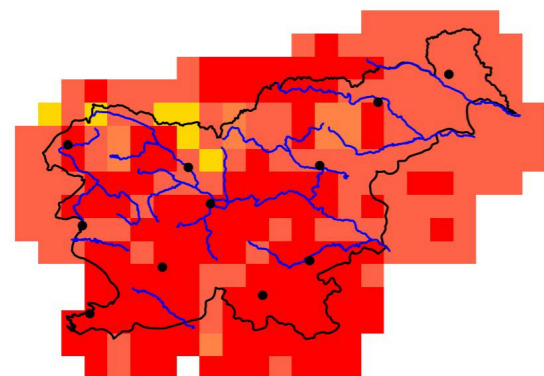
Zanesljivost

2011–2040

2011–2040

2011–2040

2011–2040

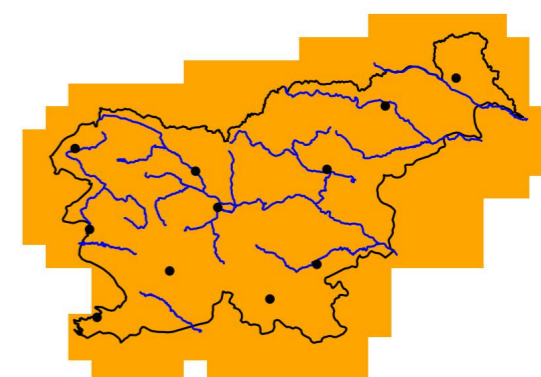
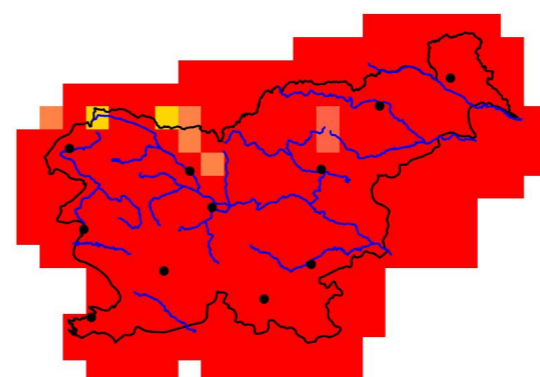
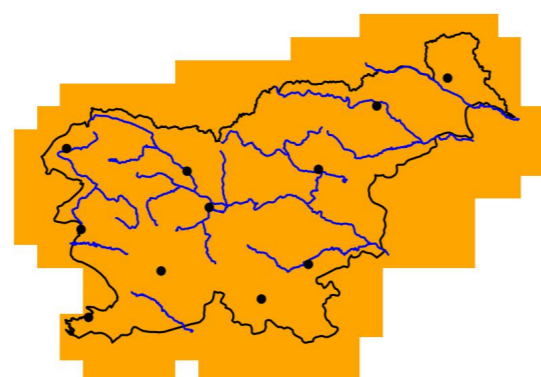
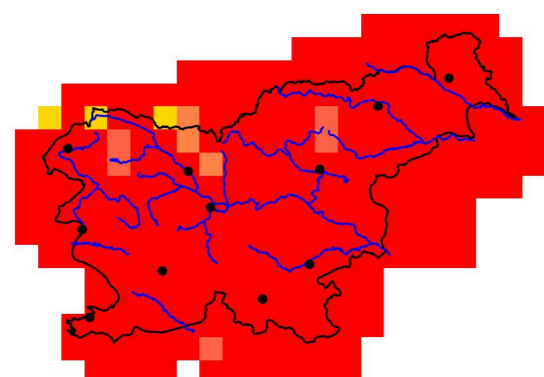


2041–2070

2041–2070

2041–2070

2041–2070

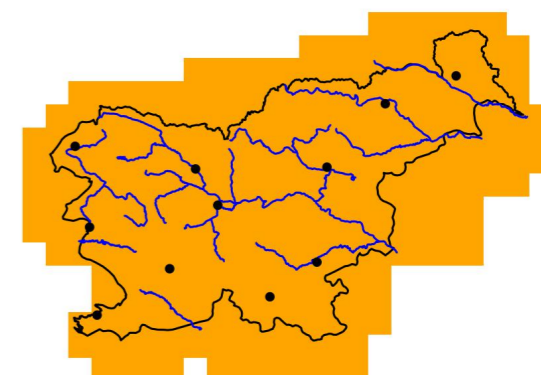
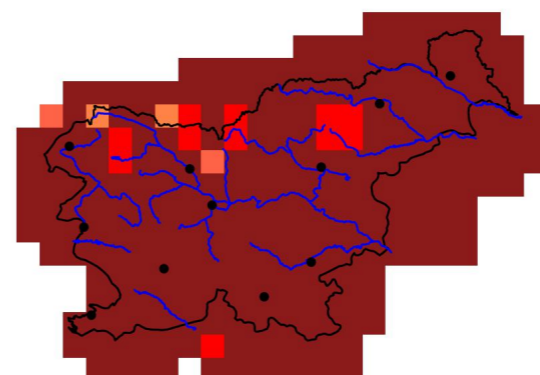
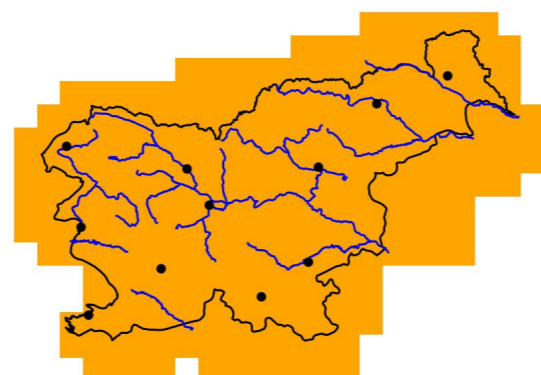
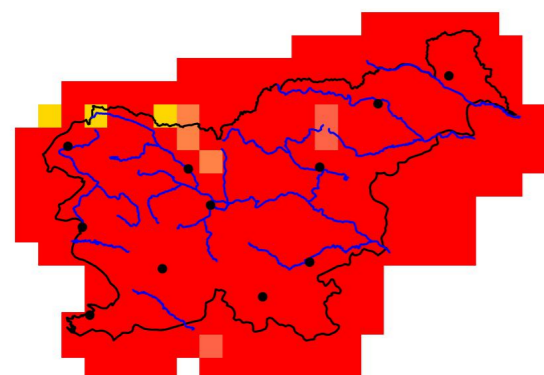


2071–2100

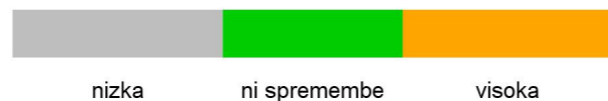
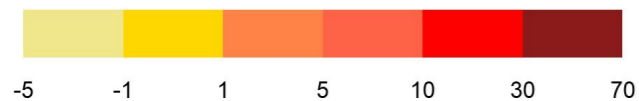
2071–2100

2071–2100

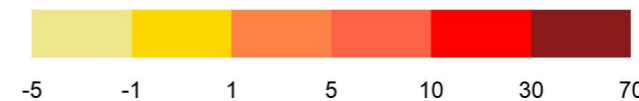
2071–2100



Število dni



Število dni



Slika 1.115 | Sprememba povprečnega števila toplih dni (SU) na leto v treh projekcijskih obdobjih glede na obdobje 1981–2010 in pripadajoča zanesljivost spremembe za scenarij RCP4.5

Slika 1.116 | Sprememba povprečnega števila toplih dni (SU) na leto v treh projekcijskih obdobjih glede na obdobje 1981–2010 in pripadajoča zanesljivost spremembe za scenarij RCP8.5

Število vročih dni, RCP2.6

Število vročih dni, RCP4.5

Odklon glede na obdobje 1981–2010

Zanesljivost

Odklon glede na obdobje 1981–2010

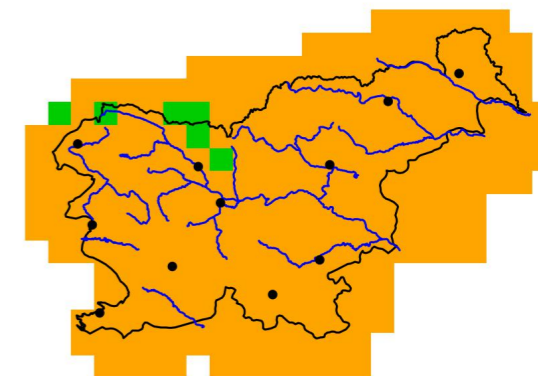
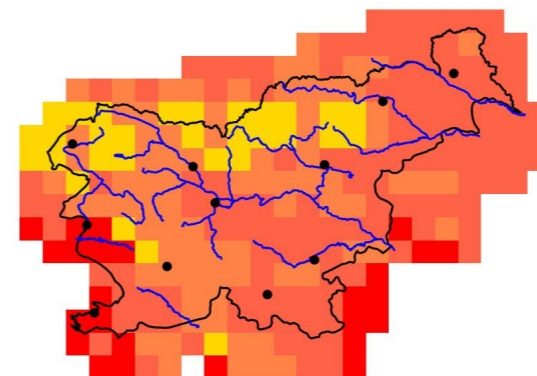
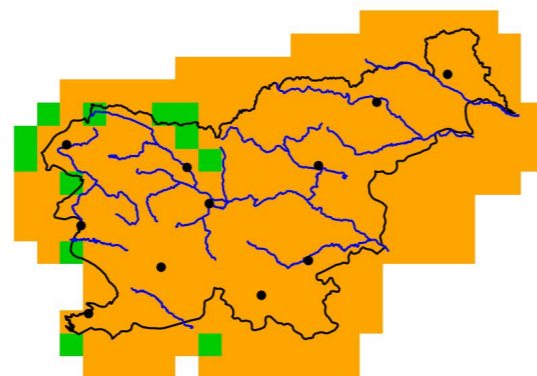
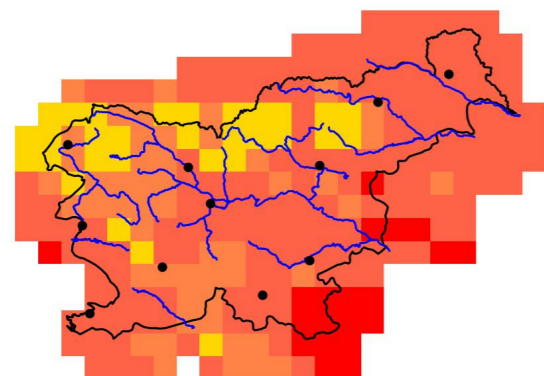
Zanesljivost

2011–2040

2011–2040

2011–2040

2011–2040

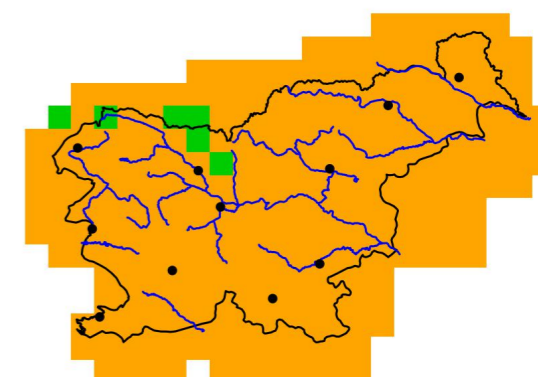
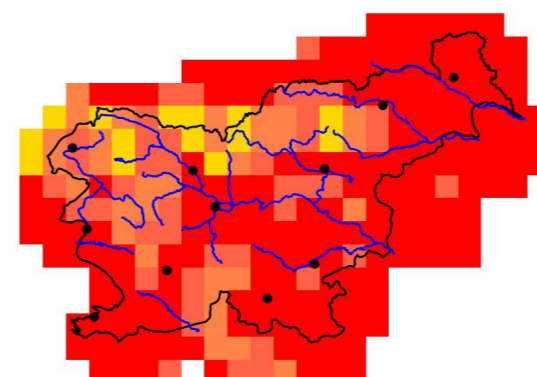
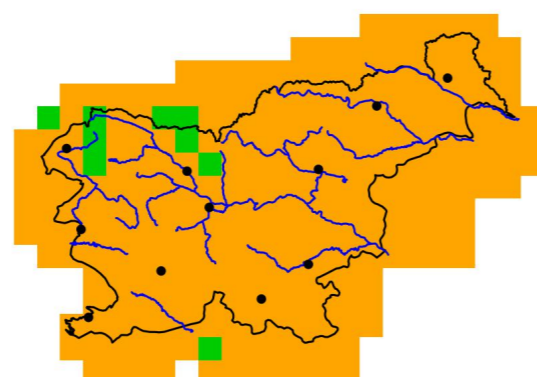
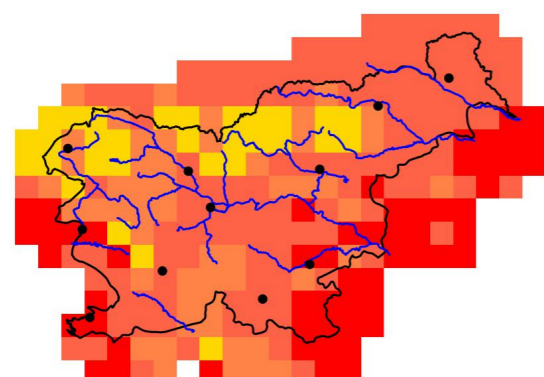


2041–2070

2041–2070

2041–2070

2041–2070

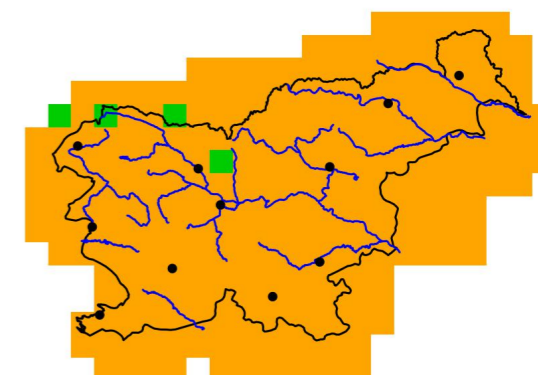
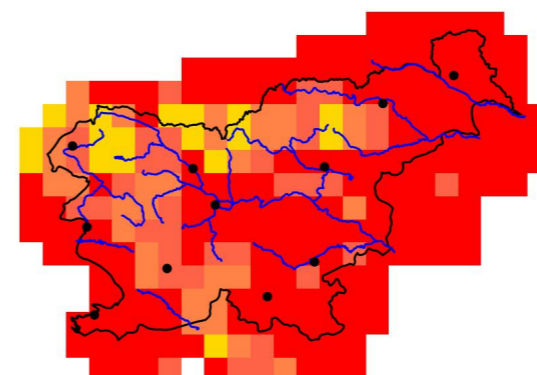
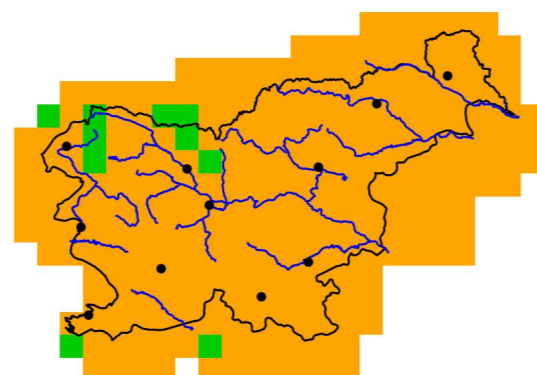
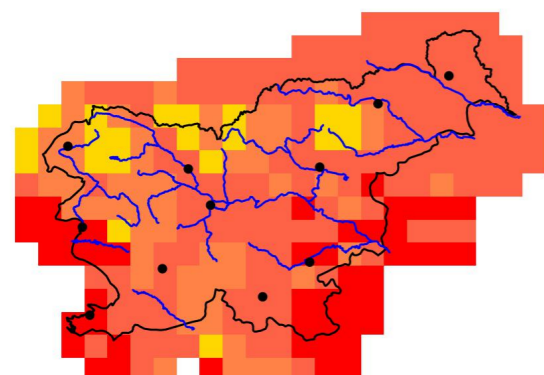


2071–2100

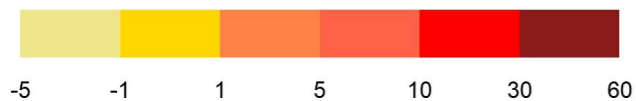
2071–2100

2071–2100

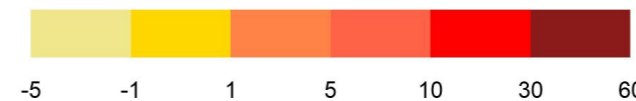
2071–2100



Število dni



Število dni



Slika 1.117 | Sprememba povprečnega števila vročih dni na leto v treh projekcijskih obdobjih glede na obdobje 1981–2010 in pripadajoča zanesljivost spremembe za scenarij RCP2.6

Slika 1.118 | Sprememba povprečnega števila vročih dni na leto v treh projekcijskih obdobjih glede na obdobje 1981–2010 in pripadajoča zanesljivost spremembe za scenarij RCP4.5

Število vročih dni, RCP8.5

Število tropskih noči (TR), RCP2.6

Odklon glede na obdobje 1981–2010

Zanesljivost

Odklon glede na obdobje 1981–2010

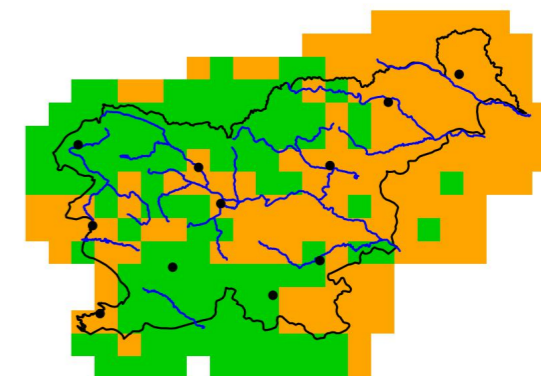
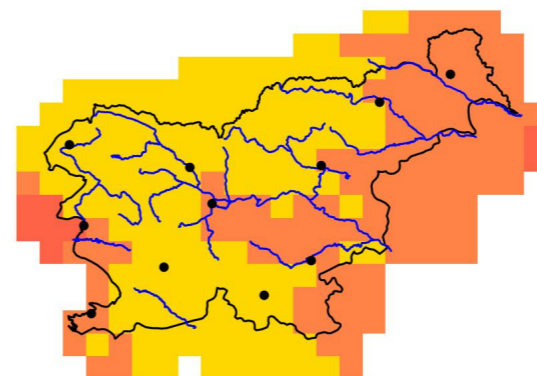
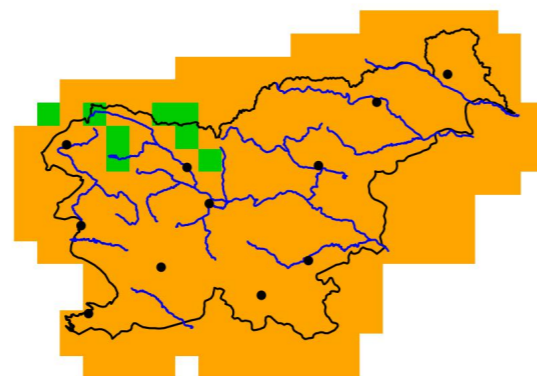
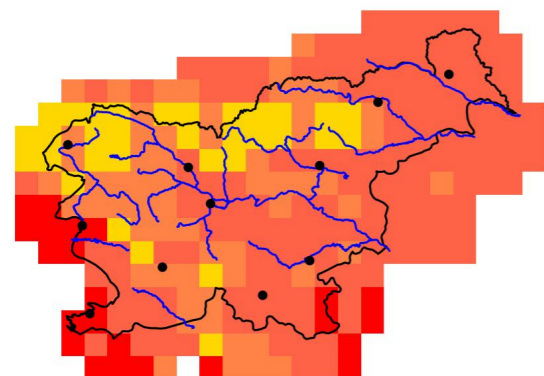
Zanesljivost

2011–2040

2011–2040

2011–2040

2011–2040

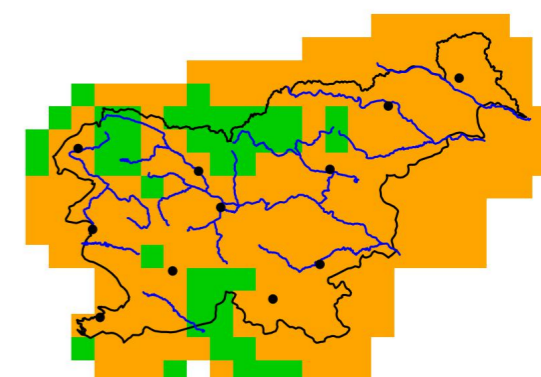
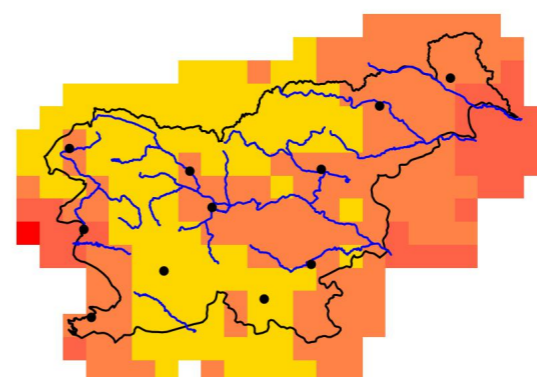
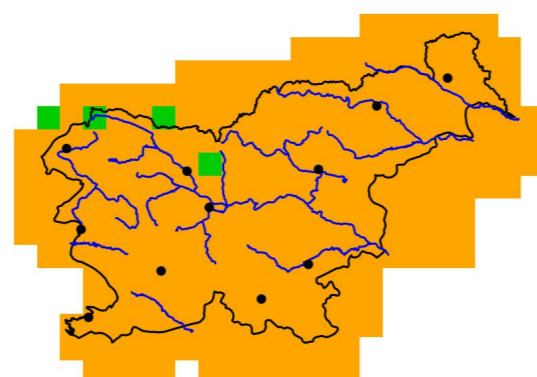
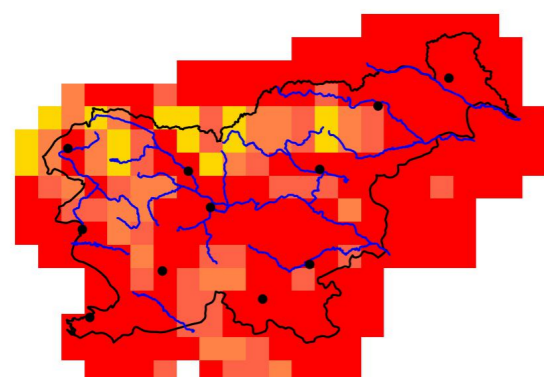


2041–2070

2041–2070

2041–2070

2041–2070

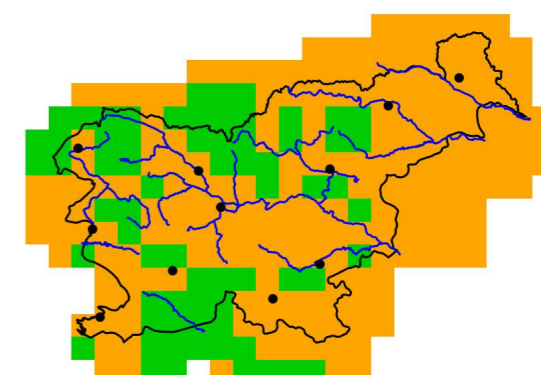
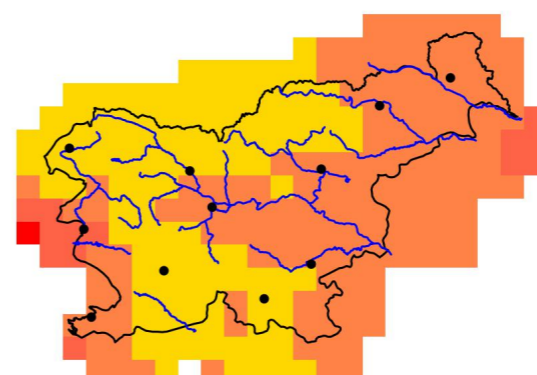
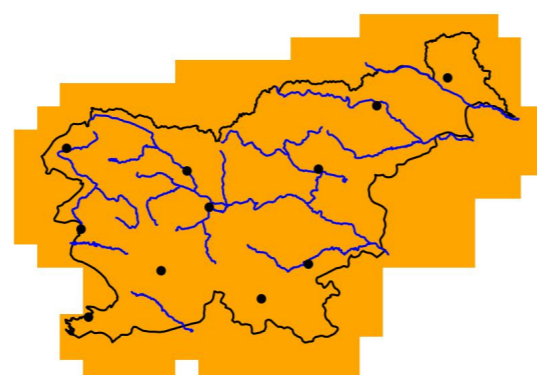
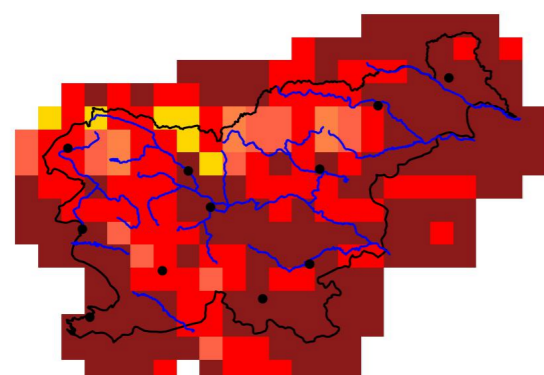


2071–2100

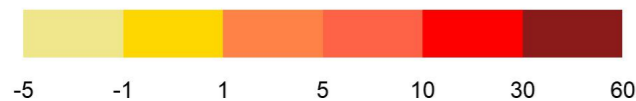
2071–2100

2071–2100

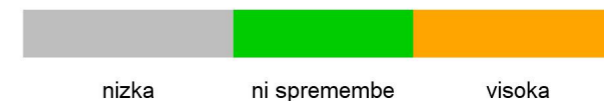
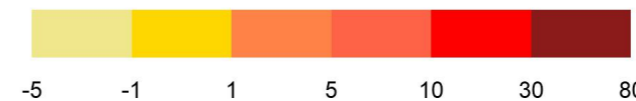
2071–2100



Število dni



Število dni



Slika 1.119 | Sprememba povprečnega števila vročih dni na leto v treh projekcijskih obdobjih glede na obdobje 1981–2010 in pripadajoča zanesljivost spremembe za scenarij RCP8.5

Slika 1.120 | Sprememba povprečnega števila tropskih noči (TR) na leto v treh projekcijskih obdobjih glede na obdobje 1981–2010 in pripadajoča zanesljivost spremembe za scenarij RCP2.6

Število tropskih noči (TR), RCP4.5

Število tropskih noči (TR), RCP8.5

Odklon glede na obdobje 1981–2010

Zanesljivost

Odklon glede na obdobje 1981–2010

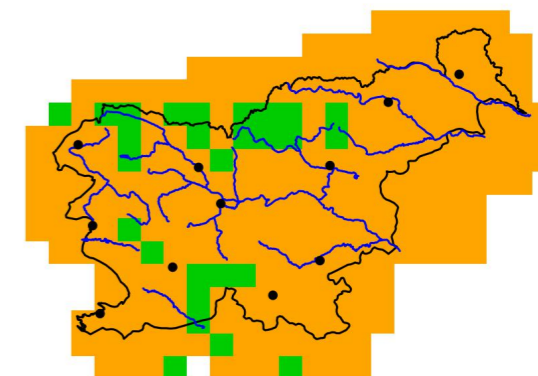
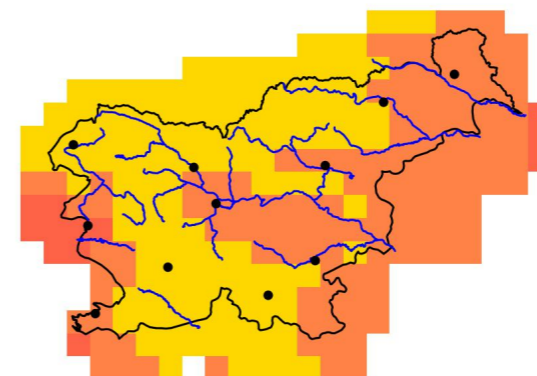
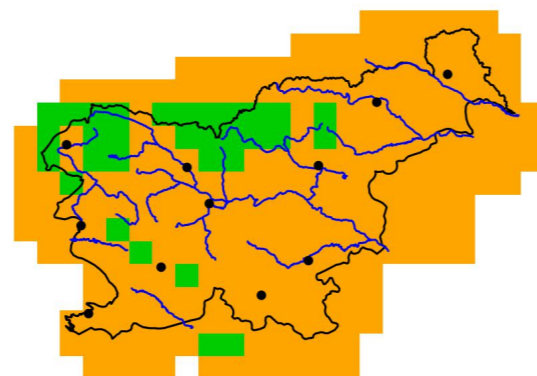
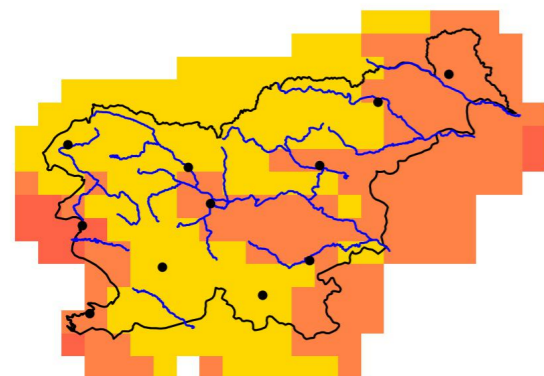
Zanesljivost

2011–2040

2011–2040

2011–2040

2011–2040

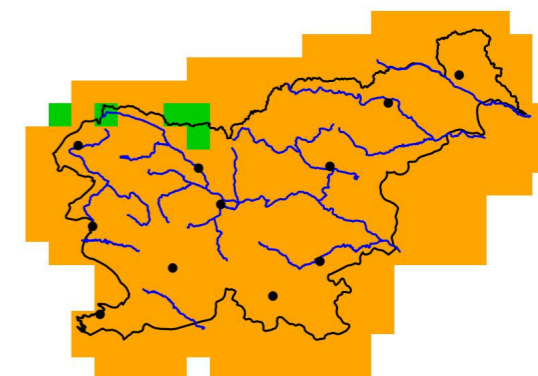
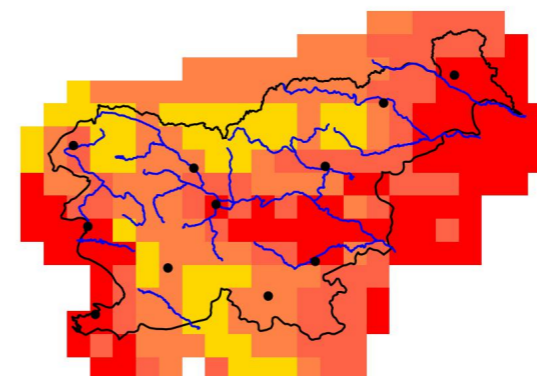
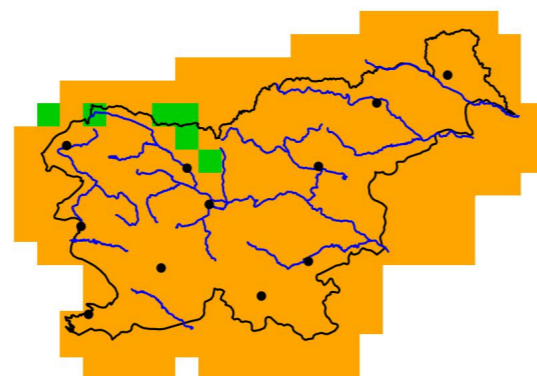
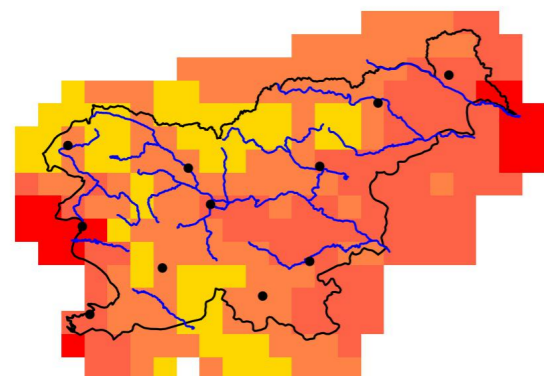


2041–2070

2041–2070

2041–2070

2041–2070

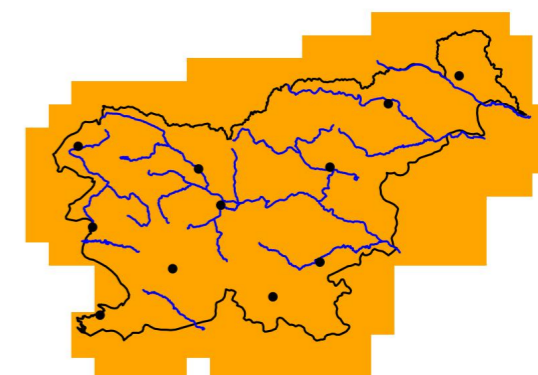
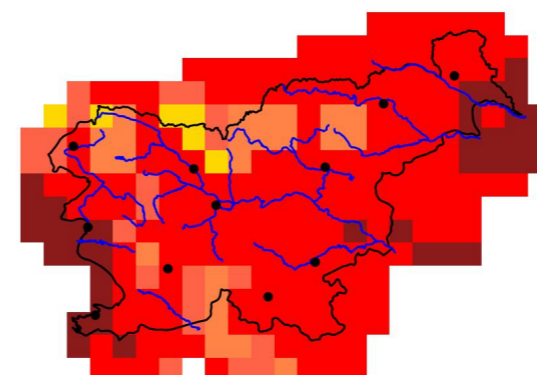
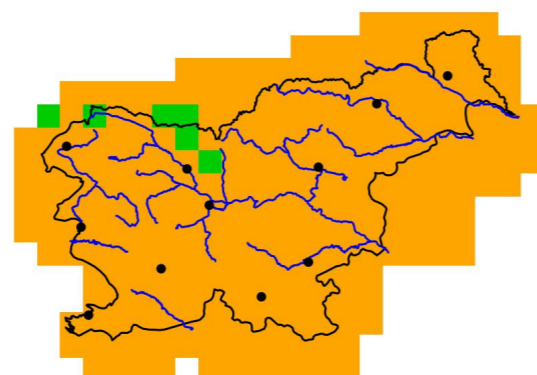
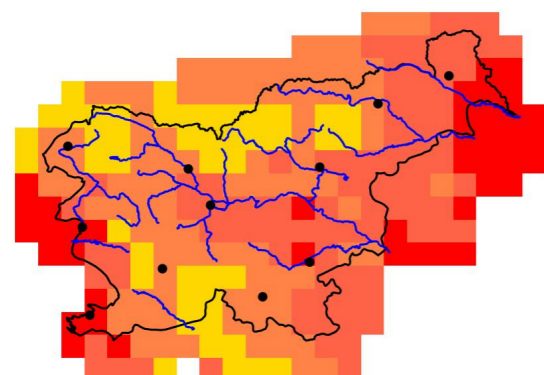


2071–2100

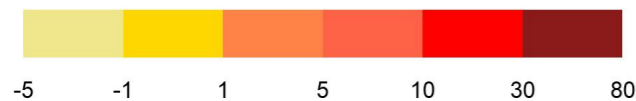
2071–2100

2071–2100

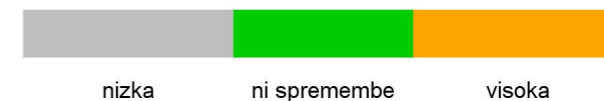
2071–2100



Število dni



Število dni



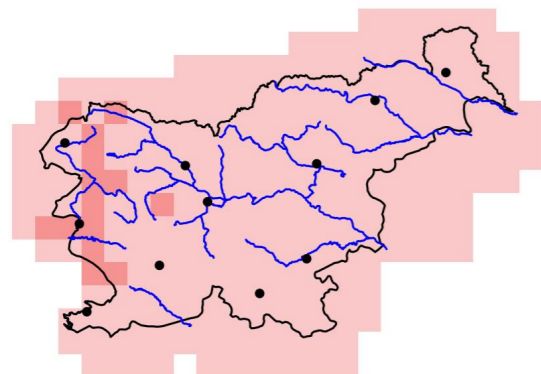
Slika 1.121 | Sprememba povprečnega števila tropskih noči (TR) na leto v treh projekcijskih obdobjih glede na obdobje 1981–2010 in pripadajoča zanesljivost spremembe za scenarij RCP4.5

Slika 1.122 | Sprememba povprečnega števila tropskih noči (TR) na leto v treh projekcijskih obdobjih glede na obdobje 1981–2010 in pripadajoča zanesljivost spremembe za scenarij RCP8.5

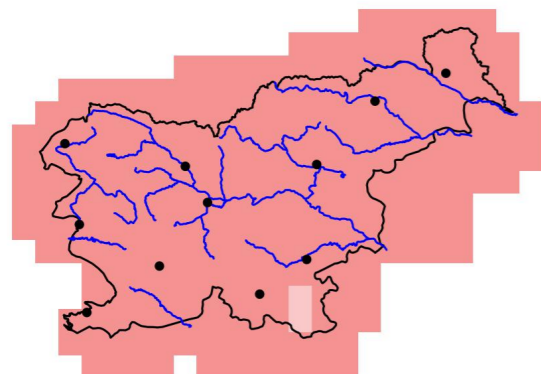
Kazalnik najtoplejših dni (TX90p), RCP2.6

Odklon glede na obdobje 1981–2010

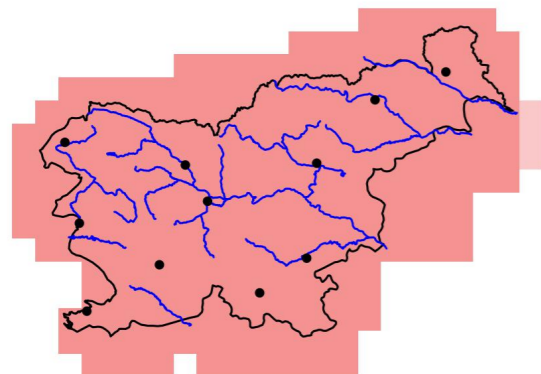
2011–2040



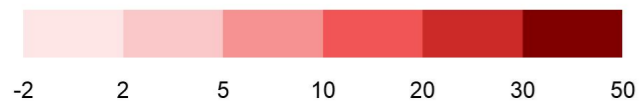
2041–2070



2071–2100

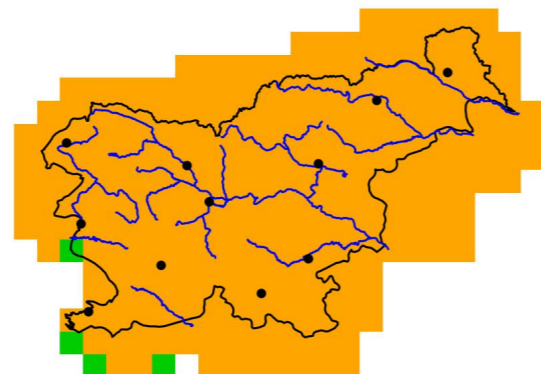


odstotna točka

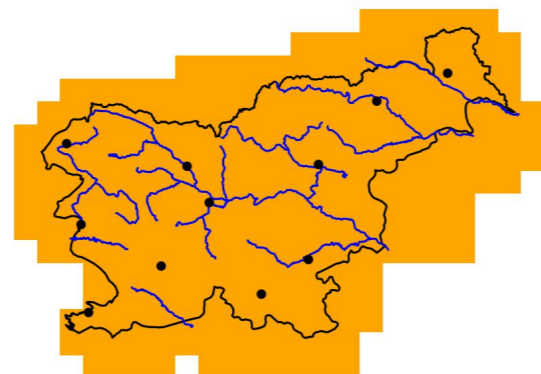


Zanesljivost

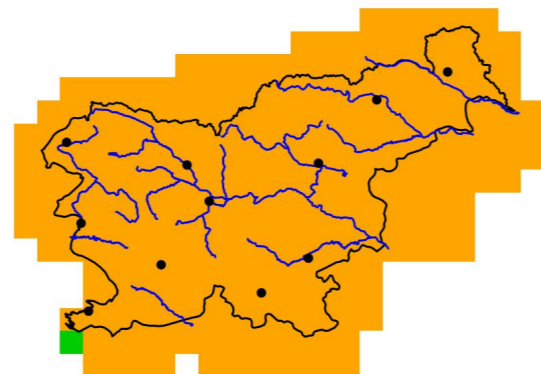
2011–2040



2041–2070



2071–2100



nizka

ni spremembe

visoka

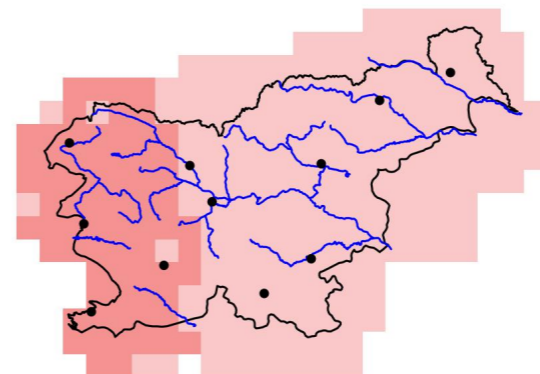


Slika 1.123 | Sprememba povprečnega kazalnika najtoplejših dni (TX90p) v treh projekcijskih obdobjih glede na obdobje 1981–2010 in pripadajoča zanesljivost spremembe za scenarij RCP2.6

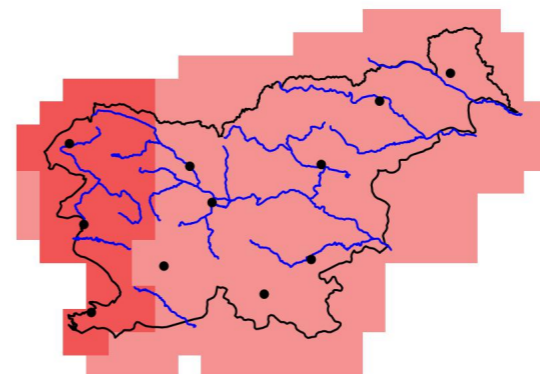
Kazalnik najtoplejših dni (TX90p), RCP4.5

Odklon glede na obdobje 1981–2010

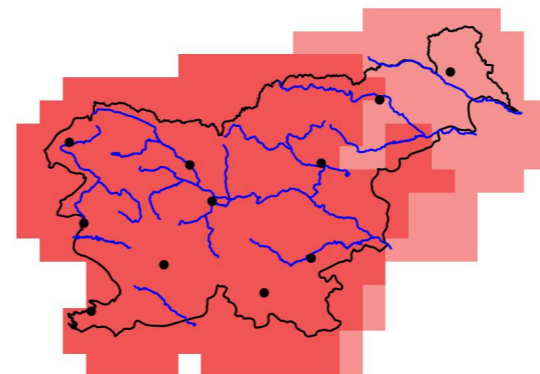
2011–2040



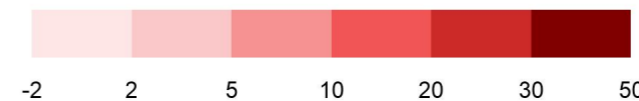
2041–2070



2071–2100

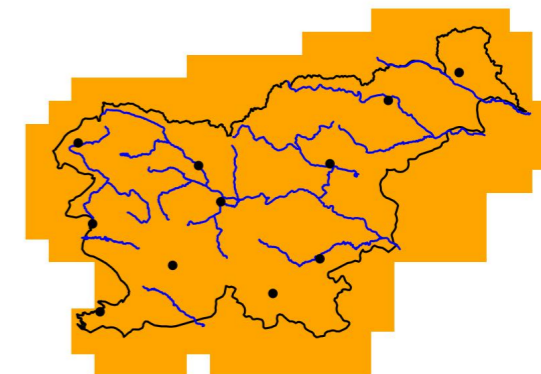


odstotna točka

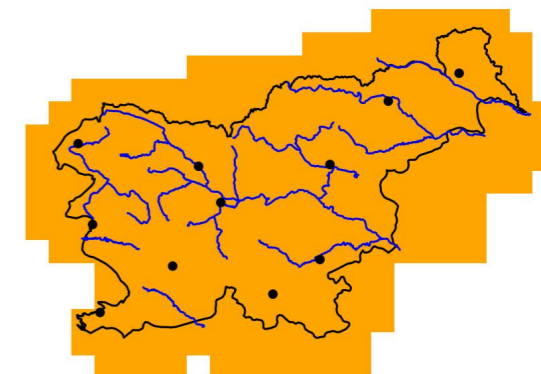


Zanesljivost

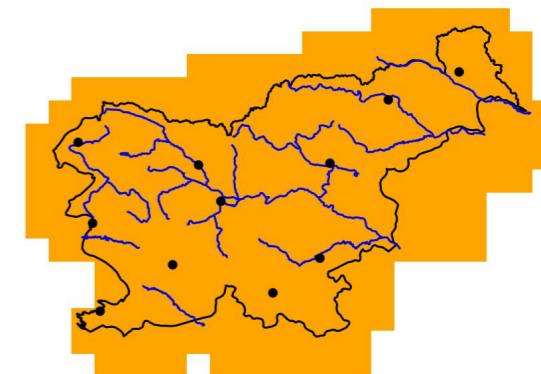
2011–2040



2041–2070



2071–2100



nizka

ni spremembe

visoka



Slika 1.124 | Sprememba povprečnega kazalnika najtoplejših dni (TX90p) v treh projekcijskih obdobjih glede na obdobje 1981–2010 in pripadajoča zanesljivost spremembe za scenarij RCP4.5

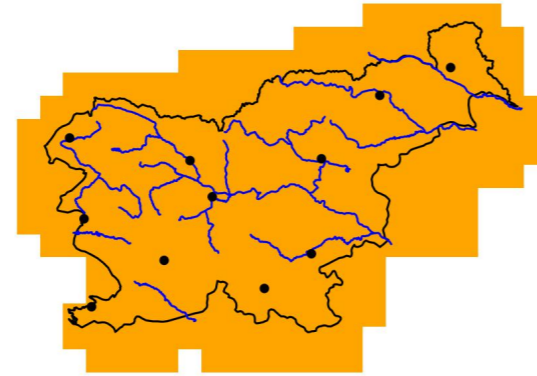
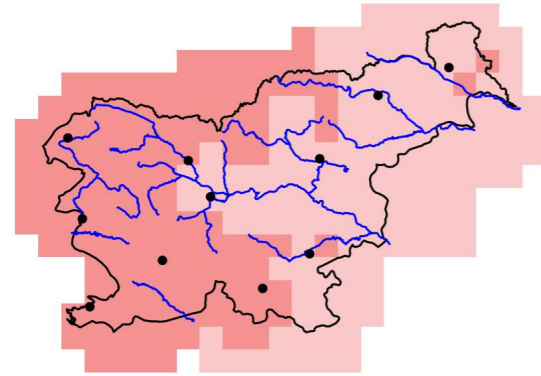
Kazalnik najtoplejših dni (TX90p), RCP8.5

Odklon glede na obdobje 1981–2010

Zanesljivost

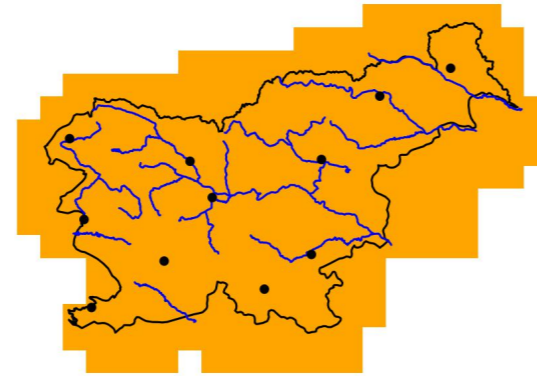
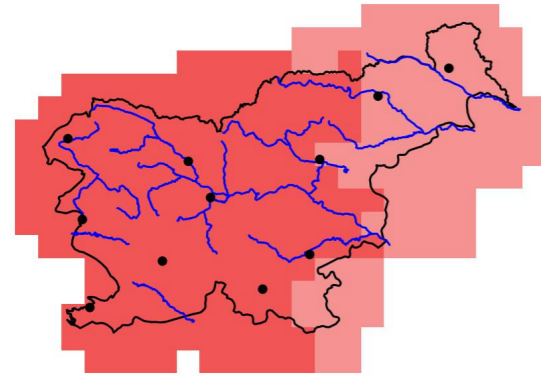
2011–2040

2011–2040



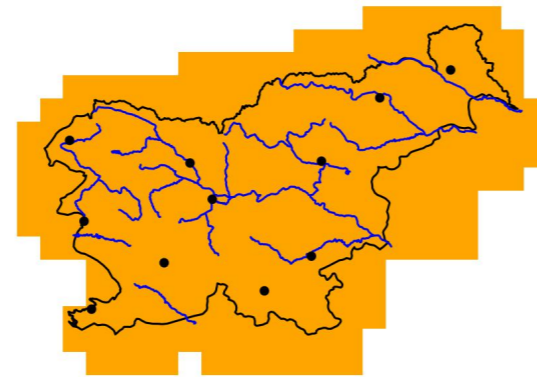
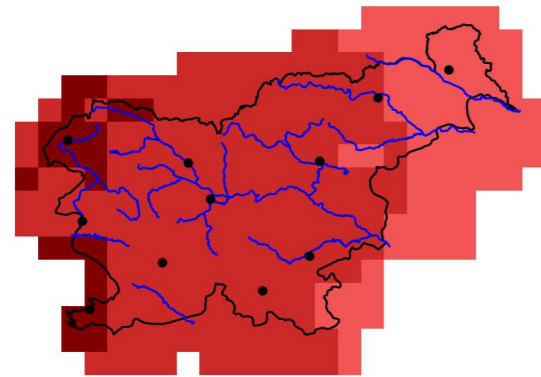
2041–2070

2041–2070

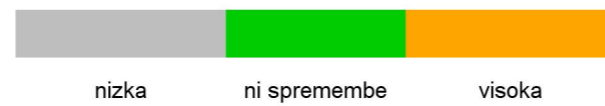
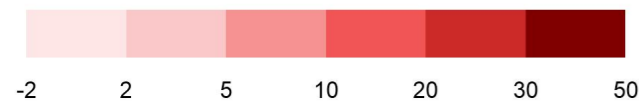


2071–2100

2071–2100



odstotna točka



Slika 1.125 | Sprememba povprečnega kazalnika najtoplejših dni (TX90p) v treh projekcijskih obdobjih glede na obdobje 1981–2010 in pripadajoča zanesljivost spremembe za scenarij RCP8.5

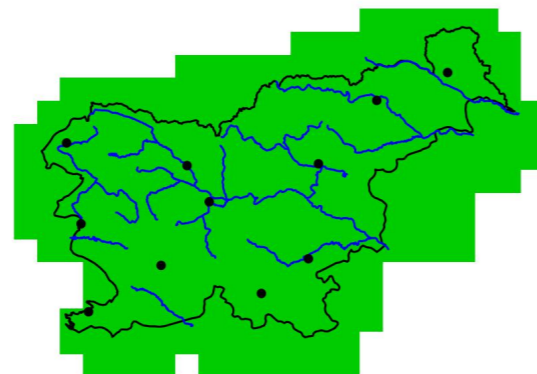
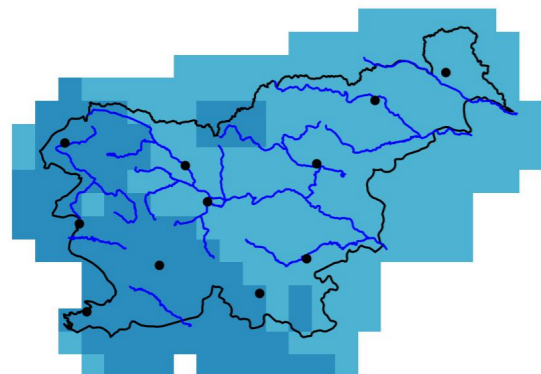
Kazalnik mraza negativen (ECF), RCP2.6

Odklon glede na obdobje 1981–2010

Zanesljivost

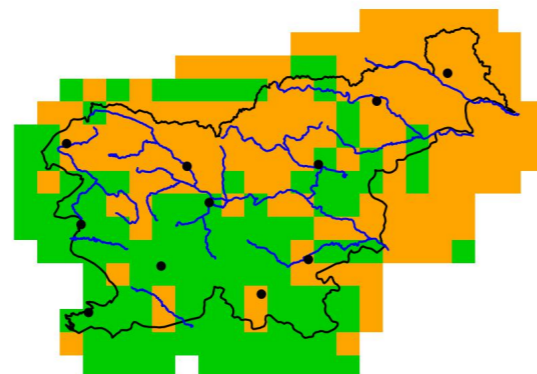
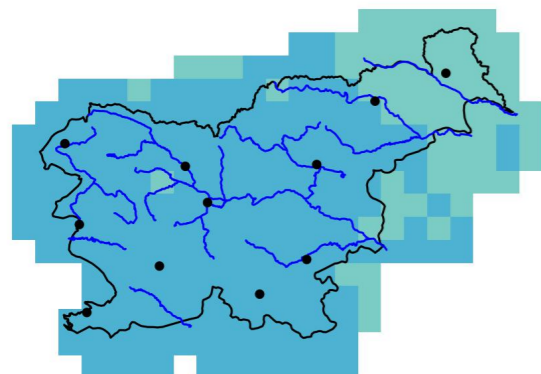
2011–2040

2011–2040



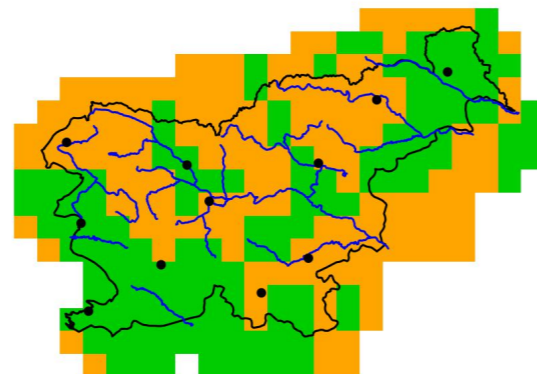
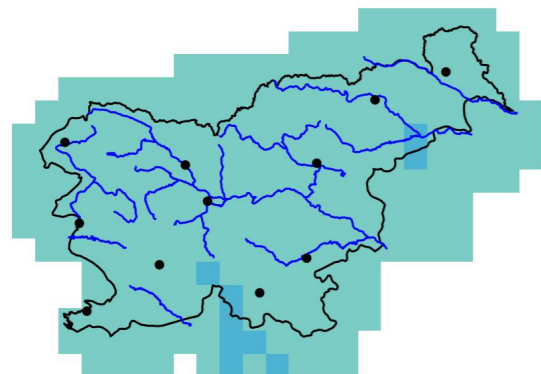
2041–2070

2041–2070

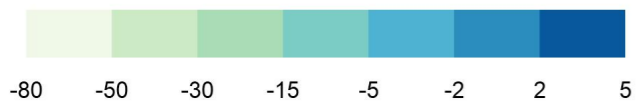


2071–2100

2071–2100



Število dni



Slika 1.126 | Sprememba povprečnega kazalnika mraza (število dni, ko ECF < 0) v hladnem obdobju leta (oktober–april) v treh projekcijskih obdobjih glede na obdobje 1981–2010 in pripadajoča zanesljivost spremembe za scenarij RCP2.6

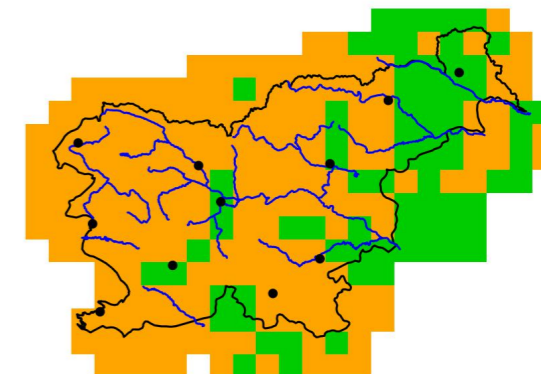
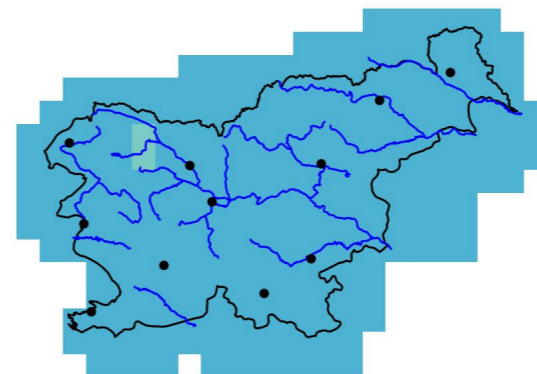
Kazalnik mraza negativen (ECF), RCP4.5

Odklon glede na obdobje 1981–2010

Zanesljivost

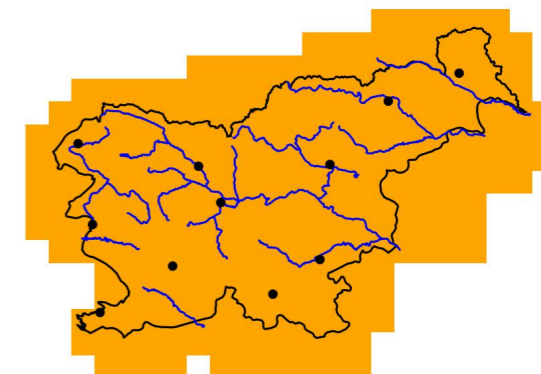
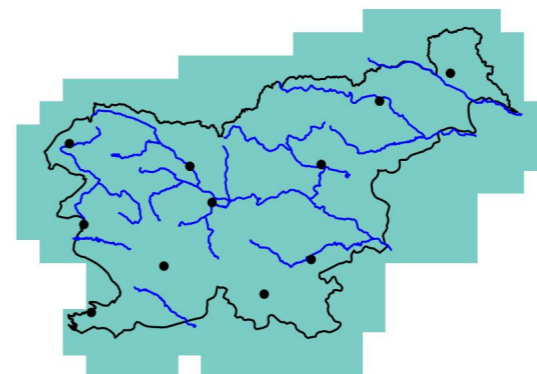
2011–2040

2011–2040



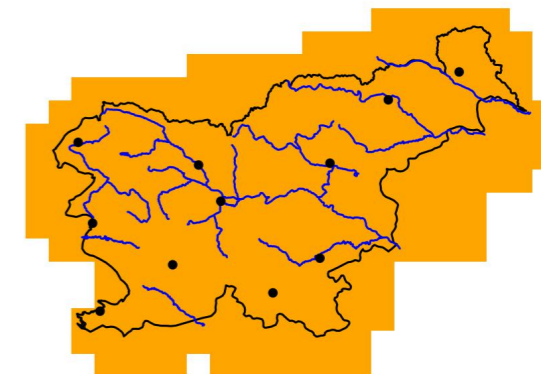
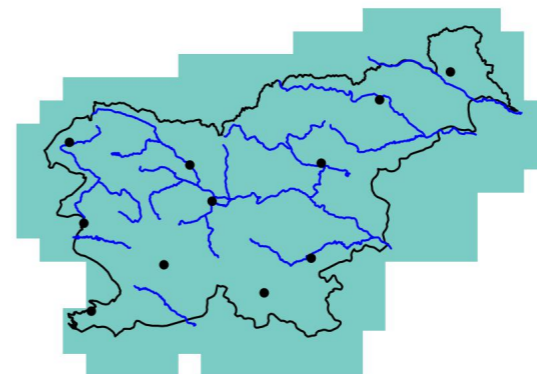
2041–2070

2041–2070

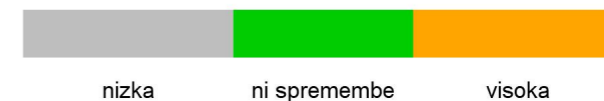


2071–2100

2071–2100



Število dni



Slika 1.127 | Sprememba povprečnega kazalnika mraza (število dni, ko ECF < 0) v hladnem obdobju leta (oktober–april) v treh projekcijskih obdobjih glede na obdobje 1981–2010 in pripadajoča zanesljivost spremembe za scenarij RCP4.5

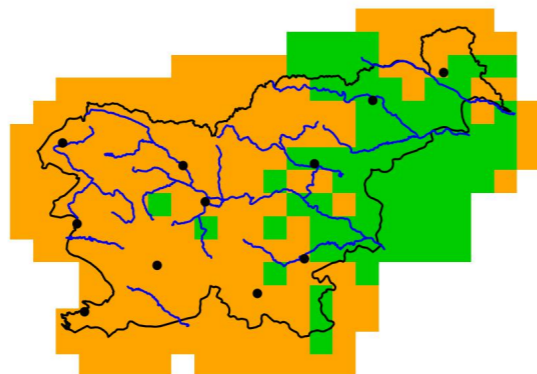
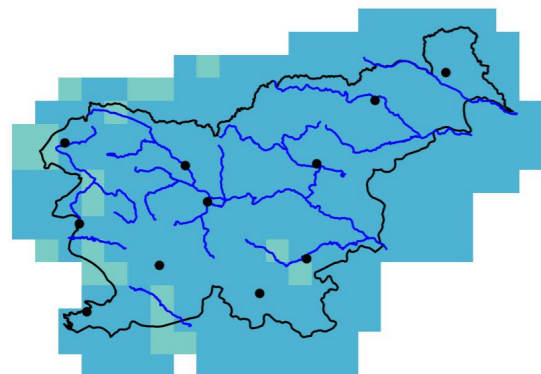
Kazalnik mraza negativen (ECF), RCP8.5

Odklon glede na obdobje 1981–2010

Zanesljivost

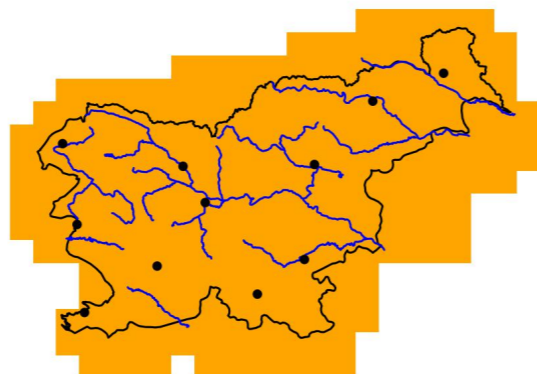
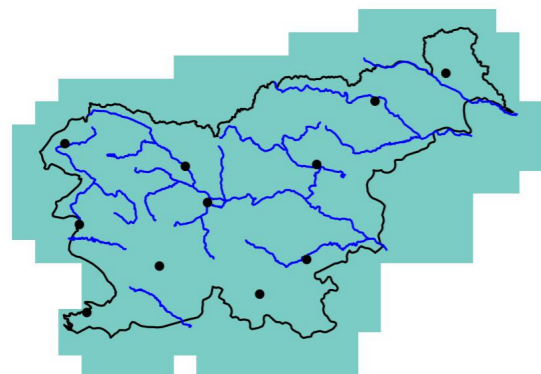
2011–2040

2011–2040



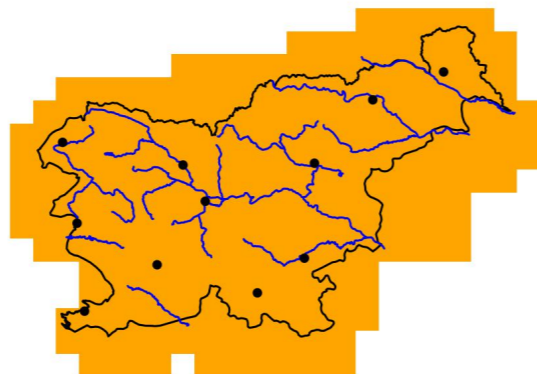
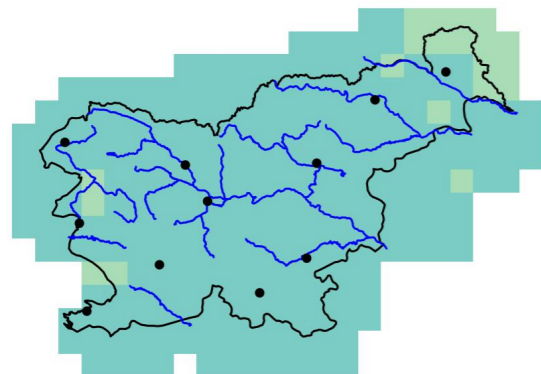
2041–2070

2041–2070

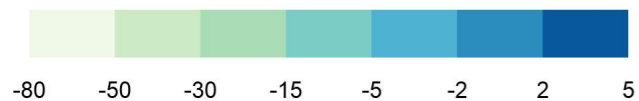


2071–2100

2071–2100



Število dni



Slika 1.128 | Sprememba povprečnega kazalnika mraza (število dni, ko ECF < 0) v hladnem obdobju leta (oktober–april) v treh projekcijskih obdobjih glede na obdobje 1981–2010 in pripadajoča zanesljivost spremembe za scenarij RCP8.5

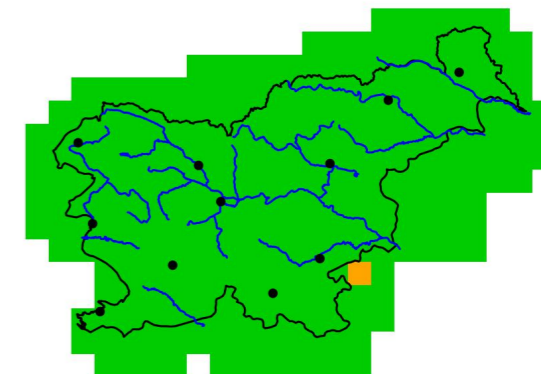
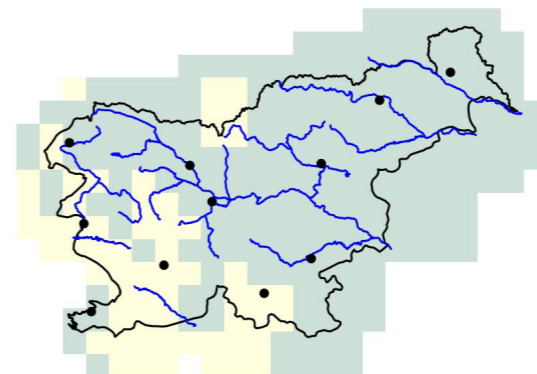
Število obdobjih hudega mraza (po def. ECF), RCP2.6, maj - sep

Odklon glede na obdobje 1981–2010

Zanesljivost

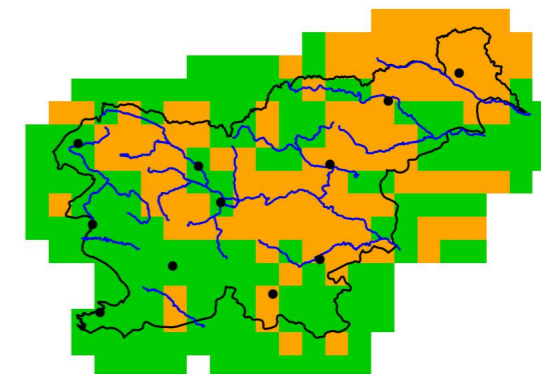
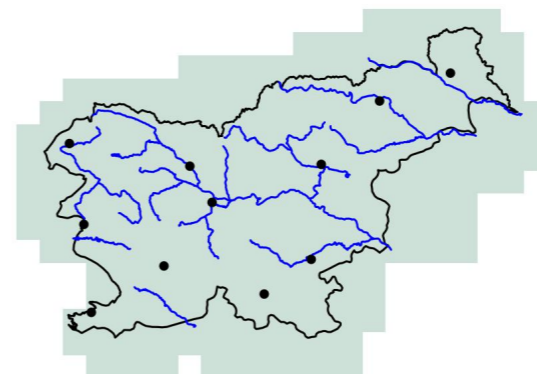
2011–2040

2011–2040



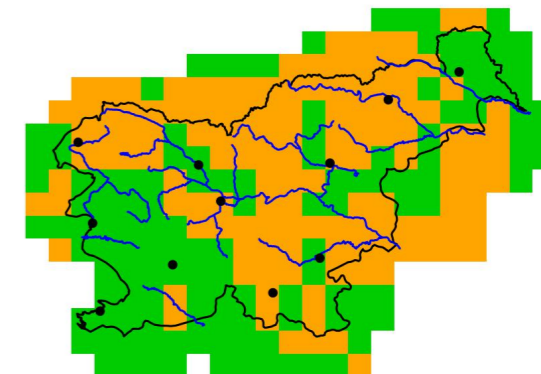
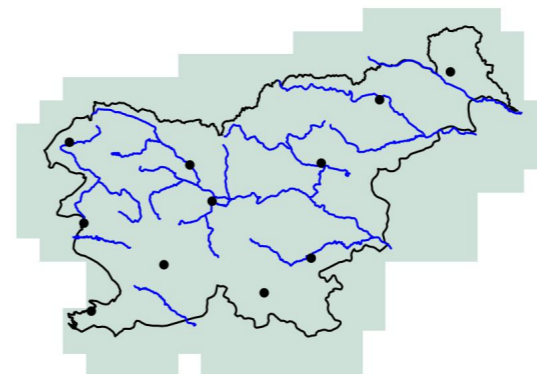
2041–2070

2041–2070

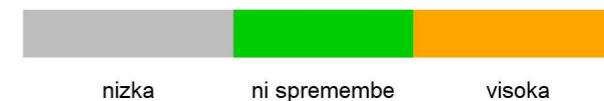
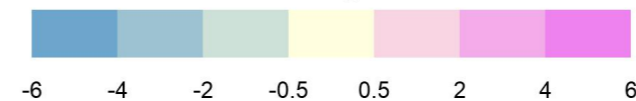


2071–2100

2071–2100



število dogodkov



Slika 1.129 | Sprememba povprečnega števila obdobjih hudega mraza (po definiciji ECF) v hladnem obdobju leta (oktober–april) v treh projekcijskih obdobjih glede na obdobje 1981–2010 in pripadajoča zanesljivost spremembe za scenarij RCP2.6

Število obdobj hudega mraza (po def. ECF), RCP4.5, maj - sep

Število obdobj hudega mraza (po def. ECF), RCP8.5, maj - sep

Odklon glede na obdobje 1981–2010

Odklon glede na obdobje 1981–2010

2011–2040

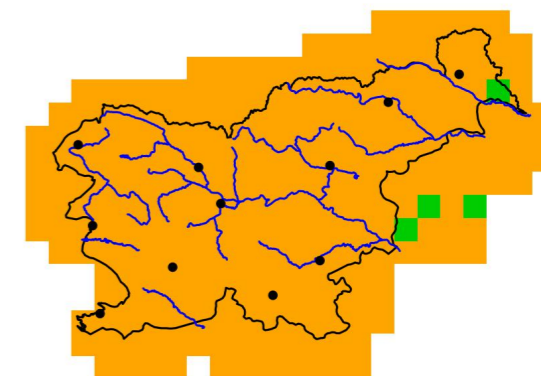
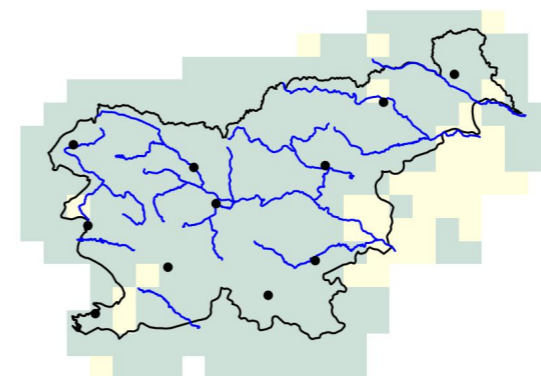
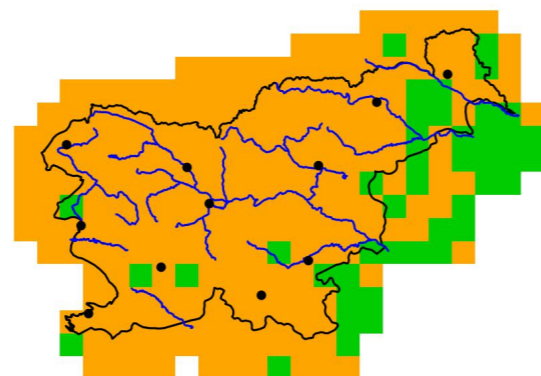
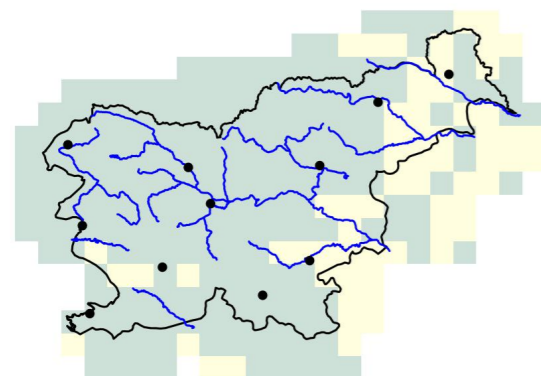
Zanesljivost

Zanesljivost

2011–2040

2011–2040

2011–2040

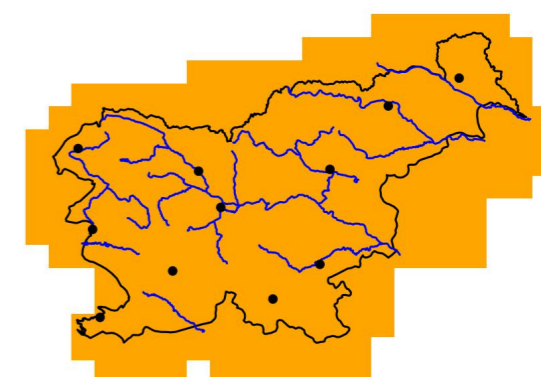
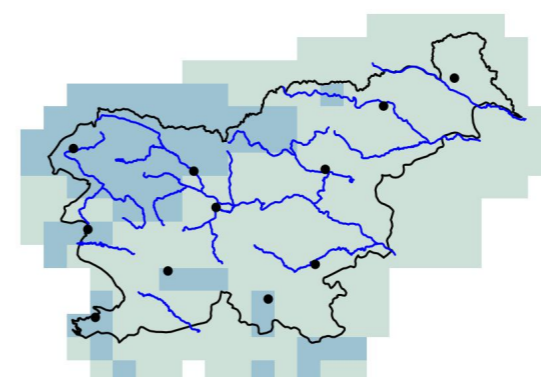
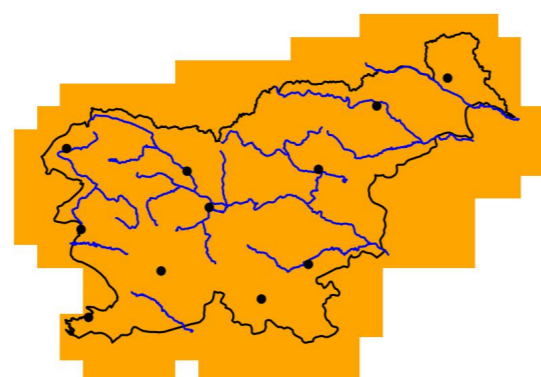
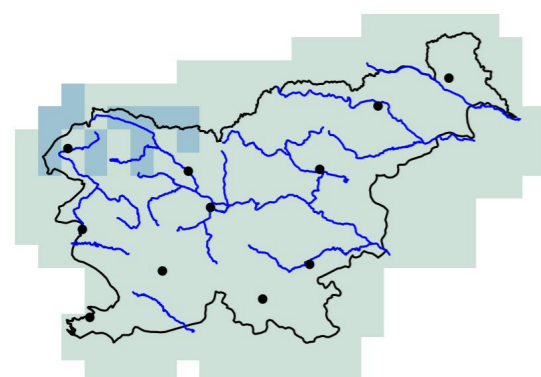


2041–2070

2041–2070

2041–2070

2041–2070

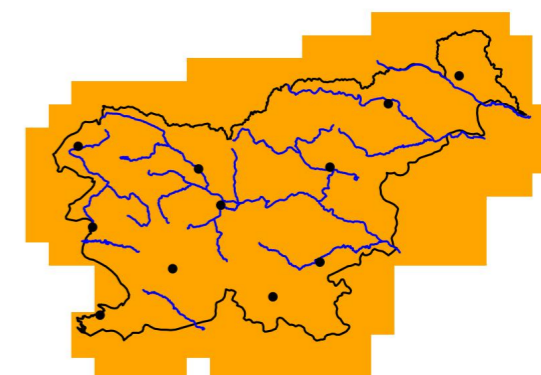
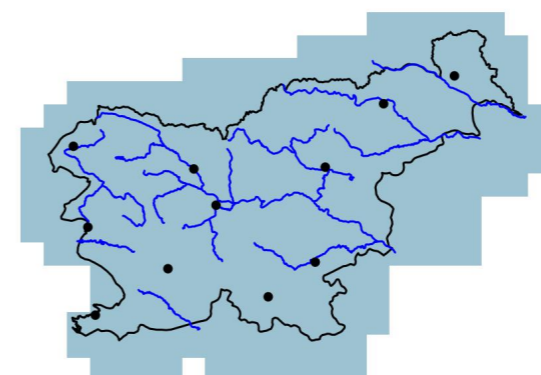
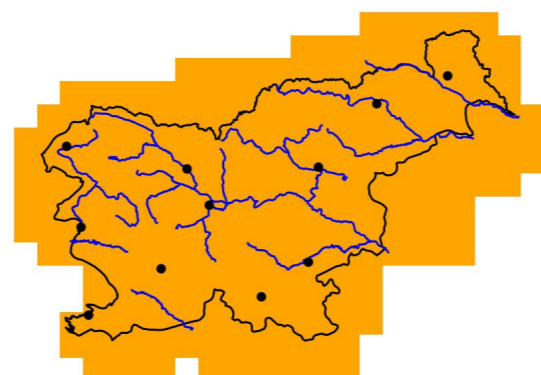
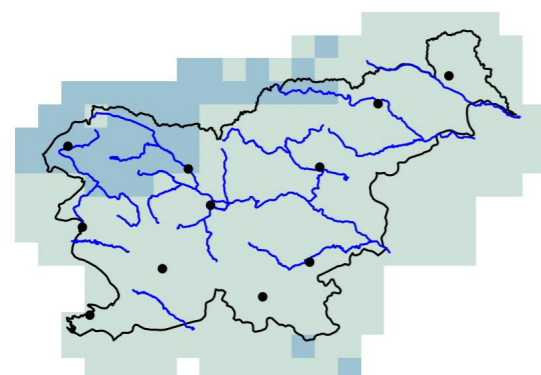


2071–2100

2071–2100

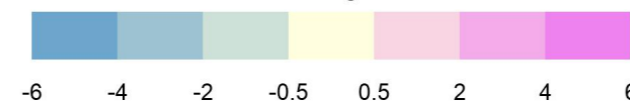
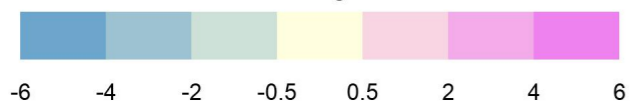
2071–2100

2071–2100



število dogodkov

število dogodkov



Slika 1.130 | Sprememba povprečnega števila obdobj hudega mraza (po definiciji ECF) v hladnem obdobju leta (oktober–april) v treh projekcijskih obdobjih glede na obdobje 1981–2010 in pripadajoča zanesljivost spremembe za scenarij RCP4.5

Slika 1.131 | Sprememba povprečnega števila obdobj hudega mraza (po definiciji ECF) v hladnem obdobju leta (oktober–april) v treh projekcijskih obdobjih glede na obdobje 1981–2010 in pripadajoča zanesljivost spremembe za scenarij RCP8.5

Dolžina obdobja hudega mraza (po def. ECF), RCP2.6, maj - sep

Dolžina obdobja hudega mraza (po def. ECF), RCP4.5, maj - sep

Odklon glede na obdobje 1981–2010

Odklon glede na obdobje 1981–2010

Zanesljivost

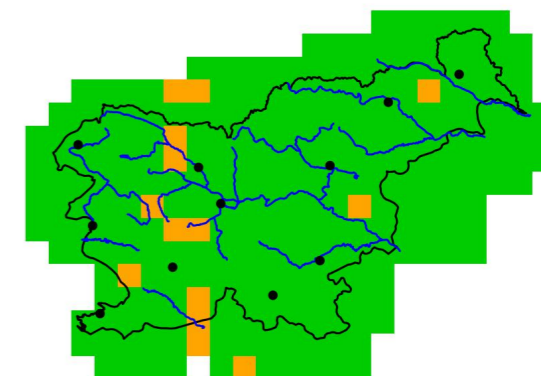
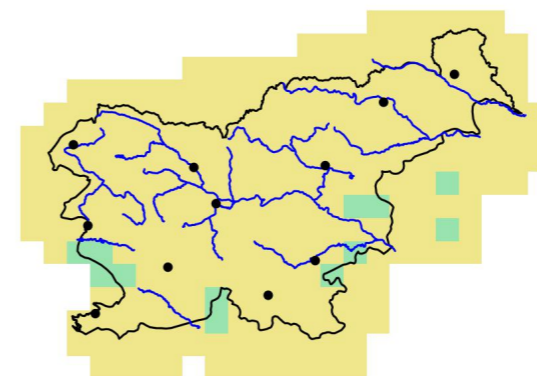
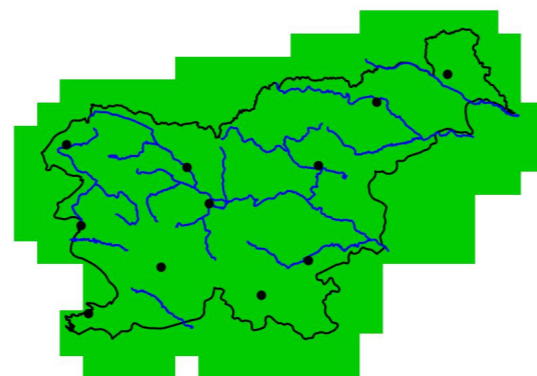
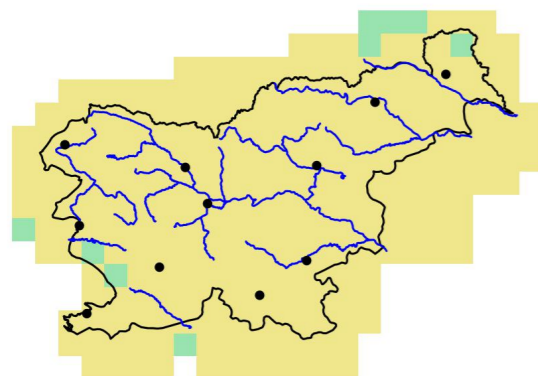
Zanesljivost

2011–2040

2011–2040

2011–2040

2011–2040

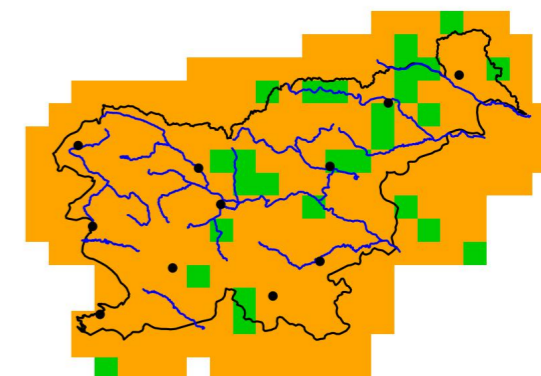
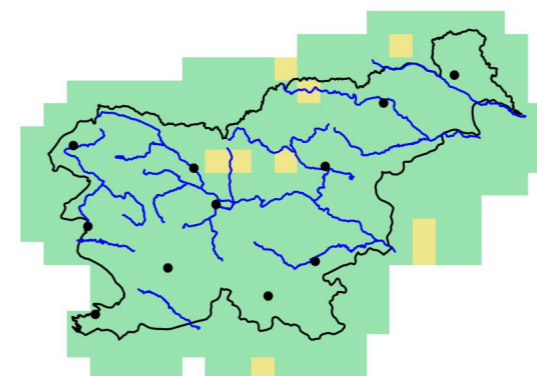
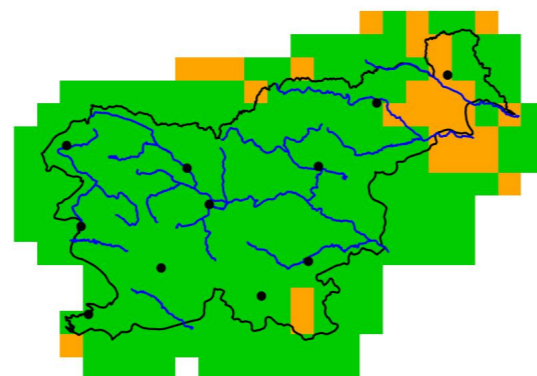
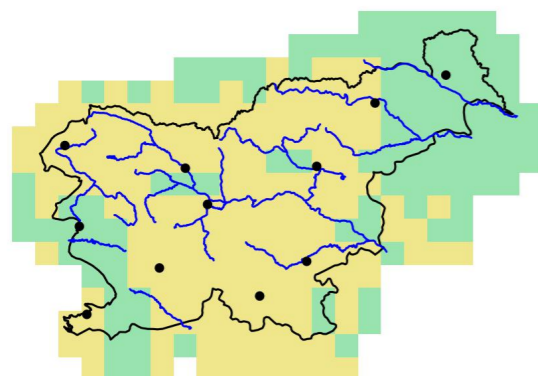


2041–2070

2041–2070

2041–2070

2041–2070

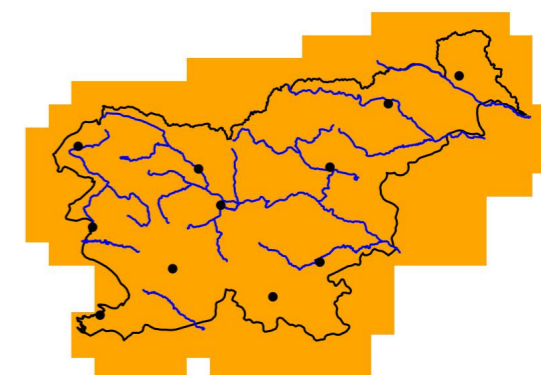
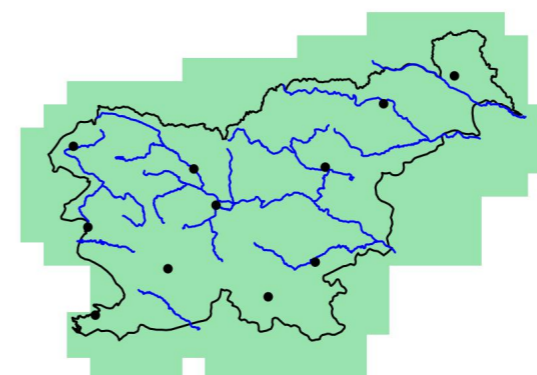
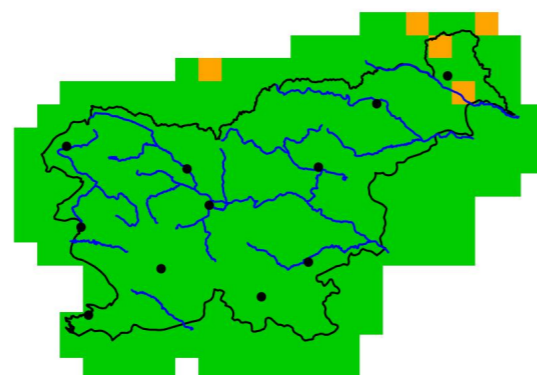
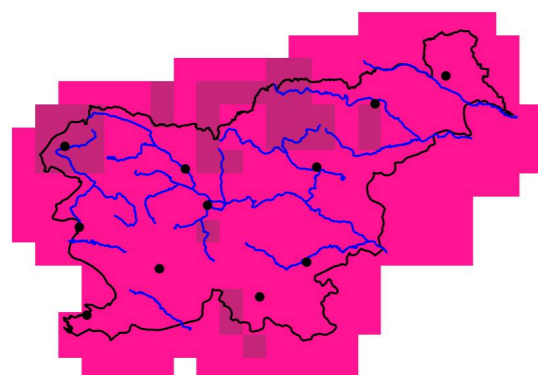


2071–2100

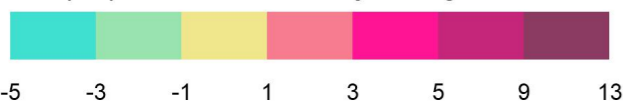
2071–2100

2071–2100

2071–2100



povprečna dolžina obdobja hudega mraza



povprečna dolžina obdobja hudega mraza



Slika 1.132 | Sprememba povprečne dolžine obdobja hudega mraza (po definiciji ECF) v hladnem obdobju leta (oktober–april) v treh projekcijskih obdobjih glede na obdobje 1981–2010 in pripadajoča zanesljivost spremembe za scenarij RCP2.6

Slika 1.133 | Sprememba povprečne dolžine obdobja hudega mraza (po definiciji ECF) v hladnem obdobju leta (oktober–april) v treh projekcijskih obdobjih glede na obdobje 1981–2010 in pripadajoča zanesljivost spremembe za scenarij RCP4.5

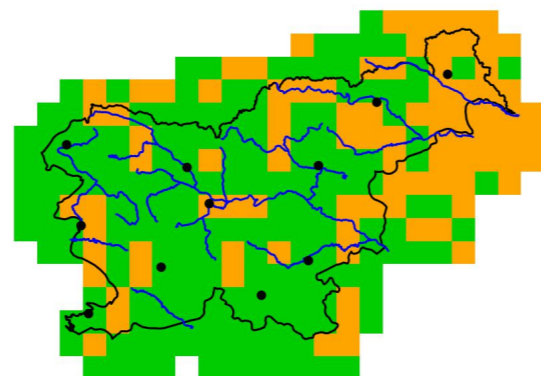
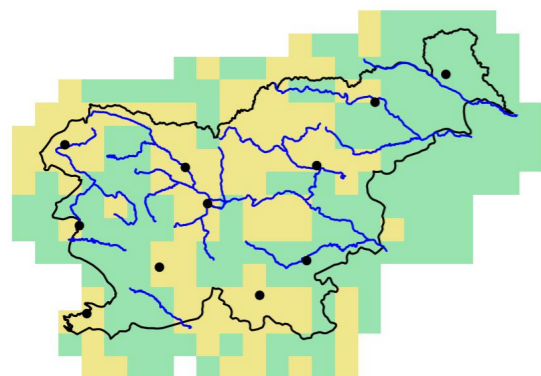
Dolžina obdobja hudega mraza (po def. ECF), RCP8.5, maj - sep

Odklon glede na obdobje 1981–2010

Zanesljivost

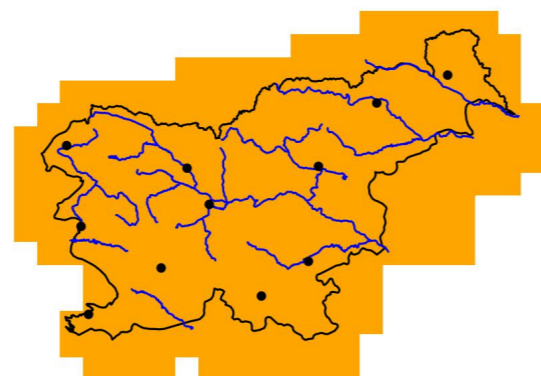
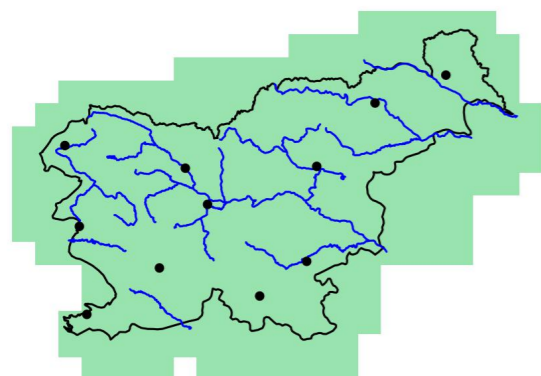
2011–2040

2011–2040



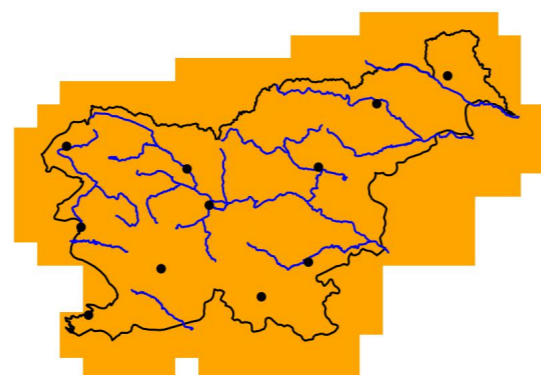
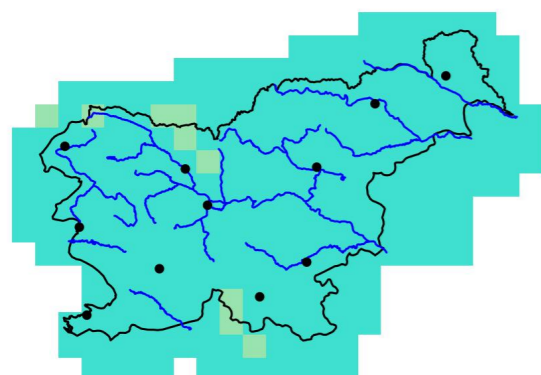
2041–2070

2041–2070



2071–2100

2071–2100



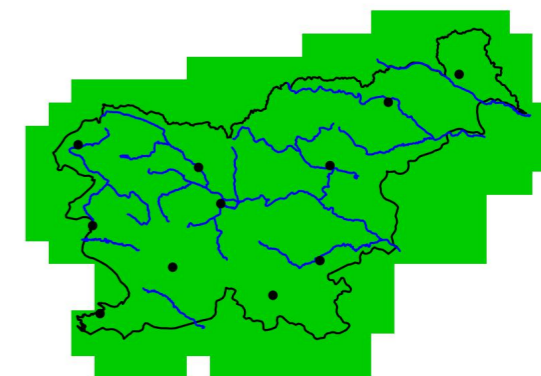
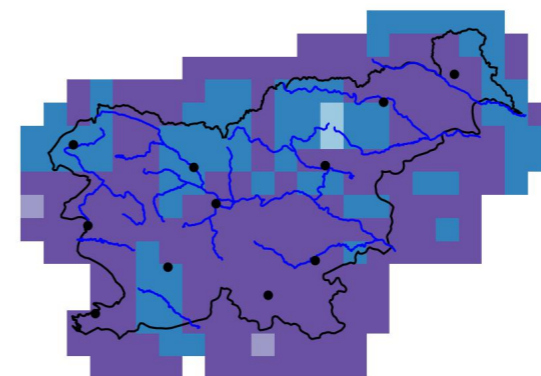
Skupna dolžina hladnih obdobj (CSDI), RCP2.6

Odklon glede na obdobje 1981–2010

Zanesljivost

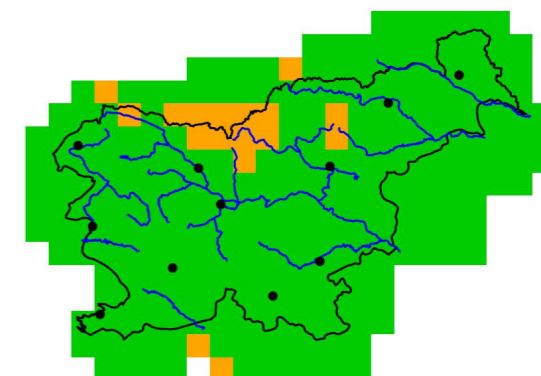
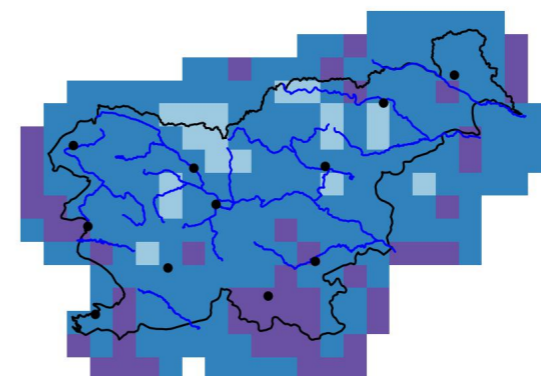
2011–2040

2011–2040



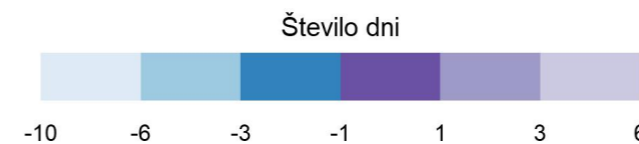
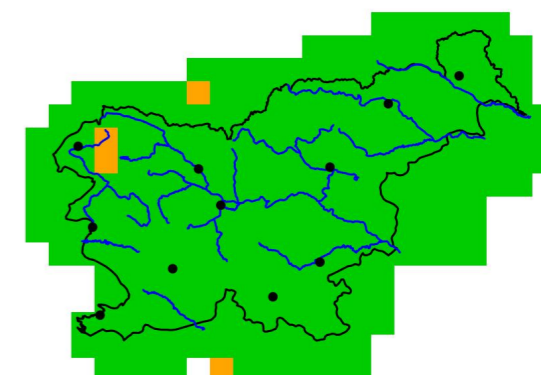
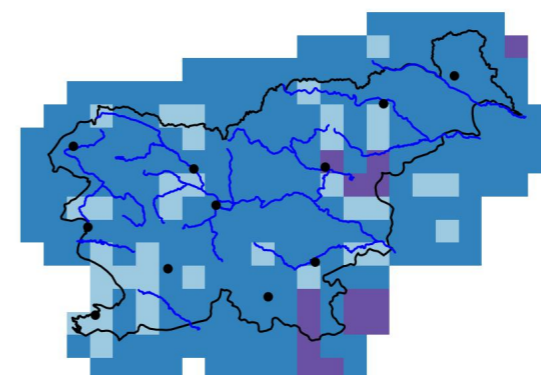
2041–2070

2041–2070



2071–2100

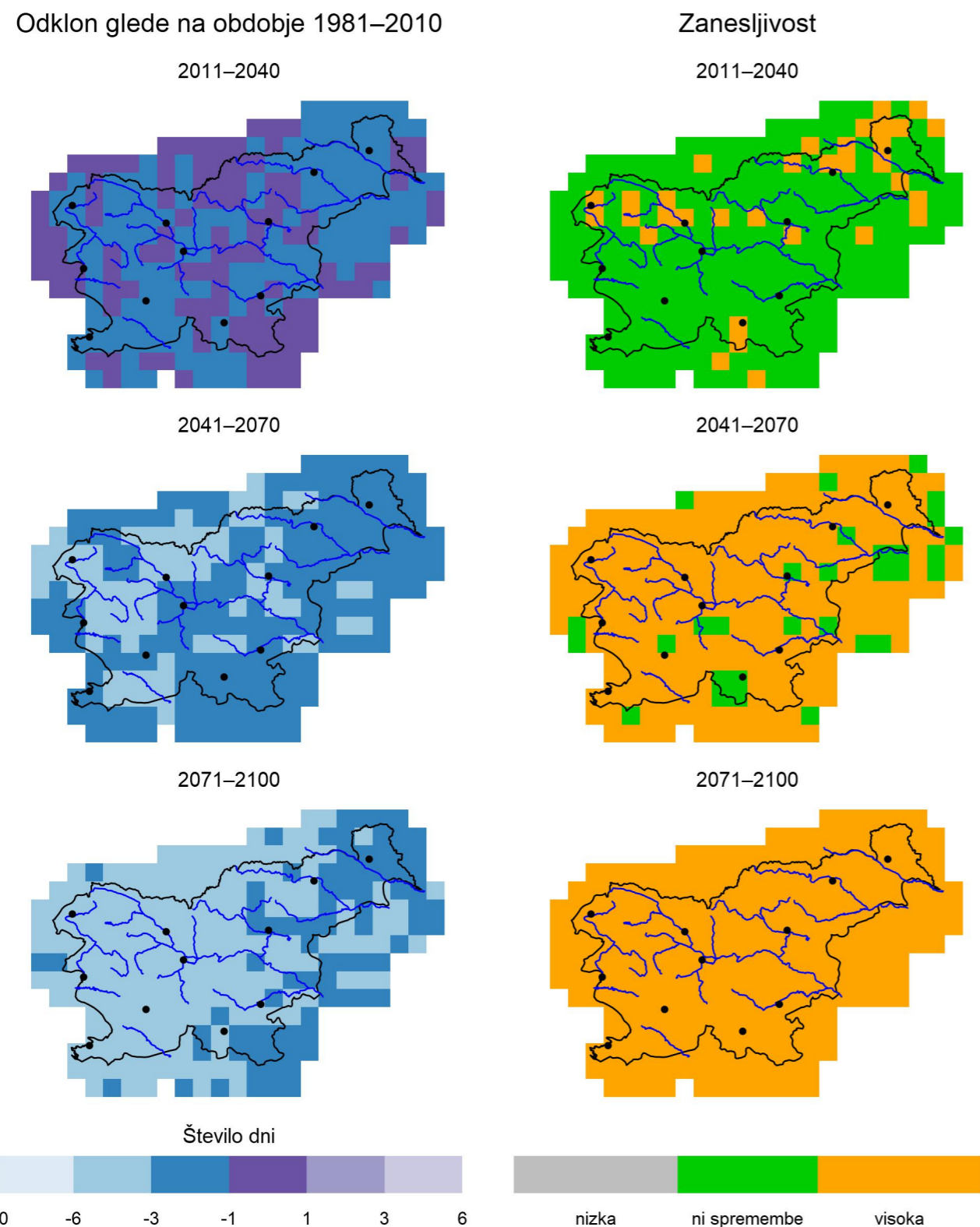
2071–2100



Slika 1.134 | Sprememba povprečne dolžine obdobja hudega mraza (po definiciji ECF) v hladnem obdobju leta (oktober–april) v treh projekcijskih obdobjih glede na obdobje 1981–2010 in pripadajoča zanesljivost spremembe za scenarij RCP8.5

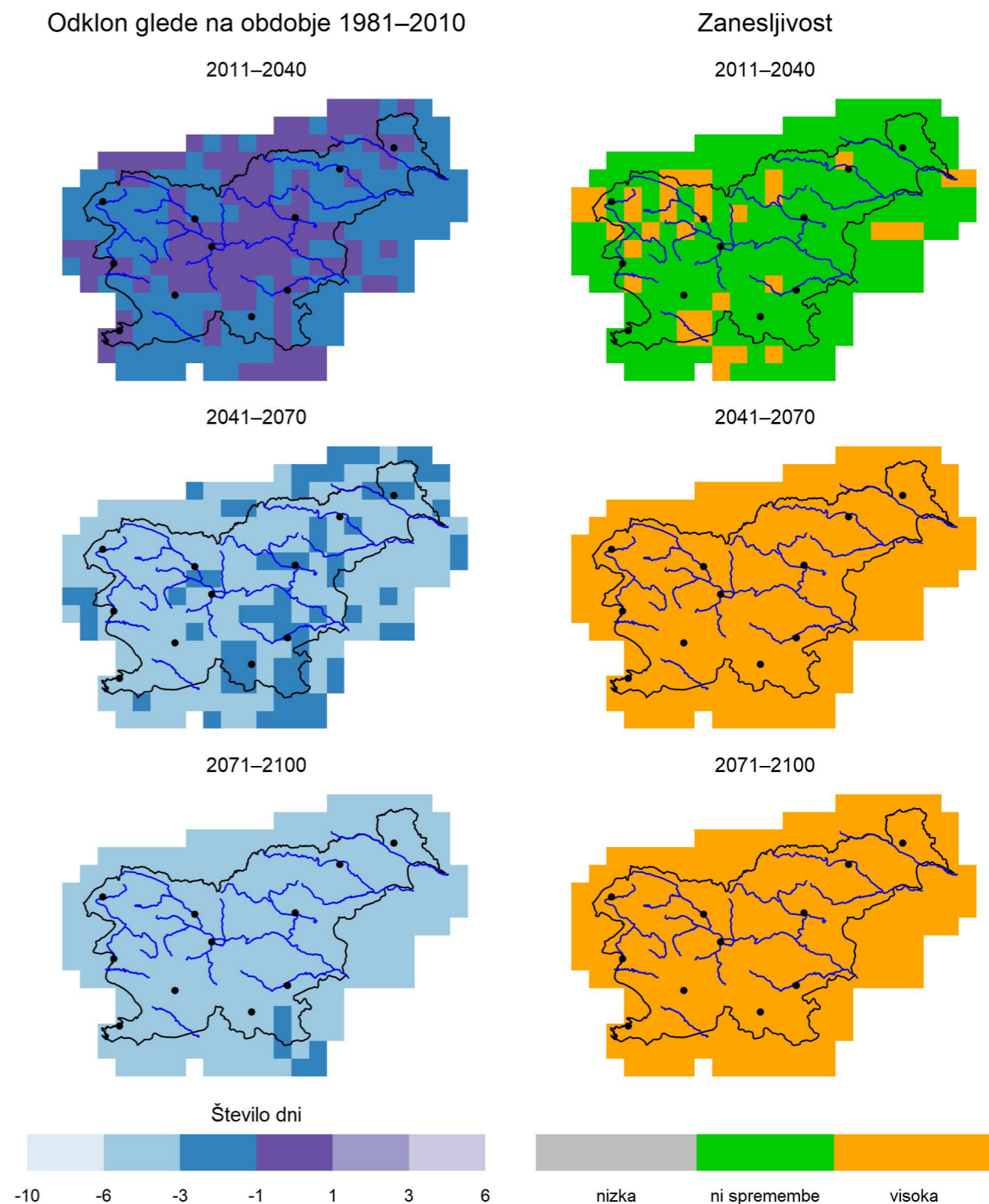
Slika 1.135 | Sprememba povprečne skupne dolžine hladnih obdobj (CSDI) v letu v treh projekcijskih obdobjih glede na obdobje 1981–2010 in pripadajoča zanesljivost spremembe za scenarij RCP2.6

Skupna dolžina hladnih obdobij (CSDI), RCP4.5



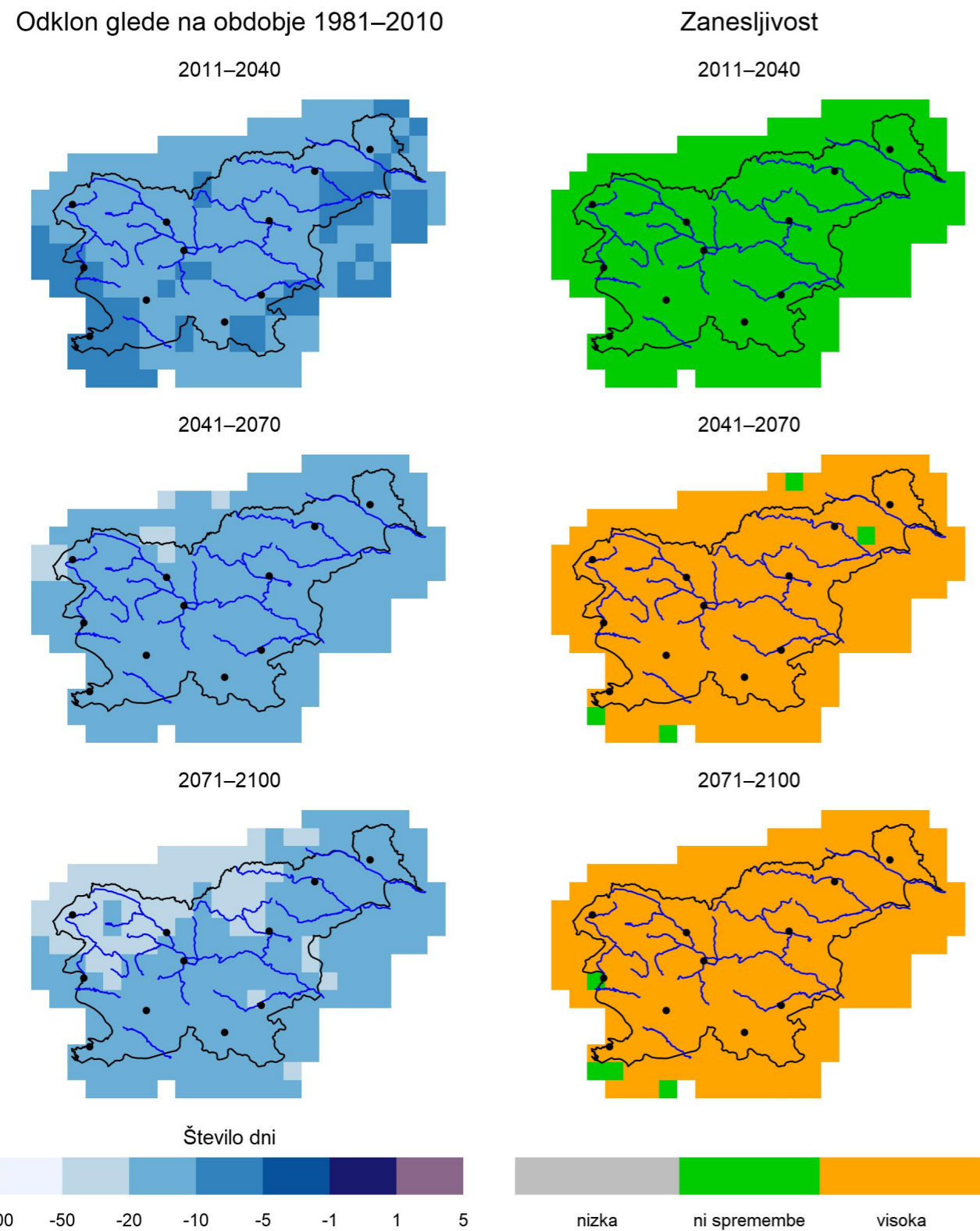
Slika 1.136 | Sprememba povprečne skupne dolžine hladnih obdobij (CSDI) v letu v treh projekcijskih obdobjih glede na obdobje 1981–2010 in pripadajoča zanesljivost spremembe za scenarij RCP4.5

Skupna dolžina hladnih obdobij (CSDI), RCP8.5



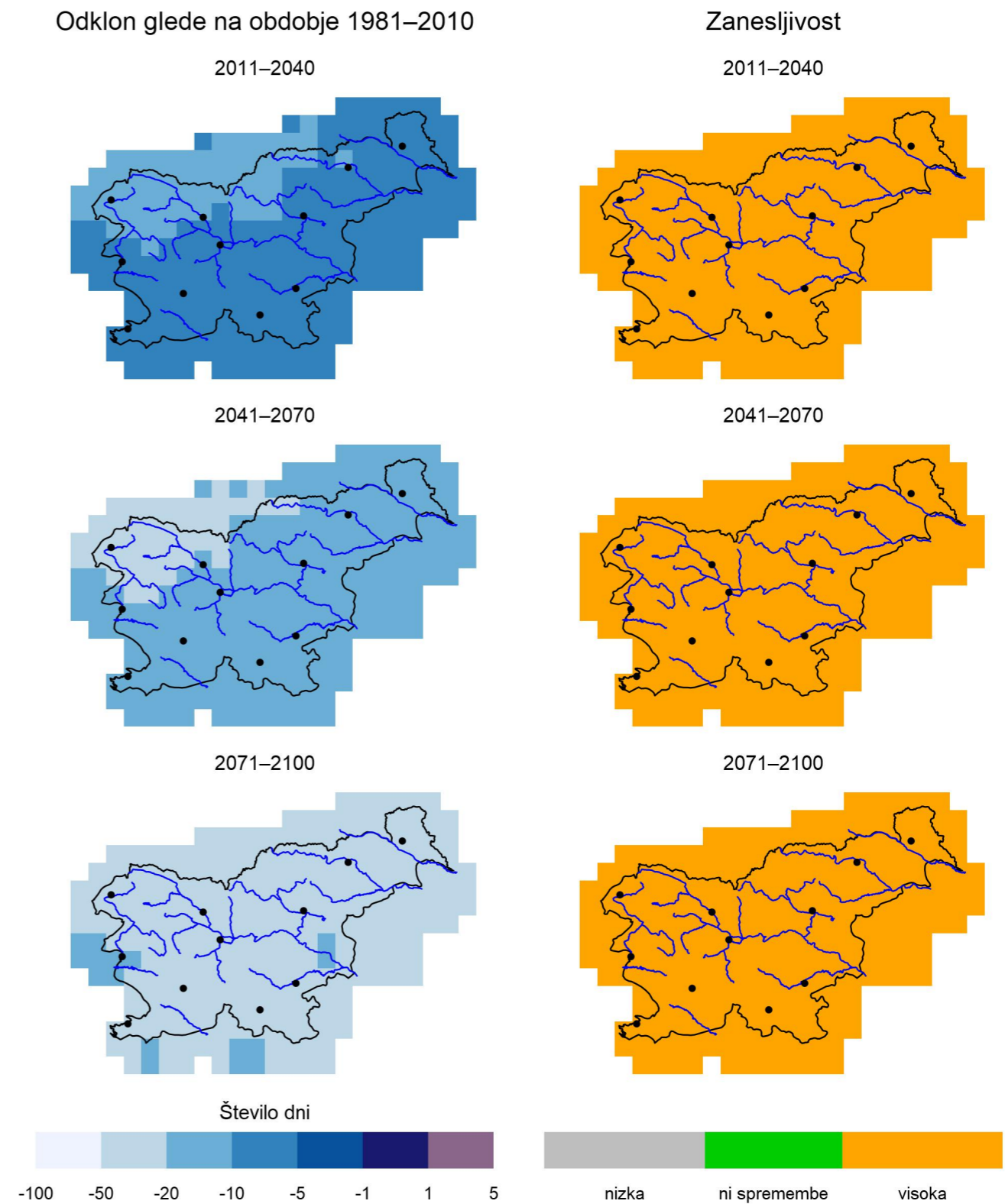
Slika 1.137 | Sprememba povprečne skupne dolžine hladnih obdobij (CSDI) v letu v treh projekcijskih obdobjih glede na obdobje 1981–2010 in pripadajoča zanesljivost spremembe za scenarij RCP8.5

Število hladnih dni (FD), RCP2.6



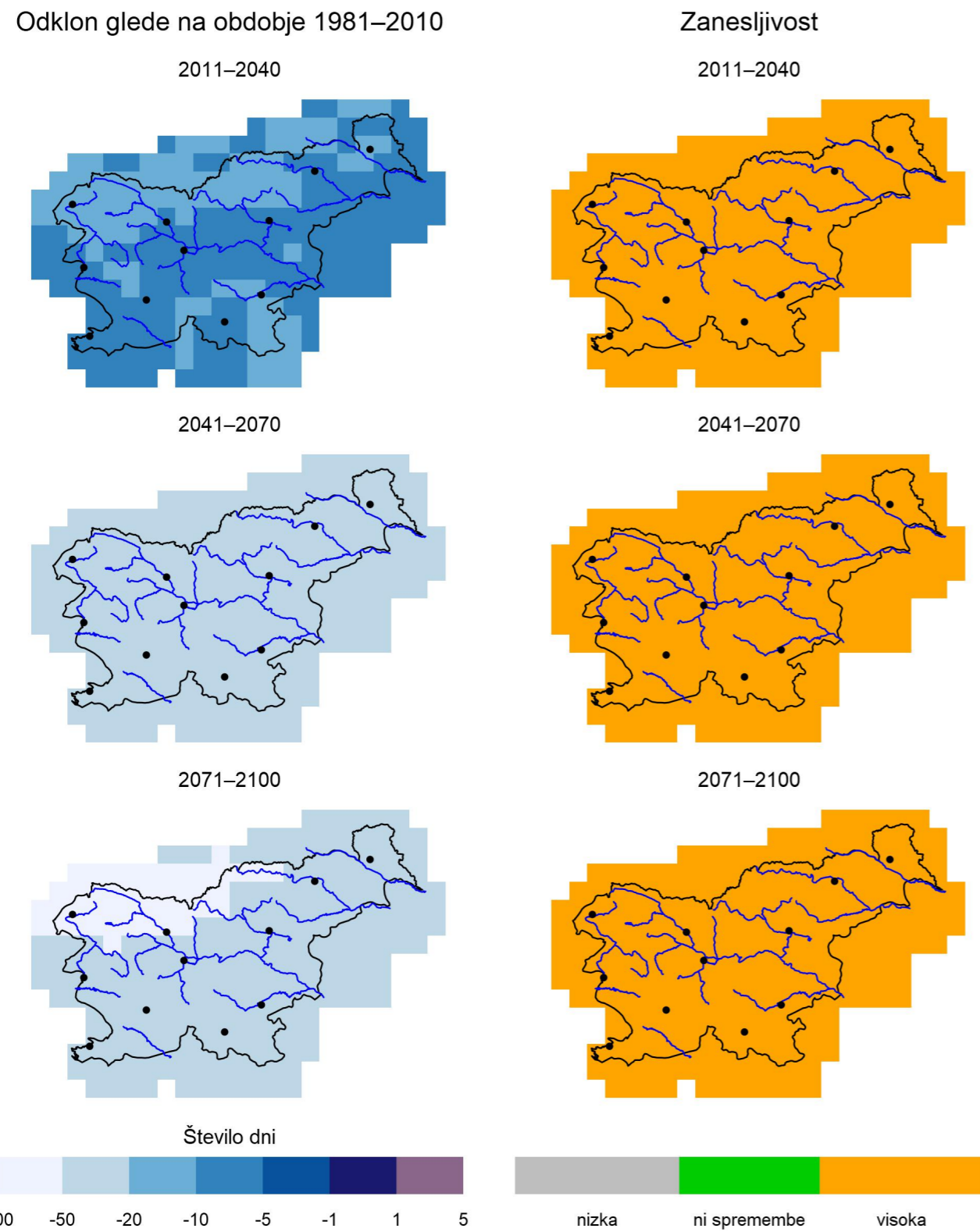
Slika 1.138 | Sprememba povprečnega števila hladnih dni (FD) na leto v treh projekcijskih obdobjih glede na obdobje 1981–2010 in pripadajoča zanesljivost spremembe za scenarij RCP2.6

Število hladnih dni (FD), RCP4.5



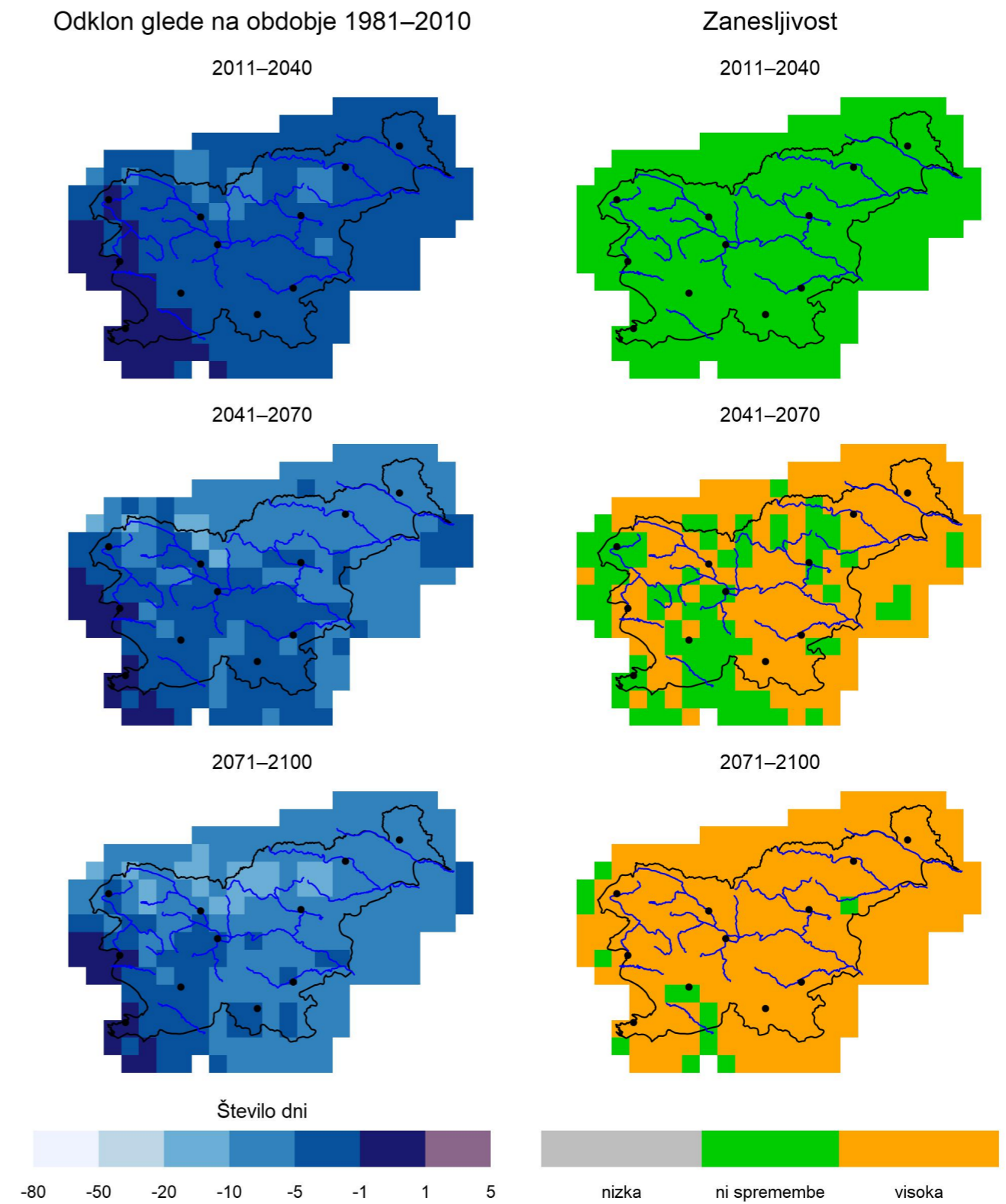
Slika 1.139 | Sprememba povprečnega števila hladnih dni (FD) na leto v treh projekcijskih obdobjih glede na obdobje 1981–2010 in pripadajoča zanesljivost spremembe za scenarij RCP4.5

Število hladnih dni (FD), RCP8.5



Slika 1.140 | Sprememba povprečnega števila hladnih dni (FD) na leto v treh projekcijskih obdobjih glede na obdobje 1981–2010 in pripadajoča zanesljivost spremembe za scenarij RCP8.5

Število ledenih dni (ID), RCP2.6



Slika 1.141 | Sprememba povprečnega števila ledenih dni (ID) na leto v treh projekcijskih obdobjih glede na obdobje 1981–2010 in pripadajoča zanesljivost spremembe za scenarij RCP2.6

Število ledenih dni (ID), RCP4.5

Število ledenih dni (ID), RCP8.5

Odklon glede na obdobje 1981–2010

Zanesljivost

Odklon glede na obdobje 1981–2010

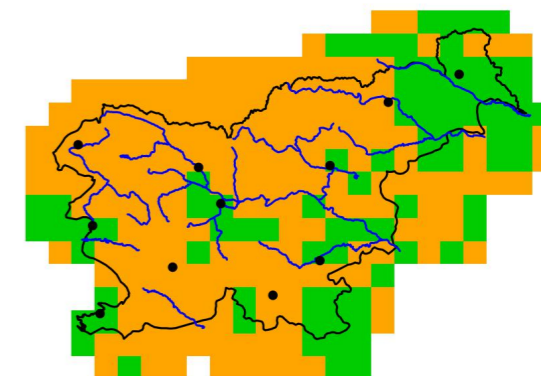
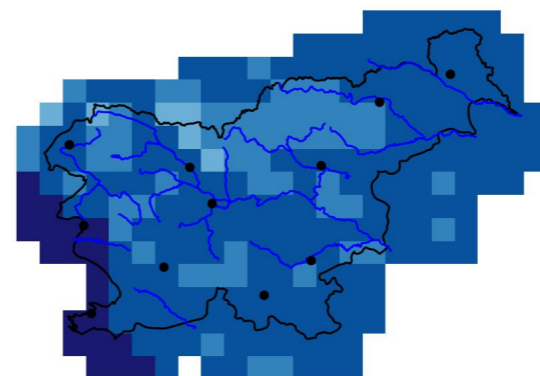
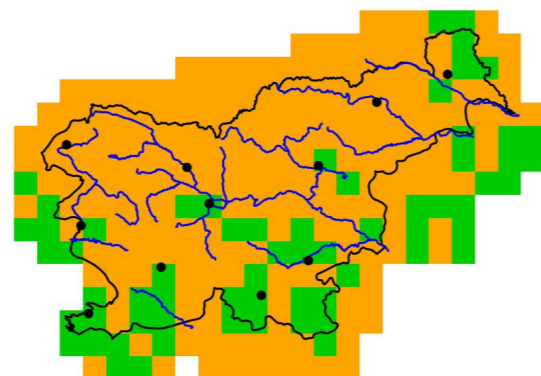
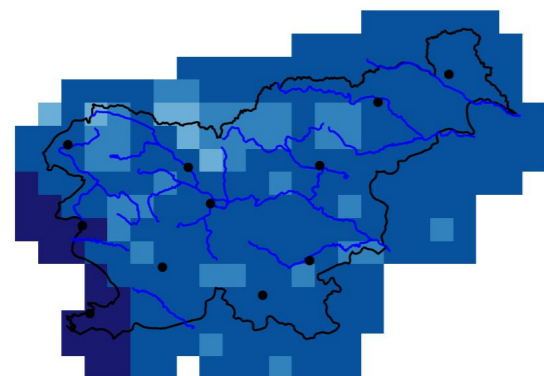
Zanesljivost

2011–2040

2011–2040

2011–2040

2011–2040

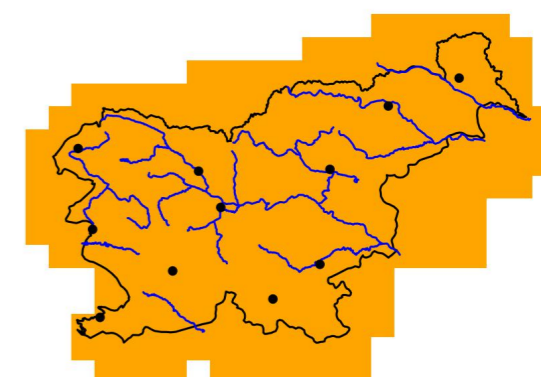
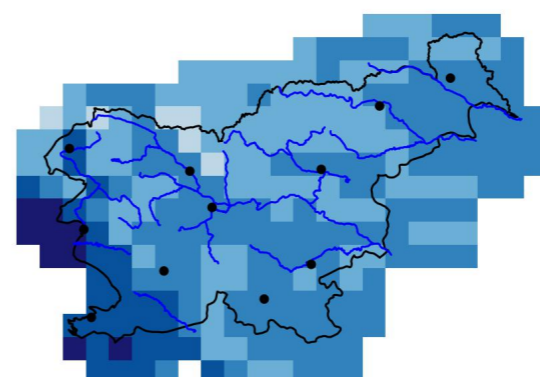
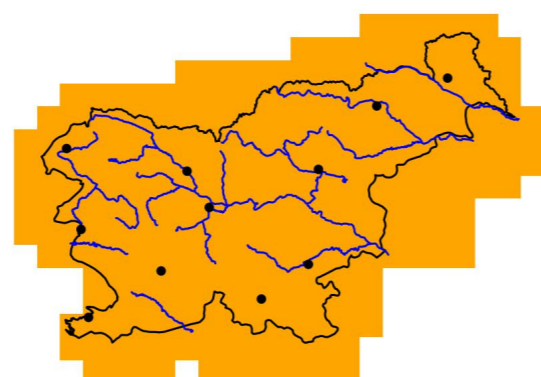
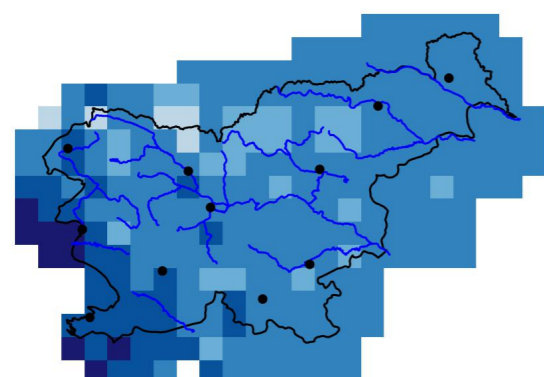


2041–2070

2041–2070

2041–2070

2041–2070

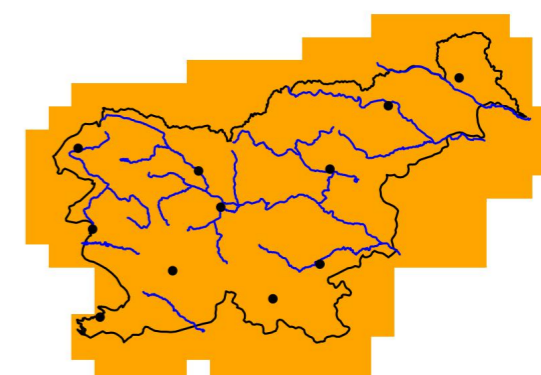
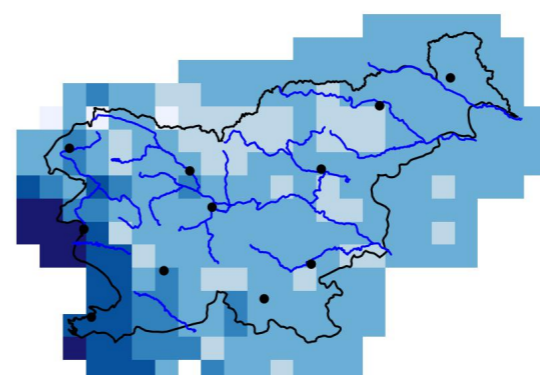
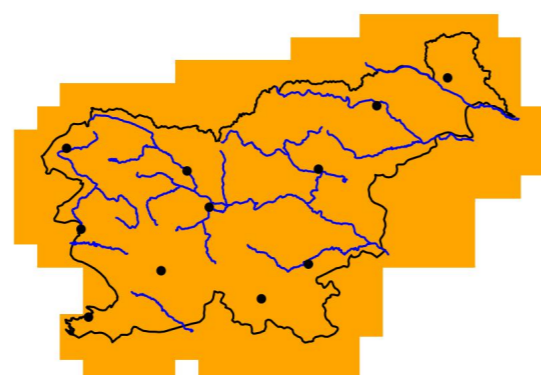
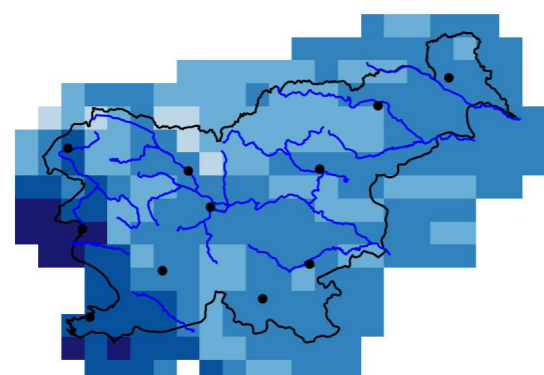


2071–2100

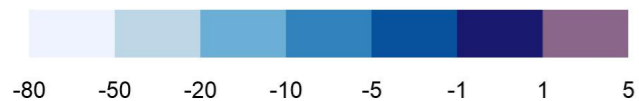
2071–2100

2071–2100

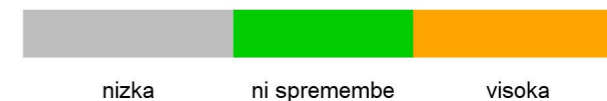
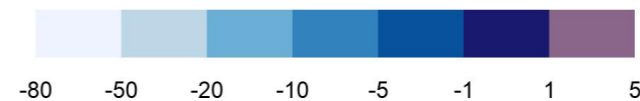
2071–2100



Število dni



Število dni



Slika 1.142 | Sprememba povprečnega števila ledenih dni (ID) na leto v treh projekcijskih obdobjih glede na obdobje 1981–2010 in pripadajoča zanesljivost spremembe za scenarij RCP4.5

Slika 1.143 | Sprememba povprečnega števila ledenih dni (ID) na leto v treh projekcijskih obdobjih glede na obdobje 1981–2010 in pripadajoča zanesljivost spremembe za scenarij RCP8.5

Kazalnik najhladnejših dni (TN10p), RCP2.6

Kazalnik najhladnejših dni (TN10p), RCP4.5

Odklon glede na obdobje 1981–2010

Zanesljivost

Odklon glede na obdobje 1981–2010

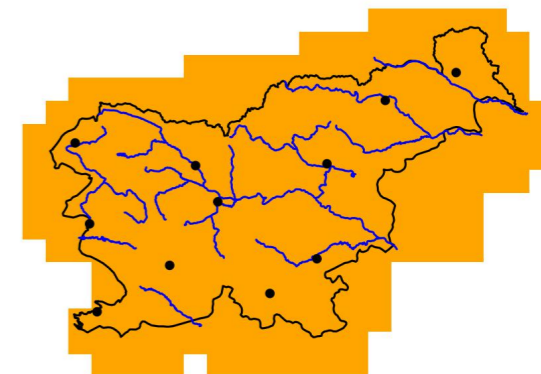
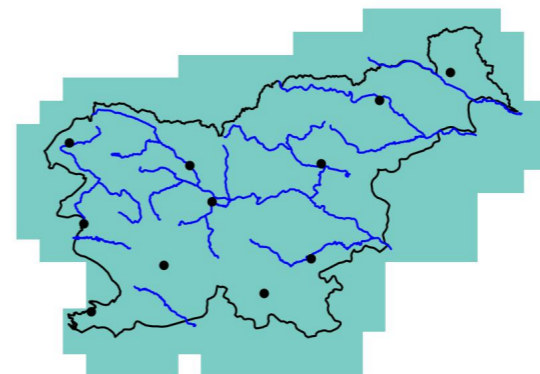
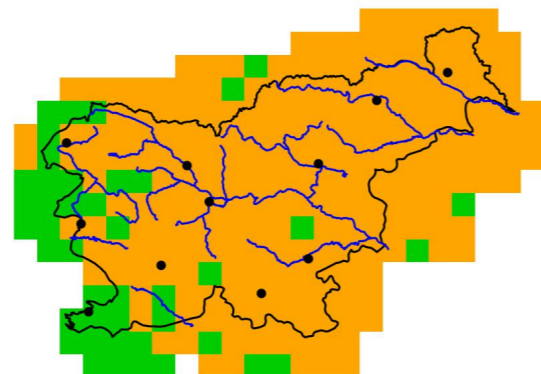
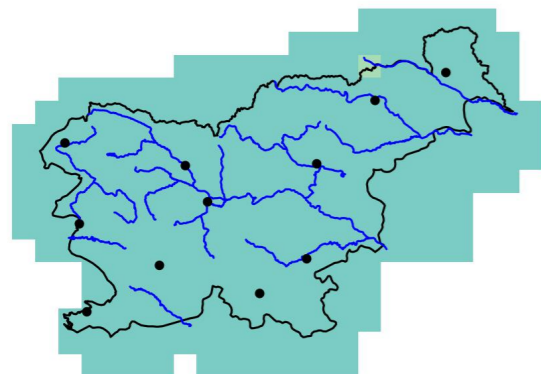
Zanesljivost

2011–2040

2011–2040

2011–2040

2011–2040

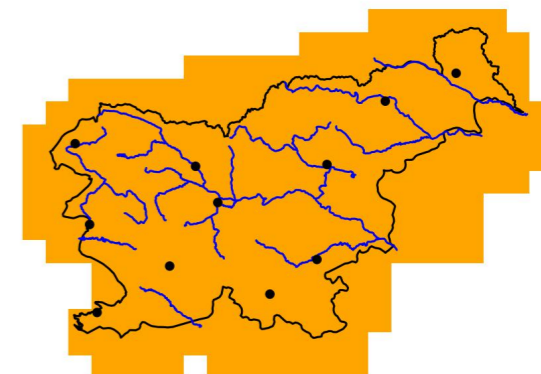
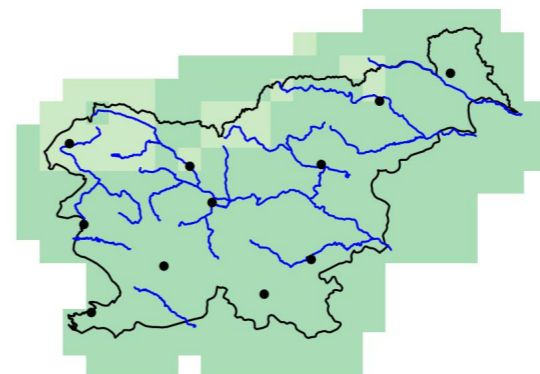
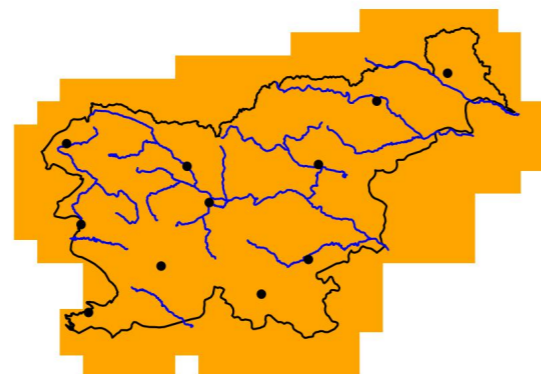
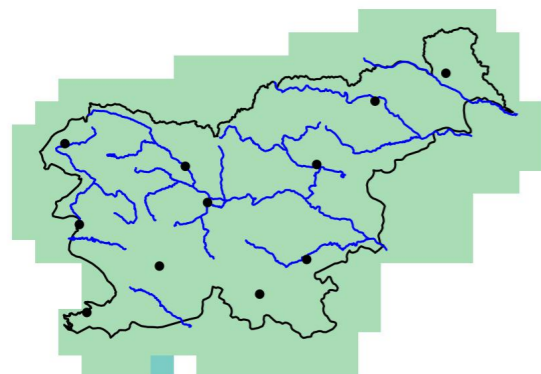


2041–2070

2041–2070

2041–2070

2041–2070

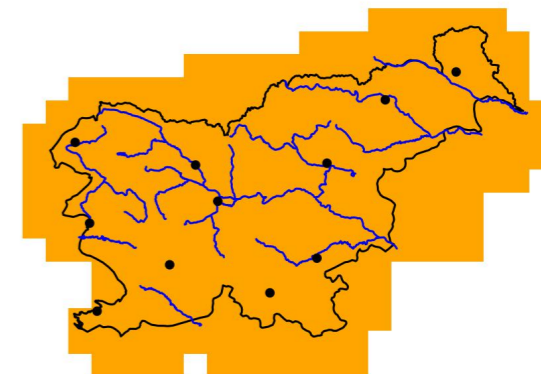
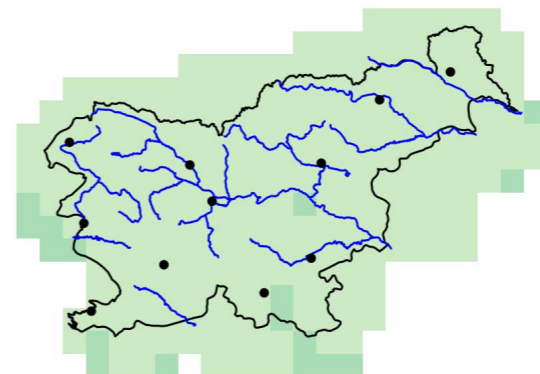
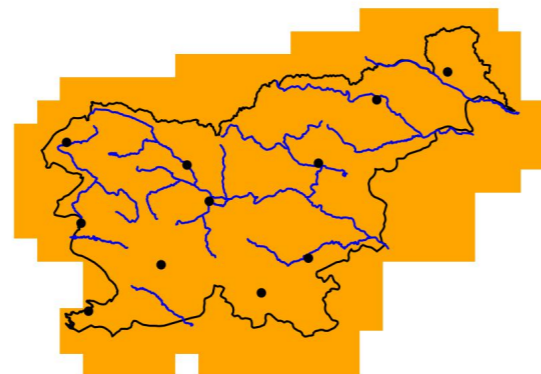
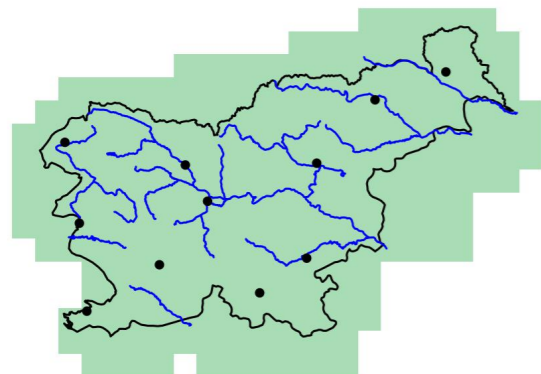


2071–2100

2071–2100

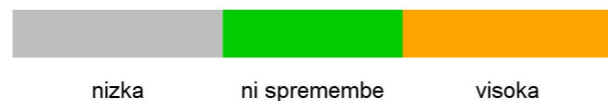
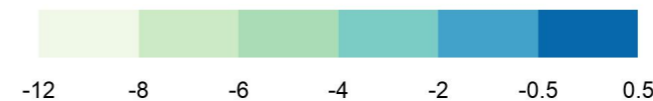
2071–2100

2071–2100



odstotna točka

odstotna točka



Slika 1.144 | Sprememba povprečnega kazalnika najhladnejših dni (TN10p) v treh projekcijskih obdobjih glede na obdobje 1981–2010 in pripadajoča zanesljivost spremembe za scenarij RCP2.6

Slika 1.145 | Sprememba povprečnega kazalnika najhladnejših dni (TN10p) v treh projekcijskih obdobjih glede na obdobje 1981–2010 in pripadajoča zanesljivost spremembe za scenarij RCP4.5

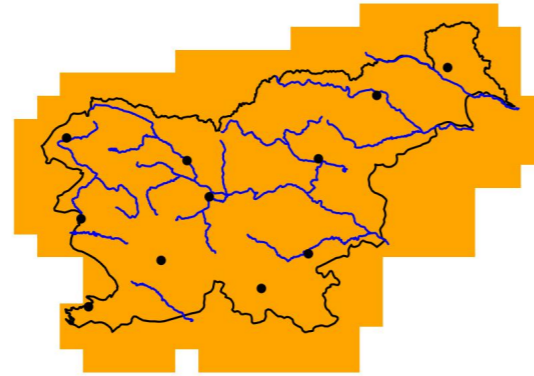
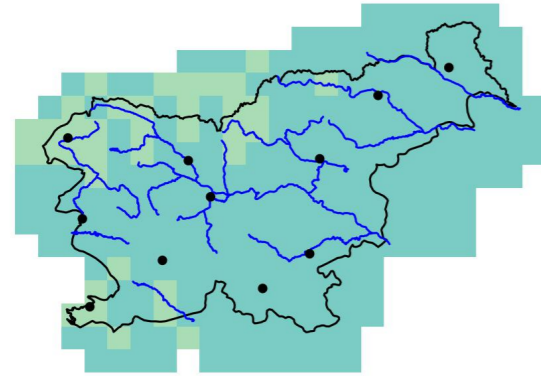
Kazalnik najhladnejših dni (TN10p), RCP8.5

Odklon glede na obdobje 1981–2010

Zanesljivost

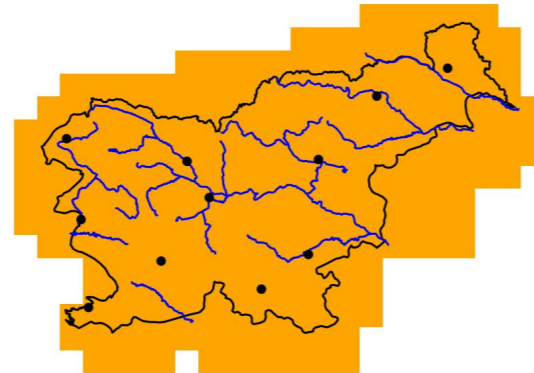
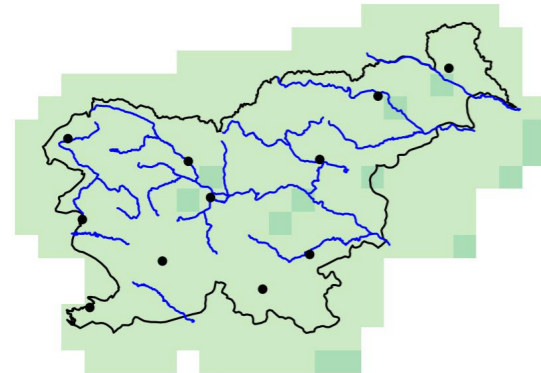
2011–2040

2011–2040



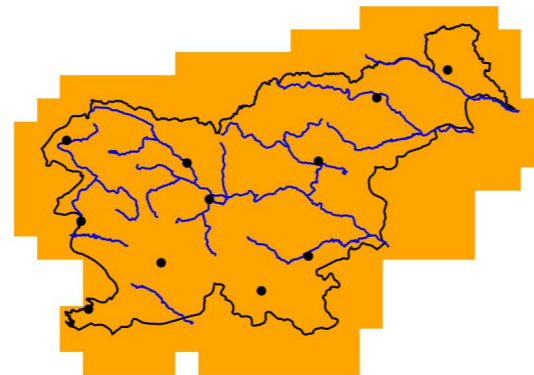
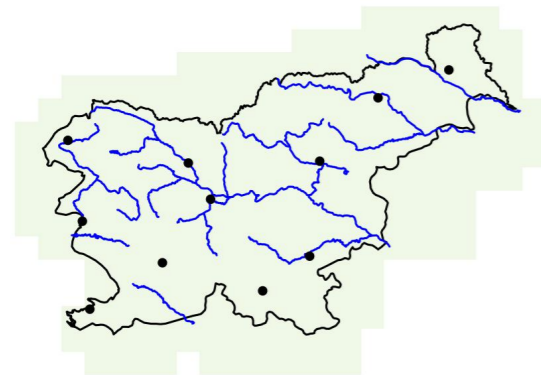
2041–2070

2041–2070

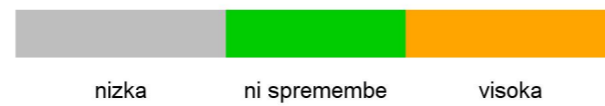


2071–2100

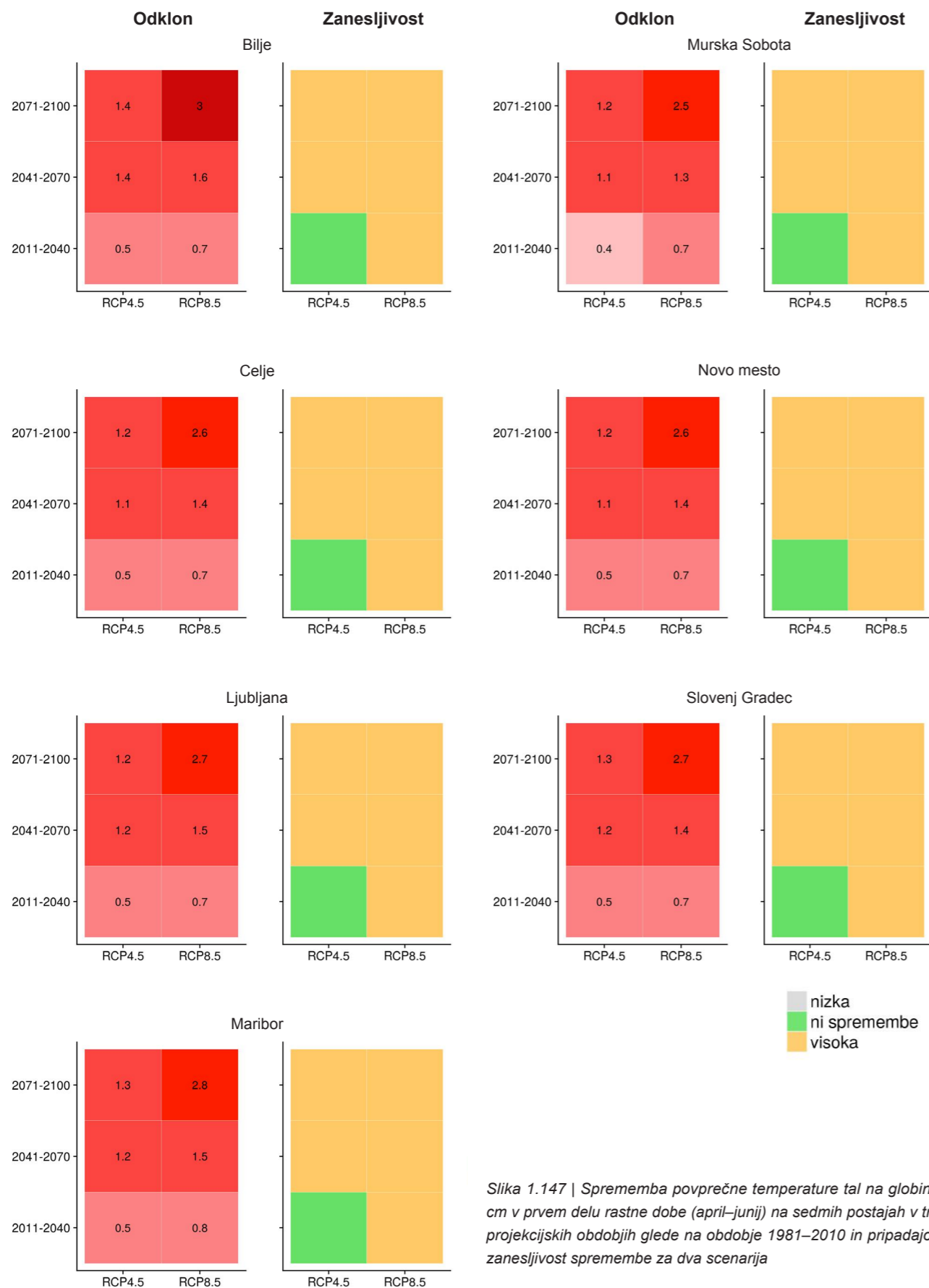
2071–2100



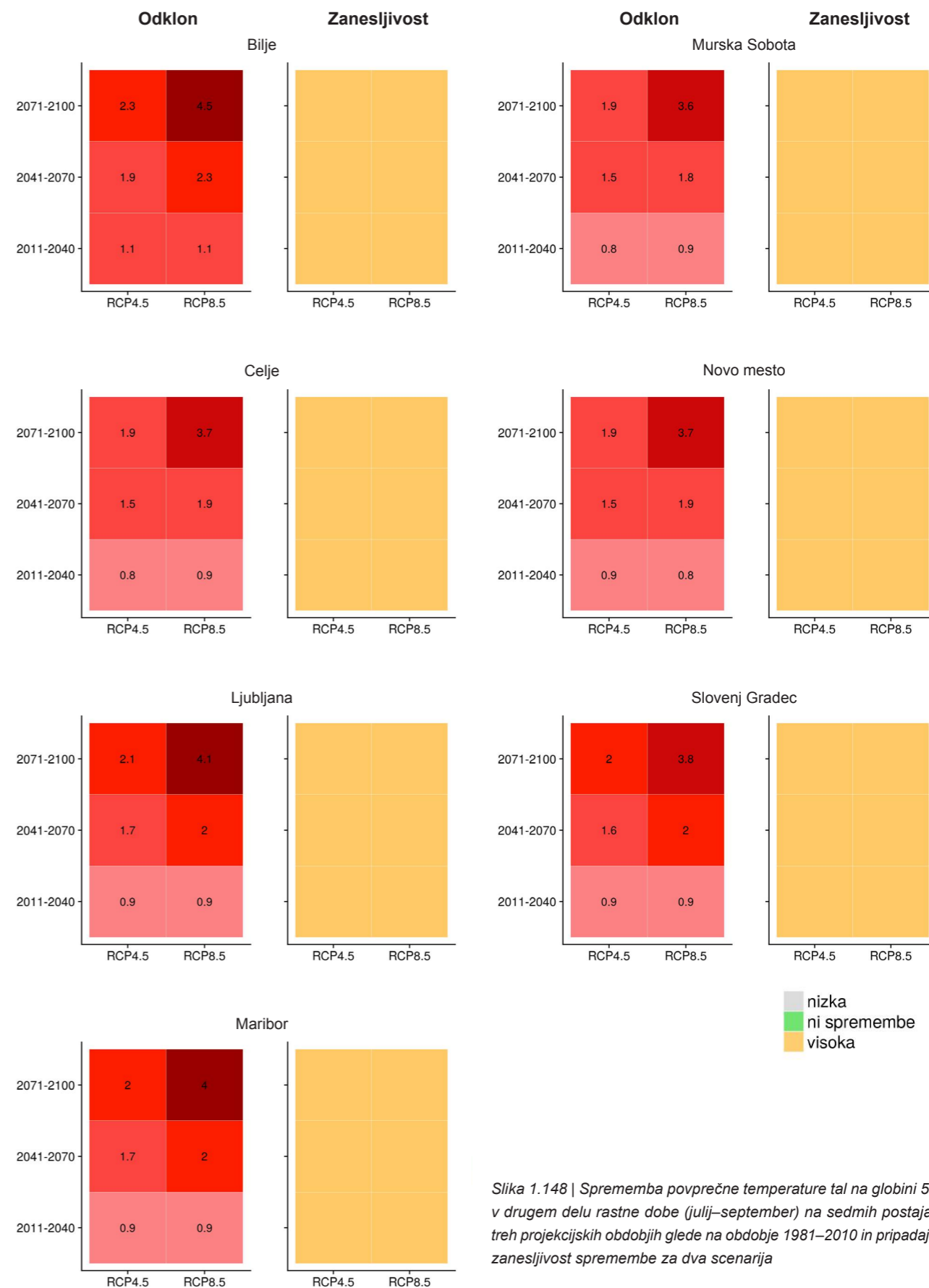
odstotna točka



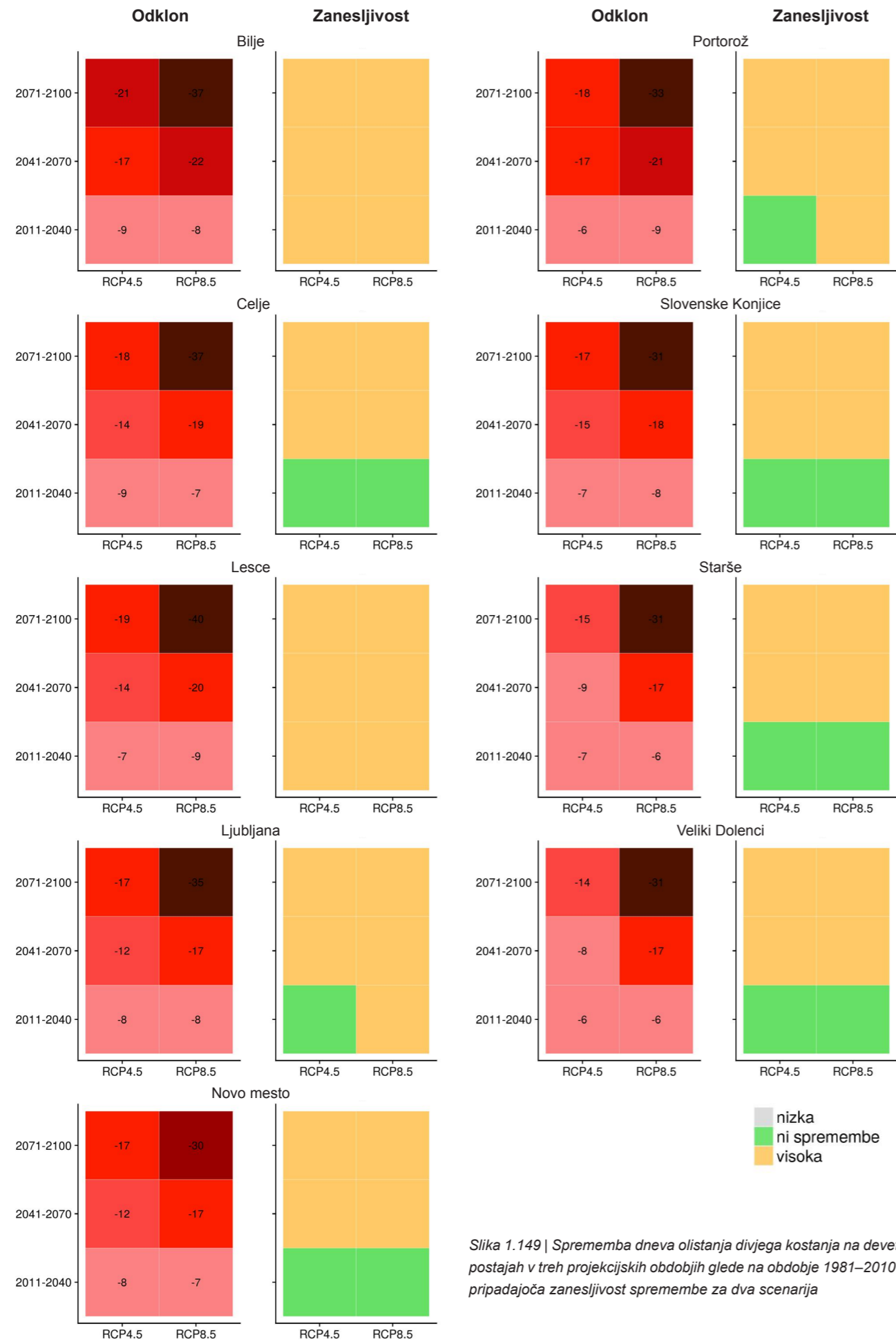
Slika 1.146 | Sprememba povprečnega kazalnika najhladnejših dni (TN10p) v treh projekcijskih obdobjih glede na obdobje 1981–2010 in pripadajoča zanesljivost spremembe za scenarij RCP8.5



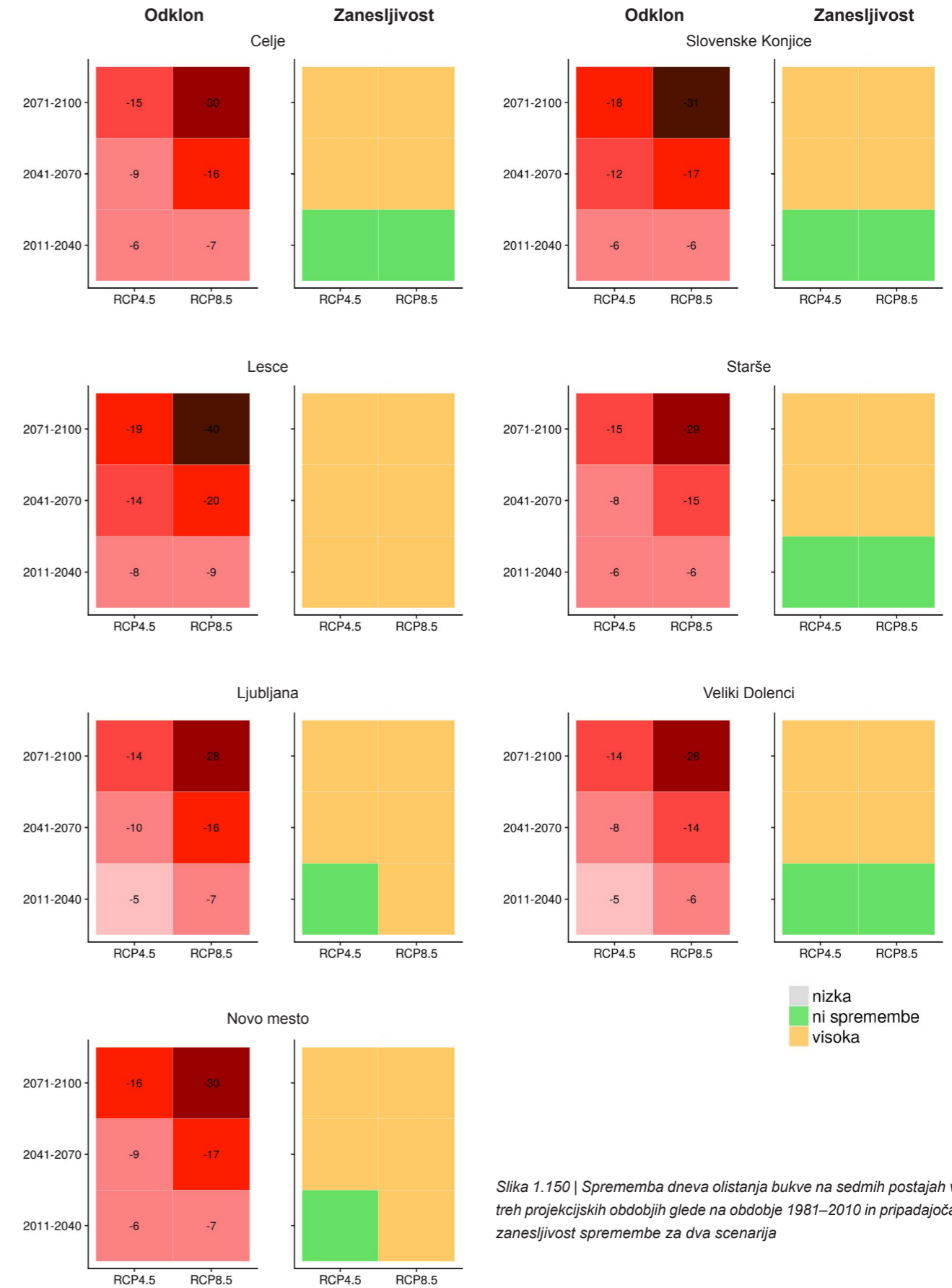
Slika 1.147 | Sprememba povprečne temperature tal na globini 5 cm v prvem delu rastne dobe (april–junij) na sedmih postajah v treh projekcijskih obdobjih glede na obdobje 1981–2010 in pripadajoča zanesljivost spremembe za dva scenarija



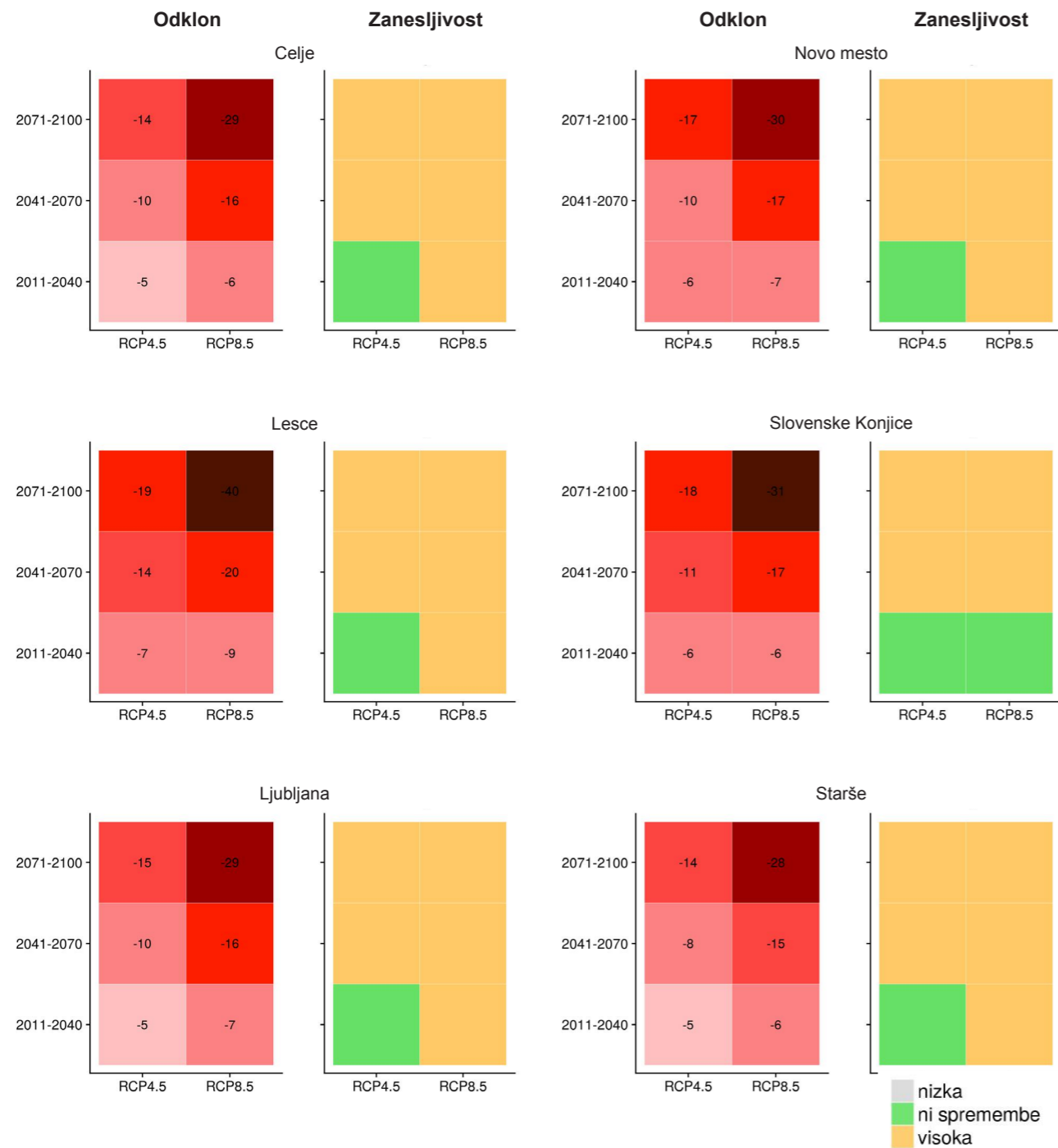
Slika 1.148 | Sprememba povprečne temperature tal na globini 5 cm v drugem delu rastne dobe (julij–september) na sedmih postajah v treh projekcijskih obdobjih glede na obdobje 1981–2010 in pripadajoča zanesljivost spremembe za dva scenarija



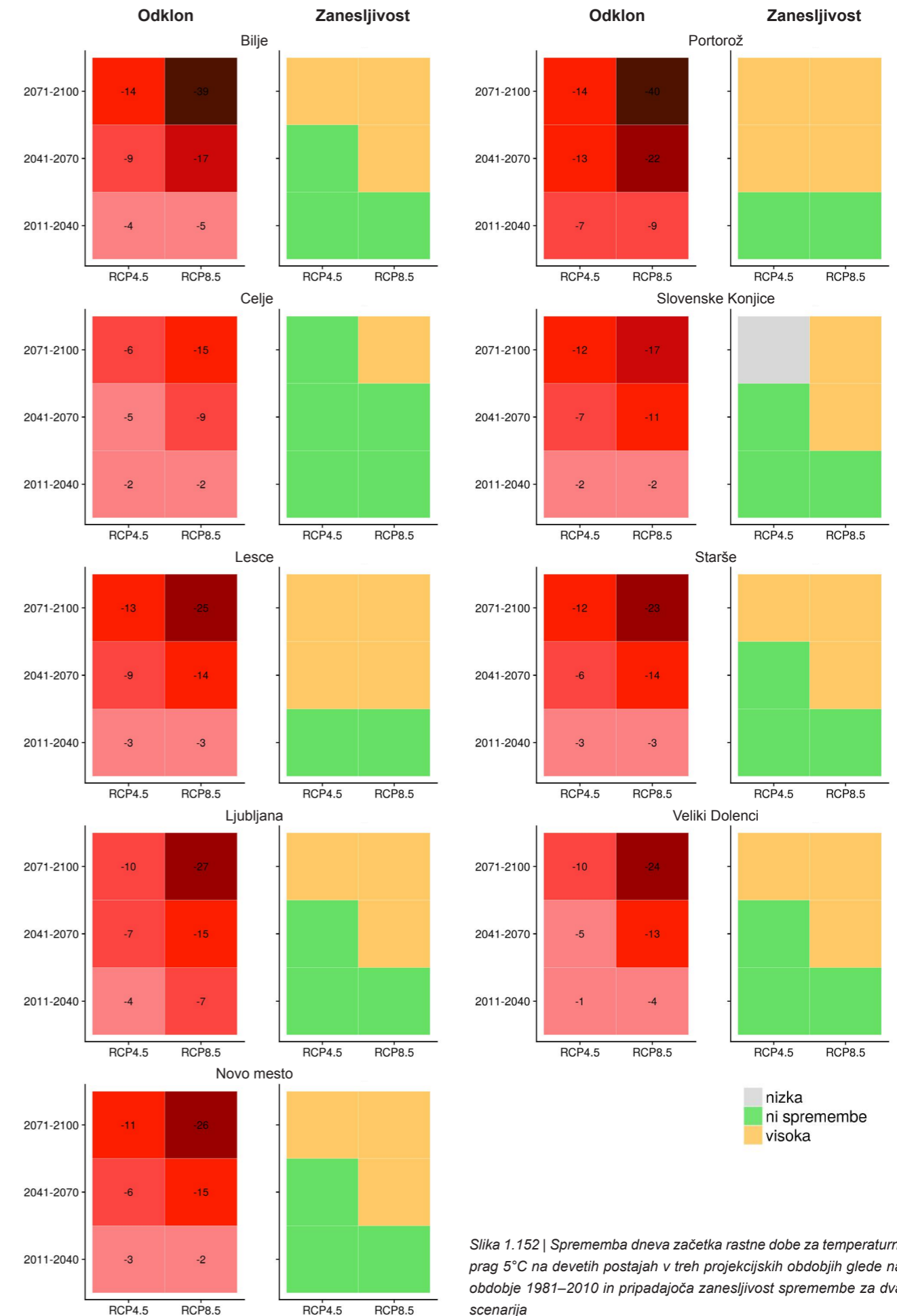
Slika 1.149 | Sprememba dneva olistanja divjega kostanja na devetih postajah v treh projekcijskih obdobjih glede na obdobje 1981–2010 in pripadajoča zanesljivost spremembe za dva scenarija



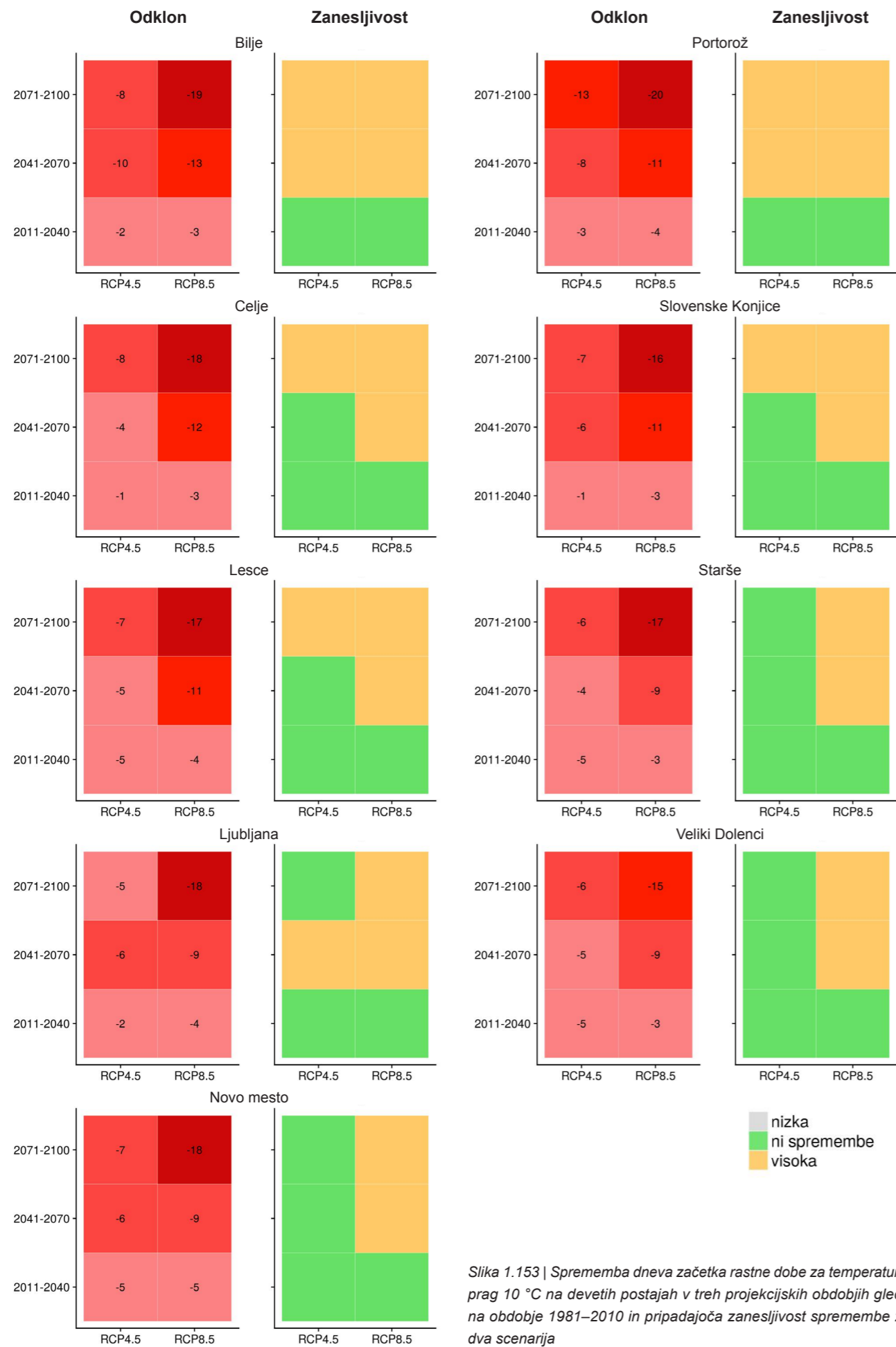
Slika 1.150 | Sprememba dneva olistanja bukve na sedmih postajah v treh projekcijskih obdobjih glede na obdobje 1981–2010 in pripadajoča zanesljivost spremembe za dva scenarija



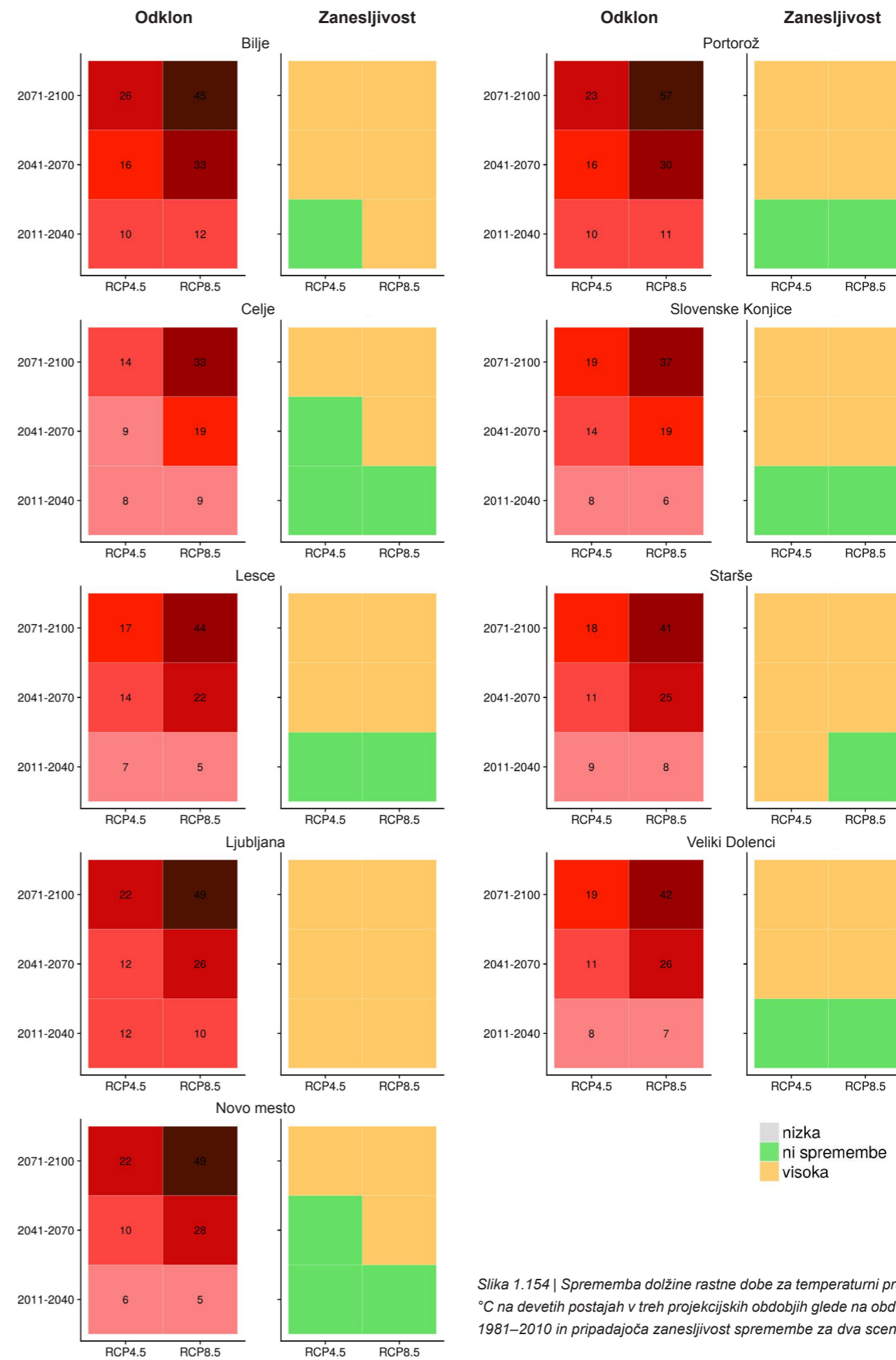
Slika 1.151 | Sprememba dneva olistanja lipe na šestih postajah v treh projekcijskih obdobjih glede na obdobje 1981–2010 in pripadajoča zanesljivost spremembe za dva scenarija



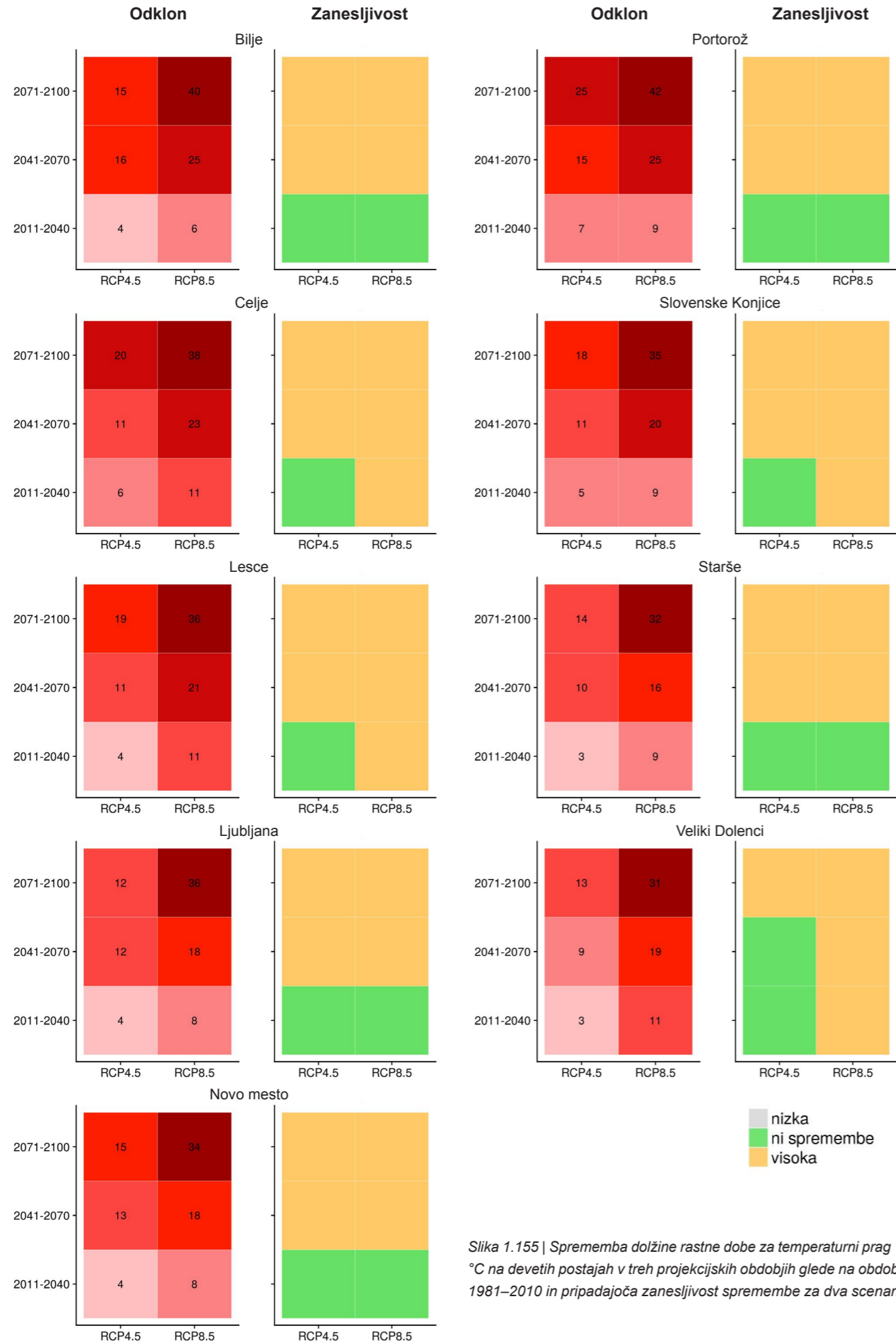
Slika 1.152 | Sprememba dneva začetka rastne dobe za temperaturni prag 5°C na devetih postajah v treh projekcijskih obdobjih glede na obdobje 1981–2010 in pripadajoča zanesljivost spremembe za dva scenarija



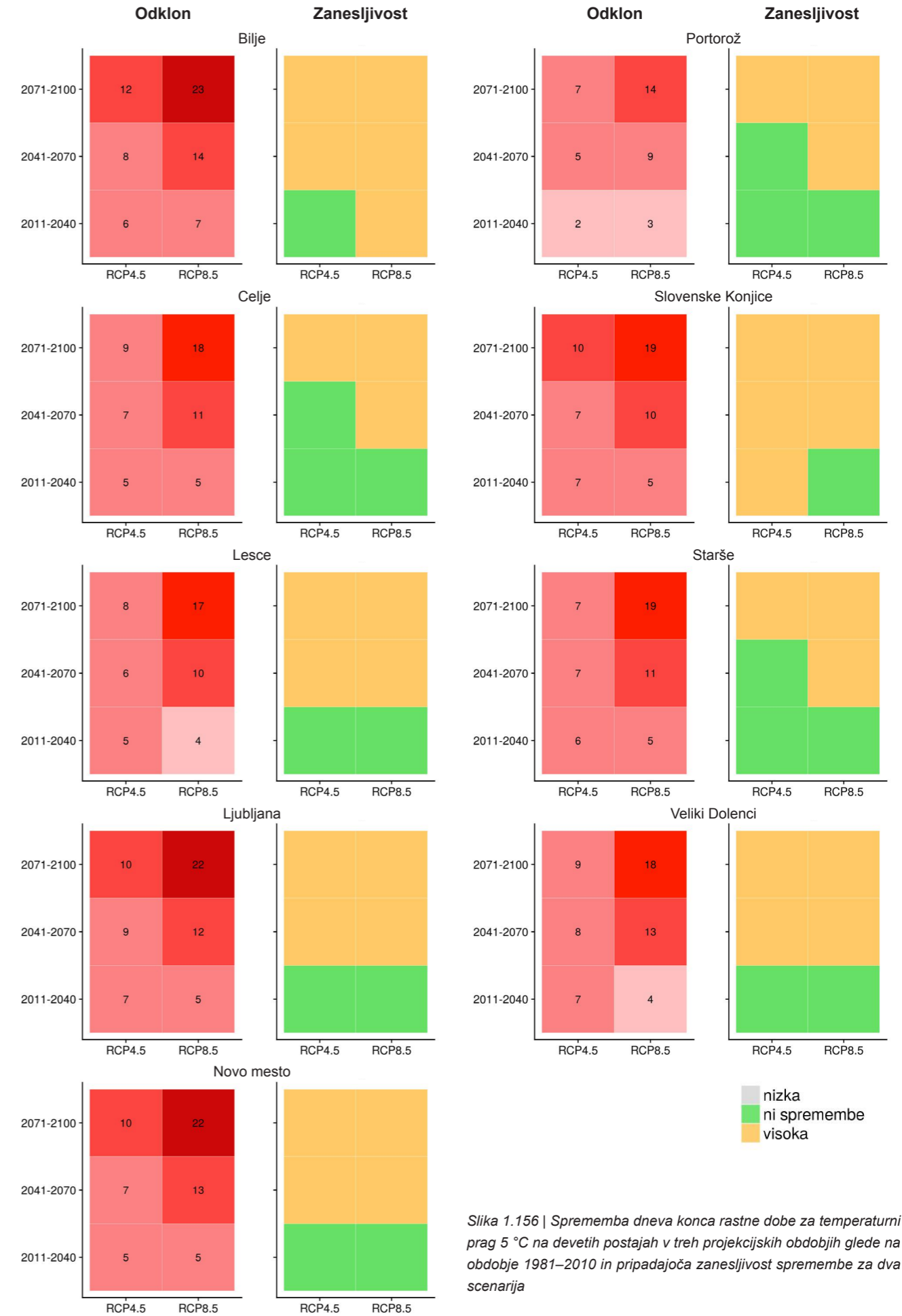
Slika 1.153 | Sprememba dneva začetka rastne dobe za temperaturni prag 10 °C na devetih postajah v treh projekcijskih obdobjih glede na obdobje 1981–2010 in pripadajoča zanesljivost spremembe za dva scenarija



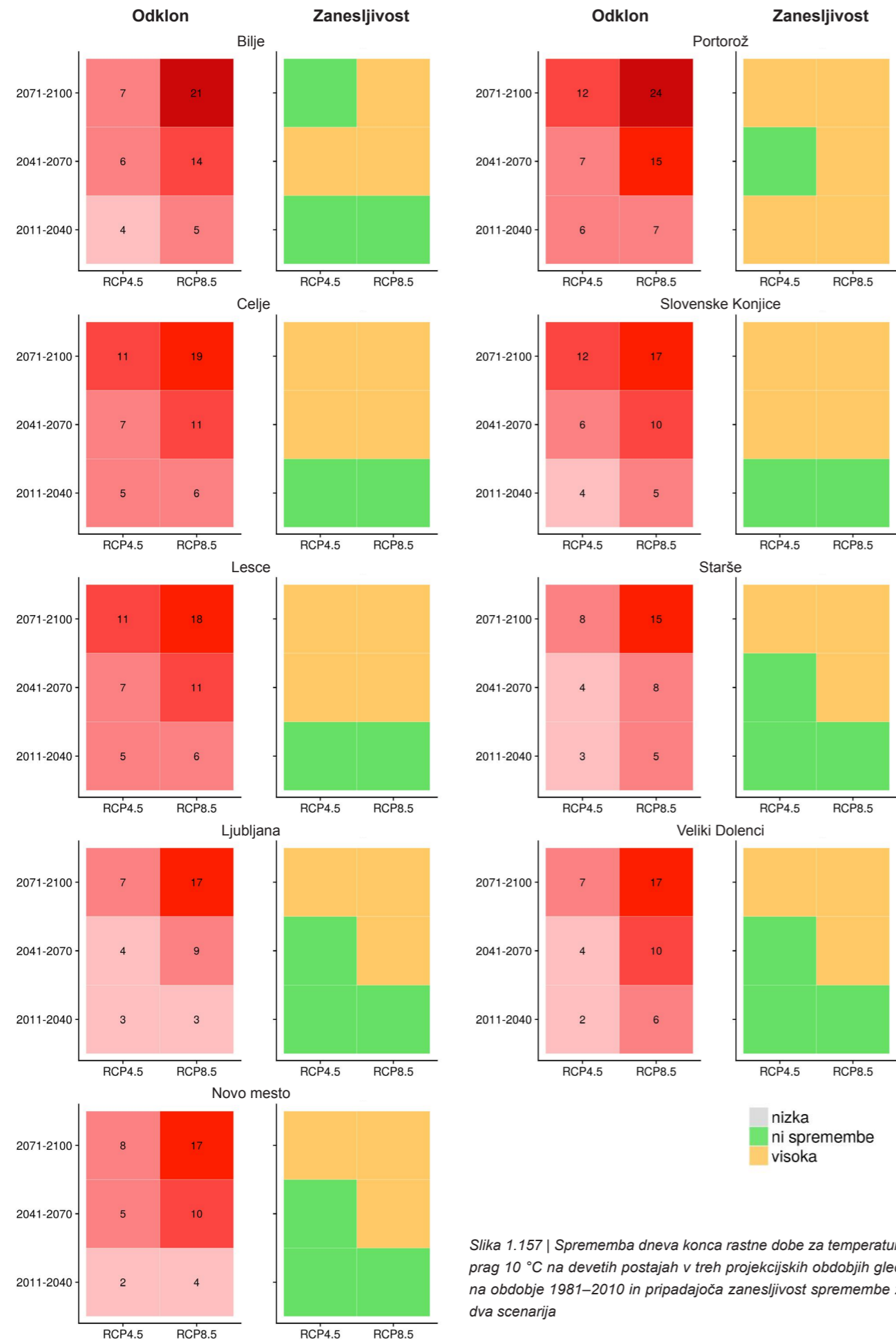
Slika 1.154 | Sprememba dolžine rastne dobe za temperaturni prag 5 °C na devetih postajah v treh projekcijskih obdobjih glede na obdobje 1981–2010 in pripadajoča zanesljivost spremembe za dva scenarija



Slika 1.155 | Sprememba dolžine rastne dobe za temperaturni prag 10 °C na devetih postajah v treh projekcijskih obdobjih glede na obdobje 1981–2010 in pripadajoča zanesljivost spremembe za dva scenarija



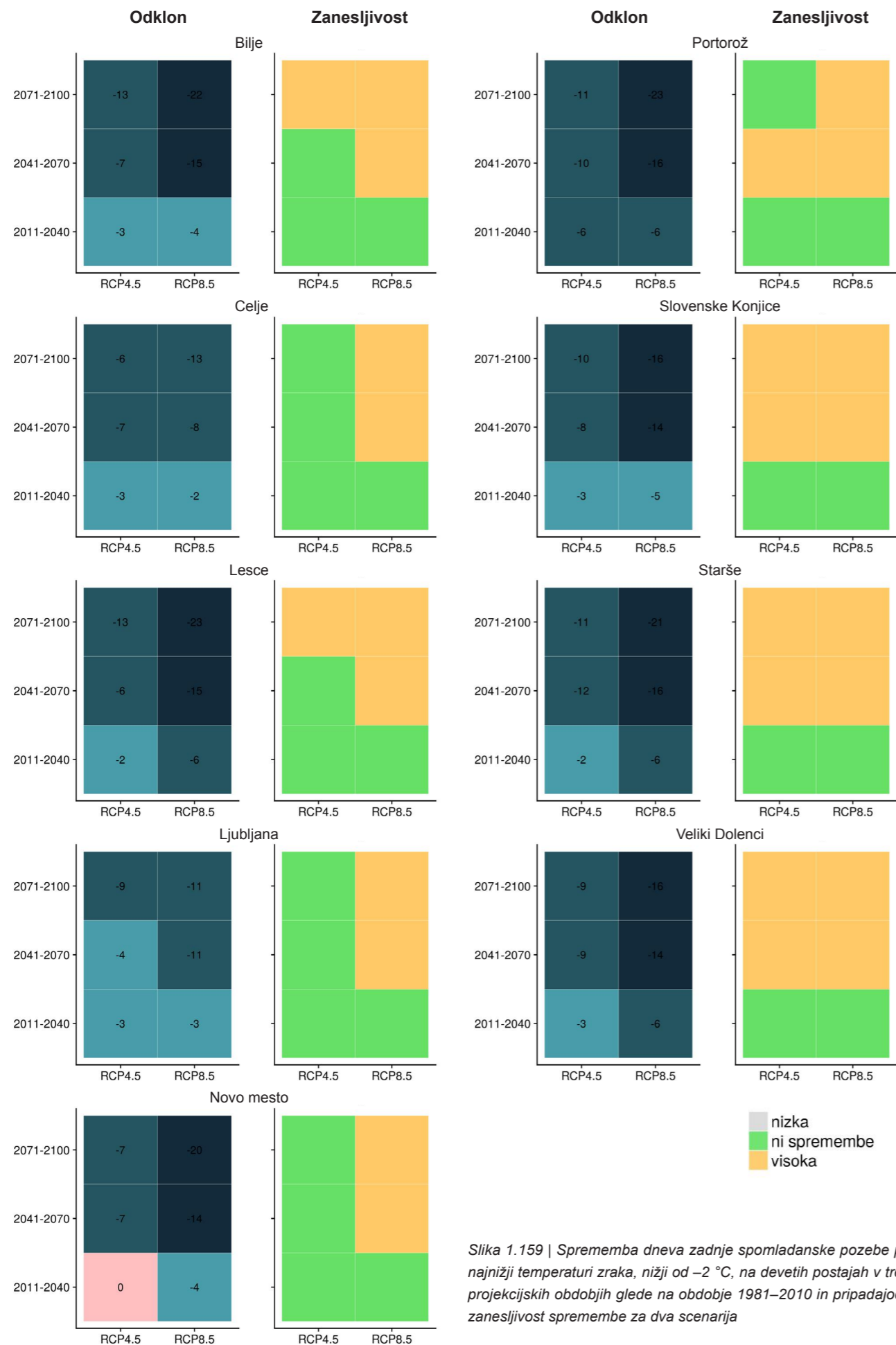
Slika 1.156 | Sprememba dneva konca rastne dobe za temperaturni prag 5 °C na devetih postajah v treh projekcijskih obdobjih glede na obdobje 1981–2010 in pripadajoča zanesljivost spremembe za dva scenarija



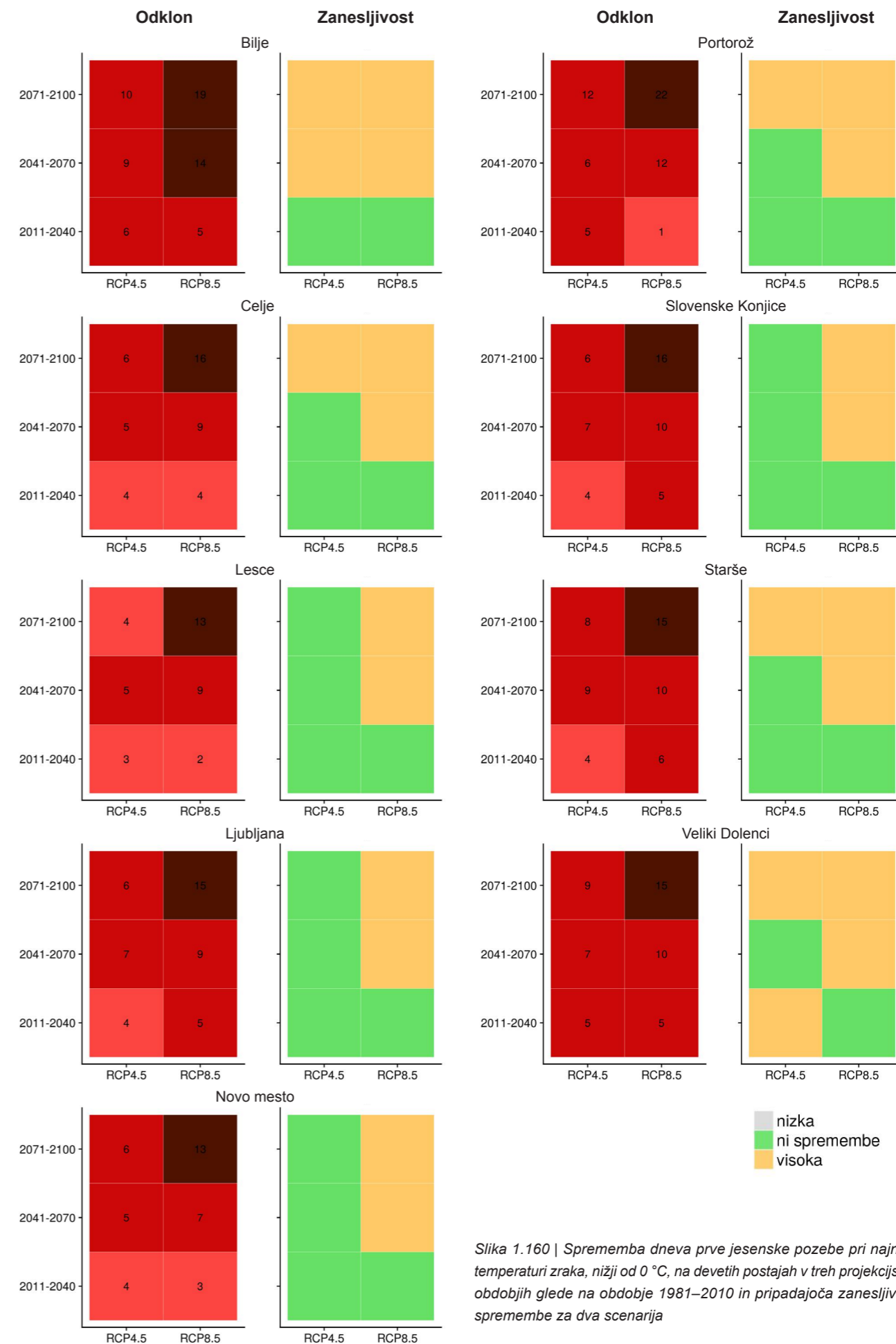
Slika 1.157 | Sprememba dneva konca rastne dobe za temperaturni prag 10 °C na devetih postajah v treh projekcijskih obdobjih glede na obdobje 1981–2010 in pripadajoča zanesljivost spremembe za dva scenarija



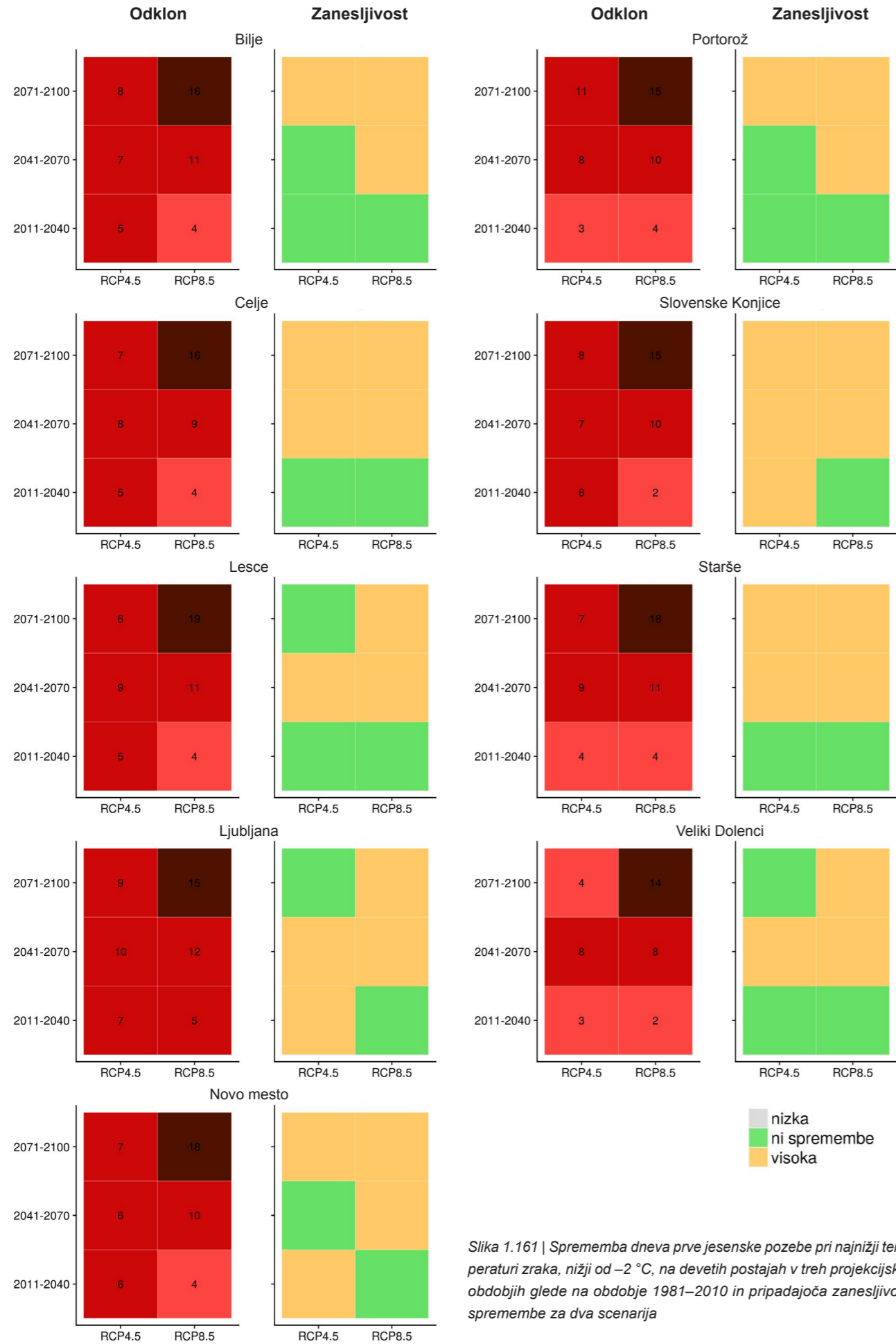
Slika 1.158 | Sprememba dneva zadnje spomladanske pozebe pri najnižji temperaturi zraka, nižji od 0 °C, na devetih postajah v treh projekcijskih obdobjih glede na obdobje 1981–2010 in pripadajoča zanesljivost spremembe za dva scenarija



Slika 1.159 | Sprememba dneva zadnje spomladanske pozebe pri najnižji temperaturi zraka, nižji od -2°C , na devetih postajah v treh projekcijskih obdobjih glede na obdobje 1981–2010 in pripadajoča zanesljivost spremembe za dva scenarija



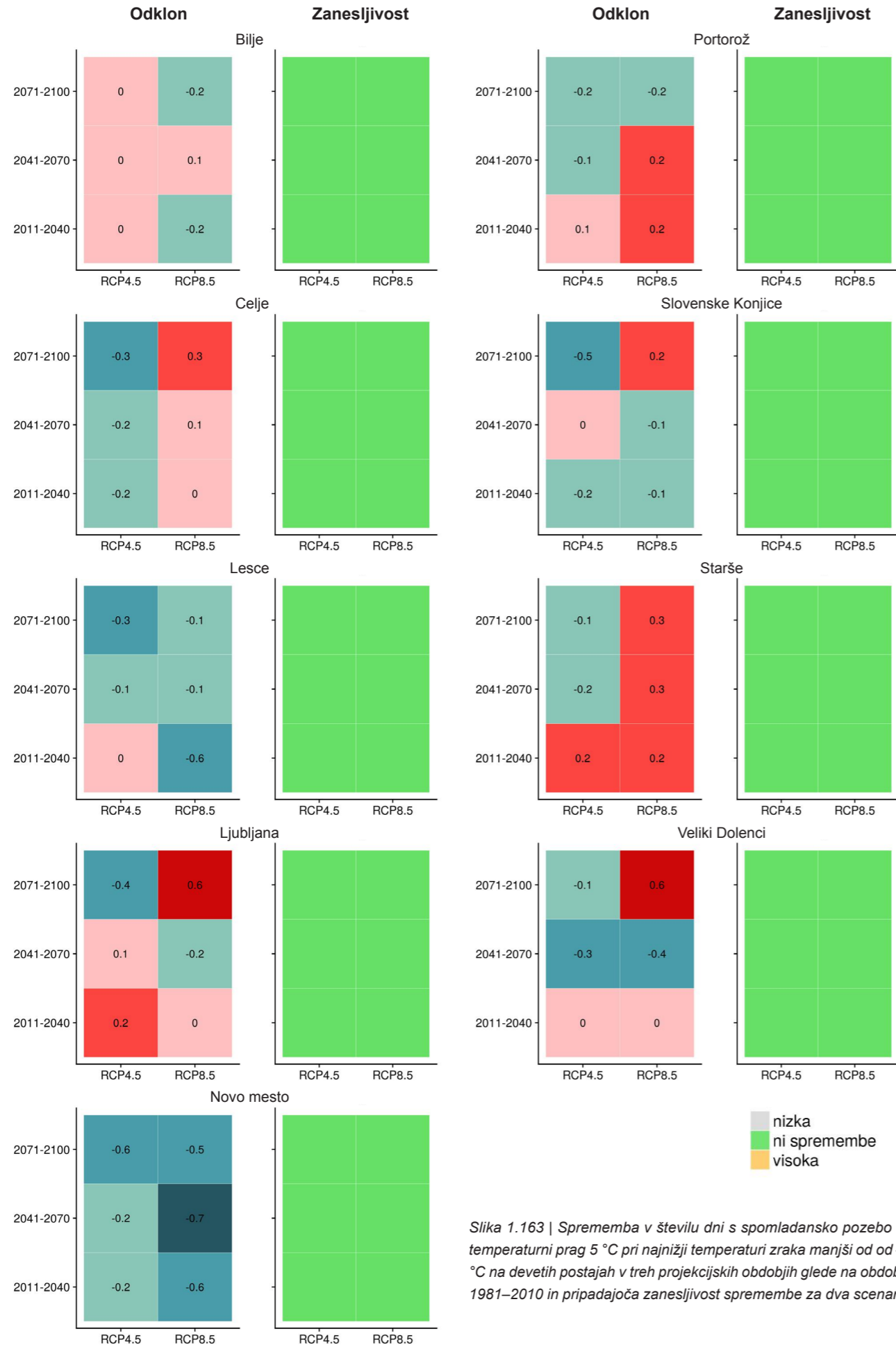
Slika 1.160 | Sprememba dneva prve jesenske pozebe pri najnižji temperaturi zraka, nižji od 0°C , na devetih postajah v treh projekcijskih obdobjih glede na obdobje 1981–2010 in pripadajoča zanesljivost spremembe za dva scenarija



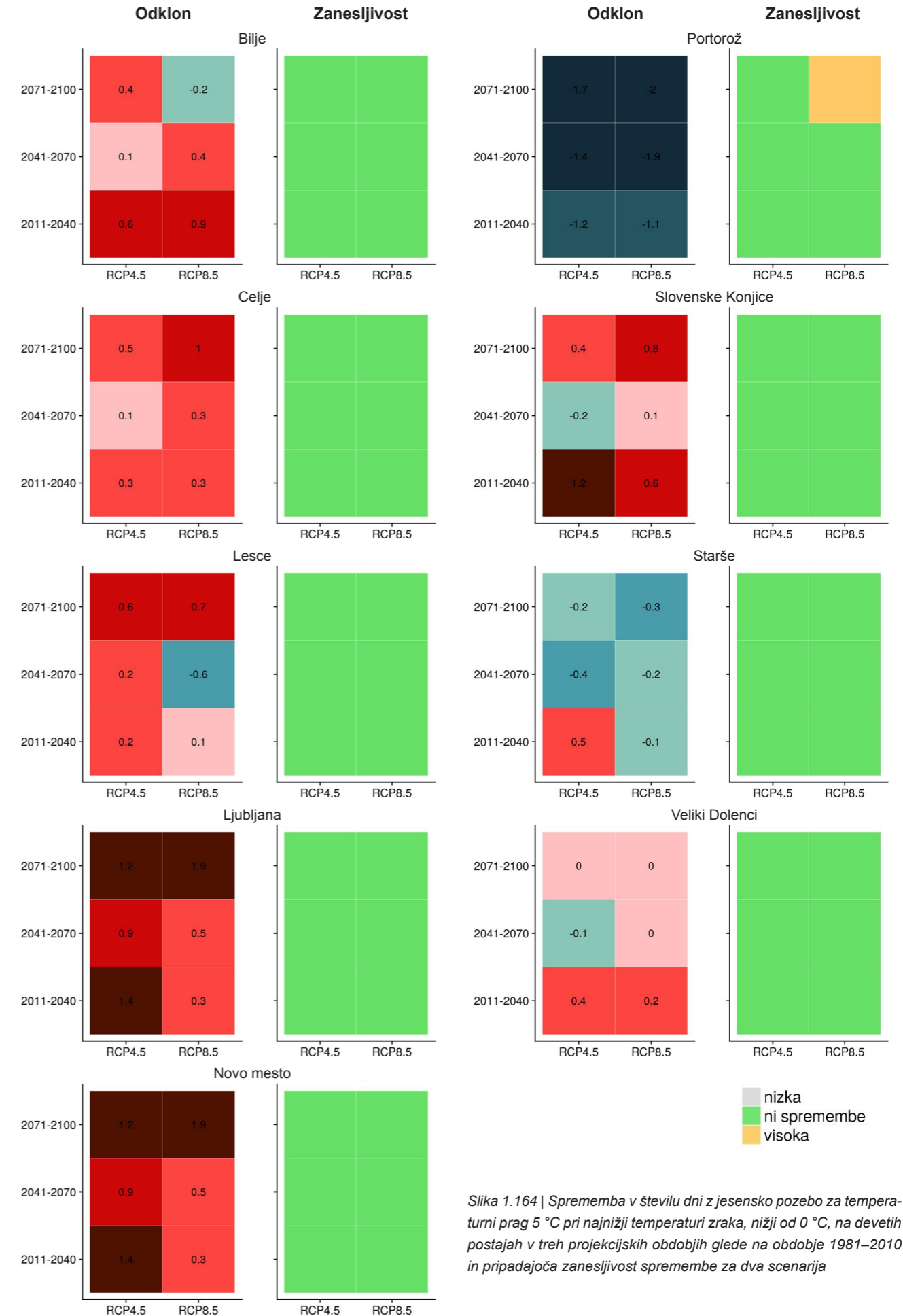
Slika 1.161 | Sprememba dneva prve jesenske pozebe pri najnižji temperaturi zraka, nižji od -2°C , na devetih postajah v treh projekcijskih obdobjih glede na obdobje 1981–2010 in pripadajoča zanesljivost spremembe za dva scenarija



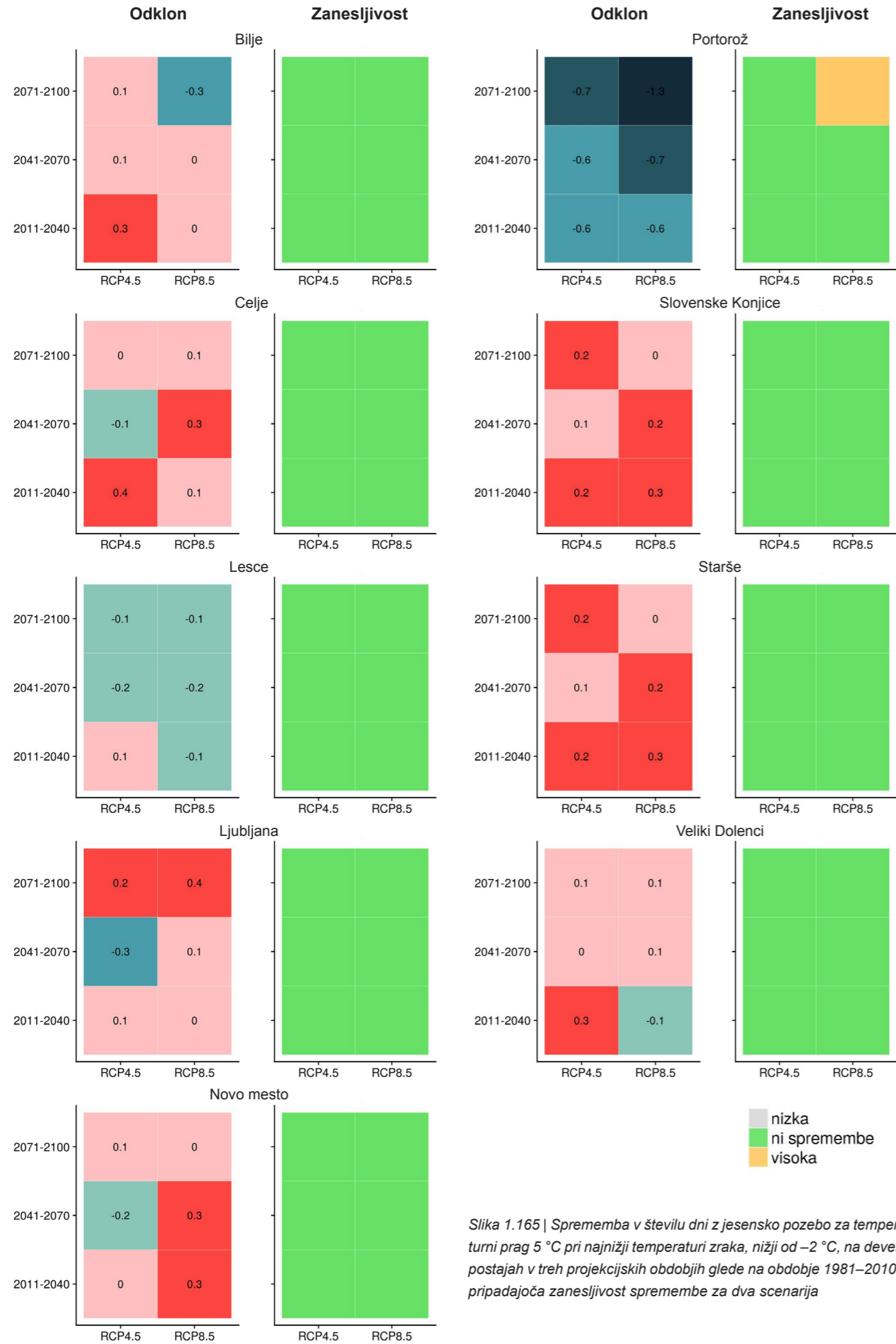
Slika 1.162 | Sprememba v številu dni s spomladansko pozebo za temperaturni prag 5°C pri najnižji temperaturi zraka, nižji od 0°C , na devetih postajah v treh projekcijskih obdobjih glede na obdobje 1981–2010 in pripadajoča zanesljivost spremembe za dva scenarija



Slika 1.163 | Sprememba v številu dni s spomladansko pozebo za temperaturni prag 5 °C pri najnižji temperaturi zraka manjši od od -2 °C na devetih postajah v treh projekcijskih obdobjih glede na obdobje 1981–2010 in pripadajoča zanesljivost spremembe za dva scenarija



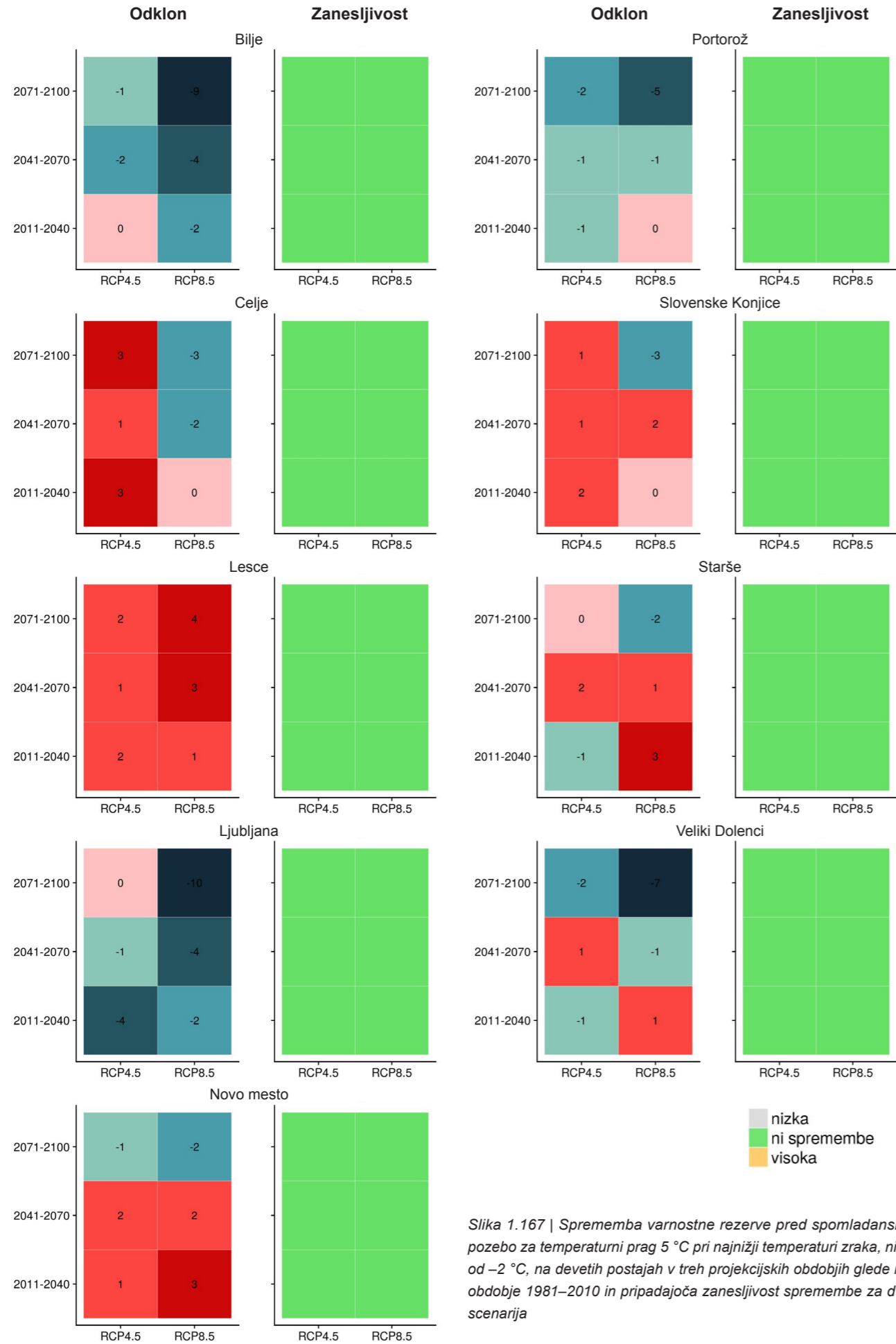
Slika 1.164 | Sprememba v številu dni z jesensko pozebo za temperaturni prag 5 °C pri najnižji temperaturi zraka, nižji od 0 °C, na devetih postajah v treh projekcijskih obdobjih glede na obdobje 1981–2010 in pripadajoča zanesljivost spremembe za dva scenarija



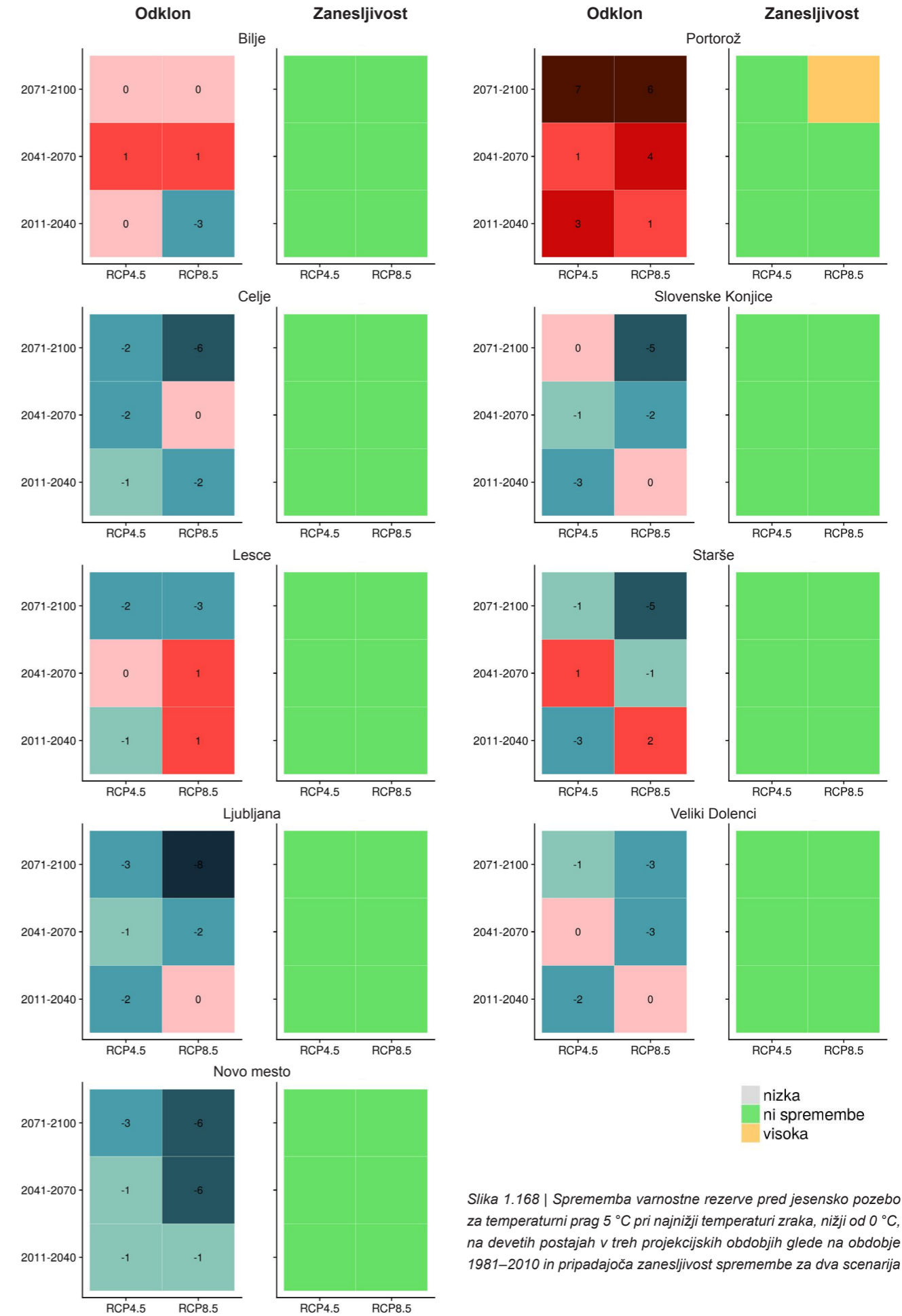
Slika 1.165 | Sprememba v številu dni z jesensko pozebo za temperaturni prag 5 °C pri najnižji temperaturi zraka, nižji od -2 °C, na devetih postajah v treh projekcijskih obdobjih glede na obdobje 1981–2010 in pripadajoča zanesljivost spremembe za dva scenarija



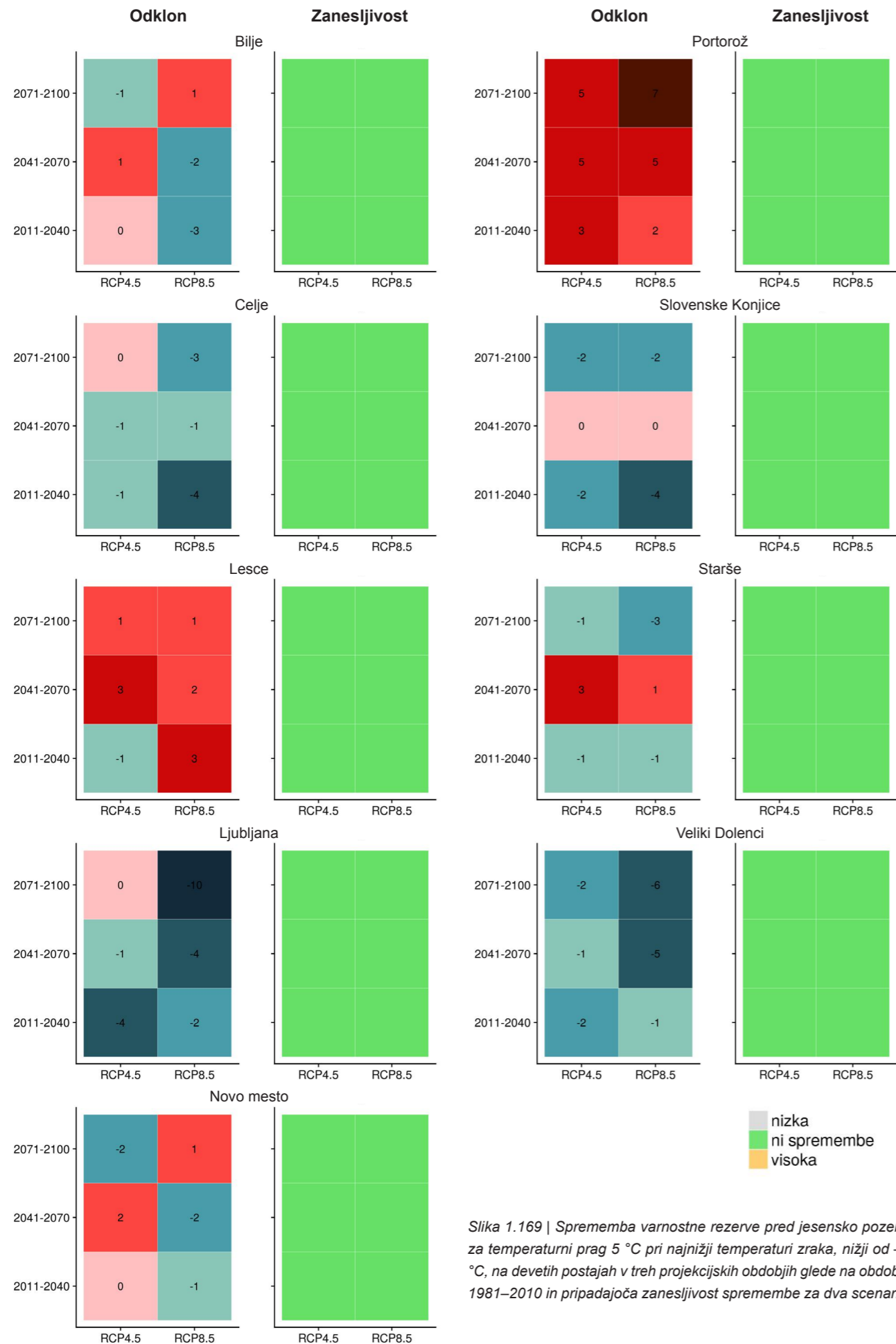
Slika 1.166 | Sprememba varnostne rezerve pred spomladansko pozebo za temperaturni prag 5 °C pri najnižji temperaturi zraka, nižji od 0 °C, na devetih postajah v treh projekcijskih obdobjih glede na obdobje 1981–2010 in pripadajoča zanesljivost spremembe za dva scenarija



Slika 1.167 | Sprememba varnostne rezerve pred spomladansko pozebo za temperaturni prag 5 °C pri najnižji temperaturi zraka, nižji od -2 °C, na devetih postajah v treh projekcijskih obdobjih glede na obdobje 1981–2010 in pripadajoča zanesljivost spremembe za dva scenarija

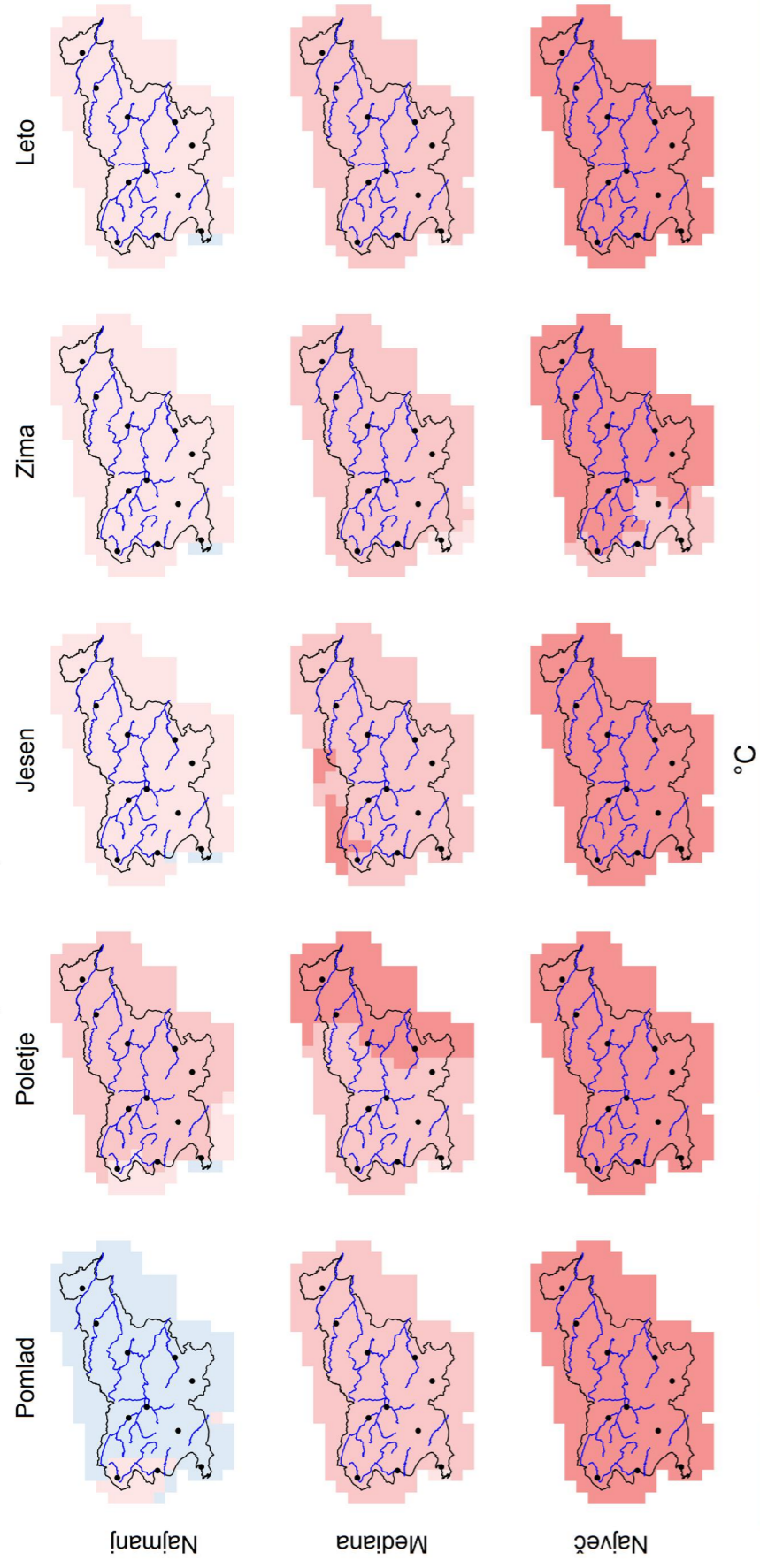


Slika 1.168 | Sprememba varnostne rezerve pred jesensko pozebo za temperaturni prag 5 °C pri najnižji temperaturi zraka, nižji od 0 °C, na devetih postajah v treh projekcijskih obdobjih glede na obdobje 1981–2010 in pripadajoča zanesljivost spremembe za dva scenarija



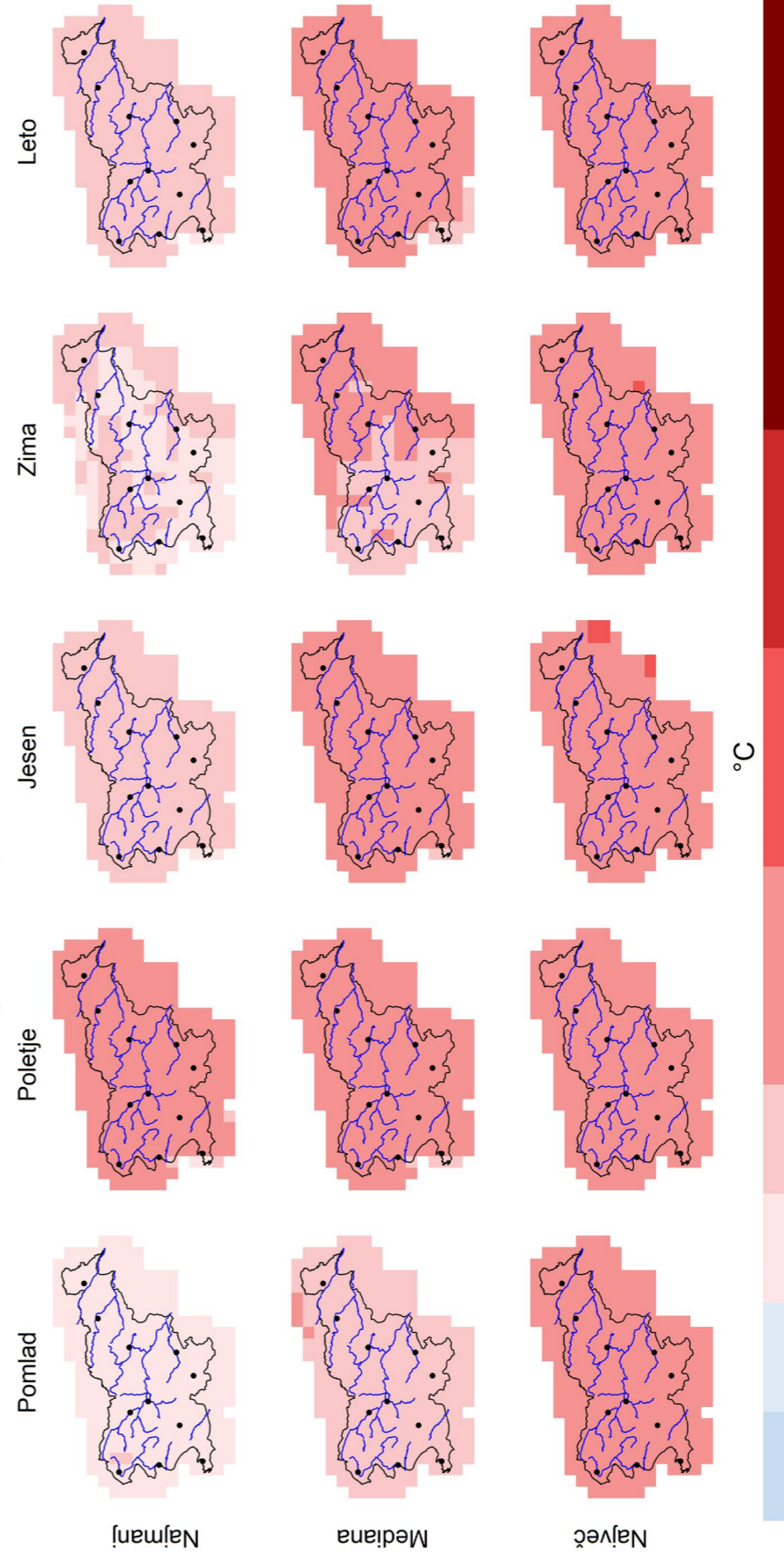
Slika 1.169 | Sprememba varnostne rezerve pred jesensko pozebo za temperaturni prag 5 °C pri najnižji temperaturi zraka, nižji od -2 °C, na devetih postajah v treh projekcijskih obdobjih glede na obdobje 1981–2010 in pripadajoča zanesljivost spremembe za dva scenarija

Povprečna temperatura, RCP2.6, 2011–2040

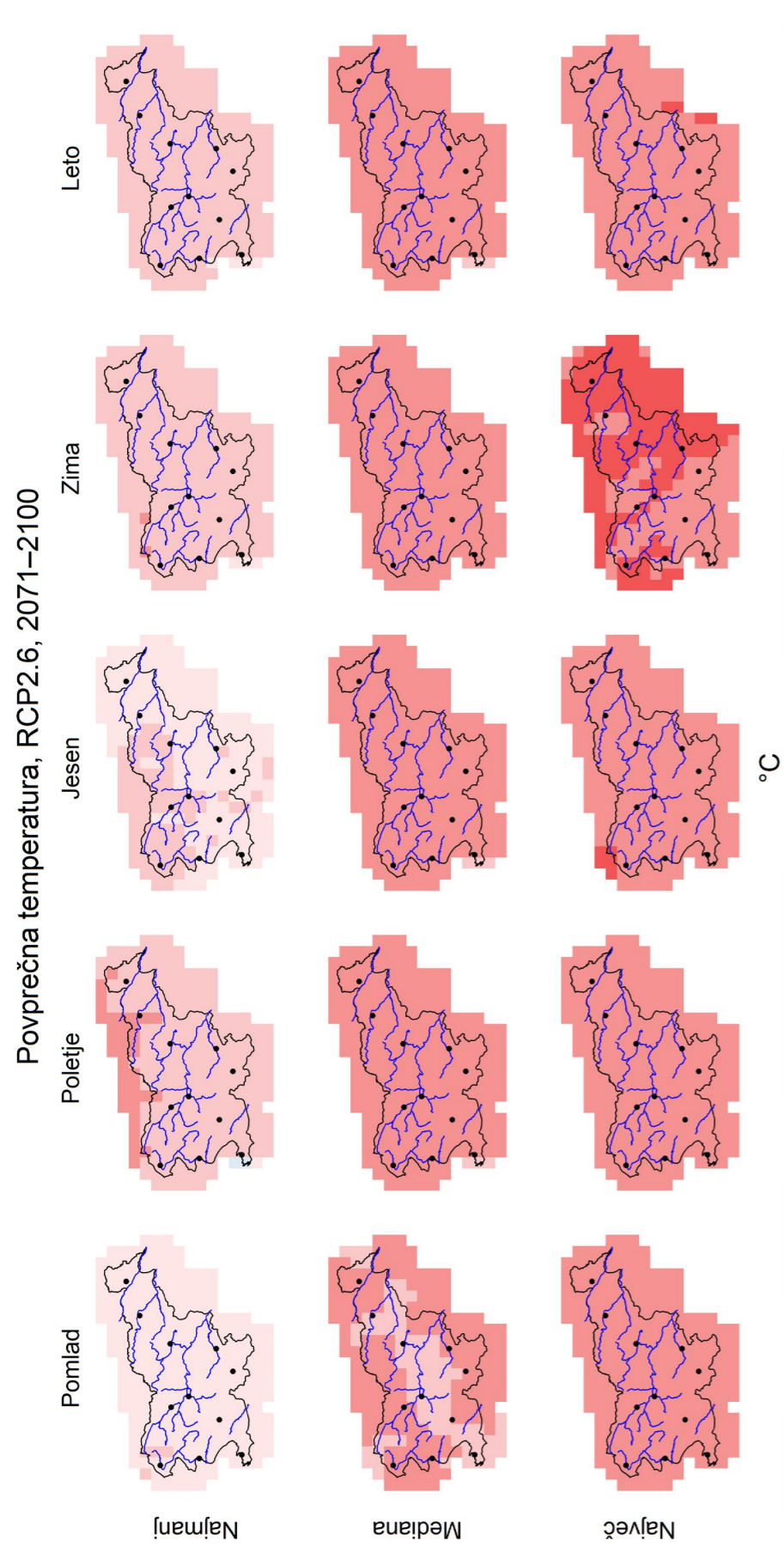


Slika 1.170 | Najmanjša vrednost, mediana in največja vrednost modelske spremembe v obdobju 2011–2040 glede na obdobje 1981–2010 za povprečno temperaturo po meteoroloških letnih časih in za celo leto po scenariju RCP2.6

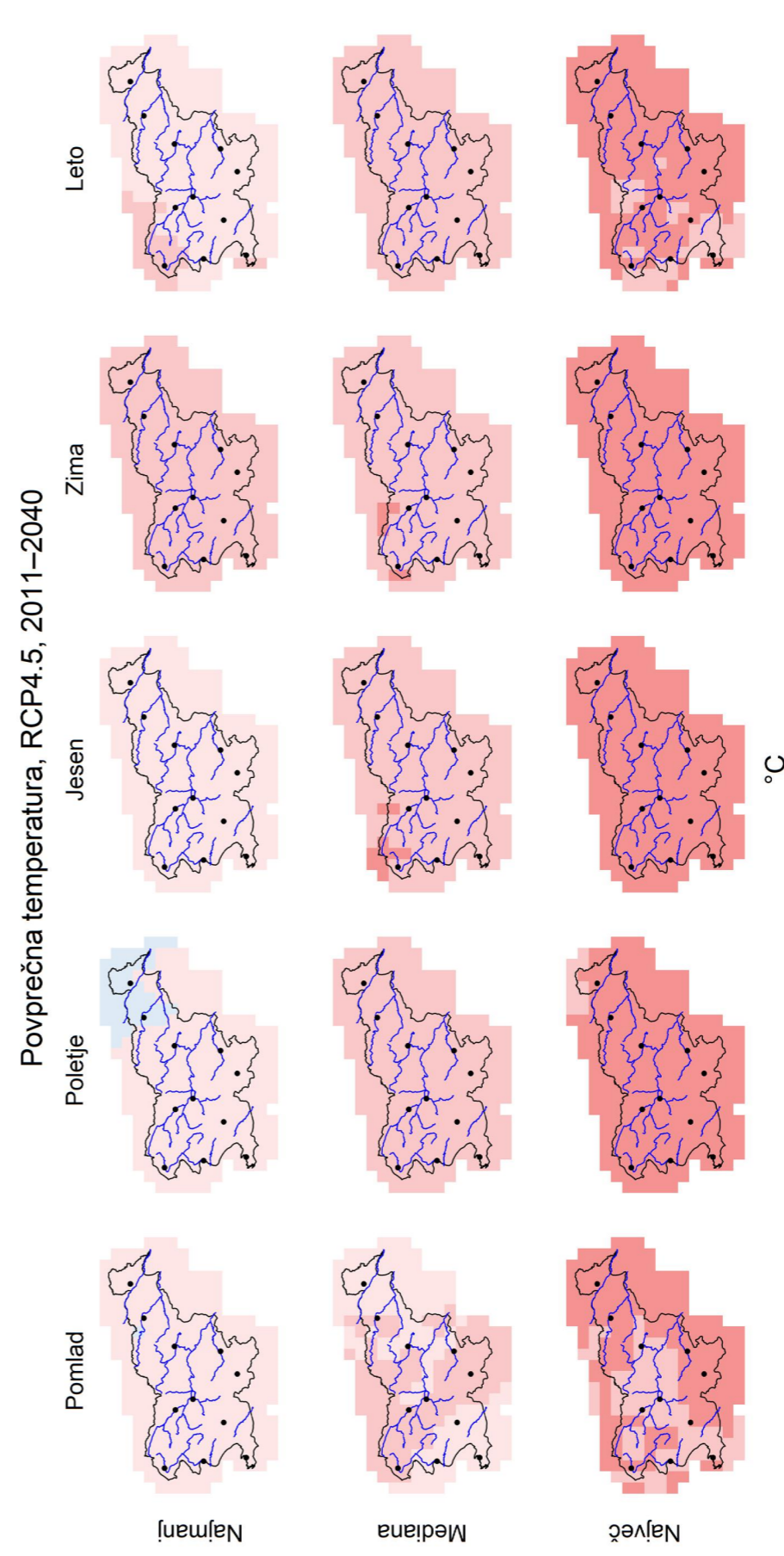
Povprečna temperatura, RCP2.6, 2041–2070



Slika 1.171 | Najmanjša vrednost, mediana in največja vrednost modelske spremembe v obdobju 2041–2070 glede na obdobje 1981–2010 za povprečno temperaturo po meteoroloških letnih časih in za celo leto po scenariju RCP2.6

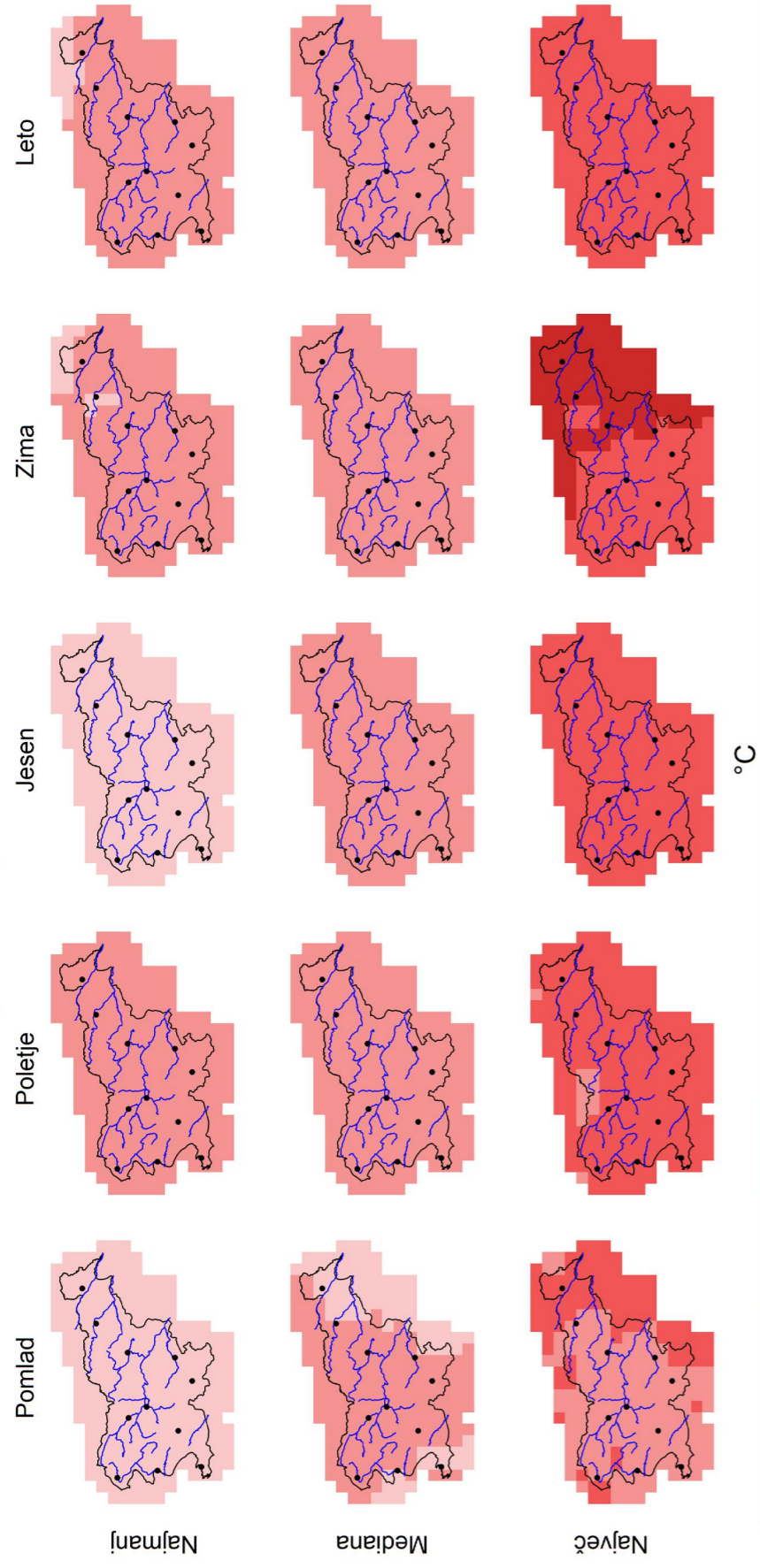


Slika 1.172 | Najmanjša vrednost, mediana in največja vrednost modelske spremembe v obdobju 2071–2100 glede na obdobje 1981–2010 za povprečno temperaturo po meteoroloških letnih časih in za celo leto po scenariju RCP2.6



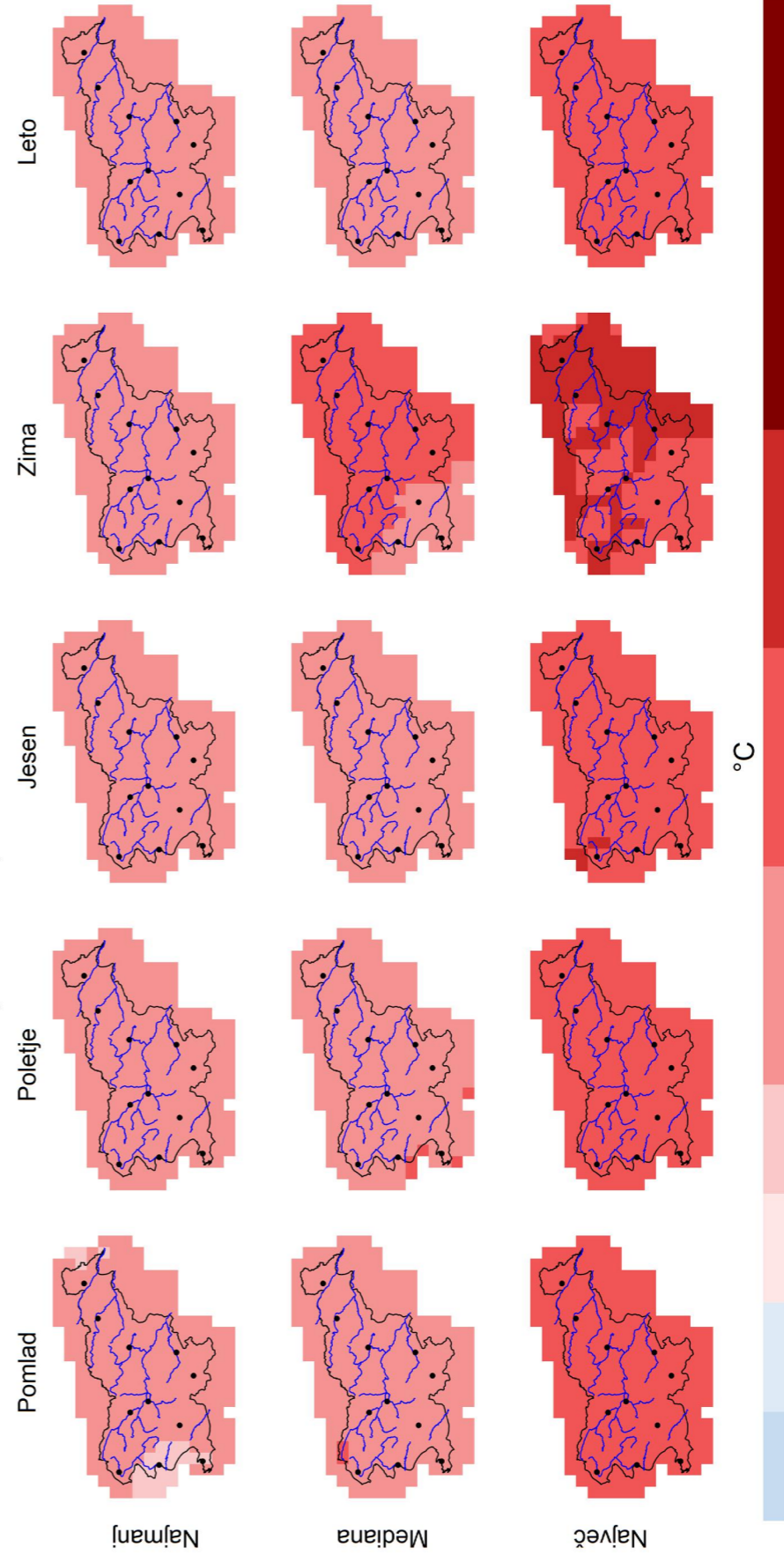
Slika 1.173 | Najmanjša vrednost, mediana in najvišja vrednost modelske spremembe v obdobju 2011–2040 glede na obdobje 1981–2010 za povprečno temperaturo po meteoroloških letnih časih in za celo leto po scenariju RCP4.5

Povprečna temperatura, RCP4.5, 2041–2070



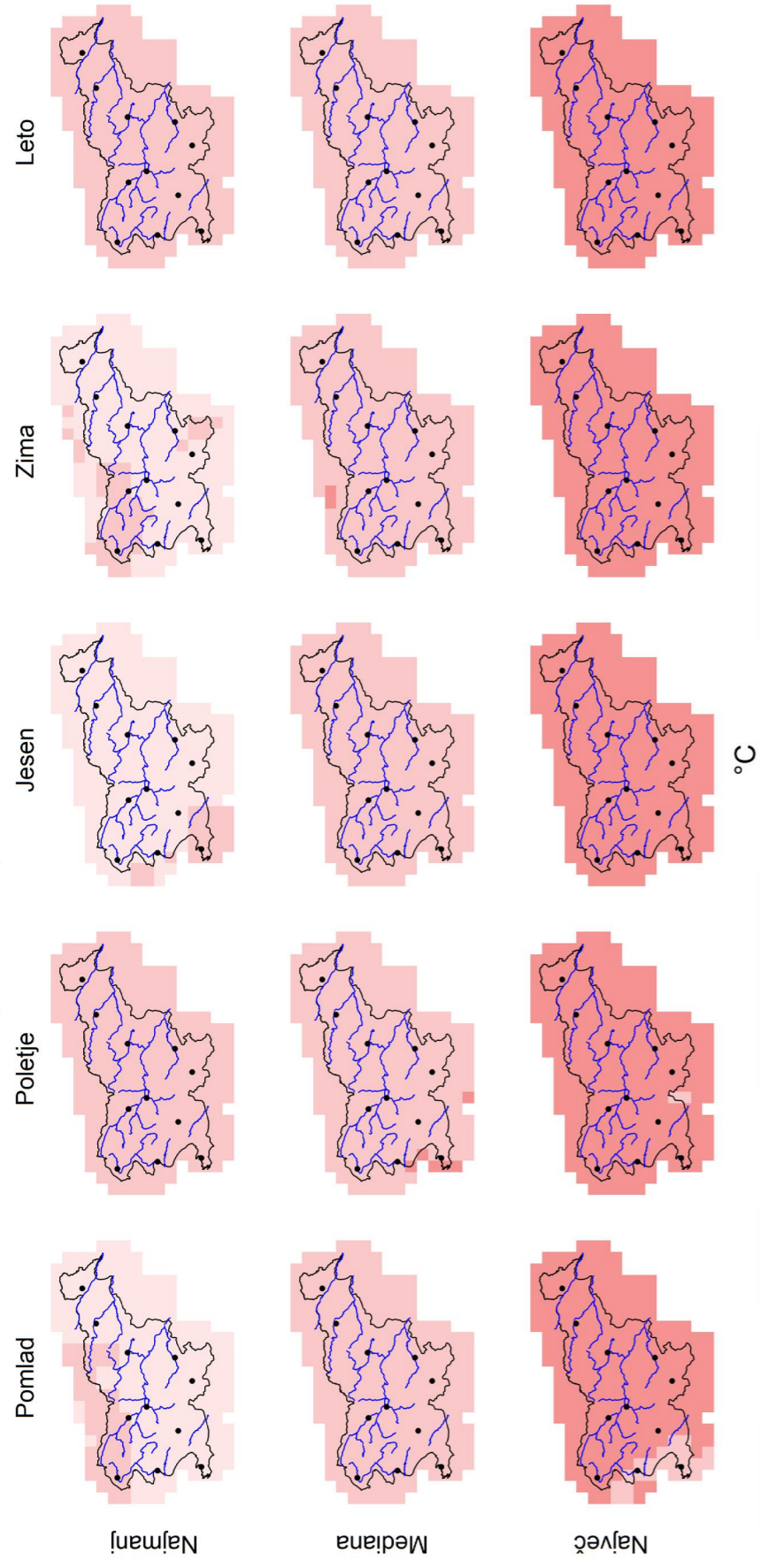
Slika 1.174 | Najmanjša vrednost, mediana in največja vrednost modelske spremembe v obdobju 2041–2070 glede na obdobje 1981–2010 za povprečno temperaturo po meteoroloških letnih časih in za celo leto po scenariju RCP4.5

Povprečna temperatura, RCP4.5, 2071–2100



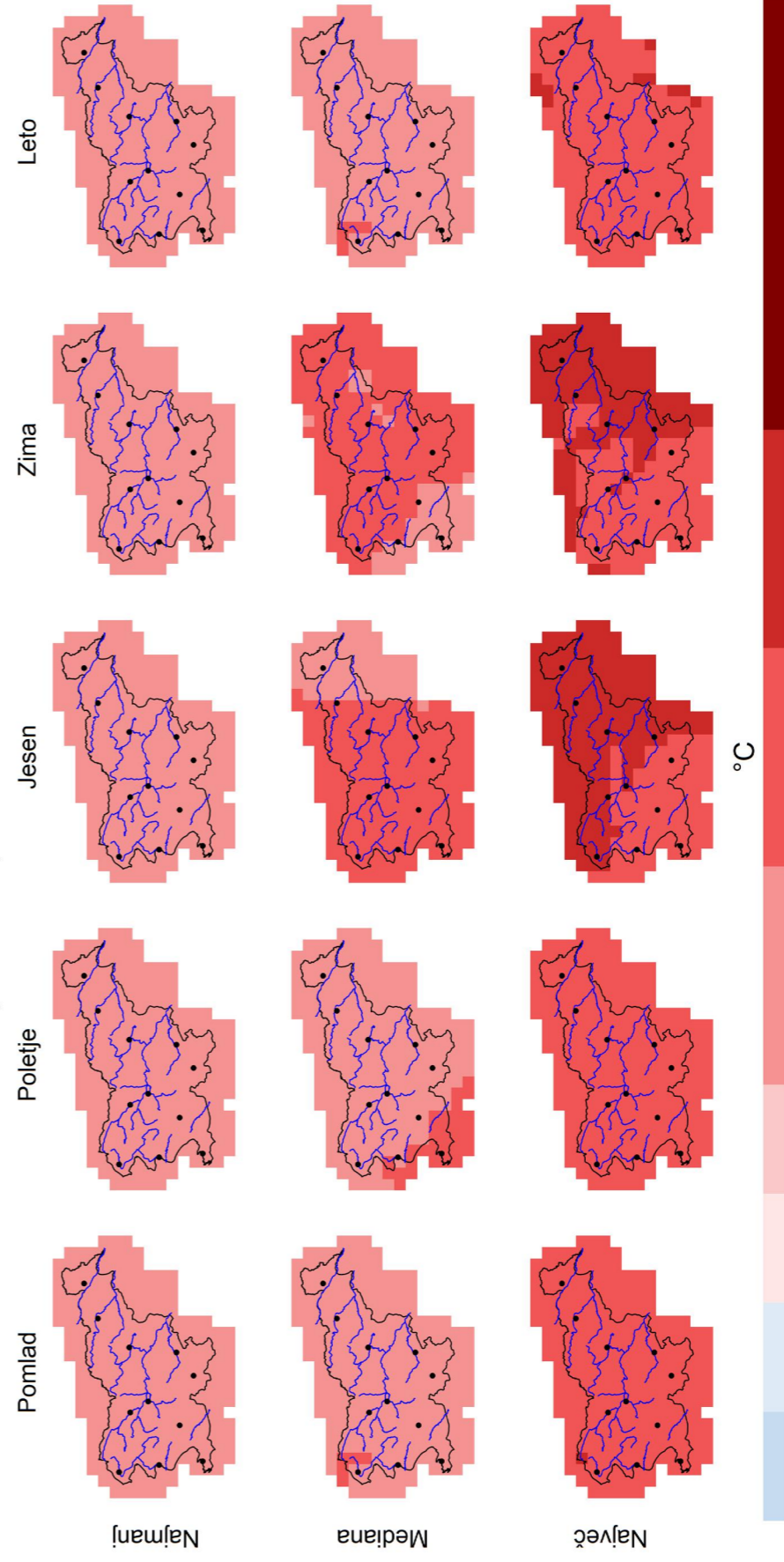
Slika 1.175 | Najmanjša vrednost, mediana in največja vrednost modelske spremembe v obdobju 2071–2100 glede na obdobje 1981–2010 za povprečno temperaturo po meteoroloških letnih časih in za celo leto po scenariju RCP4.5

Povprečna temperatura, RCP8.5, 2011–2040

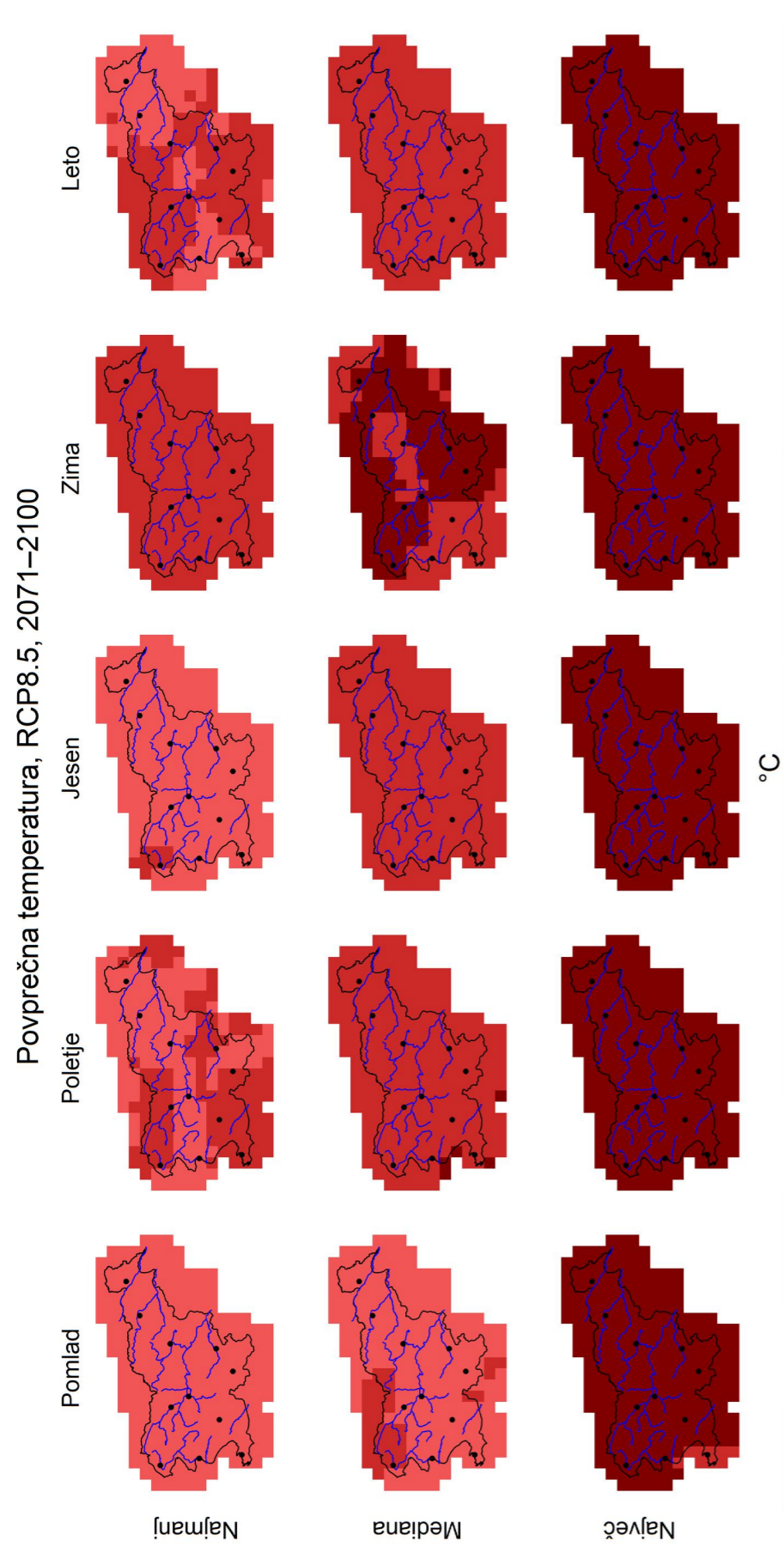


Slika 1.176 | Najmanjša vrednost, mediana in največja vrednost modelske spremembe v obdobju 2011–2040 glede na obdobje 1981–2010 za povprečno temperaturo po meteoroloških letnih časih in za celo leto po scenariju RCP8.5

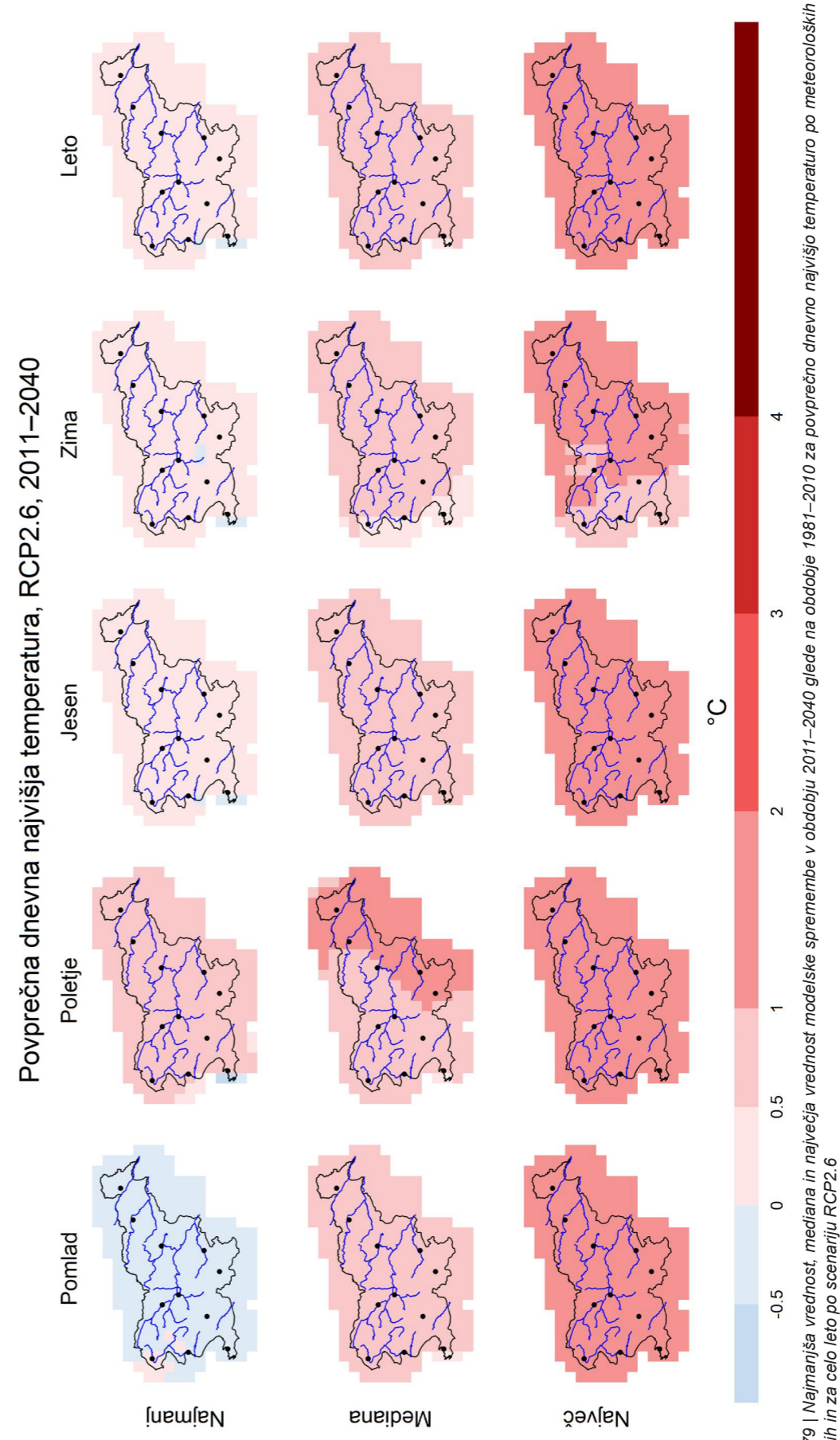
Povprečna temperatura, RCP8.5, 2041–2070



Slika 1.177 | Najmanjša vrednost, mediana in največja vrednost modelske spremembe v obdobju 2041–2070 glede na obdobje 1981–2010 za povprečno temperaturo po meteoroloških letnih časih in za celo leto po scenariju RCP8.5

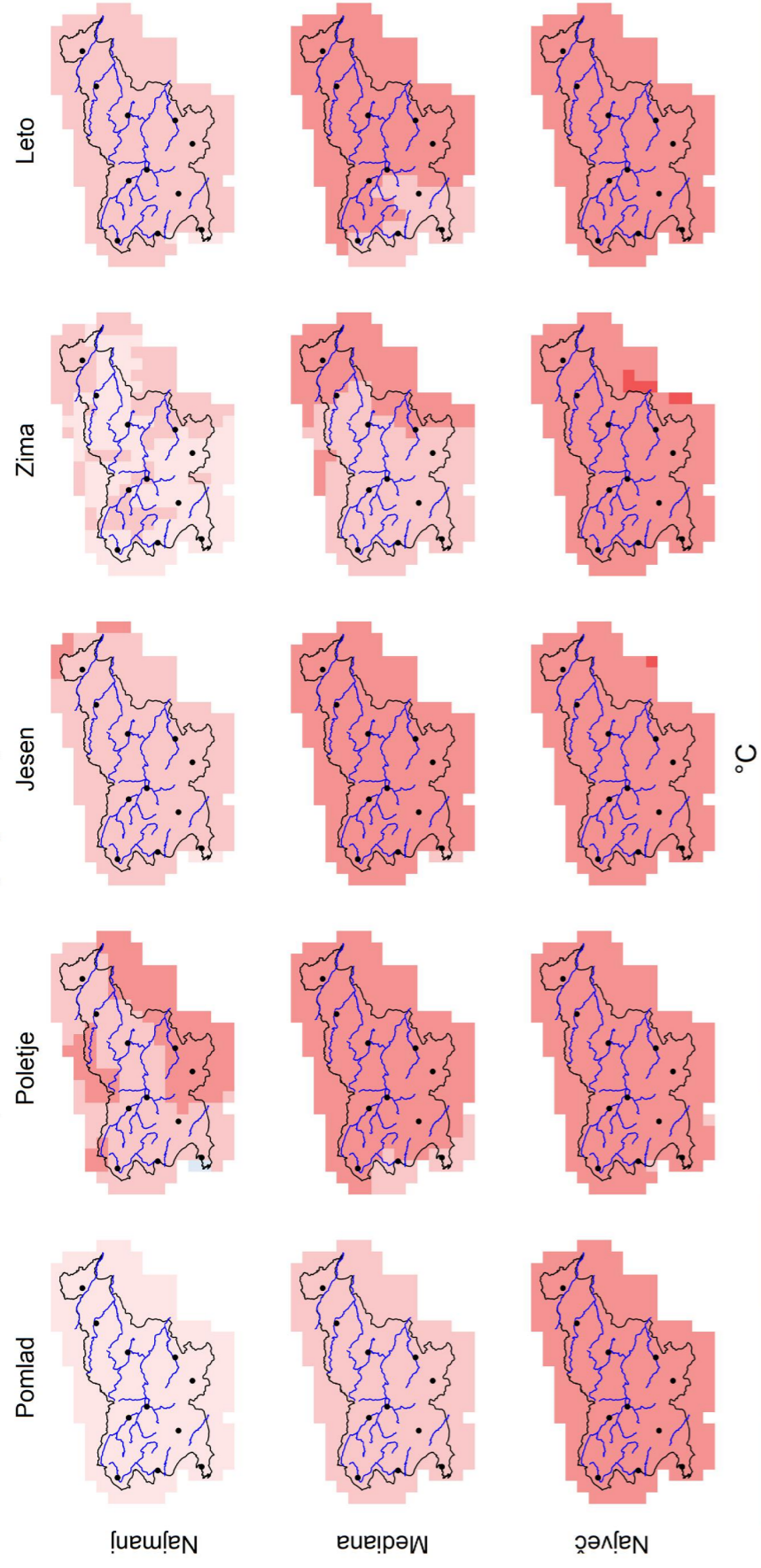


Slika 1.178 | Najmanjša vrednost, mediana in največja vrednost modelske spremembe v obdobju 2071–2100 glede na obdobje 1981–2010 za povprečno temperaturo po meteoroloških letnih časih in za celo leto po scenariju RCP8.5



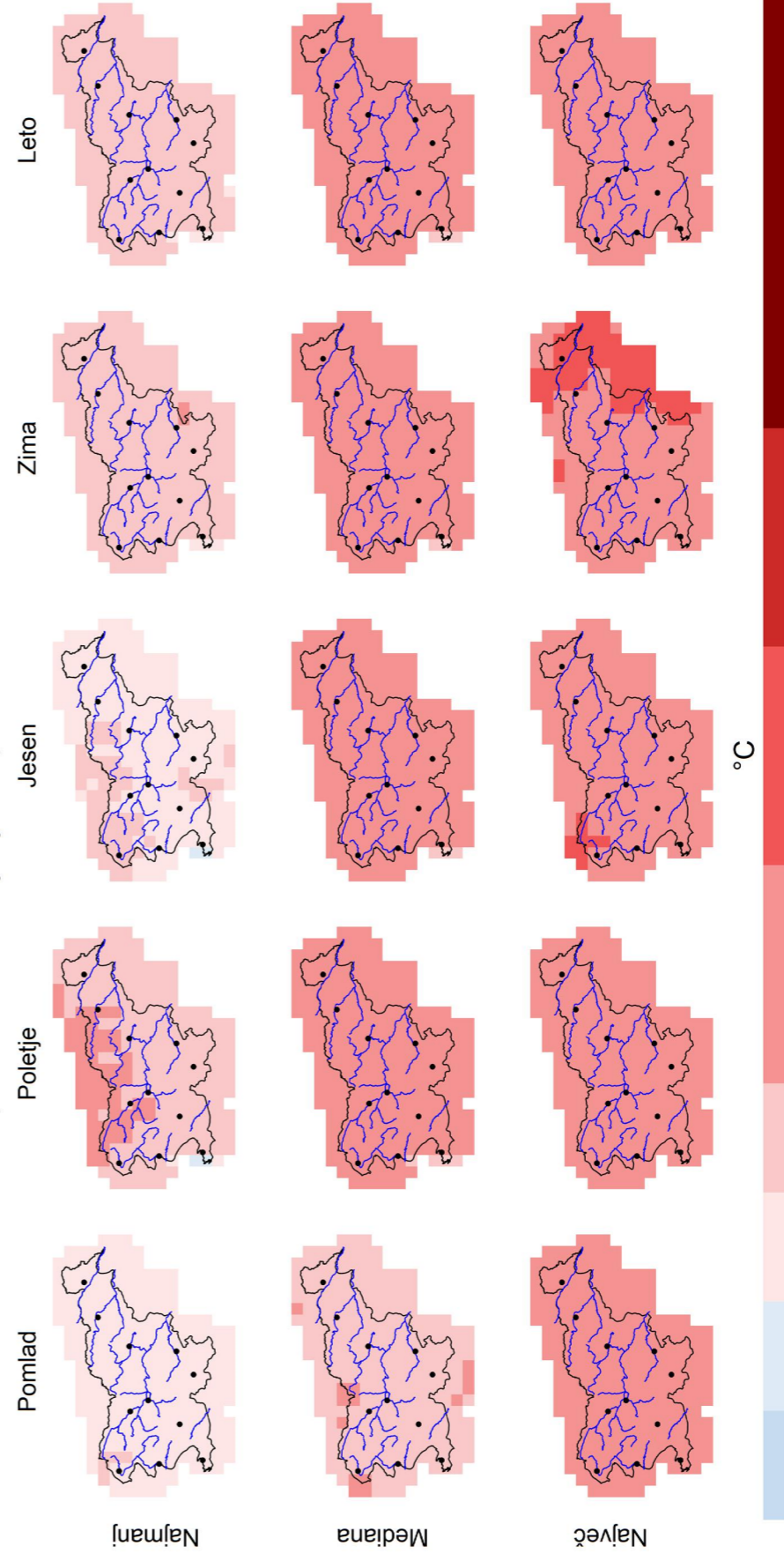
Slika 1.179 | Najmanjša vrednost, mediana in največja vrednost modelske spremembe v obdobju 2011–2040 glede na obdobje 1981–2010 za povprečno dnevno najvišjo temperaturo po meteoroloških letnih časih in za celo leto po scenariju RCP2.6

Povprečna dnevna najvišja temperatura, RCP2.6, 2041–2070



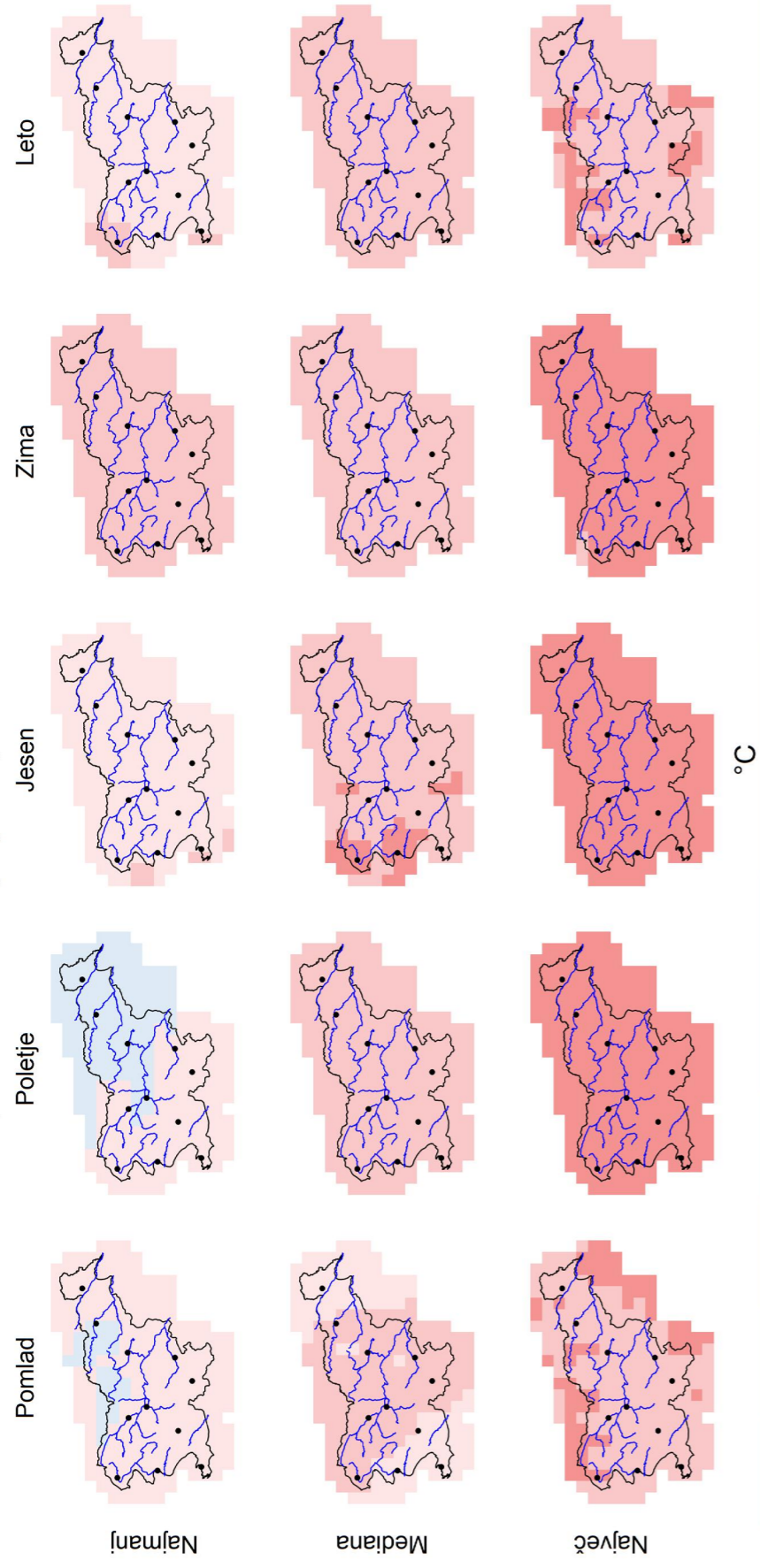
Slika 1.180 | Najmanjša vrednost, mediana in največja vrednost modelske spremembe v obdobju 2041–2070 glede na obdobje 1981–2010 za povprečno dnevno najvišjo temperaturo po meteoroloških letnih časih in za celo leto po scenariju RCP2.6

Povprečna dnevna najvišja temperatura, RCP2.6, 2071–2100



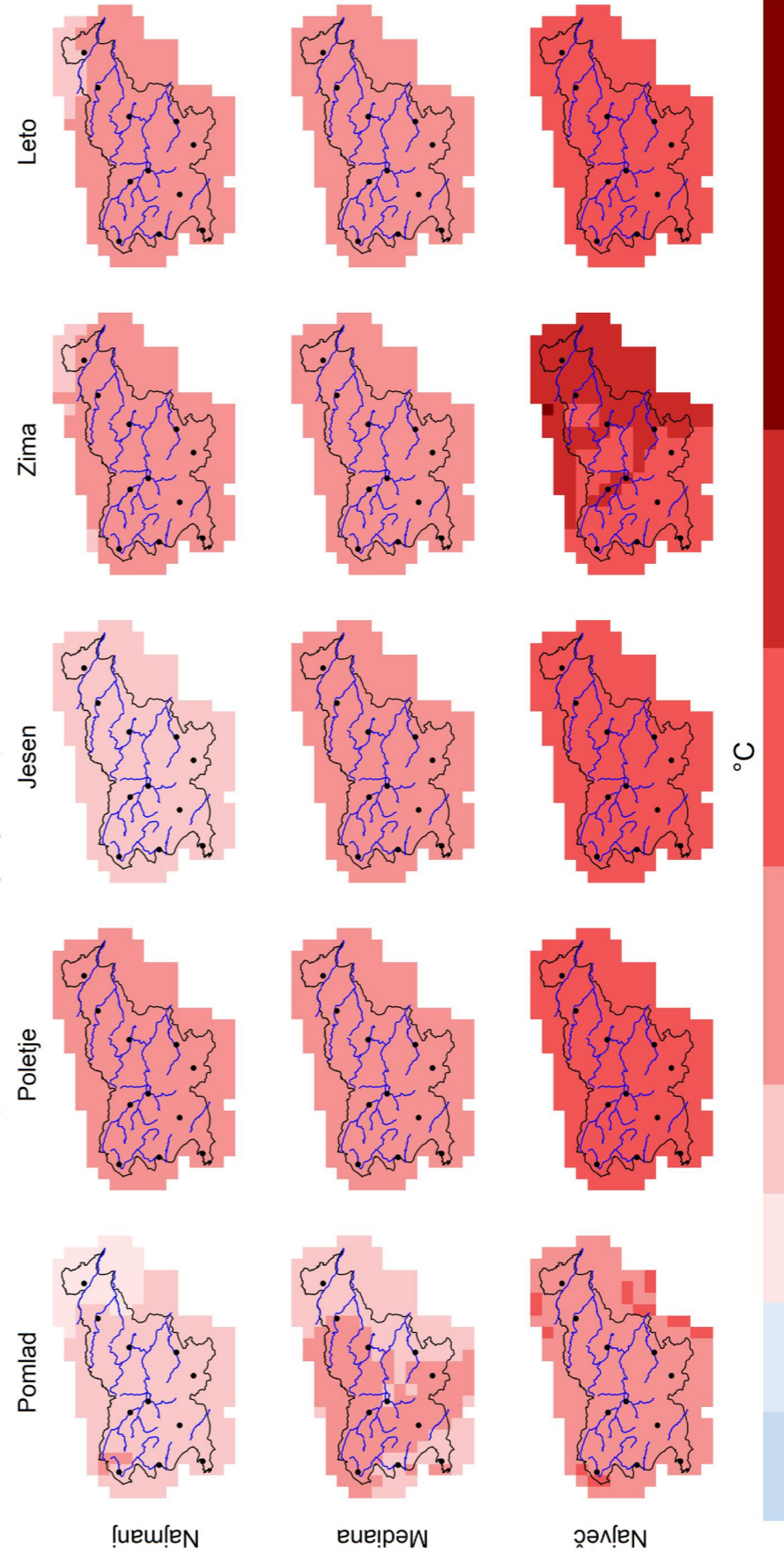
Slika 1.181 | Najmanjša vrednost, mediana in največja vrednost modelske spremembe v obdobju 2071–2100 glede na obdobje 1981–2010 za povprečno dnevno najvišjo temperaturo po meteoroloških letnih časih in za celo leto po scenariju RCP2.6

Povprečna dnevna najvišja temperatura, RCP4.5, 2011–2040



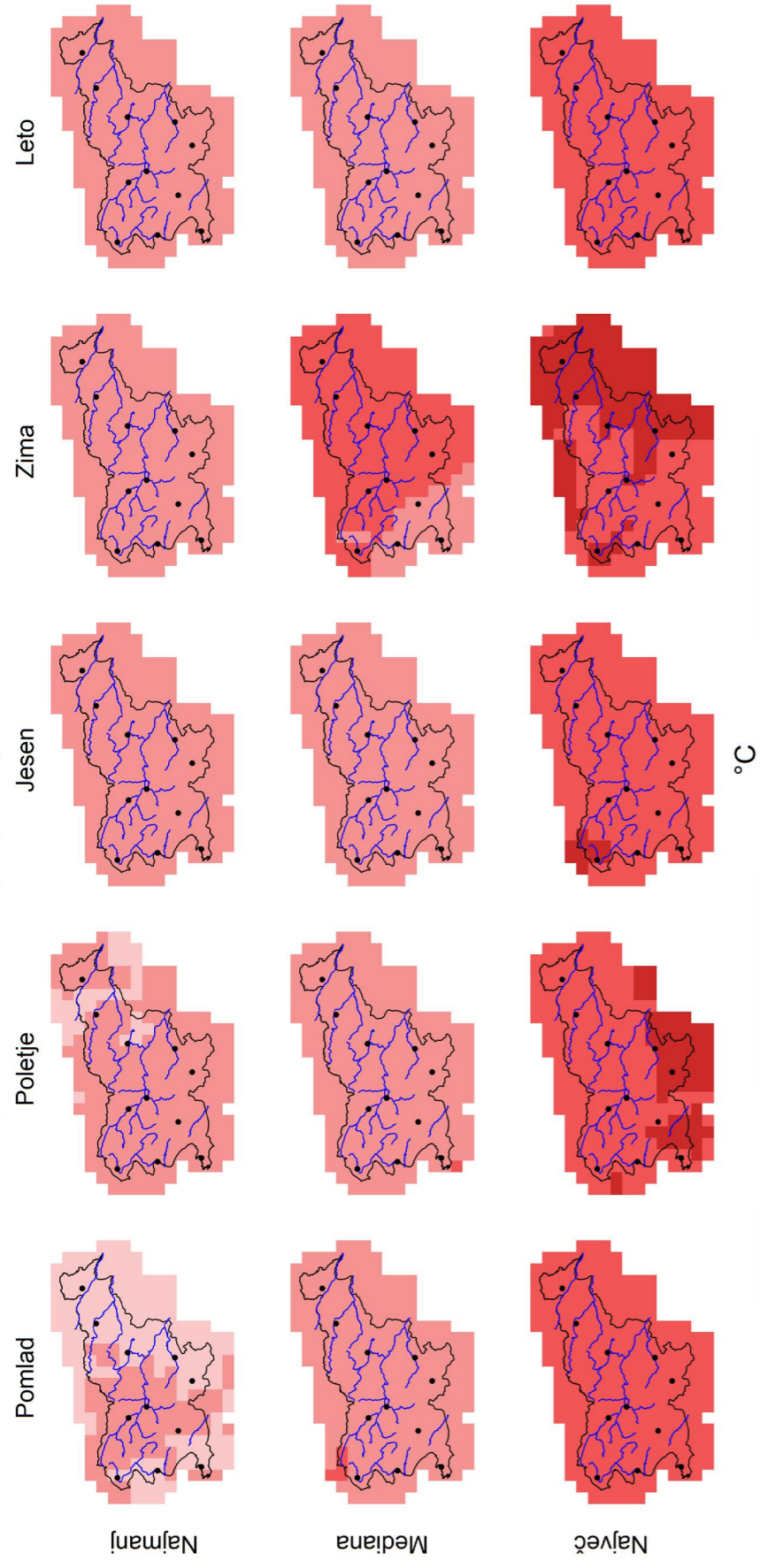
Slika 1.182 | Najmanjša vrednost, mediana in največja vrednost modelske spremembe v obdobju 2011–2040 glede na obdobje 1981–2010 za povprečno dnevno najvišjo temperaturo po meteoroloških letnih časih in za celo leto po scenariju RCP4.5

Povprečna dnevna najvišja temperatura, RCP4.5, 2041–2070



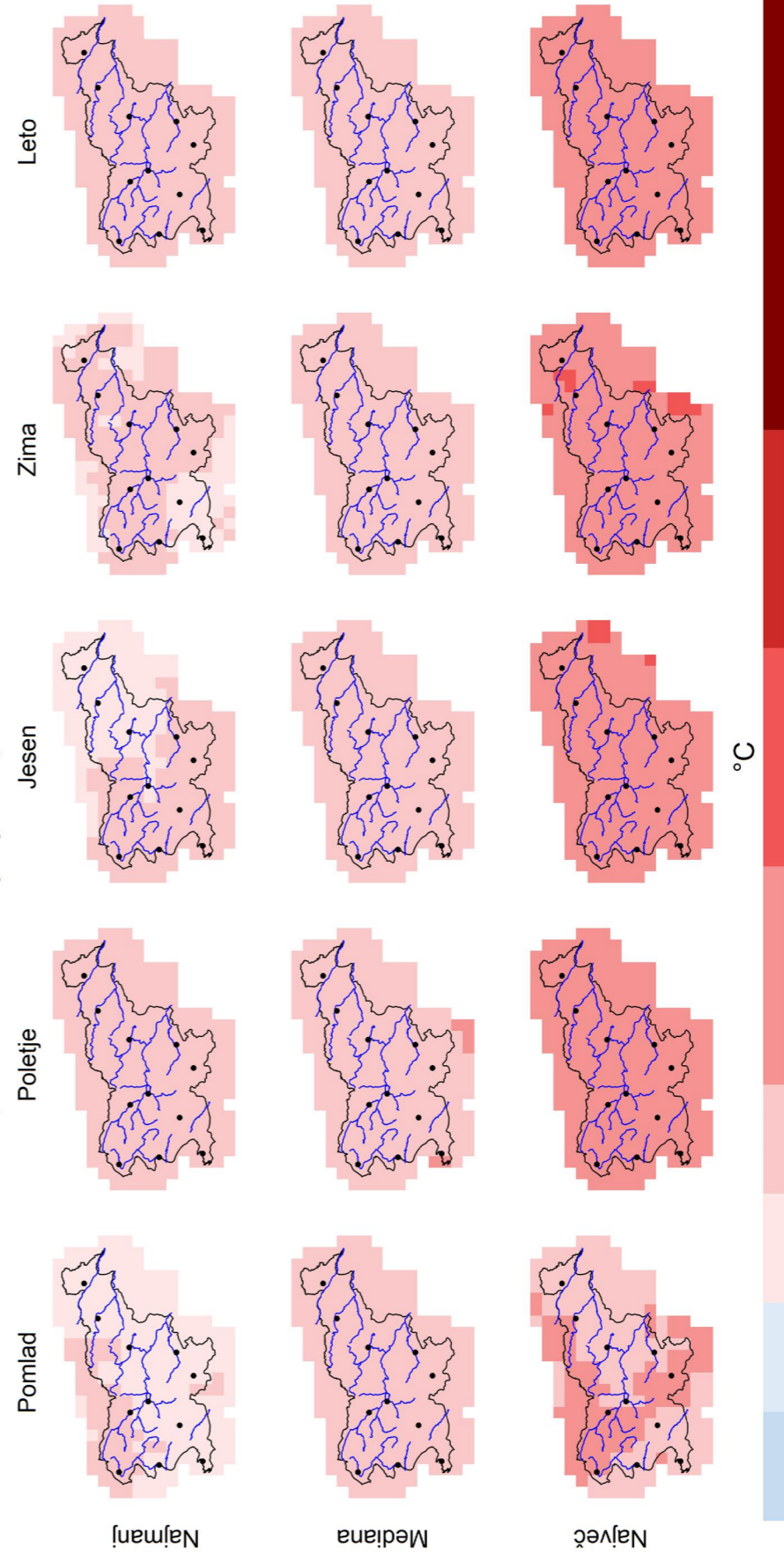
Slika 1.183 | Najmanjša vrednost, mediana in največja vrednost modelske spremembe v obdobju 2041–2070 glede na obdobje 1981–2010 za povprečno dnevno najvišjo temperaturo po meteoroloških letnih časih in za celo leto po scenariju RCP4.5

Povprečna dnevna najvišja temperatura, RCP4.5, 2071–2100



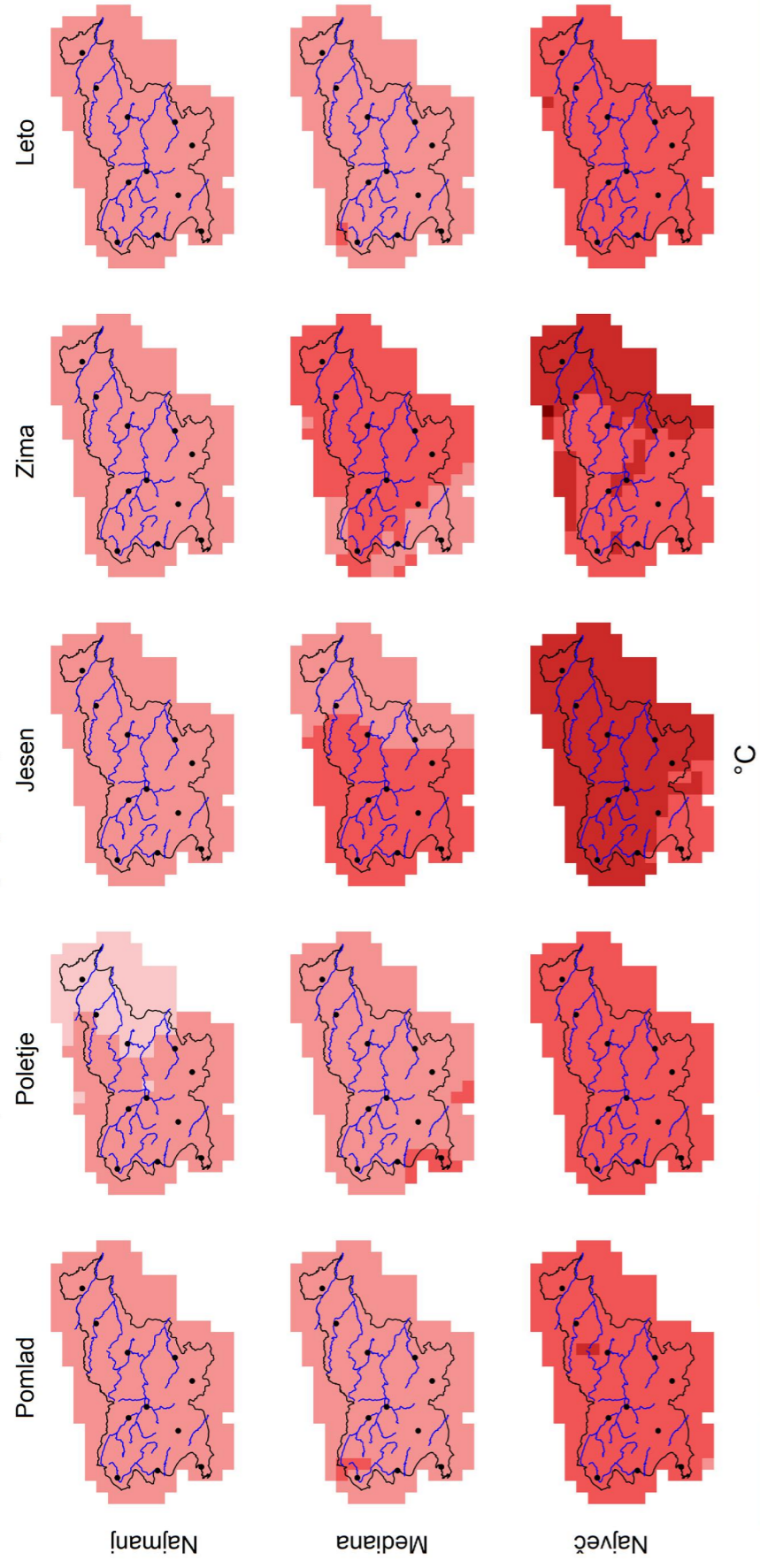
Slika 1.184 | Najmanjša vrednost, mediana in največja vrednost modelske spremembe v obdobju 2071–2100 glede na obdobje 1981–2010 za povprečno dnevno najvišjo temperaturo po meteoroloških letnih časih in za celo leto po scenariju RCP4.5

Povprečna dnevna najvišja temperatura, RCP8.5, 2011–2040



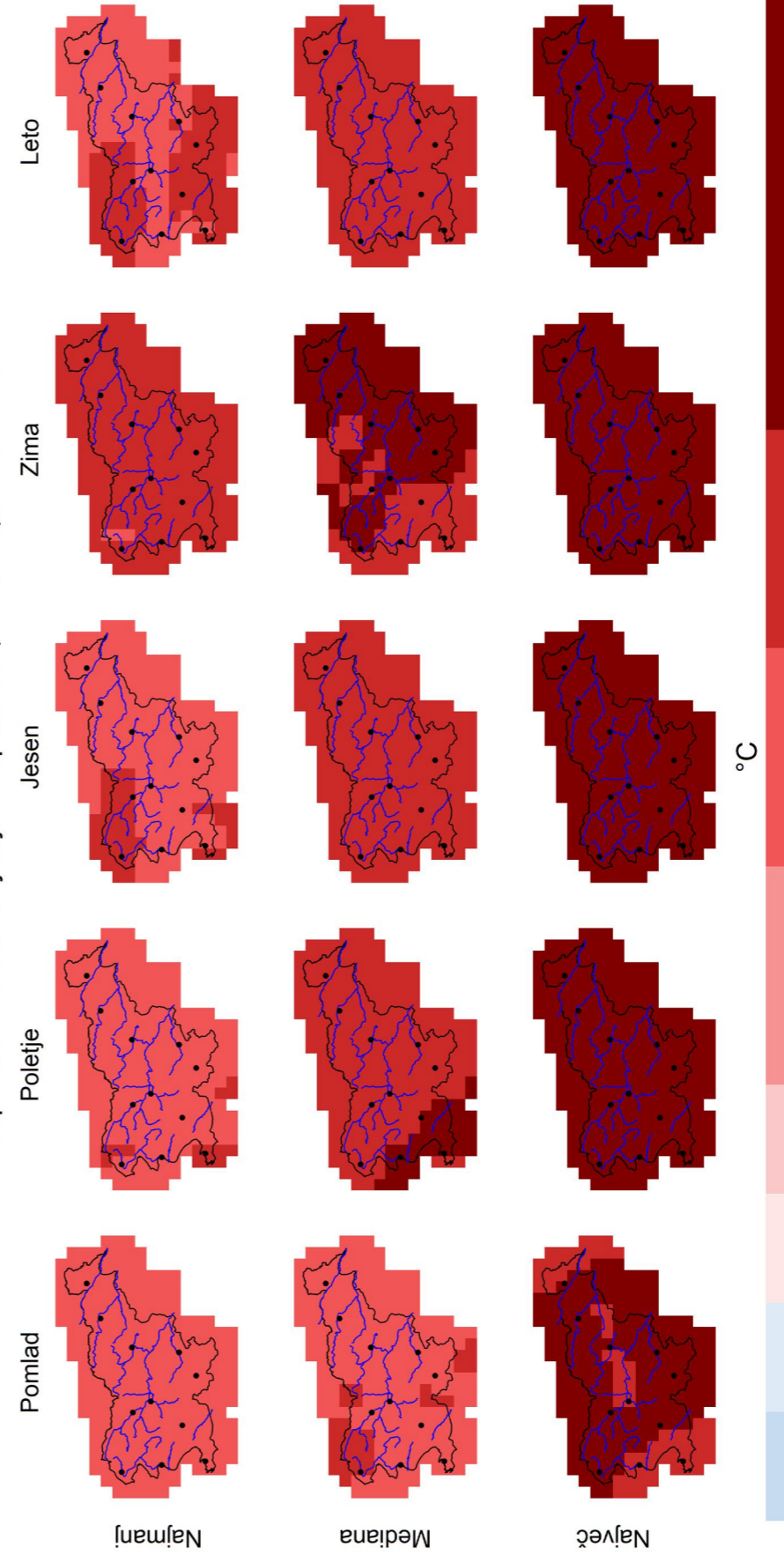
Slika 1.185 | Najmanjša vrednost, mediana in največja vrednost modelske spremembe v obdobju 2011–2040 glede na obdobje 1981–2010 za povprečno dnevno najvišjo temperaturo po meteoroloških letnih časih in za celo leto po scenariju RCP8.5

Povprečna dnevna najvišja temperatura, RCP8.5, 2041–2070



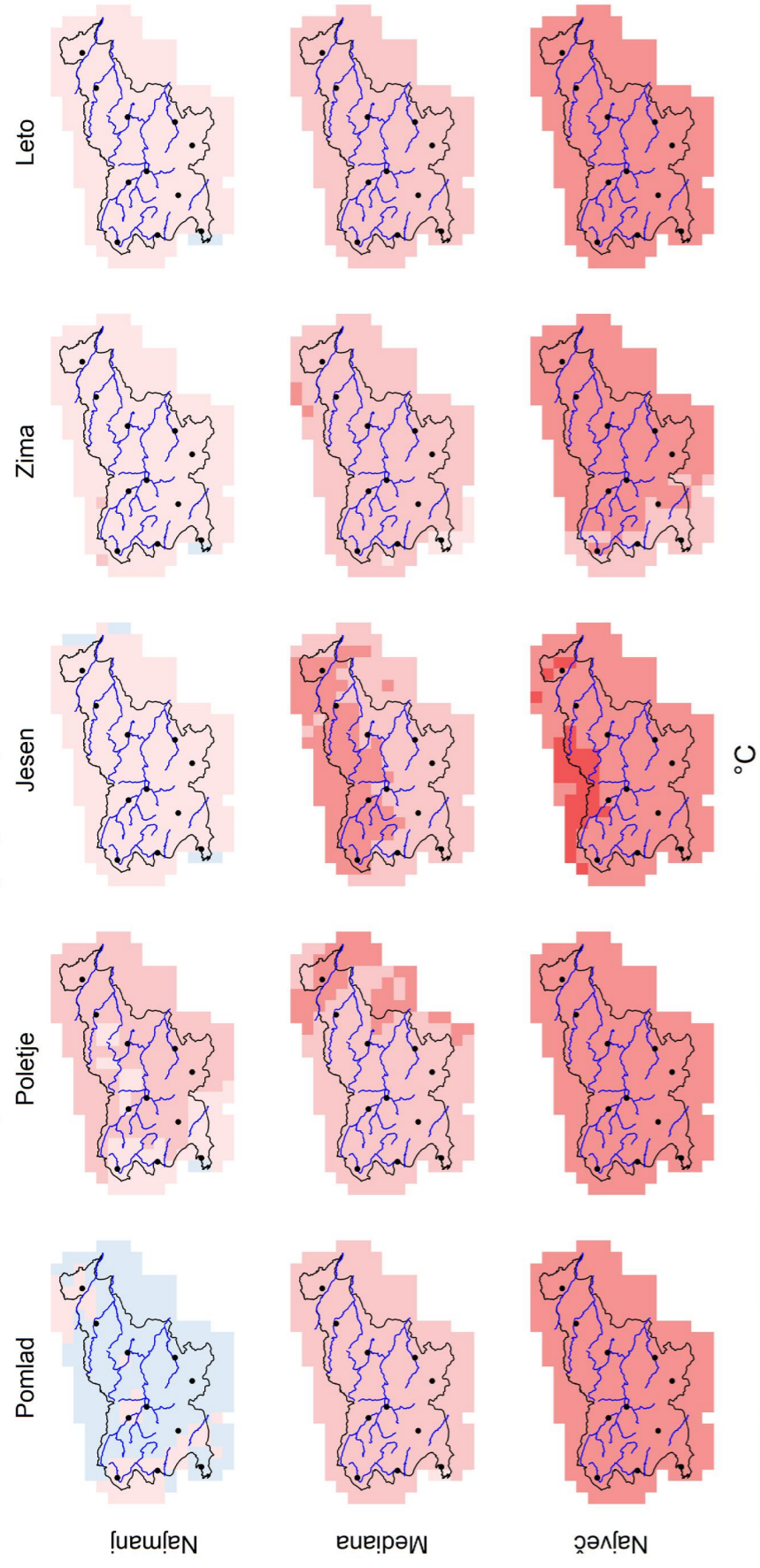
Slika 1.186 | Najmanjša vrednost, mediana in največja vrednost modelske spremembe v obdobju 2041–2070 glede na obdobje 1981–2010 za povprečno dnevno najvišjo temperaturo po meteoroloških letnih časih in za celo leto po scenariju RCP8.5

Povprečna dnevna najvišja temperatura, RCP8.5, 2071–2100



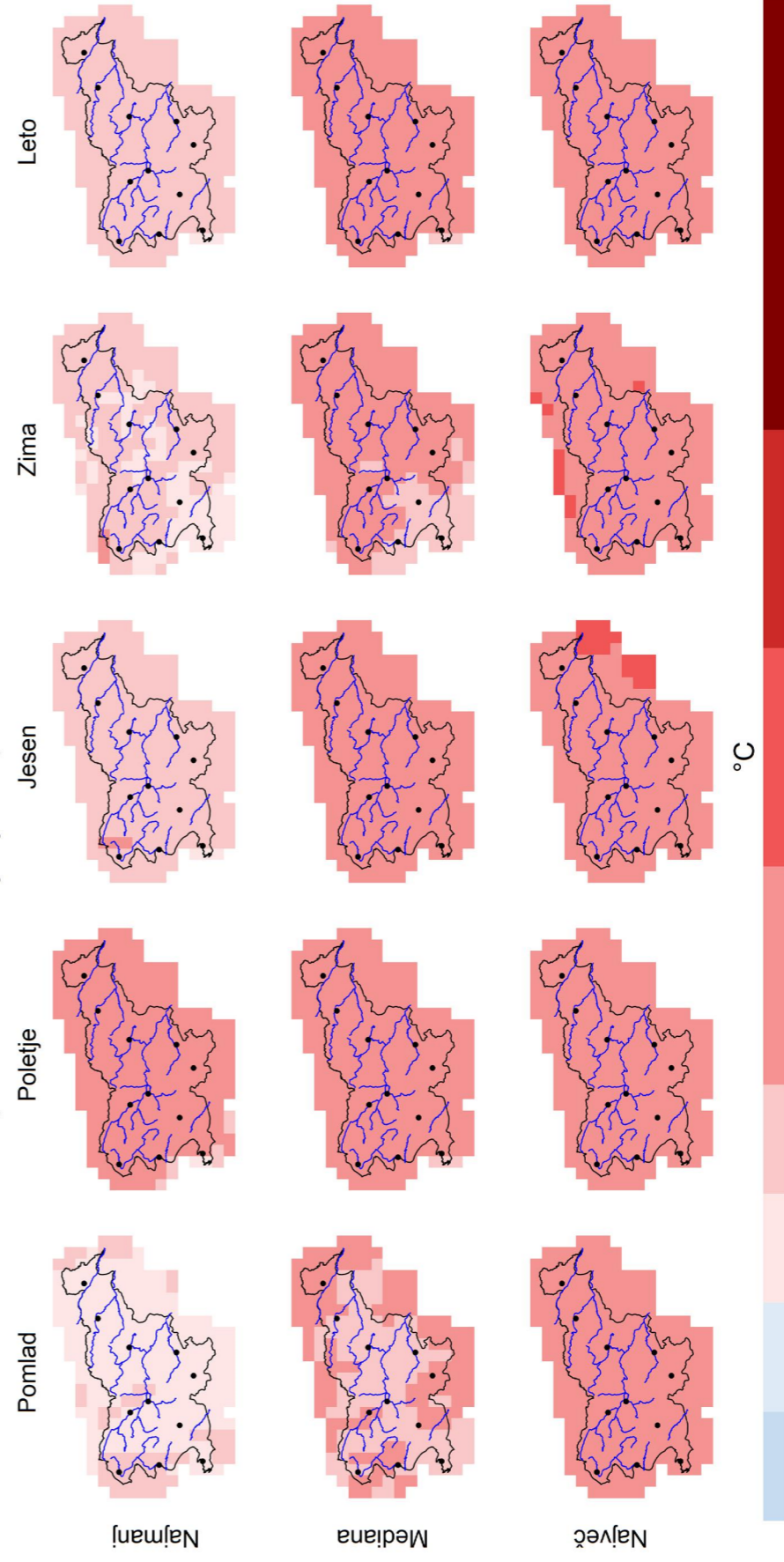
Slika 1.187 | Najmanjša vrednost, mediana in največja vrednost modelske spremembe v obdobju 2071–2100 glede na obdobje 1981–2010 za povprečno dnevno najvišjo temperaturo po meteoroloških letnih časih in za celo leto po scenariju RCP8.5

Povprečna dnevna najnižja temperatura, RCP2.6, 2011–2040



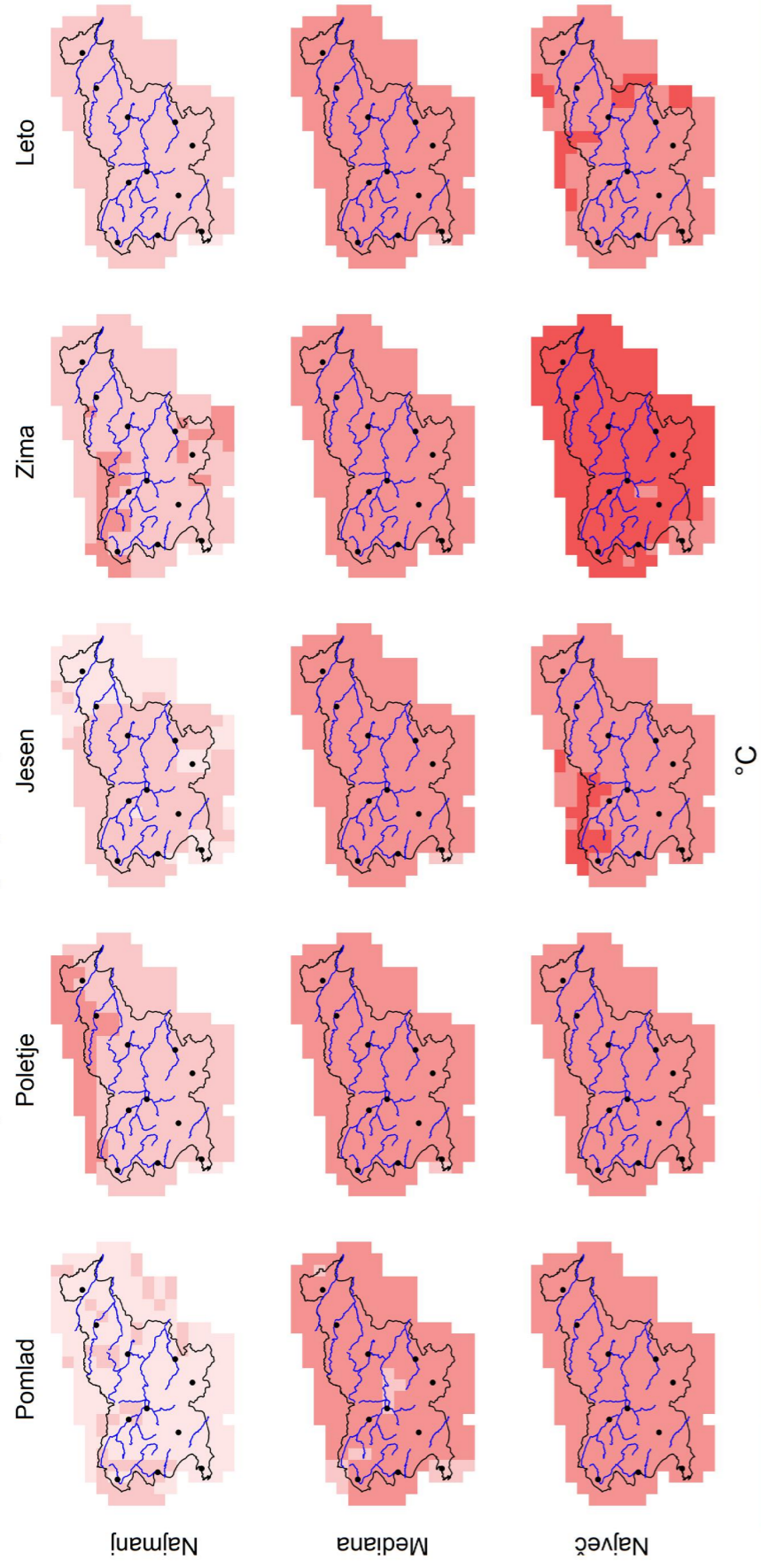
Slika 1.188 | Najmanjša vrednost, mediana in največja vrednost modelske spremembe v obdobju 2011–2040 glede na obdobje 1981–2010 za povprečno dnevno najnižjo temperaturo po meteoroloških letnih časih in za celo leto po scenariju RCP2.6

Povprečna dnevna najnižja temperatura, RCP2.6, 2041–2070



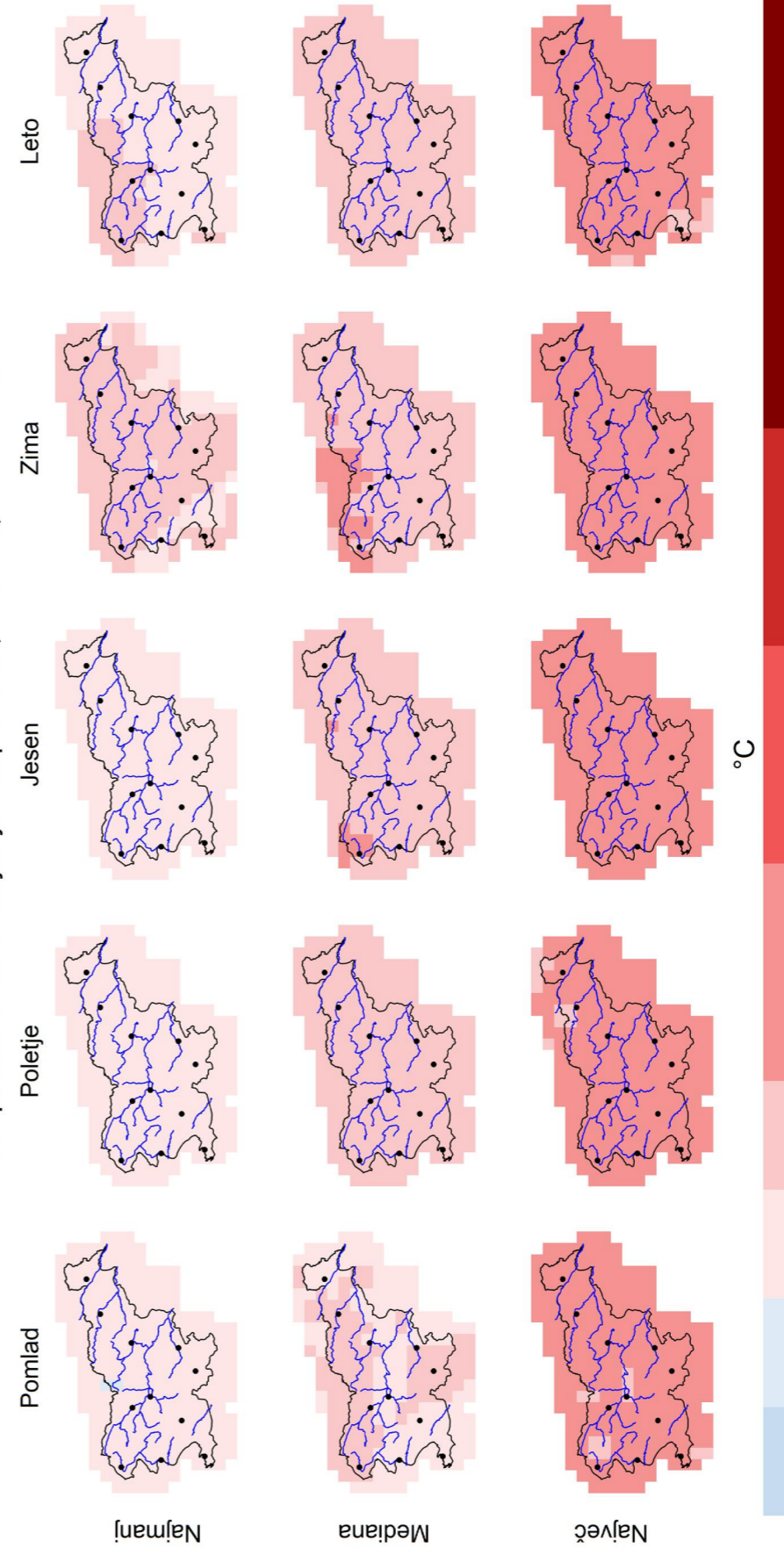
Slika 1.189 | Najmanjša vrednost, mediana in največja vrednost modelske spremembe v obdobju 2041–2070 glede na obdobje 1981–2010 za povprečno dnevno najnižjo temperaturo po meteoroloških letnih časih in za celo leto po scenariju RCP2.6

Povprečna dnevna najnižja temperatura, RCP2.6, 2071–2100



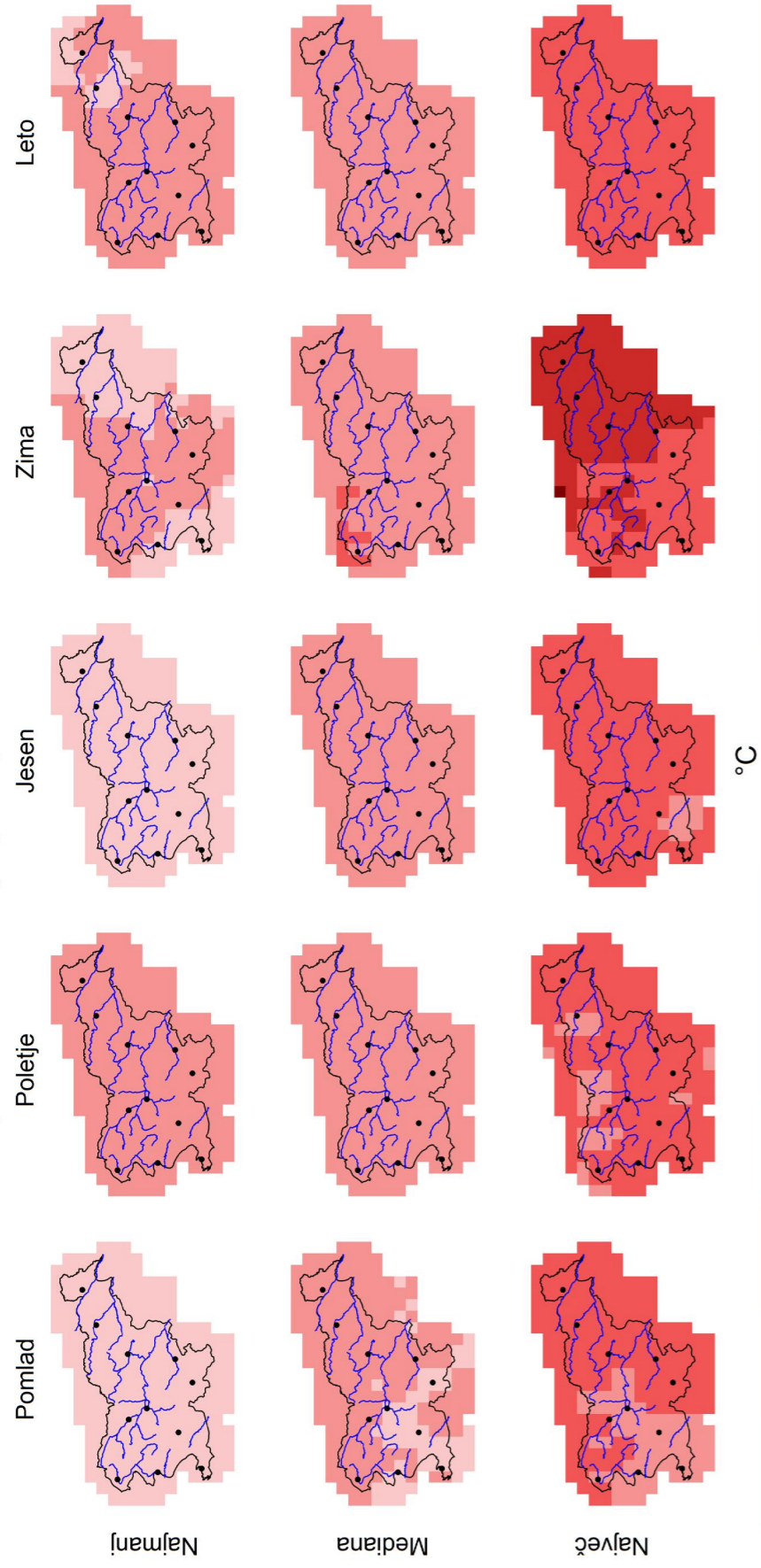
Slika 1.190 | Najmanjša vrednost, mediana in največja vrednost modelske spremembe v obdobju 2071–2100 glede na obdobje 1981–2010 za povprečno dnevno najnižjo temperaturo po meteoroloških letnih časih in za celo leto po scenariju RCP2.6

Povprečna dnevna najnižja temperatura, RCP4.5, 2011–2040



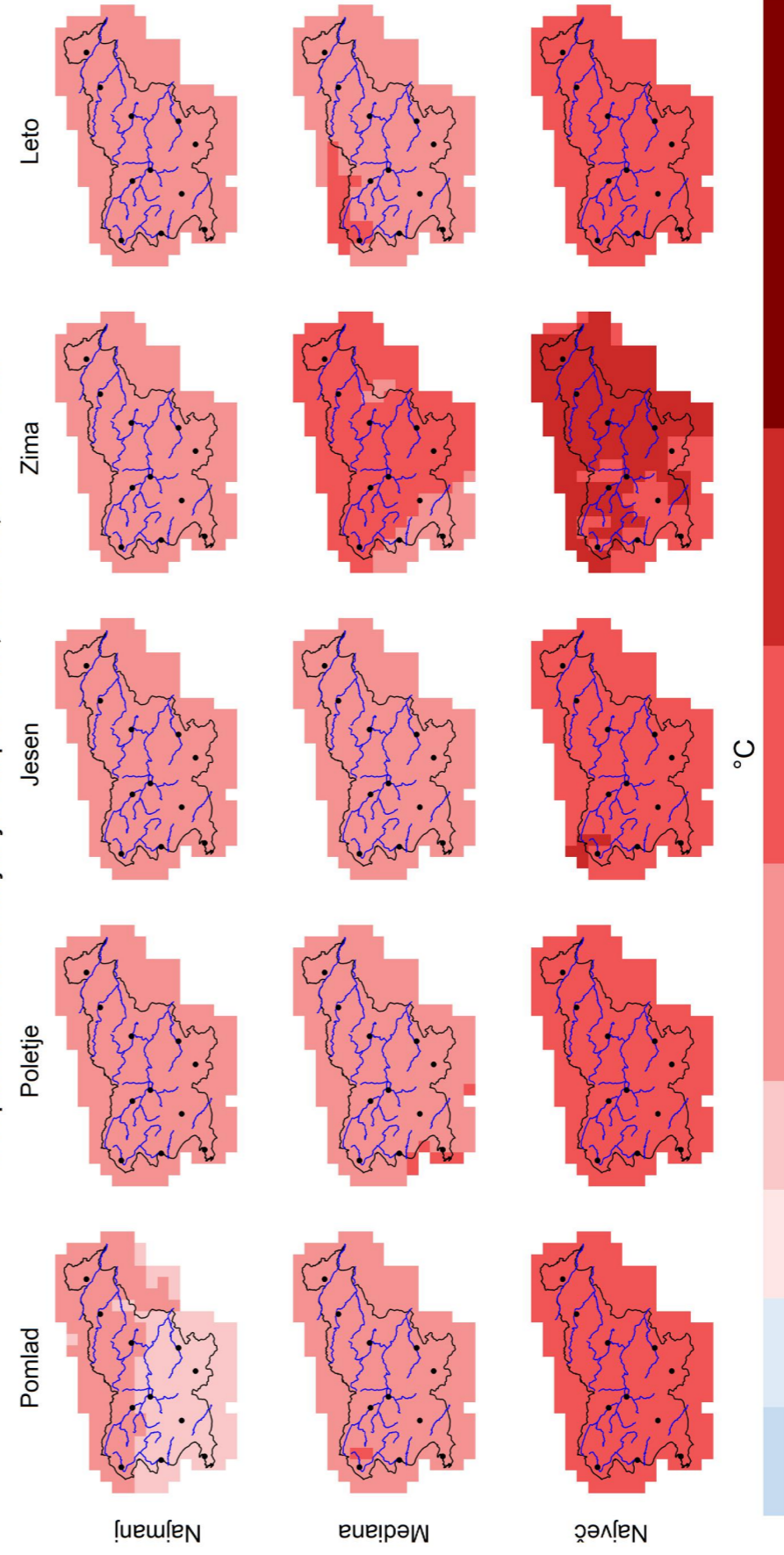
Slika 1.191 | Najmanjša vrednost, mediana in največja vrednost modelske spremembe v obdobju 2011–2040 glede na obdobje 1981–2010 za povprečno dnevno najnižjo temperaturo po meteoroloških letnih časih in za celo leto po scenariju RCP4.5

Povprečna dnevna najnižja temperatura, RCP4.5, 2041–2070



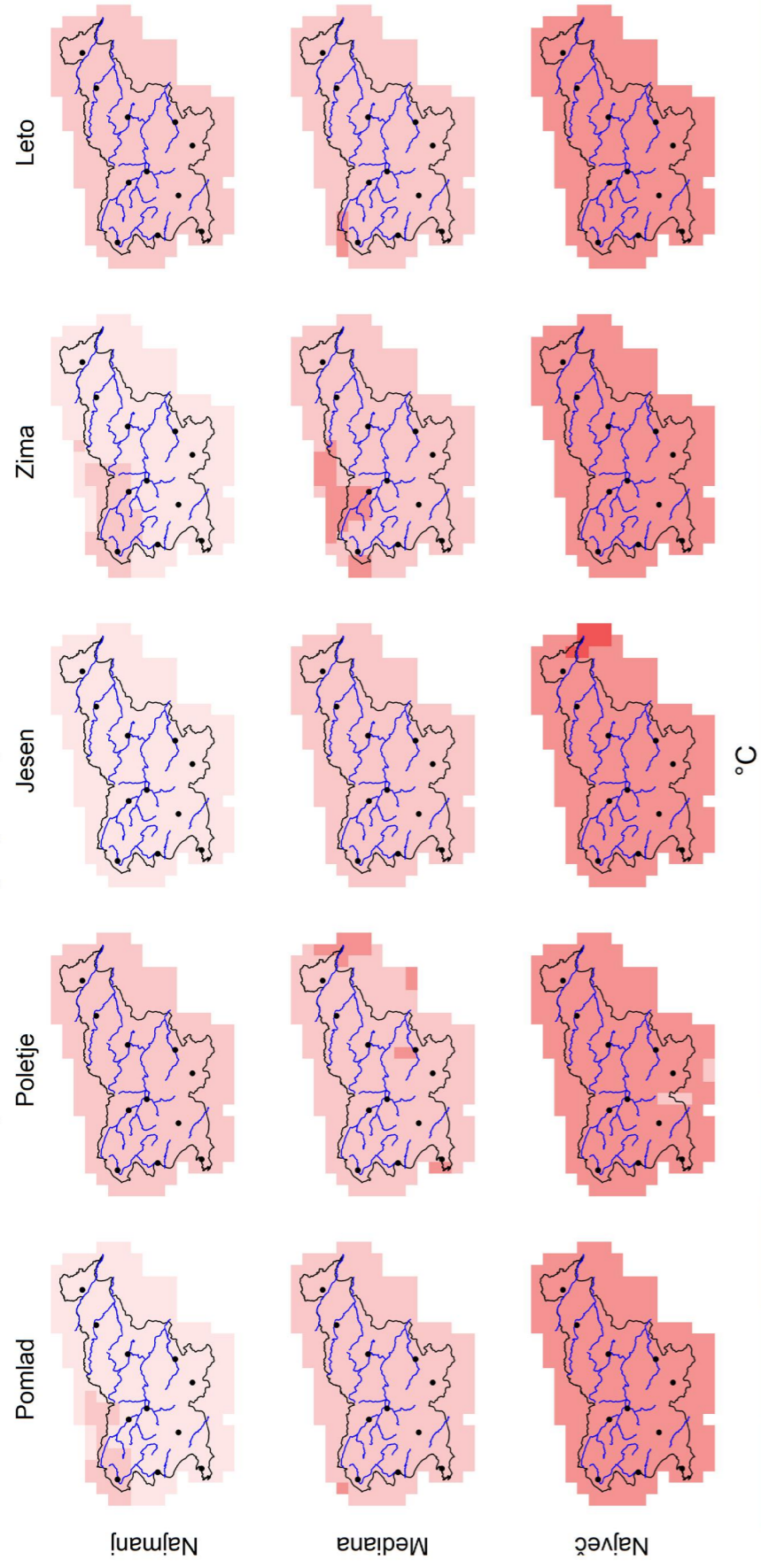
Slika 1.192 | Najmanjša vrednost, mediana in največja vrednost modelske spremembe v obdobju 2041–2070 glede na obdobje 1981–2010 za povprečno dnevno najnižjo temperaturo po meteoroloških letnih časih in za celo leto po scenariju RCP4.5

Povprečna dnevna najnižja temperatura, RCP4.5, 2071–2100



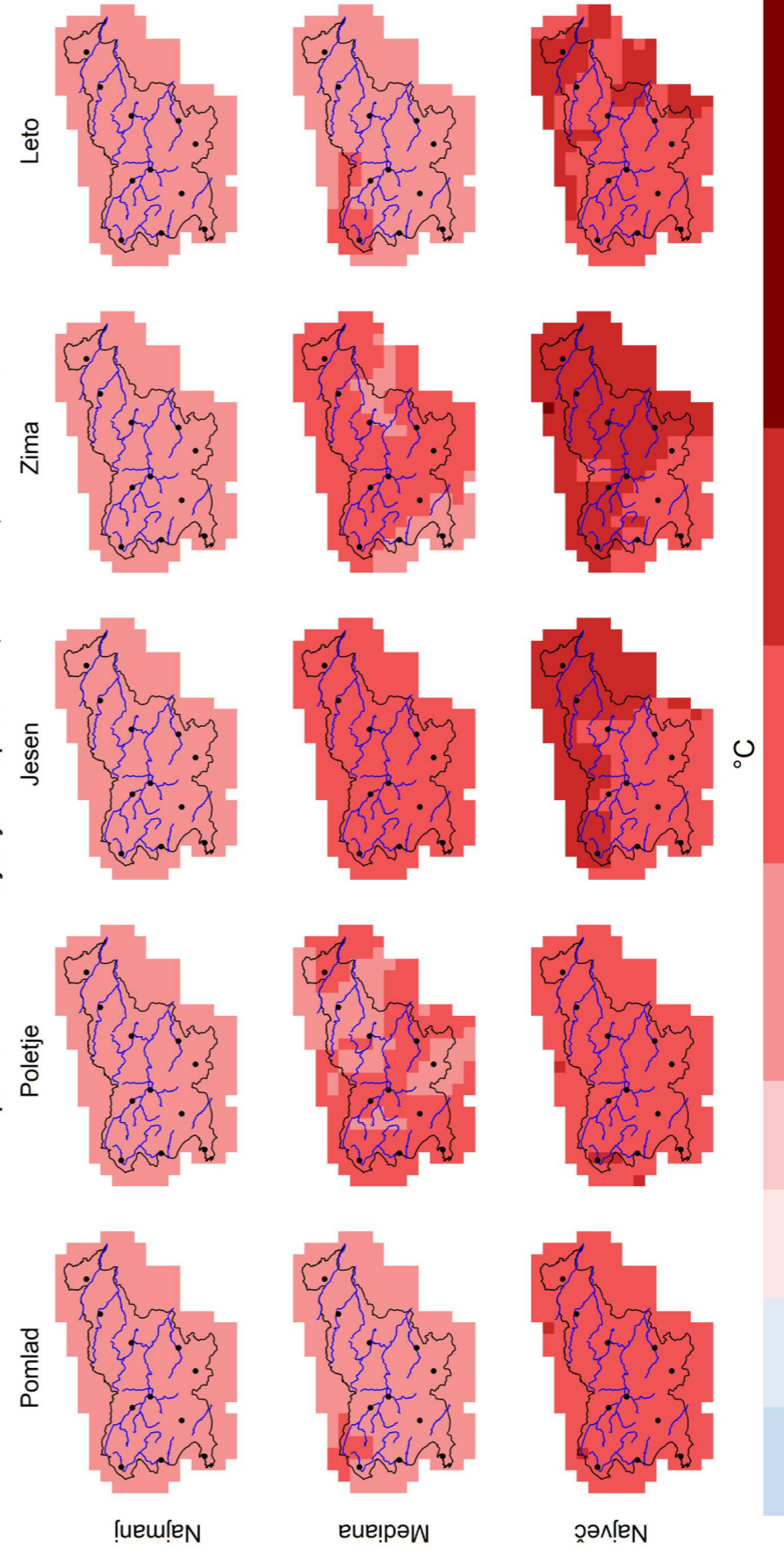
Slika 1.193 | Najmanjša vrednost, mediana in največja vrednost modelske spremembe v obdobju 2071–2100 glede na obdobje 1981–2010 za povprečno dnevno najnižjo temperaturo po meteoroloških letnih časih in za celo leto po scenariju RCP4.5

Povprečna dnevna najnižja temperatura, RCP8.5, 2011–2040

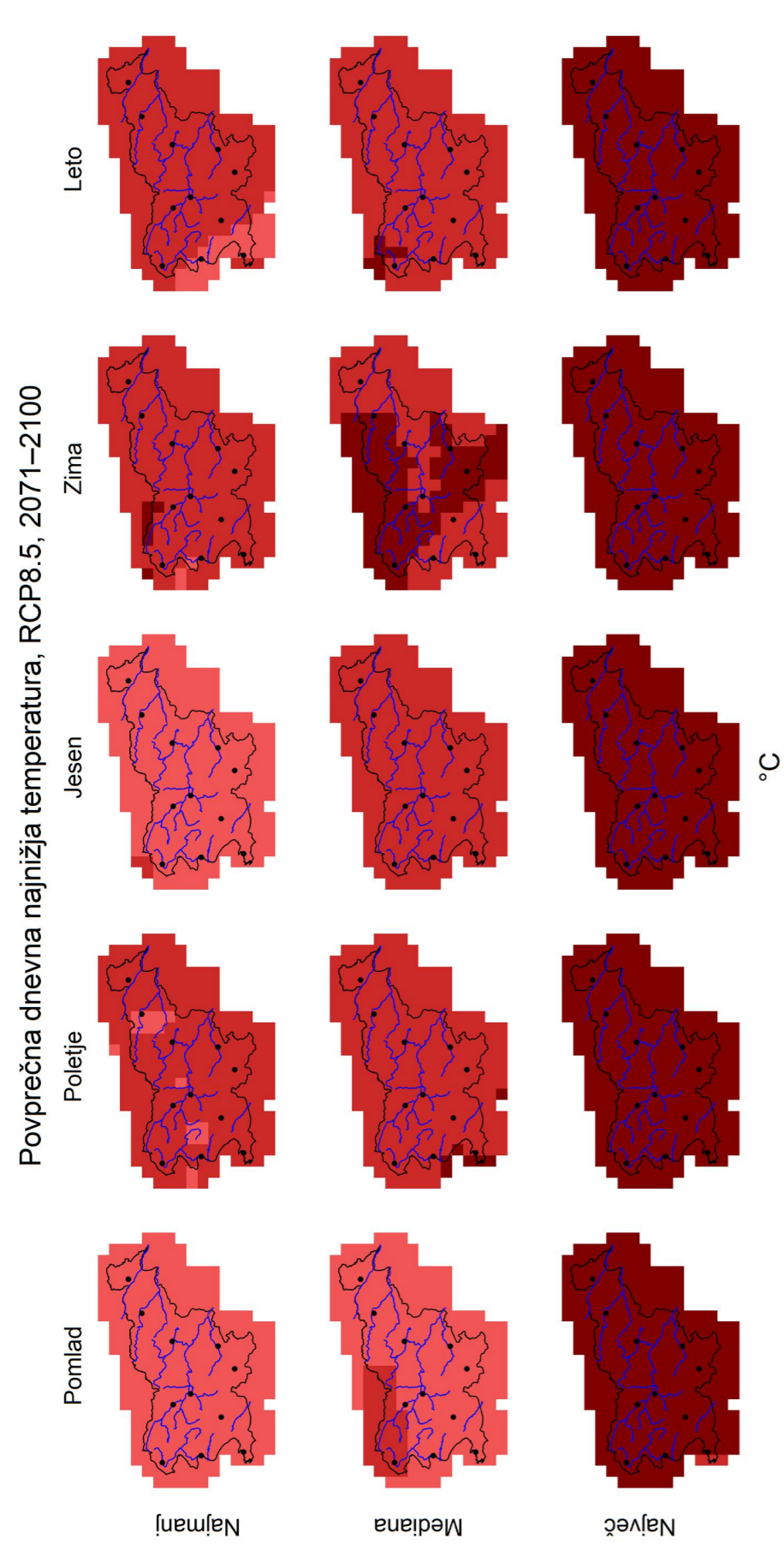


Slika 1.194 | Najmanjša vrednost, mediana in največja vrednost modelske spremembe v obdobju 2011–2040 glede na obdobje 1981–2010 za povprečno dnevno najnižjo temperaturo po meteoroloških letnih časih in za celo leto po scenariju RCP8.5

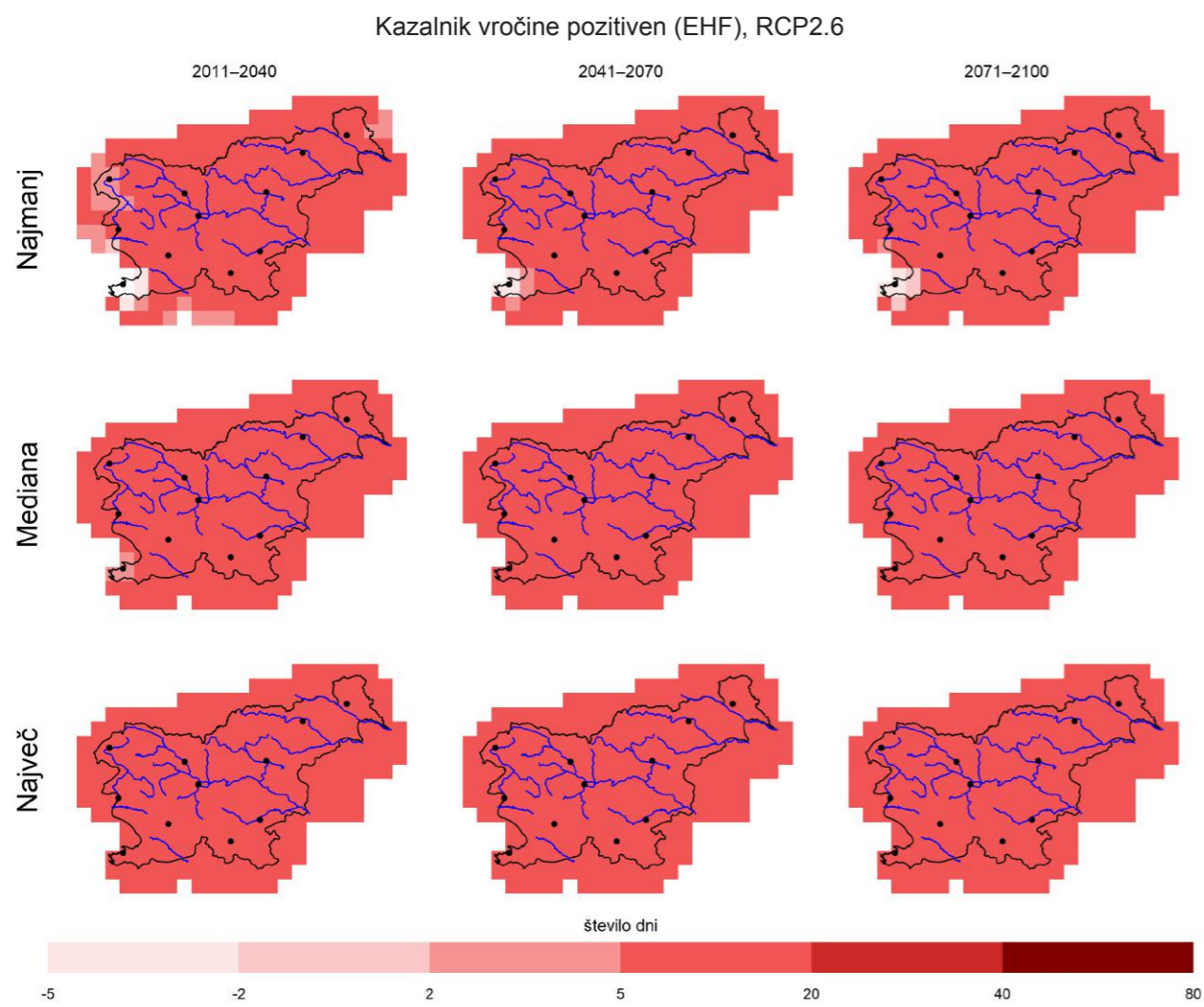
Povprečna dnevna najnižja temperatura, RCP8.5, 2041–2070



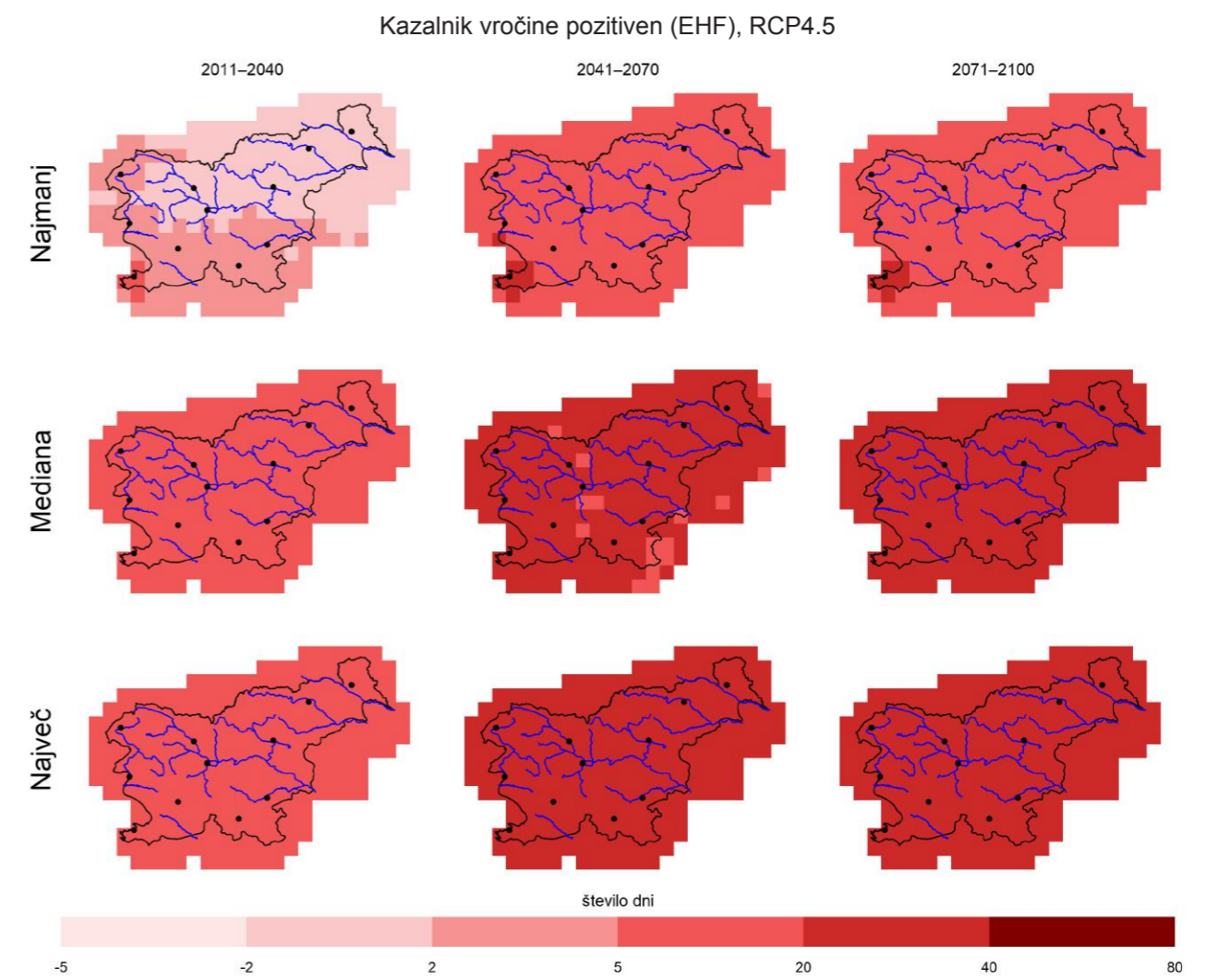
Slika 1.195 | Najmanjša vrednost, mediana in največja vrednost modelske spremembe v obdobju 2041–2070 glede na obdobje 1981–2010 za povprečno dnevno najnižjo temperaturo po meteoroloških letnih časih in za celo leto po scenariju RCP8.5



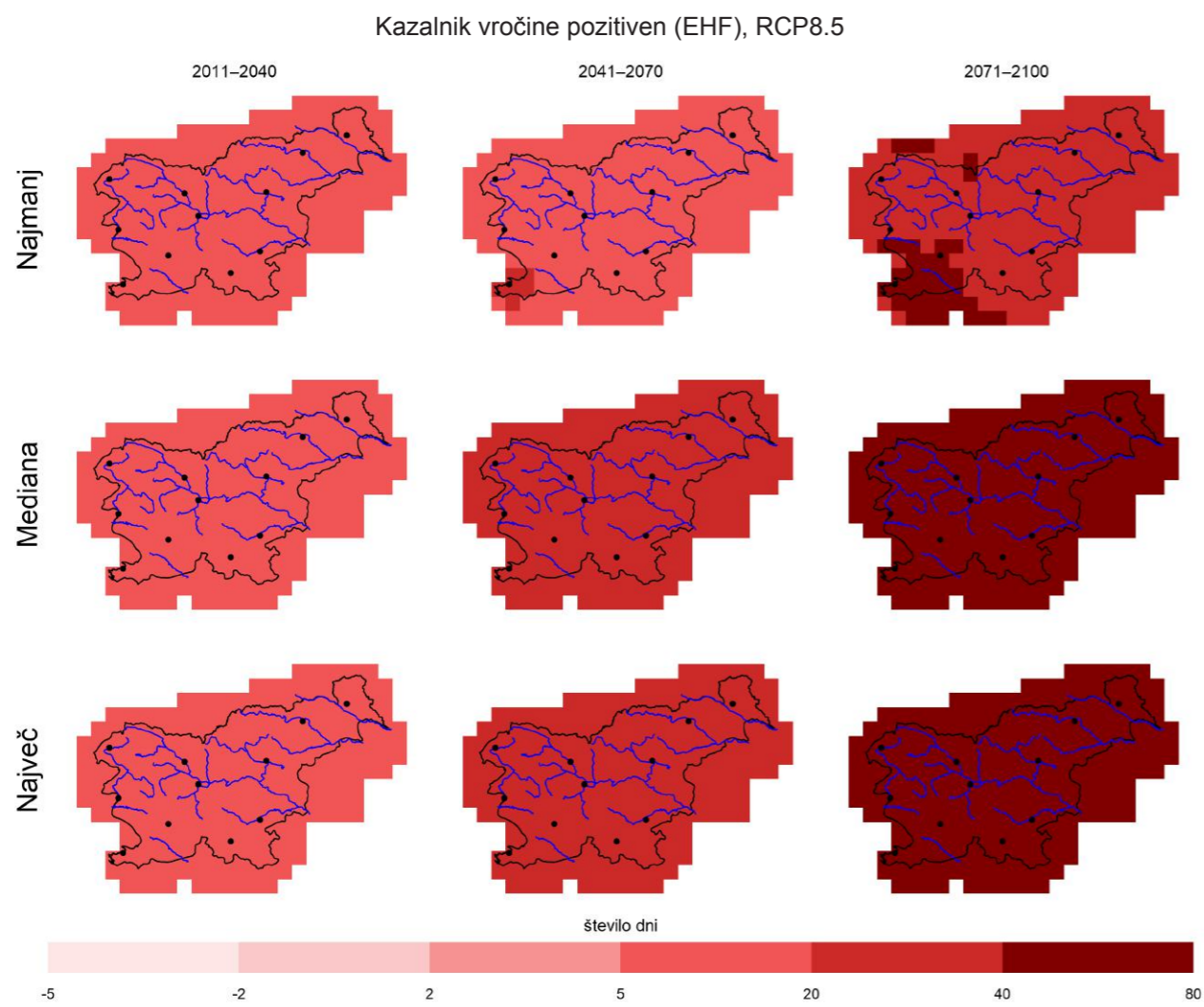
Slika 1.196 | Najmanjša vrednost, mediana in največja vrednost modelske spremembe v obdobju 2071–2100 glede na obdobje 1981–2010 za povprečno dnevno najnižjo temperaturo po meteoroloških letnih časih in za celo leto po scenariju RCP8.5



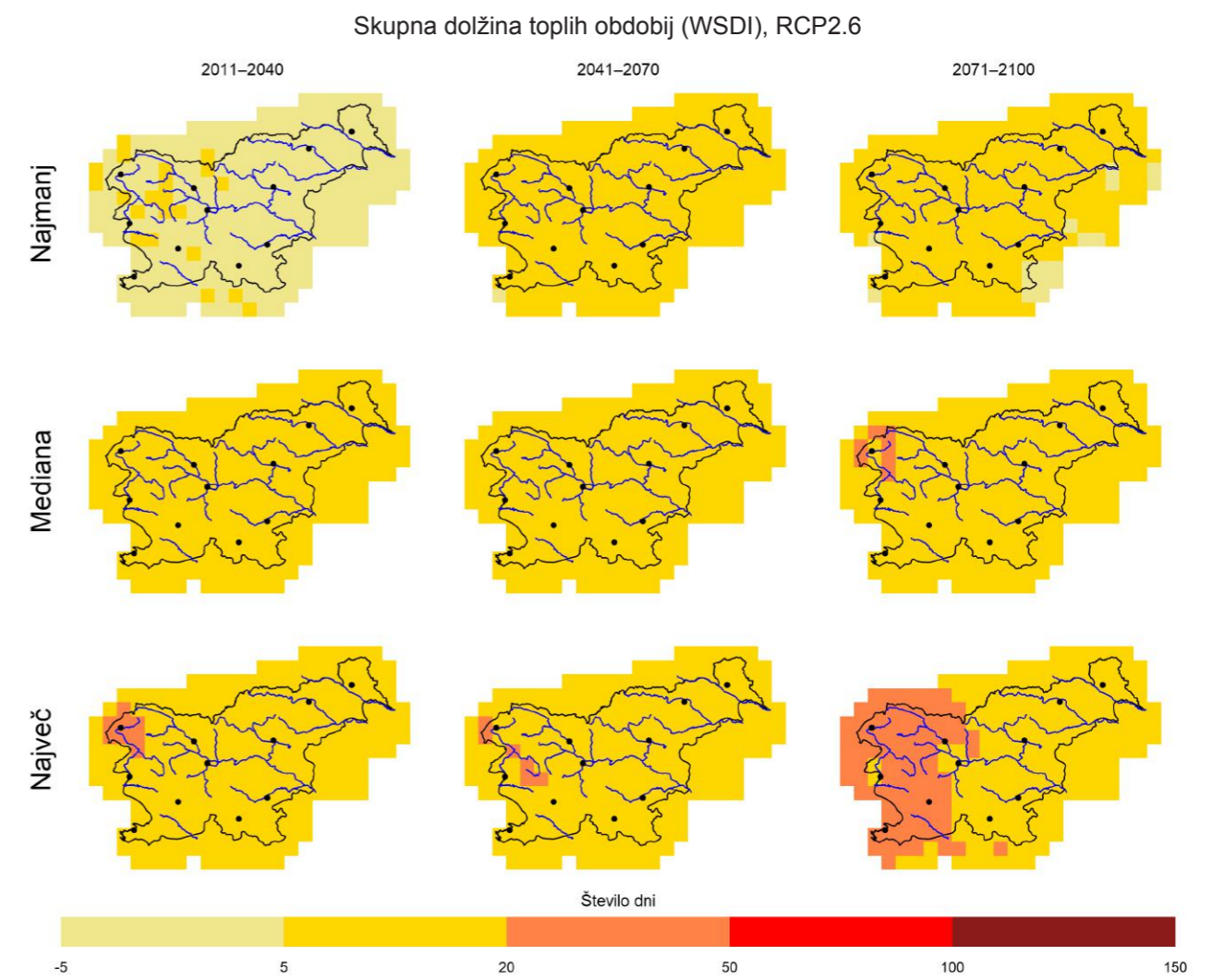
Slika 1.197 | Najmanjša vrednost, mediana in največja vrednost modelske spremembe glede na obdobje 1981–2010 za kazalnik vročine (število dni, ko EHF > 0) v toplem obdobju leta (maj–september) v treh projekcijskih obdobjih po scenariju RCP2.6



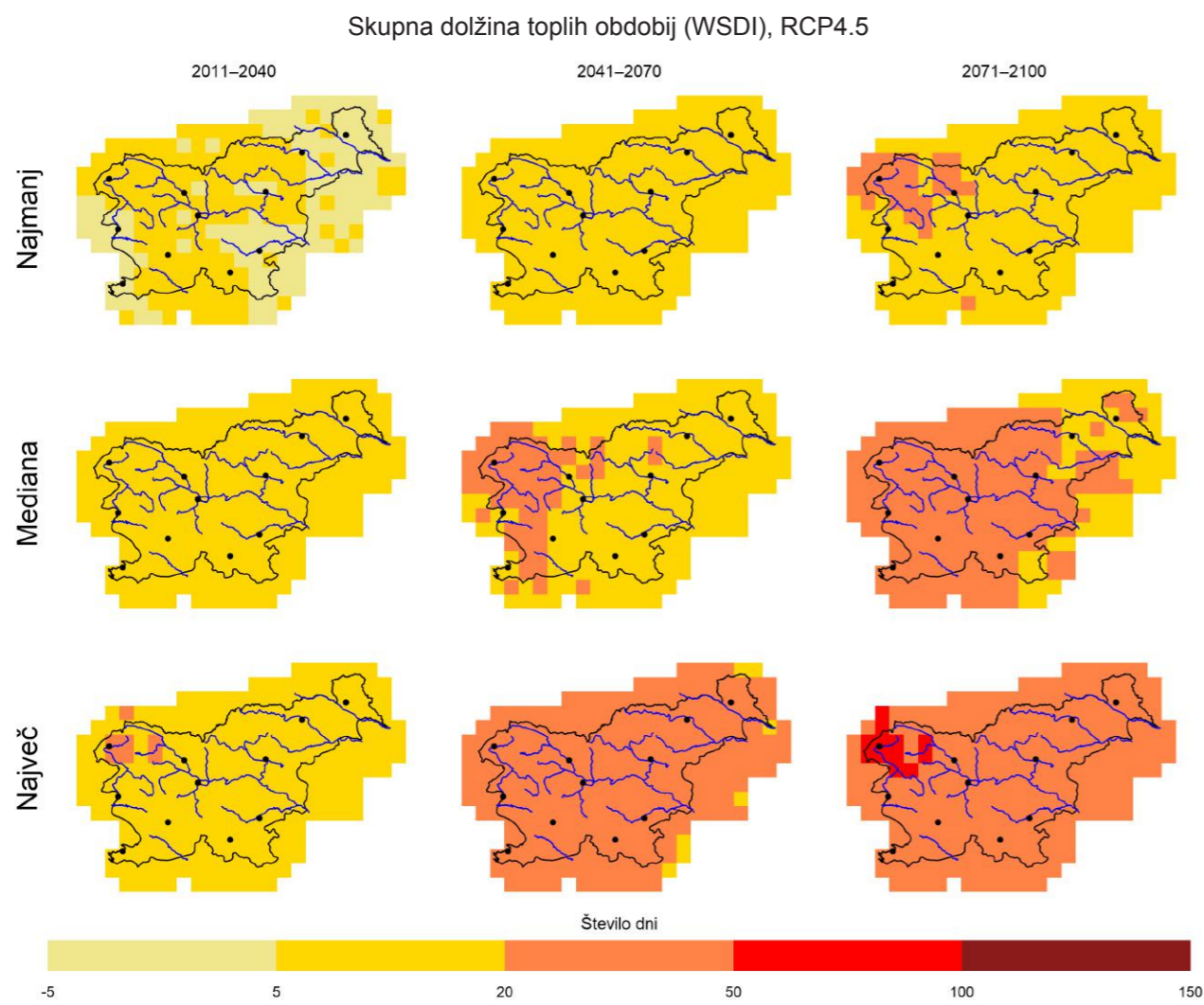
Slika 1.198 | Najmanjša vrednost, mediana in največja vrednost modelske spremembe glede na obdobje 1981–2010 za kazalnik vročine (število dni, ko EHF > 0) v toplem obdobju leta (maj–september) v treh projekcijskih obdobjih po scenariju RCP4.5



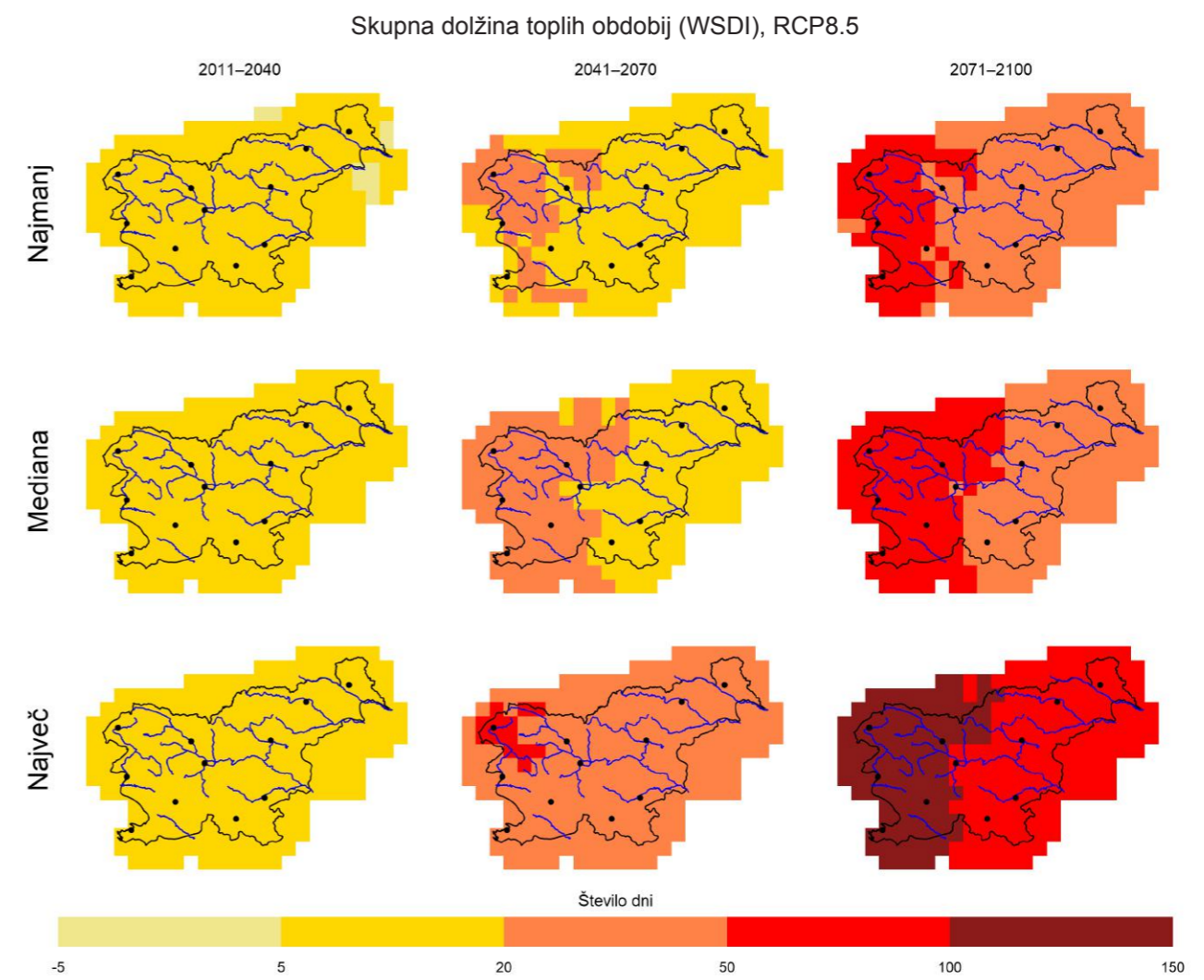
Slika 1.199 | Najmanjša vrednost, mediana in največja vrednost modelske spremembe glede na obdobje 1981–2010 za kazalnik vročine (število dni, ko EHF > 0) v toplem obdobju leta (maj–september) v treh projekcijskih obdobjih po scenariju RCP8.5



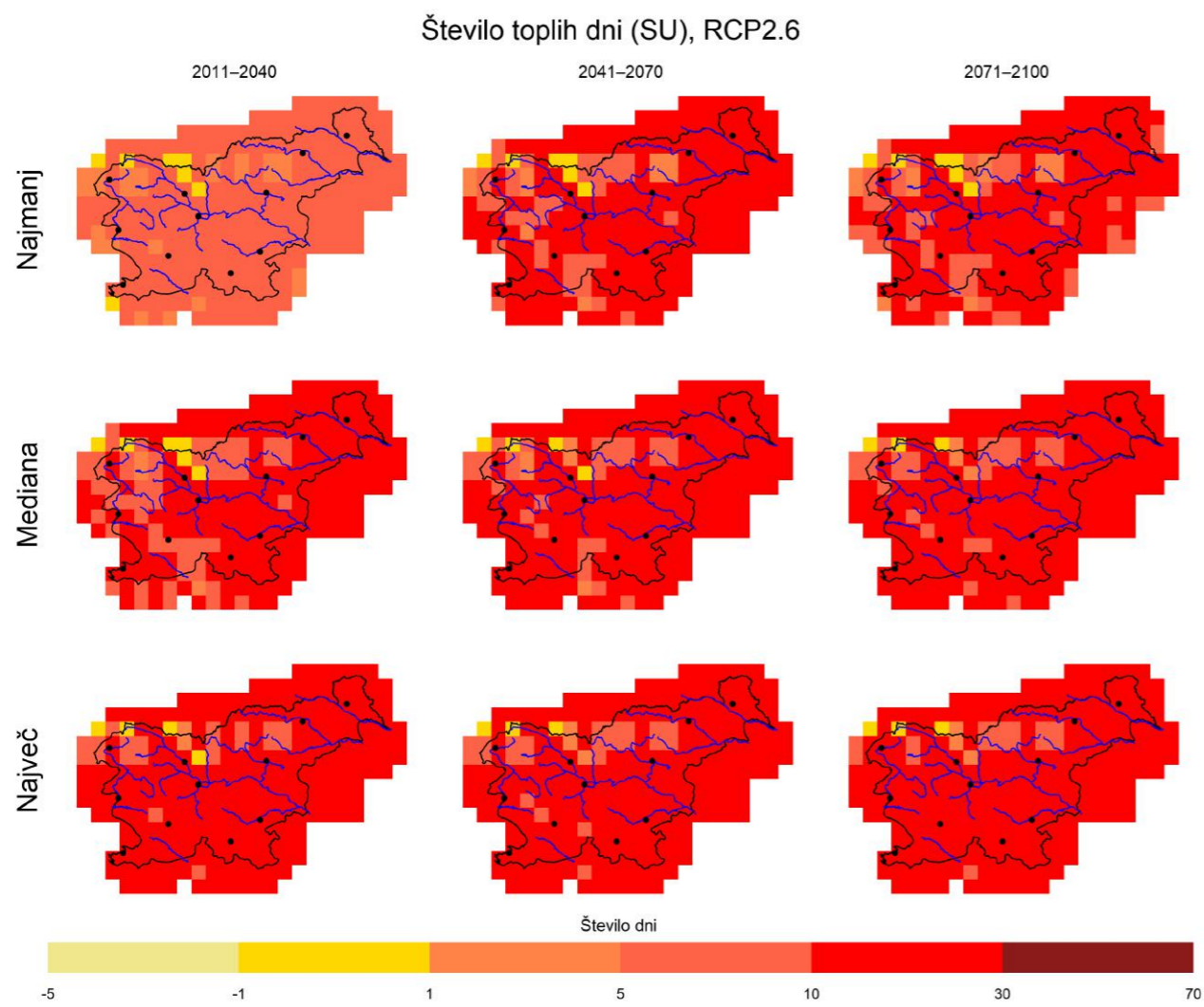
Slika 1.200 | Najmanjša vrednost, mediana in največja vrednost modelske spremembe glede na obdobje 1981–2010 za povprečno skupno dolžino toplih obdobj (WSDI) v letu v treh projekcijskih obdobjih po scenariju RCP2.6



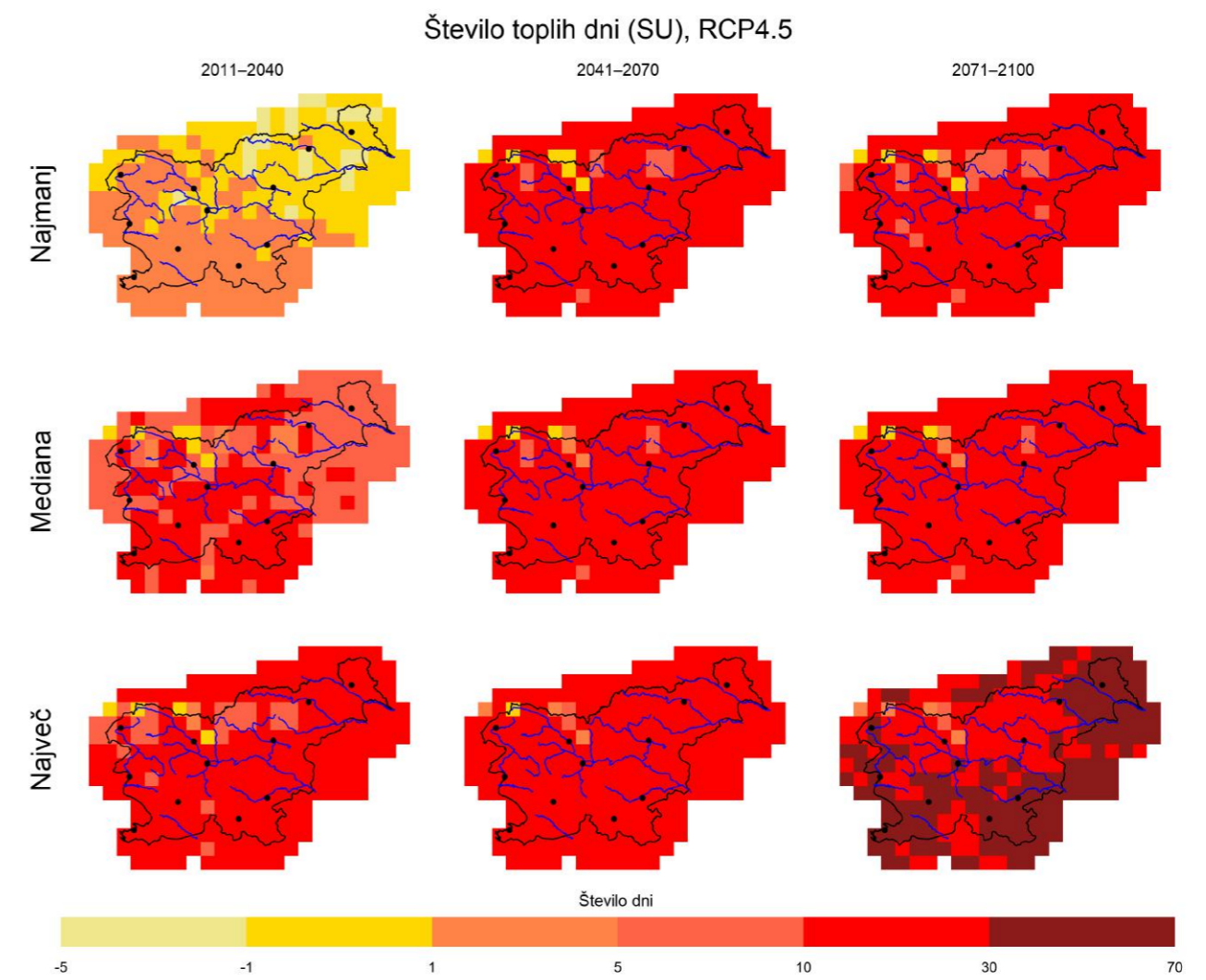
Slika 1.201 | Najmanjša vrednost, mediana in največja vrednost modelske spremembe glede na obdobje 1981–2010 za povprečno skupno dolžino toplih obdobij (WSDI) v letu v treh projekcijskih obdobjih po scenariju RCP4.5



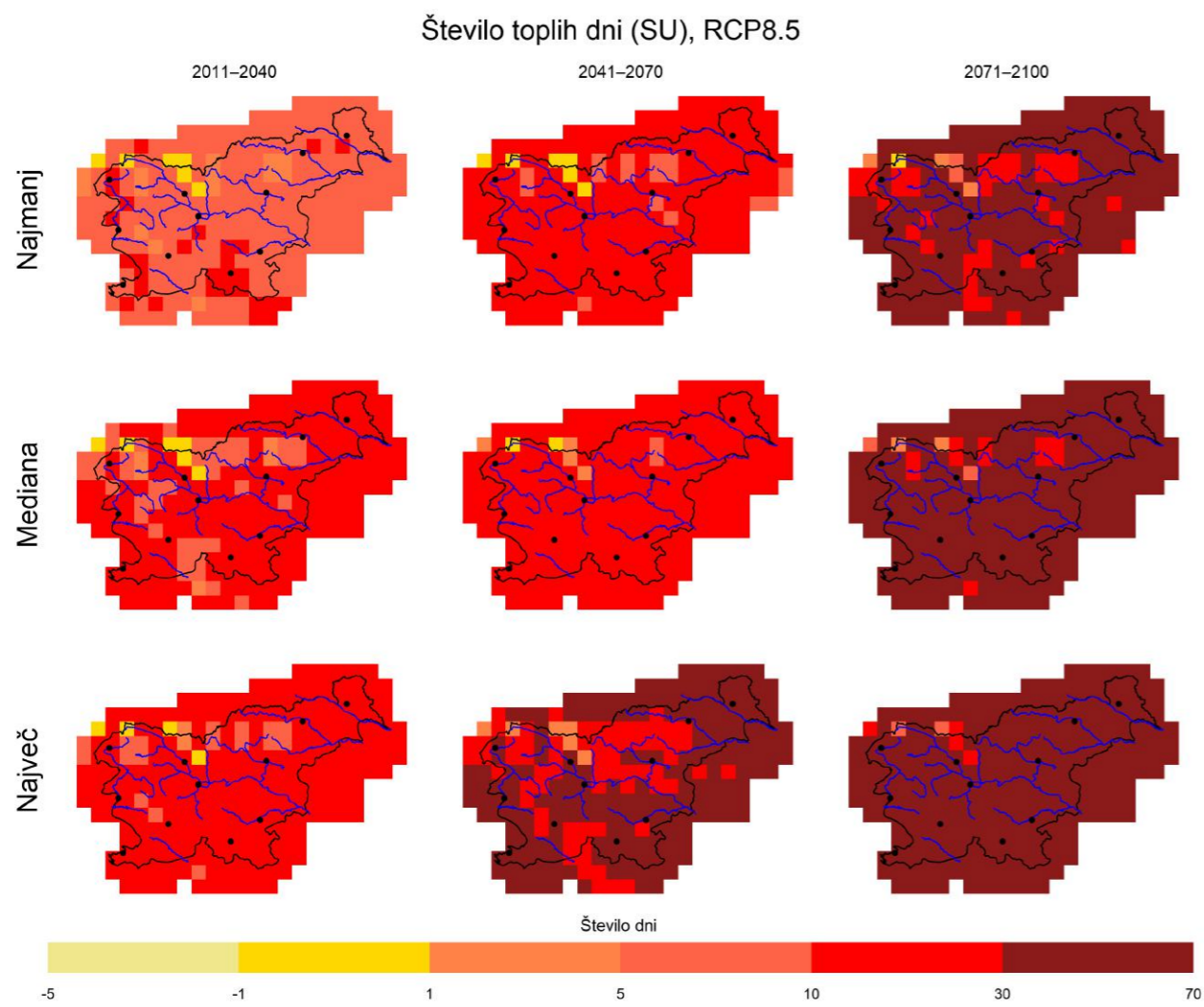
Slika 1.202 | Najmanjša vrednost, mediana in največja vrednost modelske spremembe glede na obdobje 1981–2010 za povprečno skupno dolžino toplih obdobij (WSDI) v letu v treh projekcijskih obdobjih po scenariju RCP8.5



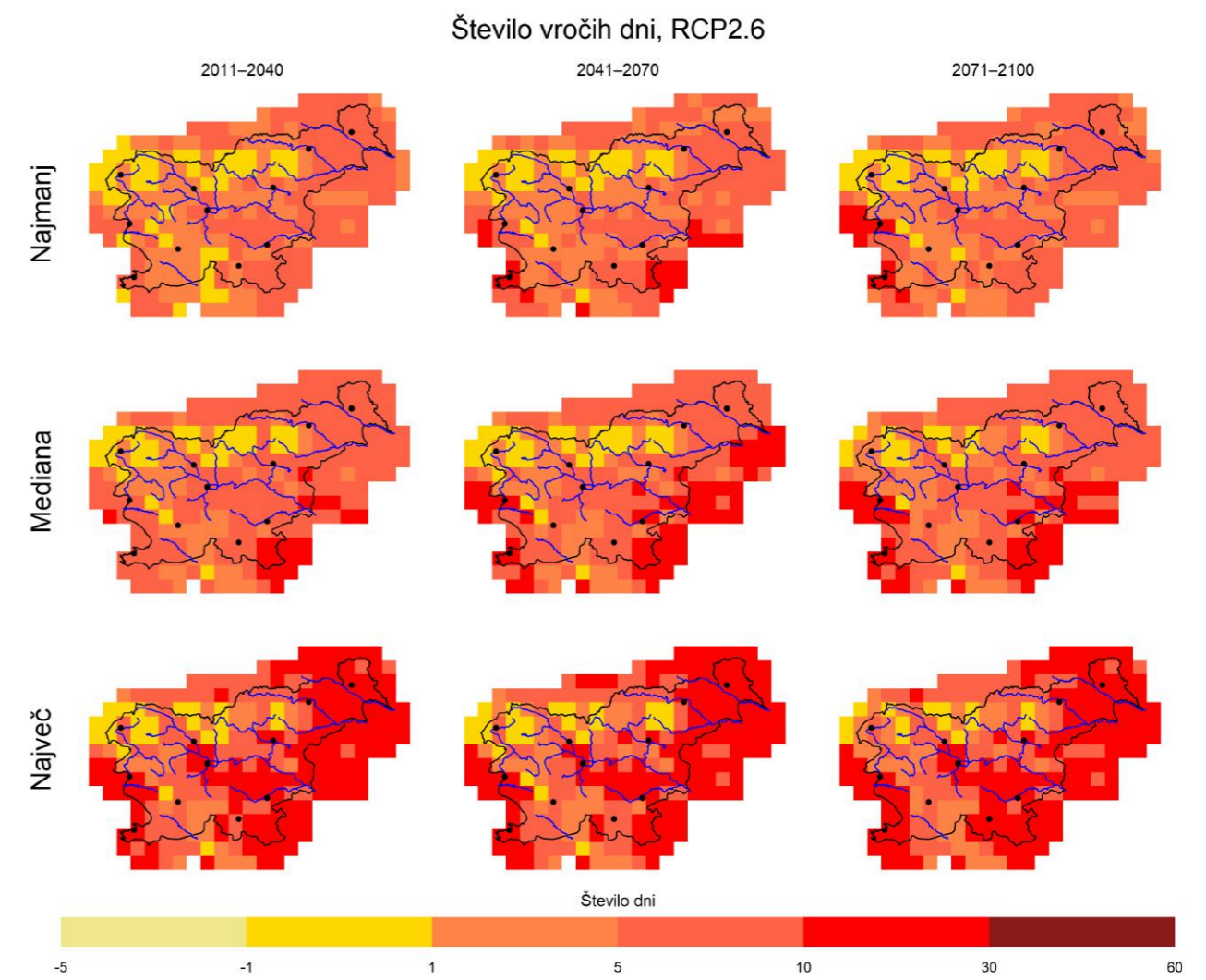
Slika 1.203 | Najmanjša vrednost, mediana in največja vrednost modelske spremembe glede na obdobje 1981–2010 za povprečno število toplih dni (SU) na leto v treh projekcijskih obdobjih po scenariju RCP2.6



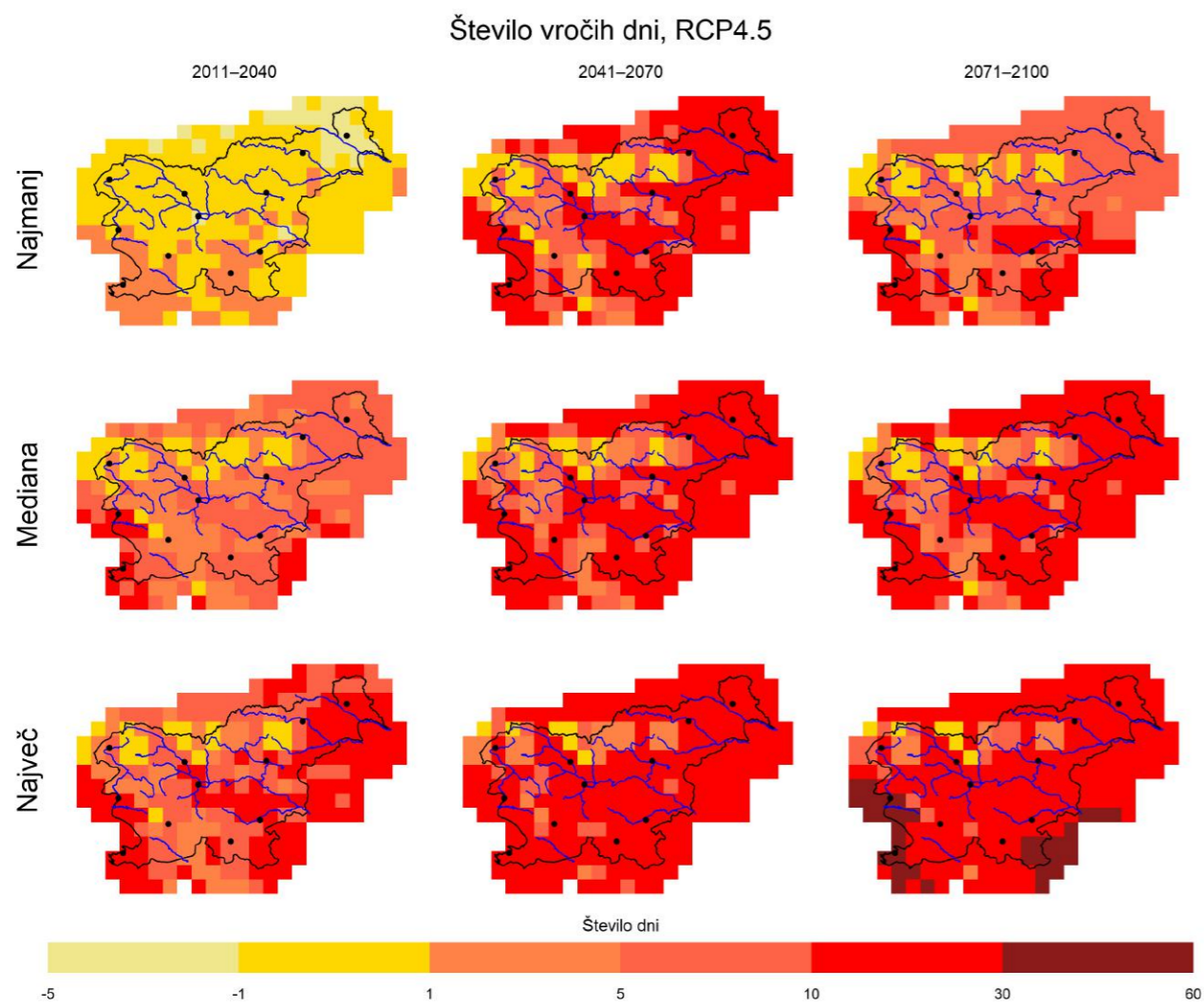
Slika 1.204 | Najmanjša vrednost, mediana in največja vrednost modelske spremembe glede na obdobje 1981–2010 za povprečno število toplih dni (SU) na leto v treh projekcijskih obdobjih po scenariju RCP4.5



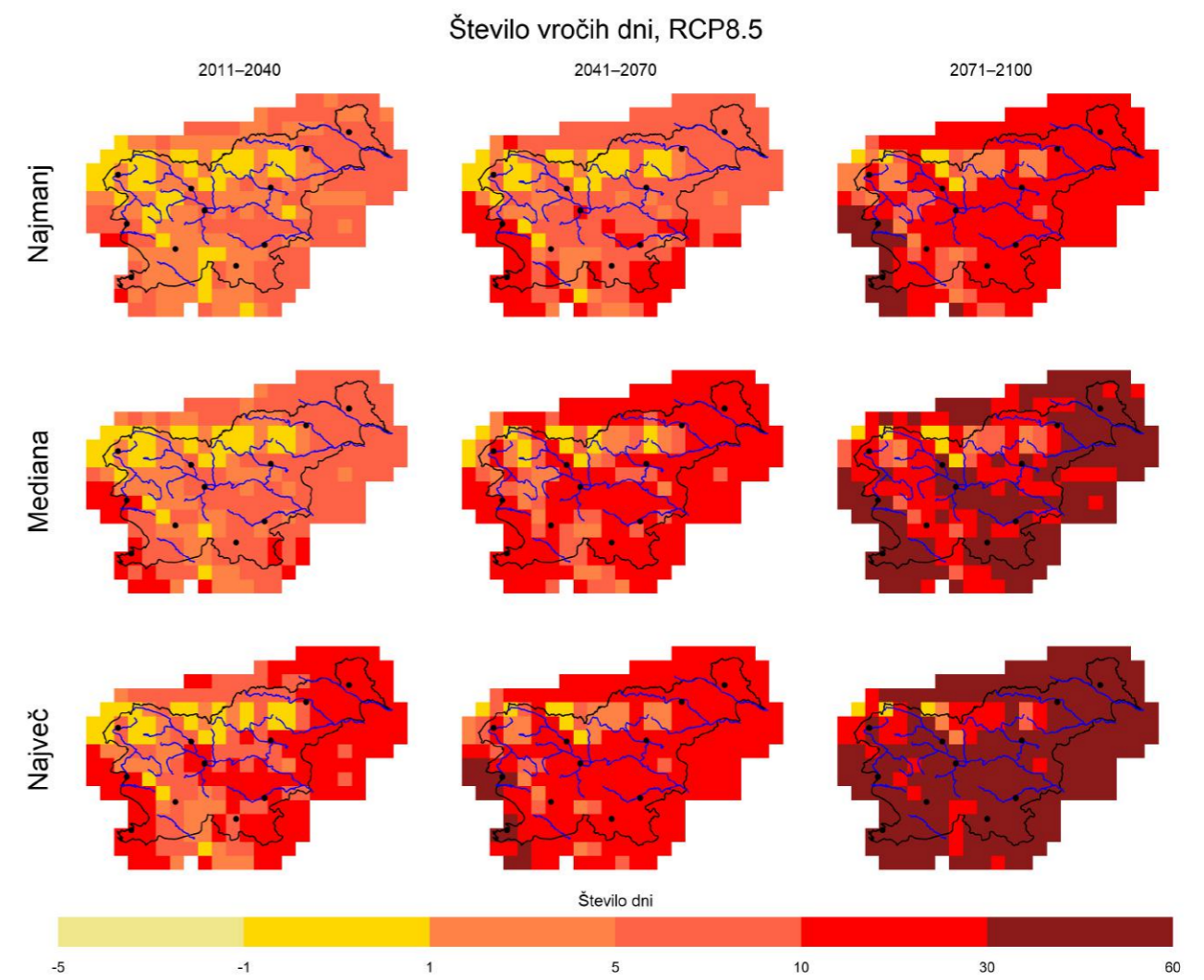
Slika 1.205 | Najmanjša vrednost, mediana in največja vrednost modelske spremembe glede na obdobje 1981–2010 za povprečno število toplih dni (SU) na leto v treh projekcijskih obdobjih po scenariju RCP8.5



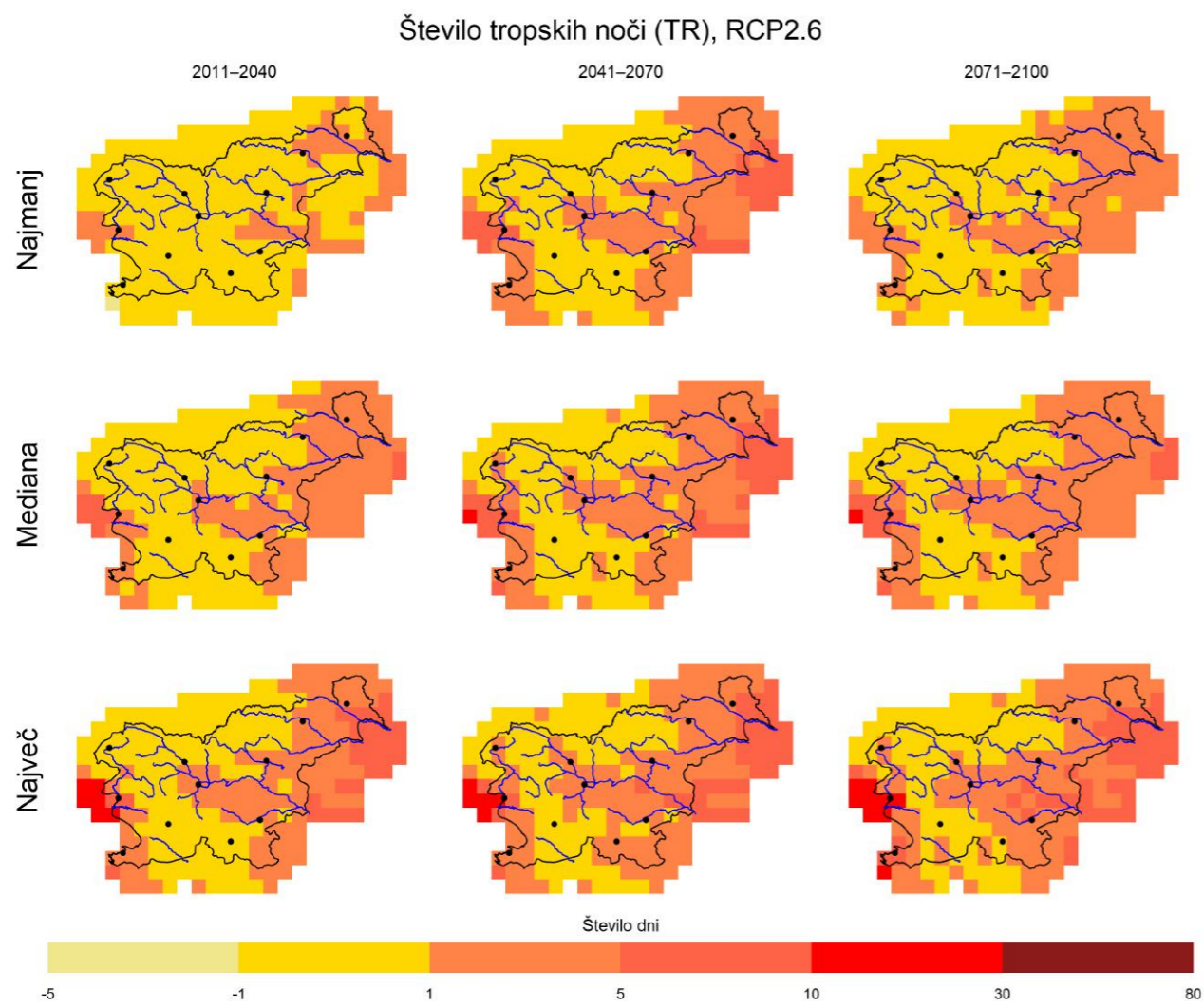
Slika 1.206 | Najmanjša vrednost, mediana in največja vrednost modelske spremembe glede na obdobje 1981–2010 za povprečno število vročih dni na leto v treh projekcijskih obdobjih po scenariju RCP2.6



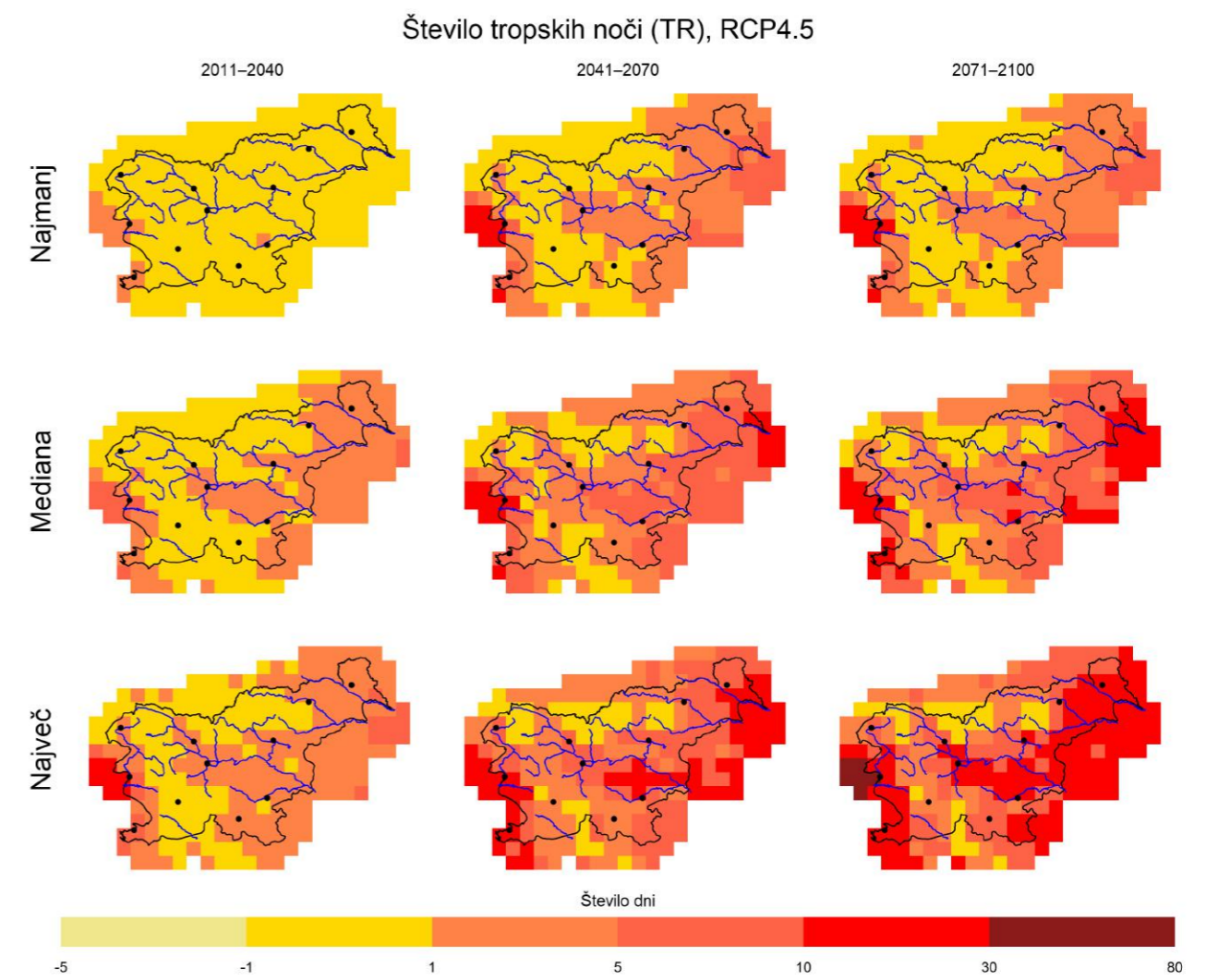
Slika 1.207 | Najmanjša vrednost, mediana in največja vrednost modelske spremembe glede na obdobje 1981–2010 za povprečno število vročih dni na leto v treh projekcijskih obdobjih po scenariju RCP4.5



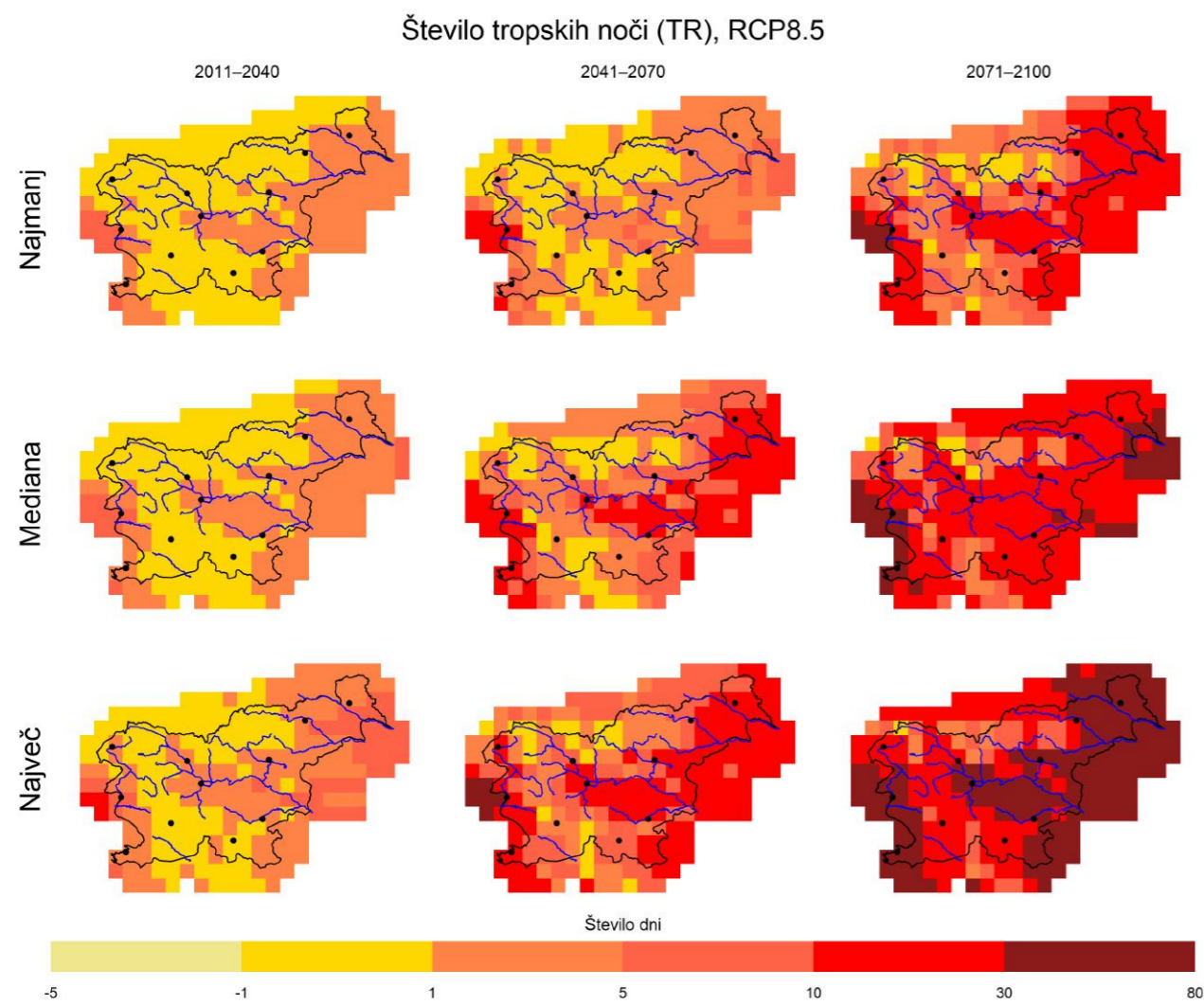
Slika 1.208 | Najmanjša vrednost, mediana in največja vrednost modelske spremembe glede na obdobje 1981–2010 za povprečno število vročih dni na leto v treh projekcijskih obdobjih po scenariju RCP8.5



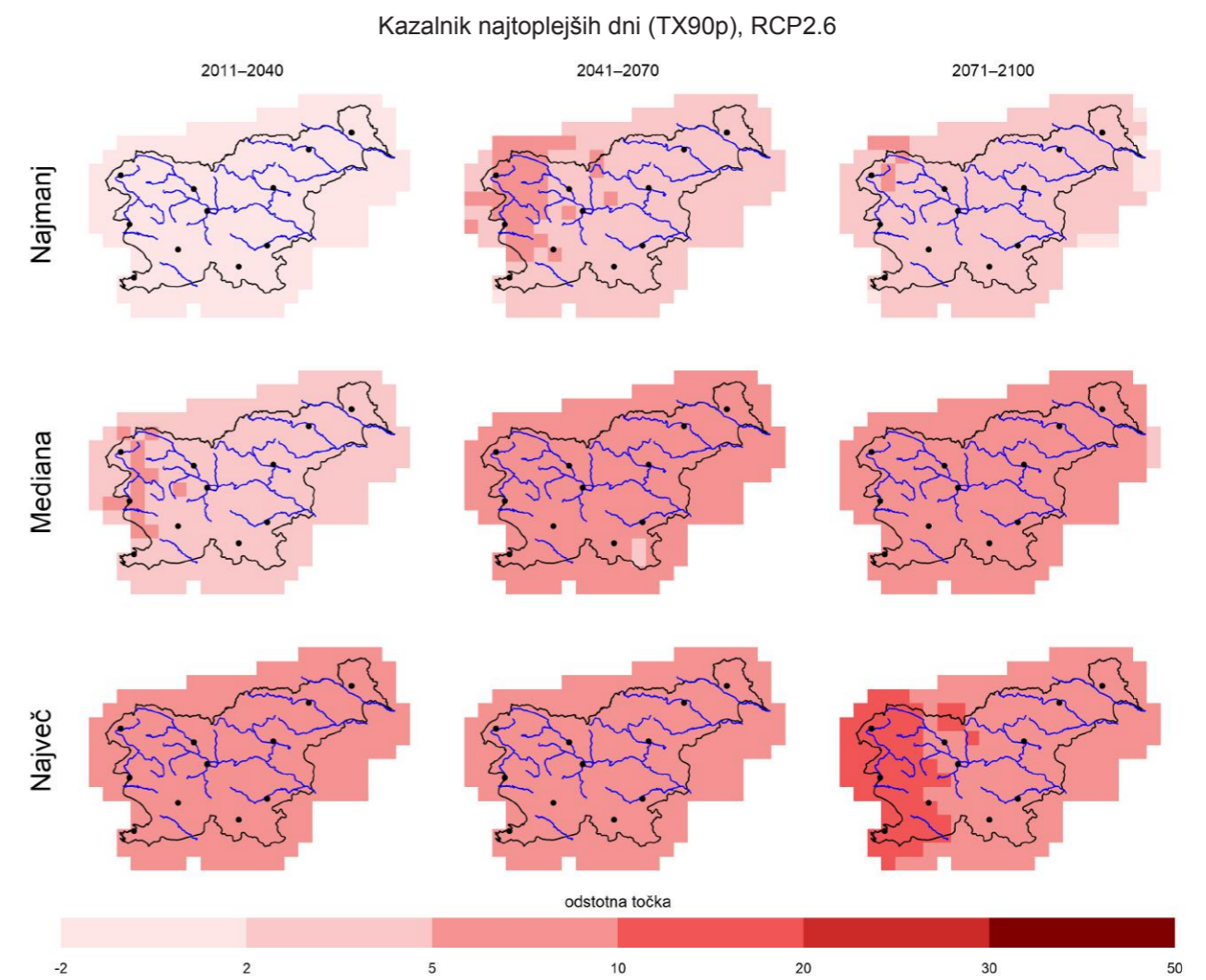
Slika 1.209 | Najmanjša vrednost, mediana in največja vrednost modelske spremembe glede na obdobje 1981–2010 za povprečno število tropskih noči (TR) na leto v treh projekcijskih obdobjih po scenariju RCP2.6



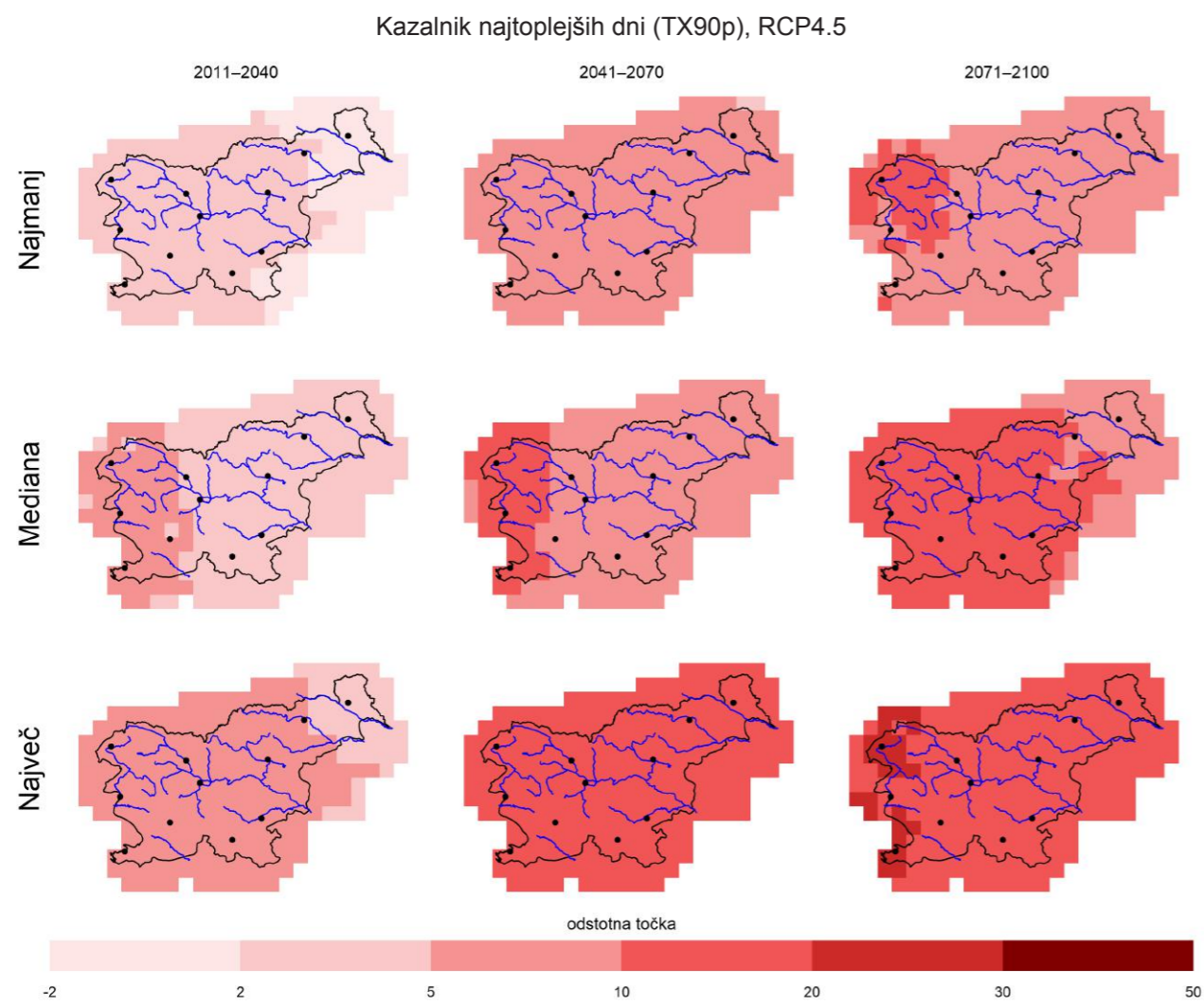
Slika 1.210 | Najmanjša vrednost, mediana in največja vrednost modelske spremembe glede na obdobje 1981–2010 za povprečno število tropskih noči (TR) na leto v treh projekcijskih obdobjih po scenariju RCP4.5



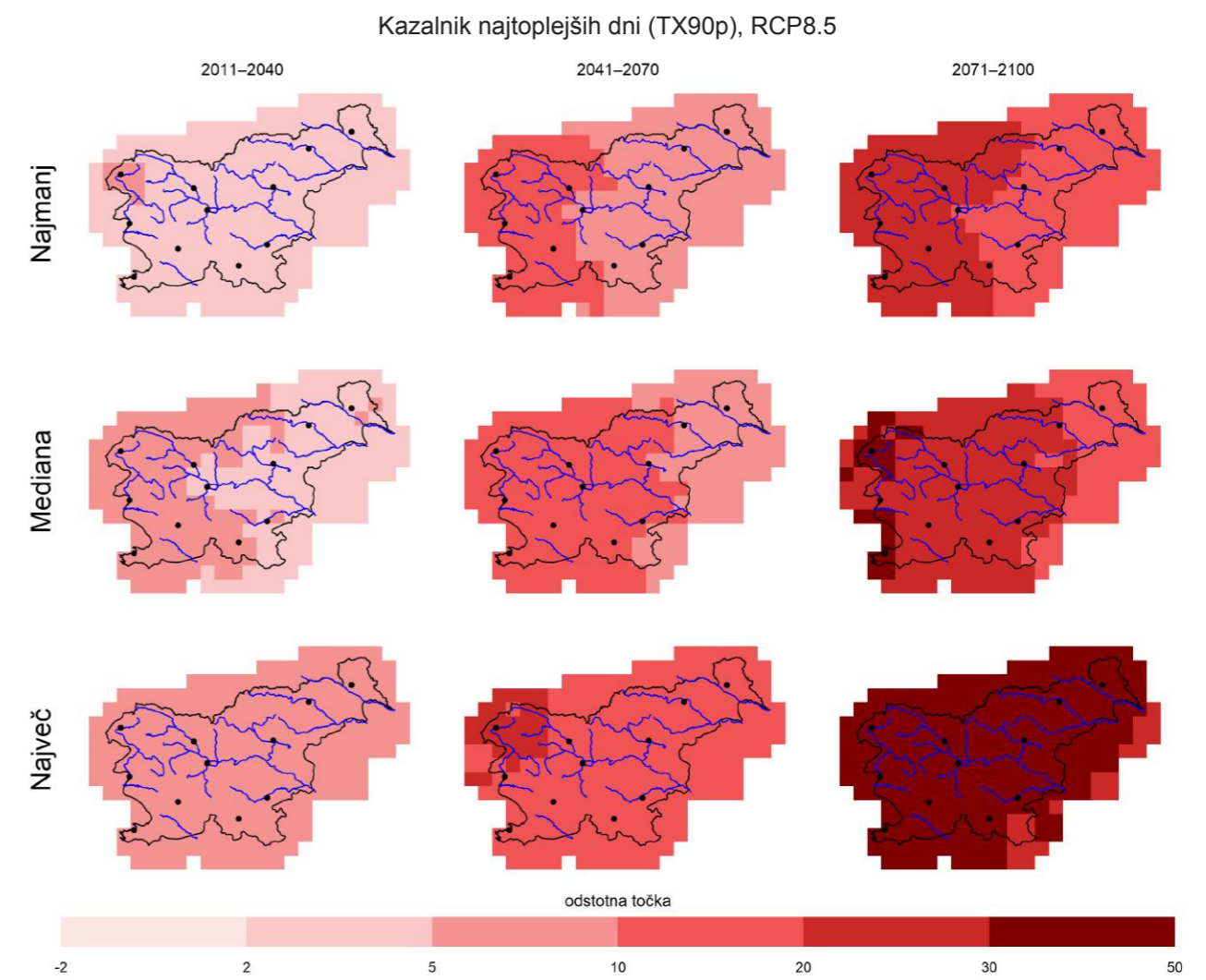
Slika 1.211 | Najmanjša vrednost, mediana in največja vrednost modelske spremembe glede na obdobje 1981–2010 za povprečno število tropskih noči (TR) na leto v treh projekcijskih obdobjih po scenariju RCP8.5



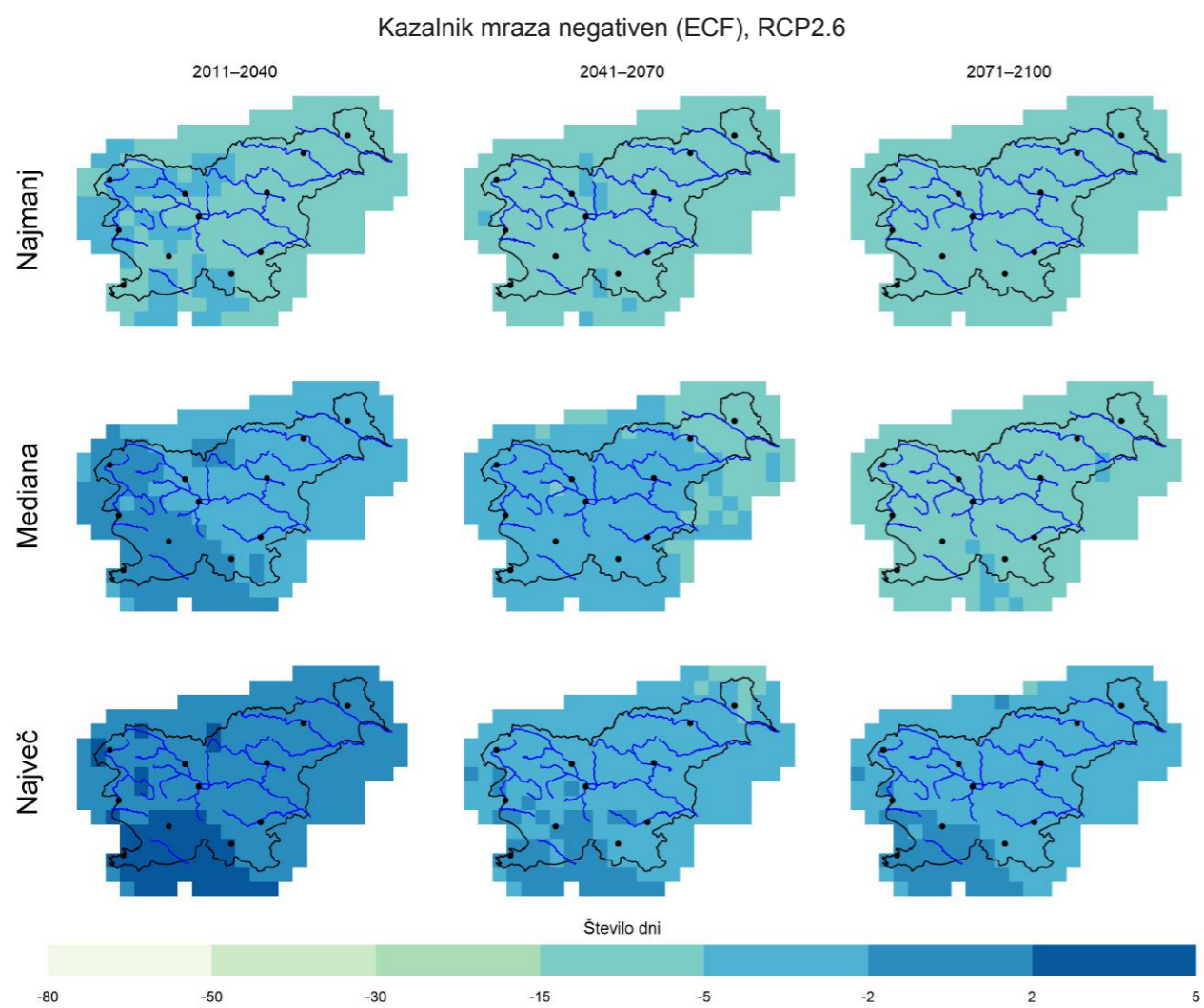
Slika 1.212 | Najmanjša vrednost, mediana in največja vrednost modelske spremembe glede na obdobje 1981–2010 za povprečje kazalnika najtoplejših dni (TX90p) v treh projekcijskih obdobjih po scenariju RCP2.6



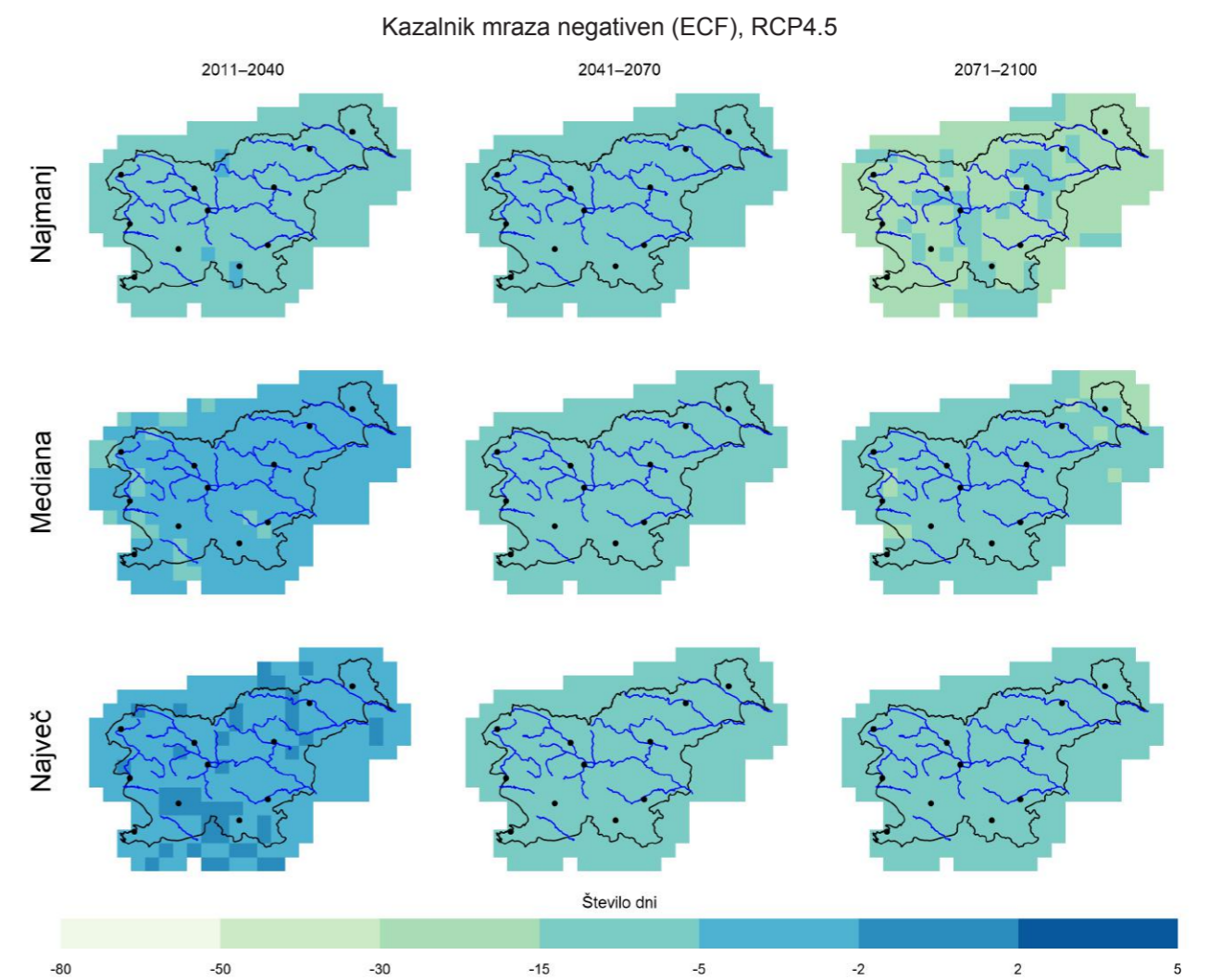
Slika 1.213 | Najmanjša vrednost, mediana in največja vrednost modelske spremembe glede na obdobje 1981–2010 za povprečje kazalnika najtoplejših dni (TX90p) v treh projekcijskih obdobjih po scenariju RCP4.5



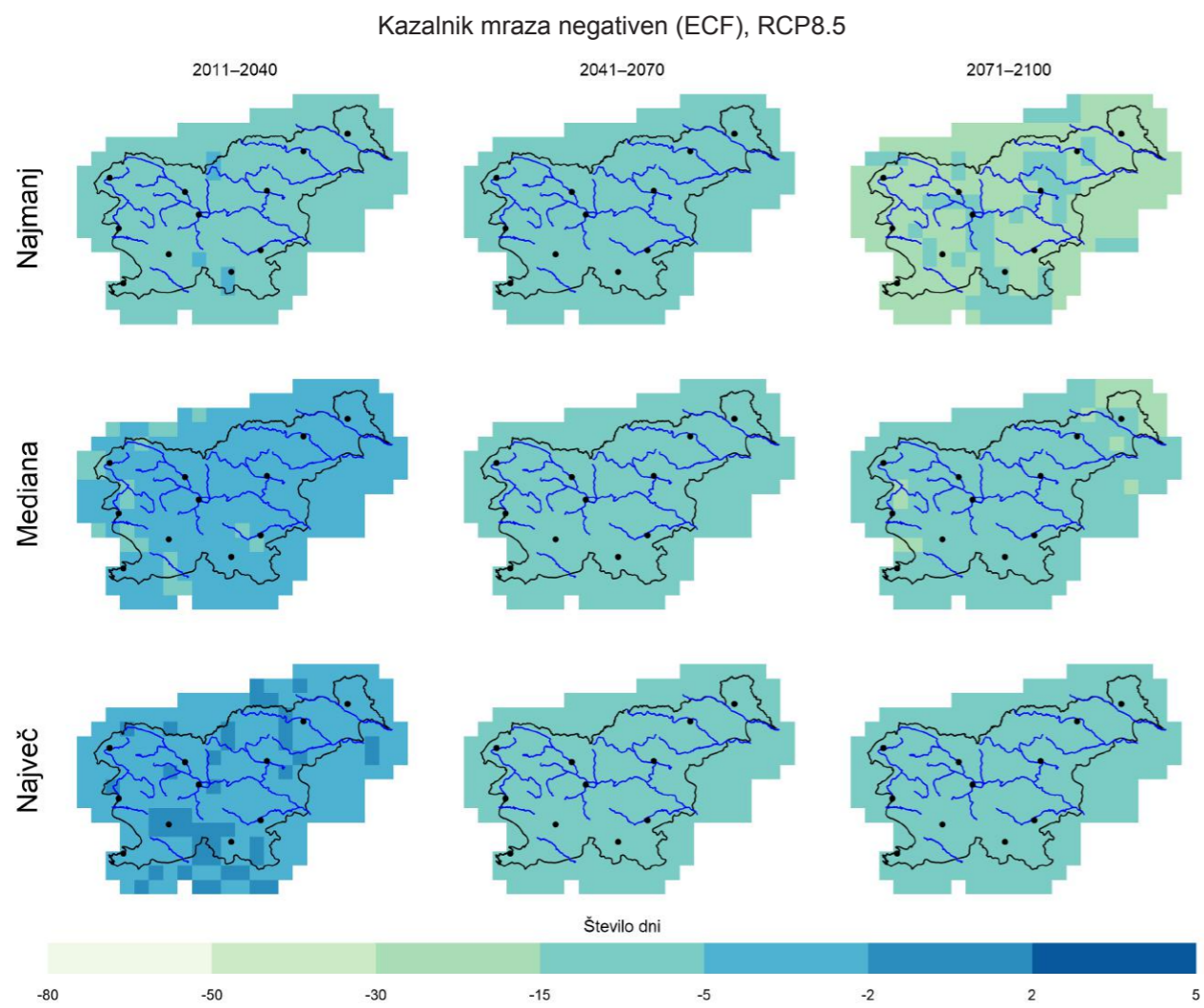
Slika 1.214 | Najmanjša vrednost, mediana in največja vrednost modelske spremembe glede na obdobje 1981–2010 za povprečje kazalnika najtoplejših dni (TX90p) v treh projekcijskih obdobjih po scenariju RCP8.5



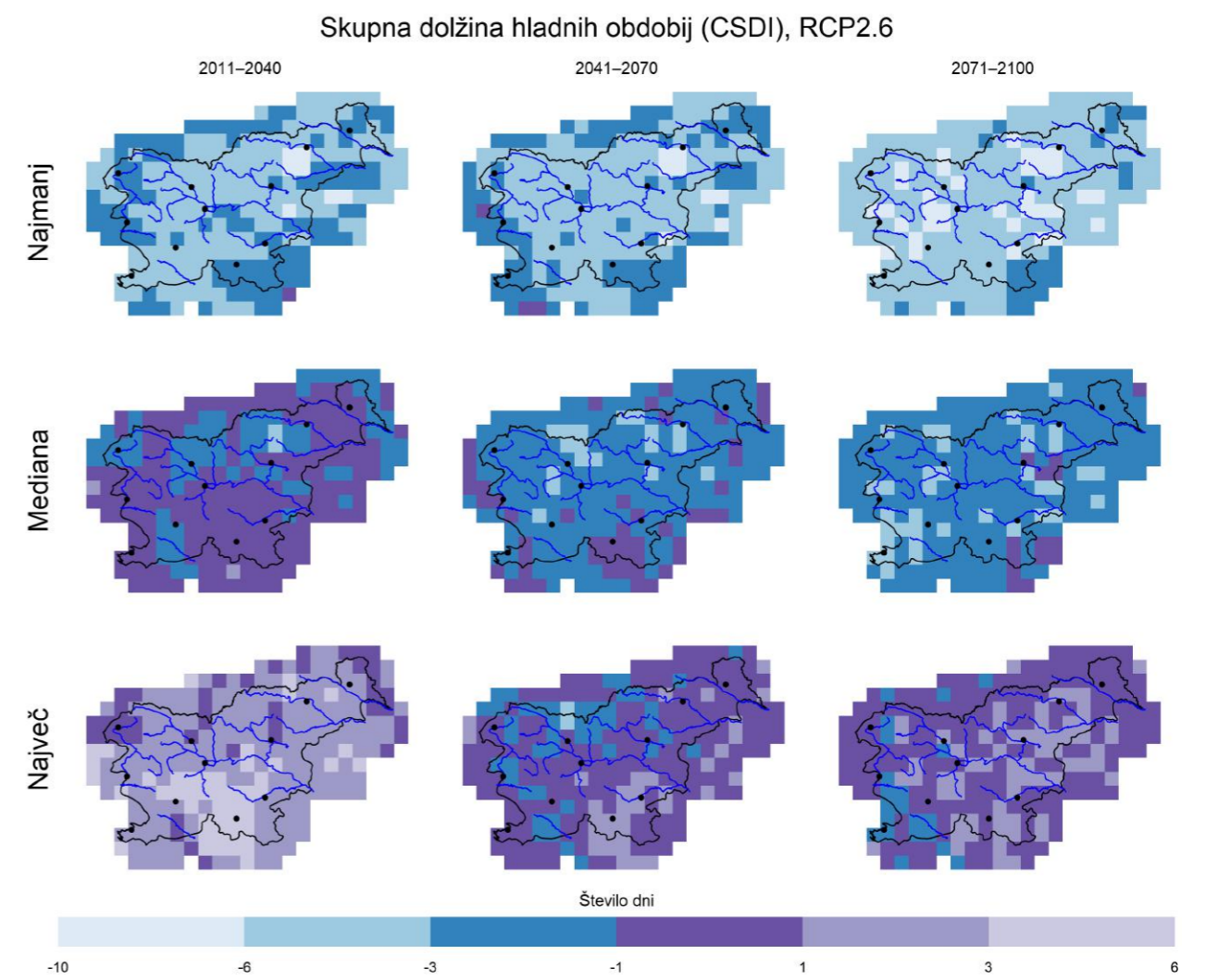
Slika 1.215 | Najmanjša vrednost, mediana in največja vrednost modelske spremembe glede na obdobje 1981–2010 za kazalnik vročine (število dni, ko EHF < 0) v hladnem obdobju leta (oktober–marec) treh projekcijskih obdobjih po scenariju RCP2.6



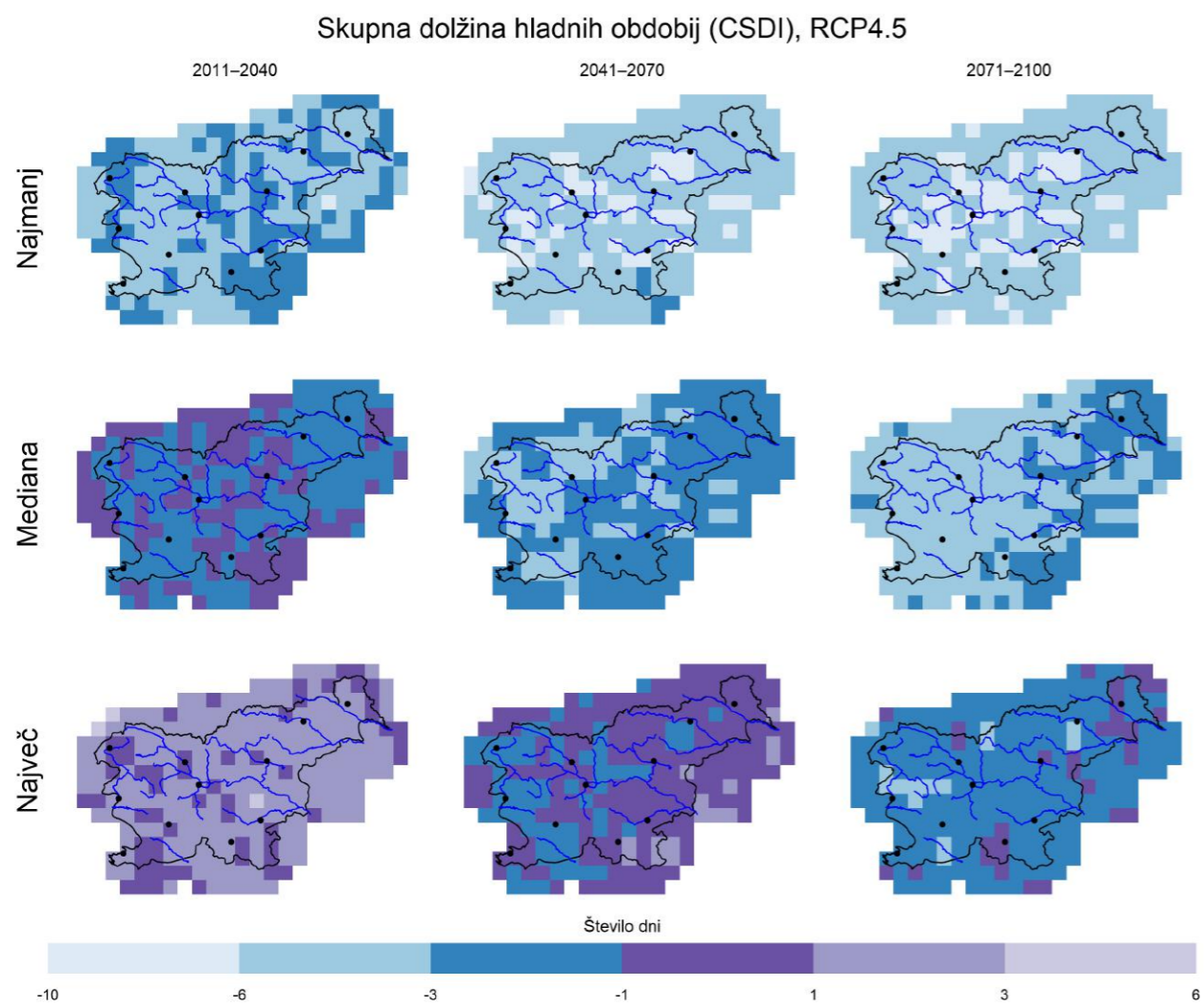
Slika 1.216 | Najmanjša vrednost, mediana in največja vrednost modelske spremembe glede na obdobje 1981–2010 za kazalnik vročine (število dni, ko EHF < 0) v hladnem obdobju leta (oktober–marec) treh projekcijskih obdobjih po scenariju RCP4.5



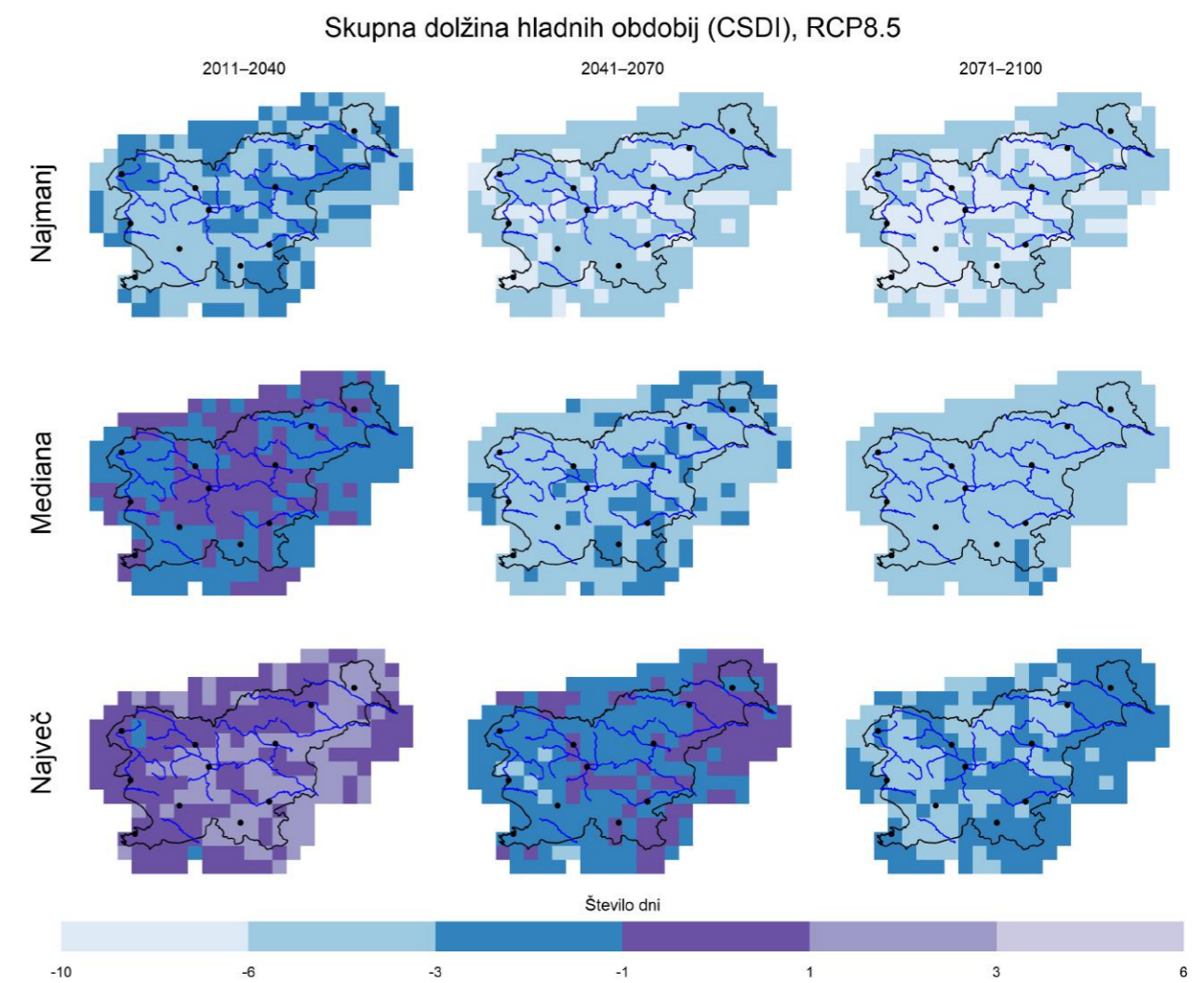
Slika 1.217 | Najmanjša vrednost, mediana in največja vrednost modelske spremembe glede na obdobje 1981–2010 za kazalnik vročine (število dni, ko EHF < 0) v hladnem obdobju leta (oktober–marec) treh projekcijskih obdobjih po scenariju RCP8.5



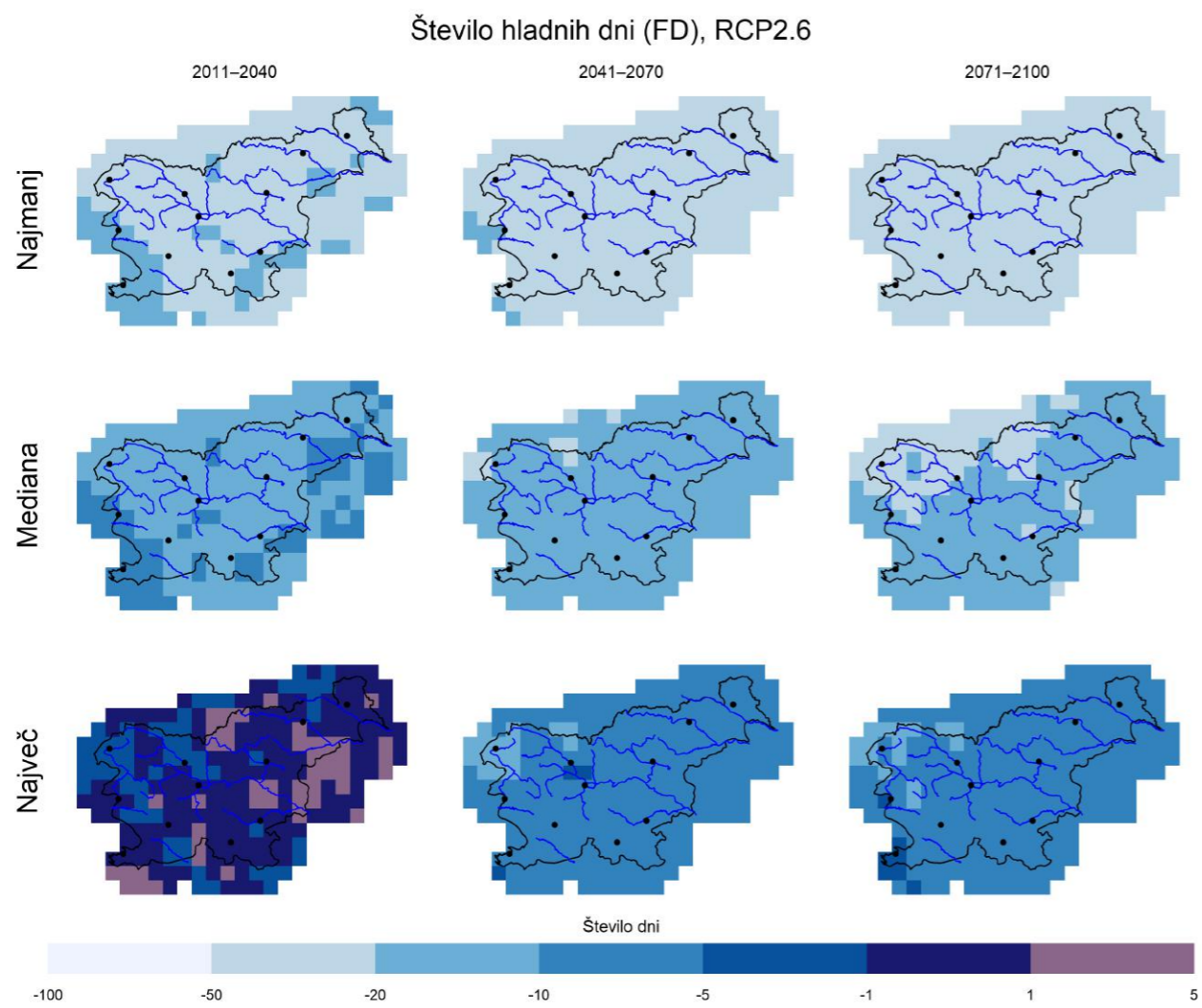
Slika 1.218 | Najmanjša vrednost, mediana in največja vrednost modelske spremembe glede na obdobje 1981–2010 za povprečno skupno dolžino hladnih obdobj (CSDI) v letu treh projekcijskih obdobjih po scenariju RCP2.6



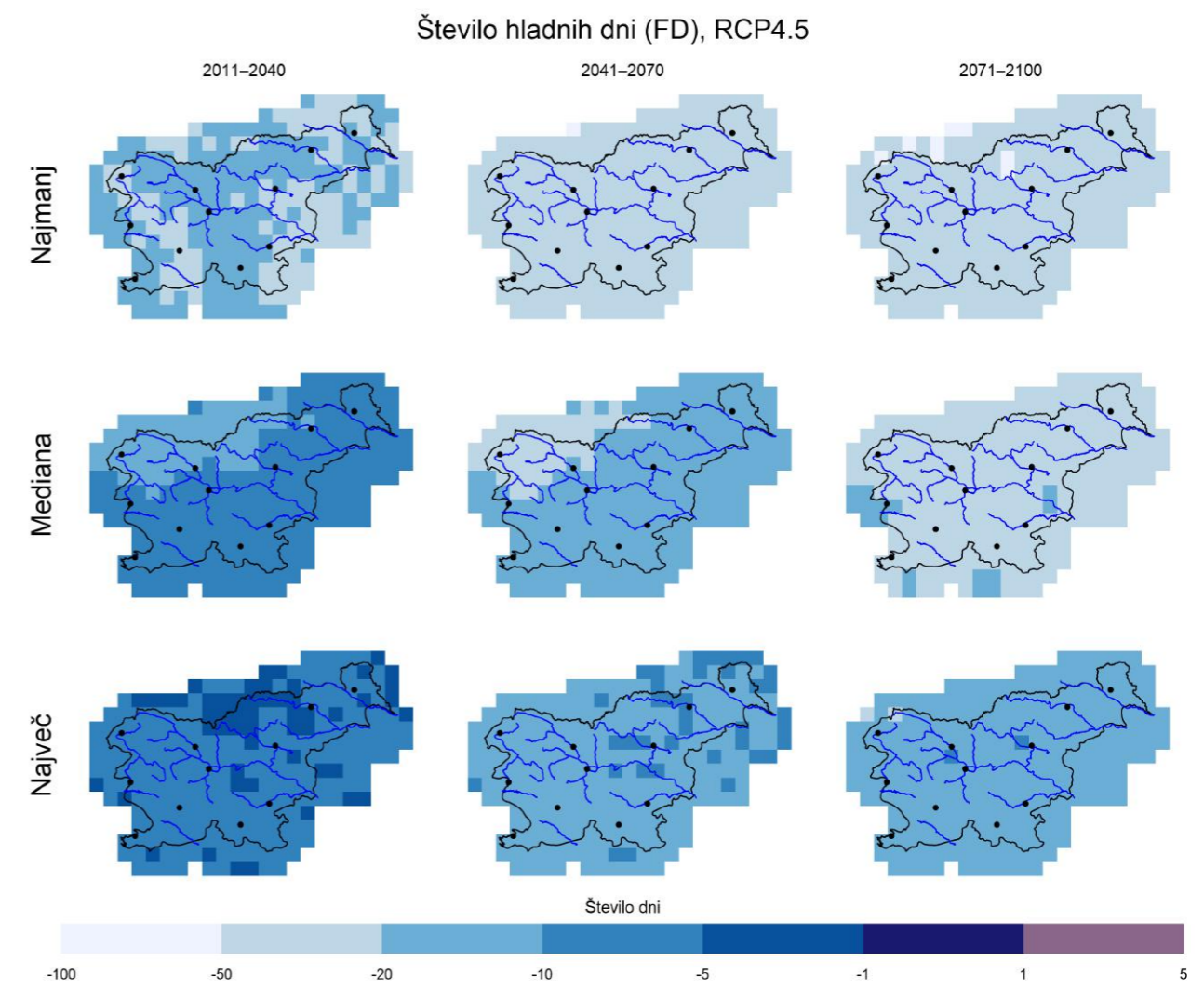
Slika 1.219 | Najmanjša vrednost, mediana in največja vrednost modelske spremembe glede na obdobje 1981–2010 za povprečno skupno dolžino hladnih obdobij (CSDI) v letu v treh projekcijskih obdobjih po scenariju RCP4.5



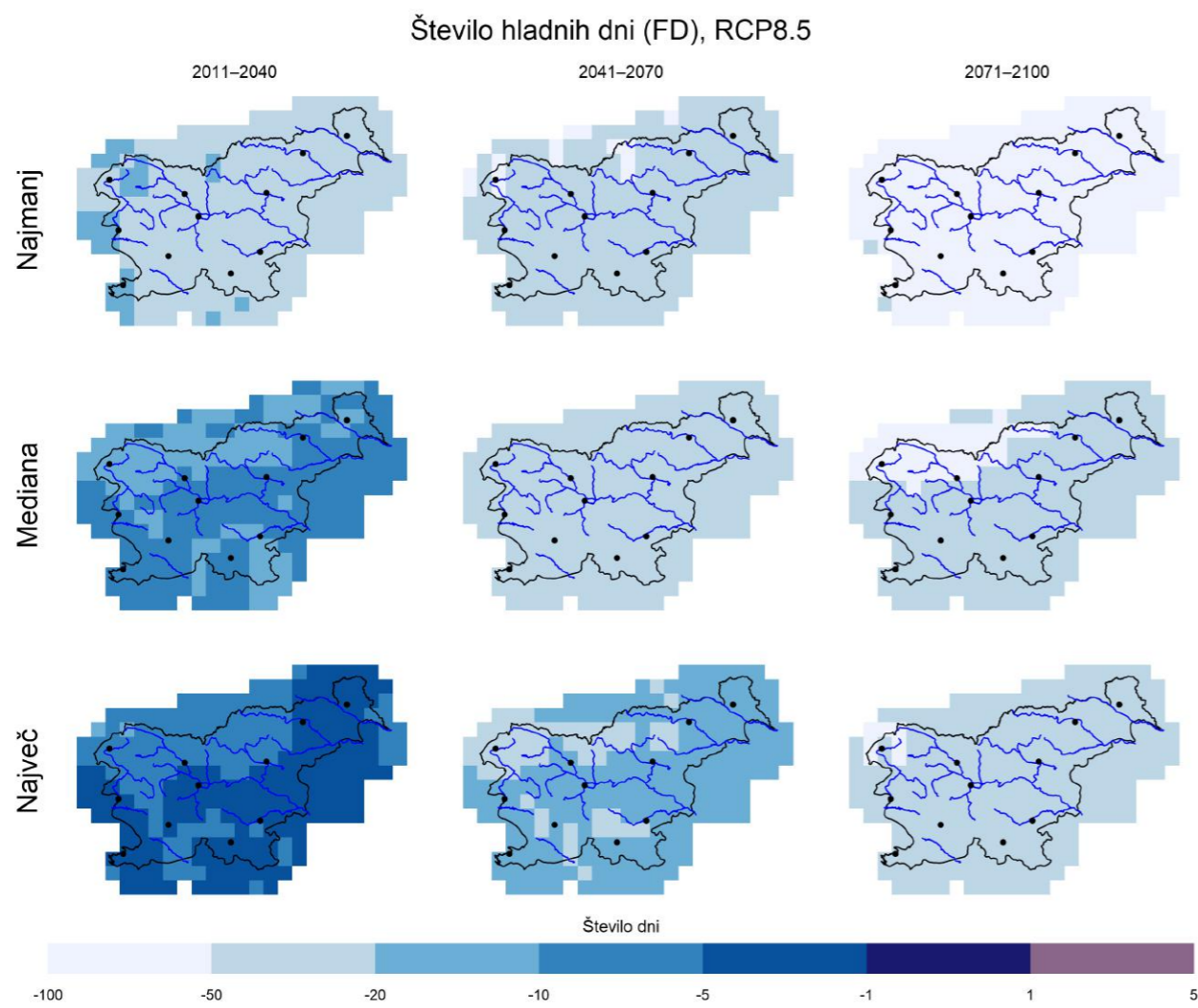
Slika 1.220 | Najmanjša vrednost, mediana in največja vrednost modelske spremembe glede na obdobje 1981–2010 za povprečno skupno dolžino hladnih obdobij (CSDI) v letu v treh projekcijskih obdobjih po scenariju RCP8.5



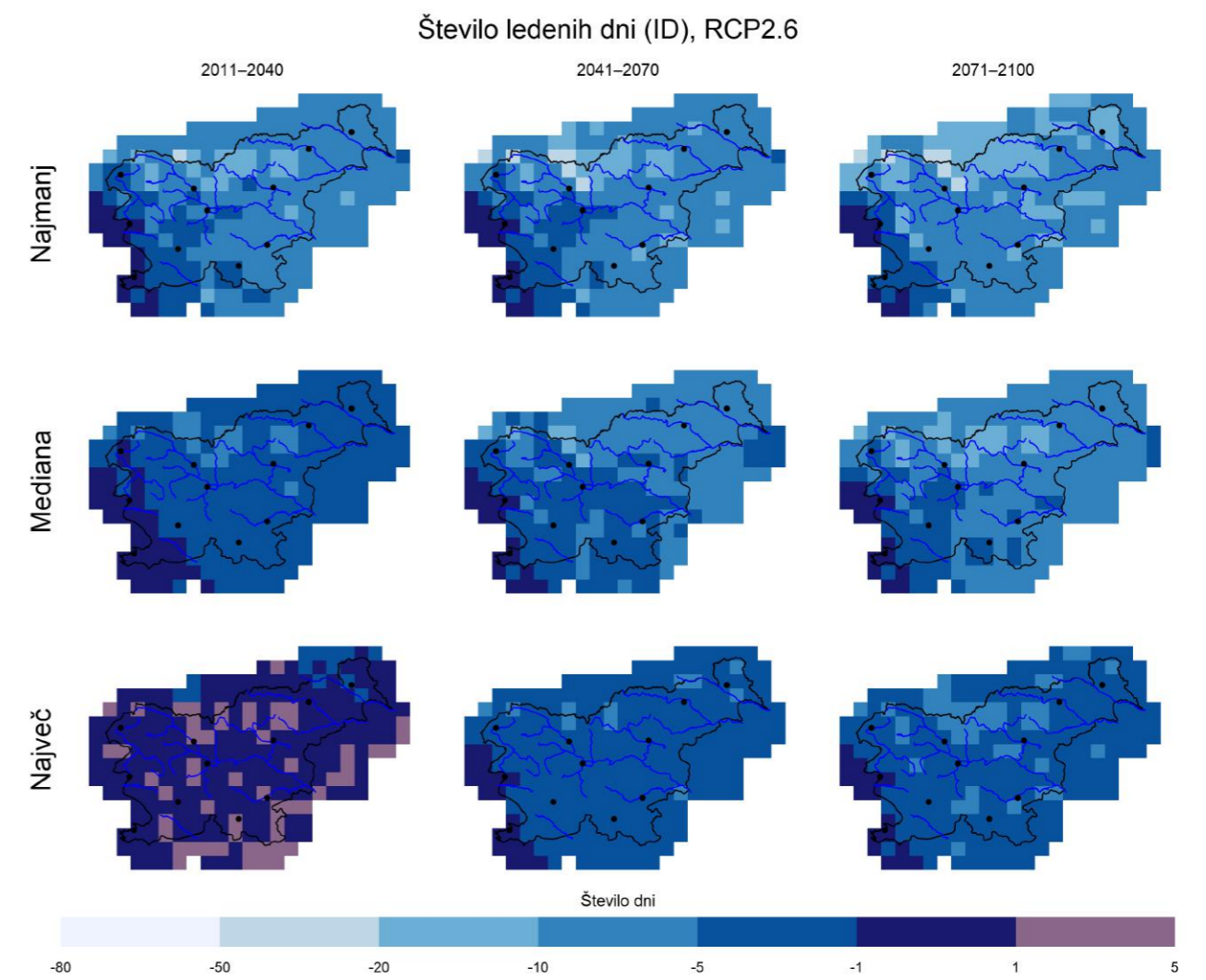
Slika 1.221 | Najmanjša vrednost, mediana in največja vrednost modelske spremembe glede na obdobje 1981–2010 za povprečno število hladnih dni (FD) na leto v treh projekcijskih obdobjih po scenariju RCP2.6



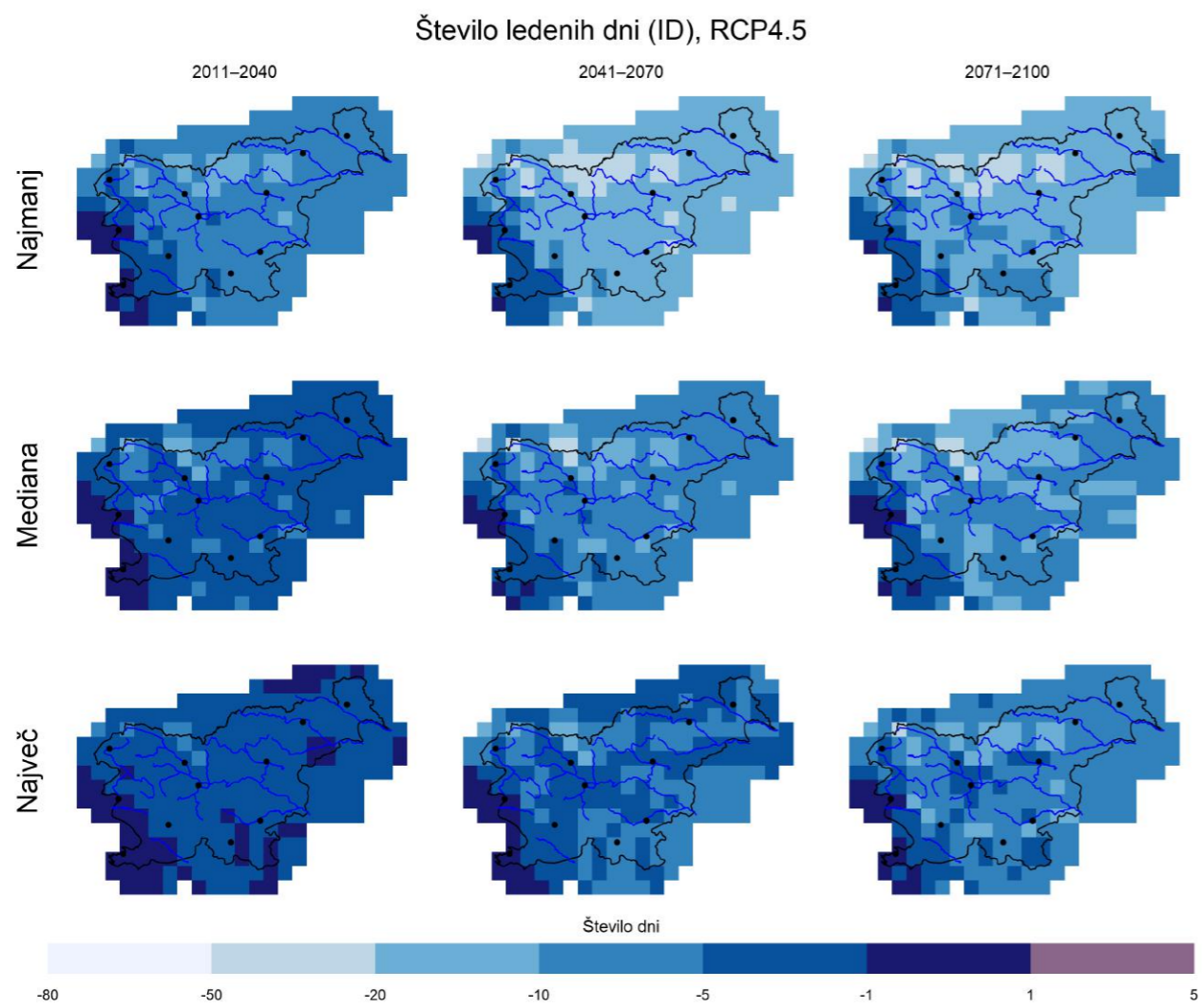
Slika 1.222 | Najmanjša vrednost, mediana in največja vrednost modelske spremembe glede na obdobje 1981–2010 za povprečno število hladnih dni (FD) na leto v treh projekcijskih obdobjih po scenariju RCP4.5



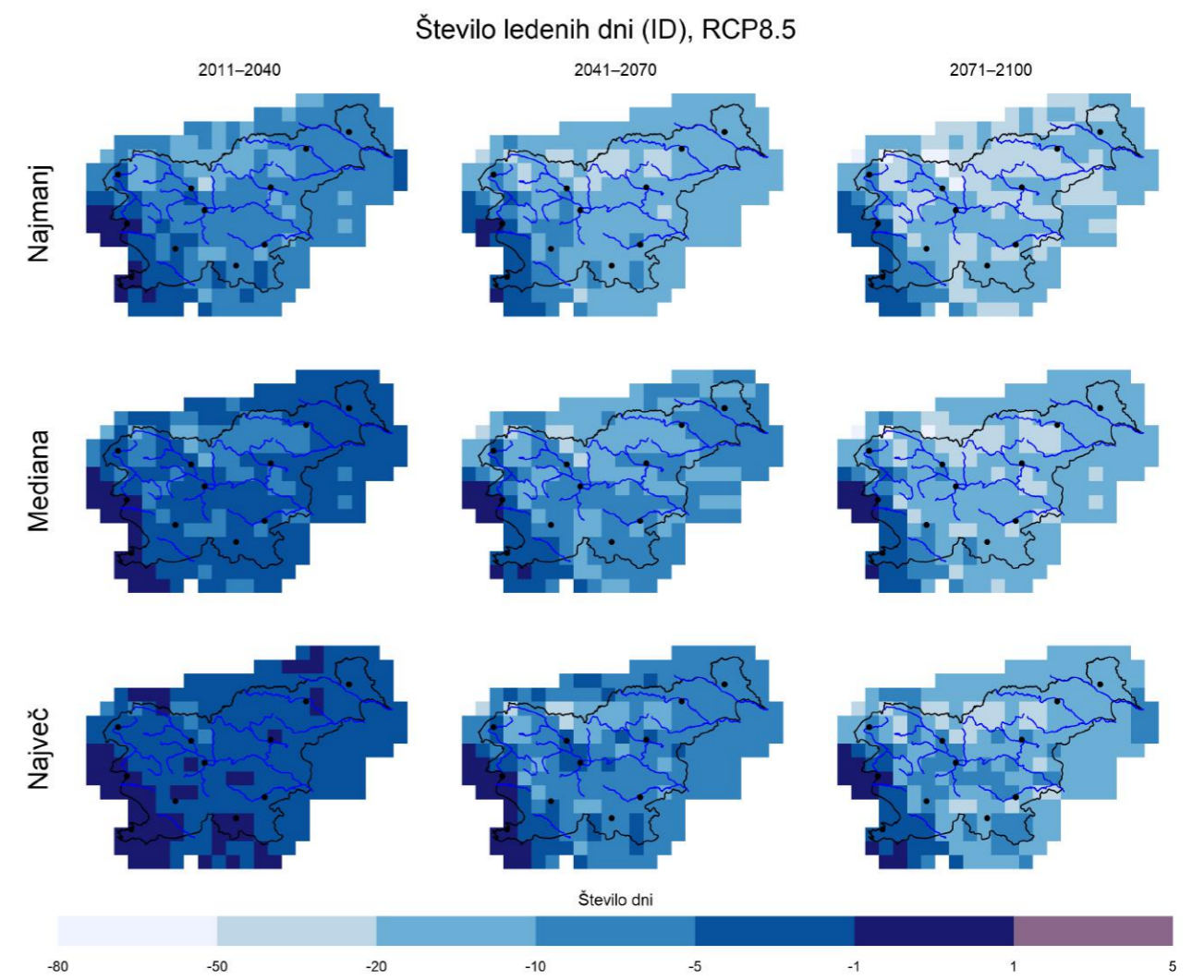
Slika 1.223 | Najmanjša vrednost, mediana in največja vrednost modelske spremembe glede na obdobje 1981–2010 za povprečno število hladnih dni (FD) na leto v treh projekcijskih obdobjih po scenariju RCP8.5



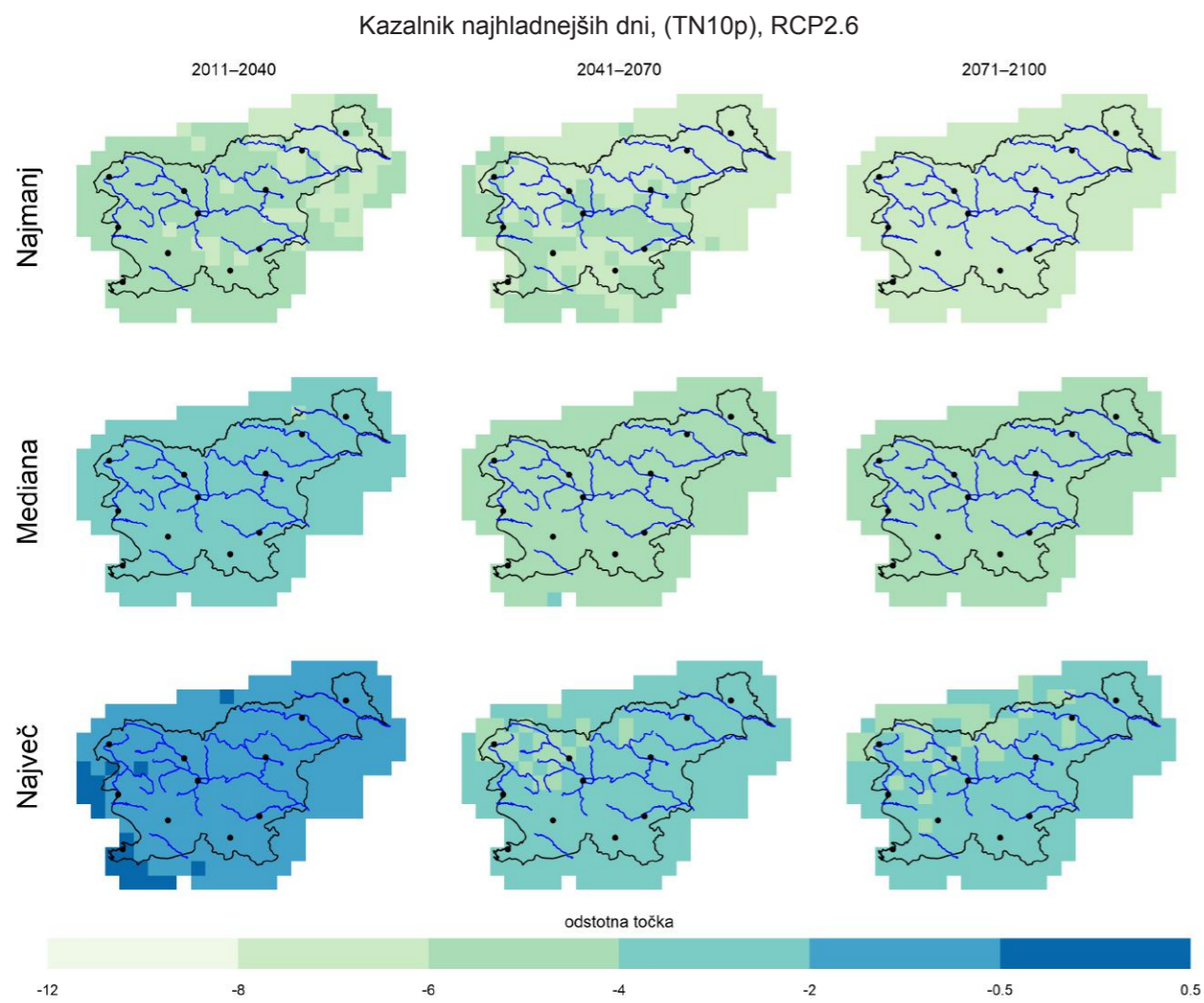
Slika 1.224 | Najmanjša vrednost, mediana in največja vrednost modelske spremembe glede na obdobje 1981–2010 za povprečno število ledenih dni (ID) na leto v treh projekcijskih obdobjih po scenariju RCP2.6



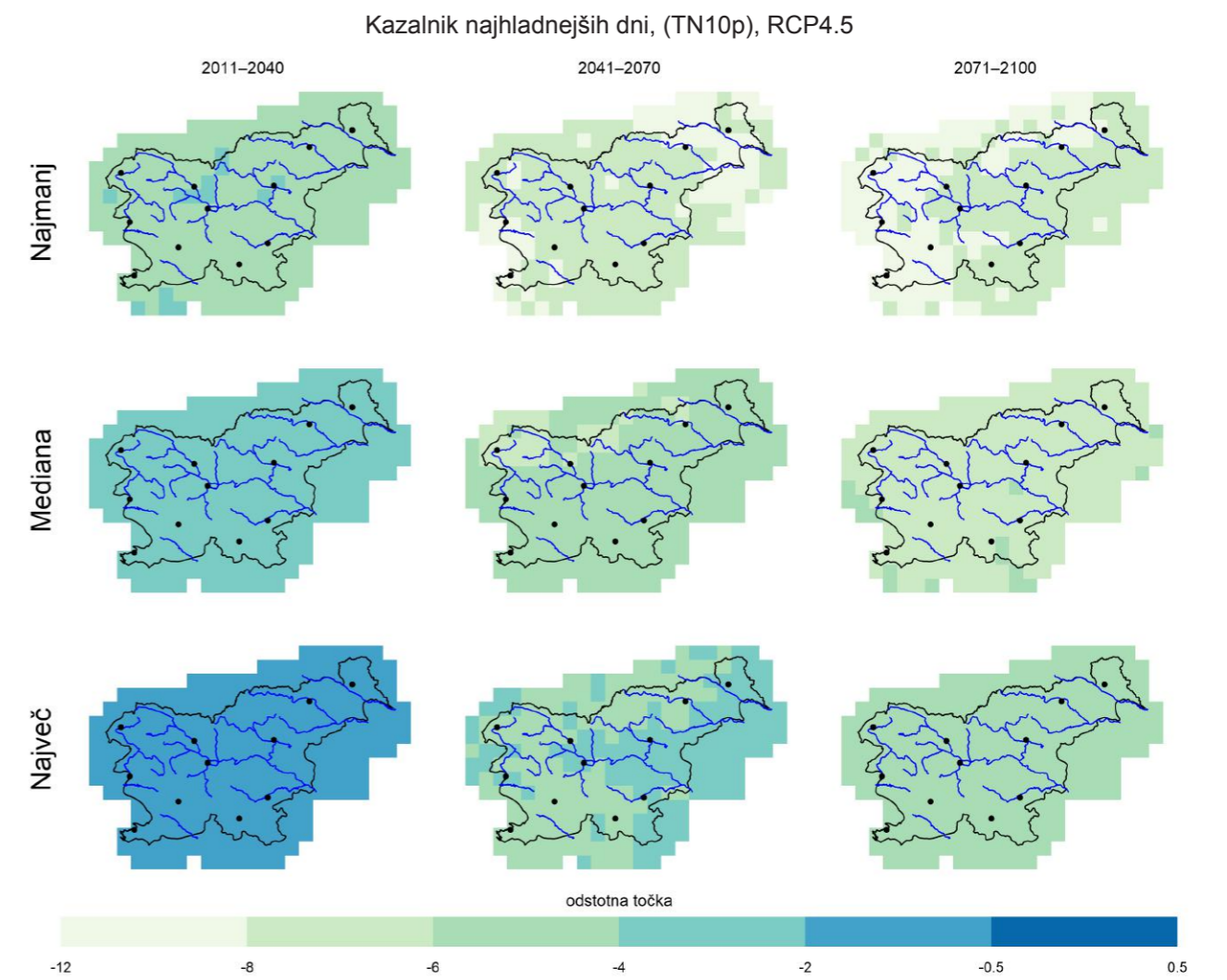
Slika 1.225 | Najmanjša vrednost, mediana in največja vrednost modelske spremembe glede na obdobje 1981–2010 za povprečno število ledenih dni (ID) na leto v treh projekcijskih obdobjih po scenariju RCP4.5



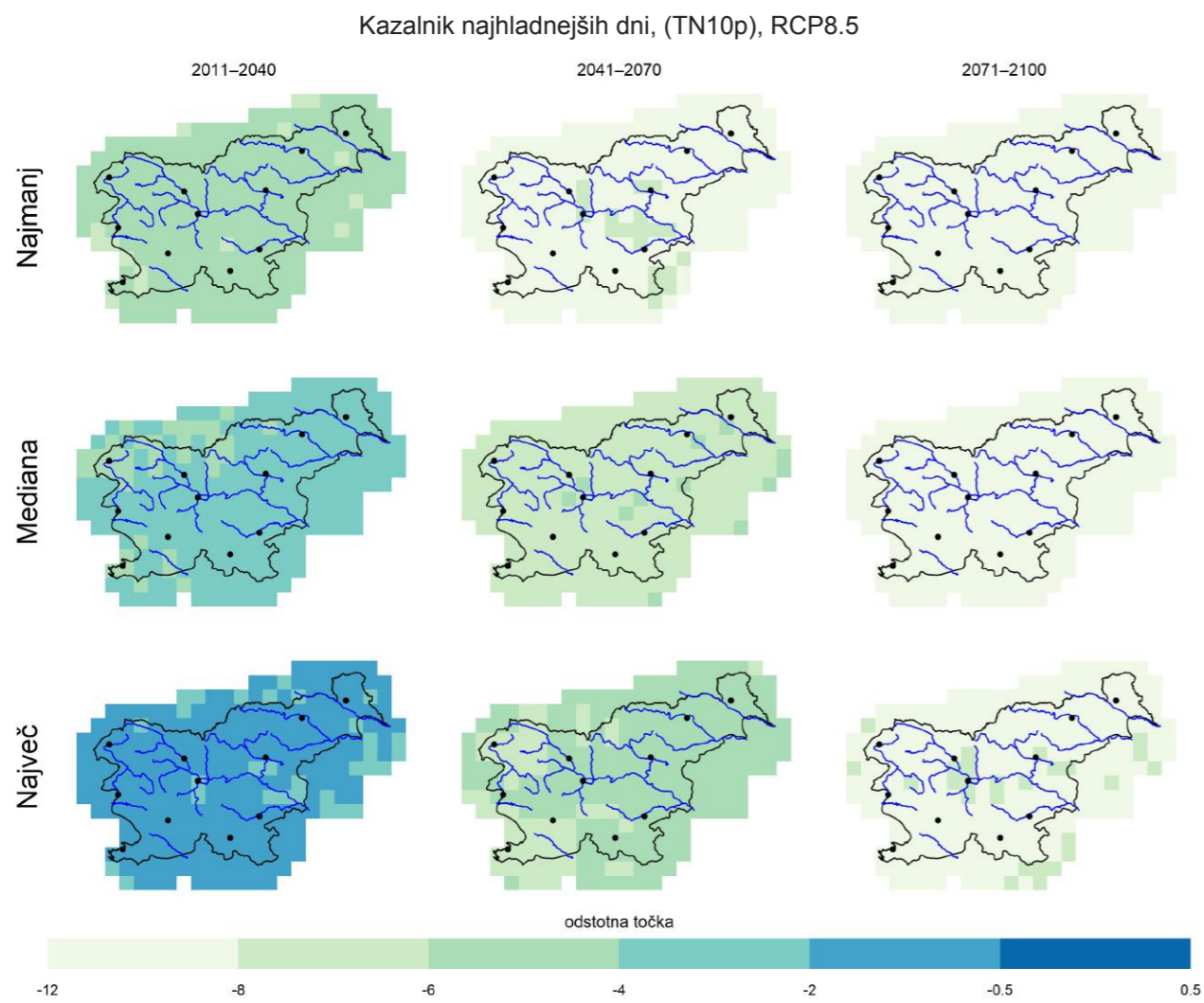
Slika 1.226 | Najmanjša vrednost, mediana in največja vrednost modelske spremembe glede na obdobje 1981–2010 za povprečno število ledenih dni (ID) na leto v treh projekcijskih obdobjih po scenariju RCP8.5



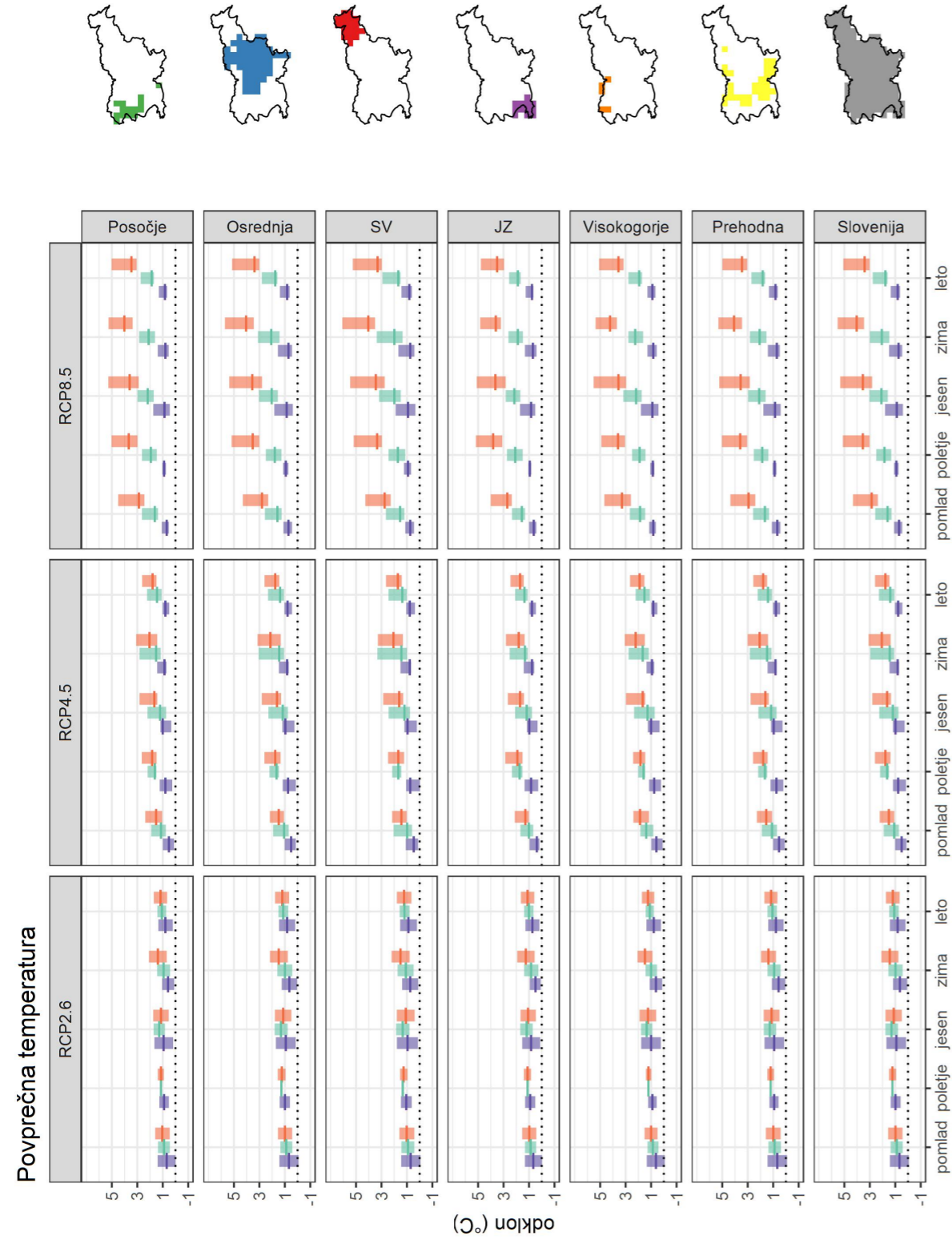
Slika 1.227 | Najmanjša vrednost, mediana in največja vrednost modelske spremembe glede na obdobje 1981–2010 za povprečje kazalnika najhladnejših dni (TN10p) v treh projekcijskih obdobjih po scenariju RCP2.6



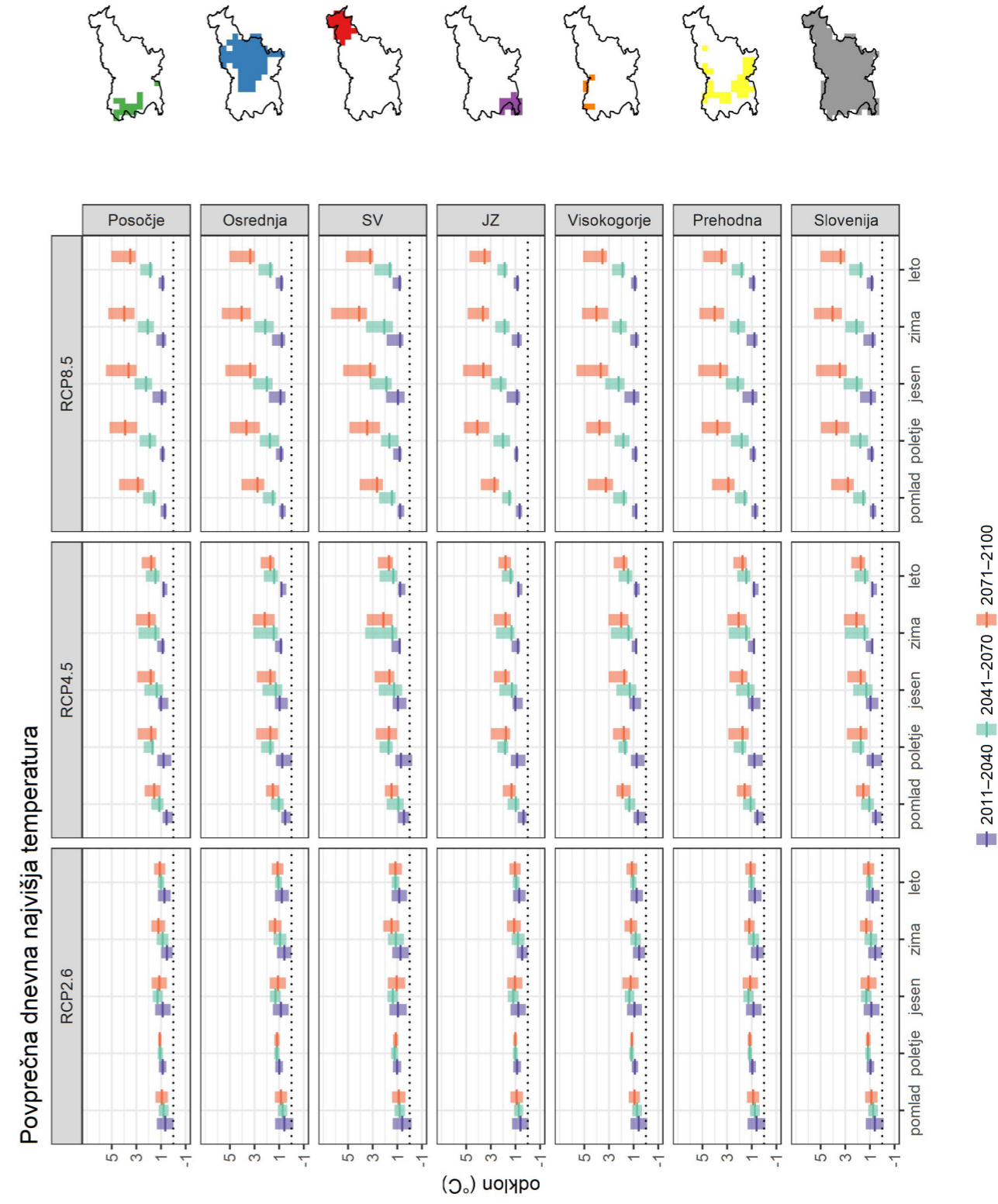
Slika 1.228 | Najmanjša vrednost, mediana in največja vrednost modelske spremembe glede na obdobje 1981–2010 za povprečje kazalnika najhladnejših dni (TN10p) v treh projekcijskih obdobjih po scenariju RCP4.5



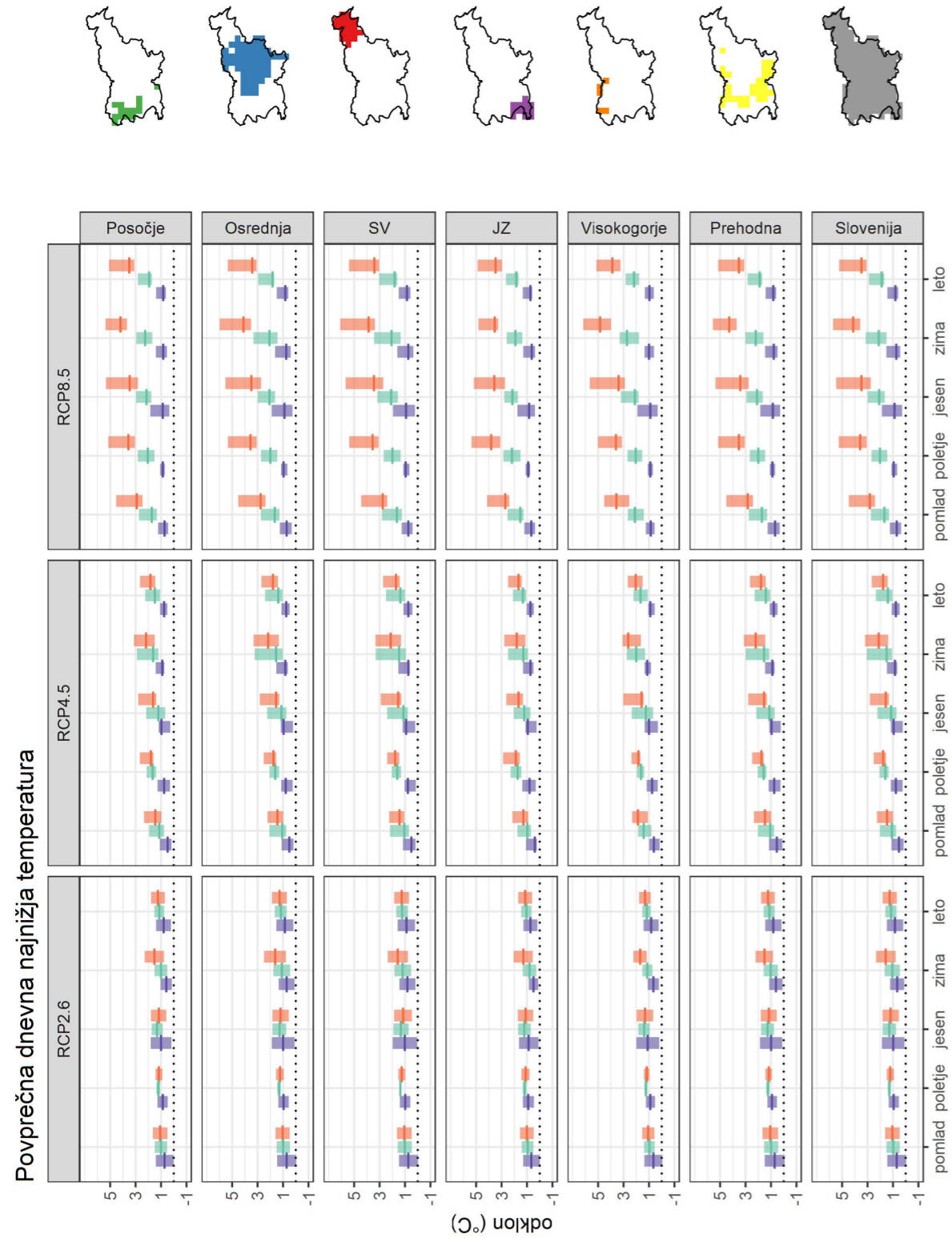
Slika 1.229 | Najmanjša vrednost, mediana in največja vrednost modelske spremembe glede na obdobje 1981–2010 za povprečje kazalnika najhladnejših dni (TN10p) v treh projekcijskih obdobjih po scenariju RCP8.5



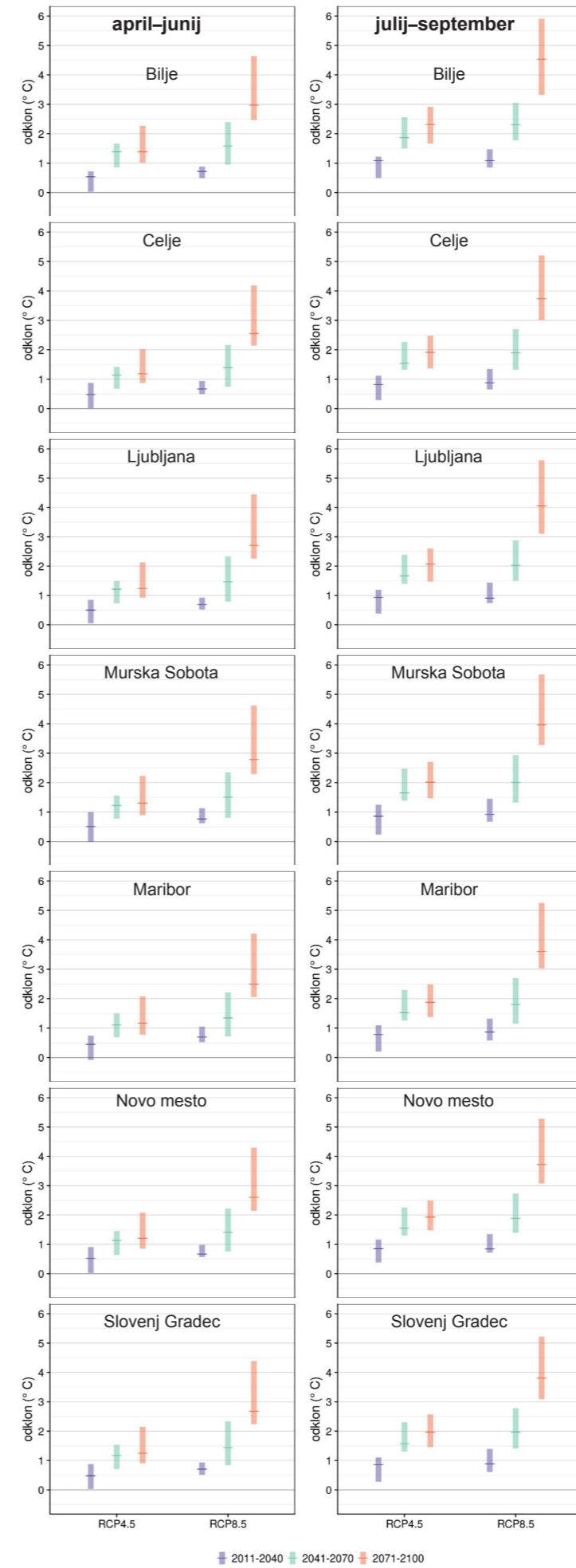
■ 2011–2040 ■ 2041–2070 ■ 2071–2100
 Slika 1.230 | Povprečni razponi sprememb povprečne temperature zraka v posameznih regijah po meteoroloških letnih časih in za celo leto za tri scenarije izpustov



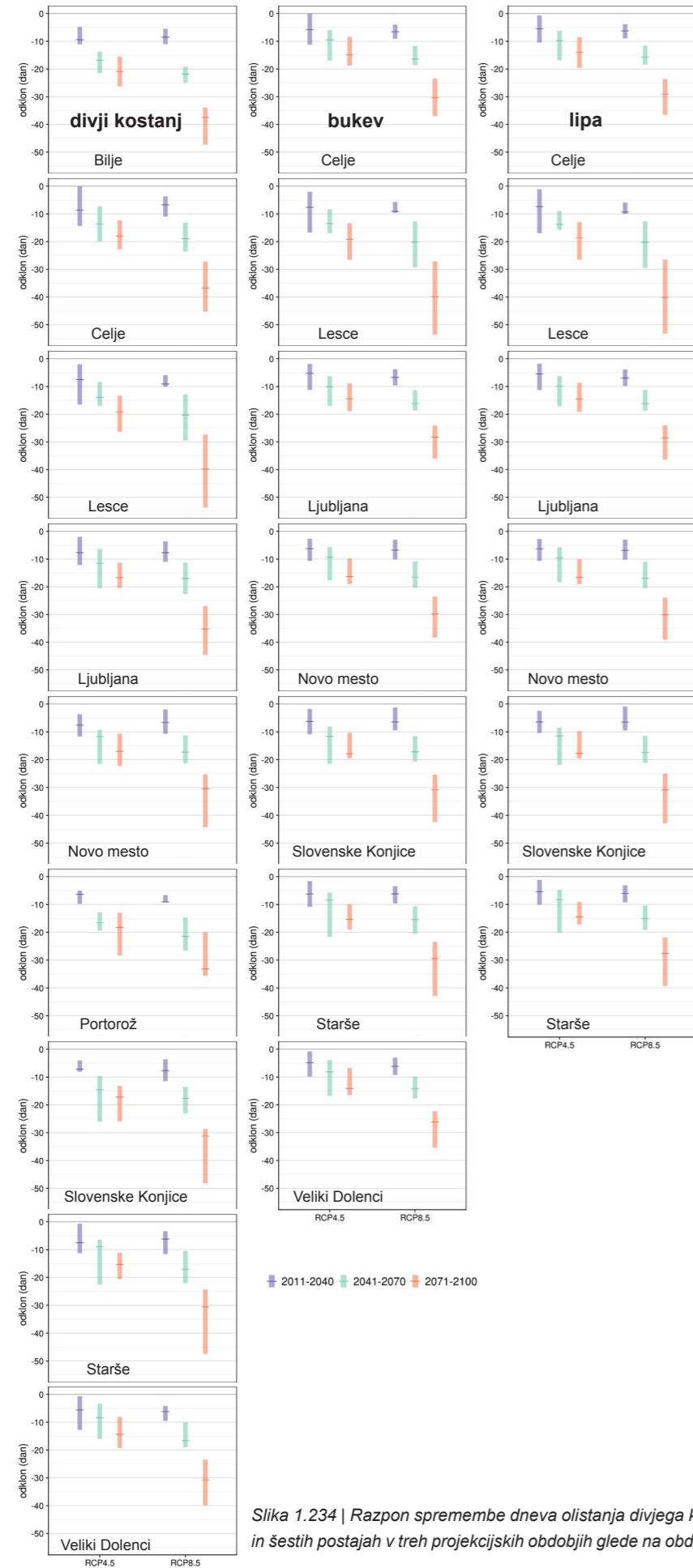
■ 2011–2040 ■ 2041–2070 ■ 2071–2100
 Slika 1.231 | Povprečni razponi sprememb povprečne dnevne najvišje temperature zraka v posameznih regijah po meteoroloških letnih in za celo leto za tri scenarije izpustov



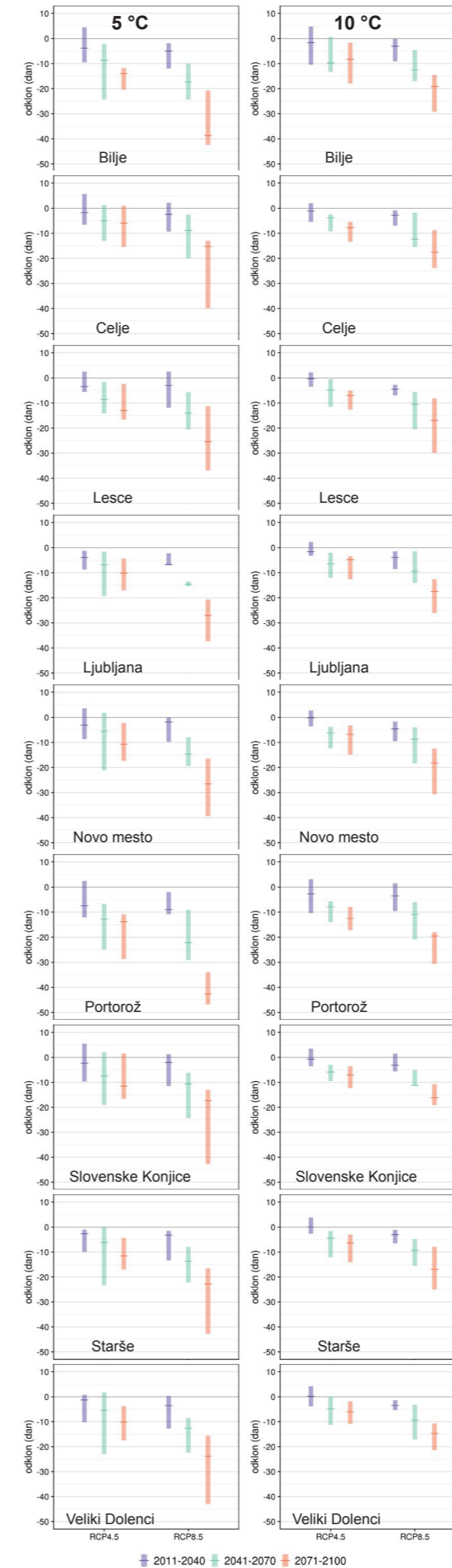
Slika 1.232 | Povprečni razponi sprememb povprečne dnevne najnižje temperature zraka v posameznih regijah po meteoroloških letnih časih in za celo leto za tri scenarije izpustov



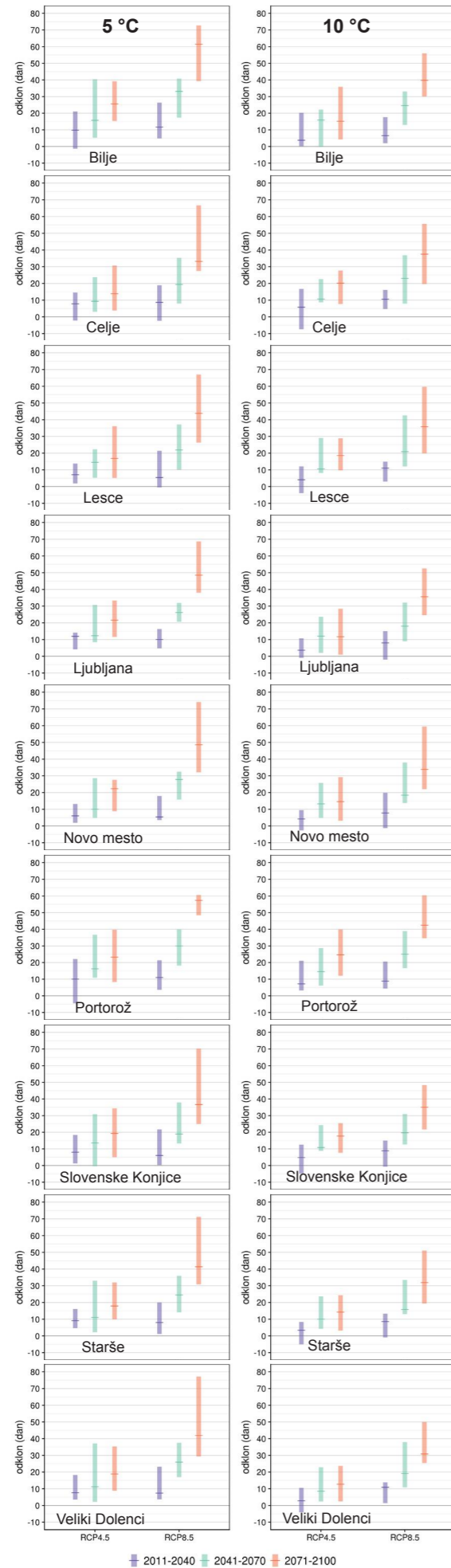
Slika 1.233 | Razpon spremembe povprečne temperature tal na globini 5 cm v prvem (april-junij) in drugem delu (julij-september) rastne dobe na sedmih postajah v treh projekcijskih obdobjih glede na obdobje 1981–2010 za dva scenarija izpustov



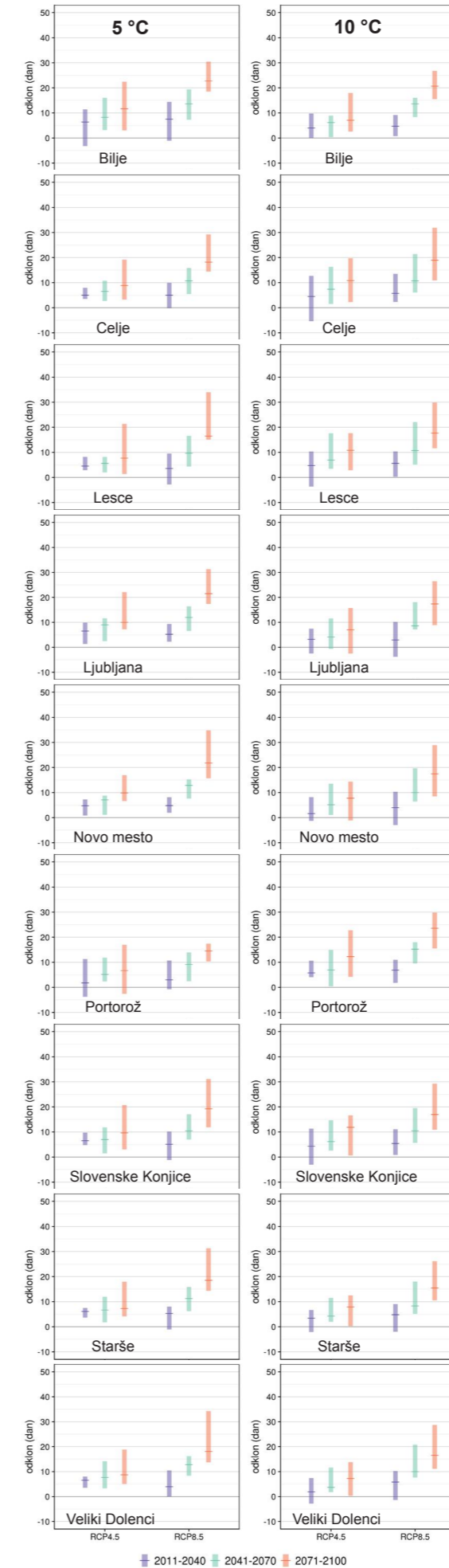
Slika 1.234 | Razpon spremembe dneva olistanja divjega kostanja, bukve in lipe na devetih, sedmih in šestih postajah v treh projekcijskih obdobjih glede na obdobje 1981–2010 za dva scenarija izpustov



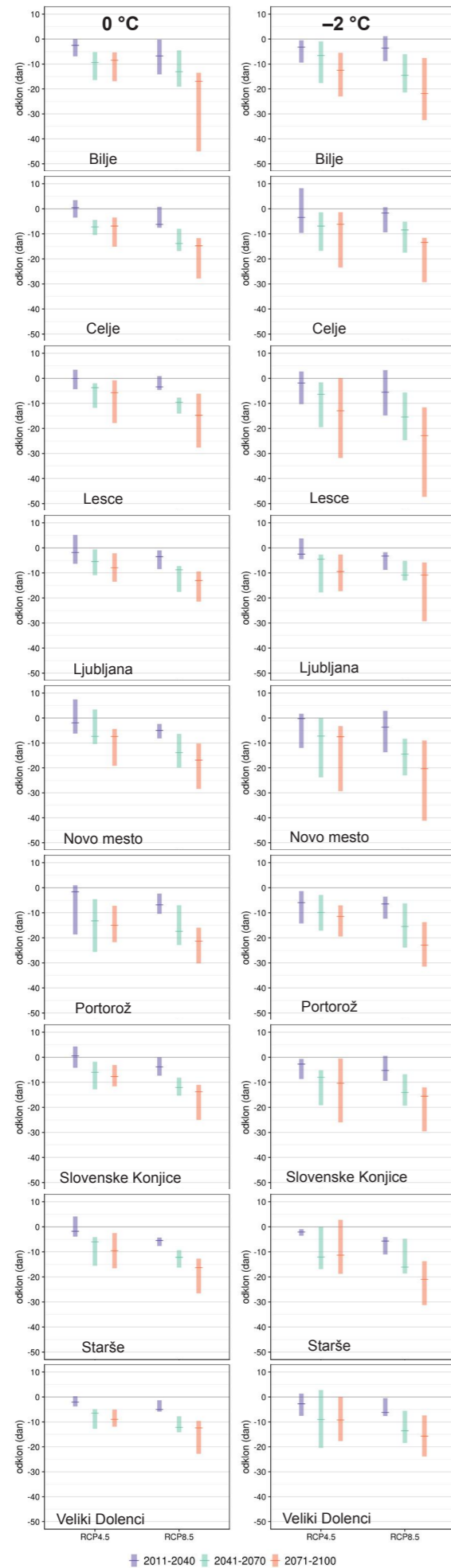
Slika 1.235 | Razpon spremembe dneva začetka rastne dobe za temperaturi praga 5 °C in 10 °C na devetih postajah v treh projekcijskih obdobjih glede na obdobje 1981–2010 za dva scenarija izpustov



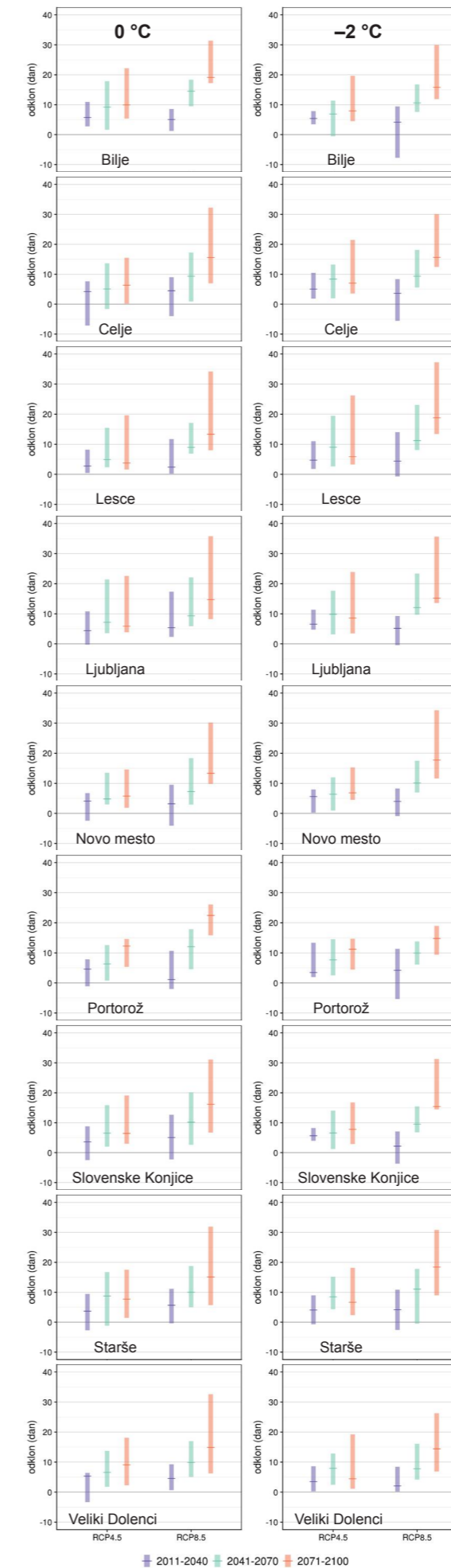
Slika 1.236 | Razpon spremembe dolžine rastne dobe za temperaturi praga 5 °C in 10 °C na devetih postajah v treh projekcijskih obdobjih glede na obdobje 1981–2010 za dva scenarija izpustov



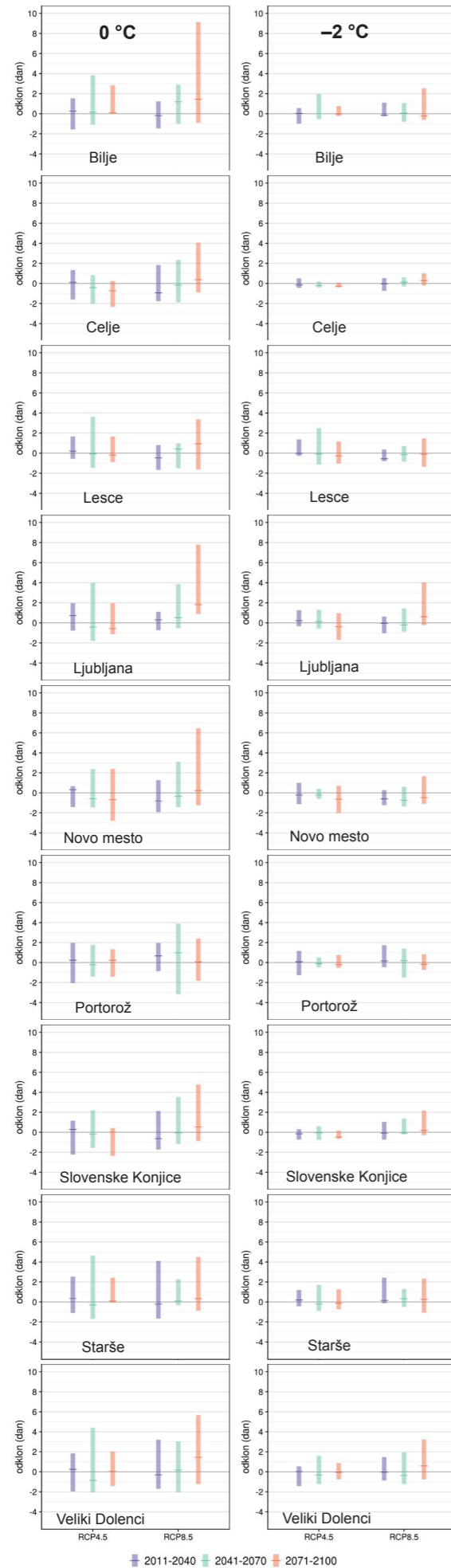
Slika 1.237 | Razpon spremembe dneva konca rastne dobe za temperaturi praga 5 °C in 10 °C na devetih postajah v treh projekcijskih obdobjih glede na obdobje 1981–2010 za dva scenarija izpustov



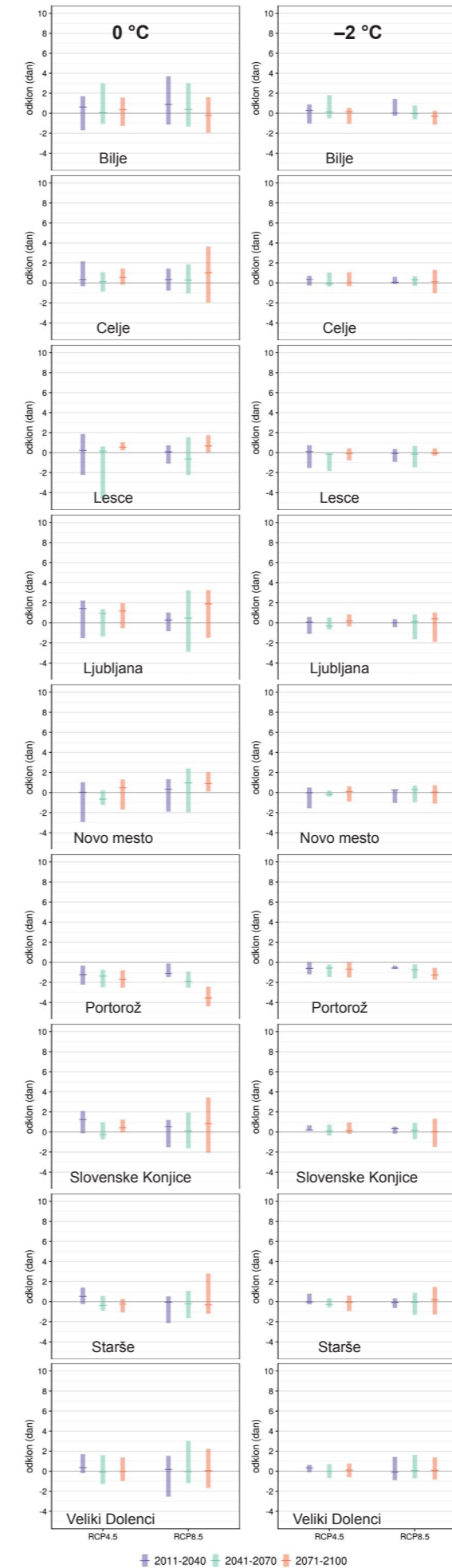
Slika 1.238 | Razpon spremembe dneva zadnje spomladanske pozebe pri najnižjih temperaturah zraka manjših od 0 °C in -2 °C na devetih postajah v treh projekcijskih obdobjih glede na obdobje 1981–2010 za dva scenarija izpustov



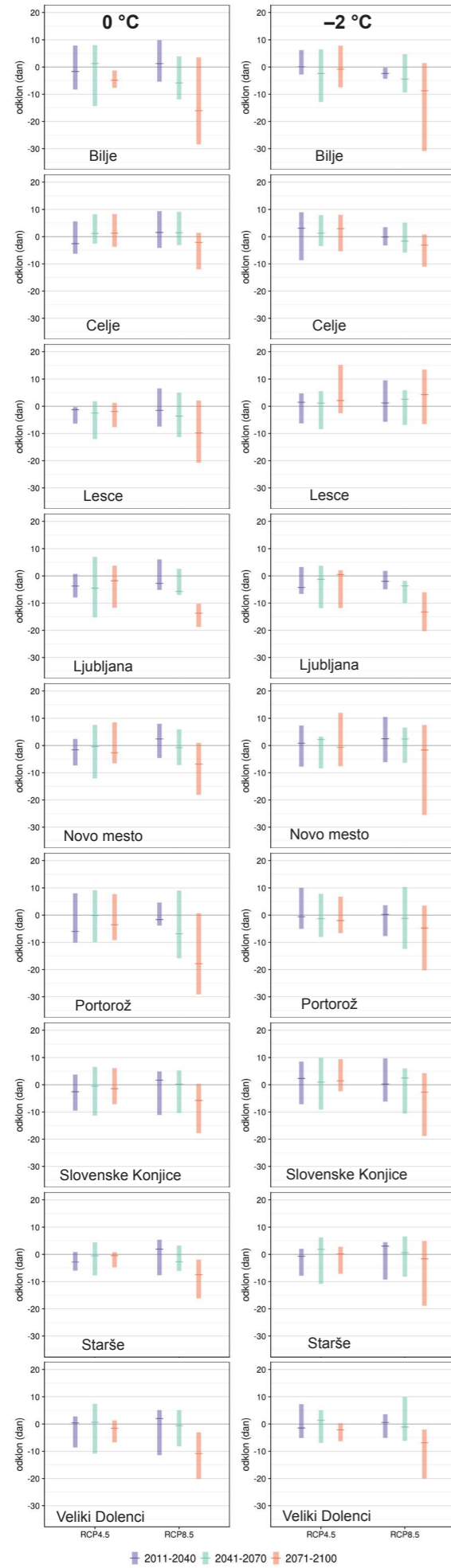
Slika 1.239 | Razpon spremembe dneva prve jesenske pozebe pri najnižjih temperaturah zraka manjših od 0 °C in -2 °C na devetih postajah v treh projekcijskih obdobjih glede na obdobje 1981–2010 za dva scenarija izpustov



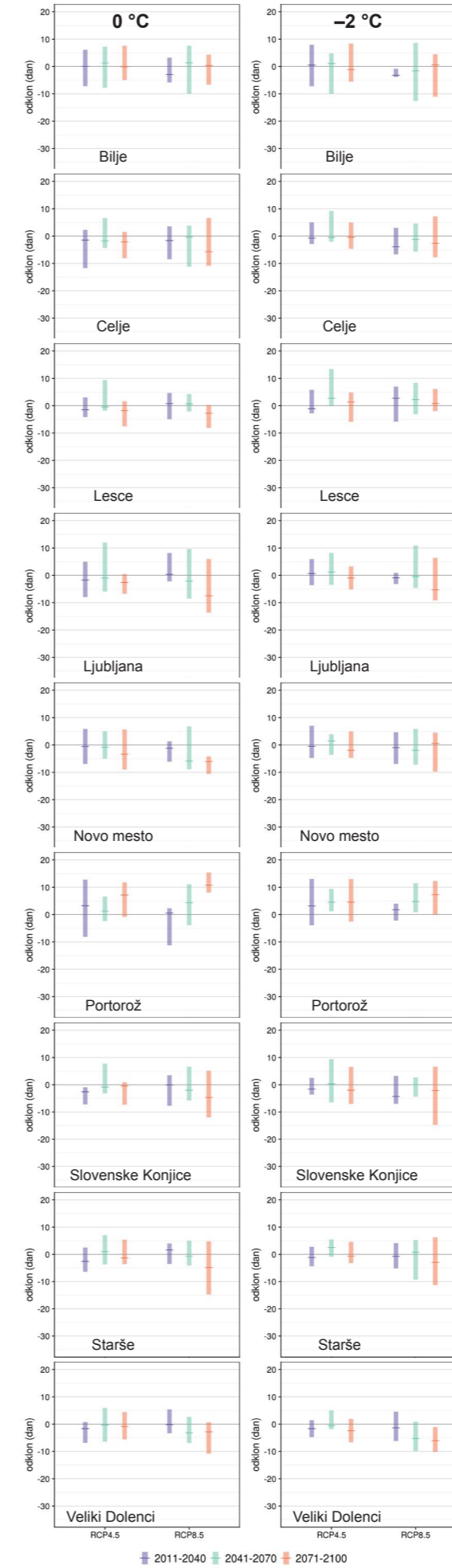
Slika 1.240 | Razpon spremembe števila dni s spomladansko pozebo za temperaturni prag 5 °C pri najnižjih temperaturah zraka manjših od 0 °C in -2 °C na devetih postajah v treh projekcijskih obdobjih glede na obdobje 1981–2010 za dva scenarija izpustov



Slika 1.241 | Razpon spremembe števila dni z jesensko pozebo za temperaturni prag 5 °C pri najnižjih temperaturah zraka manjših od 0 °C in -2 °C na devetih postajah v treh projekcijskih obdobjih glede na obdobje 1981–2010 za dva scenarija izpustov



Slika 1.242 | Razpon spremembe varnostne rezerve pred spomladansko pozebo za temperaturni prag 5 °C pri najnižjih temperaturah zraka manjših od 0 °C in -2 °C na devetih postajah v treh projekcijskih obdobjih glede na obdobje 1981–2010 za dva scenarija izpustov



Slika 1.243 | Razpon spremembe varnostne rezerve pred jesensko pozebo za temperaturni prag 5 °C pri najnižjih temperaturah zraka manjših od 0 °C in -2 °C na devetih postajah v treh projekcijskih obdobjih glede na obdobje 1981–2010 za dva scenarija izpustov

Povprečna temperatura, Posočje

Sezona	Scenarij	2011–2040			2041–2070			2071–2100		
		Najmanj	Mediana	Največ	Najmanj	Mediana	Največ	Najmanj	Mediana	Največ
pomlad	RCP2.6	0,0	0,7	1,4	0,4	0,9	1,4	0,5	1,0	1,6
	RCP4.5	0,1	0,5	1,0	0,8	1,2	1,9	1,1	1,5	2,4
	RCP8.5	0,5	0,7	1,1	1,4	1,6	2,6	2,4	2,9	4,5
poletje	RCP2.6	0,5	0,9	1,3	1,1	1,2	1,2	0,9	1,2	1,4
	RCP4.5	0,3	0,8	1,2	1,5	1,6	2,2	1,5	1,8	2,7
	RCP8.5	0,8	0,9	1,0	1,5	2,0	2,6	3,0	3,7	5,0
jesen	RCP2.6	0,2	0,9	1,7	0,8	1,3	1,7	0,5	1,1	1,8
	RCP4.5	0,3	1,0	1,2	0,7	1,2	2,2	1,4	1,7	2,8
	RCP8.5	0,5	0,9	1,7	1,7	2,2	3,0	2,9	3,6	5,3
zima	RCP2.6	0,1	0,6	1,0	0,4	0,9	1,4	0,7	1,4	2,1
	RCP4.5	0,7	0,9	1,4	1,2	1,5	2,8	1,4	2,0	3,1
	RCP8.5	0,5	0,8	1,4	1,6	2,1	2,9	3,4	4,0	5,3
leto	RCP2.6	0,2	0,8	1,4	0,7	1,1	1,4	0,7	1,2	1,7
	RCP4.5	0,5	0,8	1,0	1,1	1,5	2,2	1,5	1,8	2,6
	RCP8.5	0,7	0,8	1,3	1,7	1,9	2,7	3,1	3,5	5,0

Preglednica 1.1 | Največja vrednost, mediana in najmanjša vrednost modelske spremembe povprečne temperature zraka (v °C) v regiji Posočje po meteoroloških letnih časih in za celo leto od povprečja v obdobju 1981–2010

Povprečna temperatura, severovzhodna regija

Sezona	Scenarij	2011–2040			2041–2070			2071–2100		
		Najmanj	Mediana	Največ	Najmanj	Mediana	Največ	Najmanj	Mediana	Največ
pomlad	RCP2.6	-0,1	0,7	1,5	0,4	0,9	1,4	0,4	1,0	1,6
	RCP4.5	0,1	0,5	1,1	0,6	1,0	2,1	1,0	1,4	2,2
	RCP8.5	0,4	0,8	1,1	1,2	1,5	2,7	2,3	2,8	4,3
poletje	RCP2.6	0,6	1,1	1,5	1,2	1,3	1,4	1,0	1,3	1,5
	RCP4.5	-0,0	0,7	1,1	1,4	1,7	2,2	1,2	1,7	2,5
	RCP8.5	0,7	0,9	1,2	1,1	1,7	2,5	3,0	3,4	5,2
jesen	RCP2.6	0,1	1,0	1,8	0,8	1,3	1,9	0,4	1,1	1,8
	RCP4.5	0,2	1,0	1,2	0,8	1,2	2,4	1,3	1,6	2,9
	RCP8.5	0,3	0,9	1,9	1,5	2,0	3,2	2,7	3,5	5,5
zima	RCP2.6	0,1	0,8	1,4	0,5	1,1	1,7	0,8	1,5	2,2
	RCP4.5	0,7	0,8	1,5	1,0	1,4	3,3	1,3	2,1	3,3
	RCP8.5	0,4	0,7	1,7	1,3	2,0	3,4	3,5	4,0	6,1
leto	RCP2.6	0,2	0,9	1,5	0,8	1,2	1,6	0,7	1,2	1,8
	RCP4.5	0,4	0,8	1,1	1,0	1,4	2,5	1,4	1,7	2,6
	RCP8.5	0,6	0,8	1,4	1,5	1,7	2,9	3,0	3,3	5,3

Preglednica 1.3 | Največja vrednost, mediana in najmanjša vrednost modelske spremembe povprečne temperature zraka (v °C) v severovzhodni regiji po meteoroloških letnih časih in za celo leto od povprečja v obdobju 1981–2010

Povprečna temperatura, osrednja regija

Sezona	Scenarij	2011–2040			2041–2070			2071–2100		
		Najmanj	Mediana	Največ	Najmanj	Mediana	Največ	Najmanj	Mediana	Največ
pomlad	RCP2.6	-0,1	0,7	1,4	0,4	0,9	1,4	0,4	1,0	1,5
	RCP4.5	0,1	0,5	1,0	0,7	1,1	1,9	1,1	1,5	2,2
	RCP8.5	0,4	0,7	1,1	1,3	1,6	2,6	2,3	2,8	4,3
poletje	RCP2.6	0,6	1,0	1,4	1,2	1,3	1,3	0,9	1,3	1,6
	RCP4.5	0,1	0,8	1,2	1,5	1,7	2,2	1,3	1,8	2,6
	RCP8.5	0,7	0,9	1,1	1,3	1,8	2,5	3,0	3,5	5,2
jesen	RCP2.6	0,2	0,9	1,7	0,8	1,3	1,8	0,5	1,1	1,8
	RCP4.5	0,3	1,0	1,2	0,8	1,2	2,3	1,3	1,6	2,8
	RCP8.5	0,4	0,9	1,8	1,6	2,0	3,0	2,8	3,6	5,4
zima	RCP2.6	0,0	0,6	1,3	0,4	1,0	1,6	0,8	1,5	2,2
	RCP4.5	0,7	0,8	1,5	1,1	1,5	3,1	1,3	2,1	3,2
	RCP8.5	0,4	0,7	1,6	1,4	2,1	3,1	3,4	4,0	5,7
leto	RCP2.6	0,2	0,8	1,5	0,7	1,1	1,5	0,7	1,2	1,8
	RCP4.5	0,4	0,8	1,0	1,1	1,4	2,3	1,4	1,8	2,6
	RCP8.5	0,6	0,8	1,4	1,6	1,8	2,8	3,0	3,4	5,2

Preglednica 1.2 | Največja vrednost, mediana in najmanjša vrednost modelske spremembe povprečne temperature zraka (v °C) v osrednji regiji po meteoroloških letnih časih in za celo leto od povprečja v obdobju 1981–2010

Povprečna temperatura, jugozahodna regija

Sezona	Scenarij	2011–2040			2041–2070			2071–2100		
		Najmanj	Mediana	Največ	Najmanj	Mediana	Največ	Najmanj	Mediana	Največ
pomlad	RCP2.6	-0,0	0,7	1,3	0,4	0,9	1,3	0,4	1,0	1,5
	RCP4.5	0,2	0,4	1,0	0,7	1,0	1,7	1,0	1,3	2,1
	RCP8.5	0,4	0,6	1,0	1,3	1,6	2,3	2,4	2,7	4,0
poletje	RCP2.6	0,5	0,9	1,3	1,1	1,1	1,1	0,8	1,1	1,4
	RCP4.5	0,3	0,8	1,4	1,5	1,8	2,3	1,5	1,9	2,9
	RCP8.5	0,8	0,9	1,1	1,5	2,1	2,7	3,1	3,8	5,2
jesen	RCP2.6	0,1	0,8	1,5	0,7	1,2	1,7	0,5	1,1	1,7
	RCP4.5	0,3	1,0	1,2	0,8	1,2	2,1	1,4	1,7	2,7
	RCP8.5	0,5	0,8	1,7	1,7	2,2	2,8	2,8	3,7	5,1
zima	RCP2.6	0,1	0,5	0,9	0,3	0,8	1,4	0,6	1,2	1,9
	RCP4.5	0,6	0,8	1,4	1,1	1,3	2,5	1,3	1,8	2,8
	RCP8.5	0,4	0,7	1,3	1,5	1,9	2,6	3,2	3,6	4,8
leto	RCP2.6	0,2	0,7	1,3	0,7	1,0	1,4	0,6	1,1	1,6
	RCP4.5	0,5	0,8	1,0	1,1	1,4	2,1	1,4	1,7	2,5
	RCP8.5	0,7	0,8	1,3	1,7	1,9	2,6	3,0	3,5	4,8

Preglednica 1.4 | Največja vrednost, mediana in najmanjša vrednost modelske spremembe povprečne temperature zraka (v °C) v jugozahodni regiji po meteoroloških letnih časih in za celo leto od povprečja v obdobju 1981–2010

Povprečna temperatura, visokogorje

Sezona	Scenarij	2011–2040			2041–2070			2071–2100		
		Najmanj	Mediana	Največ	Najmanj	Mediana	Največ	Najmanj	Mediana	Največ
pomlad	RCP2.6	-0,1	0,6	1,3	0,4	0,9	1,3	0,5	1,0	1,5
	RCP4.5	0,1	0,6	1,0	0,8	1,4	1,8	1,2	1,9	2,4
	RCP8.5	0,6	0,8	1,2	1,5	1,9	2,7	2,6	3,3	4,7
poletje	RCP2.6	0,6	0,9	1,2	1,2	1,2	1,2	1,0	1,2	1,4
	RCP4.5	0,2	0,8	1,2	1,5	1,6	2,0	1,5	1,8	2,4
	RCP8.5	0,7	0,9	1,1	1,4	1,9	2,5	3,1	3,6	4,9
jesen	RCP2.6	0,2	1,0	1,8	0,9	1,4	1,8	0,6	1,3	1,9
	RCP4.5	0,3	1,0	1,3	0,7	1,3	2,3	1,5	1,7	3,0
	RCP8.5	0,4	0,9	1,8	1,7	2,2	3,2	3,0	3,6	5,5
zima	RCP2.6	0,1	0,6	1,1	0,5	1,0	1,4	0,9	1,5	2,1
	RCP4.5	0,8	0,9	1,4	1,2	1,7	2,8	1,5	2,2	3,1
	RCP8.5	0,6	0,8	1,3	1,6	2,2	2,8	3,7	4,2	5,4
leto	RCP2.6	0,2	0,8	1,4	0,8	1,1	1,4	0,8	1,2	1,7
	RCP4.5	0,5	0,8	1,0	1,1	1,5	2,2	1,5	1,9	2,7
	RCP8.5	0,7	0,9	1,3	1,7	1,9	2,8	3,2	3,6	5,1

Preglednica 1.5 | Največja vrednost, mediana in najmanjša vrednost modelske spremembe povprečne temperature zraka (v °C) v regiji visokogorje po meteoroloških letnih časih in za celo leto od povprečja v obdobju 1981–2010

Povprečna temperatura, Slovenija

Sezona	Scenarij	2011–2040			2041–2070			2071–2100		
		Najmanj	Mediana	Največ	Najmanj	Mediana	Največ	Najmanj	Mediana	Največ
pomlad	RCP2.6	-0,1	0,7	1,4	0,4	0,9	1,4	0,4	1,0	1,6
	RCP4.5	0,1	0,5	1,0	0,7	1,1	1,9	1,1	1,5	2,2
	RCP8.5	0,5	0,7	1,1	1,3	1,6	2,6	2,4	2,8	4,3
poletje	RCP2.6	0,6	1,0	1,4	1,2	1,2	1,3	0,9	1,2	1,5
	RCP4.5	0,2	0,8	1,2	1,5	1,7	2,2	1,4	1,8	2,6
	RCP8.5	0,7	0,9	1,1	1,3	1,9	2,5	3,0	3,6	5,1
jesen	RCP2.6	0,2	0,9	1,7	0,8	1,3	1,8	0,5	1,1	1,8
	RCP4.5	0,3	1,0	1,2	0,8	1,2	2,3	1,3	1,6	2,8
	RCP8.5	0,4	0,9	1,8	1,6	2,1	3,0	2,8	3,6	5,3
zima	RCP2.6	0,1	0,6	1,2	0,4	1,0	1,5	0,8	1,4	2,1
	RCP4.5	0,7	0,8	1,5	1,1	1,4	3,0	1,4	2,1	3,1
	RCP8.5	0,5	0,7	1,5	1,5	2,1	3,0	3,5	4,0	5,5
leto	RCP2.6	0,2	0,8	1,4	0,7	1,1	1,5	0,7	1,2	1,7
	RCP4.5	0,4	0,8	1,0	1,1	1,4	2,3	1,5	1,8	2,6
	RCP8.5	0,6	0,8	1,4	1,6	1,8	2,8	3,0	3,4	5,1

Preglednica 1.7 | Največja vrednost, mediana in najmanjša vrednost modelske spremembe povprečne temperature zraka (v °C) v Sloveniji po meteoroloških letnih časih in za celo leto od povprečja v obdobju 1981–2010

Povprečna temperatura, prehodna regija

Sezona	Scenarij	2011–2040			2041–2070			2071–2100		
		Najmanj	Mediana	Največ	Najmanj	Mediana	Največ	Najmanj	Mediana	Največ
pomlad	RCP2.6	-0,1	0,7	1,4	0,4	0,9	1,4	0,4	1,0	1,6
	RCP4.5	0,1	0,5	1,0	0,7	1,1	1,9	1,1	1,5	2,3
	RCP8.5	0,4	0,7	1,1	1,3	1,7	2,6	2,4	2,9	4,4
poletje	RCP2.6	0,6	0,9	1,3	1,2	1,2	1,2	0,9	1,2	1,5
	RCP4.5	0,2	0,8	1,2	1,5	1,6	2,2	1,4	1,8	2,6
	RCP8.5	0,7	0,9	1,0	1,4	1,9	2,5	3,0	3,6	5,0
jesen	RCP2.6	0,2	0,9	1,7	0,8	1,3	1,7	0,5	1,1	1,8
	RCP4.5	0,3	1,0	1,2	0,7	1,2	2,2	1,3	1,6	2,8
	RCP8.5	0,4	0,9	1,8	1,6	2,1	3,0	2,8	3,6	5,2
zima	RCP2.6	0,1	0,6	1,1	0,4	0,9	1,4	0,8	1,4	2,0
	RCP4.5	0,7	0,8	1,4	1,1	1,5	2,8	1,4	2,1	3,0
	RCP8.5	0,5	0,7	1,4	1,5	2,1	2,8	3,5	4,1	5,3
leto	RCP2.6	0,2	0,8	1,4	0,7	1,1	1,5	0,7	1,2	1,7
	RCP4.5	0,5	0,8	1,0	1,1	1,4	2,2	1,5	1,8	2,6
	RCP8.5	0,6	0,8	1,3	1,6	1,8	2,7	3,0	3,5	5,0

Preglednica 1.6 | Največja vrednost, mediana in najmanjša vrednost modelske spremembe povprečne temperature zraka (v °C) v prehodni regiji po meteoroloških letnih časih in za celo leto od povprečja v obdobju 1981–2010

Povprečna dnevna najvišja temperatura, Posočje

Sezona	Scenarij	2011–2040			2041–2070			2071–2100		
		Najmanj	Mediana	Največ	Najmanj	Mediana	Največ	Najmanj	Mediana	Največ
pomlad	RCP2.6	-0,0	0,7	1,3	0,4	0,8	1,2	0,4	0,9	1,5
	RCP4.5	0,0	0,5	0,9	0,8	1,1	1,8	1,1	1,6	2,3
	RCP8.5	0,6	0,7	1,0	1,4	1,6	2,5	2,4	2,9	4,4
poletje	RCP2.6	0,6	0,9	1,2	0,9	1,1	1,3	1,0	1,1	1,2
	RCP4.5	0,2	0,8	1,3	1,6	1,7	2,4	1,4	1,8	2,9
	RCP8.5	0,7	0,9	1,1	1,4	1,9	2,7	2,9	3,9	5,2
jesen	RCP2.6	0,2	0,9	1,5	0,9	1,3	1,7	0,5	1,1	1,8
	RCP4.5	0,4	1,0	1,2	0,8	1,3	2,4	1,5	1,8	2,9
	RCP8.5	0,6	1,0	1,7	1,7	2,2	3,2	3,0	3,6	5,5
zima	RCP2.6	0,1	0,5	1,0	0,4	0,9	1,4	0,7	1,2	1,8
	RCP4.5	0,7	0,9	1,3	1,1	1,5	2,8	1,4	2,0	3,0
	RCP8.5	0,6	0,8	1,4	1,6	2,1	2,9	3,2	4,0	5,3
leto	RCP2.6	0,2	0,7	1,3	0,7	1,0	1,3	0,7	1,1	1,6
	RCP4.5	0,5	0,8	0,9	1,1	1,5	2,2	1,4	1,8	2,6
	RCP8.5	0,7	0,9	1,2	1,7	1,9	2,7	3,1	3,5	5,0

Preglednica 1.8 | Največja vrednost, mediana in najmanjša vrednost modelske spremembe povprečne dnevne najvišje temperature zraka (v °C) v regiji Posočje po meteoroloških letnih časih in za celo leto od povprečja v obdobju 1981–2010

Povprečna dnevna najvišja temperatura, severovzhodna regija

Sezona	Scenarij	2011–2040			2041–2070			2071–2100		
		Najmanj	Mediana	Največ	Najmanj	Mediana	Največ	Najmanj	Mediana	Največ
pomlad	RCP2.6	-0,2	0,6	1,4	0,4	0,8	1,2	0,3	0,9	1,4
	RCP4.5	0,0	0,5	1,0	0,5	0,9	1,9	0,9	1,5	2,0
	RCP8.5	0,4	0,8	1,0	1,1	1,4	2,5	2,2	2,6	4,1
poletje	RCP2.6	0,7	1,0	1,4	0,9	1,2	1,5	0,9	1,1	1,4
	RCP4.5	-0,2	0,7	1,2	1,4	1,7	2,5	1,0	1,7	2,8
	RCP8.5	0,6	0,8	1,3	0,9	1,6	2,3	2,4	3,5	4,9
jesen	RCP2.6	0,2	0,9	1,6	0,9	1,4	1,8	0,4	1,1	1,8
	RCP4.5	0,3	1,0	1,4	0,6	1,3	2,5	1,3	1,6	2,9
	RCP8.5	0,4	0,9	1,9	1,5	1,9	3,3	2,8	3,2	5,4
zima	RCP2.6	0,1	0,7	1,4	0,5	1,1	1,8	0,8	1,5	2,1
	RCP4.5	0,7	0,8	1,5	1,0	1,4	3,6	1,4	2,1	3,5
	RCP8.5	0,5	0,8	1,9	1,4	2,1	3,5	3,5	4,1	6,4
leto	RCP2.6	0,2	0,8	1,5	0,8	1,1	1,5	0,6	1,2	1,7
	RCP4.5	0,4	0,8	0,9	1,0	1,3	2,4	1,3	1,7	2,6
	RCP8.5	0,7	0,8	1,4	1,4	1,6	2,9	3,0	3,2	5,2

Preglednica 1.10 | Največja vrednost, mediana in najmanjša vrednost modelske spremembe povprečne dnevne najvišje temperature zraka (v °C) v severovzhodni regiji po meteoroloških letnih časih in za celo leto od povprečja v obdobju 1981–2010

Povprečna dnevna najvišja temperatura, osrednja regija

Sezona	Scenarij	2011–2040			2041–2070			2071–2100		
		Najmanj	Mediana	Največ	Najmanj	Mediana	Največ	Najmanj	Mediana	Največ
pomlad	RCP2.6	-0,2	0,6	1,3	0,4	0,7	1,1	0,4	0,9	1,4
	RCP4.5	0,1	0,5	0,8	0,6	1,0	1,7	1,0	1,5	2,1
	RCP8.5	0,5	0,8	1,0	1,3	1,5	2,3	2,2	2,8	4,1
poletje	RCP2.6	0,7	1,0	1,3	1,0	1,2	1,4	1,0	1,2	1,4
	RCP4.5	-0,1	0,8	1,3	1,4	1,7	2,5	1,1	1,7	2,9
	RCP8.5	0,6	0,8	1,3	1,0	1,8	2,6	2,6	3,7	5,0
jesen	RCP2.6	0,2	0,9	1,5	0,9	1,3	1,8	0,5	1,1	1,8
	RCP4.5	0,3	1,0	1,4	0,8	1,3	2,4	1,3	1,7	2,8
	RCP8.5	0,5	0,9	1,8	1,5	2,0	3,1	2,9	3,4	5,4
zima	RCP2.6	0,0	0,6	1,2	0,4	0,9	1,5	0,8	1,3	1,9
	RCP4.5	0,7	0,8	1,3	1,1	1,4	3,1	1,4	2,2	3,1
	RCP8.5	0,5	0,8	1,6	1,4	2,1	3,0	3,3	4,1	5,7
leto	RCP2.6	0,2	0,8	1,3	0,8	1,1	1,3	0,7	1,1	1,6
	RCP4.5	0,4	0,8	0,9	1,1	1,4	2,3	1,4	1,7	2,5
	RCP8.5	0,7	0,8	1,3	1,5	1,7	2,7	3,0	3,4	5,0

Preglednica 1.9 | Največja vrednost, mediana in najmanjša vrednost modelske spremembe povprečne dnevne najvišje temperature zraka (v °C) v osrednji regiji po meteoroloških letnih časih in za celo leto od povprečja v obdobju 1981–2010

Povprečna dnevna najvišja temperatura, jugozahodna regija

Sezona	Scenarij	2011–2040			2041–2070			2071–2100		
		Najmanj	Mediana	Največ	Najmanj	Mediana	Največ	Najmanj	Mediana	Največ
pomlad	RCP2.6	-0,1	0,6	1,3	0,4	0,8	1,1	0,4	0,9	1,4
	RCP4.5	0,1	0,4	0,8	0,7	1,0	1,6	1,0	1,3	2,0
	RCP8.5	0,5	0,7	1,0	1,3	1,5	2,1	2,3	2,7	3,8
poletje	RCP2.6	0,6	0,9	1,2	0,8	1,0	1,2	0,9	1,0	1,2
	RCP4.5	0,2	0,9	1,4	1,6	1,9	2,5	1,4	1,8	3,0
	RCP8.5	0,8	0,9	1,1	1,4	2,0	2,8	3,1	4,1	5,2
jesen	RCP2.6	0,2	0,8	1,4	0,7	1,2	1,6	0,4	1,1	1,7
	RCP4.5	0,4	1,0	1,2	0,9	1,3	2,3	1,5	1,8	2,8
	RCP8.5	0,6	0,9	1,7	1,7	2,2	3,0	2,9	3,6	5,3
zima	RCP2.6	0,0	0,5	0,9	0,3	0,8	1,3	0,6	1,1	1,7
	RCP4.5	0,6	0,8	1,3	1,1	1,3	2,6	1,4	1,8	2,8
	RCP8.5	0,5	0,8	1,3	1,5	1,9	2,7	3,1	3,7	4,9
leto	RCP2.6	0,2	0,7	1,2	0,7	0,9	1,2	0,6	1,0	1,5
	RCP4.5	0,4	0,8	0,9	1,2	1,4	2,1	1,4	1,8	2,4
	RCP8.5	0,7	0,8	1,2	1,7	1,9	2,5	3,0	3,5	4,7

Preglednica 1.11 | Največja vrednost, mediana in najmanjša vrednost modelske spremembe povprečne dnevne najvišje temperature zraka (v °C) v jugozahodni regiji po meteoroloških letnih časih in za celo leto od povprečja v obdobju 1981–2010

Povprečna dnevna najvišja temperatura, visokogorje

Sezona	Scenarij	2011–2040			2041–2070			2071–2100		
		Najmanj	Mediana	Največ	Najmanj	Mediana	Največ	Najmanj	Mediana	Največ
pomlad	RCP2.6	-0,1	0,6	1,3	0,3	0,7	1,1	0,5	0,9	1,4
	RCP4.5	0,0	0,7	1,0	0,9	1,4	1,7	1,2	1,9	2,4
	RCP8.5	0,7	0,8	1,1	1,5	1,8	2,7	2,7	3,2	4,7
poletje	RCP2.6	0,6	0,9	1,2	1,0	1,2	1,4	1,0	1,2	1,3
	RCP4.5	0,1	0,8	1,2	1,5	1,7	2,2	1,3	1,8	2,7
	RCP8.5	0,7	0,8	1,2	1,3	1,8	2,6	2,9	3,8	4,9
jesen	RCP2.6	0,3	0,9	1,5	1,0	1,3	1,7	0,6	1,3	1,9
	RCP4.5	0,4	1,0	1,4	0,8	1,3	2,4	1,5	1,8	3,0
	RCP8.5	0,5	1,0	1,8	1,7	2,2	3,3	3,1	3,7	5,7
zima	RCP2.6	0,1	0,6	1,1	0,4	0,8	1,3	0,7	1,2	1,7
	RCP4.5	0,7	0,8	1,2	1,1	1,4	2,8	1,4	2,0	3,0
	RCP8.5	0,6	0,8	1,3	1,6	2,1	2,8	3,1	4,0	5,2
leto	RCP2.6	0,2	0,8	1,3	0,8	1,0	1,3	0,7	1,2	1,6
	RCP4.5	0,5	0,8	1,0	1,1	1,5	2,2	1,5	1,8	2,6
	RCP8.5	0,7	0,9	1,2	1,7	1,9	2,8	3,2	3,5	5,1

Preglednica 1.12 | Največja vrednost, mediana in najmanjša vrednost modelske spremembe povprečne dnevne najvišje temperature zraka (v °C) v regiji visokogorje po meteoroloških letnih časih in za celo leto od povprečja v obdobju 1981–2010

Povprečna dnevna najvišja temperatura, Slovenija

Sezona	Scenarij	2011–2040			2041–2070			2071–2100		
		Najmanj	Mediana	Največ	Najmanj	Mediana	Največ	Najmanj	Mediana	Največ
pomlad	RCP2.6	-0,1	0,6	1,3	0,4	0,8	1,1	0,4	0,9	1,4
	RCP4.5	0,1	0,5	0,8	0,7	1,0	1,7	1,0	1,5	2,1
	RCP8.5	0,5	0,7	1,0	1,3	1,5	2,4	2,3	2,8	4,1
poletje	RCP2.6	0,7	1,0	1,3	0,9	1,2	1,4	1,0	1,2	1,3
	RCP4.5	0,0	0,8	1,3	1,5	1,7	2,4	1,2	1,7	2,9
	RCP8.5	0,7	0,8	1,2	1,1	1,8	2,6	2,7	3,7	5,0
jesen	RCP2.6	0,2	0,9	1,5	0,9	1,3	1,7	0,5	1,1	1,8
	RCP4.5	0,3	1,0	1,3	0,8	1,3	2,4	1,3	1,7	2,8
	RCP8.5	0,5	0,9	1,8	1,6	2,1	3,1	2,9	3,4	5,4
zima	RCP2.6	0,0	0,6	1,1	0,4	0,9	1,4	0,8	1,3	1,8
	RCP4.5	0,7	0,8	1,3	1,1	1,4	3,0	1,4	2,1	3,1
	RCP8.5	0,5	0,8	1,5	1,5	2,1	3,0	3,3	4,0	5,5
leto	RCP2.6	0,2	0,8	1,3	0,8	1,0	1,3	0,8	1,1	1,6
	RCP4.5	0,4	0,8	0,9	1,1	1,4	2,3	1,4	1,7	2,5
	RCP8.5	0,7	0,8	1,3	1,5	1,8	2,7	3,0	3,4	5,0

Preglednica 1.14 | Največja vrednost, mediana in najmanjša vrednost modelske spremembe povprečne dnevne najvišje temperature zraka (v °C) v Sloveniji po meteoroloških letnih časih in za celo leto od povprečja v obdobju 1981–2010

Povprečna dnevna najvišja temperatura, prehodna regija

Sezona	Scenarij	2011–2040			2041–2070			2071–2100		
		Najmanj	Mediana	Največ	Najmanj	Mediana	Največ	Najmanj	Mediana	Največ
pomlad	RCP2.6	-0,1	0,6	1,3	0,4	0,7	1,1	0,4	0,9	1,4
	RCP4.5	0,0	0,6	0,8	0,7	1,1	1,7	1,0	1,6	2,2
	RCP8.5	0,5	0,7	1,0	1,4	1,6	2,4	2,4	2,9	4,2
poletje	RCP2.6	0,7	0,9	1,2	1,0	1,2	1,3	1,0	1,2	1,3
	RCP4.5	0,1	0,8	1,3	1,5	1,8	2,5	1,3	1,8	2,9
	RCP8.5	0,7	0,9	1,2	1,3	1,8	2,7	2,7	3,8	5,1
jesen	RCP2.6	0,2	0,8	1,5	0,8	1,3	1,7	0,5	1,1	1,7
	RCP4.5	0,3	1,0	1,3	0,8	1,3	2,3	1,4	1,8	2,8
	RCP8.5	0,5	0,9	1,8	1,6	2,1	3,1	2,9	3,6	5,3
zima	RCP2.6	0,0	0,5	1,1	0,4	0,9	1,3	0,8	1,2	1,6
	RCP4.5	0,7	0,8	1,3	1,1	1,4	2,9	1,4	2,1	3,0
	RCP8.5	0,5	0,8	1,4	1,5	2,1	2,8	3,2	4,0	5,3
leto	RCP2.6	0,2	0,7	1,3	0,7	1,0	1,3	0,7	1,1	1,5
	RCP4.5	0,5	0,8	0,9	1,1	1,4	2,2	1,4	1,8	2,5
	RCP8.5	0,7	0,8	1,2	1,6	1,8	2,6	3,0	3,5	4,9

Preglednica 1.13 | Največja vrednost, mediana in najmanjša vrednost modelske spremembe povprečne dnevne najvišje temperature zraka (v °C) v prehodni regiji po meteoroloških letnih časih in za celo leto od povprečja v obdobju 1981–2010

Povprečna dnevna najnižja temperatura, Posočje

Sezona	Scenarij	2011–2040			2041–2070			2071–2100		
		Najmanj	Mediana	Največ	Najmanj	Mediana	Največ	Najmanj	Mediana	Največ
pomlad	RCP2.6	0,0	0,7	1,4	0,5	1,0	1,5	0,5	1,1	1,6
	RCP4.5	0,2	0,5	1,1	0,8	1,2	1,9	1,0	1,5	2,3
	RCP8.5	0,4	0,7	1,2	1,3	1,7	2,7	2,5	2,9	4,5
poletje	RCP2.6	0,5	0,9	1,3	1,1	1,2	1,4	0,9	1,2	1,4
	RCP4.5	0,3	0,8	1,3	1,4	1,7	2,1	1,6	1,8	2,7
	RCP8.5	0,7	0,9	1,1	1,5	2,1	2,8	3,1	3,6	5,2
jesen	RCP2.6	0,2	1,0	1,8	0,9	1,3	1,7	0,6	1,2	1,8
	RCP4.5	0,3	1,0	1,2	0,7	1,2	2,2	1,4	1,6	2,8
	RCP8.5	0,4	0,9	1,9	1,8	2,1	3,0	2,8	3,5	5,3
zima	RCP2.6	0,2	0,6	1,0	0,5	1,0	1,5	0,8	1,5	2,3
	RCP4.5	0,7	0,9	1,4	1,2	1,6	2,9	1,5	2,2	3,1
	RCP8.5	0,5	0,9	1,4	1,7	2,3	2,9	3,7	4,2	5,4
leto	RCP2.6	0,2	0,8	1,4	0,8	1,1	1,5	0,7	1,2	1,8
	RCP4.5	0,5	0,8	1,1	1,1	1,5	2,3	1,5	1,8	2,7
	RCP8.5	0,6	0,8	1,4	1,7	2,0	2,8	3,1	3,5	5,1

Preglednica 1.15 | Največja vrednost, mediana in najmanjša vrednost modelske spremembe povprečne dnevne najnižje temperature zraka (v °C) v regiji Posočje po meteoroloških letnih časih in za celo leto od povprečja v obdobju 1981–2010

Povprečna dnevna najnižja temperatura, severovzhodna regija

Sezona	Scenarij	2011–2040			2041–2070			2071–2100		
		Najmanj	Mediana	Največ	Najmanj	Mediana	Največ	Najmanj	Mediana	Največ
pomlad	RCP2.6	-0,0	0,7	1,5	0,5	1,0	1,6	0,5	1,1	1,6
	RCP4.5	0,2	0,5	1,2	0,7	1,1	2,2	1,1	1,4	2,3
	RCP8.5	0,4	0,8	1,3	1,2	1,6	2,8	2,4	2,8	4,5
poletje	RCP2.6	0,6	1,0	1,4	1,3	1,4	1,4	1,0	1,3	1,5
	RCP4.5	0,2	0,8	1,0	1,3	1,6	2,0	1,5	1,8	2,4
	RCP8.5	0,7	1,0	1,1	1,3	2,0	2,7	3,1	3,6	5,4
jesen	RCP2.6	0,1	1,0	2,0	0,7	1,3	1,9	0,5	1,2	1,9
	RCP4.5	0,2	0,9	1,2	0,8	1,1	2,4	1,3	1,6	2,9
	RCP8.5	0,2	0,9	1,9	1,6	2,1	3,2	2,7	3,4	5,7
zima	RCP2.6	0,2	0,8	1,4	0,5	1,2	1,8	0,8	1,6	2,4
	RCP4.5	0,6	0,7	1,5	0,9	1,5	3,3	1,3	2,1	3,3
	RCP8.5	0,4	0,7	1,6	1,3	2,1	3,4	3,4	3,8	6,1
leto	RCP2.6	0,2	0,9	1,6	0,8	1,2	1,7	0,7	1,3	1,9
	RCP4.5	0,4	0,8	1,1	1,0	1,4	2,5	1,4	1,7	2,7
	RCP8.5	0,6	0,8	1,5	1,6	1,8	3,0	3,0	3,4	5,4

Preglednica 1.17 | Največja vrednost, mediana in najmanjša vrednost modelske spremembe dnevne najnižje temperature zraka (v °C) v severovzhodni regiji po meteoroloških letnih časih in za celo leto od povprečja v obdobju 1981–2010

Povprečna dnevna najnižja temperatura, osrednja regija

Sezona	Scenarij	2011–2040			2041–2070			2071–2100		
		Najmanj	Mediana	Največ	Najmanj	Mediana	Največ	Najmanj	Mediana	Največ
pomlad	RCP2.6	-0,0	0,7	1,5	0,5	1,0	1,5	0,5	1,0	1,6
	RCP4.5	0,2	0,5	1,1	0,8	1,1	2,1	1,0	1,4	2,2
	RCP8.5	0,3	0,7	1,3	1,3	1,7	2,7	2,4	2,8	4,5
poletje	RCP2.6	0,6	1,0	1,4	1,2	1,3	1,5	1,0	1,3	1,6
	RCP4.5	0,2	0,8	1,1	1,3	1,6	2,1	1,5	1,8	2,5
	RCP8.5	0,7	1,0	1,2	1,5	2,0	2,7	3,1	3,6	5,3
jesen	RCP2.6	0,1	1,0	1,9	0,7	1,3	1,8	0,6	1,2	1,8
	RCP4.5	0,2	1,0	1,2	0,7	1,2	2,3	1,3	1,6	2,8
	RCP8.5	0,3	0,9	1,9	1,6	2,1	3,0	2,7	3,5	5,5
zima	RCP2.6	0,1	0,7	1,3	0,4	1,1	1,8	0,8	1,6	2,5
	RCP4.5	0,6	0,8	1,5	1,0	1,5	3,2	1,3	2,2	3,3
	RCP8.5	0,4	0,8	1,6	1,4	2,1	3,3	3,5	4,1	6,0
leto	RCP2.6	0,2	0,9	1,5	0,7	1,2	1,7	0,7	1,3	1,9
	RCP4.5	0,5	0,8	1,1	1,0	1,4	2,4	1,4	1,8	2,7
	RCP8.5	0,6	0,8	1,5	1,7	1,8	3,0	3,1	3,4	5,4

Preglednica 1.16 | Največja vrednost, mediana in najmanjša vrednost modelske spremembe povprečne dnevne najnižje temperature zraka (v °C) v osrednji regiji po meteoroloških letnih časih in za celo leto od povprečja v obdobju 1981–2010

Povprečna dnevna najnižja temperatura, jugozahodna regija

Sezona	Scenarij	2011–2040			2041–2070			2071–2100		
		Najmanj	Mediana	Največ	Najmanj	Mediana	Največ	Najmanj	Mediana	Največ
pomlad	RCP2.6	0,0	0,7	1,3	0,5	1,0	1,4	0,5	1,0	1,6
	RCP4.5	0,2	0,4	1,1	0,7	1,0	1,8	0,9	1,3	2,2
	RCP8.5	0,4	0,7	1,2	1,3	1,6	2,5	2,4	2,7	4,1
poletje	RCP2.6	0,5	0,9	1,3	1,1	1,2	1,3	0,8	1,1	1,4
	RCP4.5	0,3	0,8	1,4	1,4	1,7	2,3	1,6	1,9	2,9
	RCP8.5	0,8	0,9	1,1	1,5	2,2	2,9	3,1	3,8	5,4
jesen	RCP2.6	0,1	0,9	1,6	0,7	1,2	1,7	0,5	1,1	1,7
	RCP4.5	0,3	0,9	1,1	0,7	1,2	2,0	1,3	1,7	2,6
	RCP8.5	0,4	0,8	1,8	1,7	2,1	2,8	2,7	3,6	5,2
zima	RCP2.6	0,1	0,5	0,9	0,3	0,8	1,3	0,6	1,3	2,1
	RCP4.5	0,5	0,7	1,3	0,9	1,3	2,5	1,1	1,8	2,8
	RCP8.5	0,4	0,6	1,3	1,4	1,9	2,6	3,3	3,5	4,8
leto	RCP2.6	0,2	0,7	1,3	0,6	1,1	1,5	0,6	1,2	1,7
	RCP4.5	0,5	0,7	1,0	1,1	1,3	2,1	1,4	1,7	2,5
	RCP8.5	0,6	0,7	1,3	1,7	1,9	2,7	3,0	3,5	4,9

Preglednica 1.18 | Največja vrednost, mediana in najmanjša vrednost modelske spremembe povprečne dnevne najnižje temperature zraka (v °C) v jugozahodni regiji po meteoroloških letnih časih in za celo leto od povprečja v obdobju 1981–2010

Povprečna dnevna najnižja temperatura, visokogorje

Sezona	Scenarij	2011–2040			2041–2070			2071–2100		
		Najmanj	Mediana	Največ	Najmanj	Mediana	Največ	Najmanj	Mediana	Največ
pomlad	RCP2.6	-0,1	0,7	1,4	0,6	1,0	1,4	0,6	1,1	1,5
	RCP4.5	0,2	0,6	1,0	0,8	1,4	1,9	1,1	1,9	2,3
	RCP8.5	0,6	0,9	1,3	1,4	2,1	2,7	2,6	3,6	4,5
poletje	RCP2.6	0,5	0,9	1,2	1,1	1,2	1,4	1,0	1,2	1,4
	RCP4.5	0,3	0,8	1,2	1,4	1,6	2,0	1,7	1,8	2,4
	RCP8.5	0,7	0,9	1,1	1,5	2,0	2,7	3,1	3,6	5,0
jesen	RCP2.6	0,2	1,1	2,0	0,9	1,4	1,9	0,7	1,3	2,0
	RCP4.5	0,3	1,0	1,3	0,7	1,2	2,4	1,4	1,6	3,0
	RCP8.5	0,3	0,9	1,9	1,8	2,1	3,2	2,9	3,4	5,7
zima	RCP2.6	0,2	0,7	1,1	0,7	1,1	1,5	1,2	1,7	2,2
	RCP4.5	0,8	1,2	1,4	1,3	2,0	2,8	1,6	2,6	3,1
	RCP8.5	0,6	1,0	1,4	1,8	2,7	3,3	4,0	4,9	6,2
leto	RCP2.6	0,2	0,8	1,4	0,9	1,2	1,5	0,9	1,3	1,8
	RCP4.5	0,6	0,9	1,1	1,1	1,7	2,2	1,5	2,0	2,7
	RCP8.5	0,6	1,0	1,3	1,8	2,2	2,8	3,2	3,9	5,1

Preglednica 1.19 | Največja vrednost, mediana in najmanjša vrednost modelske spremembe povprečne dnevne najnižje temperature zraka (v °C) v regiji visokogorje po meteoroloških letnih časih in za celo leto od povprečja v obdobju 1981–2010

Povprečna dnevna najnižja temperatura, Slovenija

Sezona	Scenarij	2011–2040			2041–2070			2071–2100		
		Najmanj	Mediana	Največ	Najmanj	Mediana	Največ	Najmanj	Mediana	Največ
pomlad	RCP2.6	-0,0	0,7	1,5	0,5	1,0	1,5	0,5	1,1	1,6
	RCP4.5	0,2	0,5	1,1	0,8	1,1	2,0	1,0	1,5	2,3
	RCP8.5	0,4	0,7	1,2	1,3	1,7	2,7	2,4	2,8	4,5
poletje	RCP2.6	0,5	0,9	1,3	1,2	1,3	1,4	0,9	1,2	1,5
	RCP4.5	0,2	0,8	1,2	1,4	1,6	2,1	1,5	1,8	2,5
	RCP8.5	0,7	0,9	1,1	1,5	2,0	2,7	3,1	3,6	5,3
jesen	RCP2.6	0,1	1,0	1,9	0,8	1,3	1,8	0,5	1,2	1,8
	RCP4.5	0,2	1,0	1,2	0,7	1,2	2,2	1,3	1,6	2,8
	RCP8.5	0,3	0,9	1,9	1,7	2,1	3,0	2,7	3,5	5,5
zima	RCP2.6	0,1	0,7	1,2	0,5	1,1	1,7	0,8	1,6	2,3
	RCP4.5	0,7	0,8	1,5	1,1	1,5	3,1	1,4	2,1	3,2
	RCP8.5	0,4	0,8	1,5	1,5	2,1	3,2	3,6	4,1	5,7
leto	RCP2.6	0,2	0,8	1,5	0,7	1,2	1,6	0,7	1,3	1,8
	RCP4.5	0,5	0,8	1,1	1,1	1,4	2,3	1,4	1,8	2,7
	RCP8.5	0,6	0,8	1,4	1,7	1,9	2,9	3,1	3,5	5,2

Preglednica 1.21 | Največja vrednost, mediana in najmanjša vrednost modelske spremembe povprečne dnevne najnižje temperature zraka (v °C) v Sloveniji po meteoroloških letnih časih in za celo leto od povprečja v obdobju 1981–2010

Povprečna dnevna najnižja temperatura, prehodna regija

Sezona	Scenarij	2011–2040			2041–2070			2071–2100		
		Najmanj	Mediana	Največ	Najmanj	Mediana	Največ	Najmanj	Mediana	Največ
pomlad	RCP2.6	-0,1	0,7	1,5	0,4	1,0	1,6	0,4	1,1	1,7
	RCP4.5	0,1	0,5	1,2	0,8	1,1	2,0	1,0	1,5	2,4
	RCP8.5	0,3	0,7	1,3	1,3	1,7	2,8	2,4	2,8	4,5
poletje	RCP2.6	0,5	0,9	1,3	1,1	1,3	1,4	0,9	1,2	1,4
	RCP4.5	0,3	0,8	1,2	1,4	1,6	2,1	1,6	1,8	2,5
	RCP8.5	0,7	0,9	1,1	1,5	2,0	2,7	3,1	3,5	5,2
jesen	RCP2.6	0,1	1,0	1,9	0,8	1,3	1,8	0,5	1,2	1,8
	RCP4.5	0,2	1,0	1,1	0,7	1,1	2,2	1,3	1,6	2,8
	RCP8.5	0,3	0,9	1,9	1,7	2,1	2,9	2,8	3,4	5,4
zima	RCP2.6	0,1	0,6	1,1	0,5	1,0	1,6	0,8	1,5	2,2
	RCP4.5	0,7	0,9	1,5	1,1	1,6	3,0	1,4	2,2	3,1
	RCP8.5	0,5	0,8	1,5	1,6	2,2	3,0	3,7	4,3	5,6
leto	RCP2.6	0,2	0,8	1,5	0,7	1,1	1,6	0,7	1,2	1,8
	RCP4.5	0,5	0,8	1,1	1,1	1,4	2,3	1,4	1,8	2,7
	RCP8.5	0,6	0,8	1,4	1,7	1,9	2,8	3,1	3,5	5,2

Preglednica 1.20 | Največja vrednost, mediana in najmanjša vrednost modelske spremembe povprečne dnevne najnižje temperature zraka (v °C) v prehodni regiji po meteoroloških letnih časih in za celo leto od povprečja v obdobju 1981–2010

Kazalnik vročine (EHF > 0)

Regija	Scenarij	2011–2040			2041–2070			2071–2100		
		Najmanj	Mediana	Največ	Najmanj	Mediana	Največ	Najmanj	Mediana	Največ
Posočje	RCP2.6	5,6	10,7	15,9	12,0	12,3	12,7	8,6	12,3	16,0
	RCP4.5	1,9	10,2	13,5	18,5	22,3	25,2	16,3	24,9	32,4
	RCP8.5	8,7	11,1	13,3	18,1	26,4	32,1	38,0	48,5	66,2
osrednja	RCP2.6	6,3	11,5	16,6	11,8	13,0	14,3	8,5	12,0	15,4
	RCP4.5	1,3	8,8	12,5	17,5	20,7	24,9	13,6	22,4	30,4
	RCP8.5	8,0	10,8	14,8	14,3	23,6	30,2	36,3	44,7	62,1
SV	RCP2.6	6,5	12,0	17,5	11,5	13,9	16,4	8,9	12,3	15,7
	RCP4.5	-0,5	8,5	12,6	16,7	20,8	24,3	12,4	22,8	29,7
	RCP8.5	7,5	10,1	17,0	12,4	23,0	28,7	36,1	43,5	62,1
JZ	RCP2.6	3,5	10,0	16,5	10,4	11,5	12,5	5,9	11,1	16,3
	RCP4.5	3,6	11,0	15,3	19,4	24,0	27,3	17,6	26,3	34,9
	RCP8.5	10,2	11,3	14,0	19,3	28,3	33,7	41,2	50,5	66,6
visoko-gorje	RCP2.6	6,3	10,4	14,6	12,1	12,6	13,1	9,2	12,0	14,9
	RCP4.5	1,8	9,6	11,2	17,2	20,4	22,2	15,4	23,2	27,8
	RCP8.5	8,0	10,3	13,5	16,5	25,2	30,0	36,2	46,6	63,6
prehodna	RCP2.6	6,4	11,1	15,8	12,0	12,7	13,4	9,0	12,3	15,6
	RCP4.5	1,9	9,4	13,0	17,8	21,4	25,3	15,0	23,1	31,1
	RCP8.5	8,7	10,9	13,7	16,2	25,0	31,1	38,2	46,6	62,6
Slovenija	RCP2.6	6,0	11,1	16,3	11,8	12,8	13,7	8,5	12,0	15,5
	RCP4.5	1,5	9,5	12,8	18,0	21,3	25,0	14,5	23,2	31,0
	RCP8.5	8,4	10,8	14,5	15,4	24,6	30,4	37,4	45,9	62,9

Preglednica 1.22 | Največja vrednost, mediana in najmanjša vrednost modelske spremembe povprečnega kazalnika vročine (število dni, ko EHF > 0) v toplem obdobju leta (maj–september) po regijah od povprečja v obdobju 1981–2010

Magnituda vročinskega vala (HWMId)

Regija	Scenarij	2011–2040			2041–2070			2071–2100		
		Najmanj	Mediana	Največ	Najmanj	Mediana	Največ	Najmanj	Mediana	Največ
Posočje	RCP2.6	1,4	1,9	2,4	0,9	2,2	3,6	2,0	2,5	3,0
	RCP4.5	0,2	2,3	3,3	2,2	5,8	9,2	2,4	4,9	12,0
	RCP8.5	1,2	2,1	3,2	2,5	6,9	9,0	7,7	21,4	31,6
osrednja	RCP2.6	1,4	2,1	2,8	1,5	2,4	3,3	1,9	2,6	3,3
	RCP4.5	0,5	2,0	2,7	2,5	4,8	7,2	2,4	4,2	7,9
	RCP8.5	1,4	2,1	2,9	2,3	5,4	7,8	8,2	16,3	24,2
SV	RCP2.6	1,2	2,1	2,9	1,2	2,1	3,0	1,5	2,1	2,7
	RCP4.5	0,1	2,0	2,3	2,1	3,7	7,3	1,7	3,5	6,9
	RCP8.5	1,0	1,6	2,8	1,6	4,3	6,4	6,3	11,7	23,2
JZ	RCP2.6	1,0	1,7	2,5	1,0	1,8	2,6	1,3	2,1	2,9
	RCP4.5	1,2	2,1	2,9	3,2	5,5	8,1	3,3	5,3	11,8
	RCP8.5	1,4	2,2	3,1	3,2	7,2	9,2	9,0	22,7	31,5
visoko-gorje	RCP2.6	1,6	1,7	1,9	1,5	2,5	3,6	2,1	2,2	2,4
	RCP4.5	0,2	1,5	3,2	1,8	3,8	6,0	2,8	4,1	7,5
	RCP8.5	1,1	1,8	3,5	2,0	5,3	6,5	7,1	14,7	20,7
prehodna	RCP2.6	1,4	2,0	2,5	1,5	2,3	3,2	2,0	2,6	3,2
	RCP4.5	0,3	2,2	2,9	2,5	5,3	8,4	2,8	4,4	10,4
	RCP8.5	1,3	2,1	2,9	2,8	6,1	9,1	9,2	18,2	26,4
Slovenija	RCP2.6	1,4	2,0	2,7	1,4	2,3	3,2	1,8	2,4	3,1
	RCP4.5	0,4	2,2	2,6	2,4	4,9	7,7	2,5	4,4	9,1
	RCP8.5	1,4	2,0	2,9	2,4	5,7	8,1	8,5	17,2	25,5

Preglednica 1.23 | Največja vrednost, mediana in najmanjša vrednost modelske spremembe povprečne magnitude vročinskega vala (HWMId) v toplem obdobju leta (maj–september) po regijah od povprečja v obdobju 1981–2010. Vrednosti predstavljajo najvišjo letno magnitudo vročinskega vala, torej vrednost kazalnika HWMId.

Skupna dolžina toplih obdobj (WSDI)

Regija	Scenarij	2011–2040			2041–2070			2071–2100		
		Najmanj	Mediana	Največ	Najmanj	Mediana	Največ	Najmanj	Mediana	Največ
Posočje	RCP2.6	4,3	11,4	18,6	11,7	14,8	17,9	10,6	17,6	24,7
	RCP4.5	6,2	14,0	15,5	16,5	22,5	39,7	20,6	28,7	48,7
	RCP8.5	9,4	13,0	16,3	24,5	29,1	47,1	61,6	67,8	132,8
osrednja	RCP2.6	2,9	8,5	14,1	9,0	10,1	11,2	7,5	12,1	16,6
	RCP4.5	5,2	9,8	14,0	13,0	17,1	26,1	14,3	22,4	32,5
	RCP8.5	7,7	10,5	12,9	13,6	17,0	31,2	39,0	43,1	88,4
SV	RCP2.6	2,9	7,6	12,4	8,8	9,9	10,9	6,4	10,4	14,4
	RCP4.5	4,6	8,7	10,7	10,0	14,7	25,0	11,1	19,4	29,1
	RCP8.5	6,9	10,9	13,1	9,7	13,8	30,6	30,3	35,1	84,9
JZ	RCP2.6	3,4	10,5	17,5	10,2	13,2	16,3	7,6	14,5	21,4
	RCP4.5	4,7	11,9	13,7	14,0	19,9	36,1	16,2	26,7	44,6
	RCP8.5	8,2	10,9	14,6	19,1	26,5	39,9	57,1	64,3	121,7
visoko-gorje	RCP2.6	3,9	10,7	17,6	11,2	12,8	14,5	12,4	17,7	22,9
	RCP4.5	6,4	11,7	15,2	14,7	21,5	33,3	19,8	27,6	43,1
	RCP8.5	9,3	12,0	15,1	22,6	24,9	44,2	53,6	58,2	114,6
prehodna	RCP2.6	3,8	9,8	15,7	10,2	12,1	13,9	9,6	14,5	19,4
	RCP4.5	6,3	11,3	16,0	15,2	19,1	32,2	16,6	25,6	39,2
	RCP8.5	8,8	11,3	14,4	18,1	21,9	38,0	49,2	54,5	106,6
Slovenija	RCP2.6	3,4	9,3	15,2	9,8	11,5	13,2	8,5	13,5	18,6
	RCP4.5	5,6	10,9	14,1	14,0	18,2	30,2	15,6	24,2	37,0
	RCP8.5	9,3	10,9	13,6	16,3	20,3	35,9	45,2	50,1	101,4

Preglednica 1.24 | Največja vrednost, mediana in najmanjša vrednost modelske spremembe povprečne skupne dolžine toplih obdobj (WSDI) v letu (število dni) po regijah od povprečja v obdobju 1981–2010

Število toplih dni (SU)

Regija	Scenarij	2011–2040			2041–2070			2071–2100		
		Najmanj	Mediana	Največ	Najmanj	Mediana	Največ	Najmanj	Mediana	Največ
Posočje	RCP2.6	5,2	8,4	11,5	8,1	9,9	11,6	9,2	10,5	11,9
	RCP4.5	1,4	9,1	11,2	15,3	17,6	20,6	13,0	19,4	27,8
	RCP8.5	7,9	8,7	12,5	14,2	20,1	26,7	29,9	40,6	55,2
osrednja	RCP2.6	7,4	11,4	15,4	13,2	13,9	14,7	12,1	14,5	16,9
	RCP4.5	0,6	10,5	15,0	14,9	19,9	23,1	14,9	22,4	28,5
	RCP8.5	9,2	11,2	16,3	12,7	22,5	30,5	33,3	43,4	61,9
SV	RCP2.6	7,1	12,6	18,0	14,3	15,2	16,1	11,8	15,7	19,5
	RCP4.5	-0,5	8,9	15,2	13,6	18,4	25,8	15,8	21,5	30,5
	RCP8.5	9,8	11,7	16,9	12,0	21,2	33,6	33,0	41,5	64,2
JZ	RCP2.6	6,3	11,2	16,0	13,6	13,7	13,8	12,2	14,2	16,2
	RCP4.5	2,2	10,8	15,8	15,5	19,9	26,8	17,4	24,8	30,6
	RCP8.5	9,8	11,5	16,2	16,3	24,4	31,9	35,9	45,1	62,3
visoko-gorje	RCP2.6	1,2	2,0	2,9	2,3	2,5	2,7	1,8	2,6	3,5
	RCP4.5	-0,2	1,6	2,5	2,4	3,3	5,2	2,5	4,1	6,8
	RCP8.5	1,6	1,8	2,7	2,6	3,9	6,3	7,4	11,9	18,3
prehodna	RCP2.6	7,1	9,7	12,3	10,2	11,5	12,8	10,5	11,7	13,0
	RCP4.5	1,8	9,6	12,8	16,1	18,3	22,2	14,1	19,9	28,6
	RCP8.5	8,5	9,6	14,1	14,0	20,6	28,2	29,4	41,4	55,4
Slovenija	RCP2.6	6,7	10,3	14,0	11,5	12,5	13,4	10,8	12,9	15,0
	RCP4.5	1,0	9,6	13,5	14,7	18,7	21,5	14,3	21,0	27,1
	RCP8.5	8,9	10,0	14,6	12,9	20,8	27,5	31,4	40,9	57,7

Preglednica 1.25 | Največja vrednost, mediana in najmanjša vrednost modelske spremembe povprečnega števila toplih dni (SU) na leto po regijah od povprečja v obdobju 1981–2010

Število vročih dni

Regija	Scenarij	2011–2040			2041–2070			2071–2100		
		Najmanj	Mediana	Največ	Najmanj	Mediana	Največ	Najmanj	Mediana	Največ
Posočje	RCP2.6	1,4	2,5	3,5	1,8	2,5	3,2	2,0	2,8	3,6
	RCP4.5	0,0	2,1	3,7	3,9	5,3	9,9	3,2	5,1	13,3
	RCP8.5	1,4	2,2	3,5	3,7	6,4	10,9	9,5	17,8	30,2
osrednja	RCP2.6	5,2	7,7	10,3	5,6	7,6	9,6	5,6	7,6	9,6
	RCP4.5	0,2	5,9	9,3	11,8	12,7	19,3	8,2	13,1	24,9
	RCP8.5	4,8	6,4	10,9	8,1	14,3	21,9	20,8	31,6	45,0
SV	RCP2.6	6,3	8,9	11,6	6,0	8,9	11,8	6,1	8,5	10,9
	RCP4.5	-1,1	6,8	10,5	13,4	15,0	21,0	8,2	16,2	26,1
	RCP8.5	6,0	7,3	13,5	7,8	15,5	22,3	23,1	32,8	48,1
JZ	RCP2.6	5,1	7,9	10,6	7,0	8,8	10,7	7,3	9,4	11,6
	RCP4.5	1,8	9,1	11,7	16,4	18,1	22,5	12,8	18,5	29,5
	RCP8.5	6,3	8,7	12,6	14,3	19,8	27,7	31,0	41,3	52,7
visoko-gorje	RCP2.6	0,9	1,1	1,4	0,7	1,1	1,4	1,0	1,2	1,4
	RCP4.5	-0,3	0,8	1,3	1,7	1,9	2,5	0,9	2,0	3,2
	RCP8.5	0,7	0,9	1,7	1,0	1,9	2,7	3,1	4,3	6,6
prehodna	RCP2.6	2,3	3,9	5,4	2,9	3,8	4,6	2,8	4,1	5,4
	RCP4.5	0,5	2,8	5,0	5,9	6,9	12,6	5,0	6,8	16,7
	RCP8.5	2,0	3,2	5,1	5,0	7,8	13,6	12,2	20,8	34,7
Slovenija	RCP2.6	4,0	6,0	8,1	4,5	6,0	7,6	4,5	6,2	7,9
	RCP4.5	0,2	4,9	7,5	9,6	10,6	16,3	7,0	10,9	21,2
	RCP8.5	4,0	5,2	8,7	7,0	11,9	18,3	17,9	27,1	39,6

Preglednica 1.26 | Največja vrednost, mediana in najmanjša vrednost modelske spremembe povprečnega števila vročih dni na leto od povprečja v obdobju 1981–2010

Število tropskih noči (TR)

Regija	Scenarij	2011–2040			2041–2070			2071–2100		
		Najmanj	Mediana	Največ	Najmanj	Mediana	Največ	Najmanj	Mediana	Največ
Posočje	RCP2.6	0,2	0,3	0,5	0,6	0,6	0,7	0,2	0,6	1,0
	RCP4.5	0,0	0,5	1,0	0,7	2,0	3,6	0,9	2,6	5,9
	RCP8.5	0,4	0,7	0,7	1,2	3,3	5,8	5,2	12,8	20,8
osrednja	RCP2.6	0,6	1,3	1,9	1,9	2,3	2,7	1,2	2,1	3,1
	RCP4.5	0,2	1,6	2,2	2,3	5,0	7,0	2,3	6,0	10,1
	RCP8.5	1,2	1,7	2,7	2,7	7,7	10,7	10,9	21,5	35,6
SV	RCP2.6	1,1	2,4	3,7	3,1	3,7	4,3	2,0	3,2	4,4
	RCP4.5	-0,1	2,4	2,9	3,3	6,5	8,4	3,0	7,9	11,4
	RCP8.5	1,8	2,5	4,5	3,4	9,8	12,1	14,8	25,3	42,6
JZ	RCP2.6	0,4	1,7	3,0	2,7	2,7	2,8	1,1	2,7	4,3
	RCP4.5	0,7	2,2	4,0	3,8	7,2	10,7	3,9	9,1	16,3
	RCP8.5	2,2	2,5	2,8	4,8	11,4	14,7	16,4	28,6	44,5
visoko-gorje	RCP2.6	0,1	0,1	0,2	0,1	0,2	0,2	0,1	0,2	0,3
	RCP4.5	0,0	0,1	0,1	0,1	0,3	0,5	0,1	0,5	0,7
	RCP8.5	0,0	0,1	0,2	0,1	0,6	0,9	1,0	2,4	4,9
prehodna	RCP2.6	0,2	0,2	0,2	0,3	0,4	0,6	0,2	0,5	0,7
	RCP4.5	0,0	0,3	0,5	0,4	1,3	2,3	0,4	1,5	3,6
	RCP8.5	0,2	0,3	0,5	0,6	2,1	4,0	3,9	10,5	17,9
Slovenija	RCP2.6	0,5	1,1	1,7	1,6	1,9	2,2	0,9	1,7	2,5
	RCP4.5	0,1	1,3	1,8	1,9	4,1	5,8	1,9	4,9	8,5
	RCP8.5	1,0	1,4	2,1	2,2	6,3	8,7	9,3	18,2	30,1

Preglednica 1.27 | Največja vrednost, mediana in najmanjša vrednost modelske spremembe povprečnega števila tropskih noči (TR) na leto od povprečja v obdobju 1981–2010

Kazalnik najtoplejših dni (TX90p)

Regija	Scenarij	2011–2040			2041–2070			2071–2100		
		Najmanj	Mediana	Največ	Najmanj	Mediana	Največ	Najmanj	Mediana	Največ
Posočje	RCP2.6	2	5	8	5	7	8	4	8	11
	RCP4.5	3	6	6	9	11	16	10	13	20
	RCP8.5	5	6	8	12	14	21	26	28	43
osrednja	RCP2.6	2	4	7	4	6	7	3	6	9
	RCP4.5	3	4	6	7	8	13	8	11	16
	RCP8.5	4	5	7	9	11	16	19	22	34
SV	RCP2.6	1	4	7	4	6	7	3	6	8
	RCP4.5	2	4	5	6	7	12	7	10	15
	RCP8.5	3	5	7	7	9	15	16	19	33
JZ	RCP2.6	1	5	8	5	6	8	4	7	10
	RCP4.5	3	5	6	9	10	16	10	13	19
	RCP8.5	4	6	7	12	14	19	26	29	41
visoko-gorje	RCP2.6	1	4	8	5	6	7	4	7	10
	RCP4.5	3	5	7	8	9	15	10	12	18
	RCP8.5	5	5	7	11	12	19	23	25	39
prehodna	RCP2.6	2	5	8	5	6	7	4	7	9
	RCP4.5	3	5	6	9	9	14	9	12	18
	RCP8.5	5	5	7	10	12	18	22	25	37
Slovenija	RCP2.6	1	5	8	5	6	7	3	6	9
	RCP4.5	3	5	6	8	9	14	9	12	17
	RCP8.5	4	5	7	10	12	17	21	24	36

Preglednica 1.28 | Največja vrednost, mediana in najmanjša vrednost modelske spremembe povprečnega kazalnika najtoplejših dni (TX90p) v odstotnih točkah od povprečja v obdobju 1981–2010

Kazalnik mraza (ECF < 0)

Regija	Scenarij	2011–2040			2041–2070			2071–2100		
		Najmanj	Mediana	Največ	Najmanj	Mediana	Največ	Najmanj	Mediana	Največ
Posočje	RCP2.6	-5,0	-1,7	1,6	-6,1	-4,3	-2,6	-9,9	-6,3	-2,7
	RCP4.5	-7,6	-4,0	-2,8	-13,4	-8,5	-5,5	-12,4	-10,7	-7,6
	RCP8.5	-6,7	-5,0	-2,6	-12,0	-10,7	-8,8	-15,1	-14,5	-12,7
osrednja	RCP2.6	-6,5	-2,9	0,6	-6,0	-4,5	-3,0	-8,8	-6,0	-3,2
	RCP4.5	-7,8	-3,5	-2,8	-12,6	-7,7	-5,9	-12,5	-9,8	-6,5
	RCP8.5	-5,9	-3,9	-2,7	-11,8	-9,6	-7,8	-15,2	-14,4	-12,7
SV	RCP2.6	-7,4	-3,7	-0,0	-7,0	-5,7	-4,4	-8,6	-5,9	-3,3
	RCP4.5	-7,7	-3,4	-2,6	-12,9	-7,6	-5,6	-12,0	-9,5	-7,2
	RCP8.5	-7,0	-4,0	-2,5	-12,2	-9,6	-7,3	-15,3	-14,9	-13,1
JZ	RCP2.6	-5,3	-1,5	2,3	-6,4	-4,1	-1,8	-10,6	-6,1	-1,6
	RCP4.5	-8,6	-3,7	-2,2	-14,1	-7,7	-6,0	-13,0	-10,5	-7,5
	RCP8.5	-6,5	-4,6	-2,5	-12,6	-10,4	-9,3	-15,2	-14,9	-13,3
visoko-gorje	RCP2.6	-5,5	-2,3	0,9	-5,7	-4,4	-3,1	-8,5	-5,7	-3,0
	RCP4.5	-6,9	-4,2	-2,4	-11,5	-8,1	-5,0	-11,7	-9,7	-7,4
	RCP8.5	-5,7	-4,7	-2,0	-11,6	-9,8	-7,7	-14,9	-13,8	-11,7
prehodna	RCP2.6	-5,3	-1,9	1,5	-5,7	-4,2	-2,7	-8,6	-5,8	-3,0
	RCP4.5	-7,4	-3,8	-2,4	-12,5	-8,2	-5,6	-12,4	-9,8	-6,8
	RCP8.5	-5,6	-4,3	-2,3	-11,4	-10,0	-8,1	-15,2	-14,1	-12,6
Slovenija	RCP2.6	-6,0	-2,5	1,0	-6,1	-4,5	-3,0	-8,9	-5,9	-2,9
	RCP4.5	-7,7	-3,6	-2,8	-12,8	-8,0	-6,0	-12,4	-10,0	-6,9
	RCP8.5	-6,1	-4,3	-2,5	-11,7	-10,0	-8,2	-15,1	-14,4	-12,7

Preglednica 1.29 | Največja vrednost, mediana in najmanjša vrednost modelske spremembe povprečnega kazalnika mraza (število dni, ko ECF < 0) v hladnem obdobju leta (oktober–april) od povprečja v obdobju 1981–2010

Skupna dolžina hladnih obdobj (CSDI)

Regija	Scenarij	2011–2040			2041–2070			2071–2100		
		Najmanj	Mediana	Največ	Najmanj	Mediana	Največ	Najmanj	Mediana	Največ
Posočje	RCP2.6	-3,1	-0,6	1,9	-3,4	-2,0	-0,6	-5,0	-2,4	0,1
	RCP4.5	-3,0	-1,3	1,2	-5,0	-3,5	-1,9	-5,0	-4,3	-3,1
	RCP8.5	-3,2	-1,7	-0,4	-5,4	-4,0	-3,1	-5,6	-5,1	-3,9
osrednja	RCP2.6	-3,8	-0,7	2,3	-4,0	-1,9	0,2	-4,8	-2,0	0,8
	RCP4.5	-2,8	-1,3	1,2	-5,1	-2,6	-0,5	-4,8	-3,5	-2,1
	RCP8.5	-2,6	-0,6	0,9	-5,0	-3,3	-1,4	-5,6	-4,3	-2,7
SV	RCP2.6	-3,2	-0,8	1,7	-3,0	-1,4	0,2	-3,7	-1,6	0,5
	RCP4.5	-2,9	-1,7	1,4	-3,8	-2,2	-0,4	-5,0	-2,6	-1,6
	RCP8.5	-2,8	-1,1	1,3	-4,2	-3,3	-0,3	-4,9	-4,0	-2,3
JZ	RCP2.6	-3,4	-0,9	1,6	-2,5	-1,6	-0,6	-4,8	-2,9	-1,1
	RCP4.5	-3,1	-1,3	1,2	-5,2	-3,1	-1,2	-4,9	-3,7	-2,7
	RCP8.5	-3,3	-1,1	-0,2	-5,4	-3,4	-2,4	-5,9	-4,3	-3,2
visoko-gorje	RCP2.6	-4,3	-1,5	1,4	-5,2	-3,3	-1,5	-5,8	-2,8	0,1
	RCP4.5	-3,7	-0,8	1,3	-6,0	-2,8		-5,8	-3,9	-1,9
	RCP8.5	-2,7		-0,1	-5,7	-4,2	-2,1	-6,1	-5,0	-3,5
prehodna	RCP2.6	-3,9	-0,6	2,7	-4,0	-2,1	-0,2	-5,1	-2,3	0,6
	RCP4.5	-3,6	-1,4	1,4	-5,4	-3,0	-1,2	-5,4	-3,8	-2,5
	RCP8.5	-3,3	-0,7	0,6	-5,4	-3,5	-2,2	-5,8	-4,5	-3,3
Slovenija	RCP2.6	-3,6	-0,7	2,2	-3,7	-1,9	-0,1	-4,8	-2,2	0,5
	RCP4.5	-2,9	-1,4	1,0	-5,0	-2,8		-4,9	-3,5	-2,3
	RCP8.5	-2,9		0,6	-5,1	-3,5	-1,8	-5,5	-4,5	-3,0

Preglednica 1.30 | Največja vrednost, mediana in najmanjša vrednost modelske spremembe povprečne skupne dolžine hladnih obdobj (CSDI) v letu (število dni) od povprečja v obdobju 1981–2010

Število hladnih dni (FD)

Regija	Scenarij	2011–2040			2041–2070			2071–2100		
		Najmanj	Mediana	Največ	Najmanj	Mediana	Največ	Najmanj	Mediana	Največ
Posočje	RCP2.6	-22,3	-12,0	-1,8	-26,6	-18,0	-9,4	-31,4	-20,4	-9,3
	RCP4.5	-19,7	-11,0	-7,9	-36,0	-21,2	-14,2	-42,7	-26,1	-15,4
	RCP8.5	-22,7	-11,1	-7,5	-43,4	-29,6	-21,8	-71,0	-51,5	-44,4
osrednja	RCP2.6	-22,0	-10,9	0,1	-26,0	-16,2	-6,4	-31,0	-19,3	-7,5
	RCP4.5	-19,8	-9,0	-5,9	-38,2	-16,7	-10,9	-40,6	-21,7	-12,2
	RCP8.5	-23,2	-9,3	-5,0	-44,1	-23,5	-17,9	-72,3	-41,7	-36,8
SV	RCP2.6	-21,1	-10,5	0,1	-26,7	-16,6	-6,5	-29,7	-18,1	-6,5
	RCP4.5	-20,0	-8,9	-5,8	-40,0	-16,7	-10,3	-39,9	-21,8	-12,3
	RCP8.5	-23,2	-9,6	-4,2	-44,1	-23,3	-18,1	-75,3	-42,9	-36,1
JZ	RCP2.6	-17,0	-8,6	-0,1	-22,8	-14,8	-6,8	-27,2	-16,6	-6,0
	RCP4.5	-19,4	-8,4	-6,5	-31,9	-16,4	-13,0	-34,6	-21,6	-12,9
	RCP8.5	-20,6	-8,6	-4,8	-37,4	-23,9	-17,9	-61,5	-41,5	-38,5
visoko-gorje	RCP2.6	-23,9	-13,2	-2,5	-27,9	-19,0	-10,0	-31,2	-20,7	-10,3
	RCP4.5	-18,4	-10,7	-8,2	-36,9	-22,4	-15,1	-46,3	-28,0	-18,8
	RCP8.5	-21,7	-12,7	-9,9	-47,2	-34,6	-26,6	-82,9	-62,5	-48,2
prehodna	RCP2.6	-22,0	-11,1	-0,3	-25,7	-16,3	-7,0	-29,8	-18,9	-8,0
	RCP4.5	-18,9	-9,5	-6,1	-36,0	-17,9	-12,4	-41,8	-22,9	-14,3
	RCP8.5	-22,6	-10,1	-5,9	-42,4	-25,7	-20,3	-72,5	-46,6	-40,3
Slovenija	RCP2.6	-21,6	-10,9	-0,2	-25,8	-16,4	-7,0	-30,2	-18,9	-7,7
	RCP4.5	-19,5	-9,5	-6,4	-37,0	-17,6	-11,9	-40,7	-22,7	-13,5
	RCP8.5	-22,7	-9,8	-5,6	-43,1	-24,8	-19,3	-72,0	-45,1	-39,1

Preglednica 1.31 | Največja vrednost, mediana in najmanjša vrednost modelske spremembe povprečnega števila hladnih dni (FD) na leto od povprečja v obdobju 1981–2010

Število ledenih dni (ID)

Regija	Scenarij	2011–2040			2041–2070			2071–2100		
		Najmanj	Mediana	Največ	Najmanj	Mediana	Največ	Najmanj	Mediana	Največ
Posočje	RCP2.6	-5,4	-2,3	0,8	-6,4	-4,4	-2,4	-8,9	-6,1	-3,4
	RCP4.5	-6,3	-4,0	-2,9	-12,9	-8,0	-5,0	-13,0	-9,6	-6,7
	RCP8.5	-7,2	-5,2	-2,7	-12,3	-10,3	-7,2	-17,9	-14,8	-12,7
osrednja	RCP2.6	-6,5	-3,1	0,4	-6,9	-4,9	-3,0	-8,4	-6,1	-3,7
	RCP4.5	-6,7	-3,6	-1,7	-13,9	-7,4	-4,6	-12,1	-9,3	-6,3
	RCP8.5	-7,3	-3,9	-1,7	-12,9	-9,4	-6,6	-19,4	-15,8	-12,5
SV	RCP2.6	-7,3	-3,9	-0,4	-8,4	-6,4	-4,5	-9,4	-6,8	-4,3
	RCP4.5	-7,4	-3,6	-1,5	-14,8	-7,5	-4,8	-11,4	-9,2	-6,8
	RCP8.5	-8,3	-3,4	-1,7	-13,9	-9,5	-5,9	-19,3	-15,9	-12,9
JZ	RCP2.6	-1,6	-0,7	0,2	-1,9	-1,6	-1,3	-2,6	-2,0	-1,4
	RCP4.5	-1,8	-1,1	-0,4	-3,8	-2,5	-1,1	-3,6	-2,8	-1,8
	RCP8.5	-2,1	-1,3	-0,5	-3,5	-2,8	-1,5	-5,1	-4,1	-2,7
visoko-gorje	RCP2.6	-17,1	-7,9	1,3	-20,3	-12,5	-4,7	-23,5	-15,5	-7,6
	RCP4.5	-15,5	-10,1	-6,8	-30,4	-17,9	-12,0	-33,7	-23,4	-14,7
	RCP8.5	-17,5	-11,8	-6,4	-32,8	-26,0	-19,3	-59,0	-45,2	-36,9
prehodna	RCP2.6	-6,6	-3,0	0,6	-7,4	-5,1	-2,7	-9,2	-6,7	-4,1
	RCP4.5	-7,4	-4,4	-2,6	-15,3	-8,8	-6,1	-13,8	-11,0	-8,1
	RCP8.5	-8,1	-5,1	-2,1	-14,2	-11,2	-8,6	-22,7	-18,4	-15,0
Slovenija	RCP2.6	-6,6	-3,1	0,4	-7,3	-5,2	-3,0	-9,0	-6,4	-3,8
	RCP4.5	-6,9	-3,8	-2,3	-14,1	-8,0	-5,1	-12,5	-9,9	-6,9
	RCP8.5	-7,6	-4,4	-2,0	-13,4	-10,2	-7,3	-20,8	-16,8	-13,7

Preglednica 1.32 | Največja vrednost, mediana in najmanjša vrednost modelske spremembe povprečnega števila ledenih dni (ID) na leto od povprečja v obdobju 1981–2010

Kazalnik najhladnejših dni (TN10p)

Regija	Scenarij	2011–2040			2041–2070			2071–2100		
		Najmanj	Mediana	Največ	Najmanj	Mediana	Največ	Najmanj	Mediana	Največ
Posočje	RCP2.6	-6	-3	-1	-6	-5	-4	-7	-5	-4
	RCP4.5	-4	-3	-1	-8	-6	-4	-8	-7	-5
	RCP8.5	-6	-4	-2	-9	-7	-6	-10	-9	-8
osrednja	RCP2.6	-6	-3	-1	-6	-5	-3	-7	-5	-4
	RCP4.5	-4	-3	-2	-8	-5	-4	-8	-6	-5
	RCP8.5	-5	-3	-2	-8	-6	-6	-10	-9	-8
SV	RCP2.6	-6	-4	-1	-7	-5	-4	-7	-5	-3
	RCP4.5	-5	-3	-2	-8	-5	-4	-8	-6	-5
	RCP8.5	-6	-4	-2	-9	-6	-6	-10	-9	-8
JZ	RCP2.6	-5	-3	-1	-6	-5	-3	-7	-5	-4
	RCP4.5	-5	-3	-1	-8	-6	-4	-9	-6	-6
	RCP8.5	-6	-4	-2	-9	-7	-6	-10	-9	-8
visoko-gorje	RCP2.6	-5	-3	-1	-6	-5	-4	-6	-5	-4
	RCP4.5	-4	-3	-1	-7	-6	-4	-8	-7	-5
	RCP8.5	-5	-4	-2	-8	-7	-6	-10	-9	-8
prehodna	RCP2.6	-6	-4	-1	-6	-5	-4	-7	-5	-4
	RCP4.5	-4	-3	-1	-8	-6	-4	-8	-7	-5
	RCP8.5	-6	-4	-2	-9	-7	-6	-10	-9	-8
Slovenija	RCP2.6	-6	-3	-1	-6	-5	-4	-7	-5	-4
	RCP4.5	-4	-3	-1	-8	-6	-4	-8	-6	-5
	RCP8.5	-6	-4	-2	-8	-7	-6	-10	-9	-8

Preglednica 1.33 | Največja vrednost, mediana in najmanjša vrednost modelske spremembe povprečnega kazalnika najhladnejših dni (TN10p) v odstotnih točkah od povprečja v obdobju 1981–2010